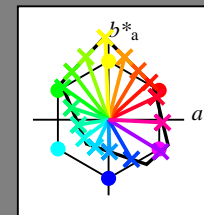


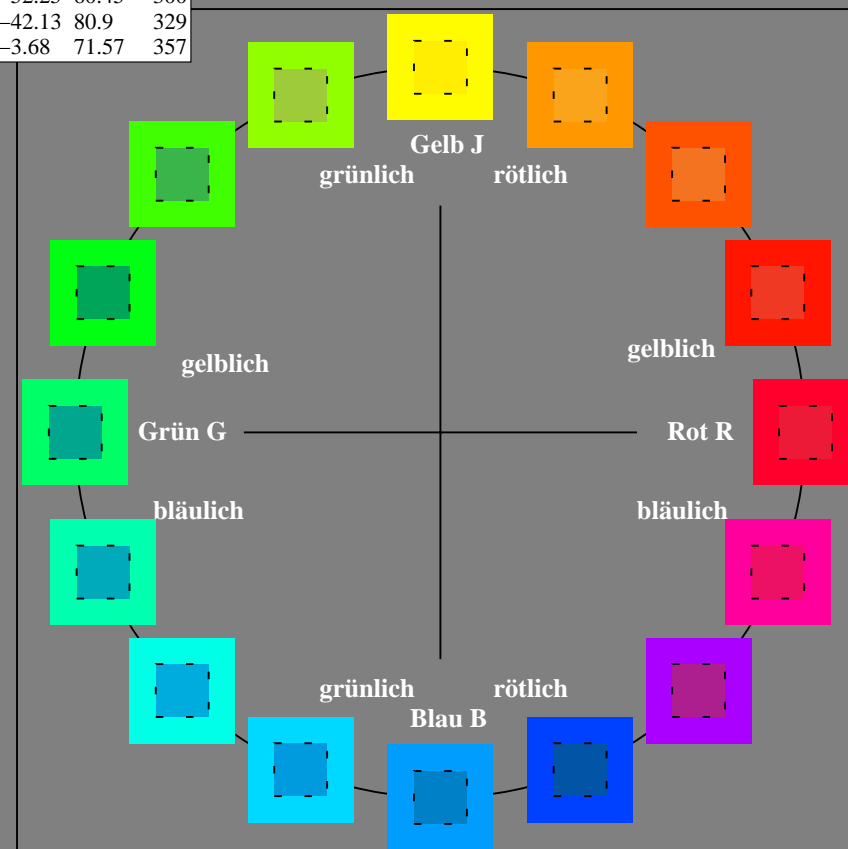
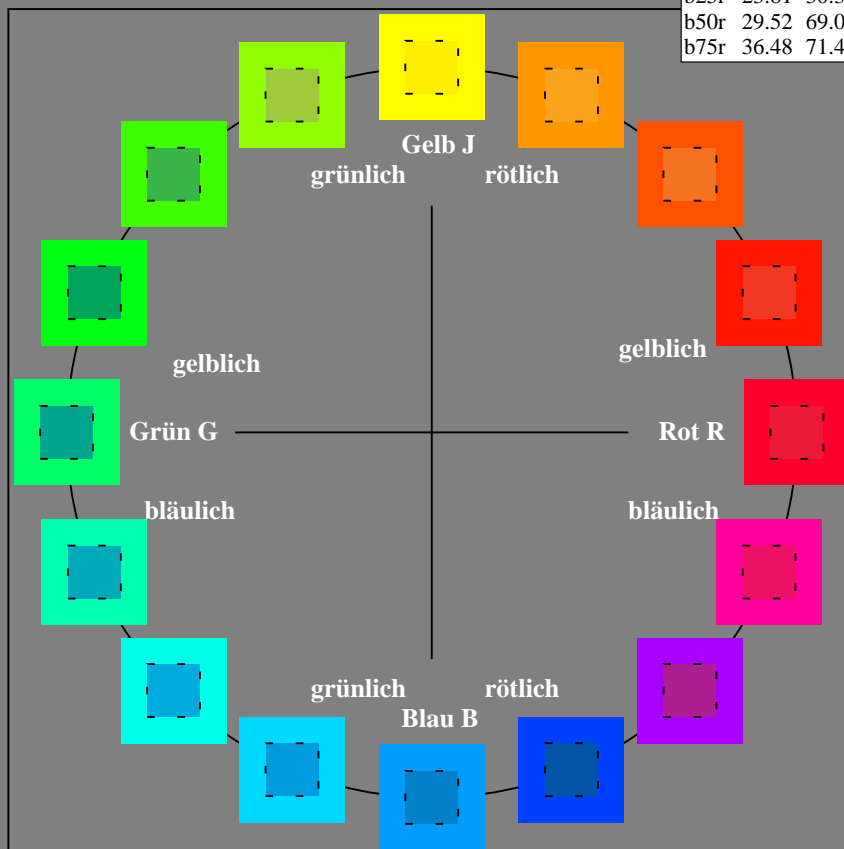
Ein und Ausgabe:
Farbmetrisches Drucker-Reflektiv-System FRS09_92aM
Daten für jede Farbe:
 $lab^{*}ch^{*}$ und $lab^{*}icu^{*}$
Elementar-Bunttontext:
 $u^{*} = 16$ Bunttöne $r00j$, $r25j$, ..., $b75r$
Kontrastreduzierungsfaktor:
 $c_R = 1.0$

FRS09_92aM; adaptierte CIELAB-Daten					
	$L^{*}=L^{*}_a$	a^{*}_a	b^{*}_a	$C^{*}_{ab,a}$	$h^{*}_{ab,a}$
r00j	35.47	63.32	30.17	70.15	25
r25j	39.12	54.56	49.45	73.64	42
r50j	50.64	39.15	64.89	75.79	59
r75j	64.01	21.26	82.83	85.52	76
j00g	83.18	-4.37	108.53	108.62	92
j25g	66.73	-29.88	83.06	88.28	110
j50g	54.03	-48.3	63.49	79.78	127
j75g	44.73	-60.32	42.64	73.88	145
g00b	47.59	-49.07	15.74	51.54	162
g25b	49.97	-39.69	-6.71	40.27	190
g50b	51.85	-32.32	-24.34	40.48	217
g75b	46.92	-17.28	-36.01	39.96	244
b00r	37.91	1.28	-42.34	42.37	272
b25r	23.81	30.38	-52.25	60.45	300
b50r	29.52	69.06	-42.13	80.9	329
b75r	36.48	71.47	-3.68	71.57	357



%Umfang
 $u^{*}_{rel} = 109$
%Regularität
 $g^{*}_{H,rel} = 31$
 $g^{*}_{C,rel} = 40$

FRS09_92aM; adaptierte CIELAB-Daten					
	$L^{*}=L^{*}_a$	a^{*}_a	b^{*}_a	$C^{*}_{ab,a}$	$h^{*}_{ab,a}$
OMa	35.06	60.0	44.0	74.4	36
YMa	83.77	-5.16	109.32	109.44	93
LMa	44.13	-62.66	48.24	79.09	142
CMa	52.66	-29.13	-31.98	43.27	228
VMa	14.15	50.3	-59.03	77.57	310
MMa	37.37	78.64	-33.49	85.48	337
NMa	8.58	0.0	0.0	0.0	0
WMa	92.02	0.0	0.0	0.0	0
RCIE	39.92	58.74	27.99	65.07	25
JCIE	81.26	-2.88	71.56	71.62	92
GCIE	52.23	-42.41	13.6	44.55	162
BCIE	30.57	1.41	-46.46	46.49	272



Ein und Ausgabe: Farbmetrisches Drucker-Reflektiv-System FRS09_92aM für relativen CIELAB-Buntton $h^* = lab^*h^* = h_{ab}/360 = 42/360 = 0.117$ $u^* = r25j$

Daten für jede Farbe:

lab^*ch^* und lab^*icu^*

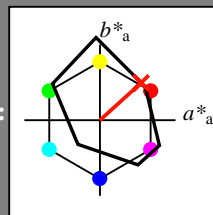
Elementar-Bunttontext:

$u^* = r25j$

Kontrastreduzierungsfaktor:

$c_R = 1.0$

Dreiecks-Helligkeit i^*



FRS09_92aM; adaptierte CIELAB-Daten

	$L^*=L_a^*$	a_a^*	b_a^*	$C_{ab,a}^*$	$h_{ab,a}^*$
O _{Ma}	35.06	60.0	44.0	74.4	36
Y _{Ma}	83.77	-5.16	109.32	109.44	93
L _{Ma}	44.13	-62.66	48.24	79.09	142
C _{Ma}	52.66	-29.13	-31.98	43.27	228
V _{Ma}	14.15	50.3	-59.03	77.57	310
M _{Ma}	37.37	78.64	-33.49	85.48	337
N _{Ma}	8.58	0.0	0.0	0.0	0
W _{Ma}	92.02	0.0	0.0	0.0	0
R _{CIE}	39.92	58.74	27.99	65.07	25
J _{CIE}	81.26	-2.88	71.56	71.62	92
G _{CIE}	52.23	-42.41	13.6	44.55	162
B _{CIE}	30.57	1.41	-46.46	46.49	272

Daten für Maximalfarbe (Ma):

$LAB^*LAB^*_{Ma}$: 39 55 49

$LAB^*LCH^*_{Ma}$: 39 74 42

$lab^*rgb^*_{Ma}$: 1.0 0.25 0.0

$lab^*olv^*_{Ma}$: 1.0 0.08 0.0

Dreiecks-Helligkeit i^*

%Umfang

$u^*_{rel} = 109$

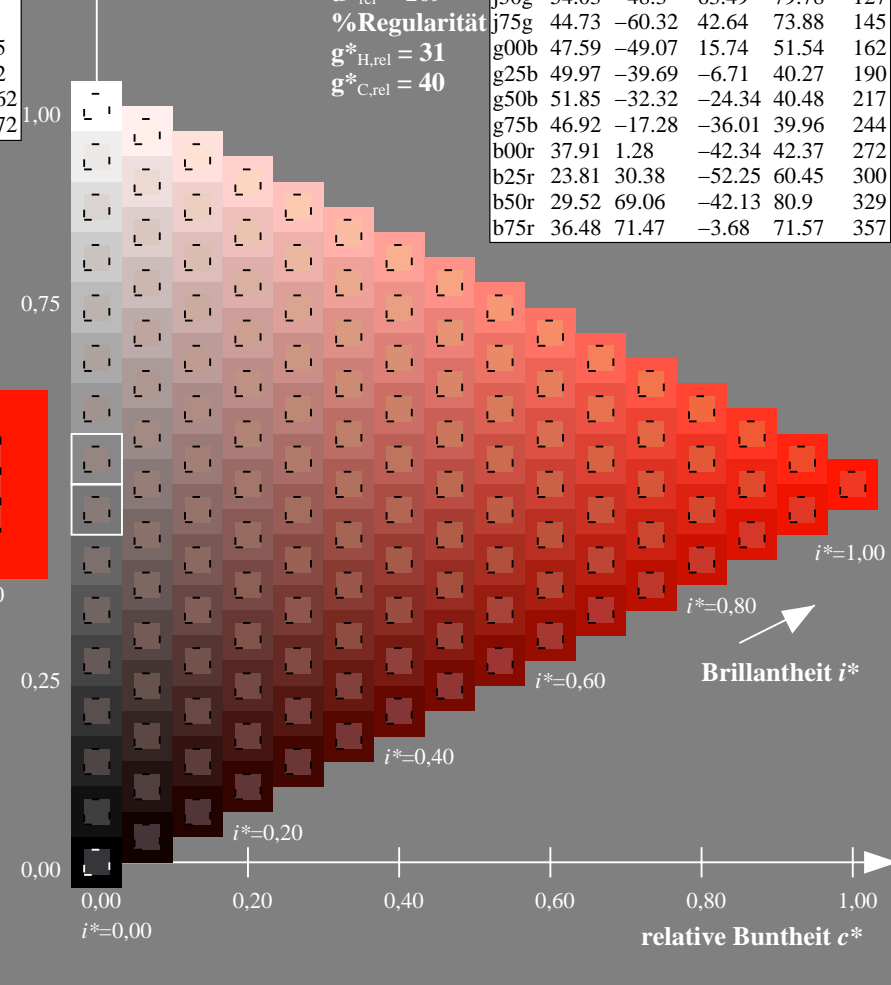
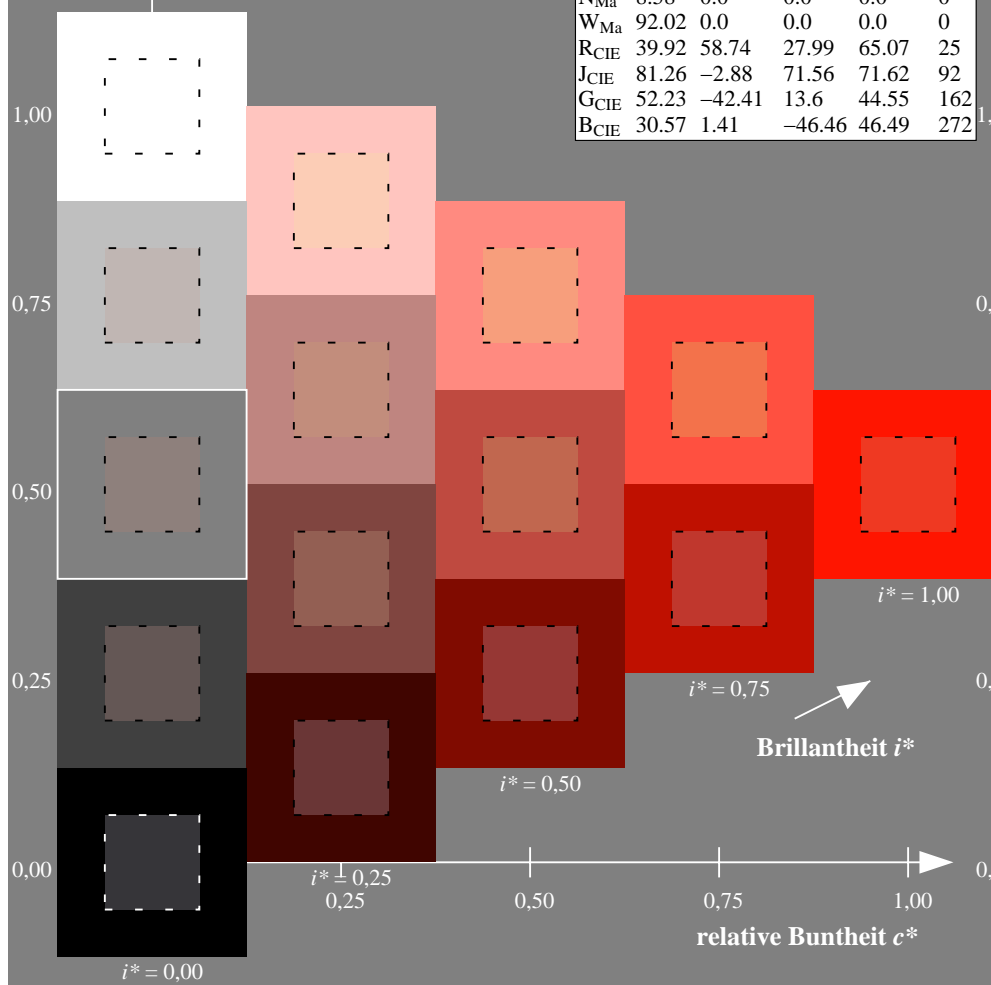
%Regularität

$g^*_{H,rel} = 31$

$g^*_{C,rel} = 40$

FRS09_92aM; adaptierte CIELAB-Daten

	$L^*=L_a^*$	a_a^*	b_a^*	$C_{ab,a}^*$	$h_{ab,a}^*$
r00j	35.47	63.32	30.17	70.15	25
r25j	39.12	54.56	49.45	73.64	42
r50j	50.64	39.15	64.89	75.79	59
r75j	64.01	21.26	82.83	85.52	76
j00g	83.18	-4.37	108.53	108.62	92
j25g	66.73	-29.88	83.06	88.28	110
j50g	54.03	-48.3	63.49	79.78	127
j75g	44.73	-60.32	42.64	73.88	145
g00b	47.59	-49.07	15.74	51.54	162
g25b	49.97	-39.69	-6.71	40.27	190
g50b	51.85	-32.32	-24.34	40.48	217
g75b	46.92	-17.28	-36.01	39.96	244
b00r	37.91	1.28	-42.34	42.37	272
b25r	23.81	30.38	-52.25	60.45	300
b50r	29.52	69.06	-42.13	80.9	329
b75r	36.48	71.47	-3.68	71.57	357



Ein und Ausgabe: Farbmetrisches Drucker-Reflektiv-System FRS09_92aM für relativen CIELAB-Buntton $h^* = lab^*h^* = h_{ab}/360 = 59/360 = 0.164$ $u^* = r50j$

Daten für jede Farbe:

lab^*ch^* und lab^*icu^*

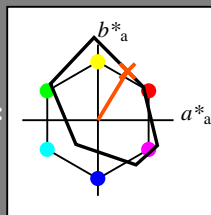
Elementar-Bunttontext:

$u^* = r50j$

Kontrastreduzierungsfaktor:

$c_R = 1.0$

Dreiecks-Helligkeit i^*



FRS09_92aM; adaptierte CIELAB-Daten

	$L^*=L_a^*$	a_a^*	b_a^*	$C^*_{ab,a}$	$h^*_{ab,a}$
O _{Ma}	35.06	60.0	44.0	74.4	36
Y _{Ma}	83.77	-5.16	109.32	109.44	93
L _{Ma}	44.13	-62.66	48.24	79.09	142
C _{Ma}	52.66	-29.13	-31.98	43.27	228
V _{Ma}	14.15	50.3	-59.03	77.57	310
M _{Ma}	37.37	78.64	-33.49	85.48	337
N _{Ma}	8.58	0.0	0.0	0.0	0
W _{Ma}	92.02	0.0	0.0	0.0	0
R _{CIE}	39.92	58.74	27.99	65.07	25
J _{CIE}	81.26	-2.88	71.56	71.62	92
G _{CIE}	52.23	-42.41	13.6	44.55	162
B _{CIE}	30.57	1.41	-46.46	46.49	272

Daten für Maximalfarbe (Ma):

$LAB^*LAB^*_{Ma}$: 51 39 65

$LAB^*LCH^*_{Ma}$: 51 76 59

$lab^*rgb^*_{Ma}$: 1.0 0.5 0.0

$lab^*olv^*_{Ma}$: 1.0 0.32 0.0

Dreiecks-Helligkeit i^*

%Umfang

$u^*_{rel} = 109$

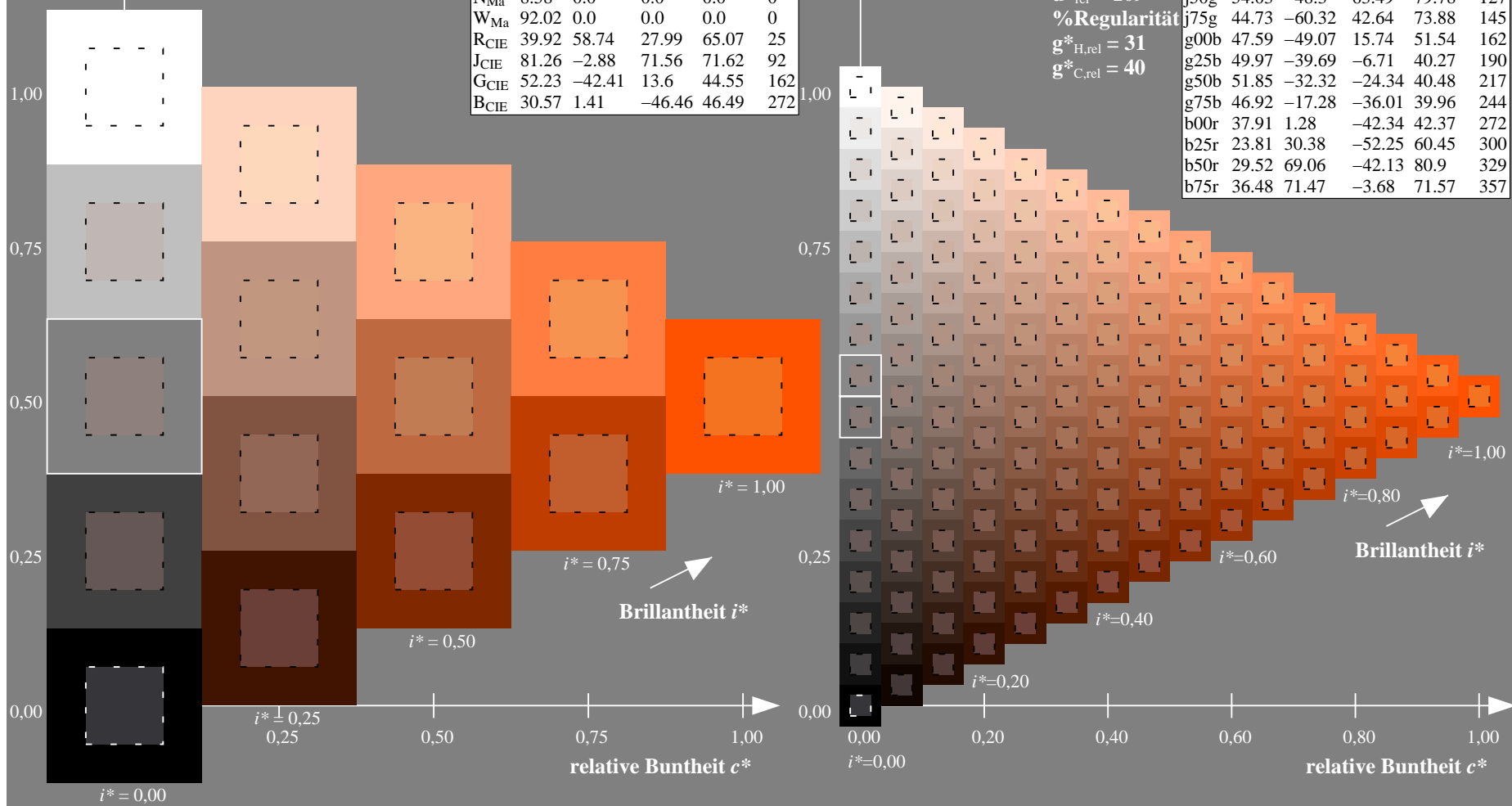
%Regularität

$g^*_{H,rel} = 31$

$g^*_{C,rel} = 40$

FRS09_92aM; adaptierte CIELAB-Daten

	$L^*=L_a^*$	a_a^*	b_a^*	$C^*_{ab,a}$	$h^*_{ab,a}$
r00j	35.47	63.32	30.17	70.15	25
r25j	39.12	54.56	49.45	73.64	42
r50j	50.64	39.15	64.89	75.79	59
r75j	64.01	21.26	82.83	85.52	76
j00g	83.18	-4.37	108.53	108.62	92
j25g	66.73	-29.88	83.06	88.28	110
j50g	54.03	-48.3	63.49	79.78	127
j75g	44.73	-60.32	42.64	73.88	145
g00b	47.59	-49.07	15.74	51.54	162
g25b	49.97	-39.69	-6.71	40.27	190
g50b	51.85	-32.32	-24.34	40.48	217
g75b	46.92	-17.28	-36.01	39.96	244
b00r	37.91	1.28	-42.34	42.37	272
b25r	23.81	30.38	-52.25	60.45	300
b50r	29.52	69.06	-42.13	80.9	329
b75r	36.48	71.47	-3.68	71.57	357



Ein und Ausgabe: Farbmetrisches Drucker-Reflektiv-System FRS09_92aM für relativen CIELAB-Buntton $h^* = lab^*h^* = h_{ab}/360 = 76/360 = 0.21$ $u^* = r75j$

Daten für jede Farbe:

lab^*ch^* und lab^*icu^*

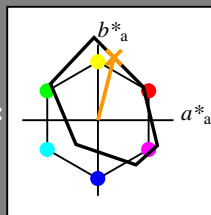
Elementar-Bunttontext:

$u^* = r75j$

Kontrastreduzierungsfaktor:

$c_R = 1.0$

Dreiecks-Helligkeit i^*



FRS09_92aM; adaptierte CIELAB-Daten

	$L^*=L_a^*$	a_a^*	b_a^*	$C^*_{ab,a}$	$h^*_{ab,a}$
O _{Ma}	35.06	60.0	44.0	74.4	36
Y _{Ma}	83.77	-5.16	109.32	109.44	93
L _{Ma}	44.13	-62.66	48.24	79.09	142
C _{Ma}	52.66	-29.13	-31.98	43.27	228
V _{Ma}	14.15	50.3	-59.03	77.57	310
M _{Ma}	37.37	78.64	-33.49	85.48	337
N _{Ma}	8.58	0.0	0.0	0.0	0
W _{Ma}	92.02	0.0	0.0	0.0	0
R _{CIE}	39.92	58.74	27.99	65.07	25
J _{CIE}	81.26	-2.88	71.56	71.62	92
G _{CIE}	52.23	-42.41	13.6	44.55	162
B _{CIE}	30.57	1.41	-46.46	46.49	272

Daten für Maximalfarbe (Ma):

$LAB^*LAB^*_{Ma}$: 64 21 83

$LAB^*LCH^*_{Ma}$: 64 86 76

$lab^*rgb^*_{Ma}$: 1.0 0.75 0.0

$lab^*olv^*_{Ma}$: 1.0 0.59 0.0

Dreiecks-Helligkeit i^*

%Umfang

$u^*_{rel} = 109$

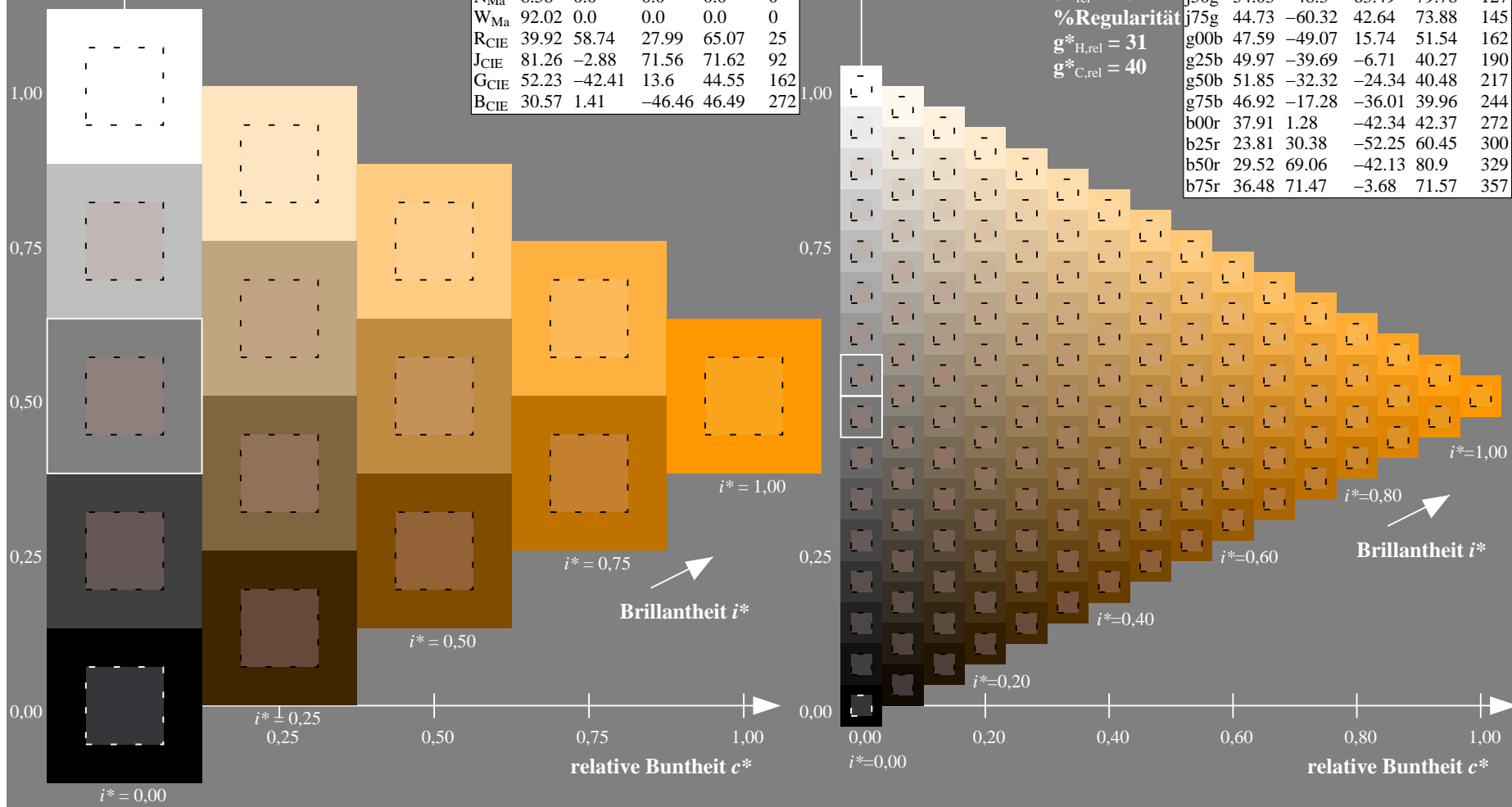
%Regularität

$g^*_{H,rel} = 31$

$g^*_{C,rel} = 40$

FRS09_92aM; adaptierte CIELAB-Daten

	$L^*=L_a^*$	a_a^*	b_a^*	$C^*_{ab,a}$	$h^*_{ab,a}$
r00j	35.47	63.32	30.17	70.15	25
r25j	39.12	54.56	49.45	73.64	42
r50j	50.64	39.15	64.89	75.79	59
r75j	64.01	21.26	82.83	85.52	76
j00g	83.18	-4.37	108.53	108.62	92
j25g	66.73	-29.88	83.06	88.28	110
j50g	54.03	-48.3	63.49	79.78	127
j75g	44.73	-60.32	42.64	73.88	145
g00b	47.59	-49.07	15.74	51.54	162
g25b	49.97	-39.69	-6.71	40.27	190
g50b	51.85	-32.32	-24.34	40.48	217
g75b	46.92	-17.28	-36.01	39.96	244
b00r	37.91	1.28	-42.34	42.37	272
b25r	23.81	30.38	-52.25	60.45	300
b50r	29.52	69.06	-42.13	80.9	329
b75r	36.48	71.47	-3.68	71.57	357



Ein und Ausgabe: Farbmetrisches Drucker-Reflektiv-System FRS09_92aM für relativen CIELAB-Buntton $h^* = lab^*h^* = h_{ab}/360 = 92/360 = 0.256$ $u^* = j00g$

Daten für jede Farbe:

lab^*ch^* und lab^*icu^*

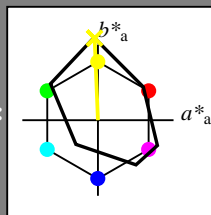
Elementar-Bunttontext:

$u^* = j00g$

Kontrastreduzierungsfaktor:

$c_R = 1.0$

Dreiecks-Helligkeit i^*



FRS09_92aM; adaptierte CIELAB-Daten

	$L^*=L_a^*$	a_a^*	b_a^*	$C^*_{ab,a}$	$h^*_{ab,a}$
O _{Ma}	35.06	60.0	44.0	74.4	36
Y _{Ma}	83.77	-5.16	109.32	109.44	93
L _{Ma}	44.13	-62.66	48.24	79.09	142
C _{Ma}	52.66	-29.13	-31.98	43.27	228
V _{Ma}	14.15	50.3	-59.03	77.57	310
M _{Ma}	37.37	78.64	-33.49	85.48	337
N _{Ma}	8.58	0.0	0.0	0.0	0
W _{Ma}	92.02	0.0	0.0	0.0	0
R _{CIE}	39.92	58.74	27.99	65.07	25
J _{CIE}	81.26	-2.88	71.56	71.62	92
G _{CIE}	52.23	-42.41	13.6	44.55	162
B _{CIE}	30.57	1.41	-46.46	46.49	272

Daten für Maximalfarbe (Ma):

$LAB^*LAB^*_{Ma}$: 83 -3 109

$LAB^*LCH^*_{Ma}$: 83 109 92

$lab^*rgb^*_{Ma}$: 1.0 1.0 0.0

$lab^*olv^*_{Ma}$: 1.0 0.99 0.0

Dreiecks-Helligkeit i^*

%Umfang

$u^*_{rel} = 109$

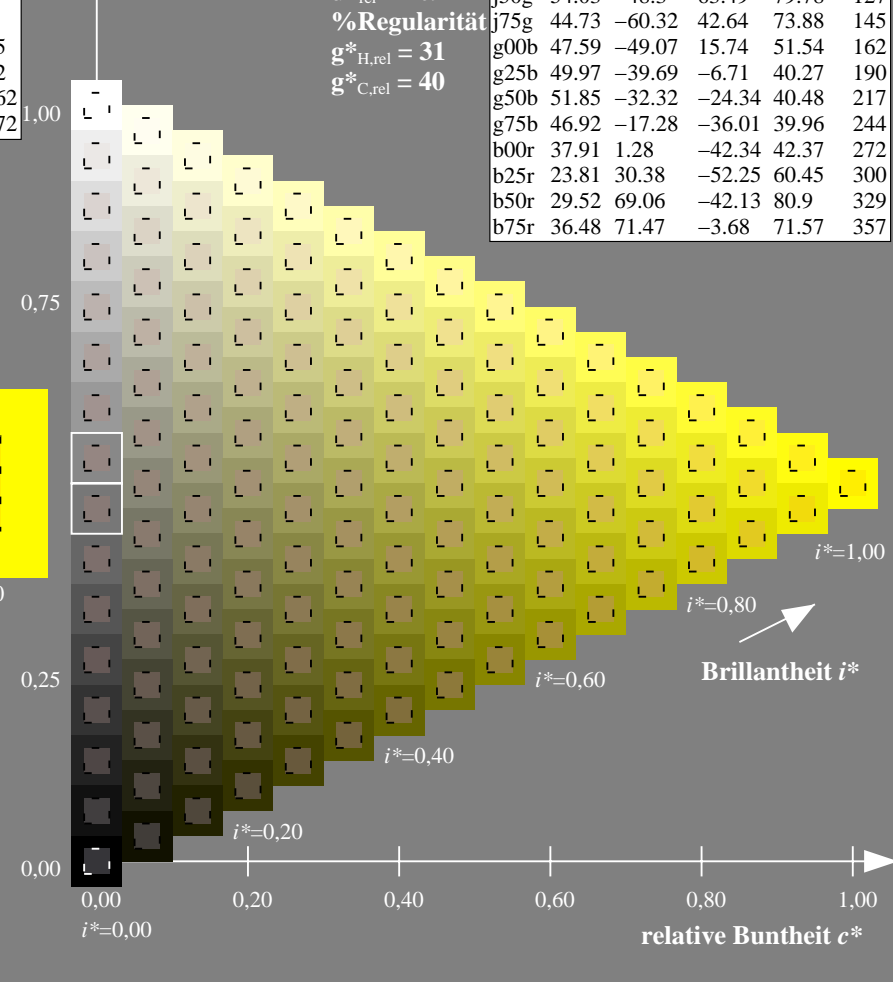
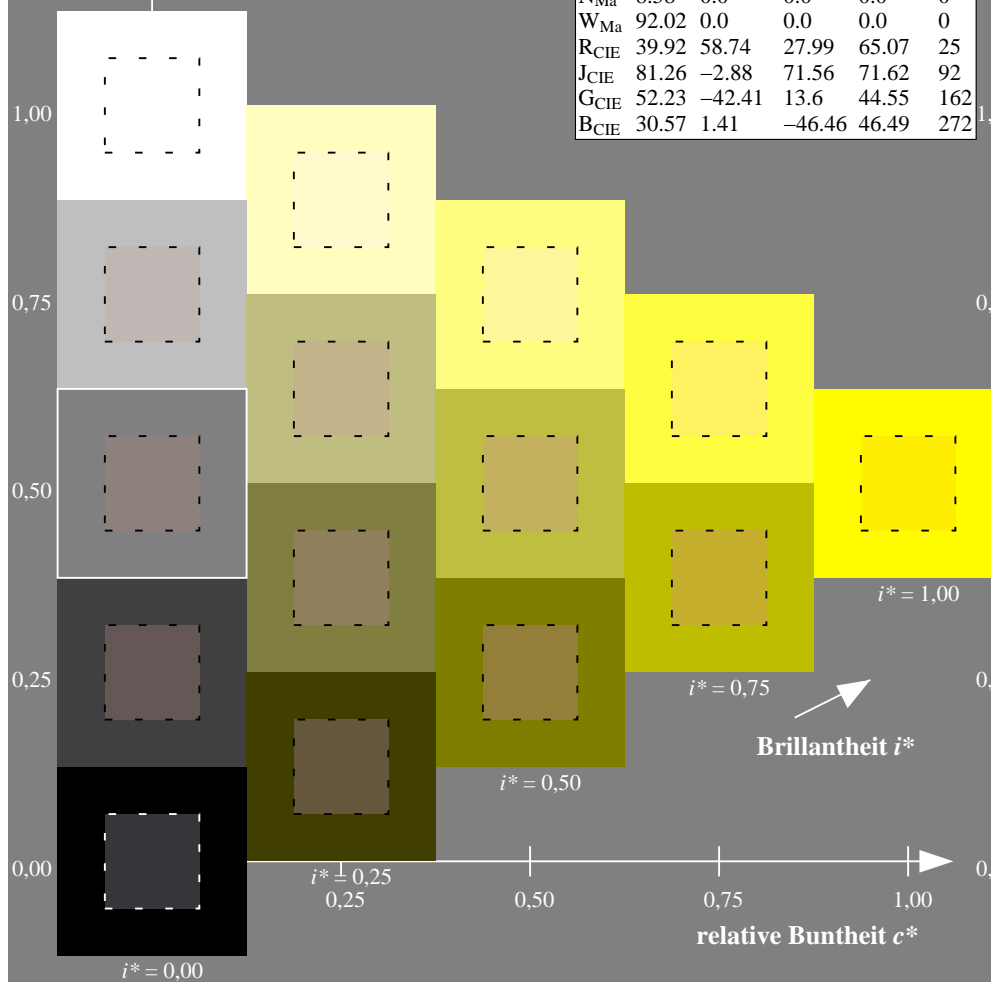
%Regularität

$g^*_{H,rel} = 31$

$g^*_{C,rel} = 40$

FRS09_92aM; adaptierte CIELAB-Daten

	$L^*=L_a^*$	a_a^*	b_a^*	$C^*_{ab,a}$	$h^*_{ab,a}$
r00j	35.47	63.32	30.17	70.15	25
r25j	39.12	54.56	49.45	73.64	42
r50j	50.64	39.15	64.89	75.79	59
r75j	64.01	21.26	82.83	85.52	76
j00g	83.18	-4.37	108.53	108.62	92
j25g	66.73	-29.88	83.06	88.28	110
j50g	54.03	-48.3	63.49	79.78	127
j75g	44.73	-60.32	42.64	73.88	145
g00b	47.59	-49.07	15.74	51.54	162
g25b	49.97	-39.69	-6.71	40.27	190
g50b	51.85	-32.32	-24.34	40.48	217
g75b	46.92	-17.28	-36.01	39.96	244
b00r	37.91	1.28	-42.34	42.37	272
b25r	23.81	30.38	-52.25	60.45	300
b50r	29.52	69.06	-42.13	80.9	329
b75r	36.48	71.47	-3.68	71.57	357



Ein und Ausgabe: Farbmetrisches Drucker-Reflektiv-System FRS09_92aM für relativen CIELAB-Buntton $h^* = lab^*h^* = h_{ab}/360 = 110/360 = 0.305$ $u^* = j25g$

Daten für jede Farbe:

lab^*ch^* und lab^*icu^*

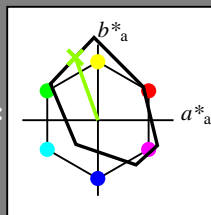
Elementar-Bunttontext:

$u^* = j25g$

Kontrastreduzierungsfaktor:

$c_R = 1.0$

Dreiecks-Helligkeit i^*



FRS09_92aM; adaptierte CIELAB-Daten

	$L^*=L^*_a$	a^*_a	b^*_a	$C^*_{ab,a}$	$h^*_{ab,a}$
O _{Ma}	35.06	60.0	44.0	74.4	36
Y _{Ma}	83.77	-5.16	109.32	109.44	93
L _{Ma}	44.13	-62.66	48.24	79.09	142
C _{Ma}	52.66	-29.13	-31.98	43.27	228
V _{Ma}	14.15	50.3	-59.03	77.57	310
M _{Ma}	37.37	78.64	-33.49	85.48	337
N _{Ma}	8.58	0.0	0.0	0.0	0
W _{Ma}	92.02	0.0	0.0	0.0	0
R _{CIE}	39.92	58.74	27.99	65.07	25
J _{CIE}	81.26	-2.88	71.56	71.62	92
G _{CIE}	52.23	-42.41	13.6	44.55	162
B _{CIE}	30.57	1.41	-46.46	46.49	272

Daten für Maximalfarbe (Ma):

$LAB^*LAB^*_{Ma}$: 67 -29 83

$LAB^*LCH^*_{Ma}$: 67 88 110

$lab^*rgb^*_{Ma}$: 0.75 1.0 0.0

$lab^*olv^*_{Ma}$: 0.57 1.0 0.0

Dreiecks-Helligkeit i^*

%Umfang

$u^*_{rel} = 109$

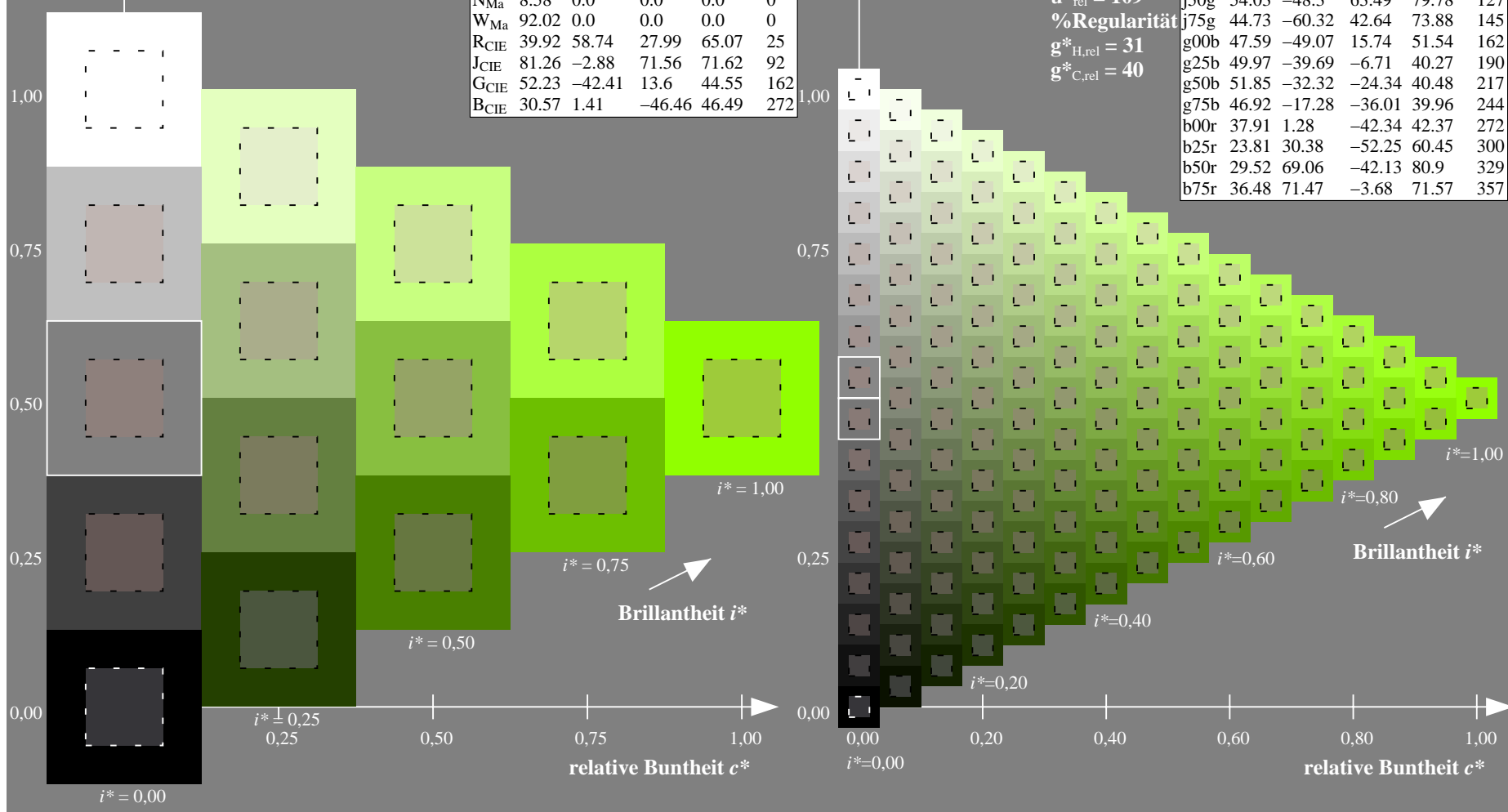
%Regularität

$g^*_{H,rel} = 31$

$g^*_{C,rel} = 40$

FRS09_92aM; adaptierte CIELAB-Daten

	$L^*=L^*_a$	a^*_a	b^*_a	$C^*_{ab,a}$	$h^*_{ab,a}$
r00j	35.47	63.32	30.17	70.15	25
r25j	39.12	54.56	49.45	73.64	42
r50j	50.64	39.15	64.89	75.79	59
r75j	64.01	21.26	82.83	85.52	76
j00g	83.18	-4.37	108.53	108.62	92
j25g	66.73	-29.88	83.06	88.28	110
j50g	54.03	-48.3	63.49	79.78	127
j75g	44.73	-60.32	42.64	73.88	145
g00b	47.59	-49.07	15.74	51.54	162
g25b	49.97	-39.69	-6.71	40.27	190
g50b	51.85	-32.32	-24.34	40.48	217
g75b	46.92	-17.28	-36.01	39.96	244
b00r	37.91	1.28	-42.34	42.37	272
b25r	23.81	30.38	-52.25	60.45	300
b50r	29.52	69.06	-42.13	80.9	329
b75r	36.48	71.47	-3.68	71.57	357



Ein und Ausgabe: Farbmetrisches Drucker-Reflektiv-System FRS09_92aM für relativen CIELAB-Buntton $h^* = lab^*h^* = h_{ab}/360 = 127/360 = 0.354$ $u^* = j50g$

Daten für jede Farbe:

lab^*ch^* und lab^*icu^*

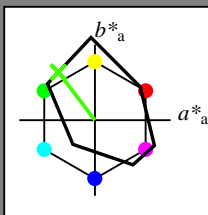
Elementar-Bunttontext:

$u^* = j50g$

Kontrastreduzierungsfaktor:

$c_R = 1.0$

Dreiecks-Helligkeit i^*



FRS09_92aM; adaptierte CIELAB-Daten

	$L^*=L^*_a$	a^*_a	b^*_a	$C^*_{ab,a}$	$h^*_{ab,a}$
O _{Ma}	35.06	60.0	44.0	74.4	36
Y _{Ma}	83.77	-5.16	109.32	109.44	93
L _{Ma}	44.13	-62.66	48.24	79.09	142
C _{Ma}	52.66	-29.13	-31.98	43.27	228
V _{Ma}	14.15	50.3	-59.03	77.57	310
M _{Ma}	37.37	78.64	-33.49	85.48	337
N _{Ma}	8.58	0.0	0.0	0.0	0
W _{Ma}	92.02	0.0	0.0	0.0	0
R _{CIE}	39.92	58.74	27.99	65.07	25
J _{CIE}	81.26	-2.88	71.56	71.62	92
G _{CIE}	52.23	-42.41	13.6	44.55	162
B _{CIE}	30.57	1.41	-46.46	46.49	272

Daten für Maximalfarbe (Ma):

$LAB^*LAB^*_{Ma}$: 54 -47 63

$LAB^*LCH^*_{Ma}$: 54 80 127

$lab^*rgb^*_{Ma}$: 0.5 1.0 0.0

$lab^*olv^*_{Ma}$: 0.25 1.0 0.0

Dreiecks-Helligkeit i^*

%Umfang

$u^*_{rel} = 109$

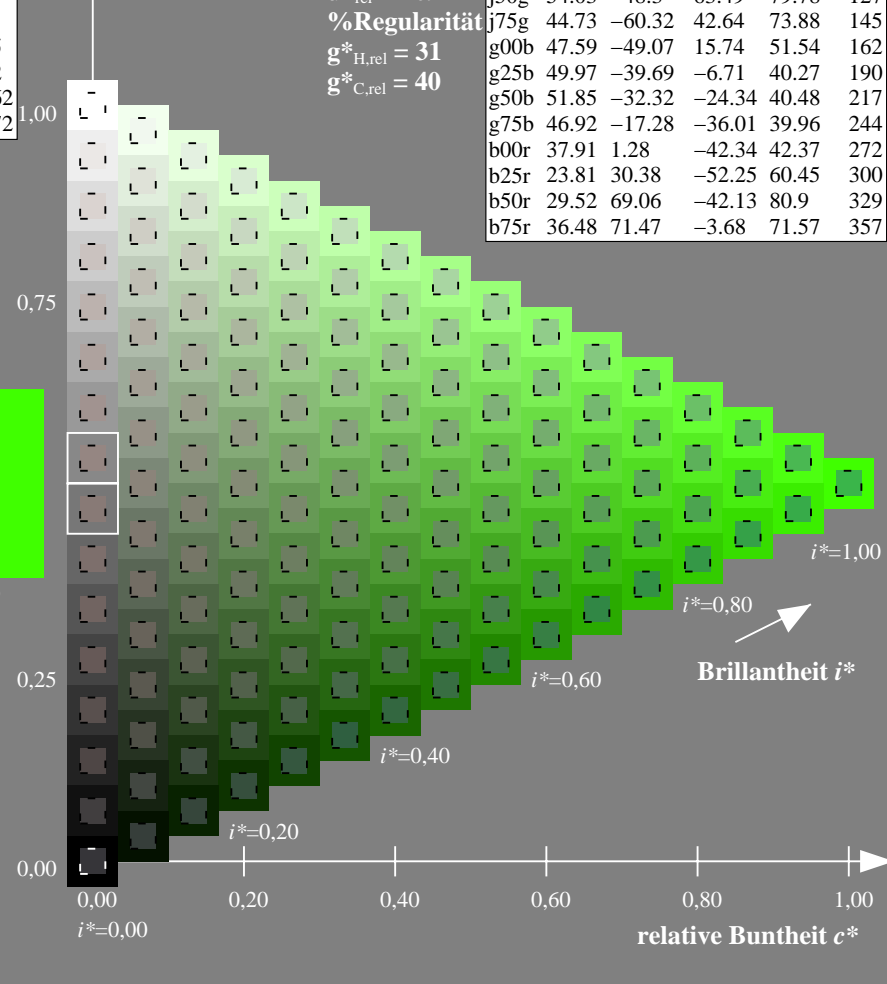
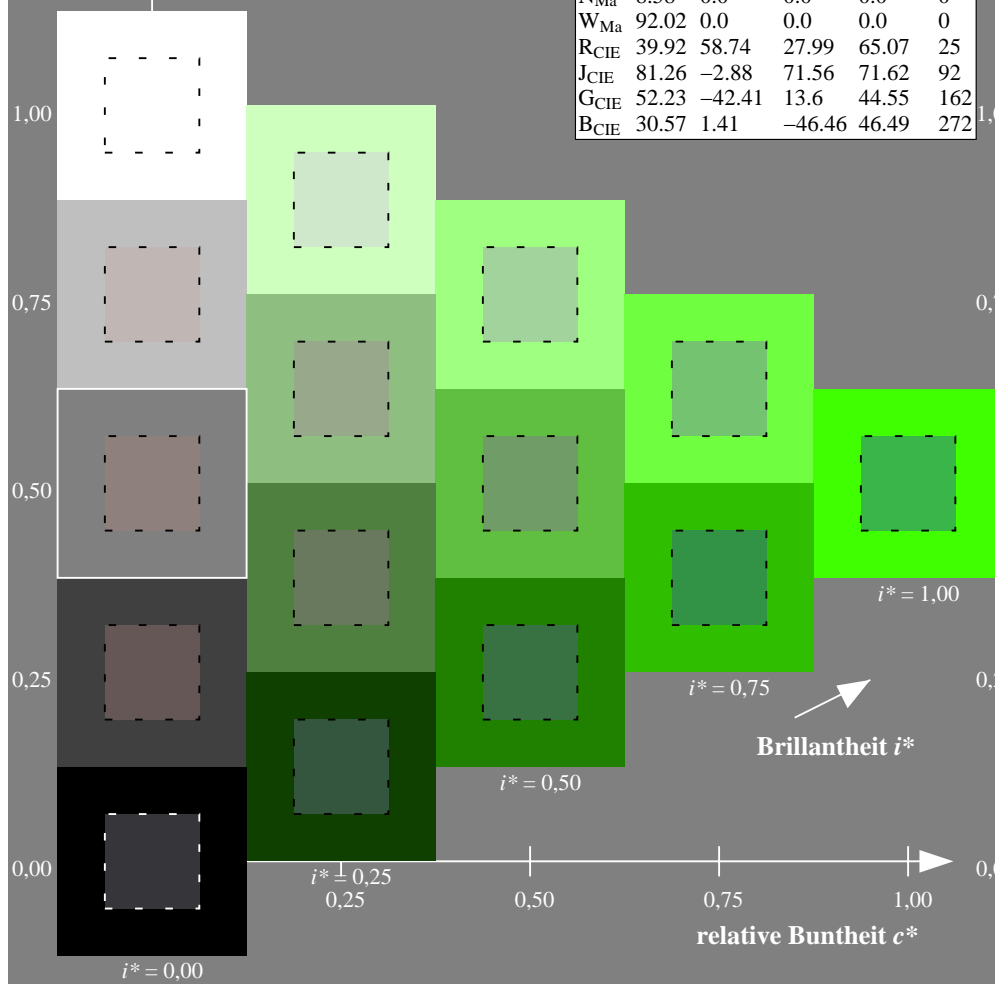
%Regularität




$g^*_{H,rel} = 31$

$g^*_{C,rel} = 40$

FRS09_92aM; adaptierte CIELAB-Daten

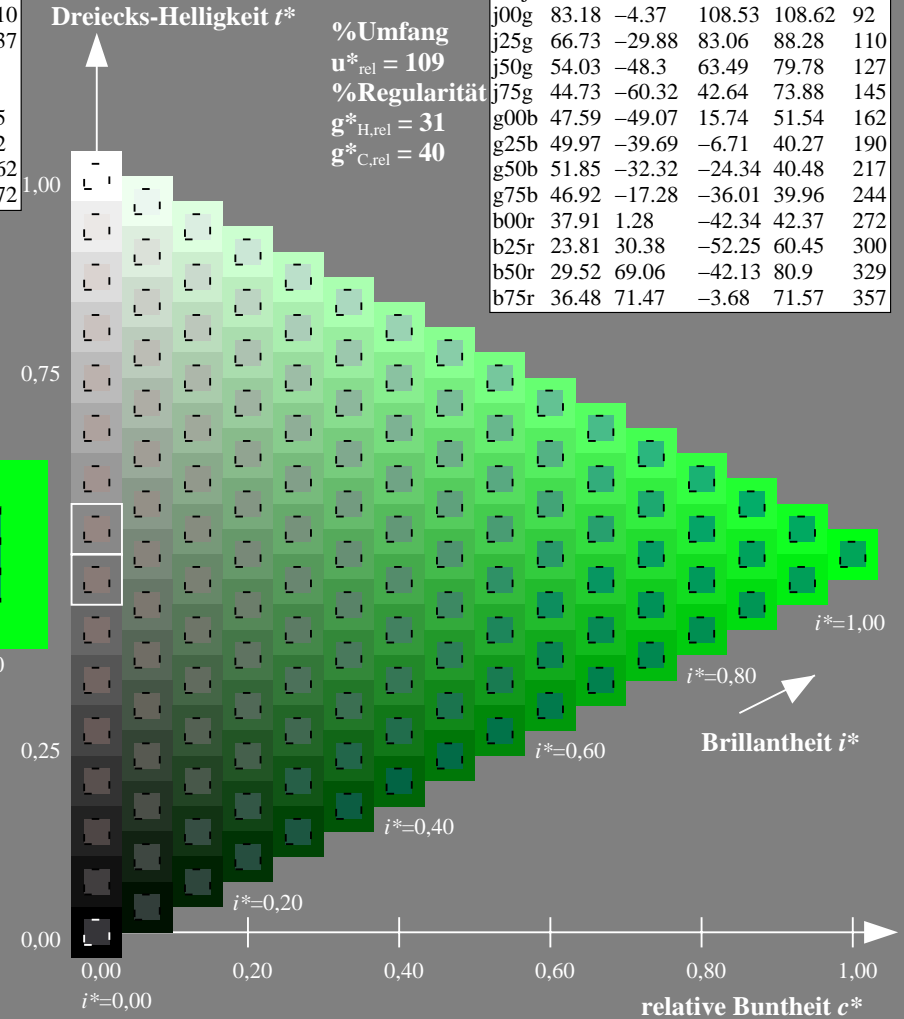
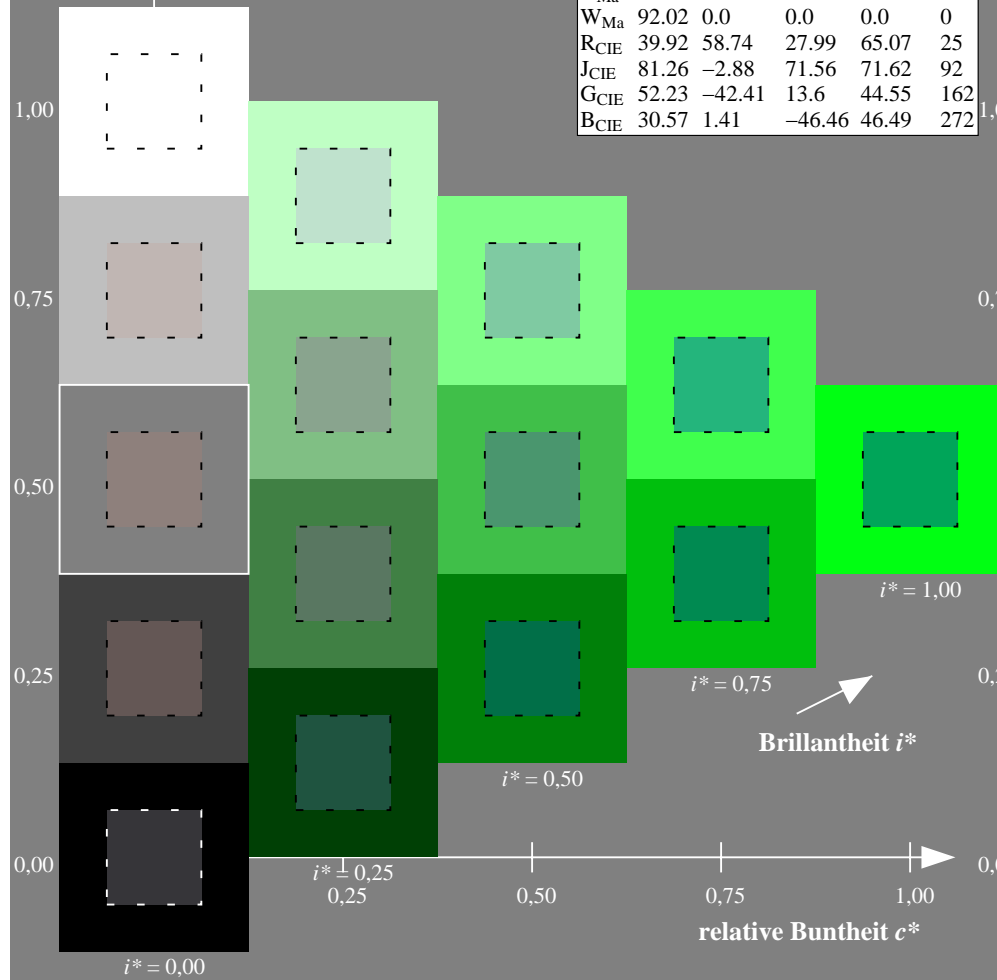
	$L^*=L^*_a$	a^*_a	b^*_a	$C^*_{ab,a}$	$h^*_{ab,a}$
r00j	35.47	63.32	30.17	70.15	25
r25j	39.12	54.56	49.45	73.64	42
r50j	50.64	39.15	64.89	75.79	59
r75j	64.01	21.26	82.83	85.52	76
j00g	83.18	-4.37	108.53	108.62	92
j25g	66.73	-29.88	83.06	88.28	110
j50g	54.03	-48.3	63.49	79.78	127
j75g	44.73	-60.32	42.64	73.88	145
g00b	47.59	-49.07	15.74	51.54	162
g25b	49.97	-39.69	-6.71	40.27	190
g50b	51.85	-32.32	-24.34	40.48	217
g75b	46.92	-17.28	-36.01	39.96	244
b00r	37.91	1.28	-42.34	42.37	272
b25r	23.81	30.38	-52.25	60.45	300
b50r	29.52	69.06	-42.13	80.9	329
b75r	36.48	71.47	-3.68	71.57	357



Ein und Ausgabe: Farbmatisches Drucker-Reflektiv-System FRS09_92aM für relativen CIELAB-Buntton $h^* = lab^*h^* = h_{ab}/360 = 145/360 = 0.402$ $u^* = j75g$			Daten für jede Farbe:			Daten für Maximalfarbe (Ma):		
lab^*tch^* und lab^*icu^*			lab^*tch^* und lab^*icu^*			lab^*tch^* und lab^*icu^*		
Elementar-Bunttontext:			Elementar-Bunttontext:			Elementar-Bunttontext:		
$u^* = j75g$			$u^* = j75g$			$u^* = j75g$		
Kontrastreduzierungsfaktor:			Kontrastreduzierungsfaktor:			Kontrastreduzierungsfaktor:		
$c_R = 1.0$			$c_R = 1.0$			$c_R = 1.0$		
Dreiecks-Helligkeit t^*			Dreiecks-Helligkeit t^*			Dreiecks-Helligkeit t^*		
								
FRS09_92aM; adaptierte CIELAB-Daten			FRS09_92aM; adaptierte CIELAB-Daten			FRS09_92aM; adaptierte CIELAB-Daten		
$L^* = L^*_a$ a^*_a b^*_a $C^*_{ab,a}$ $h^*_{ab,a}$			$L^* = L^*_a$ a^*_a b^*_a $C^*_{ab,a}$ $h^*_{ab,a}$			$L^* = L^*_a$ a^*_a b^*_a $C^*_{ab,a}$ $h^*_{ab,a}$		
O _{Ma} 35.06 60.0 44.0 74.4 36			O _{Ma} 35.06 60.0 44.0 74.4 36			O _{Ma} 35.06 60.0 44.0 74.4 36		
Y _{Ma} 83.77 -5.16 109.32 109.44 93			Y _{Ma} 83.77 -5.16 109.32 109.44 93			Y _{Ma} 83.77 -5.16 109.32 109.44 93		
L _{Ma} 44.13 -62.66 48.24 79.09 142			L _{Ma} 44.13 -62.66 48.24 79.09 142			L _{Ma} 44.13 -62.66 48.24 79.09 142		
C _{Ma} 52.66 -29.13 -31.98 43.27 228			C _{Ma} 52.66 -29.13 -31.98 43.27 228			C _{Ma} 52.66 -29.13 -31.98 43.27 228		
V _{Ma} 14.15 50.3 -59.03 77.57 310			V _{Ma} 14.15 50.3 -59.03 77.57 310			V _{Ma} 14.15 50.3 -59.03 77.57 310		
Dreiecks-Helligkeit t^*			Dreiecks-Helligkeit t^*			Dreiecks-Helligkeit t^*		
%			%			%		
r00j 35.47 63.32 30.17 70.15 2			r00j 35.47 63.32 30.17 70.15 2			r00j 35.47 63.32 30.17 70.15 2		
r25j 59.12 54.56 49.45 73.64 4			r25j 59.12 54.56 49.45 73.64 4			r25j 59.12 54.56 49.45 73.64 4		
r50j 30.64 39.15 64.89 75.79 5			r50j 30.64 39.15 64.89 75.79 5			r50j 30.64 39.15 64.89 75.79 5		
r75j 64.01 21.26 82.83 85.52 7			r75j 64.01 21.26 82.83 85.52 7			r75j 64.01 21.26 82.83 85.52 7		
j00g 83.18 -4.37 108.53 108.62 9			j00g 83.18 -4.37 108.53 108.62 9			j00g 83.18 -4.37 108.53 108.62 9		

FRS09_92aM; adaptierte CIELAB-Daten						
	L^*_a	a^*_a	b^*_a	$C^*_{ab,a}$	$h^*_{ab,a}$	
O _{Ma}	35.06	60.0	44.0	74.4		36
Y _{Ma}	83.77	-5.16	109.32	109.44		93
L _{Ma}	44.13	-62.66	48.24	79.09		142
C _{Ma}	52.66	-29.13	-31.98	43.27		228
V _{Ma}	14.15	50.3	-59.03	77.57		310
M _{Ma}	37.37	78.64	-33.49	85.48		337
N _{Ma}	8.58	0.0	0.0	0.0		0
W _{Ma}	92.02	0.0	0.0	0.0		0
R _{CIE}	39.92	58.74	27.99	65.07		25
J _{CIE}	81.26	-2.88	71.56	71.62		92
G _{CIE}	52.23	-42.41	13.6	44.55		162
B _{CIE}	30.57	1.41	-46.46	46.49		272

FRS09_92aM; adaptierte CIELAB-Daten						
	L^*_a	a^*_a	b^*_a	$C^*_{ab,a}$	$h^*_{ab,a}$	
r00j	35.47	63.32	30.17	70.15	25	
r25j	39.12	54.56	49.45	73.64	42	
r50j	50.64	39.15	64.89	75.79	59	
r75j	64.01	21.26	82.83	85.52	76	
j00g	83.18	-4.37	108.53	108.62	92	
j25g	66.73	-29.88	83.06	88.28	110	
j50g	54.03	-48.3	63.49	79.78	127	
j75g	44.73	-60.32	42.64	73.88	145	
g00b	47.59	-49.07	15.74	51.54	162	
g25b	49.97	-39.69	-6.71	40.27	190	
g50b	51.85	-32.32	-24.34	40.48	217	
g75b	46.92	-17.28	-36.01	39.96	244	
b00r	37.91	1.28	-42.34	42.37	272	
b25r	23.81	30.38	-52.25	60.45	300	
b50r	29.52	69.06	-42.13	80.9	329	
b75r	36.48	71.47	-3.68	71.57	357	



Ein und Ausgabe: Farbmetrisches Drucker-Reflektiv-System FRS09_92aM für relativen CIELAB-Buntton $h^* = lab^*h^* = h_{ab}/360 = 162/360 = 0.451$ $u^* = g00b$

Daten für jede Farbe:

lab^*ch^* und lab^*icu^*

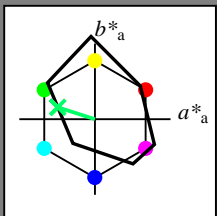
Elementar-Bunttontext:

$u^* = g00b$

Kontrastreduzierungsfaktor:

$c_R = 1.0$

Dreiecks-Helligkeit i^*



FRS09_92aM; adaptierte CIELAB-Daten

	$L^*=L^*_a$	a^*_a	b^*_a	$C^*_{ab,a}$	$h^*_{ab,a}$
O _{Ma}	35.06	60.0	44.0	74.4	36
Y _{Ma}	83.77	-5.16	109.32	109.44	93
L _{Ma}	44.13	-62.66	48.24	79.09	142
C _{Ma}	52.66	-29.13	-31.98	43.27	228
V _{Ma}	14.15	50.3	-59.03	77.57	310
M _{Ma}	37.37	78.64	-33.49	85.48	337
N _{Ma}	8.58	0.0	0.0	0.0	0
W _{Ma}	92.02	0.0	0.0	0.0	0
R _{CIE}	39.92	58.74	27.99	65.07	25
J _{CIE}	81.26	-2.88	71.56	71.62	92
G _{CIE}	52.23	-42.41	13.6	44.55	162
B _{CIE}	30.57	1.41	-46.46	46.49	272

Daten für Maximalfarbe (Ma):

$LAB^*LAB^*_{Ma}$: 48 -48 16

$LAB^*LCH^*_{Ma}$: 48 52 162

$lab^*rgb^*_{Ma}$: 0.0 1.0 0.0

$lab^*olv^*_{Ma}$: 0.0 1.0 0.41

Dreiecks-Helligkeit i^*

%Umfang

$u^*_{rel} = 109$

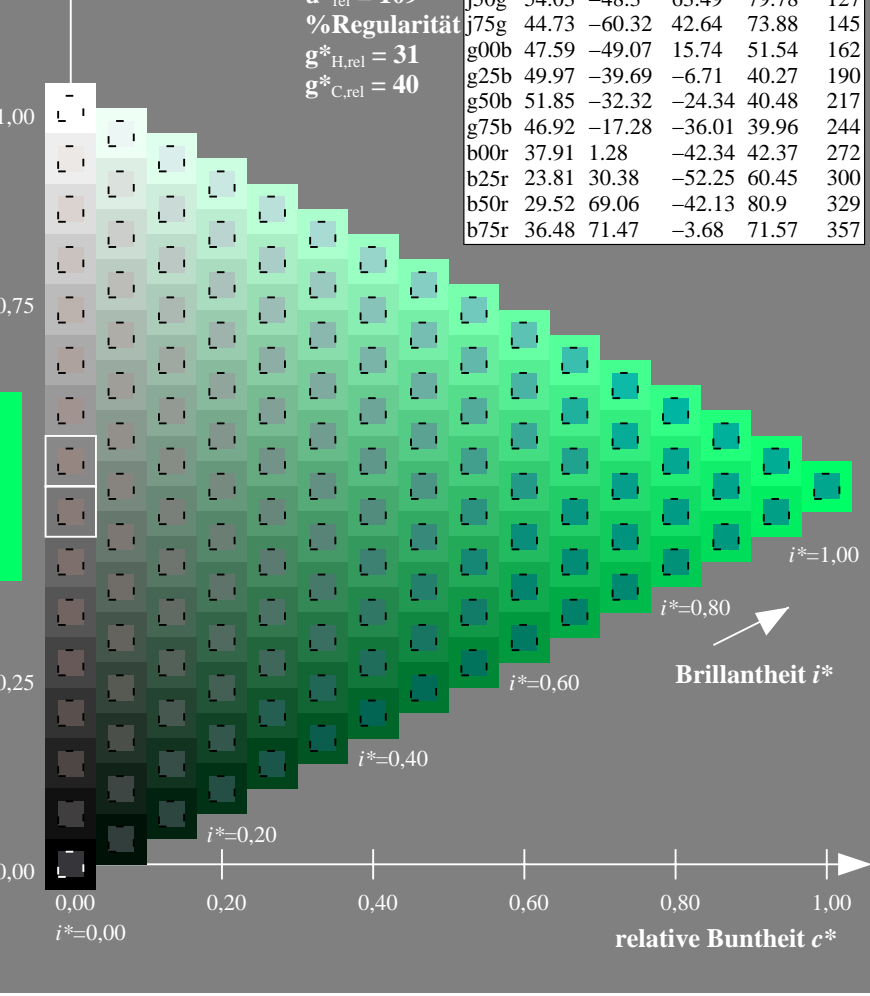
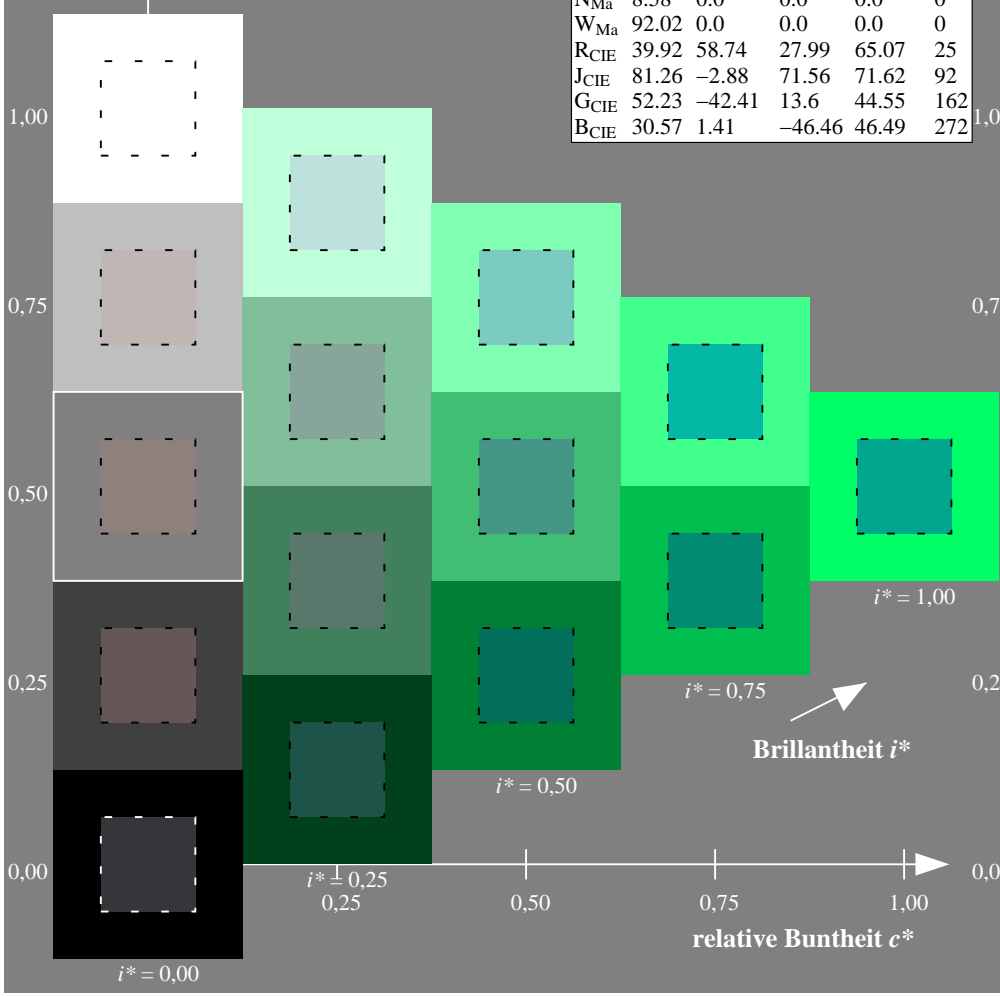
%Regularität

$g^*_{H,rel} = 31$

$g^*_{C,rel} = 40$

FRS09_92aM; adaptierte CIELAB-Daten

	$L^*=L^*_a$	a^*_a	b^*_a	$C^*_{ab,a}$	$h^*_{ab,a}$
r00j	35.47	63.32	30.17	70.15	25
r25j	39.12	54.56	49.45	73.64	42
r50j	50.64	39.15	64.89	75.79	59
r75j	64.01	21.26	82.83	85.52	76
j00g	83.18	-4.37	108.53	108.62	92
j25g	66.73	-29.88	83.06	88.28	110
j50g	54.03	-48.3	63.49	79.78	127
j75g	44.73	-60.32	42.64	73.88	145
g00b	47.59	-49.07	15.74	51.54	162
g25b	49.97	-39.69	-6.71	40.27	190
g50b	51.85	-32.32	-24.34	40.48	217
g75b	46.92	-17.28	-36.01	39.96	244
b00r	37.91	1.28	-42.34	42.37	272
b25r	23.81	30.38	-52.25	60.45	300
b50r	29.52	69.06	-42.13	80.9	329
b75r	36.48	71.47	-3.68	71.57	357



Ein und Ausgabe: Farbmetrisches Drucker-Reflektiv-System FRS09_92aM für relativen CIELAB-Buntton $h^* = lab^*h^* = h_{ab}/360 = 190/360 = 0.527$ $u^* = g25b$

Daten für jede Farbe:

lab^*ch^* und lab^*icu^*

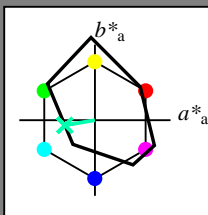
Elementar-Bunttontext:

$u^* = g25b$

Kontrastreduzierungsfaktor:

$c_R = 1.0$

Dreiecks-Helligkeit i^*



FRS09_92aM; adaptierte CIELAB-Daten

	$L^*=L^*_a$	a^*_a	b^*_a	$C^*_{ab,a}$	$h^*_{ab,a}$
O _{Ma}	35.06	60.0	44.0	74.4	36
Y _{Ma}	83.77	-5.16	109.32	109.44	93
L _{Ma}	44.13	-62.66	48.24	79.09	142
C _{Ma}	52.66	-29.13	-31.98	43.27	228
V _{Ma}	14.15	50.3	-59.03	77.57	310
M _{Ma}	37.37	78.64	-33.49	85.48	337
N _{Ma}	8.58	0.0	0.0	0.0	0
W _{Ma}	92.02	0.0	0.0	0.0	0
R _{CIE}	39.92	58.74	27.99	65.07	25
J _{CIE}	81.26	-2.88	71.56	71.62	92
G _{CIE}	52.23	-42.41	13.6	44.55	162
B _{CIE}	30.57	1.41	-46.46	46.49	272

Daten für Maximalfarbe (Ma):

$LAB^*LAB^*_{Ma}$: 50 -39 -6

$LAB^*LCH^*_{Ma}$: 50 40 190

$lab^*rgb^*_{Ma}$: 0.0 1.0 0.5

$lab^*olv^*_{Ma}$: 0.0 1.0 0.69

Dreiecks-Helligkeit i^*

%Umfang

$u^*_{rel} = 109$

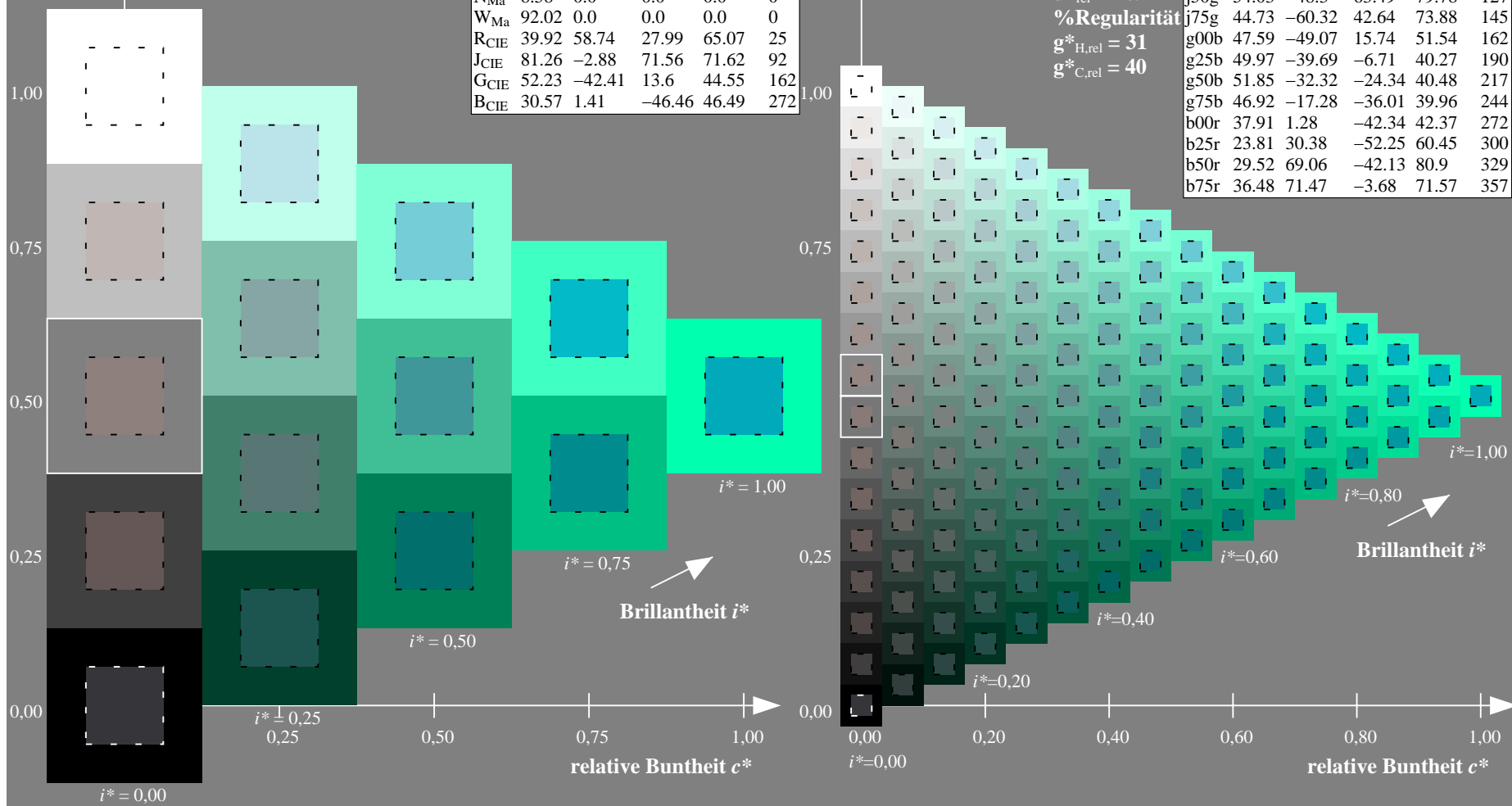
%Regularität

$g^*_{H,rel} = 31$

$g^*_{C,rel} = 40$

FRS09_92aM; adaptierte CIELAB-Daten

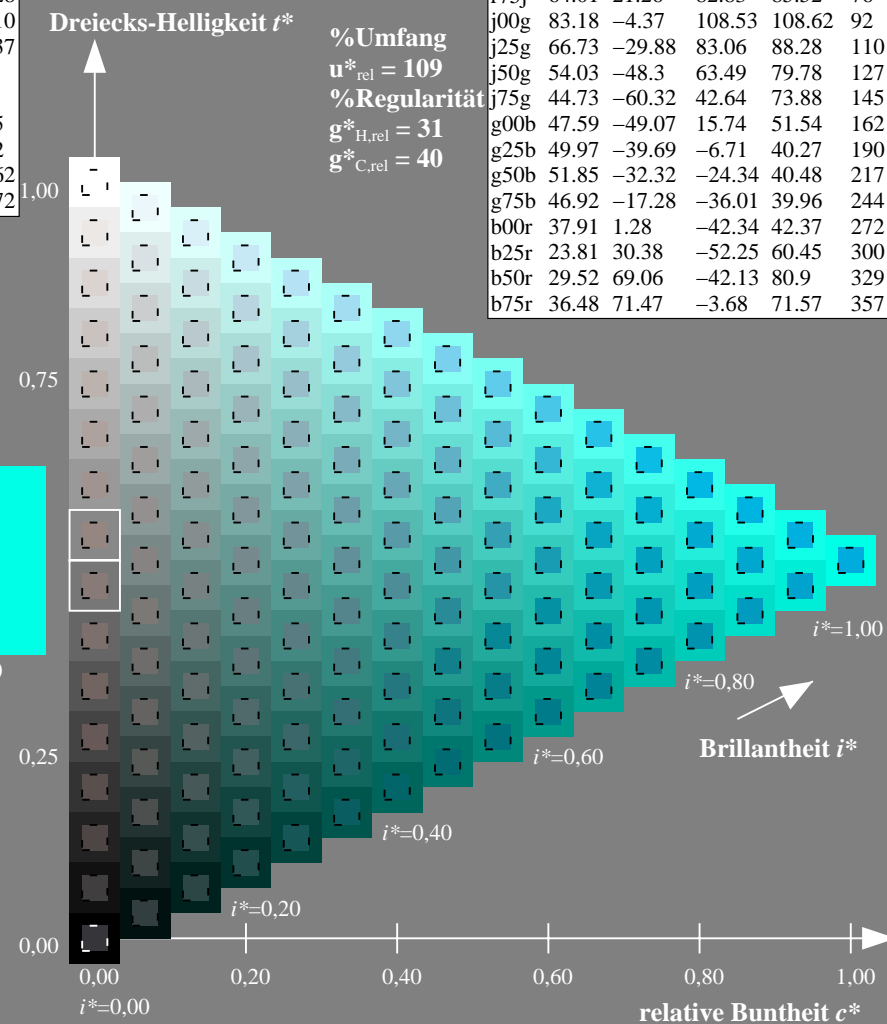
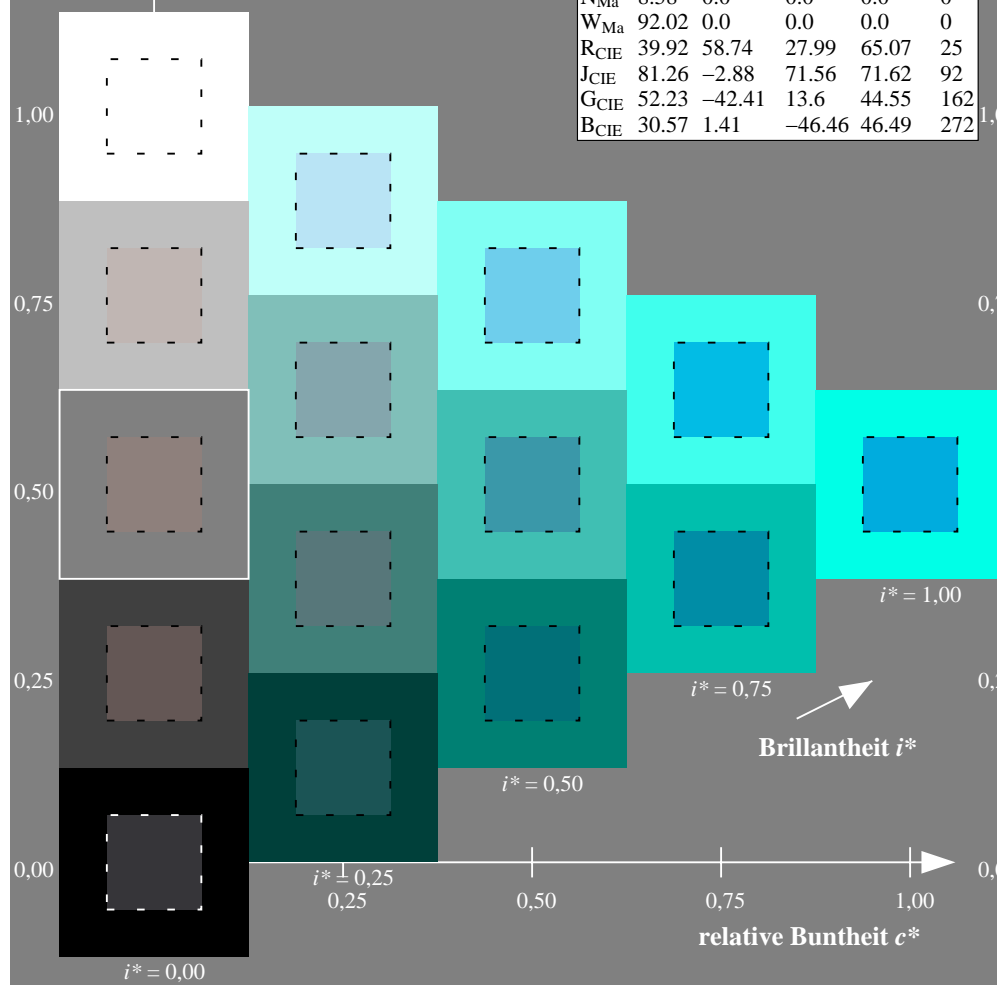
	$L^*=L^*_a$	a^*_a	b^*_a	$C^*_{ab,a}$	$h^*_{ab,a}$
r00j	35.47	63.32	30.17	70.15	25
r25j	39.12	54.56	49.45	73.64	42
r50j	50.64	39.15	64.89	75.79	59
r75j	64.01	21.26	82.83	85.52	76
j00g	83.18	-4.37	108.53	108.62	92
j25g	66.73	-29.88	83.06	88.28	110
j50g	54.03	-48.3	63.49	79.78	127
j75g	44.73	-60.32	42.64	73.88	145
g00b	47.59	-49.07	15.74	51.54	162
g25b	49.97	-39.69	-6.71	40.27	190
g50b	51.85	-32.32	-24.34	40.48	217
g75b	46.92	-17.28	-36.01	39.96	244
b00r	37.91	1.28	-42.34	42.37	272
b25r	23.81	30.38	-52.25	60.45	300
b50r	29.52	69.06	-42.13	80.9	329
b75r	36.48	71.47	-3.68	71.57	357



Ein und Ausgabe: Farbmétrisches Drucker-Reflektiv-System FRS09_92aM für relativen CIELAB-Buntton $h^* = lab^*h^* = h_{ab}/360 = 217/360 = 0.603$ $u^* = g50b$			Daten für jede Farbe:			Daten für Maximalfarbe (Ma):		
lab^*ch^* und lab^*icu^*			lab^*tch^* und lab^*tch^*			lab^*tch^* und lab^*tch^*		
Elementar-Bunttontext:			$u^* = g50b$			$u^* = g50b$		
Kontrastreduzierungsfaktor:			$c_R = 1.0$			$c_R = 1.0$		
Dreiecks-Helligkeit t^*			$t^* = 0.5$			$t^* = 0.5$		

FRS09_92aM; adaptierte CIELAB-Daten					
	$L^*=L^*_a$	a^*_a	b^*_a	$C^*_{ab,a}$	$h^*_{ab,a}$
O _{Ma}	35.06	60.0	44.0	74.4	36
Y _{Ma}	83.77	-5.16	109.32	109.44	93
L _{Ma}	44.13	-62.66	48.24	79.09	142
C _{Ma}	52.66	-29.13	-31.98	43.27	228
V _{Ma}	14.15	50.3	-59.03	77.57	310
M _{Ma}	37.37	78.64	-33.49	85.48	337
N _{Ma}	8.58	0.0	0.0	0.0	0
W _{Ma}	92.02	0.0	0.0	0.0	0
R _{CIE}	39.92	58.74	27.99	65.07	25
J _{CIE}	81.26	-2.88	71.56	71.62	92
G _{CIE}	52.23	-42.41	13.6	44.55	162
B _{CIE}	30.57	1.41	-46.46	46.49	272

FRS09_92aM; adaptierte CIELAB-Daten					
	L^*_a	a^*_a	b^*_a	$C^*_{ab,a}$	$h^*_{ab,a}$
r00j	35.47	63.32	30.17	70.15	25
r25j	39.12	54.56	49.45	73.64	42
r50j	50.64	39.15	64.89	75.79	59
r75j	64.01	21.26	82.83	85.52	76
j00g	83.18	-4.37	108.53	108.62	92
j25g	66.73	-29.88	83.06	88.28	110
j50g	54.03	-48.3	63.49	79.78	127
j75g	44.73	-60.32	42.64	73.88	145
g00b	47.59	-49.07	15.74	51.54	162
g25b	49.97	-39.69	-6.71	40.27	190
g50b	51.85	-32.32	-24.34	40.48	217
g75b	46.92	-17.28	-36.01	39.96	244
b00r	37.91	1.28	-42.34	42.37	272
b25r	23.81	30.38	-52.25	60.45	300
b50r	29.52	69.06	-42.13	80.9	329
b75r	36.48	71.47	-3.68	71.57	357



Ein und Ausgabe: Farbmetrisches Drucker-Reflektiv-System FRS09_92aM für relativen CIELAB-Buntton $h^* = lab^*h^* = h_{ab}/360 = 244/360 = 0.679$ $u^* = g75b$

Daten für jede Farbe:

lab^*ch^* und lab^*icu^*

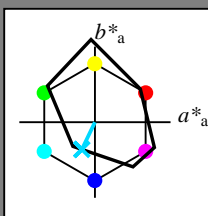
Elementar-Bunttontext:

$u^* = g75b$

Kontrastreduzierungsfaktor:

$c_R = 1.0$

Dreiecks-Helligkeit i^*



FRS09_92aM; adaptierte CIELAB-Daten

	$L^*=L^*_a$	a^*_a	b^*_a	$C^*_{ab,a}$	$h^*_{ab,a}$
O _{Ma}	35.06	60.0	44.0	74.4	36
Y _{Ma}	83.77	-5.16	109.32	109.44	93
L _{Ma}	44.13	-62.66	48.24	79.09	142
C _{Ma}	52.66	-29.13	-31.98	43.27	228
V _{Ma}	14.15	50.3	-59.03	77.57	310
M _{Ma}	37.37	78.64	-33.49	85.48	337
N _{Ma}	8.58	0.0	0.0	0.0	0
W _{Ma}	92.02	0.0	0.0	0.0	0
R _{CIE}	39.92	58.74	27.99	65.07	25
J _{CIE}	81.26	-2.88	71.56	71.62	92
G _{CIE}	52.23	-42.41	13.6	44.55	162
B _{CIE}	30.57	1.41	-46.46	46.49	272

Daten für Maximalfarbe (Ma):

$LAB^*LAB^*_{Ma}$: 47 -16 -35

$LAB^*LCH^*_{Ma}$: 47 40 244

$lab^*rgb^*_{Ma}$: 0.0 0.5 1.0

$lab^*olv^*_{Ma}$: 0.0 0.85 1.0

Dreiecks-Helligkeit i^*

%Umfang

$u^*_{rel} = 109$

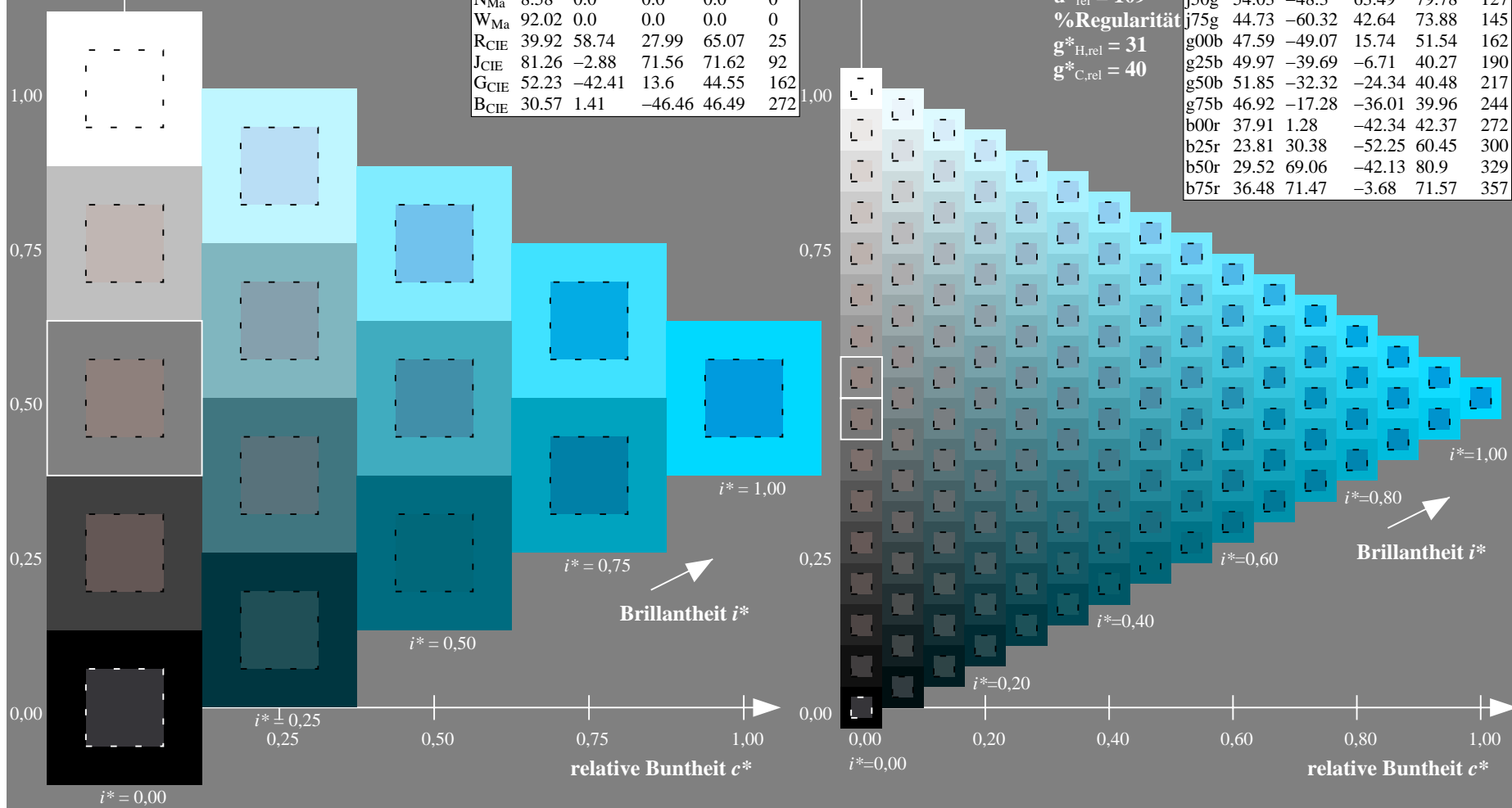
%Regularität

$g^*_{H,rel} = 31$

$g^*_{C,rel} = 40$

FRS09_92aM; adaptierte CIELAB-Daten

	$L^*=L^*_a$	a^*_a	b^*_a	$C^*_{ab,a}$	$h^*_{ab,a}$
r00j	35.47	63.32	30.17	70.15	25
r25j	39.12	54.56	49.45	73.64	42
r50j	50.64	39.15	64.89	75.79	59
r75j	64.01	21.26	82.83	85.52	76
j00g	83.18	-4.37	108.53	108.62	92
j25g	66.73	-29.88	83.06	88.28	110
j50g	54.03	-48.3	63.49	79.78	127
j75g	44.73	-60.32	42.64	73.88	145
g00b	47.59	-49.07	15.74	51.54	162
g25b	49.97	-39.69	-6.71	40.27	190
g50b	51.85	-32.32	-24.34	40.48	217
g75b	46.92	-17.28	-36.01	39.96	244
b00r	37.91	1.28	-42.34	42.37	272
b25r	23.81	30.38	-52.25	60.45	300
b50r	29.52	69.06	-42.13	80.9	329
b75r	36.48	71.47	-3.68	71.57	357



Ein und Ausgabe: Farbmetrisches Drucker-Reflektiv-System FRS09_92aM für relativen CIELAB-Buntton $h^* = lab^*h^* = h_{ab}/360 = 272/360 = 0.755$ $u^* = b00r$

Daten für jede Farbe:

lab^*ch^* und lab^*icu^*

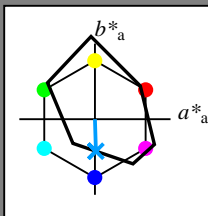
Elementar-Bunttontext:

$u^* = b00r$

Kontrastreduzierungsfaktor:

$c_R = 1.0$

Dreiecks-Helligkeit i^*



FRS09_92aM; adaptierte CIELAB-Daten

	$L^*=L^*_a$	a^*_a	b^*_a	$C^*_{ab,a}$	$h^*_{ab,a}$
O _{Ma}	35.06	60.0	44.0	74.4	36
Y _{Ma}	83.77	-5.16	109.32	109.44	93
L _{Ma}	44.13	-62.66	48.24	79.09	142
C _{Ma}	52.66	-29.13	-31.98	43.27	228
V _{Ma}	14.15	50.3	-59.03	77.57	310
M _{Ma}	37.37	78.64	-33.49	85.48	337
N _{Ma}	8.58	0.0	0.0	0.0	0
W _{Ma}	92.02	0.0	0.0	0.0	0
R _{CIE}	39.92	58.74	27.99	65.07	25
J _{CIE}	81.26	-2.88	71.56	71.62	92
G _{CIE}	52.23	-42.41	13.6	44.55	162
B _{CIE}	30.57	1.41	-46.46	46.49	272

Daten für Maximalfarbe (Ma):

$LAB^*LAB^*_{Ma}$: 38 1 -41

$LAB^*LCH^*_{Ma}$: 38 42 272

$lab^*rgb^*_{Ma}$: 0.0 0.0 1.0

$lab^*olv^*_{Ma}$: 0.0 0.62 1.0

Dreiecks-Helligkeit i^*

%Umfang

$u^*_{rel} = 109$

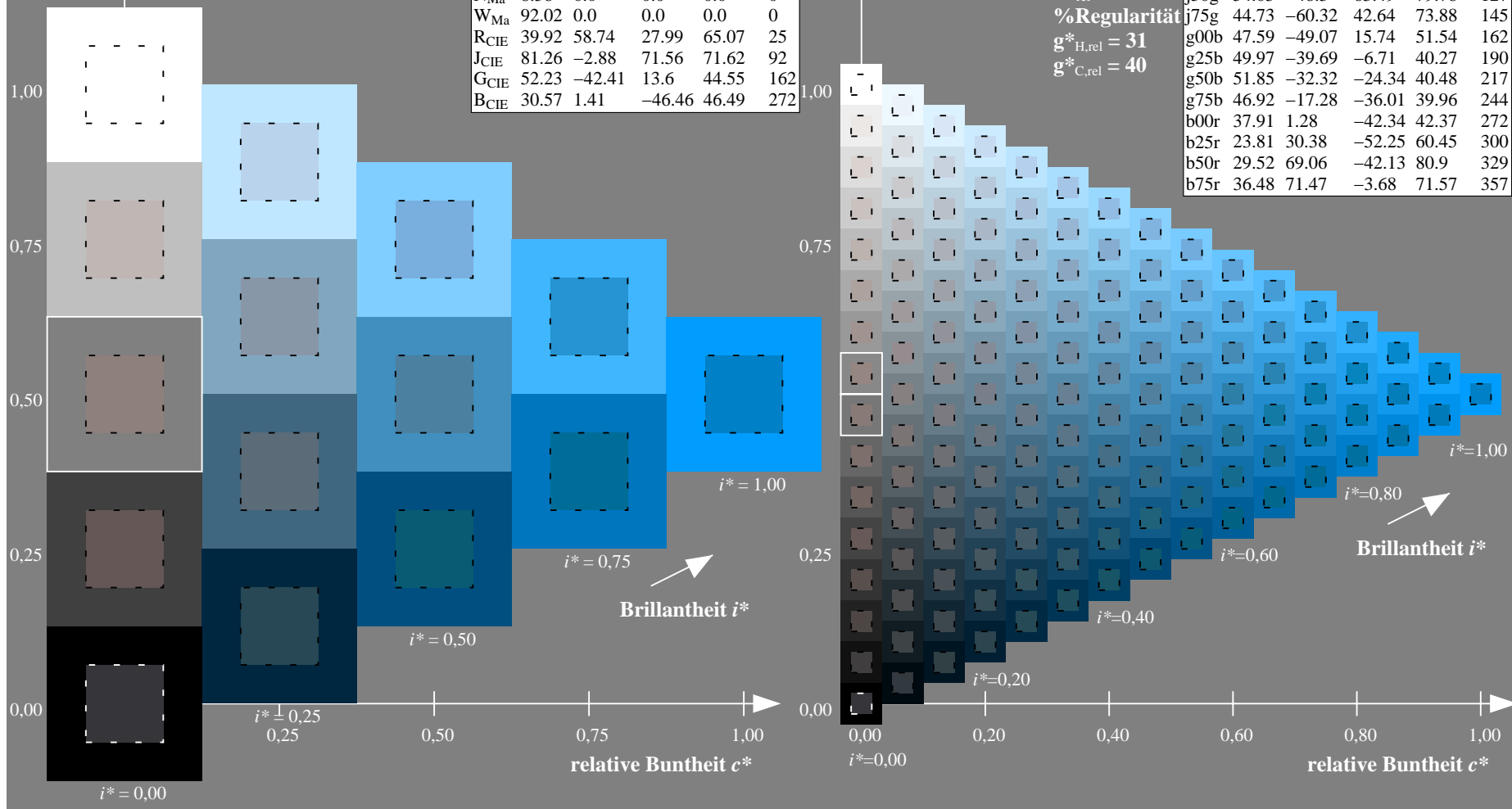
%Regularität

$g^*_{H,rel} = 31$

$g^*_{C,rel} = 40$

FRS09_92aM; adaptierte CIELAB-Daten

	$L^*=L^*_a$	a^*_a	b^*_a	$C^*_{ab,a}$	$h^*_{ab,a}$
r00j	35.47	63.32	30.17	70.15	25
r25j	39.12	54.56	49.45	73.64	42
r50j	50.64	39.15	64.89	75.79	59
r75j	64.01	21.26	82.83	85.52	76
j00g	83.18	-4.37	108.53	108.62	92
j25g	66.73	-29.88	83.06	88.28	110
j50g	54.03	-48.3	63.49	79.78	127
j75g	44.73	-60.32	42.64	73.88	145
g00b	47.59	-49.07	15.74	51.54	162
g25b	49.97	-39.69	-6.71	40.27	190
g50b	51.85	-32.32	-24.34	40.48	217
g75b	46.92	-17.28	-36.01	39.96	244
b00r	37.91	1.28	-42.34	42.37	272
b25r	23.81	30.38	-52.25	60.45	300
b50r	29.52	69.06	-42.13	80.9	329
b75r	36.48	71.47	-3.68	71.57	357



Ein und Ausgabe: Farbmetrisches Drucker-Reflektiv-System FRS09_92aM für relativen CIELAB-Buntton $h^* = lab^*h^* = h_{ab}/360 = 300/360 = 0.834$ $u^* = b25r$

Daten für jede Farbe:

lab^*ch^* und lab^*icu^*

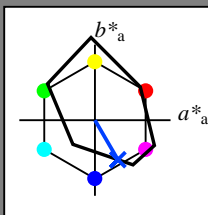
Elementar-Bunttontext:

$u^* = b25r$

Kontrastreduzierungsfaktor:

$c_R = 1.0$

Dreiecks-Helligkeit i^*



FRS09_92aM; adaptierte CIELAB-Daten

	$L^*=L_a^*$	a_a^*	b_a^*	$C^*_{ab,a}$	$h^*_{ab,a}$
O _{Ma}	35.06	60.0	44.0	74.4	36
Y _{Ma}	83.77	-5.16	109.32	109.44	93
L _{Ma}	44.13	-62.66	48.24	79.09	142
C _{Ma}	52.66	-29.13	-31.98	43.27	228
V _{Ma}	14.15	50.3	-59.03	77.57	310
M _{Ma}	37.37	78.64	-33.49	85.48	337
N _{Ma}	8.58	0.0	0.0	0.0	0
W _{Ma}	92.02	0.0	0.0	0.0	0
R _{CIE}	39.92	58.74	27.99	65.07	25
J _{CIE}	81.26	-2.88	71.56	71.62	92
G _{CIE}	52.23	-42.41	13.6	44.55	162
B _{CIE}	30.57	1.41	-46.46	46.49	272

Daten für Maximalfarbe (Ma):

$LAB^*LAB^*_{Ma}$: 24 30 -51

$LAB^*LCH^*_{Ma}$: 24 60 300

$lab^*rgb^*_{Ma}$: 0.5 0.0 1.0

$lab^*olv^*_{Ma}$: 0.0 0.25 1.0

Dreiecks-Helligkeit i^*

%Umfang

$u^*_{rel} = 109$

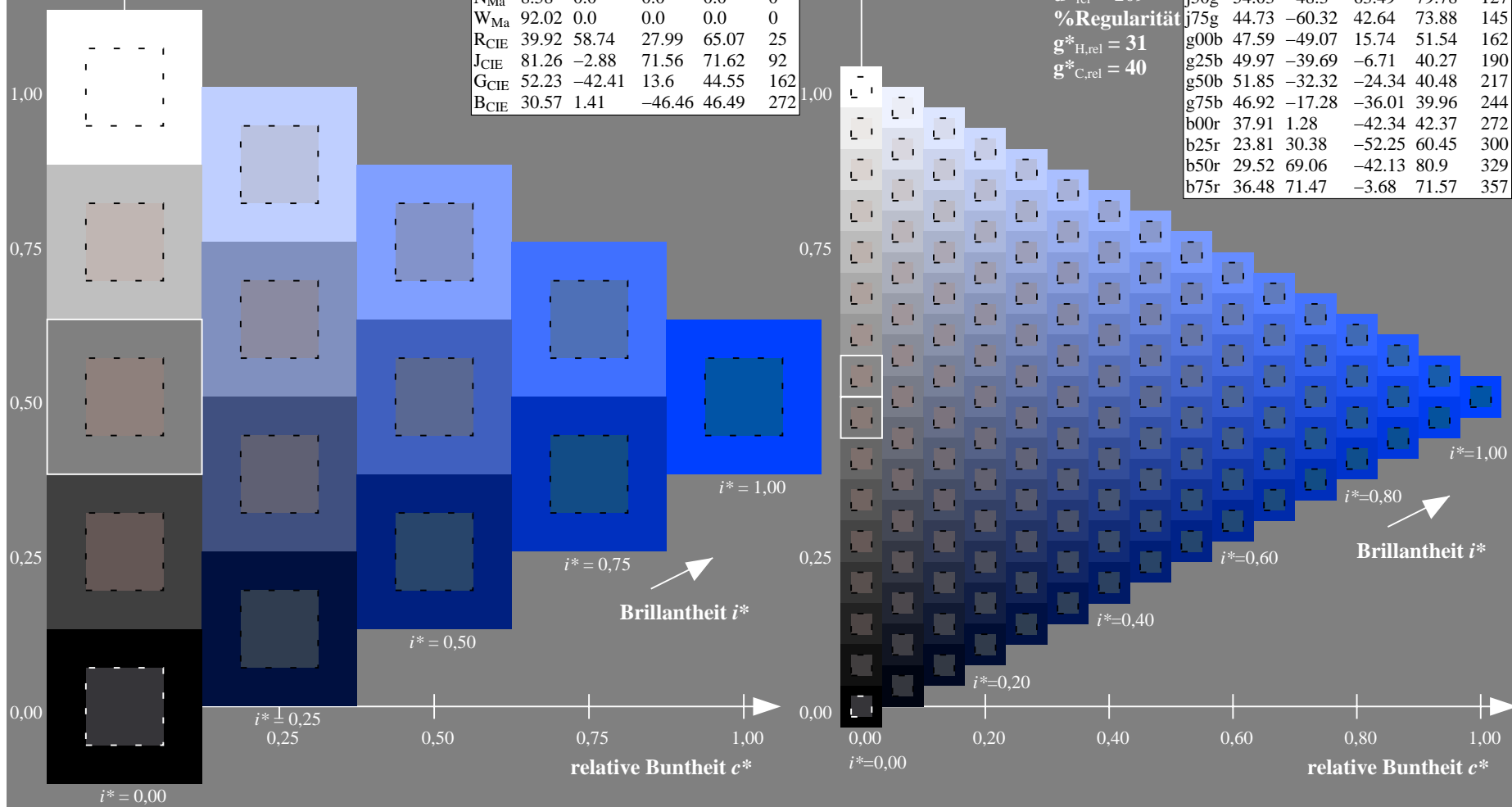
%Regularität

$g^*_{H,rel} = 31$

$g^*_{C,rel} = 40$

FRS09_92aM; adaptierte CIELAB-Daten

	$L^*=L_a^*$	a_a^*	b_a^*	$C^*_{ab,a}$	$h^*_{ab,a}$
r00j	35.47	63.32	30.17	70.15	25
r25j	39.12	54.56	49.45	73.64	42
r50j	50.64	39.15	64.89	75.79	59
r75j	64.01	21.26	82.83	85.52	76
j00g	83.18	-4.37	108.53	108.62	92
j25g	66.73	-29.88	83.06	88.28	110
j50g	54.03	-48.3	63.49	79.78	127
j75g	44.73	-60.32	42.64	73.88	145
g00b	47.59	-49.07	15.74	51.54	162
g25b	49.97	-39.69	-6.71	40.27	190
g50b	51.85	-32.32	-24.34	40.48	217
g75b	46.92	-17.28	-36.01	39.96	244
b00r	37.91	1.28	-42.34	42.37	272
b25r	23.81	30.38	-52.25	60.45	300
b50r	29.52	69.06	-42.13	80.9	329
b75r	36.48	71.47	-3.68	71.57	357



Ein und Ausgabe: Farbmetrisches Drucker-Reflektiv-System FRS09_92aM für relativen CIELAB-Buntton $h^* = lab^*h^* = h_{ab}/360 = 329/360 = 0.913$ $u^* = b50r$

Daten für jede Farbe:

lab^*ch^* und lab^*icu^*

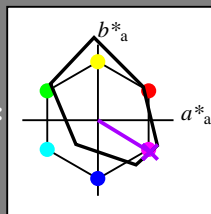
Elementar-Bunttontext:

$u^* = b50r$

Kontrastreduzierungsfaktor:

$c_R = 1.0$

Dreiecks-Helligkeit i^*



FRS09_92aM; adaptierte CIELAB-Daten

	$L^*=L_a^*$	a_a^*	b_a^*	$C^*_{ab,a}$	$h^*_{ab,a}$
O _{Ma}	35.06	60.0	44.0	74.4	36
Y _{Ma}	83.77	-5.16	109.32	109.44	93
L _{Ma}	44.13	-62.66	48.24	79.09	142
C _{Ma}	52.66	-29.13	-31.98	43.27	228
V _{Ma}	14.15	50.3	-59.03	77.57	310
M _{Ma}	37.37	78.64	-33.49	85.48	337
N _{Ma}	8.58	0.0	0.0	0.0	0
W _{Ma}	92.02	0.0	0.0	0.0	0
R _{CIE}	39.92	58.74	27.99	65.07	25
J _{CIE}	81.26	-2.88	71.56	71.62	92
G _{CIE}	52.23	-42.41	13.6	44.55	162
B _{CIE}	30.57	1.41	-46.46	46.49	272

Daten für Maximalfarbe (Ma):

$LAB^*LAB^*_{Ma}$: 30 69 -41

$LAB^*LCH^*_{Ma}$: 30 81 329

$lab^*rgb^*_{Ma}$: 1.0 0.0 1.0

$lab^*olv^*_{Ma}$: 0.66 0.0 1.0

Dreiecks-Helligkeit i^*

%Umfang

$u^*_{rel} = 109$

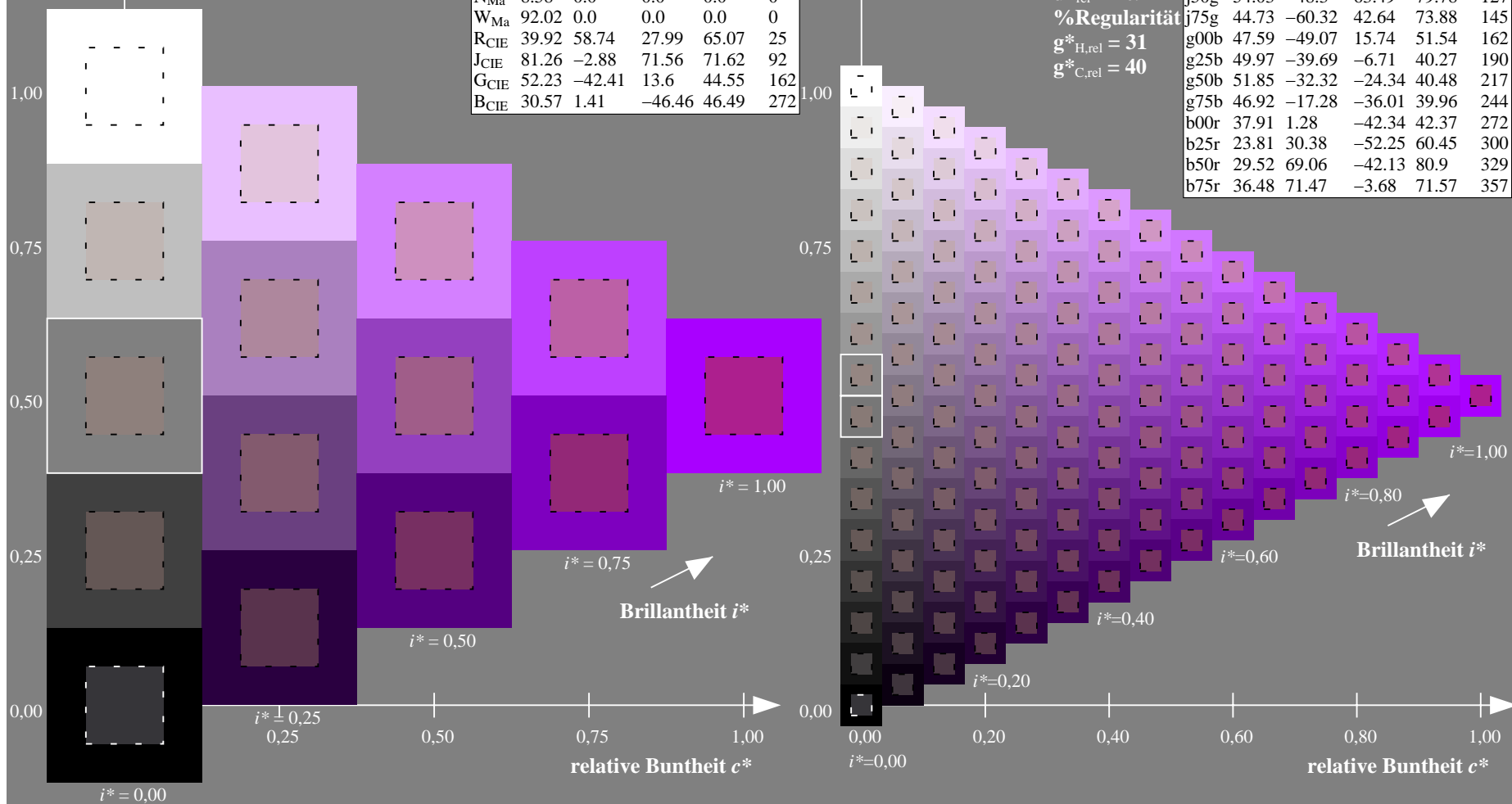
%Regularität

$g^*_{H,rel} = 31$

$g^*_{C,rel} = 40$

FRS09_92aM; adaptierte CIELAB-Daten

	$L^*=L_a^*$	a_a^*	b_a^*	$C^*_{ab,a}$	$h^*_{ab,a}$
r00j	35.47	63.32	30.17	70.15	25
r25j	39.12	54.56	49.45	73.64	42
r50j	50.64	39.15	64.89	75.79	59
r75j	64.01	21.26	82.83	85.52	76
j00g	83.18	-4.37	108.53	108.62	92
j25g	66.73	-29.88	83.06	88.28	110
j50g	54.03	-48.3	63.49	79.78	127
j75g	44.73	-60.32	42.64	73.88	145
g00b	47.59	-49.07	15.74	51.54	162
g25b	49.97	-39.69	-6.71	40.27	190
g50b	51.85	-32.32	-24.34	40.48	217
g75b	46.92	-17.28	-36.01	39.96	244
b00r	37.91	1.28	-42.34	42.37	272
b25r	23.81	30.38	-52.25	60.45	300
b50r	29.52	69.06	-42.13	80.9	329
b75r	36.48	71.47	-3.68	71.57	357



Ein und Ausgabe: Farbmetrisches Drucker-Reflektiv-System FRS09_92aM für relativen CIELAB-Buntton $h^* = lab^*h^* = h_{ab}/360 = 357/360 = 0.992$ $u^* = b75r$

Daten für jede Farbe:

lab^*ch^* und lab^*icu^*

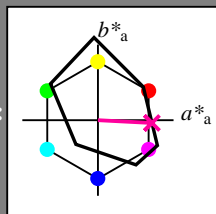
Elementar-Bunttontext:

$u^* = b75r$

Kontrastreduzierungsfaktor:

$c_R = 1.0$

Dreiecks-Helligkeit i^*



FRS09_92aM; adaptierte CIELAB-Daten

	$L^*=L^*_a$	a^*_a	b^*_a	$C^*_{ab,a}$	$h^*_{ab,a}$
O _{Ma}	35.06	60.0	44.0	74.4	36
Y _{Ma}	83.77	-5.16	109.32	109.44	93
L _{Ma}	44.13	-62.66	48.24	79.09	142
C _{Ma}	52.66	-29.13	-31.98	43.27	228
V _{Ma}	14.15	50.3	-59.03	77.57	310
M _{Ma}	37.37	78.64	-33.49	85.48	337
N _{Ma}	8.58	0.0	0.0	0.0	0
W _{Ma}	92.02	0.0	0.0	0.0	0
R _{CIE}	39.92	58.74	27.99	65.07	25
J _{CIE}	81.26	-2.88	71.56	71.62	92
G _{CIE}	52.23	-42.41	13.6	44.55	162
B _{CIE}	30.57	1.41	-46.46	46.49	272

Daten für Maximalfarbe (Ma):

$LAB^*LAB^*_{Ma}$: 36 71 -3

$LAB^*LCH^*_{Ma}$: 36 72 357

$lab^*rgb^*_{Ma}$: 1.0 0.0 0.5

$lab^*olv^*_{Ma}$: 1.0 0.0 0.62

Dreiecks-Helligkeit i^*

%Umfang

$u^*_{rel} = 109$

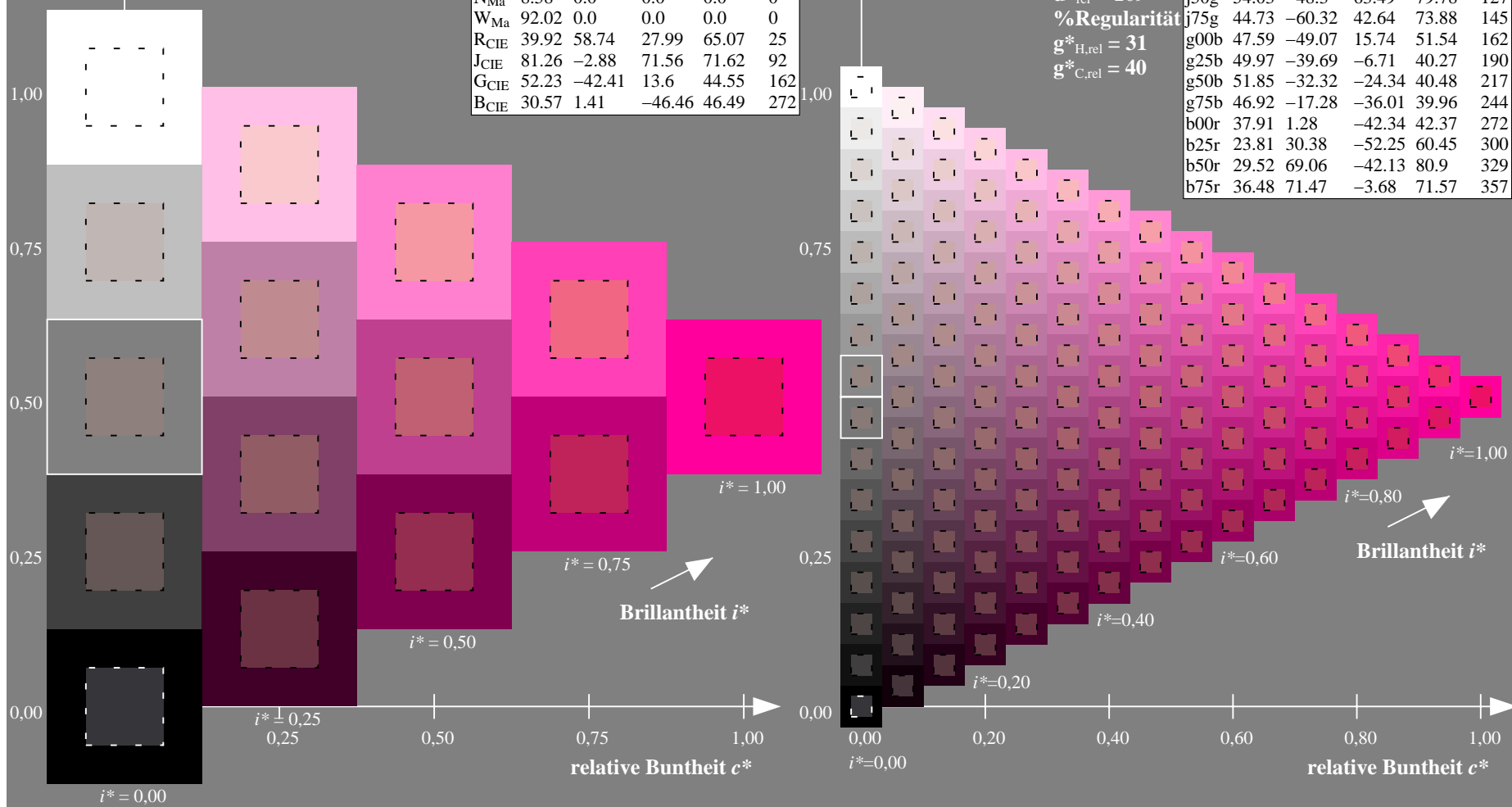
%Regularität

$g^*_{H,rel} = 31$

$g^*_{C,rel} = 40$

FRS09_92aM; adaptierte CIELAB-Daten

	$L^*=L^*_a$	a^*_a	b^*_a	$C^*_{ab,a}$	$h^*_{ab,a}$
r00j	35.47	63.32	30.17	70.15	25
r25j	39.12	54.56	49.45	73.64	42
r50j	50.64	39.15	64.89	75.79	59
r75j	64.01	21.26	82.83	85.52	76
j00g	83.18	-4.37	108.53	108.62	92
j25g	66.73	-29.88	83.06	88.28	110
j50g	54.03	-48.3	63.49	79.78	127
j75g	44.73	-60.32	42.64	73.88	145
g00b	47.59	-49.07	15.74	51.54	162
g25b	49.97	-39.69	-6.71	40.27	190
g50b	51.85	-32.32	-24.34	40.48	217
g75b	46.92	-17.28	-36.01	39.96	244
b00r	37.91	1.28	-42.34	42.37	272
b25r	23.81	30.38	-52.25	60.45	300
b50r	29.52	69.06	-42.13	80.9	329
b75r	36.48	71.47	-3.68	71.57	357

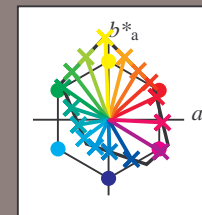


Siehe ähnliche Dateien: <http://www.ps.bam.de/Dg92/>; www.ps.bam.de/Dg92/HTML
Technische Information: <http://www.ps.bam.de> Version 2.1, io=1,1, ColSpx=0



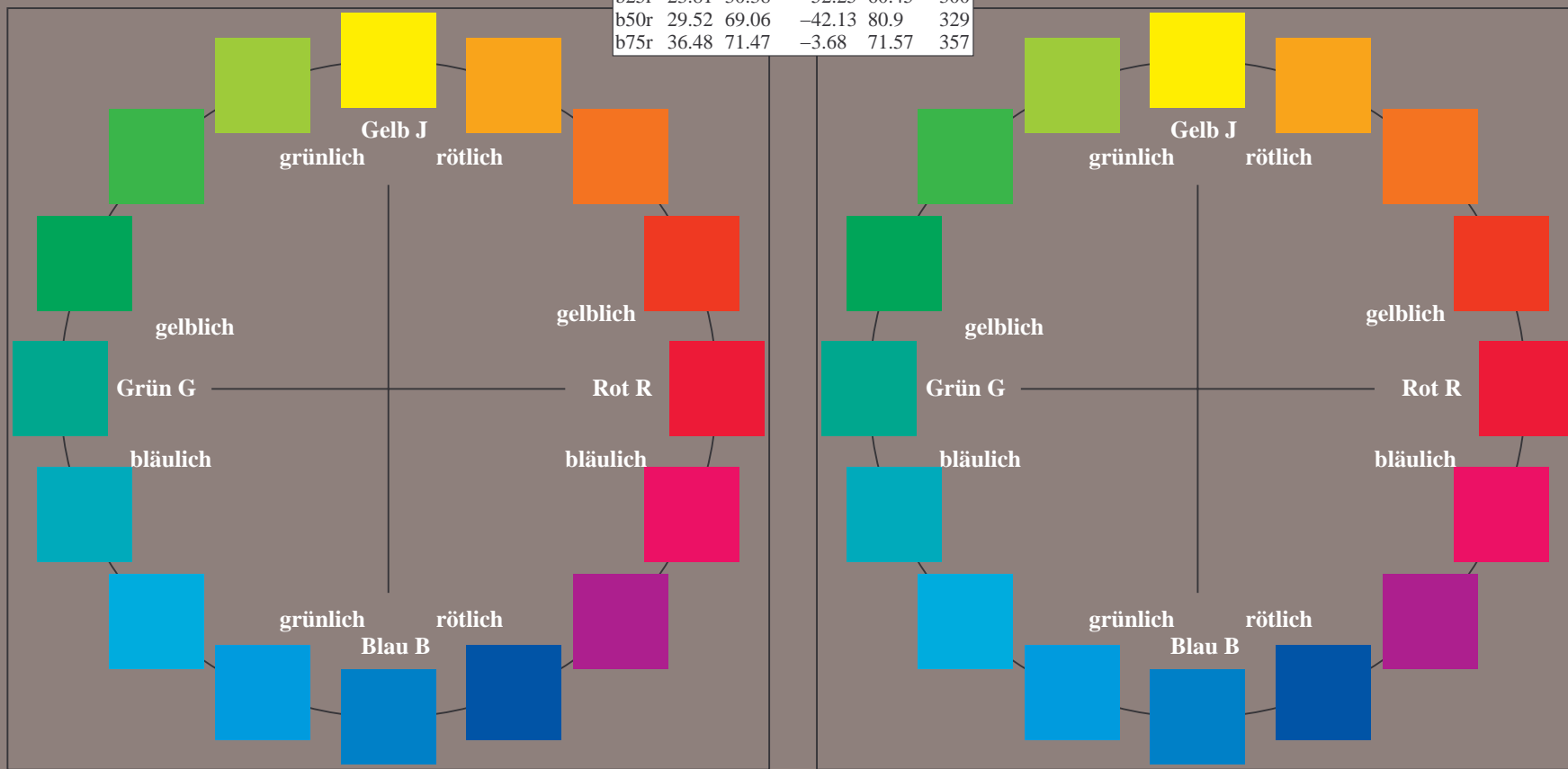
Ein und Ausgabe:
Farbmetrisches Drucker-Reflektiv-System FRS09_92aM
Daten für jede Farbe:
*lab*_{ich}** und *lab*_{icu}**
Elementar-Bunttontext:
*u** = 16 Buntttöne *r00j*, *r25j*, ..., *b75r*
Kontrastreduzierungsfaktor:
c_R = 1.0

FRS09_92aM; adaptierte CIELAB-Daten					
	<i>L*</i> = <i>L*</i> _a	<i>a*</i> _a	<i>b*</i> _a	<i>C*</i> _{ab,a}	<i>h*</i> _{ab,a}
r00j	35.47	63.32	30.17	70.15	25
r25j	39.12	54.56	49.45	73.64	42
r50j	50.64	39.15	64.89	75.79	59
r75j	64.01	21.26	82.83	85.52	76
j00g	83.18	-4.37	108.53	108.62	92
j25g	66.73	-29.88	83.06	88.28	110
j50g	54.03	-48.3	63.49	79.78	127
j75g	44.73	-60.32	42.64	73.88	145
g00b	47.59	-49.07	15.74	51.54	162
g25b	49.97	-39.69	-6.71	40.27	190
g50b	51.85	-32.32	-24.34	40.48	217
g75b	46.92	-17.28	-36.01	39.96	244
b00r	37.91	1.28	-42.34	42.37	272
b25r	23.81	30.38	-52.25	60.45	300
b50r	29.52	69.06	-42.13	80.9	329
b75r	36.48	71.47	-3.68	71.57	357



%Umfang
*u**_{rel} = 109
%Regularität
*g**_{H,rel} = 31
*g**_{C,rel} = 40

FRS09_92aM; adaptierte CIELAB-Daten					
	<i>L*</i> = <i>L*</i> _a	<i>a*</i> _a	<i>b*</i> _a	<i>C*</i> _{ab,a}	<i>h*</i> _{ab,a}
O _{Ma}	35.06	60.0	44.0	74.4	36
Y _{Ma}	83.77	-5.16	109.32	109.44	93
L _{Ma}	44.13	-62.66	48.24	79.09	142
C _{Ma}	52.66	-29.13	-31.98	43.27	228
V _{Ma}	14.15	50.3	-59.03	77.57	310
M _{Ma}	37.37	78.64	-33.49	85.48	337
N _{Ma}	8.58	0.0	0.0	0.0	0
W _{Ma}	92.02	0.0	0.0	0.0	0
R _{CIE}	39.92	58.74	27.99	65.07	25
J _{CIE}	81.26	-2.88	71.56	71.62	92
G _{CIE}	52.23	-42.41	13.6	44.55	162
B _{CIE}	30.57	1.41	-46.46	46.49	272



Ein und Ausgabe: Farbmétrisches Drucker-Reflektiv-System FRS09_92aM für relativen CIELAB-Bunnton $h^* = lab^*h^* = h_{ab}/360 = 25/360 = 0.071$ $u^* = r00j$

Daten für jede Farbe:

*lab*tch** und *lab*icu**

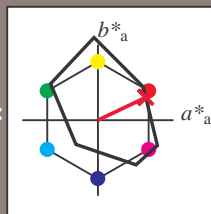
Elementar-Bunttontext:

$$u^* = r00j$$

Kontrastreduzierungsfaktor:

 $c_R = 1.0$

K Dreiecks-Helligkeit t^*



FRS09_92aM; adaptierte CIELAB-Daten					
	L^*_a	a^*_a	b^*_a	$C^*_{ab,a}$	$h^*_{ab,a}$
O _{Ma}	35.06	60.0	44.0	74.4	36
Y _{Ma}	83.77	-5.16	109.32	109.44	93
L _{Ma}	44.13	-62.66	48.24	79.09	142
C _{Ma}	52.66	-29.13	-31.98	43.27	228
V _{Ma}	14.15	50.3	-59.03	77.57	310
M _{Ma}	37.37	78.64	-33.49	85.48	337
N _{Ma}	8.58	0.0	0.0	0.0	0
W _{Ma}	92.02	0.0	0.0	0.0	0
R _{CIE}	39.92	58.74	27.99	65.07	25
J _{CIE}	81.26	-2.88	71.56	71.62	92
G _{CIE}	52.23	-42.41	13.6	44.55	162
B _{CIE}	30.57	1.41	-46.46	46.49	272

Daten für Maximalfarbe (Ma):

*LAB*LAB**_{M_a}: 35 63 30

LAP*LCH* 35 70 25

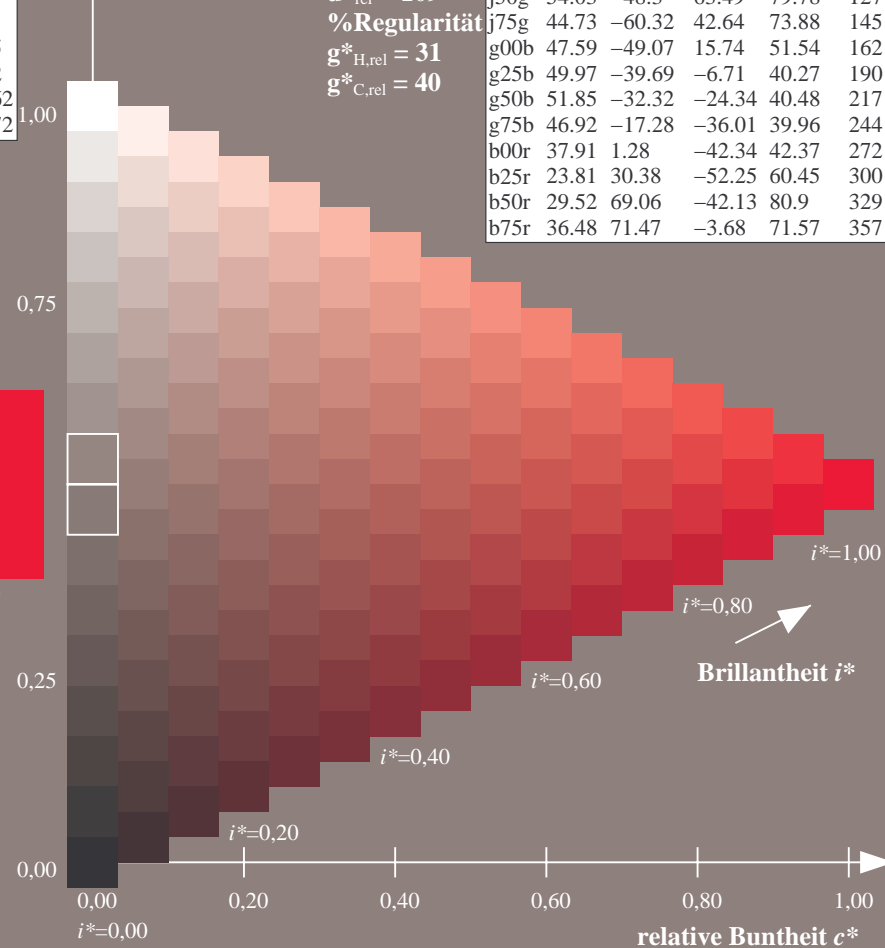
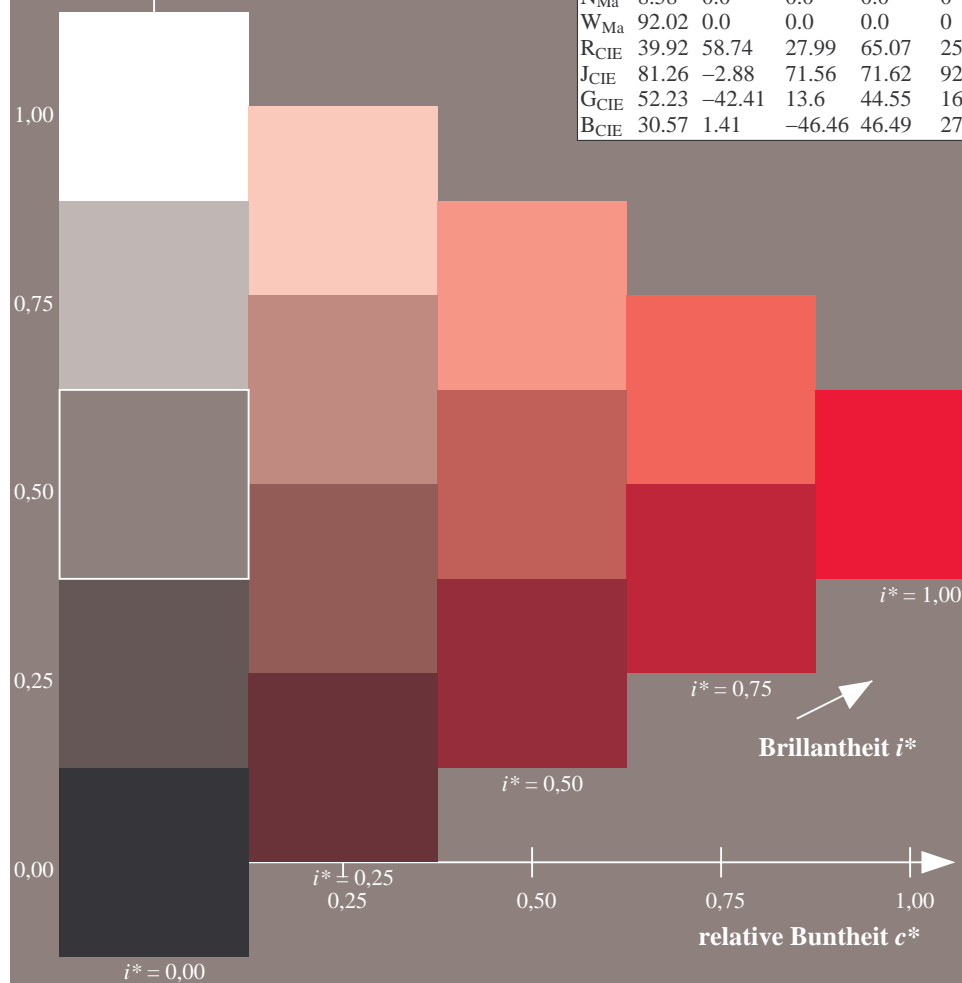
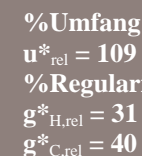
LAB'LCH*Ma: 55 70 2

*lab*rgb*_Ma: 1.0 0.0 0.0*

*lab*olv**_{Ma}: 1.0 0.0 0.18

Dreiecks-Helligkeit t^*

FRS09_92aM; adaptierte CIELAB-Daten					
	L^*_a	a^*_a	b^*_a	$C^*_{ab,a}$	$h^*_{ab,a}$
r00j	35.47	63.32	30.17	70.15	25
r25j	39.12	54.56	49.45	73.64	42
r50j	50.64	39.15	64.89	75.79	59
r75j	64.01	21.26	82.83	85.52	76
j00g	83.18	-4.37	108.53	108.62	92
j25g	66.73	-29.88	83.06	88.28	110
j50g	54.03	-48.3	63.49	79.78	127
j75g	44.73	-60.32	42.64	73.88	145
g00b	47.59	-49.07	15.74	51.54	162
g25b	49.97	-39.69	-6.71	40.27	190
g50b	51.85	-32.32	-24.34	40.48	217
g75b	46.92	-17.28	-36.01	39.96	244
b00r	37.91	1.28	-42.34	42.37	272
b25r	23.81	30.38	-52.25	60.45	300
b50r	29.52	69.06	-42.13	80.9	329
b75r	36.48	71.47	-3.68	71.57	357



Ein und Ausgabe: Farbmetrisches Drucker-Reflektiv-System FRS09_92aM für relativen CIELAB-Buntton $h^* = lab^*h^* = h_{ab}/360 = 42/360 = 0.117$ $u^* = r25j$

Daten für jede Farbe:

lab^*ch^* und lab^*icu^*

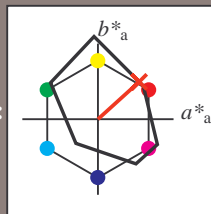
Elementar-Bunttontext:

$u^* = r25j$

Kontrastreduzierungsfaktor:

$c_R = 1.0$

Dreiecks-Helligkeit i^*



FRS09_92aM; adaptierte CIELAB-Daten

	$L^*=L_a^*$	a_a^*	b_a^*	$C^*_{ab,a}$	$h^*_{ab,a}$
O _{Ma}	35.06	60.0	44.0	74.4	36
Y _{Ma}	83.77	-5.16	109.32	109.44	93
L _{Ma}	44.13	-62.66	48.24	79.09	142
C _{Ma}	52.66	-29.13	-31.98	43.27	228
V _{Ma}	14.15	50.3	-59.03	77.57	310
M _{Ma}	37.37	78.64	-33.49	85.48	337
N _{Ma}	8.58	0.0	0.0	0.0	0
W _{Ma}	92.02	0.0	0.0	0.0	0
R _{CIE}	39.92	58.74	27.99	65.07	25
J _{CIE}	81.26	-2.88	71.56	71.62	92
G _{CIE}	52.23	-42.41	13.6	44.55	162
B _{CIE}	30.57	1.41	-46.46	46.49	272

Daten für Maximalfarbe (Ma):

$LAB^*LAB^*_{Ma}$: 39 55 49

$LAB^*LCH^*_{Ma}$: 39 74 42

$lab^*rgb^*_{Ma}$: 1.0 0.25 0.0

$lab^*olv^*_{Ma}$: 1.0 0.08 0.0

Dreiecks-Helligkeit i^*

%Umfang

$u^*_{rel} = 109$

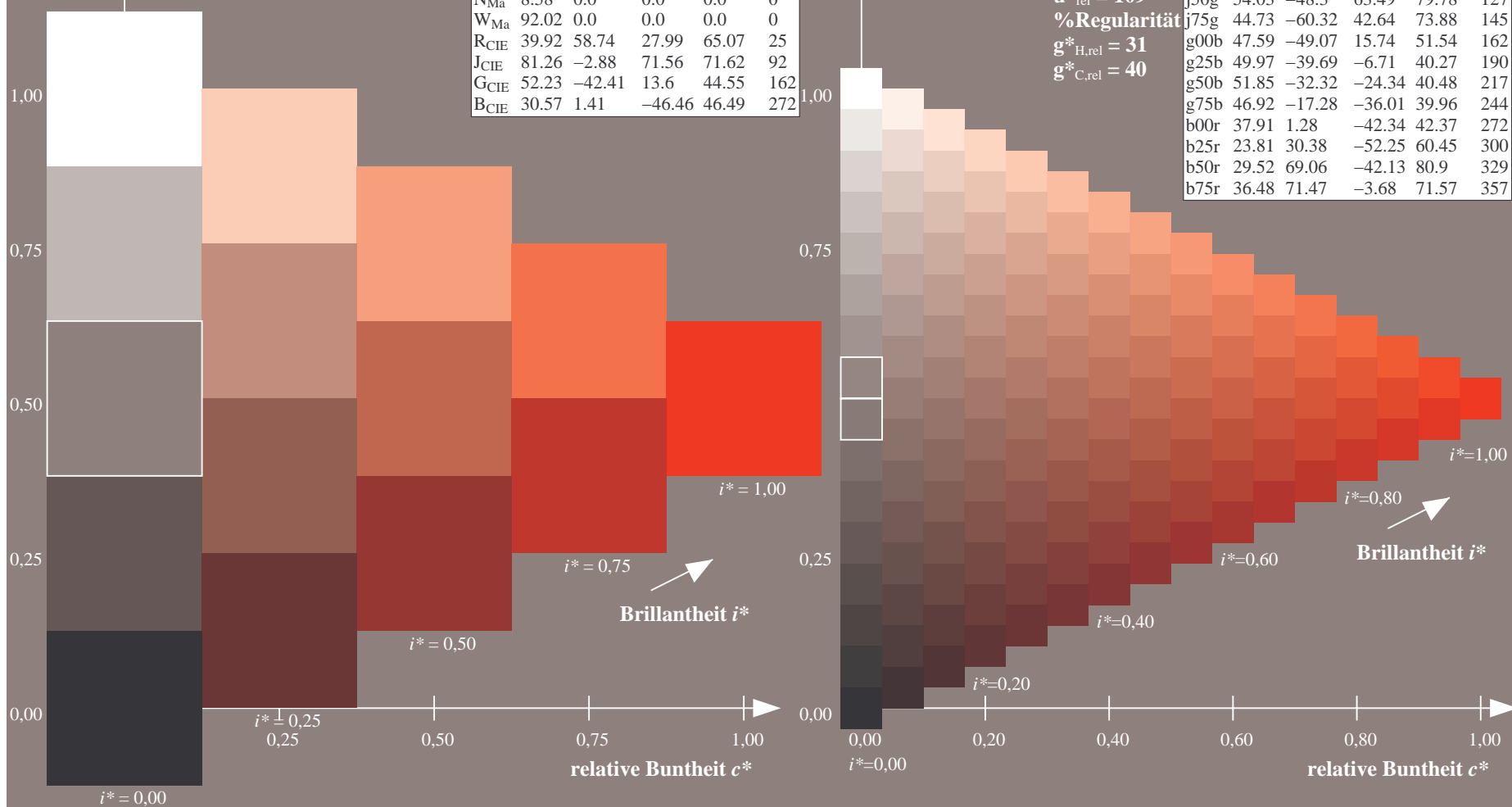
%Regularität

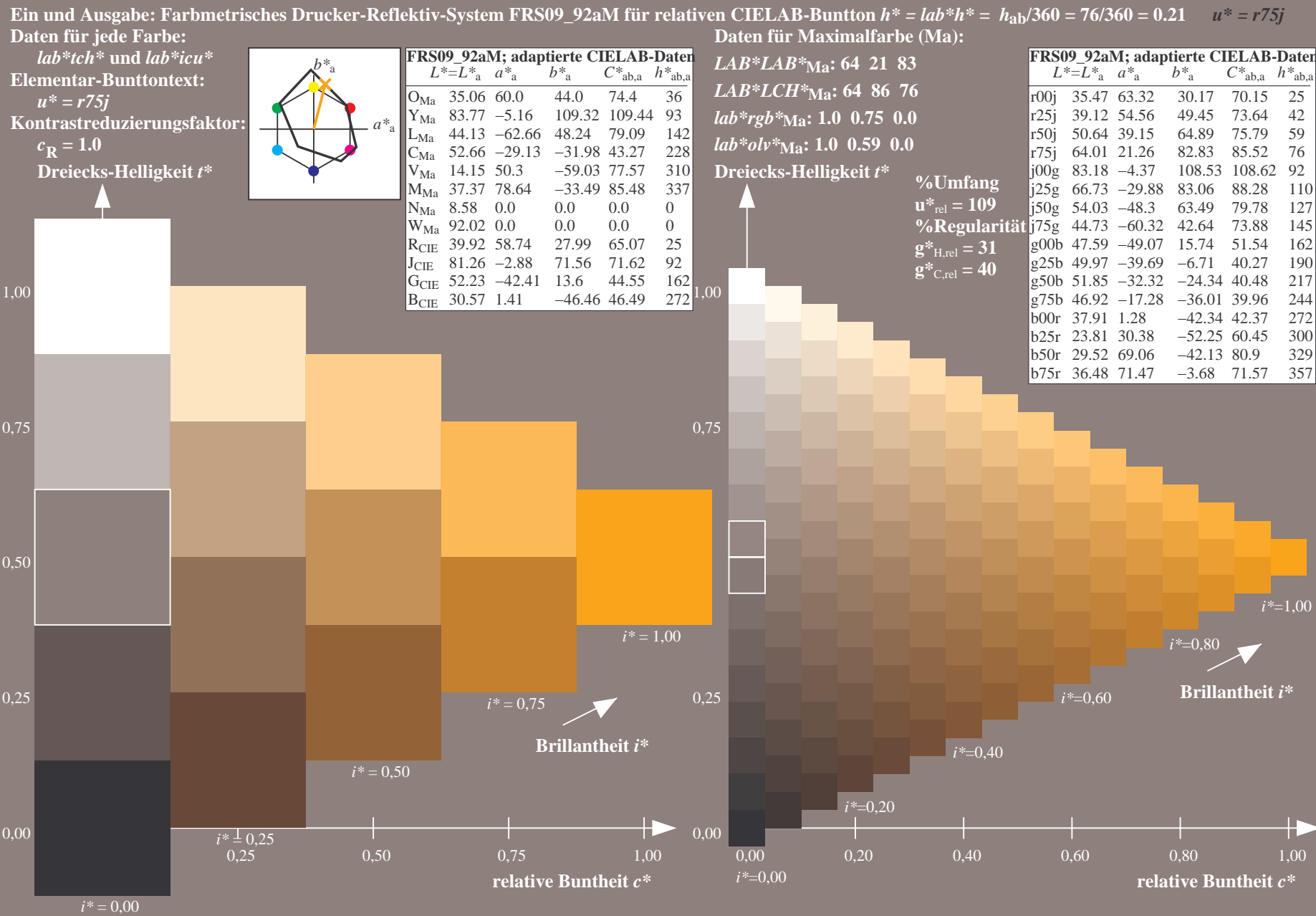
$g^*_{H,rel} = 31$

$g^*_{C,rel} = 40$

FRS09_92aM; adaptierte CIELAB-Daten

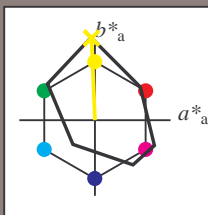
	$L^*=L_a^*$	a_a^*	b_a^*	$C^*_{ab,a}$	$h^*_{ab,a}$
r00j	35.47	63.32	30.17	70.15	25
r25j	39.12	54.56	49.45	73.64	42
r50j	50.64	39.15	64.89	75.79	59
r75j	64.01	21.26	82.83	85.52	76
j00g	83.18	-4.37	108.53	108.62	92
j25g	66.73	-29.88	83.06	88.28	110
j50g	54.03	-48.3	63.49	79.78	127
j75g	44.73	-60.32	42.64	73.88	145
g00b	47.59	-49.07	15.74	51.54	162
g25b	49.97	-39.69	-6.71	40.27	190
g50b	51.85	-32.32	-24.34	40.48	217
g75b	46.92	-17.28	-36.01	39.96	244
b00r	37.91	1.28	-42.34	42.37	272
b25r	23.81	30.38	-52.25	60.45	300
b50r	29.52	69.06	-42.13	80.9	329
b75r	36.48	71.47	-3.68	71.57	357





Siehe ähnliche Dateien: <http://www.ps.bam.de/Dg92/>; www.ps.bam.de/Dg92.HTM
Technische Information: <http://www.ps.bam.de> Version 2.1, io=1,1, ColSpx=0

Ein und Ausgabe: Farbmetrisches Drucker-Reflektiv-System FRS09_92aM für relativen CIELAB-Buntton $h^* = lab^*h^* = h_{ab}/360 = 92/360 = 0.256$ $u^* = j00g$
Daten für jede Farbe:
 lab^*ch^* und lab^*icu^*
Elementar-Bunttontext:
 $u^* = j00g$
Kontrastreduzierungsfaktor:
 $c_R = 1.0$
Dreiecks-Helligkeit i^*



FRS09_92aM; adaptierte CIELAB-Daten					
	$L^*=L^*_a$	a^*_a	b^*_a	$C^*_{ab,a}$	$h^*_{ab,a}$
O _{Ma}	35.06	60.0	44.0	74.4	36
Y _{Ma}	83.77	-5.16	109.32	109.44	93
L _{Ma}	44.13	-62.66	48.24	79.09	142
C _{Ma}	52.66	-29.13	-31.98	43.27	228
V _{Ma}	14.15	50.3	-59.03	77.57	310
M _{Ma}	37.37	78.64	-33.49	85.48	337
N _{Ma}	8.58	0.0	0.0	0.0	0
W _{Ma}	92.02	0.0	0.0	0.0	0
R _{CIE}	39.92	58.74	27.99	65.07	25
J _{CIE}	81.26	-2.88	71.56	71.62	92
G _{CIE}	52.23	-42.41	13.6	44.55	162
B _{CIE}	30.57	1.41	-46.46	46.49	272

Daten für Maximalfarbe (Ma):

$LAB^*LAB^*_{Ma}$: 83 -3 109

$LAB^*LCH^*_{Ma}$: 83 109 92

$lab^*rgb^*_{Ma}$: 1.0 1.0 0.0

$lab^*olv^*_{Ma}$: 1.0 0.99 0.0

Dreiecks-Helligkeit i^*

%Umfang

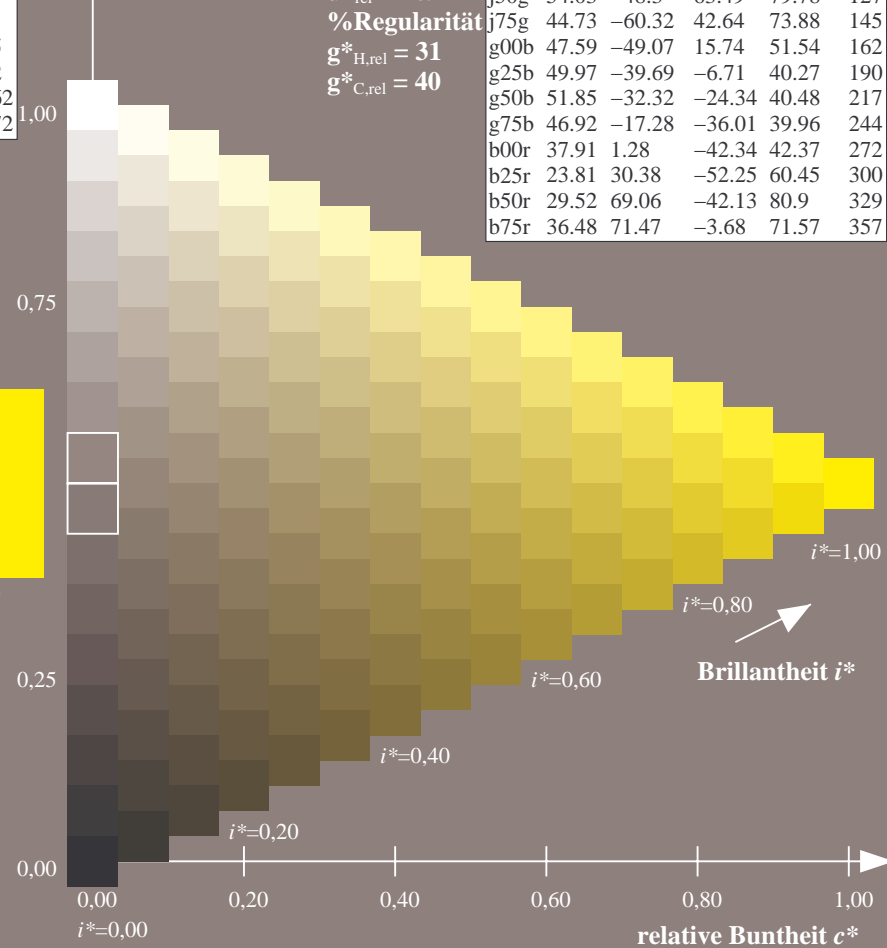
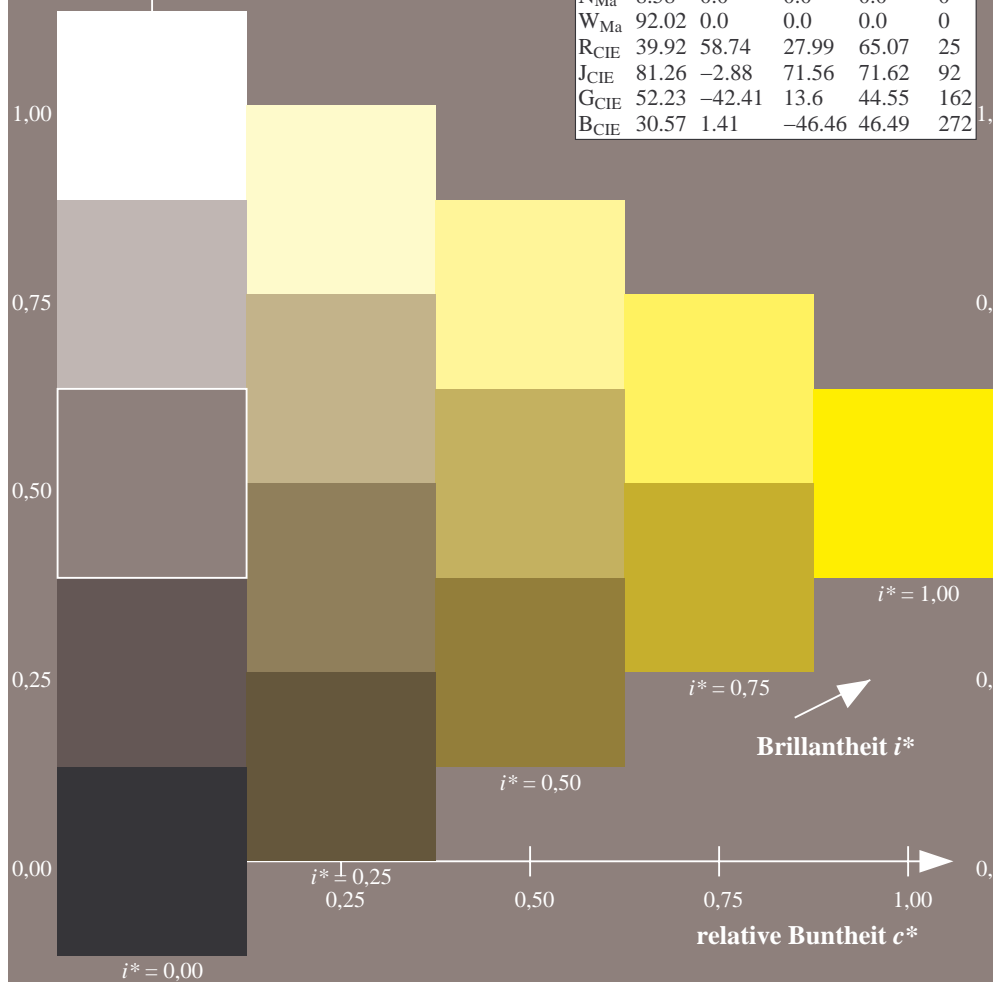
$u^*_{rel} = 109$

%Regularität

$g^*_{H,rel} = 31$

$g^*_{C,rel} = 40$

FRS09_92aM; adaptierte CIELAB-Daten					
	$L^*=L^*_a$	a^*_a	b^*_a	$C^*_{ab,a}$	$h^*_{ab,a}$
r00j	35.47	63.32	30.17	70.15	25
r25j	39.12	54.56	49.45	73.64	42
r50j	50.64	39.15	64.89	75.79	59
r75j	64.01	21.26	82.83	85.52	76
j00g	83.18	-4.37	108.53	108.62	92
j25g	66.73	-29.88	83.06	88.28	110
j50g	54.03	-48.3	63.49	79.78	127
j75g	44.73	-60.32	42.64	73.88	145
g00b	47.59	-49.07	15.74	51.54	162
g25b	49.97	-39.69	-6.71	40.27	190
g50b	51.85	-32.32	-24.34	40.48	217
g75b	46.92	-17.28	-36.01	39.96	244
b00r	37.91	1.28	-42.34	42.37	272
b25r	23.81	30.38	-52.25	60.45	300
b50r	29.52	69.06	-42.13	80.9	329
b75r	36.48	71.47	-3.68	71.57	357



Ein und Ausgabe: Farbmetrisches Drucker-Reflektiv-System FRS09_92aM für relativen CIELAB-Buntton $h^* = lab^*h^* = h_{ab}/360 = 110/360 = 0.305$ $u^* = j25g$

Daten für jede Farbe:

lab^*ch^* und lab^*icu^*

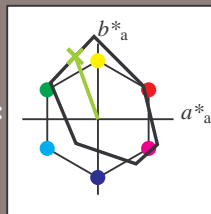
Elementar-Bunttontext:

$u^* = j25g$

Kontrastreduzierungsfaktor:

$c_R = 1.0$

Dreiecks-Helligkeit i^*



FRS09_92aM; adaptierte CIELAB-Daten

	$L^*=L^*_a$	a^*_a	b^*_a	$C^*_{ab,a}$	$h^*_{ab,a}$
O _{Ma}	35.06	60.0	44.0	74.4	36
Y _{Ma}	83.77	-5.16	109.32	109.44	93
L _{Ma}	44.13	-62.66	48.24	79.09	142
C _{Ma}	52.66	-29.13	-31.98	43.27	228
V _{Ma}	14.15	50.3	-59.03	77.57	310
M _{Ma}	37.37	78.64	-33.49	85.48	337
N _{Ma}	8.58	0.0	0.0	0.0	0
W _{Ma}	92.02	0.0	0.0	0.0	0
R _{CIE}	39.92	58.74	27.99	65.07	25
J _{CIE}	81.26	-2.88	71.56	71.62	92
G _{CIE}	52.23	-42.41	13.6	44.55	162
B _{CIE}	30.57	1.41	-46.46	46.49	272

Daten für Maximalfarbe (Ma):

$LAB^*LAB^*_{Ma}$: 67 -29 83

$LAB^*LCH^*_{Ma}$: 67 88 110

$lab^*rgb^*_{Ma}$: 0.75 1.0 0.0

$lab^*olv^*_{Ma}$: 0.57 1.0 0.0

Dreiecks-Helligkeit i^*

%Umfang

$u^*_{rel} = 109$

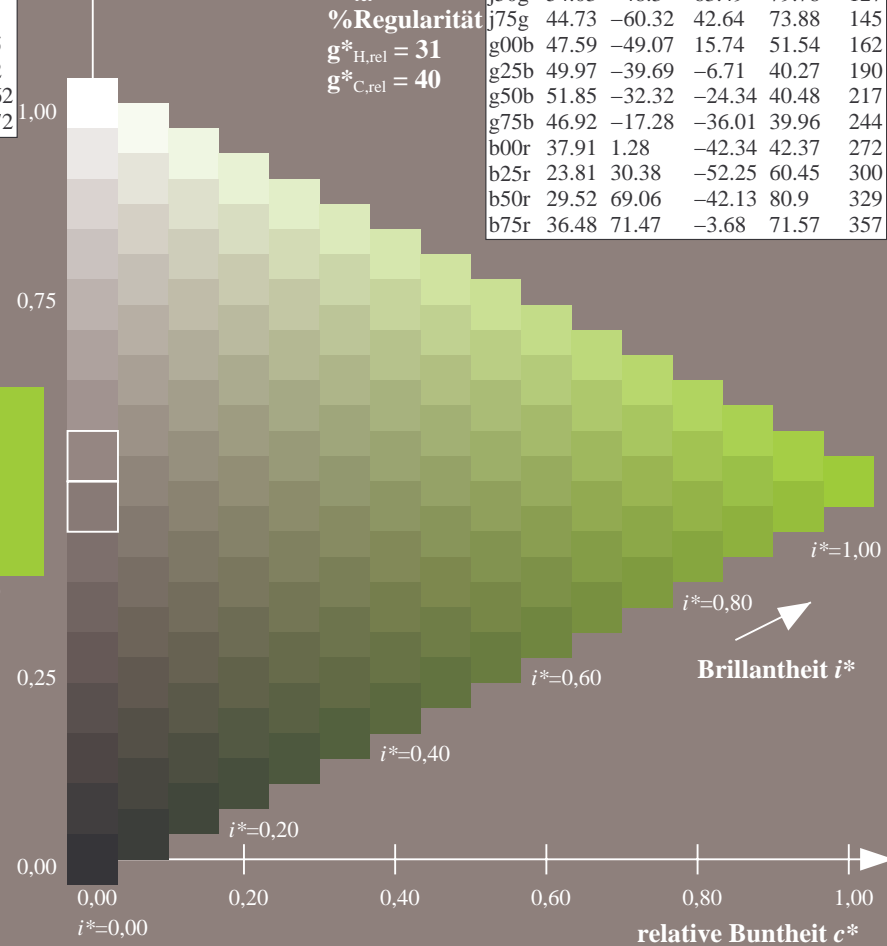
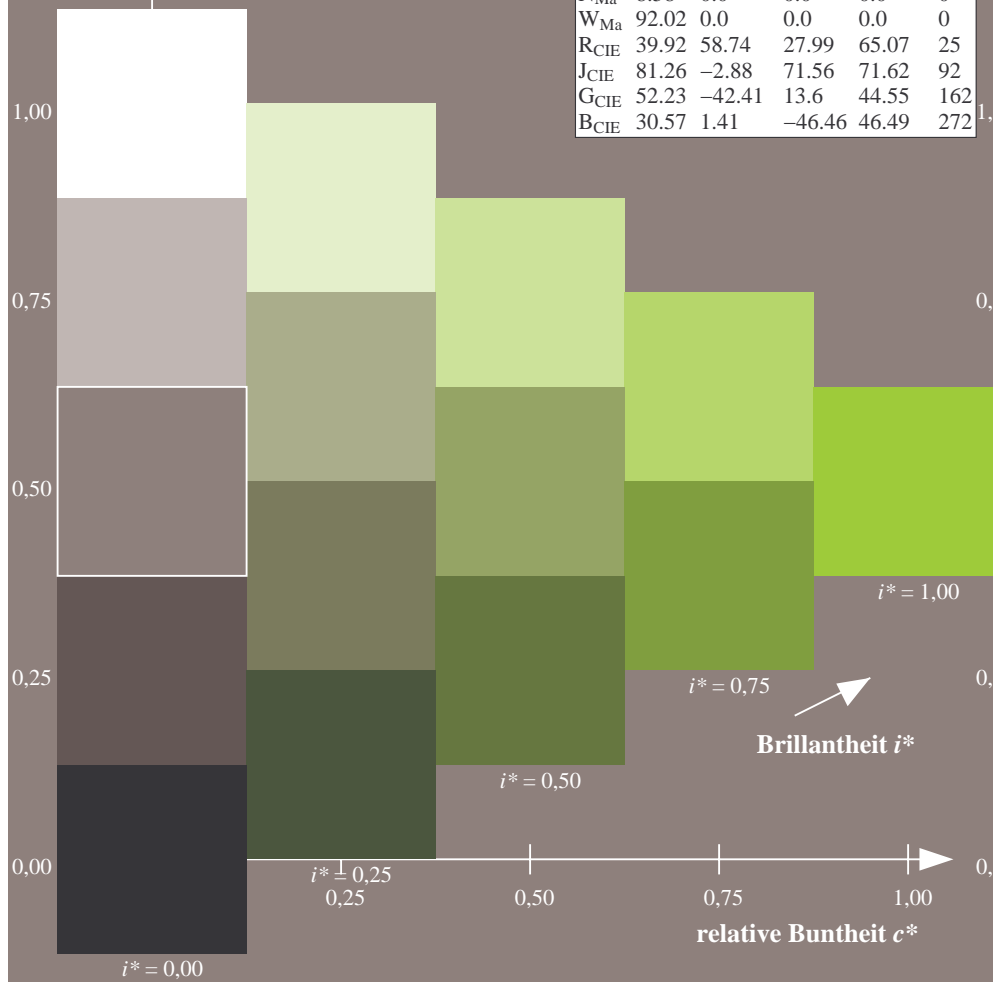
%Regularität

$g^*_{H,rel} = 31$

$g^*_{C,rel} = 40$

FRS09_92aM; adaptierte CIELAB-Daten

	$L^*=L^*_a$	a^*_a	b^*_a	$C^*_{ab,a}$	$h^*_{ab,a}$
r00j	35.47	63.32	30.17	70.15	25
r25j	39.12	54.56	49.45	73.64	42
r50j	50.64	39.15	64.89	75.79	59
r75j	64.01	21.26	82.83	85.52	76
j00g	83.18	-4.37	108.53	108.62	92
j25g	66.73	-29.88	83.06	88.28	110
j50g	54.03	-48.3	63.49	79.78	127
j75g	44.73	-60.32	42.64	73.88	145
g00b	47.59	-49.07	15.74	51.54	162
g25b	49.97	-39.69	-6.71	40.27	190
g50b	51.85	-32.32	-24.34	40.48	217
g75b	46.92	-17.28	-36.01	39.96	244
b00r	37.91	1.28	-42.34	42.37	272
b25r	23.81	30.38	-52.25	60.45	300
b50r	29.52	69.06	-42.13	80.9	329
b75r	36.48	71.47	-3.68	71.57	357



Ein und Ausgabe: Farbmétrisches Drucker-Reflektiv-System FRS09_92aM für relativen CIELAB-Buntton $h^* = lab^*h^* = h_{ab}/360 = 127/360 = 0.354$ $u^* = j50g$

Daten für jede Farbe:

*lab*tch** und *lab*icu**

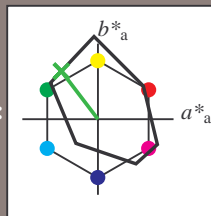
Elementar-Bunttontext:

$$u^* = j50g$$

Kontrastreduzierungsfaktor:

$$c_R = 1.0$$

Dreiecks-Helligkeit t^*



FRS09_92aM; adaptierte CIELAB-Daten						
	L^*_a	a^*_a	b^*_a	$C^*_{ab,a}$	$h^*_{ab,a}$	
O _{Ma}	35.06	60.0	44.0	74.4		36
Y _{Ma}	83.77	-5.16	109.32	109.44		93
L _{Ma}	44.13	-62.66	48.24	79.09		142
C _{Ma}	52.66	-29.13	-31.98	43.27		228
V _{Ma}	14.15	50.3	-59.03	77.57		310
M _{Ma}	37.37	78.64	-33.49	85.48		337
N _{Ma}	8.58	0.0	0.0	0.0		0
W _{Ma}	92.02	0.0	0.0	0.0		0
R _{CIE}	39.92	58.74	27.99	65.07		25
J _{CIE}	81.26	-2.88	71.56	71.62		92
G _{CIE}	52.23	-42.41	13.6	44.55		162
B _{CIE}	30.57	1.41	-46.46	46.49		272

Daten für Maximalfarbe (Ma):

*LAB*LAB**_M: 54 -47 63

LAD*LGII* 54 89 125

LAB*LCH*Ma: 54 80 12

*lab*rgb*_Ma: 0.5 1.0 0.0*

*lab*olv****Ma**: 0.25 1.0 0.0

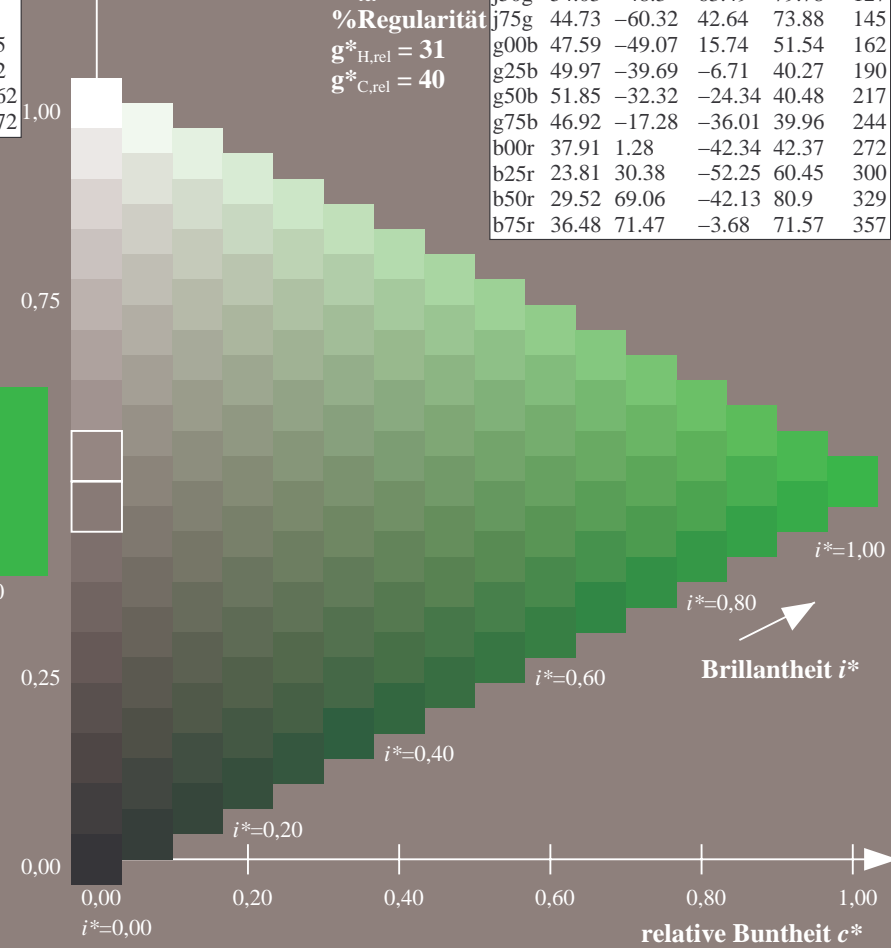
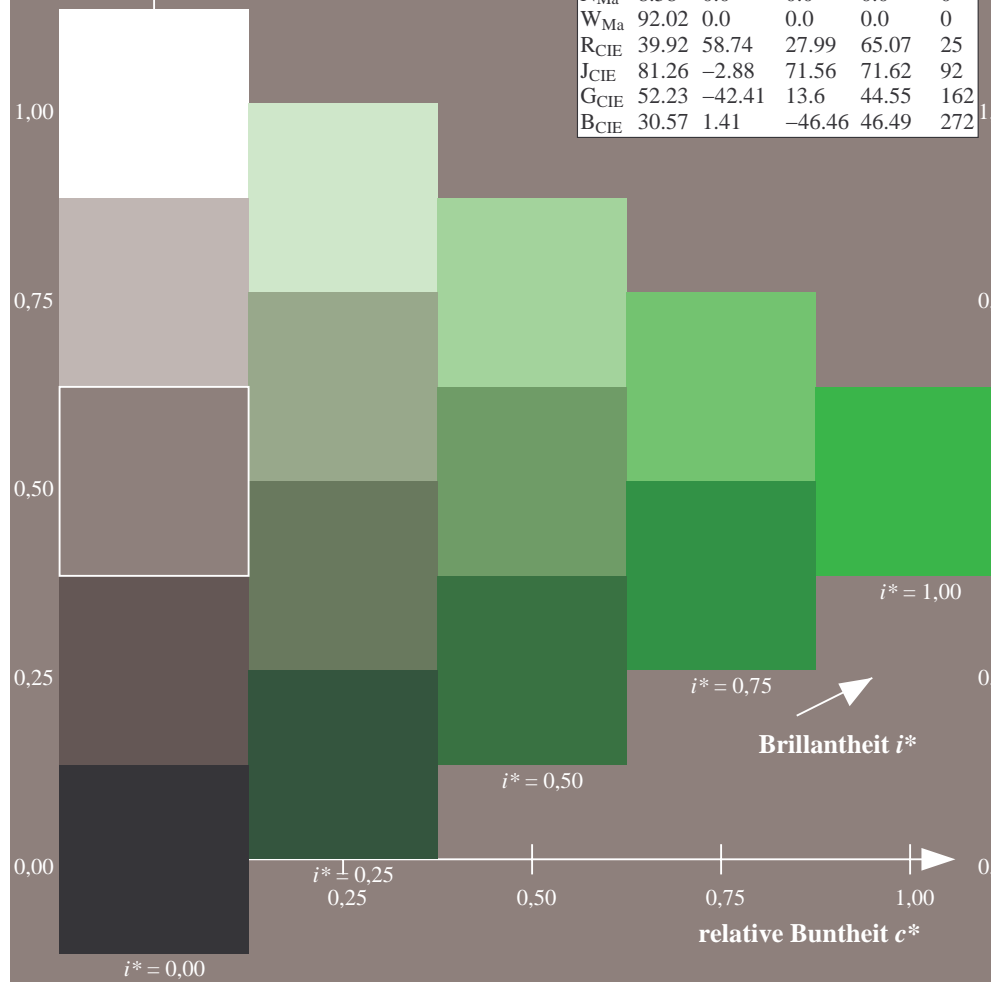
Dreiecks-Helligkeit t^*

FRS09_92aM; adaptierte CIELAB-Daten						
	L^*_a	a^*_a	b^*_a	$C^*_{ab,a}$	$h^*_{ab,a}$	
r00j	35.47	63.32	30.17	70.15	25	
r25j	39.12	54.56	49.45	73.64	42	
r50j	50.64	39.15	64.89	75.79	59	
r75j	64.01	21.26	82.83	85.52	76	
j00g	83.18	-4.37	108.53	108.62	92	
j25g	66.73	-29.88	83.06	88.28	110	
j50g	54.03	-48.3	63.49	79.78	127	
j75g	44.73	-60.32	42.64	73.88	145	
g00b	47.59	-49.07	15.74	51.54	162	
g25b	49.97	-39.69	-6.71	40.27	190	
g50b	51.85	-32.32	-24.34	40.48	217	
g75b	46.92	-17.28	-36.01	39.96	244	
b00r	37.91	1.28	-42.34	42.37	272	
b25r	23.81	30.38	-52.25	60.45	300	
b50r	29.52	69.06	-42.13	80.9	329	
b75r	36.48	71.47	-3.68	71.57	357	

%Umfang

$$\mathbf{u}_{\text{rel}}^* = 109$$

%Regular

$$g^*_{H,rel} = 31$$
$$g^*_{C,rel} = 40$$


Ein und Ausgabe: Farbmetrisches Drucker-Reflektiv-System FRS09_92aM für relativen CIELAB-Buntton $h^* = lab^*h^* = h_{ab}/360 = 145/360 = 0.402$ $u^* = j75g$

Daten für jede Farbe:

lab^*ch^* und lab^*icu^*

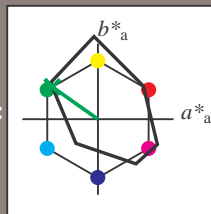
Elementar-Bunttontext:

$u^* = j75g$

Kontrastreduzierungsfaktor:

$c_R = 1.0$

Dreiecks-Helligkeit i^*



FRS09_92aM; adaptierte CIELAB-Daten

	$L^*=L_a^*$	a_a^*	b_a^*	$C^*_{ab,a}$	$h^*_{ab,a}$
O _{Ma}	35.06	60.0	44.0	74.4	36
Y _{Ma}	83.77	-5.16	109.32	109.44	93
L _{Ma}	44.13	-62.66	48.24	79.09	142
C _{Ma}	52.66	-29.13	-31.98	43.27	228
V _{Ma}	14.15	50.3	-59.03	77.57	310
M _{Ma}	37.37	78.64	-33.49	85.48	337
N _{Ma}	8.58	0.0	0.0	0.0	0
W _{Ma}	92.02	0.0	0.0	0.0	0
R _{CIE}	39.92	58.74	27.99	65.07	25
J _{CIE}	81.26	-2.88	71.56	71.62	92
G _{CIE}	52.23	-42.41	13.6	44.55	162
B _{CIE}	30.57	1.41	-46.46	46.49	272

Daten für Maximalfarbe (Ma):

$LAB^*LAB^*_{Ma}$: 45 -59 43

$LAB^*LCH^*_{Ma}$: 45 74 145

$lab^*rgb^*_{Ma}$: 0.25 1.0 0.0

$lab^*olv^*_{Ma}$: 0.0 1.0 0.07

Dreiecks-Helligkeit i^*

%Umfang

$u^*_{rel} = 109$

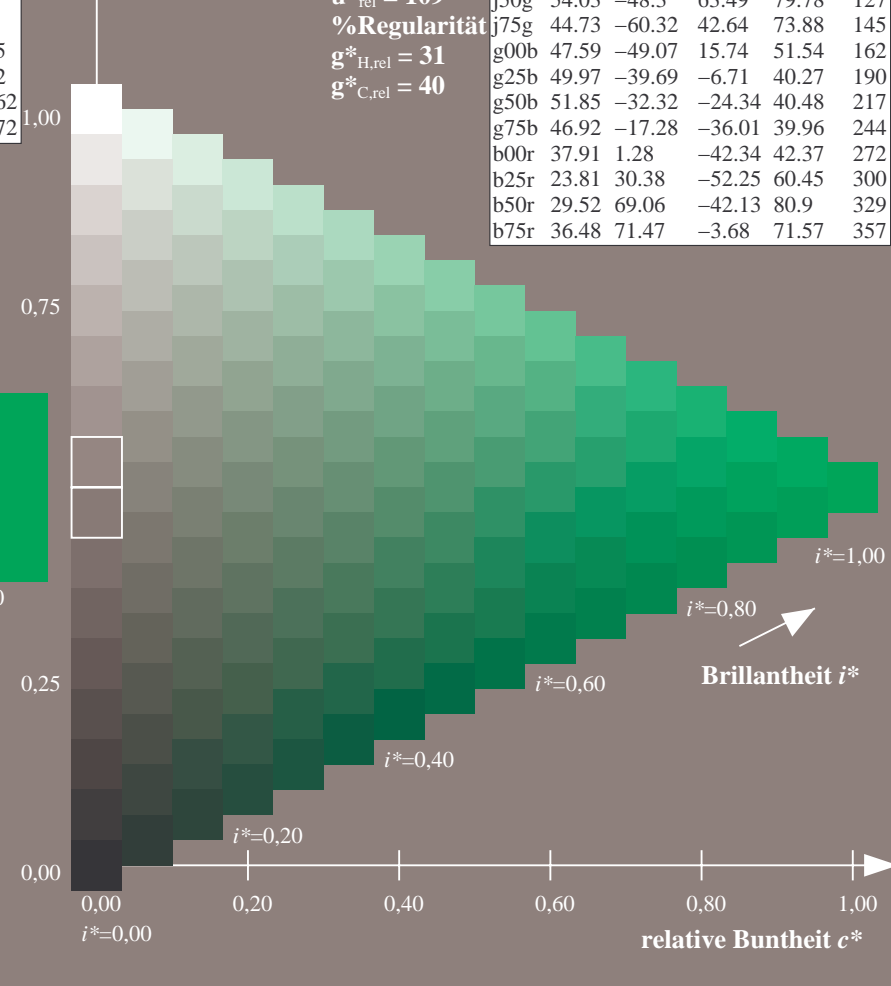
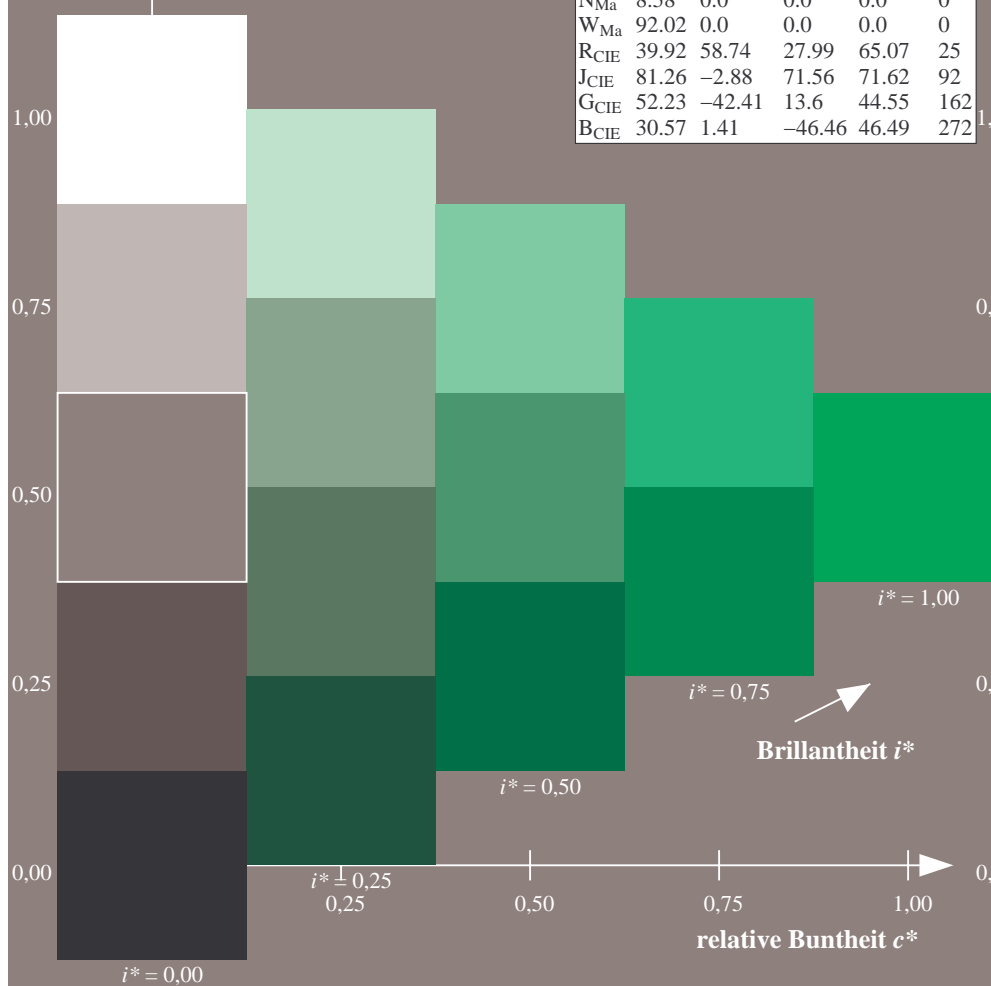
%Regularität

$g^*_{H,rel} = 31$

$g^*_{C,rel} = 40$

FRS09_92aM; adaptierte CIELAB-Daten

	$L^*=L_a^*$	a_a^*	b_a^*	$C^*_{ab,a}$	$h^*_{ab,a}$
r00j	35.47	63.32	30.17	70.15	25
r25j	39.12	54.56	49.45	73.64	42
r50j	50.64	39.15	64.89	75.79	59
r75j	64.01	21.26	82.83	85.52	76
j00g	83.18	-4.37	108.53	108.62	92
j25g	66.73	-29.88	83.06	88.28	110
j50g	54.03	-48.3	63.49	79.78	127
j75g	44.73	-60.32	42.64	73.88	145
g00b	47.59	-49.07	15.74	51.54	162
g25b	49.97	-39.69	-6.71	40.27	190
g50b	51.85	-32.32	-24.34	40.48	217
g75b	46.92	-17.28	-36.01	39.96	244
b00r	37.91	1.28	-42.34	42.37	272
b25r	23.81	30.38	-52.25	60.45	300
b50r	29.52	69.06	-42.13	80.9	329
b75r	36.48	71.47	-3.68	71.57	357



Ein und Ausgabe: Farbmetrisches Drucker-Reflektiv-System FRS09_92aM für relativen CIELAB-Buntton $h^* = lab^*h^* = h_{ab}/360 = 162/360 = 0.451$ $u^* = g00b$

Daten für jede Farbe:

lab^*ch^* und lab^*icu^*

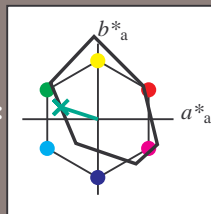
Elementar-Bunttontext:

$u^* = g00b$

Kontrastreduzierungsfaktor:

$c_R = 1.0$

Dreiecks-Helligkeit i^*



FRS09_92aM; adaptierte CIELAB-Daten

	$L^*=L_a^*$	a_a^*	b_a^*	$C^*_{ab,a}$	$h^*_{ab,a}$
O _{Ma}	35.06	60.0	44.0	74.4	36
Y _{Ma}	83.77	-5.16	109.32	109.44	93
L _{Ma}	44.13	-62.66	48.24	79.09	142
C _{Ma}	52.66	-29.13	-31.98	43.27	228
V _{Ma}	14.15	50.3	-59.03	77.57	310
M _{Ma}	37.37	78.64	-33.49	85.48	337
N _{Ma}	8.58	0.0	0.0	0.0	0
W _{Ma}	92.02	0.0	0.0	0.0	0
R _{CIE}	39.92	58.74	27.99	65.07	25
J _{CIE}	81.26	-2.88	71.56	71.62	92
G _{CIE}	52.23	-42.41	13.6	44.55	162
B _{CIE}	30.57	1.41	-46.46	46.49	272

Daten für Maximalfarbe (Ma):

$LAB^*LAB^*_{Ma}$: 48 -48 16

$LAB^*LCH^*_{Ma}$: 48 52 162

$lab^*rgb^*_{Ma}$: 0.0 1.0 0.0

$lab^*olv^*_{Ma}$: 0.0 1.0 0.41

Dreiecks-Helligkeit i^*

%Umfang

$u^*_{rel} = 109$

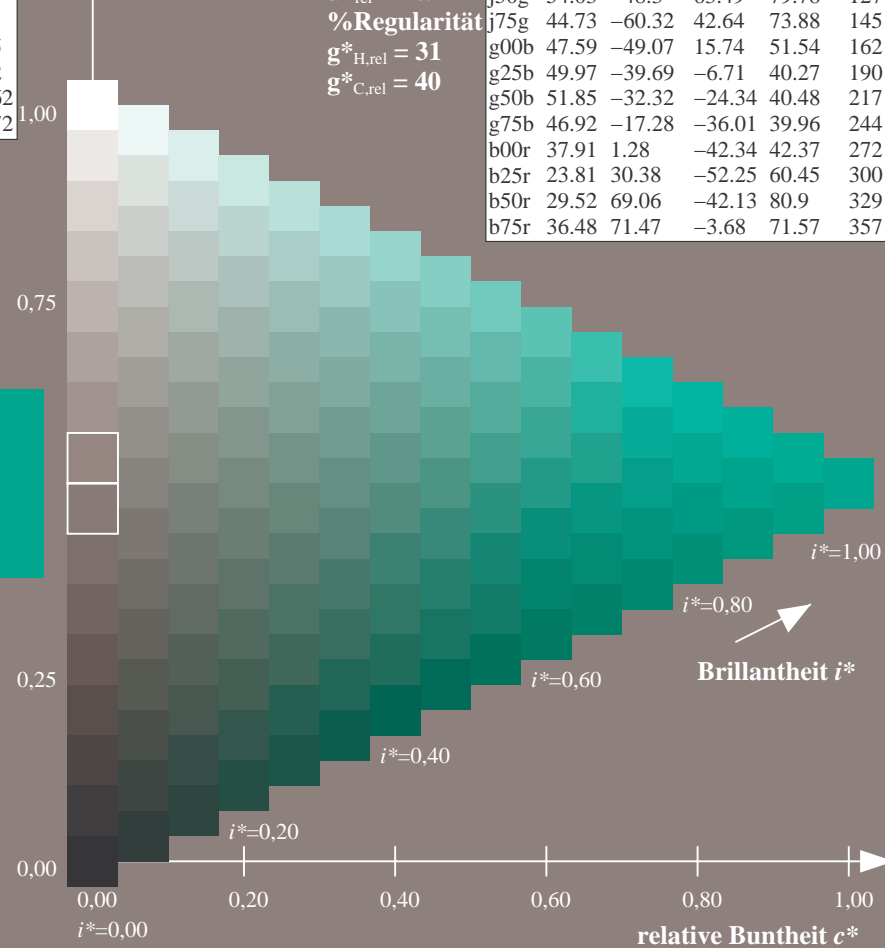
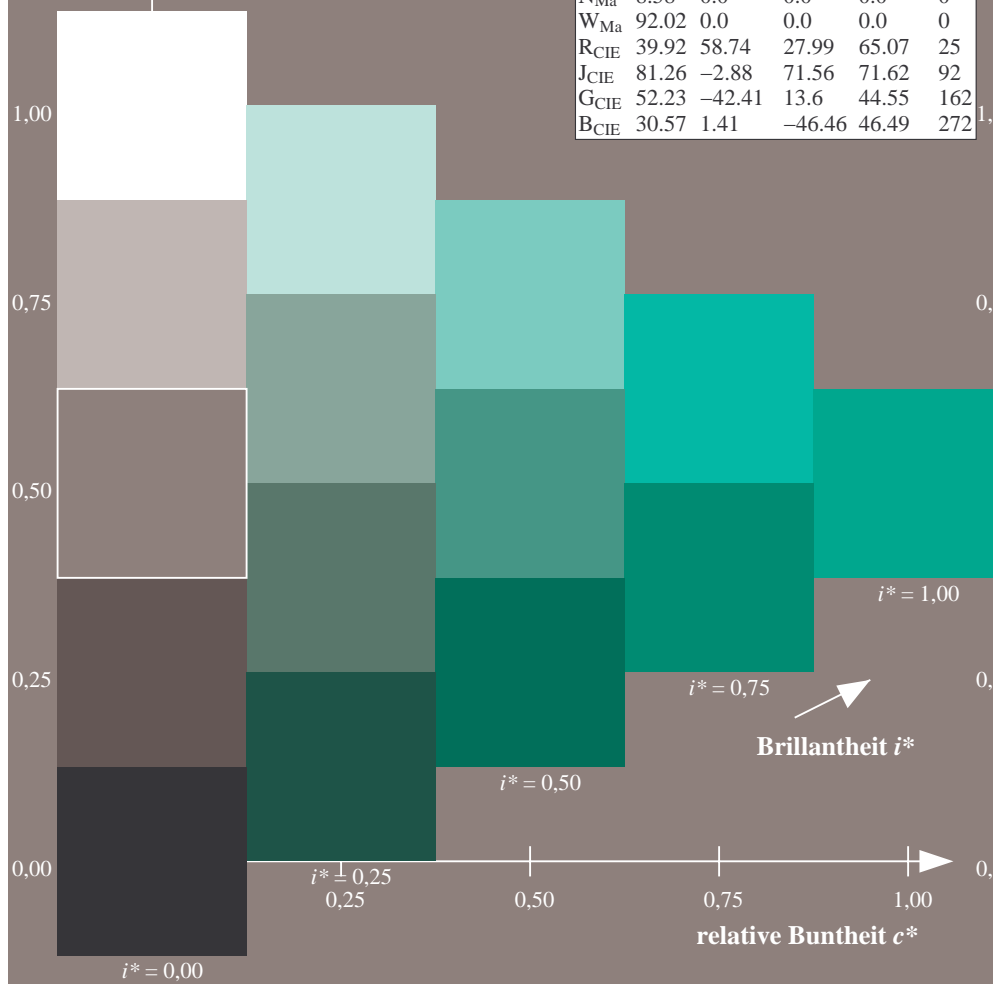
%Regularität

$g^*_{H,rel} = 31$

$g^*_{C,rel} = 40$

FRS09_92aM; adaptierte CIELAB-Daten

	$L^*=L_a^*$	a_a^*	b_a^*	$C^*_{ab,a}$	$h^*_{ab,a}$
r00j	35.47	63.32	30.17	70.15	25
r25j	39.12	54.56	49.45	73.64	42
r50j	50.64	39.15	64.89	75.79	59
r75j	64.01	21.26	82.83	85.52	76
j00g	83.18	-4.37	108.53	108.62	92
j25g	66.73	-29.88	83.06	88.28	110
j50g	54.03	-48.3	63.49	79.78	127
j75g	44.73	-60.32	42.64	73.88	145
g00b	47.59	-49.07	15.74	51.54	162
g25b	49.97	-39.69	-6.71	40.27	190
g50b	51.85	-32.32	-24.34	40.48	217
g75b	46.92	-17.28	-36.01	39.96	244
b00r	37.91	1.28	-42.34	42.37	272
b25r	23.81	30.38	-52.25	60.45	300
b50r	29.52	69.06	-42.13	80.9	329
b75r	36.48	71.47	-3.68	71.57	357



Ein und Ausgabe: Farbmetrisches Drucker-Reflektiv-System FRS09_92aM für relativen CIELAB-Buntton $h^* = lab^*h^* = h_{ab}/360 = 190/360 = 0.527$ $u^* = g25b$

Daten für jede Farbe:

lab^*ch^* und lab^*icu^*

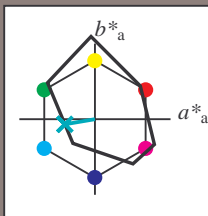
Elementar-Bunttontext:

$u^* = g25b$

Kontrastreduzierungsfaktor:

$c_R = 1.0$

Dreiecks-Helligkeit i^*



FRS09_92aM; adaptierte CIELAB-Daten

	$L^*=L_a^*$	a_a^*	b_a^*	$C_{ab,a}^*$	$h_{ab,a}^*$
O _{Ma}	35.06	60.0	44.0	74.4	36
Y _{Ma}	83.77	-5.16	109.32	109.44	93
L _{Ma}	44.13	-62.66	48.24	79.09	142
C _{Ma}	52.66	-29.13	-31.98	43.27	228
V _{Ma}	14.15	50.3	-59.03	77.57	310
M _{Ma}	37.37	78.64	-33.49	85.48	337
N _{Ma}	8.58	0.0	0.0	0.0	0
W _{Ma}	92.02	0.0	0.0	0.0	0
R _{CIE}	39.92	58.74	27.99	65.07	25
J _{CIE}	81.26	-2.88	71.56	71.62	92
G _{CIE}	52.23	-42.41	13.6	44.55	162
B _{CIE}	30.57	1.41	-46.46	46.49	272

Daten für Maximalfarbe (Ma):

$LAB^*LAB^*_{Ma}$: 50 -39 -6

$LAB^*LCH^*_{Ma}$: 50 40 190

$lab^*rgb^*_{Ma}$: 0.0 1.0 0.5

$lab^*olv^*_{Ma}$: 0.0 1.0 0.69

Dreiecks-Helligkeit i^*

%Umfang

$u^*_{rel} = 109$

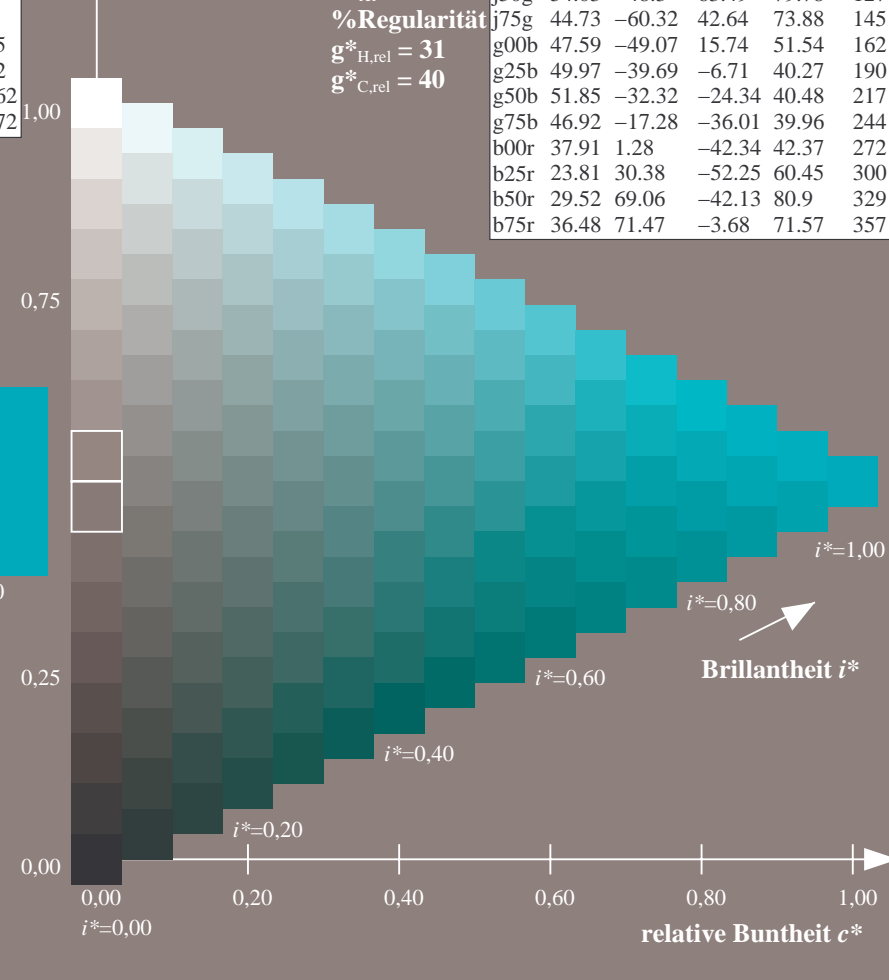
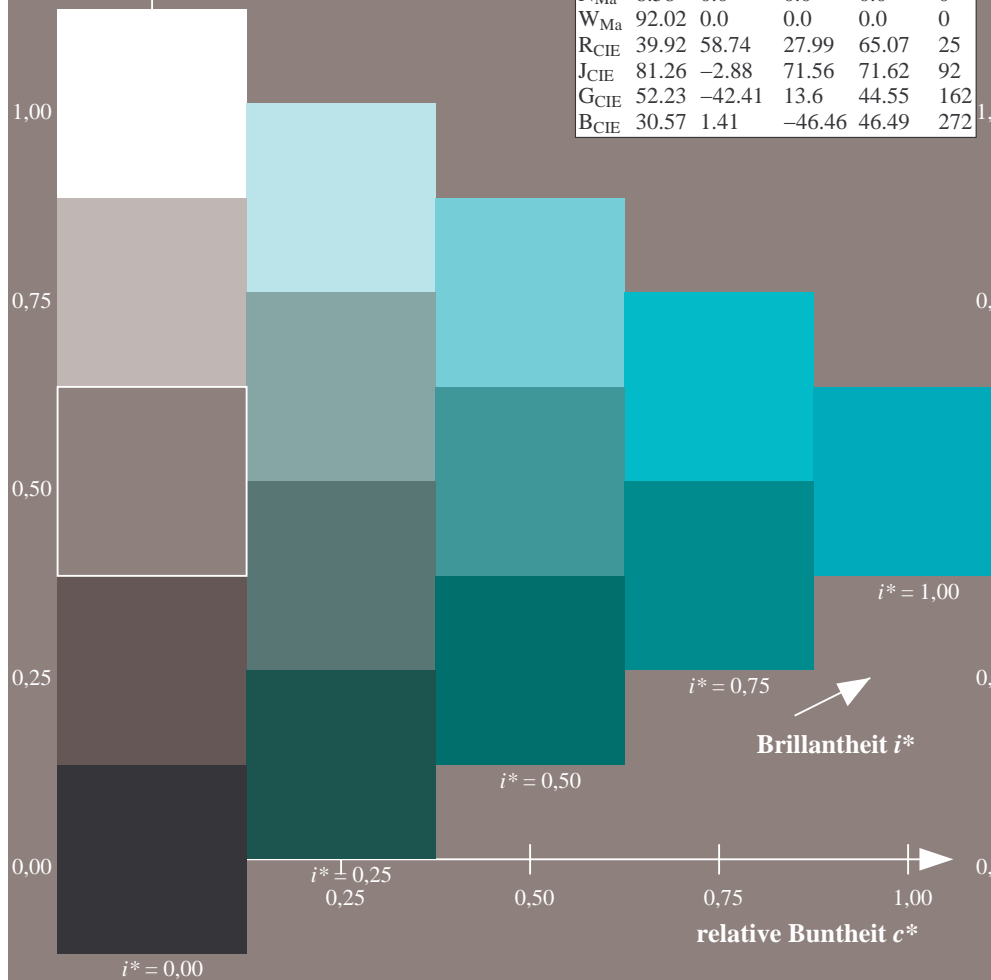
%Regularität

$g^*_{H,rel} = 31$

$g^*_{C,rel} = 40$

FRS09_92aM; adaptierte CIELAB-Daten

	$L^*=L_a^*$	a_a^*	b_a^*	$C_{ab,a}^*$	$h_{ab,a}^*$
r00j	35.47	63.32	30.17	70.15	25
r25j	39.12	54.56	49.45	73.64	42
r50j	50.64	39.15	64.89	75.79	59
r75j	64.01	21.26	82.83	85.52	76
j00g	83.18	-4.37	108.53	108.62	92
j25g	66.73	-29.88	83.06	88.28	110
j50g	54.03	-48.3	63.49	79.78	127
j75g	44.73	-60.32	42.64	73.88	145
g00b	47.59	-49.07	15.74	51.54	162
g25b	49.97	-39.69	-6.71	40.27	190
g50b	51.85	-32.32	-24.34	40.48	217
g75b	46.92	-17.28	-36.01	39.96	244
b00r	37.91	1.28	-42.34	42.37	272
b25r	23.81	30.38	-52.25	60.45	300
b50r	29.52	69.06	-42.13	80.9	329
b75r	36.48	71.47	-3.68	71.57	357



Ein und Ausgabe: Farbmetrisches Drucker-Reflektiv-System FRS09_92aM für relativen CIELAB-Buntton $h^* = lab^*h^* = h_{ab}/360 = 217/360 = 0.603$ $u^* = g50b$

Daten für jede Farbe:

lab^*ch^* und lab^*icu^*

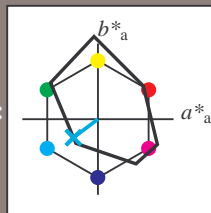
Elementar-Bunttontext:

$u^* = g50b$

Kontrastreduzierungsfaktor:

$c_R = 1.0$

Dreiecks-Helligkeit i^*



FRS09_92aM; adaptierte CIELAB-Daten

	$L^*=L_a^*$	a_a^*	b_a^*	$C_{ab,a}^*$	$h_{ab,a}^*$
O _{Ma}	35.06	60.0	44.0	74.4	36
Y _{Ma}	83.77	-5.16	109.32	109.44	93
L _{Ma}	44.13	-62.66	48.24	79.09	142
C _{Ma}	52.66	-29.13	-31.98	43.27	228
V _{Ma}	14.15	50.3	-59.03	77.57	310
M _{Ma}	37.37	78.64	-33.49	85.48	337
N _{Ma}	8.58	0.0	0.0	0.0	0
W _{Ma}	92.02	0.0	0.0	0.0	0
R _{CIE}	39.92	58.74	27.99	65.07	25
J _{CIE}	81.26	-2.88	71.56	71.62	92
G _{CIE}	52.23	-42.41	13.6	44.55	162
B _{CIE}	30.57	1.41	-46.46	46.49	272

Daten für Maximalfarbe (Ma):

$LAB^*LAB^*_{Ma}$: 52 -31 -23

$LAB^*LCH^*_{Ma}$: 52 40 217

$lab^*rgb^*_{Ma}$: 0.0 1.0 1.0

$lab^*olv^*_{Ma}$: 0.0 1.0 0.9

Dreiecks-Helligkeit i^*

%Umfang

$u^*_{rel} = 109$

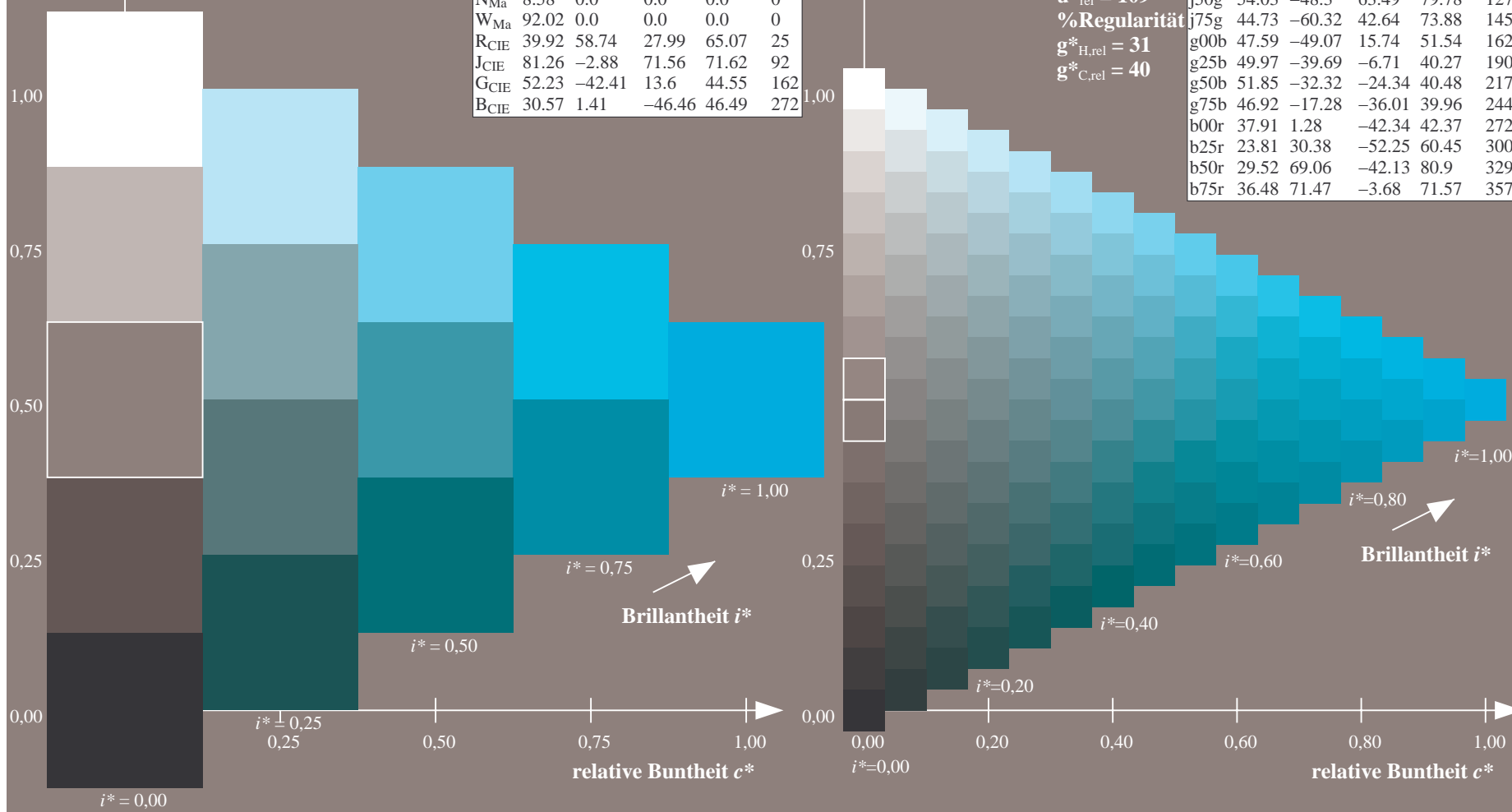
%Regularität

$g^*_{H,rel} = 31$

$g^*_{C,rel} = 40$

FRS09_92aM; adaptierte CIELAB-Daten

	$L^*=L_a^*$	a_a^*	b_a^*	$C_{ab,a}^*$	$h_{ab,a}^*$
r00j	35.47	63.32	30.17	70.15	25
r25j	39.12	54.56	49.45	73.64	42
r50j	50.64	39.15	64.89	75.79	59
r75j	64.01	21.26	82.83	85.52	76
j00g	83.18	-4.37	108.53	108.62	92
j25g	66.73	-29.88	83.06	88.28	110
j50g	54.03	-48.3	63.49	79.78	127
j75g	44.73	-60.32	42.64	73.88	145
g00b	47.59	-49.07	15.74	51.54	162
g25b	49.97	-39.69	-6.71	40.27	190
g50b	51.85	-32.32	-24.34	40.48	217
g75b	46.92	-17.28	-36.01	39.96	244
b00r	37.91	1.28	-42.34	42.37	272
b25r	23.81	30.38	-52.25	60.45	300
b50r	29.52	69.06	-42.13	80.9	329
b75r	36.48	71.47	-3.68	71.57	357



Ein und Ausgabe: Farbmetrisches Drucker-Reflektiv-System FRS09_92aM für relativen CIELAB-Buntton $h^* = lab^*h^* = h_{ab}/360 = 244/360 = 0.679$ $u^* = g75b$

Daten für jede Farbe:

lab^*ch^* und lab^*icu^*

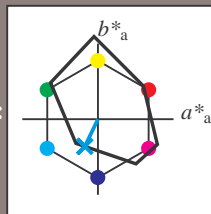
Elementar-Bunttontext:

$u^* = g75b$

Kontrastreduzierungsfaktor:

$c_R = 1.0$

Dreiecks-Helligkeit i^*



FRS09_92aM; adaptierte CIELAB-Daten

	$L^*=L_a^*$	a_a^*	b_a^*	$C_{ab,a}^*$	$h_{ab,a}^*$
O _{Ma}	35.06	60.0	44.0	74.4	36
Y _{Ma}	83.77	-5.16	109.32	109.44	93
L _{Ma}	44.13	-62.66	48.24	79.09	142
C _{Ma}	52.66	-29.13	-31.98	43.27	228
V _{Ma}	14.15	50.3	-59.03	77.57	310
M _{Ma}	37.37	78.64	-33.49	85.48	337
N _{Ma}	8.58	0.0	0.0	0.0	0
W _{Ma}	92.02	0.0	0.0	0.0	0
R _{CIE}	39.92	58.74	27.99	65.07	25
J _{CIE}	81.26	-2.88	71.56	71.62	92
G _{CIE}	52.23	-42.41	13.6	44.55	162
B _{CIE}	30.57	1.41	-46.46	46.49	272

Daten für Maximalfarbe (Ma):

$LAB^*LAB^*_{Ma}$: 47 -16 -35

$LAB^*LCH^*_{Ma}$: 47 40 244

$lab^*rgb^*_{Ma}$: 0.0 0.5 1.0

$lab^*olv^*_{Ma}$: 0.0 0.85 1.0

Dreiecks-Helligkeit i^*

%Umfang

$u^*_{rel} = 109$

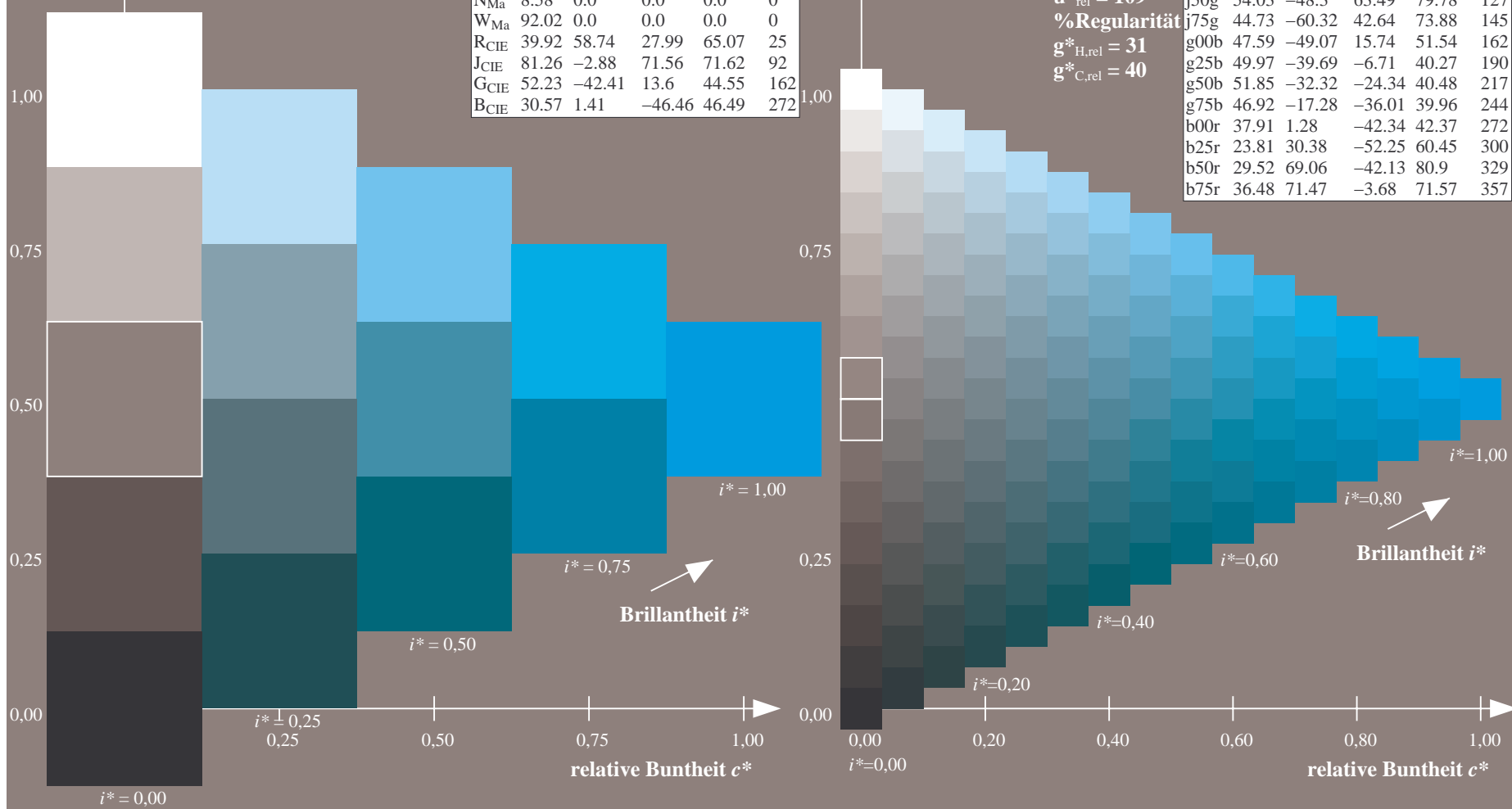
%Regularität

$g^*_{H,rel} = 31$

$g^*_{C,rel} = 40$

FRS09_92aM; adaptierte CIELAB-Daten

	$L^*=L_a^*$	a_a^*	b_a^*	$C_{ab,a}^*$	$h_{ab,a}^*$
r00j	35.47	63.32	30.17	70.15	25
r25j	39.12	54.56	49.45	73.64	42
r50j	50.64	39.15	64.89	75.79	59
r75j	64.01	21.26	82.83	85.52	76
j00g	83.18	-4.37	108.53	108.62	92
j25g	66.73	-29.88	83.06	88.28	110
j50g	54.03	-48.3	63.49	79.78	127
j75g	44.73	-60.32	42.64	73.88	145
g00b	47.59	-49.07	15.74	51.54	162
g25b	49.97	-39.69	-6.71	40.27	190
g50b	51.85	-32.32	-24.34	40.48	217
g75b	46.92	-17.28	-36.01	39.96	244
b00r	37.91	1.28	-42.34	42.37	272
b25r	23.81	30.38	-52.25	60.45	300
b50r	29.52	69.06	-42.13	80.9	329
b75r	36.48	71.47	-3.68	71.57	357



Ein und Ausgabe: Farbmetrisches Drucker-Reflektiv-System FRS09_92aM für relativen CIELAB-Buntton $h^* = lab^*h^* = h_{ab}/360 = 272/360 = 0.755$ $u^* = b00r$

Daten für jede Farbe:

lab^*ch^* und lab^*icu^*

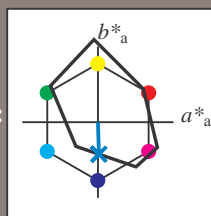
Elementar-Bunttontext:

$u^* = b00r$

Kontrastreduzierungsfaktor:

$c_R = 1.0$

Dreiecks-Helligkeit i^*



FRS09_92aM; adaptierte CIELAB-Daten

	$L^*=L_a^*$	a_a^*	b_a^*	$C_{ab,a}^*$	$h_{ab,a}^*$
O _{Ma}	35.06	60.0	44.0	74.4	36
Y _{Ma}	83.77	-5.16	109.32	109.44	93
L _{Ma}	44.13	-62.66	48.24	79.09	142
C _{Ma}	52.66	-29.13	-31.98	43.27	228
V _{Ma}	14.15	50.3	-59.03	77.57	310
M _{Ma}	37.37	78.64	-33.49	85.48	337
N _{Ma}	8.58	0.0	0.0	0.0	0
W _{Ma}	92.02	0.0	0.0	0.0	0
R _{CIE}	39.92	58.74	27.99	65.07	25
J _{CIE}	81.26	-2.88	71.56	71.62	92
G _{CIE}	52.23	-42.41	13.6	44.55	162
B _{CIE}	30.57	1.41	-46.46	46.49	272

Daten für Maximalfarbe (Ma):

$LAB^*LAB^*_{Ma}$: 38 1 -41

$LAB^*LCH^*_{Ma}$: 38 42 272

$lab^*rgb^*_{Ma}$: 0.0 0.0 1.0

$lab^*olv^*_{Ma}$: 0.0 0.62 1.0

Dreiecks-Helligkeit i^*

%Umfang

$u^*_{rel} = 109$

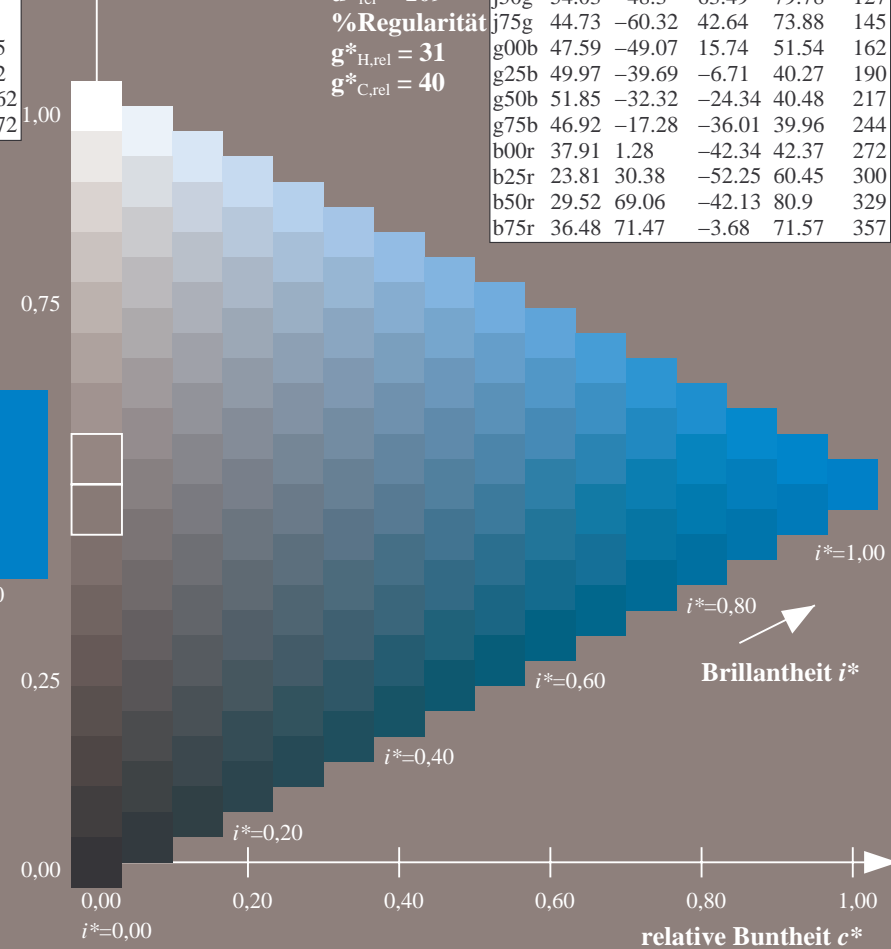
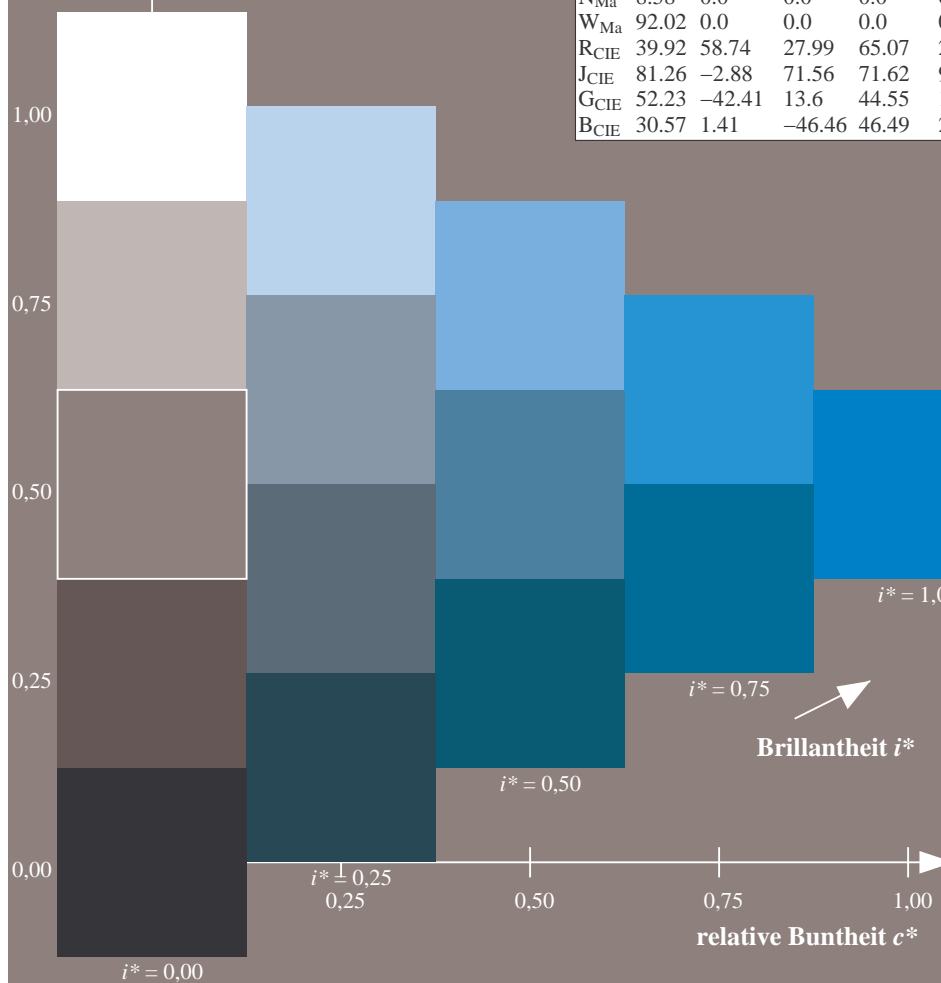
%Regularität

$g^*_{H,rel} = 31$

$g^*_{C,rel} = 40$

FRS09_92aM; adaptierte CIELAB-Daten

	$L^*=L_a^*$	a_a^*	b_a^*	$C_{ab,a}^*$	$h_{ab,a}^*$
r00j	35.47	63.32	30.17	70.15	25
r25j	39.12	54.56	49.45	73.64	42
r50j	50.64	39.15	64.89	75.79	59
r75j	64.01	21.26	82.83	85.52	76
j00g	83.18	-4.37	108.53	108.62	92
j25g	66.73	-29.88	83.06	88.28	110
j50g	54.03	-48.3	63.49	79.78	127
j75g	44.73	-60.32	42.64	73.88	145
g00b	47.59	-49.07	15.74	51.54	162
g25b	49.97	-39.69	-6.71	40.27	190
g50b	51.85	-32.32	-24.34	40.48	217
g75b	46.92	-17.28	-36.01	39.96	244
b00r	37.91	1.28	-42.34	42.37	272
b25r	23.81	30.38	-52.25	60.45	300
b50r	29.52	69.06	-42.13	80.9	329
b75r	36.48	71.47	-3.68	71.57	357



Ein und Ausgabe: Farbmetrisches Drucker-Reflektiv-System FRS09_92aM für relativen CIELAB-Buntton $h^* = lab^*h^* = h_{ab}/360 = 300/360 = 0.834$ $u^* = b25r$

Daten für jede Farbe:

lab^*ch^* und lab^*icu^*

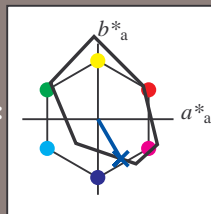
Elementar-Bunttontext:

$u^* = b25r$

Kontrastreduzierungsfaktor:

$c_R = 1.0$

Dreiecks-Helligkeit i^*



FRS09_92aM; adaptierte CIELAB-Daten

	$L^*=L_a^*$	a_a^*	b_a^*	$C_{ab,a}^*$	$h_{ab,a}^*$
O _{Ma}	35.06	60.0	44.0	74.4	36
Y _{Ma}	83.77	-5.16	109.32	109.44	93
L _{Ma}	44.13	-62.66	48.24	79.09	142
C _{Ma}	52.66	-29.13	-31.98	43.27	228
V _{Ma}	14.15	50.3	-59.03	77.57	310
M _{Ma}	37.37	78.64	-33.49	85.48	337
N _{Ma}	8.58	0.0	0.0	0.0	0
W _{Ma}	92.02	0.0	0.0	0.0	0
R _{CIE}	39.92	58.74	27.99	65.07	25
J _{CIE}	81.26	-2.88	71.56	71.62	92
G _{CIE}	52.23	-42.41	13.6	44.55	162
B _{CIE}	30.57	1.41	-46.46	46.49	272

Daten für Maximalfarbe (Ma):

LAB^*LAB^*Ma : 24 30 -51

LAB^*LCH^*Ma : 24 60 300

lab^*rgb^*Ma : 0.5 0.0 1.0

lab^*olv^*Ma : 0.0 0.25 1.0

Dreiecks-Helligkeit i^*

%Umfang

$u^*_{rel} = 109$

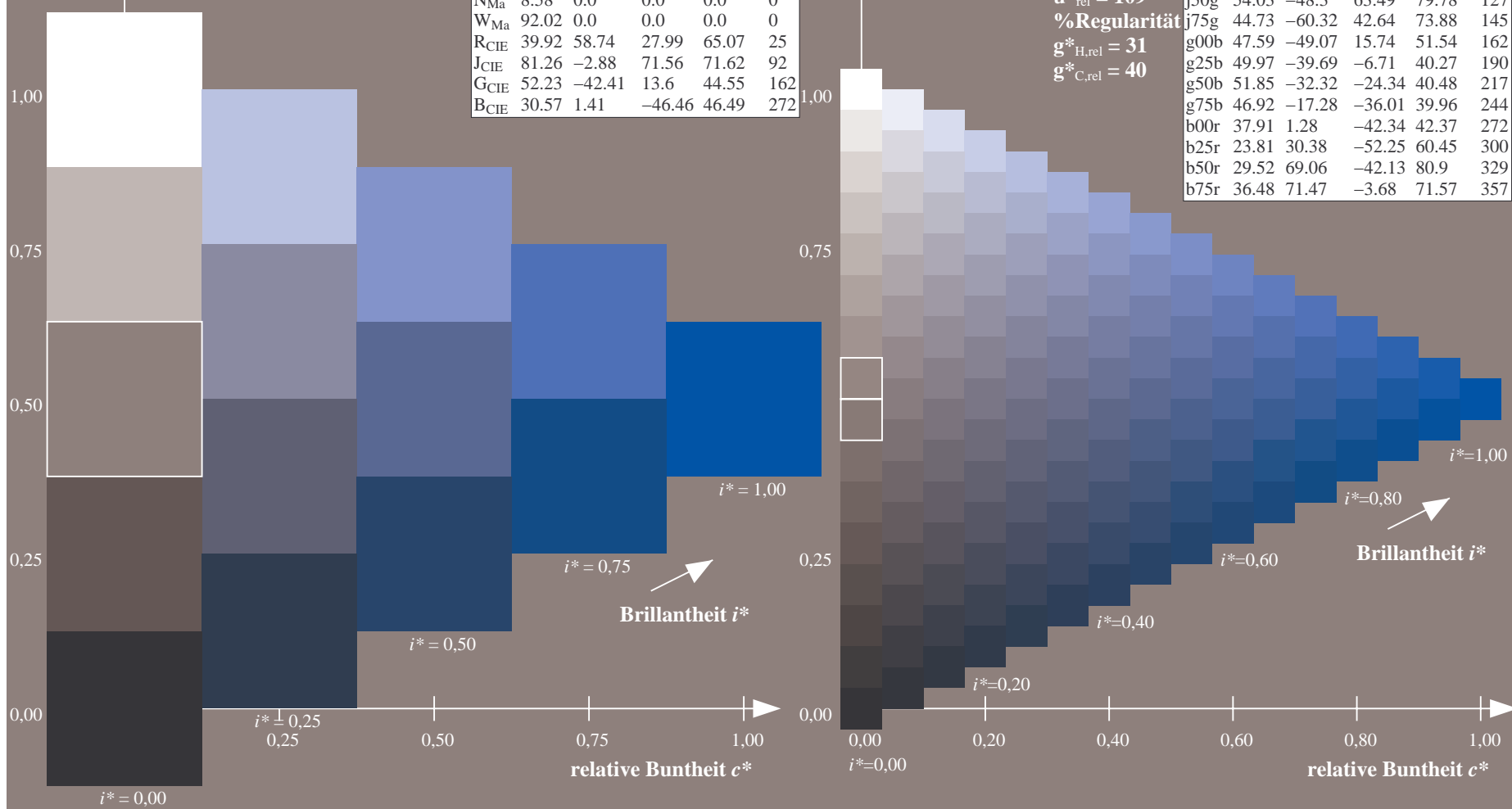
%Regularität

$g^*_{H,rel} = 31$

$g^*_{C,rel} = 40$

FRS09_92aM; adaptierte CIELAB-Daten

	$L^*=L_a^*$	a_a^*	b_a^*	$C_{ab,a}^*$	$h_{ab,a}^*$
r00j	35.47	63.32	30.17	70.15	25
r25j	39.12	54.56	49.45	73.64	42
r50j	50.64	39.15	64.89	75.79	59
r75j	64.01	21.26	82.83	85.52	76
j00g	83.18	-4.37	108.53	108.62	92
j25g	66.73	-29.88	83.06	88.28	110
j50g	54.03	-48.3	63.49	79.78	127
j75g	44.73	-60.32	42.64	73.88	145
g00b	47.59	-49.07	15.74	51.54	162
g25b	49.97	-39.69	-6.71	40.27	190
g50b	51.85	-32.32	-24.34	40.48	217
g75b	46.92	-17.28	-36.01	39.96	244
b00r	37.91	1.28	-42.34	42.37	272
b25r	23.81	30.38	-52.25	60.45	300
b50r	29.52	69.06	-42.13	80.9	329
b75r	36.48	71.47	-3.68	71.57	357



Siehe ähnliche Dateien: <http://www.ps.bam.de/Dg92/>; www.ps.bam.de/Dg92/HTML
Technische Information: <http://www.ps.bam.de> Version 2.1, io=1,1, ColSpx=0

Ein und Ausgabe: Farbmetrisches Drucker-Reflektiv-System FRS09_92aM für relativen CIELAB-Buntton $h^* = lab^*h^* = h_{ab}/360 = 329/360 = 0.913$ $u^* = b50r$

Daten für jede Farbe:

lab^*ch^* und lab^*icu^*

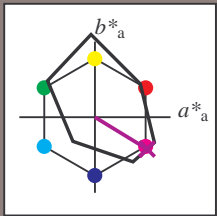
Elementar-Bunttontext:

$u^* = b50r$

Kontrastreduzierungsfaktor:

$c_R = 1.0$

Dreiecks-Helligkeit i^*



FRS09_92aM; adaptierte CIELAB-Daten

	$L^*=L_a^*$	a_a^*	b_a^*	$C^*_{ab,a}$	$h^*_{ab,a}$
O _{Ma}	35.06	60.0	44.0	74.4	36
Y _{Ma}	83.77	-5.16	109.32	109.44	93
L _{Ma}	44.13	-62.66	48.24	79.09	142
C _{Ma}	52.66	-29.13	-31.98	43.27	228
V _{Ma}	14.15	50.3	-59.03	77.57	310
M _{Ma}	37.37	78.64	-33.49	85.48	337
N _{Ma}	8.58	0.0	0.0	0.0	0
W _{Ma}	92.02	0.0	0.0	0.0	0
R _{CIE}	39.92	58.74	27.99	65.07	25
J _{CIE}	81.26	-2.88	71.56	71.62	92
G _{CIE}	52.23	-42.41	13.6	44.55	162
B _{CIE}	30.57	1.41	-46.46	46.49	272

Daten für Maximalfarbe (Ma):

$LAB^*LAB^*_{Ma}$: 30 69 -41

$LAB^*LCH^*_{Ma}$: 30 81 329

$lab^*rgb^*_{Ma}$: 1.0 0.0 1.0

$lab^*olv^*_{Ma}$: 0.66 0.0 1.0

Dreiecks-Helligkeit i^*

%Umfang

$u^*_{rel} = 109$

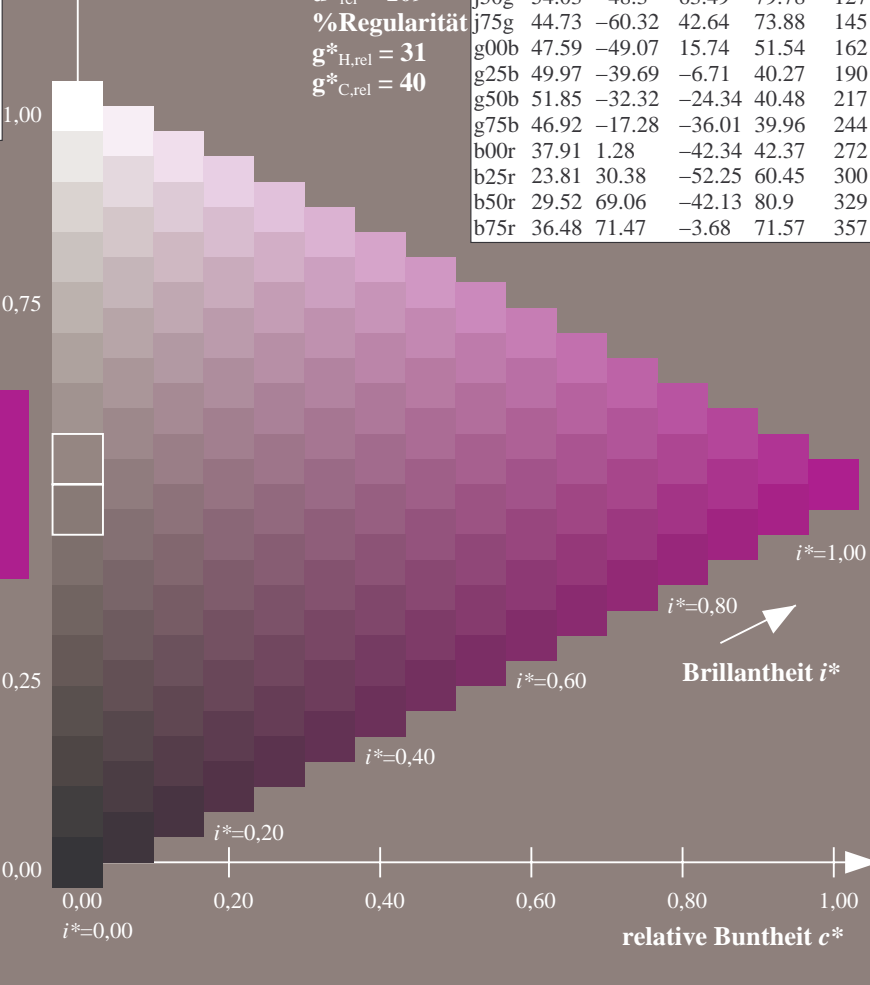
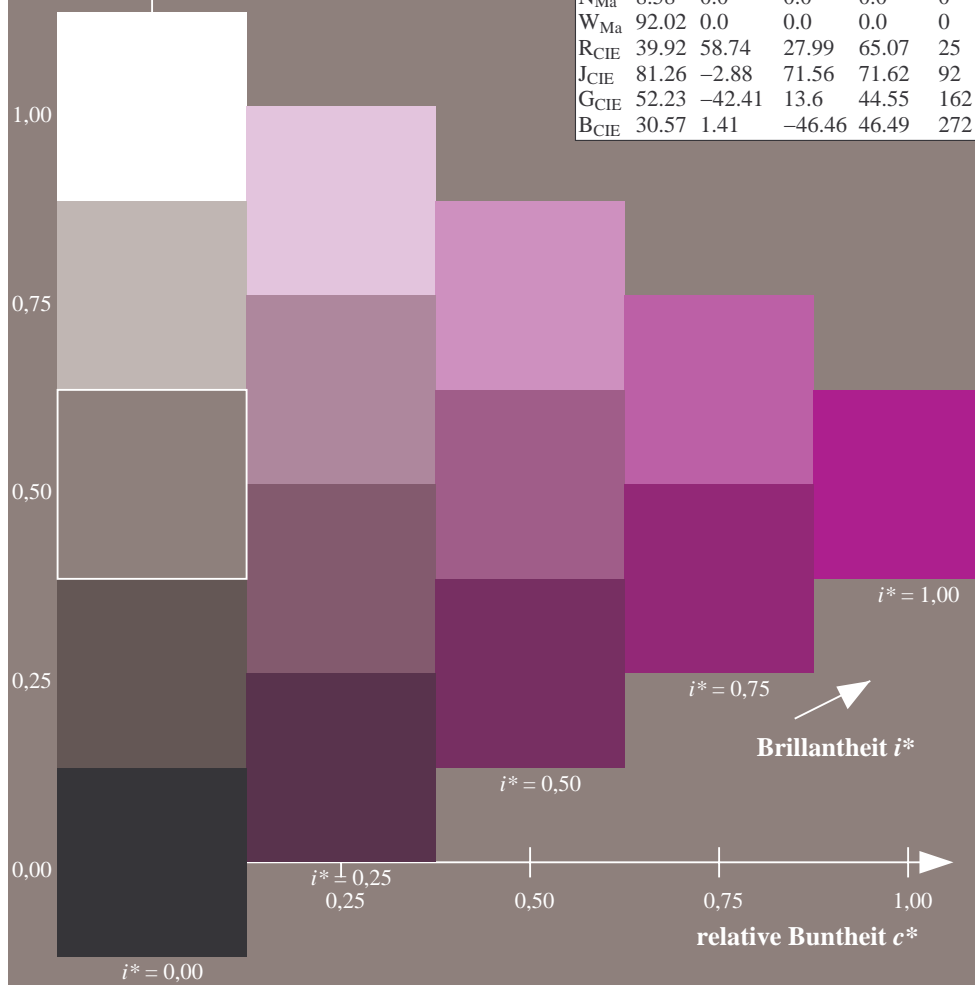
%Regularität

$g^*_{H,rel} = 31$

$g^*_{C,rel} = 40$

FRS09_92aM; adaptierte CIELAB-Daten

	$L^*=L_a^*$	a_a^*	b_a^*	$C^*_{ab,a}$	$h^*_{ab,a}$
r00j	35.47	63.32	30.17	70.15	25
r25j	39.12	54.56	49.45	73.64	42
r50j	50.64	39.15	64.89	75.79	59
r75j	64.01	21.26	82.83	85.52	76
j00g	83.18	-4.37	108.53	108.62	92
j25g	66.73	-29.88	83.06	88.28	110
j50g	54.03	-48.3	63.49	79.78	127
j75g	44.73	-60.32	42.64	73.88	145
g00b	47.59	-49.07	15.74	51.54	162
g25b	49.97	-39.69	-6.71	40.27	190
g50b	51.85	-32.32	-24.34	40.48	217
g75b	46.92	-17.28	-36.01	39.96	244
b00r	37.91	1.28	-42.34	42.37	272
b25r	23.81	30.38	-52.25	60.45	300
b50r	29.52	69.06	-42.13	80.9	329
b75r	36.48	71.47	-3.68	71.57	357



BAM-Registrierung: 20080701-Dg92/10L/L92G00NP.PS/ .PDF BAM-Material: Code=rh4ta
Anwendung für Beurteilung und Messung von Drucker- oder Monitorsystemen

Ein und Ausgabe: Farbmetrisches Drucker-Reflektiv-System FRS09_92aM für relativen CIELAB-Buntton $h^* = lab^*h^* = h_{ab}/360 = 357/360 = 0.992$ $u^* = b75r$

Daten für jede Farbe:

lab^*ch^* und lab^*icu^*

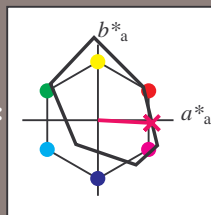
Elementar-Bunttontext:

$u^* = b75r$

Kontrastreduzierungsfaktor:

$c_R = 1.0$

Dreiecks-Helligkeit i^*



FRS09_92aM; adaptierte CIELAB-Daten

	$L^*=L_a^*$	a_a^*	b_a^*	$C^*_{ab,a}$	$h^*_{ab,a}$
O _{Ma}	35.06	60.0	44.0	74.4	36
Y _{Ma}	83.77	-5.16	109.32	109.44	93
L _{Ma}	44.13	-62.66	48.24	79.09	142
C _{Ma}	52.66	-29.13	-31.98	43.27	228
V _{Ma}	14.15	50.3	-59.03	77.57	310
M _{Ma}	37.37	78.64	-33.49	85.48	337
N _{Ma}	8.58	0.0	0.0	0.0	0
W _{Ma}	92.02	0.0	0.0	0.0	0
R _{CIE}	39.92	58.74	27.99	65.07	25
J _{CIE}	81.26	-2.88	71.56	71.62	92
G _{CIE}	52.23	-42.41	13.6	44.55	162
B _{CIE}	30.57	1.41	-46.46	46.49	272

Daten für Maximalfarbe (Ma):

$LAB^*LAB^*_{Ma}$: 36 71 -3

$LAB^*LCH^*_{Ma}$: 36 72 357

$lab^*rgb^*_{Ma}$: 1.0 0.0 0.5

$lab^*olv^*_{Ma}$: 1.0 0.0 0.62

Dreiecks-Helligkeit i^*

%Umfang

$u^*_{rel} = 109$

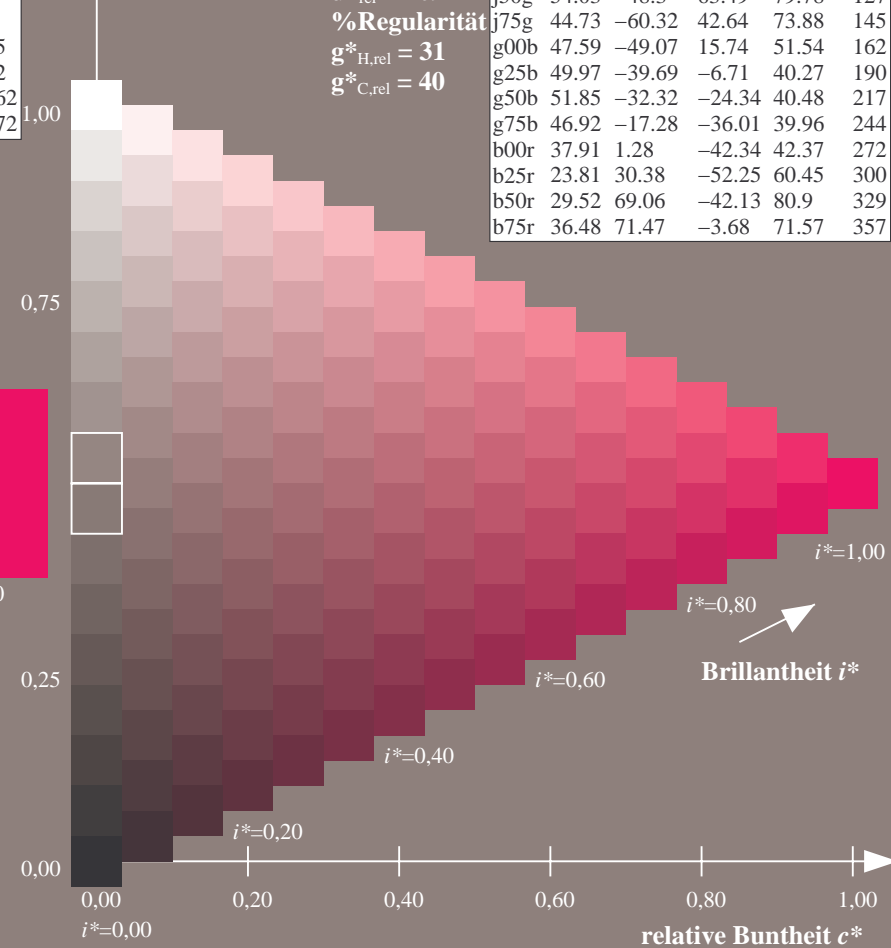
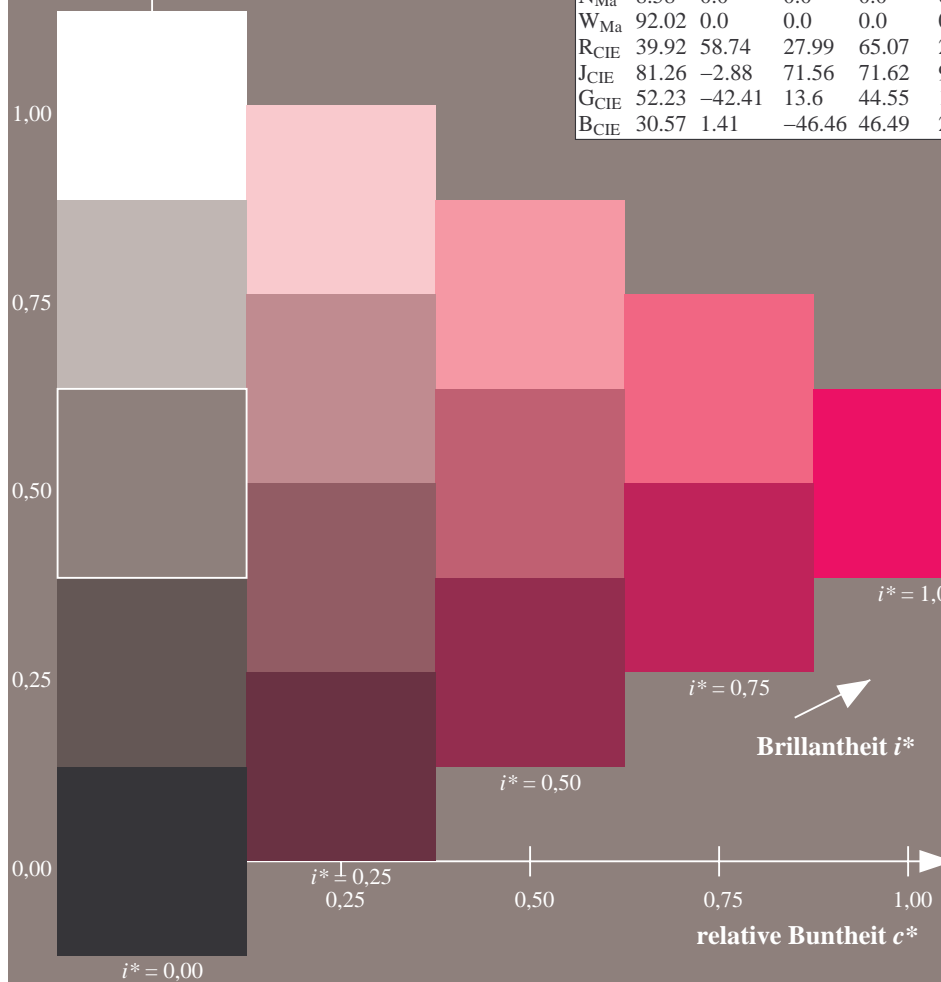
%Regularität

$g^*_{H,rel} = 31$

$g^*_{C,rel} = 40$

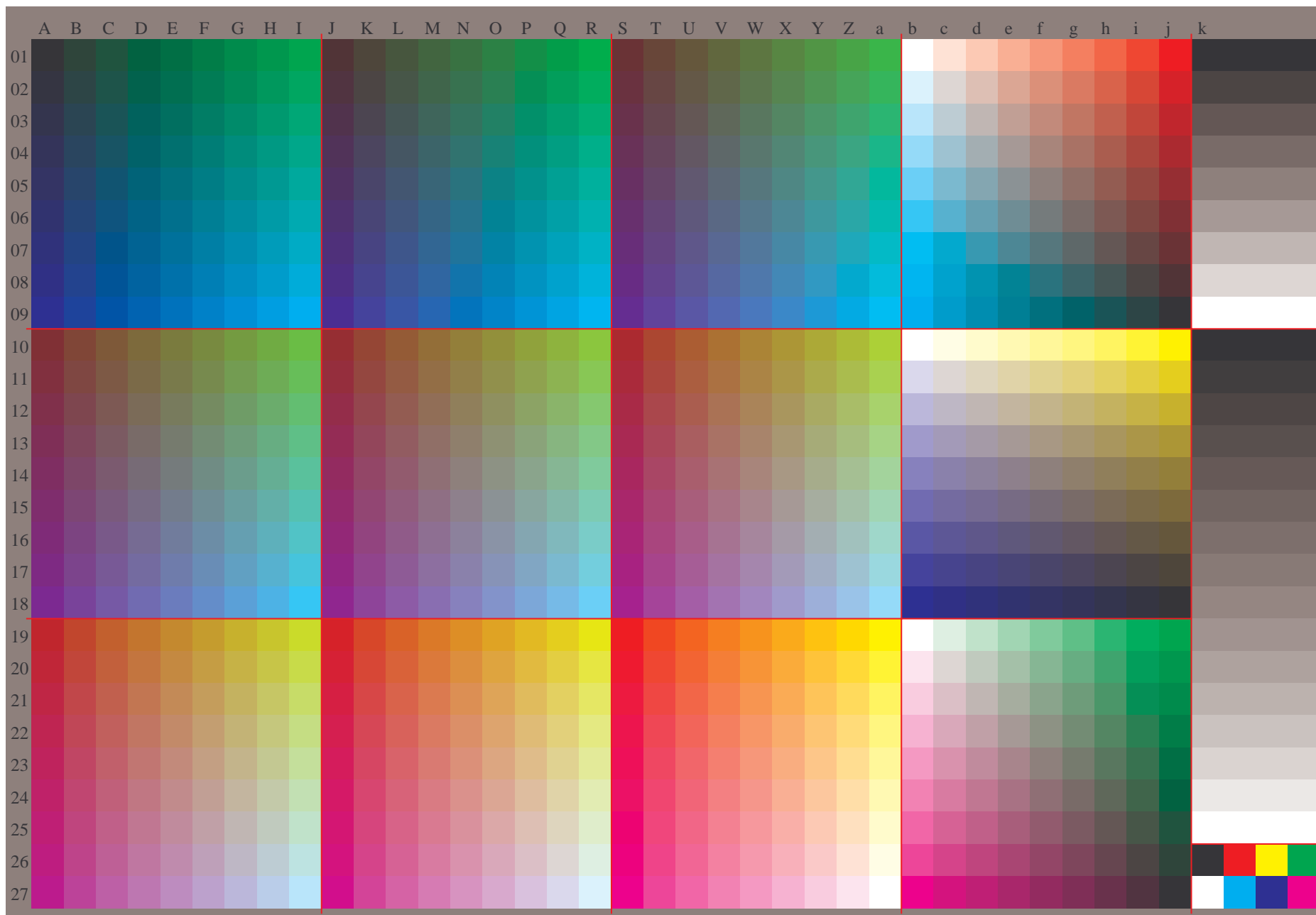
FRS09_92aM; adaptierte CIELAB-Daten

	$L^*=L_a^*$	a_a^*	b_a^*	$C^*_{ab,a}$	$h^*_{ab,a}$
r00j	35.47	63.32	30.17	70.15	25
r25j	39.12	54.56	49.45	73.64	42
r50j	50.64	39.15	64.89	75.79	59
r75j	64.01	21.26	82.83	85.52	76
j00g	83.18	-4.37	108.53	108.62	92
j25g	66.73	-29.88	83.06	88.28	110
j50g	54.03	-48.3	63.49	79.78	127
j75g	44.73	-60.32	42.64	73.88	145
g00b	47.59	-49.07	15.74	51.54	162
g25b	49.97	-39.69	-6.71	40.27	190
g50b	51.85	-32.32	-24.34	40.48	217
g75b	46.92	-17.28	-36.01	39.96	244
b00r	37.91	1.28	-42.34	42.37	272
b25r	23.81	30.38	-52.25	60.45	300
b50r	29.52	69.06	-42.13	80.9	329
b75r	36.48	71.47	-3.68	71.57	357



Siehe ähnliche Dateien: <http://www.ps.bam.de/Dg92/>; [www.ps.bam.de/Dg92/](http://www.ps.bam.de/Dg92/Version%202.1%2C%20ColSpX%3D0); [www.ps.bam.de/Dg92/](http://www.ps.bam.de/Dg92/Version%202.1%2C%20ColSpX%3D0)
Technische Information: [http://www.ps.bam.de/Version 2.1, io=1,1, ColSpX=0](http://www.ps.bam.de/Version%202.1%2C%20ColSpX%3D0)

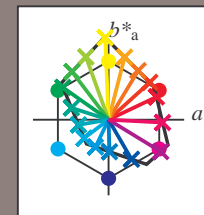
BAM-Registrierung: 20080701-Dg92/10L/L92G00NP.PS/.PDF BAM-Material: Code=rh4ta
Anwendung für Beurteilung und Messung von Drucker- oder Monitorsystemen



Ein und Ausgabe:
Farbmetrisches Drucker-Reflektiv-System FRS09_92aM
Daten für jede Farbe:
*lab*_{tch}** und *lab*_{icu}**
Elementar-Bunttontext:
u = 16 Buntttöne r00j, r25j, ..., b75r*
Kontrastreduzierungsfaktor:
 $c_R = 1.0$

FRS09_92aM; adaptierte CIELAB-Daten

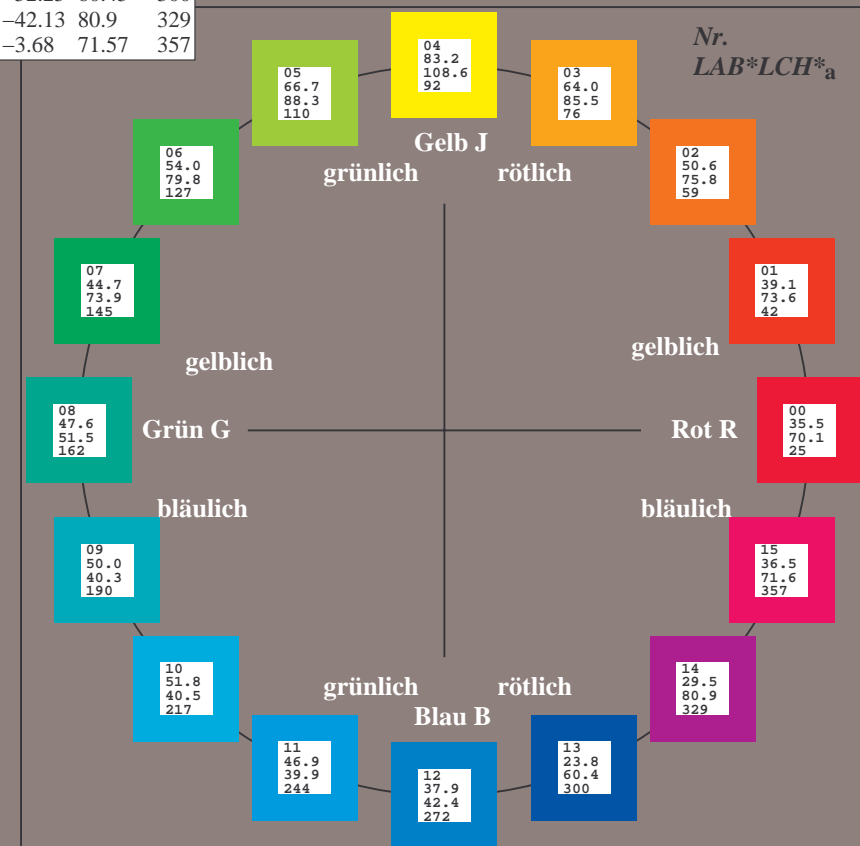
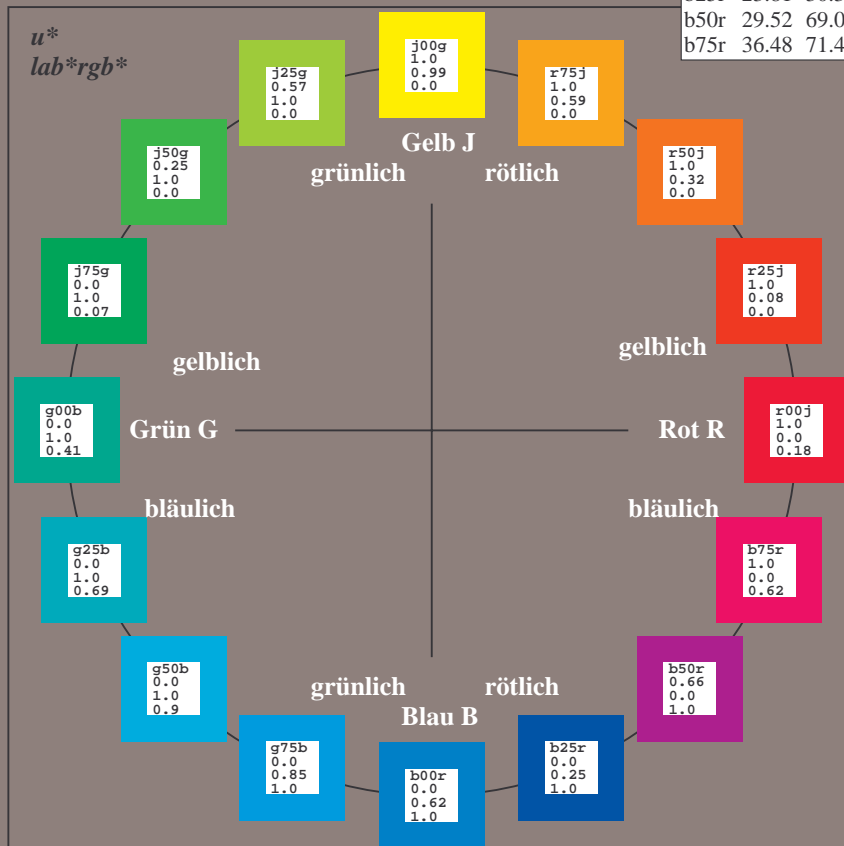
	$L^*_{ab,a}$	$a^*_{ab,a}$	$b^*_{ab,a}$	$C^*_{ab,a}$	$h^*_{ab,a}$
r00j	35.47	63.32	30.17	70.15	25
r25j	39.12	54.56	49.45	73.64	42
r50j	50.64	39.15	64.89	75.79	59
r75j	64.01	21.26	82.83	85.52	76
j00g	83.18	-4.37	108.53	108.62	92
j25g	66.73	-29.88	83.06	88.28	110
j50g	54.03	-48.3	63.49	79.78	127
j75g	44.73	-60.32	42.64	73.88	145
g00b	47.59	-49.07	15.74	51.54	162
g25b	49.97	-39.69	-6.71	40.27	190
g50b	51.85	-32.32	-24.34	40.48	217
g75b	46.92	-17.28	-36.01	39.96	244
b00r	37.91	1.28	-42.34	42.37	272
b25r	23.81	30.38	-52.25	60.45	300
b50r	29.52	69.06	-42.13	80.9	329
b75r	36.48	71.47	-3.68	71.57	357



%Umfang
 $u^*_{rel} = 109$
%Regularität
 $g^*_{H,rel} = 31$
 $g^*_{C,rel} = 40$

FRS09_92aM; adaptierte CIELAB-Daten

	$L^*_{ab,a}$	$a^*_{ab,a}$	$b^*_{ab,a}$	$C^*_{ab,a}$	$h^*_{ab,a}$
OMa	35.06	60.0	44.0	74.4	36
YMa	83.77	-5.16	109.32	109.44	93
LMa	44.13	-62.66	48.24	79.09	142
CMa	52.66	-29.13	-31.98	43.27	228
VMa	14.15	50.3	-59.03	77.57	310
MMa	37.37	78.64	-33.49	85.48	337
NMa	8.58	0.0	0.0	0.0	0
WMa	92.02	0.0	0.0	0.0	0
RCIE	39.92	58.74	27.99	65.07	25
JCIE	81.26	-2.88	71.56	71.62	92
GCIE	52.23	-42.41	13.6	44.55	162
BCIE	30.57	1.41	-46.46	46.49	272



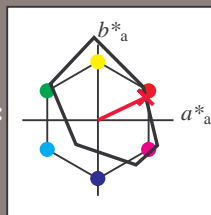
Ein und Ausgabe: Farbmetrisches Drucker-Reflektiv-System FRS09_92aM für relativen CIELAB-Buntton $h^* = lab^*h^* = h_{ab}/360 = 25/360 = 0.071$ $u^* = r00j$

Daten für jede Farbe:
 lab^*ch^* und lab^*icu^*

Elementar-Bunttontext:
 $u^* = r00j$

Kontrastreduzierungsfaktor:
 $c_R = 1.0$

Dreiecks-Helligkeit i^*



FRS09_92aM; adaptierte CIELAB-Daten

	$L^*=L_a^*$	a^*_a	b^*_a	$C^*_{ab,a}$	$h^*_{ab,a}$
O _{Ma}	35.06	60.0	44.0	74.4	36
Y _{Ma}	83.77	-5.16	109.32	109.44	93
L _{Ma}	44.13	-62.66	48.24	79.09	142
C _{Ma}	52.66	-29.13	-31.98	43.27	228
V _{Ma}	14.15	50.3	-59.03	77.57	310
M _{Ma}	37.37	78.64	-33.49	85.48	337
N _{Ma}	8.58	0.0	0.0	0.0	0
W _{Ma}	92.02	0.0	0.0	0.0	0
R _{CIE}	39.92	58.74	27.99	65.07	25
J _{CIE}	81.26	-2.88	71.56	71.62	92
G _{CIE}	52.23	-42.41	13.6	44.55	162
B _{CIE}	30.57	1.41	-46.46	46.49	272

Daten für Maximalfarbe (Ma):

$LAB^*LAB^*_{Ma}$: 35 63 30

$LAB^*LCH^*_{Ma}$: 35 70 25

$lab^*rgb^*_{Ma}$: 1.0 0.0 0.0

$lab^*olv^*_{Ma}$: 1.0 0.0 0.18

Dreiecks-Helligkeit i^*

%Umfang

$u^*_{rel} = 109$

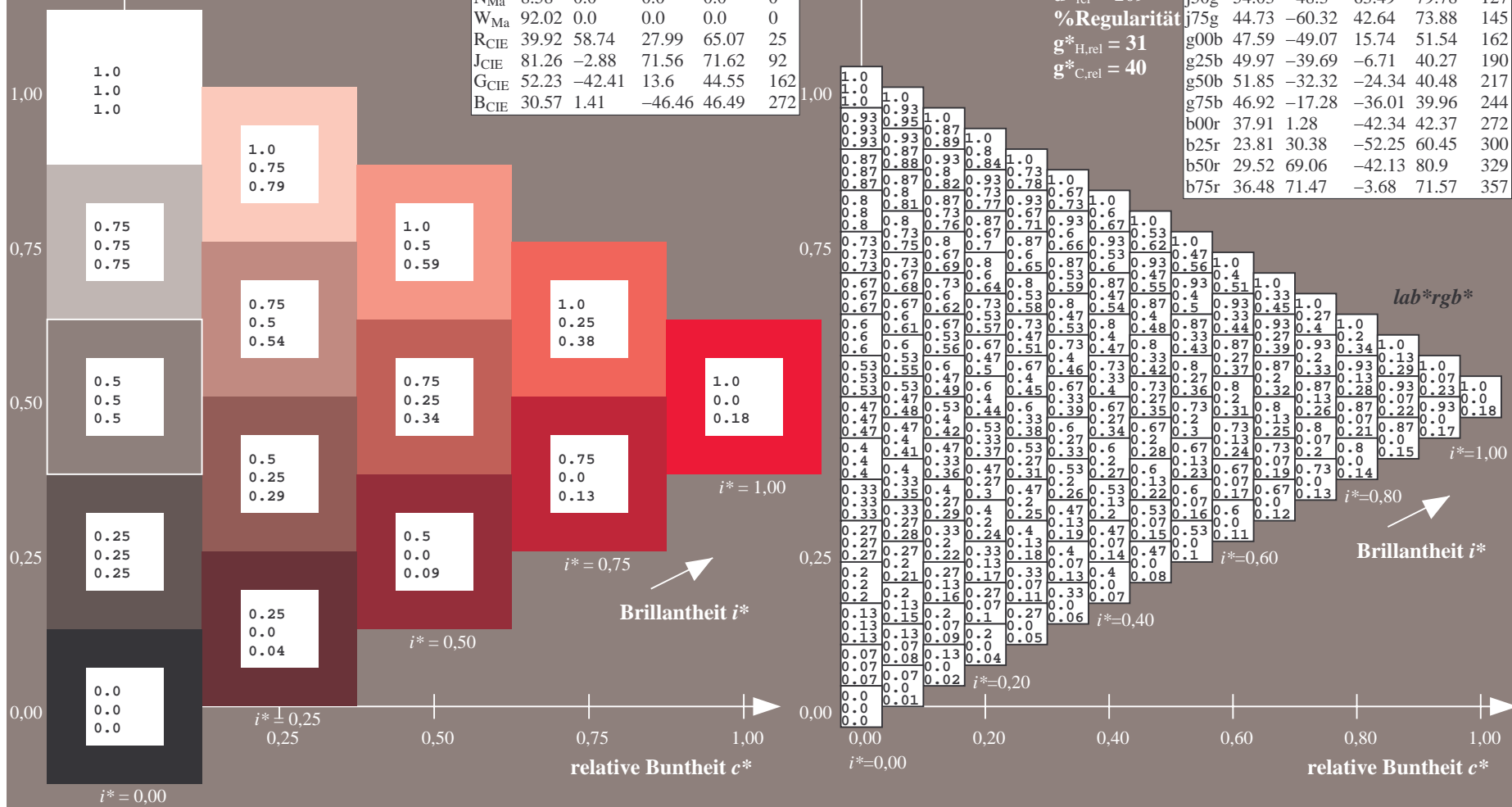
%Regularität

$g^*_{H,rel} = 31$

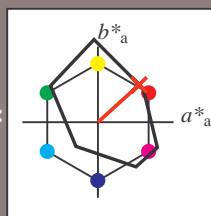
$g^*_{C,rel} = 40$

FRS09_92aM; adaptierte CIELAB-Daten

	$L^*=L_a^*$	a^*_a	b^*_a	$C^*_{ab,a}$	$h^*_{ab,a}$
r00j	35.47	63.32	30.17	70.15	25
r25j	39.12	54.56	49.45	73.64	42
r50j	50.64	39.15	64.89	75.79	59
r75j	64.01	21.26	82.83	85.52	76
j00g	83.18	-4.37	108.53	108.62	92
j25g	66.73	-29.88	83.06	88.28	110
j50g	54.03	-48.3	63.49	79.78	127
j75g	44.73	-60.32	42.64	73.88	145
g00b	47.59	-49.07	15.74	51.54	162
g25b	49.97	-39.69	-6.71	40.27	190
g50b	51.85	-32.32	-24.34	40.48	217
g75b	46.92	-17.28	-36.01	39.96	244
b00r	37.91	1.28	-42.34	42.37	272
b25r	23.81	30.38	-52.25	60.45	300
b50r	29.52	69.06	-42.13	80.9	329
b75r	36.48	71.47	-3.68	71.57	357



Ein und Ausgabe: Farbmetrisches Drucker-Reflektiv-System FRS09_92aM für relativen CIELAB-Buntton $h^* = lab^*h^* = h_{ab}/360 = 42/360 = 0.117$ $u^* = r25j$
Daten für jede Farbe:
 lab^*ch^* und lab^*icu^*
Elementar-Bunttontext:
 $u^* = r25j$
Kontrastreduzierungsfaktor:
 $c_R = 1.0$
Dreiecks-Helligkeit i^*



FRS09_92aM; adaptierte CIELAB-Daten					
	$L^*=L^*_a$	a^*_a	b^*_a	$C^*_{ab,a}$	$h^*_{ab,a}$
O _{Ma}	35.06	60.0	44.0	74.4	36
Y _{Ma}	83.77	-5.16	109.32	109.44	93
L _{Ma}	44.13	-62.66	48.24	79.09	142
C _{Ma}	52.66	-29.13	-31.98	43.27	228
V _{Ma}	14.15	50.3	-59.03	77.57	310
M _{Ma}	37.37	78.64	-33.49	85.48	337
N _{Ma}	8.58	0.0	0.0	0.0	0
W _{Ma}	92.02	0.0	0.0	0.0	0
R _{CIE}	39.92	58.74	27.99	65.07	25
J _{CIE}	81.26	-2.88	71.56	71.62	92
G _{CIE}	52.23	-42.41	13.6	44.55	162
B _{CIE}	30.57	1.41	-46.46	46.49	272

Daten für Maximalfarbe (Ma):

$LAB^*LAB^*_{Ma}$: 39 55 49

$LAB^*LCH^*_{Ma}$: 39 74 42

$lab^*rgb^*_{Ma}$: 1.0 0.25 0.0

$lab^*olv^*_{Ma}$: 1.0 0.08 0.0

Dreiecks-Helligkeit i^*

%Umfang

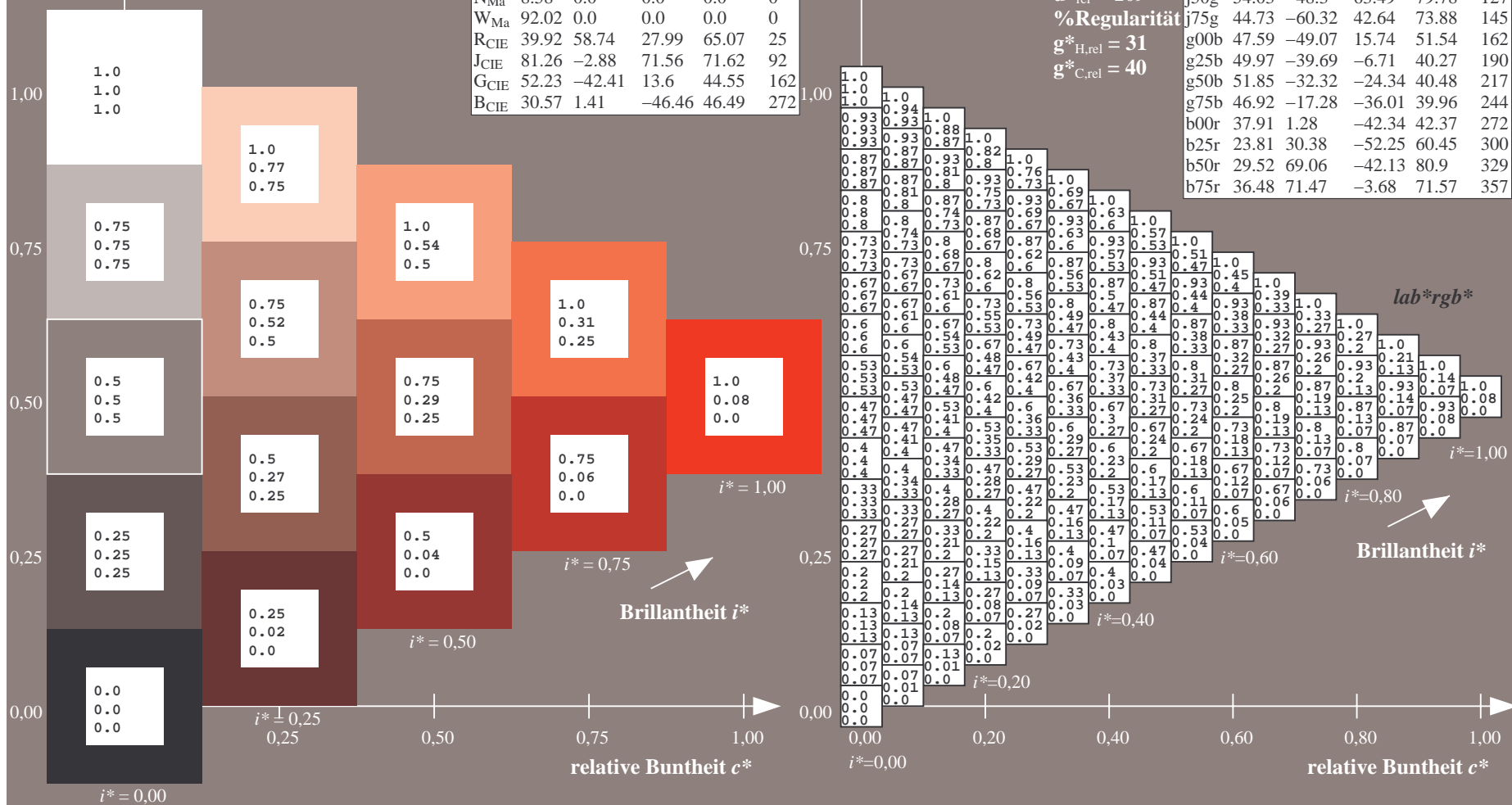
$u^*_{rel} = 109$

%Regularität

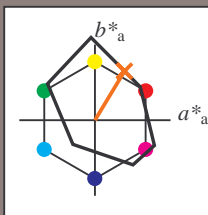
$g^*_{H,rel} = 31$

$g^*_{C,rel} = 40$

FRS09_92aM; adaptierte CIELAB-Daten					
	$L^*=L^*_a$	a^*_a	b^*_a	$C^*_{ab,a}$	$h^*_{ab,a}$
r00j	35.47	63.32	30.17	70.15	25
r25j	39.12	54.56	49.45	73.64	42
r50j	50.64	39.15	64.89	75.79	59
r75j	64.01	21.26	82.83	85.52	76
j00g	83.18	-4.37	108.53	108.62	92
j25g	66.73	-29.88	83.06	88.28	110
j50g	54.03	-48.3	63.49	79.78	127
j75g	44.73	-60.32	42.64	73.88	145
g00b	47.59	-49.07	15.74	51.54	162
g25b	49.97	-39.69	-6.71	40.27	190
g50b	51.85	-32.32	-24.34	40.48	217
g75b	46.92	-17.28	-36.01	39.96	244
b00r	37.91	1.28	-42.34	42.37	272
b25r	23.81	30.38	-52.25	60.45	300
b50r	29.52	69.06	-42.13	80.9	329
b75r	36.48	71.47	-3.68	71.57	357



Ein und Ausgabe: Farbmetrisches Drucker-Reflektiv-System FRS09_92aM für relativen CIELAB-Buntton $h^* = lab^*h^* = h_{ab}/360 = 59/360 = 0.164$ $u^* = r50j$
Daten für jede Farbe:
 lab^*ch^* und lab^*icu^*
Elementar-Bunttontext:
 $u^* = r50j$
Kontrastreduzierungsfaktor:
 $c_R = 1.0$
Dreiecks-Helligkeit t^*



FRS09_92aM; adaptierte CIELAB-Daten					
	$L^*=L^*_a$	a^*_a	b^*_a	$C^*_{ab,a}$	$h^*_{ab,a}$
O _{Ma}	35.06	60.0	44.0	74.4	36
Y _{Ma}	83.77	-5.16	109.32	109.44	93
L _{Ma}	44.13	-62.66	48.24	79.09	142
C _{Ma}	52.66	-29.13	-31.98	43.27	228
V _{Ma}	14.15	50.3	-59.03	77.57	310
M _{Ma}	37.37	78.64	-33.49	85.48	337
N _{Ma}	8.58	0.0	0.0	0.0	0
W _{Ma}	92.02	0.0	0.0	0.0	0
R _{CIE}	39.92	58.74	27.99	65.07	25
J _{CIE}	81.26	-2.88	71.56	71.62	92
G _{CIE}	52.23	-42.41	13.6	44.55	162
B _{CIE}	30.57	1.41	-46.46	46.49	272

Daten für Maximalfarbe (Ma):

$LAB^*LAB^*_{Ma}$: 51 39 65

$LAB^*LCH^*_{Ma}$: 51 76 59

$lab^*rgb^*_{Ma}$: 1.0 0.5 0.0

$lab^*olv^*_{Ma}$: 1.0 0.32 0.0

Dreiecks-Helligkeit t^*

%Umfang

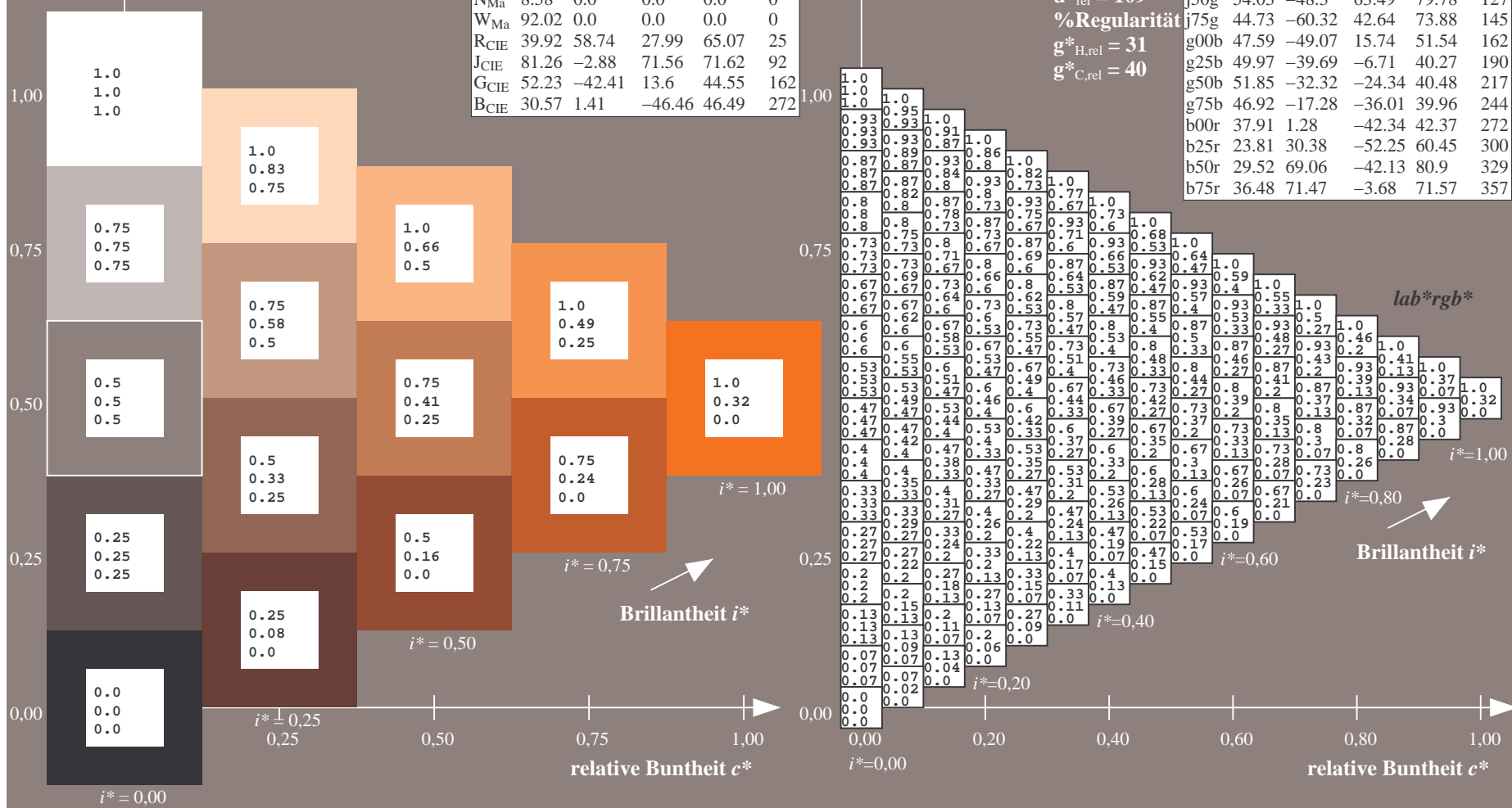
$u^*_{rel} = 109$

%Regularität

$g^*_{H,rel} = 31$

$g^*_{C,rel} = 40$

FRS09_92aM; adaptierte CIELAB-Daten					
	$L^*=L^*_a$	a^*_a	b^*_a	$C^*_{ab,a}$	$h^*_{ab,a}$
r00j	35.47	63.32	30.17	70.15	25
r25j	39.12	54.56	49.45	73.64	42
r50j	50.64	39.15	64.89	75.79	59
r75j	64.01	21.26	82.83	85.52	76
j00g	83.18	-4.37	108.53	108.62	92
j25g	66.73	-29.88	83.06	88.28	110
j50g	54.03	-48.3	63.49	79.78	127
j75g	44.73	-60.32	42.64	73.88	145
g00b	47.59	-49.07	15.74	51.54	162
g25b	49.97	-39.69	-6.71	40.27	190
g50b	51.85	-32.32	-24.34	40.48	217
g75b	46.92	-17.28	-36.01	39.96	244
b00r	37.91	1.28	-42.34	42.37	272
b25r	23.81	30.38	-52.25	60.45	300
b50r	29.52	69.06	-42.13	80.9	329
b75r	36.48	71.47	-3.68	71.57	357



Ein und Ausgabe: Farbmetrisches Drucker-Reflektiv-System FRS09_92aM für relativen CIELAB-Buntton $h^* = lab^*h^* = h_{ab}/360 = 76/360 = 0.21$ $u^* = r75j$ lab^*rgb^*

Daten für jede Farbe:

lab^*ch^* und lab^*icu^*

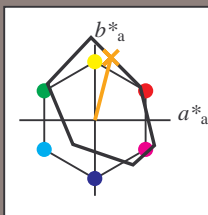
Elementar-Bunttontext:

$u^* = r75j$

Kontrastreduzierungsfaktor:

$c_R = 1.0$

Dreiecks-Helligkeit t^*



FRS09_92aM; adaptierte CIELAB-Daten

	$L^*=L_a^*$	a_a^*	b_a^*	$C^*_{ab,a}$	$h^*_{ab,a}$
O _{Ma}	35.06	60.0	44.0	74.4	36
Y _{Ma}	83.77	-5.16	109.32	109.44	93
L _{Ma}	44.13	-62.66	48.24	79.09	142
C _{Ma}	52.66	-29.13	-31.98	43.27	228
V _{Ma}	14.15	50.3	-59.03	77.57	310
M _{Ma}	37.37	78.64	-33.49	85.48	337
N _{Ma}	8.58	0.0	0.0	0.0	0
W _{Ma}	92.02	0.0	0.0	0.0	0
R _{CIE}	39.92	58.74	27.99	65.07	25
J _{CIE}	81.26	-2.88	71.56	71.62	92
G _{CIE}	52.23	-42.41	13.6	44.55	162
B _{CIE}	30.57	1.41	-46.46	46.49	272

Daten für Maximalfarbe (Ma):

$LAB^*LAB^*_{Ma}$: 64 21 83

$LAB^*LCH^*_{Ma}$: 64 86 76

$lab^*rgb^*_{Ma}$: 1.0 0.75 0.0

$lab^*olv^*_{Ma}$: 1.0 0.59 0.0

Dreiecks-Helligkeit t^*

%Umfang

$u^*_{rel} = 109$

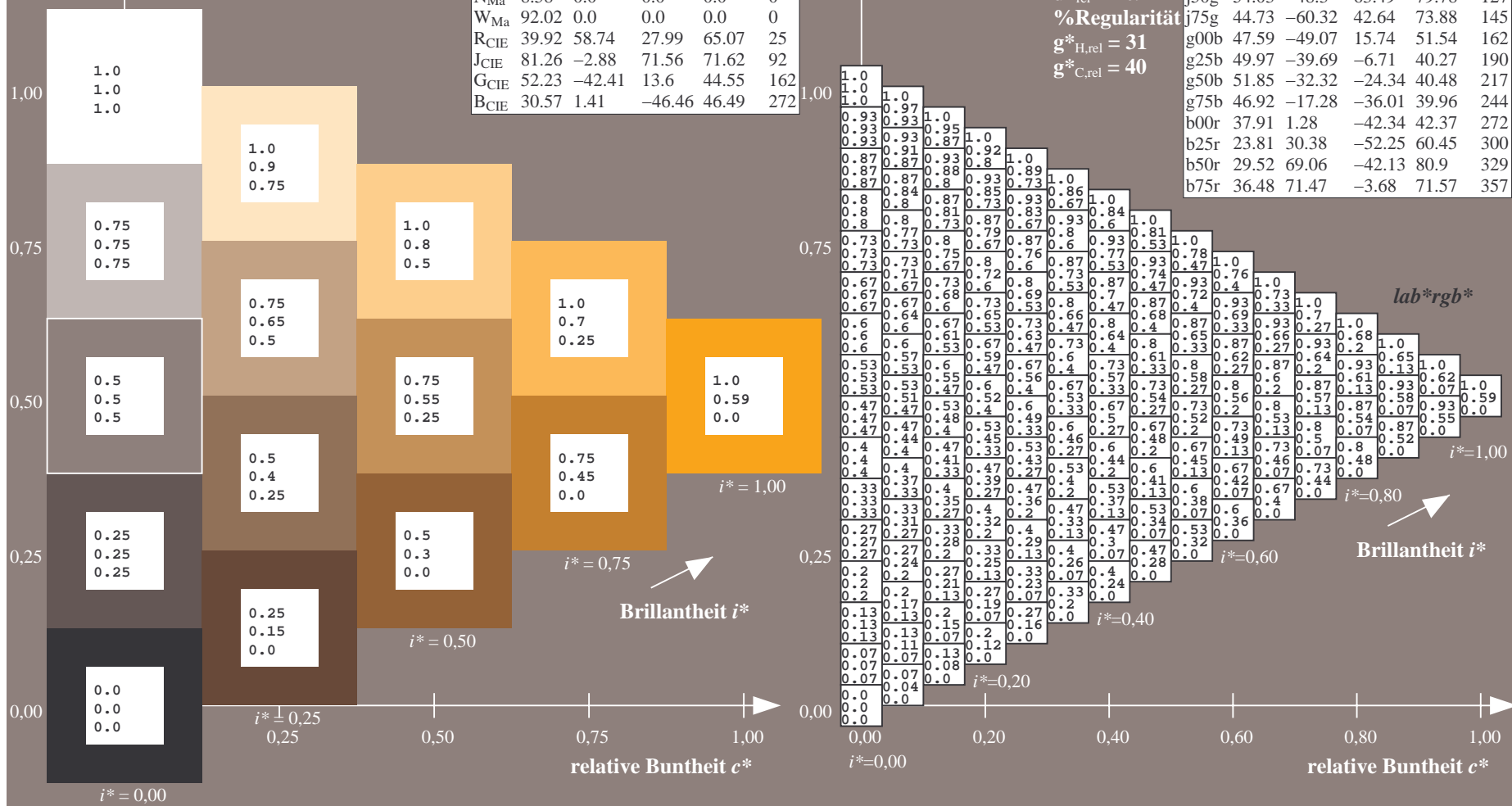
%Regularität

$g^*_{H,rel} = 31$

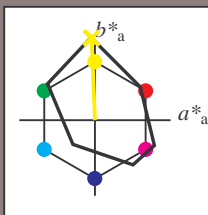
$g^*_{C,rel} = 40$

FRS09_92aM; adaptierte CIELAB-Daten

	$L^*=L_a^*$	a_a^*	b_a^*	$C^*_{ab,a}$	$h^*_{ab,a}$
r00j	35.47	63.32	30.17	70.15	25
r25j	39.12	54.56	49.45	73.64	42
r50j	50.64	39.15	64.89	75.79	59
r75j	64.01	21.26	82.83	85.52	76
j00g	83.18	-4.37	108.53	108.62	92
j25g	66.73	-29.88	83.06	88.28	110
j50g	54.03	-48.3	63.49	79.78	127
j75g	44.73	-60.32	42.64	73.88	145
g00b	47.59	-49.07	15.74	51.54	162
g25b	49.97	-39.69	-6.71	40.27	190
g50b	51.85	-32.32	-24.34	40.48	217
g75b	46.92	-17.28	-36.01	39.96	244
b00r	37.91	1.28	-42.34	42.37	272
b25r	23.81	30.38	-52.25	60.45	300
b50r	29.52	69.06	-42.13	80.9	329
b75r	36.48	71.47	-3.68	71.57	357



Ein und Ausgabe: Farbmetrisches Drucker-Reflektiv-System FRS09_92aM für relativen CIELAB-Buntton $h^* = lab^*h^* = h_{ab}/360 = 92/360 = 0.256$ $u^* = j00g$
Daten für jede Farbe:
 lab^*ch^* und lab^*icu^*
Elementar-Bunttontext:
 $u^* = j00g$
Kontrastreduzierungsfaktor:
 $c_R = 1.0$
Dreiecks-Helligkeit t^*



FRS09_92aM; adaptierte CIELAB-Daten					
	$L^*=L^*_a$	a^*_a	b^*_a	$C^*_{ab,a}$	$h^*_{ab,a}$
O _{Ma}	35.06	60.0	44.0	74.4	36
Y _{Ma}	83.77	-5.16	109.32	109.44	93
L _{Ma}	44.13	-62.66	48.24	79.09	142
C _{Ma}	52.66	-29.13	-31.98	43.27	228
V _{Ma}	14.15	50.3	-59.03	77.57	310
M _{Ma}	37.37	78.64	-33.49	85.48	337
N _{Ma}	8.58	0.0	0.0	0.0	0
W _{Ma}	92.02	0.0	0.0	0.0	0
R _{CIE}	39.92	58.74	27.99	65.07	25
J _{CIE}	81.26	-2.88	71.56	71.62	92
G _{CIE}	52.23	-42.41	13.6	44.55	162
B _{CIE}	30.57	1.41	-46.46	46.49	272

Daten für Maximalfarbe (Ma):

$LAB^*LAB^*_{Ma}$: 83 -3 109

$LAB^*LCH^*_{Ma}$: 83 109 92

$lab^*rgb^*_{Ma}$: 1.0 1.0 0.0

$lab^*olv^*_{Ma}$: 1.0 0.99 0.0

Dreiecks-Helligkeit t^*

%Umfang

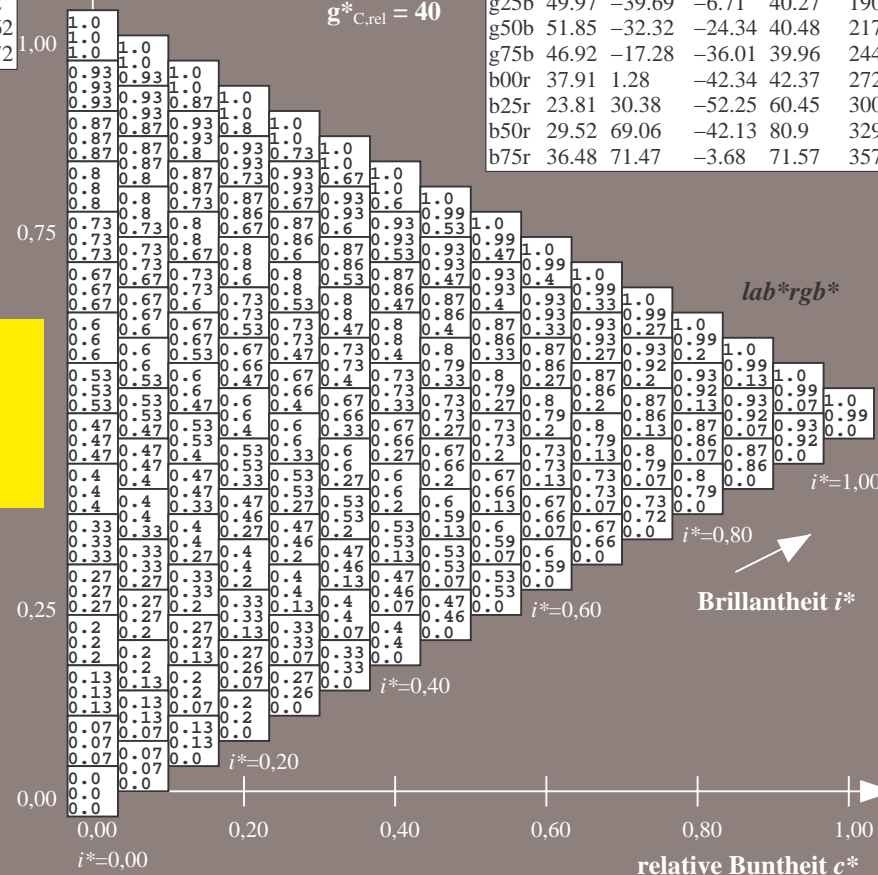
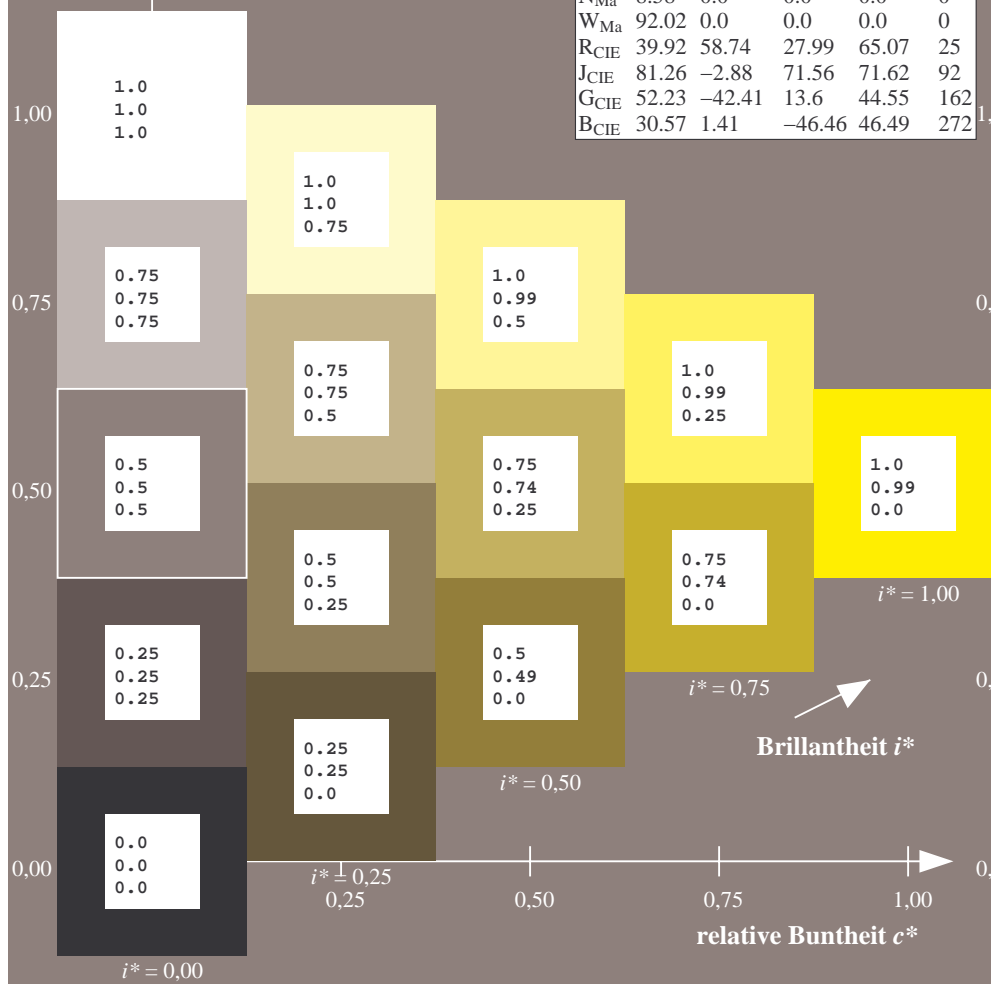
$u^*_{rel} = 109$

%Regularität

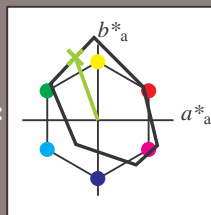
$g^*_{H,rel} = 31$

$g^*_{C,rel} = 40$

FRS09_92aM; adaptierte CIELAB-Daten					
	$L^*=L^*_a$	a^*_a	b^*_a	$C^*_{ab,a}$	$h^*_{ab,a}$
r00j	35.47	63.32	30.17	70.15	25
r25j	39.12	54.56	49.45	73.64	42
r50j	50.64	39.15	64.89	75.79	59
r75j	64.01	21.26	82.83	85.52	76
j00g	83.18	-4.37	108.53	108.62	92
j25g	66.73	-29.88	83.06	88.28	110
j50g	54.03	-48.3	63.49	79.78	127
j75g	44.73	-60.32	42.64	73.88	145
g00b	47.59	-49.07	15.74	51.54	162
g25b	49.97	-39.69	-6.71	40.27	190
g50b	51.85	-32.32	-24.34	40.48	217
g75b	46.92	-17.28	-36.01	39.96	244
b00r	37.91	1.28	-42.34	42.37	272
b25r	23.81	30.38	-52.25	60.45	300
b50r	29.52	69.06	-42.13	80.9	329
b75r	36.48	71.47	-3.68	71.57	357



Ein und Ausgabe: Farbmetrisches Drucker-Reflektiv-System FRS09_92aM für relativen CIELAB-Buntton $h^* = lab^*h^* = h_{ab}/360 = 110/360 = 0.305$ $u^* = j25g$
Daten für jede Farbe:
 lab^*ch^* und lab^*icu^*
Elementar-Bunttontext:
 $u^* = j25g$
Kontrastreduzierungsfaktor:
 $c_R = 1.0$
Dreiecks-Helligkeit i^*



FRS09_92aM; adaptierte CIELAB-Daten					
	$L^*=L^*_a$	a^*_a	b^*_a	$C^*_{ab,a}$	$h^*_{ab,a}$
O _{Ma}	35.06	60.0	44.0	74.4	36
Y _{Ma}	83.77	-5.16	109.32	109.44	93
L _{Ma}	44.13	-62.66	48.24	79.09	142
C _{Ma}	52.66	-29.13	-31.98	43.27	228
V _{Ma}	14.15	50.3	-59.03	77.57	310
M _{Ma}	37.37	78.64	-33.49	85.48	337
N _{Ma}	8.58	0.0	0.0	0.0	0
W _{Ma}	92.02	0.0	0.0	0.0	0
R _{CIE}	39.92	58.74	27.99	65.07	25
J _{CIE}	81.26	-2.88	71.56	71.62	92
G _{CIE}	52.23	-42.41	13.6	44.55	162
B _{CIE}	30.57	1.41	-46.46	46.49	272

Daten für Maximalfarbe (Ma):

$LAB^*LAB^*_{Ma}$: 67 -29 83

$LAB^*LCH^*_{Ma}$: 67 88 110

$lab^*rgb^*_{Ma}$: 0.75 1.0 0.0

$lab^*olv^*_{Ma}$: 0.57 1.0 0.0

Dreiecks-Helligkeit i^*

%Umfang

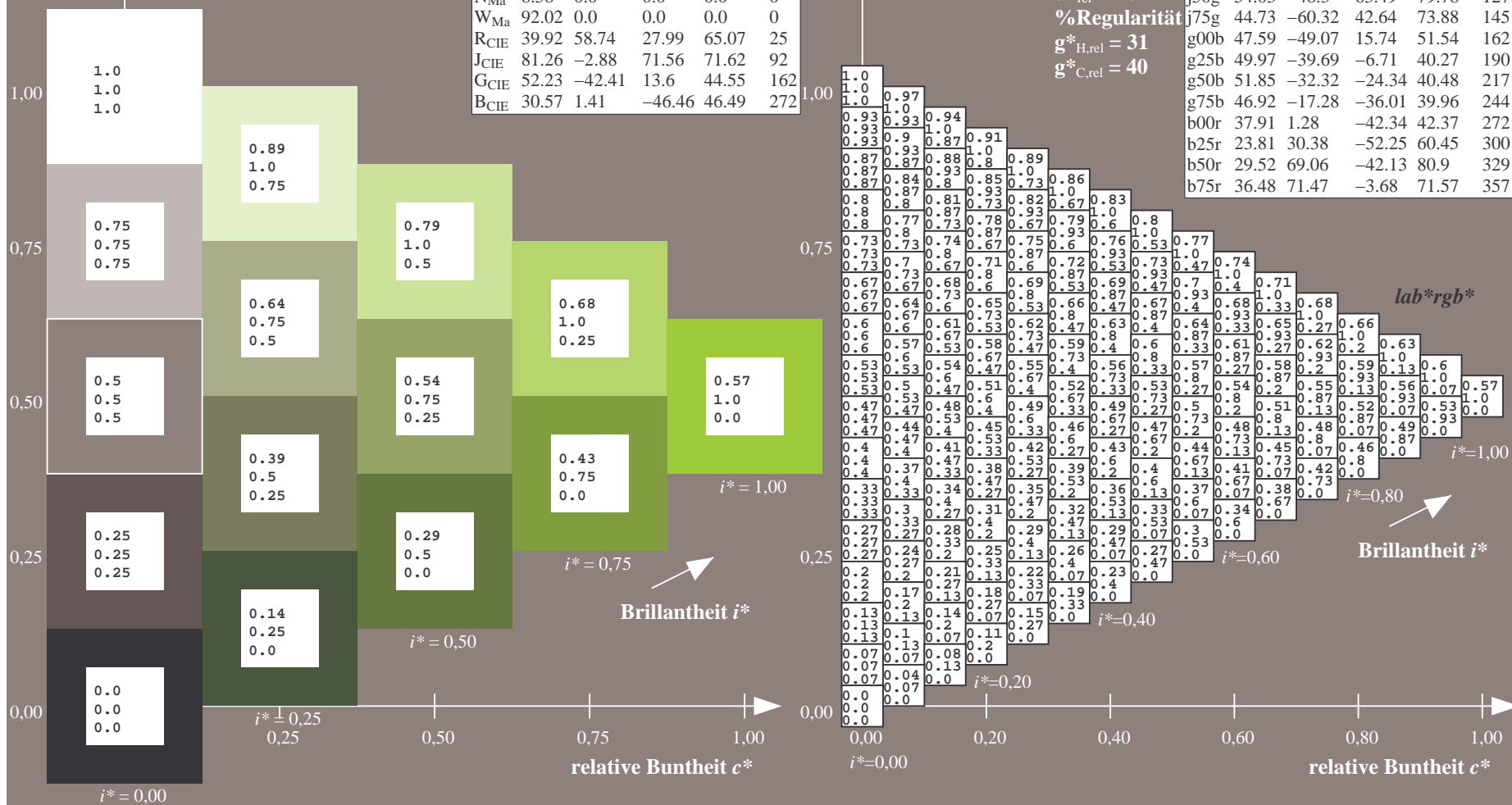
$u^*_{rel} = 109$

%Regularität

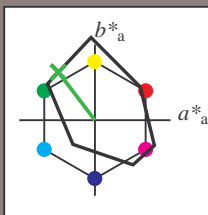
$g^*_{H,rel} = 31$

$g^*_{C,rel} = 40$

FRS09_92aM; adaptierte CIELAB-Daten					
	$L^*=L^*_a$	a^*_a	b^*_a	$C^*_{ab,a}$	$h^*_{ab,a}$
r00j	35.47	63.32	30.17	70.15	25
r25j	39.12	54.56	49.45	73.64	42
r50j	50.64	39.15	64.89	75.79	59
r75j	64.01	21.26	82.83	85.52	76
j00g	83.18	-4.37	108.53	108.62	92
j25g	66.73	-29.88	83.06	88.28	110
j50g	54.03	-48.3	63.49	79.78	127
j75g	44.73	-60.32	42.64	73.88	145
g00b	47.59	-49.07	15.74	51.54	162
g25b	49.97	-39.69	-6.71	40.27	190
g50b	51.85	-32.32	-24.34	40.48	217
g75b	46.92	-17.28	-36.01	39.96	244
b00r	37.91	1.28	-42.34	42.37	272
b25r	23.81	30.38	-52.25	60.45	300
b50r	29.52	69.06	-42.13	80.9	329
b75r	36.48	71.47	-3.68	71.57	357



Ein und Ausgabe: Farbmetrisches Drucker-Reflektiv-System FRS09_92aM für relativen CIELAB-Buntton $h^* = lab^*h^* = h_{ab}/360 = 127/360 = 0.354$ $u^* = j50g$
Daten für jede Farbe:
 lab^*ch^* und lab^*icu^*
Elementar-Bunttontext:
 $u^* = j50g$
Kontrastreduzierungsfaktor:
 $c_R = 1.0$
Dreiecks-Helligkeit t^*



FRS09_92aM; adaptierte CIELAB-Daten					
	$L^*=L_a^*$	a_a^*	b_a^*	$C^*_{ab,a}$	$h^*_{ab,a}$
O _{Ma}	35.06	60.0	44.0	74.4	36
Y _{Ma}	83.77	-5.16	109.32	109.44	93
L _{Ma}	44.13	-62.66	48.24	79.09	142
C _{Ma}	52.66	-29.13	-31.98	43.27	228
V _{Ma}	14.15	50.3	-59.03	77.57	310
M _{Ma}	37.37	78.64	-33.49	85.48	337
N _{Ma}	8.58	0.0	0.0	0.0	0
W _{Ma}	92.02	0.0	0.0	0.0	0
R _{CIE}	39.92	58.74	27.99	65.07	25
J _{CIE}	81.26	-2.88	71.56	71.62	92
G _{CIE}	52.23	-42.41	13.6	44.55	162
B _{CIE}	30.57	1.41	-46.46	46.49	272

Daten für Maximalfarbe (Ma):

$LAB^*LAB^*_{Ma}$: 54 -47 63

$LAB^*LCH^*_{Ma}$: 54 80 127

$lab^*rgb^*_{Ma}$: 0.5 1.0 0.0

$lab^*olv^*_{Ma}$: 0.25 1.0 0.0

Dreiecks-Helligkeit t^*

%Umfang

$u^*_{rel} = 109$

%Regularität

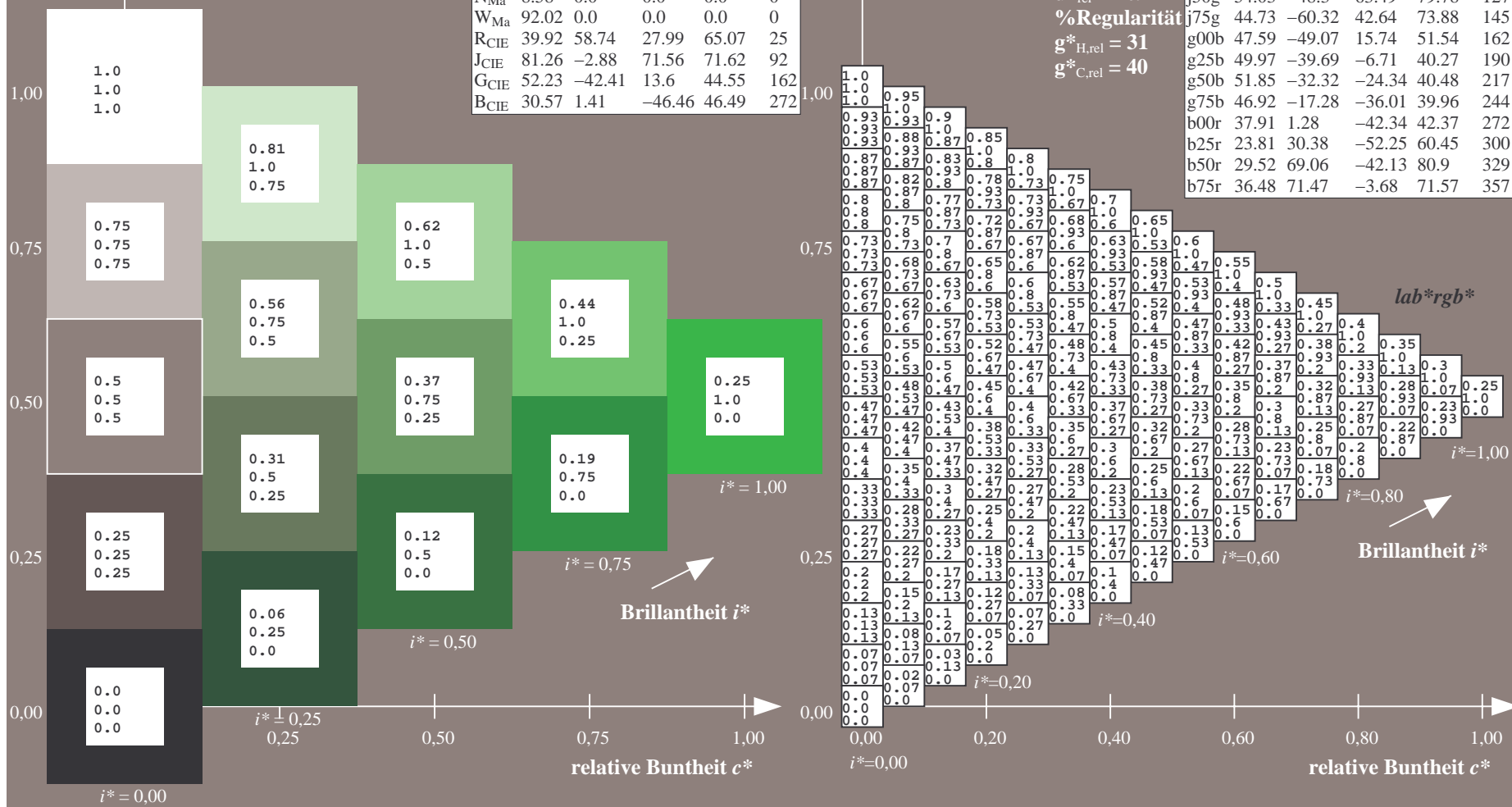
$g^*_{H,rel} = 31$

$g^*_{C,rel} = 40$

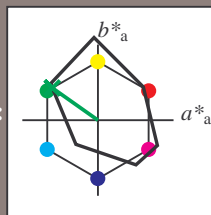
FRS09_92aM; adaptierte CIELAB-Daten					
	$L^*=L_a^*$	a_a^*	b_a^*	$C^*_{ab,a}$	$h^*_{ab,a}$
r00j	35.47	63.32	30.17	70.15	25
r25j	39.12	54.56	49.45	73.64	42
r50j	50.64	39.15	64.89	75.79	59
r75j	64.01	21.26	82.83	85.52	76
j00g	83.18	-4.37	108.53	108.62	92
j25g	66.73	-29.88	83.06	88.28	110
j50g	54.03	-48.3	63.49	79.78	127
j75g	44.73	-60.32	42.64	73.88	145
g00b	47.59	-49.07	15.74	51.54	162
g25b	49.97	-39.69	-6.71	40.27	190
g50b	51.85	-32.32	-24.34	40.48	217
g75b	46.92	-17.28	-36.01	39.96	244
b00r	37.91	1.28	-42.34	42.37	272
b25r	23.81	30.38	-52.25	60.45	300
b50r	29.52	69.06	-42.13	80.9	329
b75r	36.48	71.47	-3.68	71.57	357

Siehe ähnliche Dateien: <http://www.ps.bam.de/Dg92/>; www.ps.bam.de/Dg92/10L/L92G00NP.PS/.PDF BAM-Material: Code=rh4ta
Technische Information: <http://www.ps.bam.de> Version 2.1, io=1,1, ColSpx=0

BAM-Registrierung: 20080701-Dg92/10L/L92G00NP.PS/.PDF BAM-Material: Code=rh4ta
Anwendung für Beurteilung und Messung von Drucker- oder Monitorsystemen



Ein und Ausgabe: Farbmetrisches Drucker-Reflektiv-System FRS09_92aM für relativen CIELAB-Buntton $h^* = lab^*h^* = h_{ab}/360 = 145/360 = 0.402$ $u^* = j75g$
Daten für jede Farbe:
 lab^*ch^* und lab^*icu^*
Elementar-Bunttontext:
 $u^* = j75g$
Kontrastreduzierungsfaktor:
 $c_R = 1.0$
Dreiecks-Helligkeit i^*



FRS09_92aM; adaptierte CIELAB-Daten					
	$L^*=L_a^*$	a_a^*	b_a^*	$C^*_{ab,a}$	$h^*_{ab,a}$
O _{Ma}	35.06	60.0	44.0	74.4	36
Y _{Ma}	83.77	-5.16	109.32	109.44	93
L _{Ma}	44.13	-62.66	48.24	79.09	142
C _{Ma}	52.66	-29.13	-31.98	43.27	228
V _{Ma}	14.15	50.3	-59.03	77.57	310
M _{Ma}	37.37	78.64	-33.49	85.48	337
N _{Ma}	8.58	0.0	0.0	0.0	0
W _{Ma}	92.02	0.0	0.0	0.0	0
R _{CIE}	39.92	58.74	27.99	65.07	25
J _{CIE}	81.26	-2.88	71.56	71.62	92
G _{CIE}	52.23	-42.41	13.6	44.55	162
B _{CIE}	30.57	1.41	-46.46	46.49	272

Daten für Maximalfarbe (Ma):

$LAB^*LAB^*_{Ma}$: 45 -59 43

$LAB^*LCH^*_{Ma}$: 45 74 145

$lab^*rgb^*_{Ma}$: 0.25 1.0 0.0

$lab^*olv^*_{Ma}$: 0.0 1.0 0.07

Dreiecks-Helligkeit i^*

%Umfang

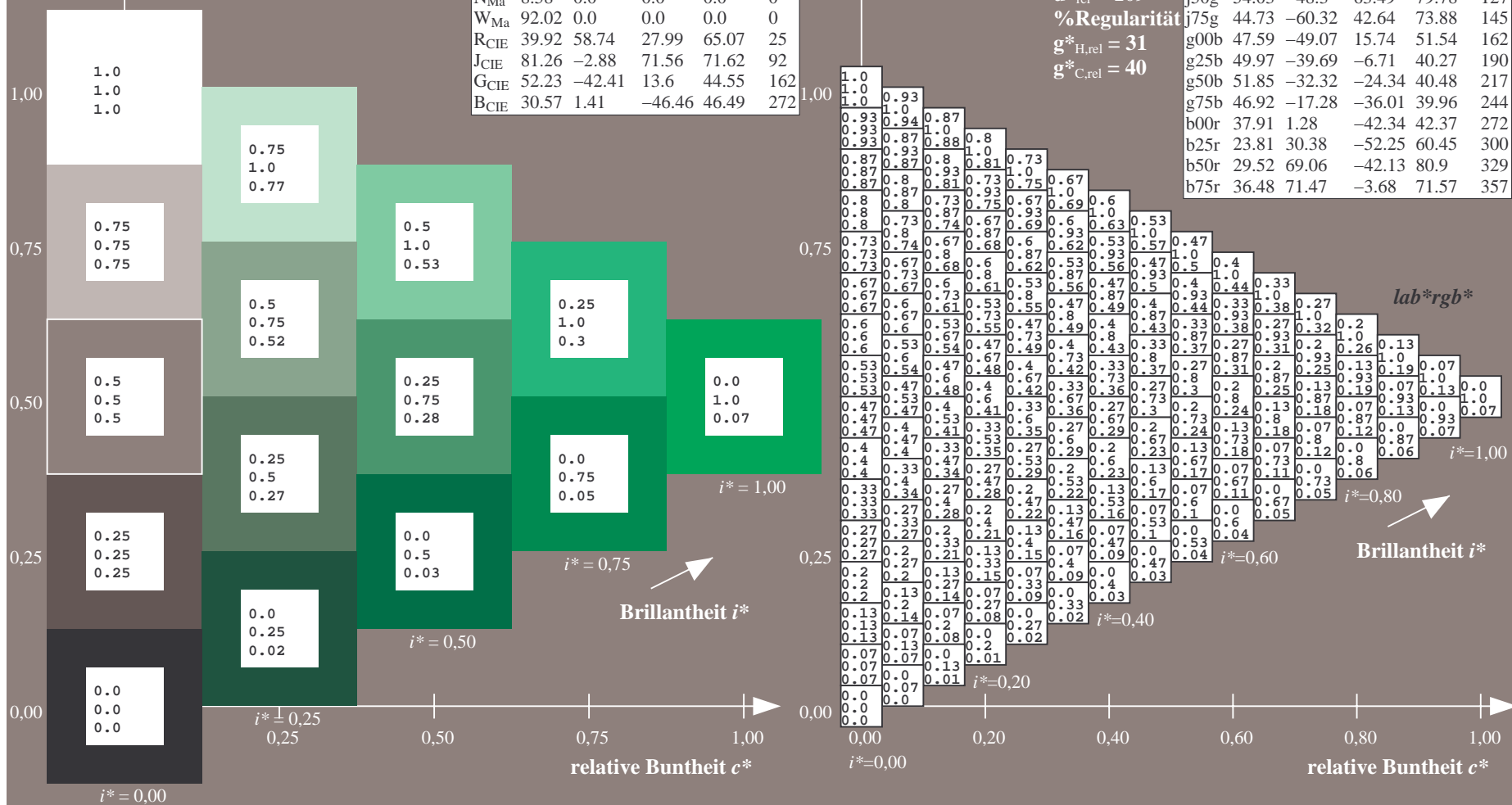
$u^*_{rel} = 109$

%Regularität

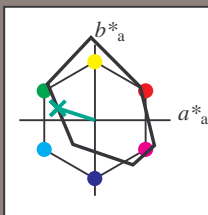
$g^*_{H,rel} = 31$

$g^*_{C,rel} = 40$

FRS09_92aM; adaptierte CIELAB-Daten					
	$L^*=L_a^*$	a_a^*	b_a^*	$C^*_{ab,a}$	$h^*_{ab,a}$
r00j	35.47	63.32	30.17	70.15	25
r25j	39.12	54.56	49.45	73.64	42
r50j	50.64	39.15	64.89	75.79	59
r75j	64.01	21.26	82.83	85.52	76
j00g	83.18	-4.37	108.53	108.62	92
j25g	66.73	-29.88	83.06	88.28	110
j50g	54.03	-48.3	63.49	79.78	127
j75g	44.73	-60.32	42.64	73.88	145
g00b	47.59	-49.07	15.74	51.54	162
g25b	49.97	-39.69	-6.71	40.27	190
g50b	51.85	-32.32	-24.34	40.48	217
g75b	46.92	-17.28	-36.01	39.96	244
b00r	37.91	1.28	-42.34	42.37	272
b25r	23.81	30.38	-52.25	60.45	300
b50r	29.52	69.06	-42.13	80.9	329
b75r	36.48	71.47	-3.68	71.57	357



Ein und Ausgabe: Farbmetrisches Drucker-Reflektiv-System FRS09_92aM für relativen CIELAB-Buntton $h^* = lab^*h^* = h_{ab}/360 = 162/360 = 0.451$ $u^* = g00b$
Daten für jede Farbe:
 lab^*ch^* und lab^*icu^*
Elementar-Bunttontext:
 $u^* = g00b$
Kontrastreduzierungsfaktor:
 $c_R = 1.0$
Dreiecks-Helligkeit i^*



FRS09_92aM; adaptierte CIELAB-Daten					
	$L^*=L_a^*$	a^*_a	b^*_a	$C^*_{ab,a}$	$h^*_{ab,a}$
O _{Ma}	35.06	60.0	44.0	74.4	36
Y _{Ma}	83.77	-5.16	109.32	109.44	93
L _{Ma}	44.13	-62.66	48.24	79.09	142
C _{Ma}	52.66	-29.13	-31.98	43.27	228
V _{Ma}	14.15	50.3	-59.03	77.57	310
M _{Ma}	37.37	78.64	-33.49	85.48	337
N _{Ma}	8.58	0.0	0.0	0.0	0
W _{Ma}	92.02	0.0	0.0	0.0	0
R _{CIE}	39.92	58.74	27.99	65.07	25
J _{CIE}	81.26	-2.88	71.56	71.62	92
G _{CIE}	52.23	-42.41	13.6	44.55	162
B _{CIE}	30.57	1.41	-46.46	46.49	272

Daten für Maximalfarbe (Ma):

$LAB^*LAB^*_{Ma}$: 48 -48 16

$LAB^*LCH^*_{Ma}$: 48 52 162

$lab^*rgb^*_{Ma}$: 0.0 1.0 0.0

$lab^*olv^*_{Ma}$: 0.0 1.0 0.41

Dreiecks-Helligkeit i^*

%Umfang

$u^*_{rel} = 109$

%Regularität

$g^*_{H,rel} = 31$

$g^*_{C,rel} = 40$

FRS09_92aM; adaptierte CIELAB-Daten					
	$L^*=L_a^*$	a^*_a	b^*_a	$C^*_{ab,a}$	$h^*_{ab,a}$
r00j	35.47	63.32	30.17	70.15	25
r25j	39.12	54.56	49.45	73.64	42
r50j	50.64	39.15	64.89	75.79	59
r75j	64.01	21.26	82.83	85.52	76
j00g	83.18	-4.37	108.53	108.62	92
j25g	66.73	-29.88	83.06	88.28	110
j50g	54.03	-48.3	63.49	79.78	127
j75g	44.73	-60.32	42.64	73.88	145
g00b	47.59	-49.07	15.74	51.54	162
g25b	49.97	-39.69	-6.71	40.27	190
g50b	51.85	-32.32	-24.34	40.48	217
g75b	46.92	-17.28	-36.01	39.96	244
b00r	37.91	1.28	-42.34	42.37	272
b25r	23.81	30.38	-52.25	60.45	300
b50r	29.52	69.06	-42.13	80.9	329
b75r	36.48	71.47	-3.68	71.57	357

lab^*rgb^*

$i^* = 1.00$

Brillantheit i^*

$i^* = 0.80$

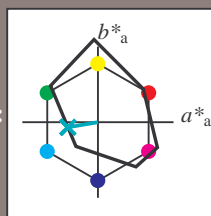
$i^* = 0.60$

$i^* = 0.40$

$i^* = 0.20$

$i^* = 0.00$

Ein und Ausgabe: Farbmetrisches Drucker-Reflektiv-System FRS09_92aM für relativen CIELAB-Buntton $h^* = lab^*h^* = h_{ab}/360 = 190/360 = 0.527$ $u^* = g25b$
Daten für jede Farbe:
 lab^*ch^* und lab^*icu^*
Elementar-Bunttontext:
 $u^* = g25b$
Kontrastreduzierungsfaktor:
 $c_R = 1.0$
Dreiecks-Helligkeit i^*



FRS09_92aM; adaptierte CIELAB-Daten					
	$L^*=L^*_a$	a^*_a	b^*_a	$C^*_{ab,a}$	$h^*_{ab,a}$
O _{Ma}	35.06	60.0	44.0	74.4	36
Y _{Ma}	83.77	-5.16	109.32	109.44	93
L _{Ma}	44.13	-62.66	48.24	79.09	142
C _{Ma}	52.66	-29.13	-31.98	43.27	228
V _{Ma}	14.15	50.3	-59.03	77.57	310
M _{Ma}	37.37	78.64	-33.49	85.48	337
N _{Ma}	8.58	0.0	0.0	0.0	0
W _{Ma}	92.02	0.0	0.0	0.0	0
R _{CIE}	39.92	58.74	27.99	65.07	25
J _{CIE}	81.26	-2.88	71.56	71.62	92
G _{CIE}	52.23	-42.41	13.6	44.55	162
B _{CIE}	30.57	1.41	-46.46	46.49	272

Daten für Maximalfarbe (Ma):

$LAB^*LAB^*_{Ma}$: 50 -39 -6

$LAB^*LCH^*_{Ma}$: 50 40 190

$lab^*rgb^*_{Ma}$: 0.0 1.0 0.5

$lab^*olv^*_{Ma}$: 0.0 1.0 0.69

Dreiecks-Helligkeit i^*

%Umfang

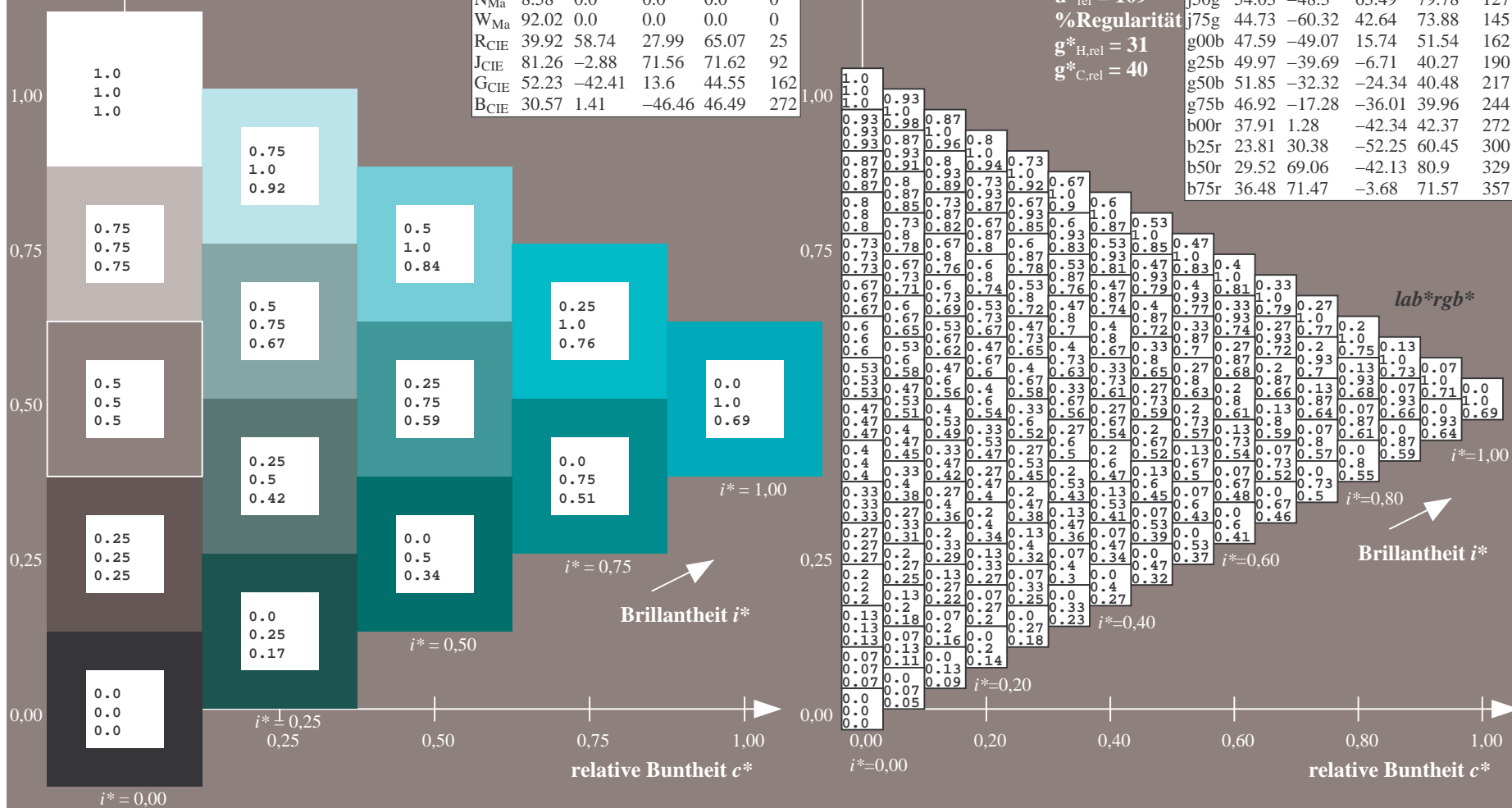
$u^*_{rel} = 109$

%Regularität

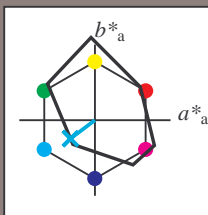
$g^*_{H,rel} = 31$

$g^*_{C,rel} = 40$

FRS09_92aM; adaptierte CIELAB-Daten					
	$L^*=L^*_a$	a^*_a	b^*_a	$C^*_{ab,a}$	$h^*_{ab,a}$
r00j	35.47	63.32	30.17	70.15	25
r25j	39.12	54.56	49.45	73.64	42
r50j	50.64	39.15	64.89	75.79	59
r75j	64.01	21.26	82.83	85.52	76
j00g	83.18	-4.37	108.53	108.62	92
j25g	66.73	-29.88	83.06	88.28	110
j50g	54.03	-48.3	63.49	79.78	127
j75g	44.73	-60.32	42.64	73.88	145
g00b	47.59	-49.07	15.74	51.54	162
g25b	49.97	-39.69	-6.71	40.27	190
g50b	51.85	-32.32	-24.34	40.48	217
g75b	46.92	-17.28	-36.01	39.96	244
b00r	37.91	1.28	-42.34	42.37	272
b25r	23.81	30.38	-52.25	60.45	300
b50r	29.52	69.06	-42.13	80.9	329
b75r	36.48	71.47	-3.68	71.57	357



Ein und Ausgabe: Farbmetrisches Drucker-Reflektiv-System FRS09_92aM für relativen CIELAB-Buntton $h^* = lab^*h^* = h_{ab}/360 = 217/360 = 0.603$ $u^* = g50b$
Daten für jede Farbe:
 lab^*ch^* und lab^*icu^*
Elementar-Bunttontext:
 $u^* = g50b$
Kontrastreduzierungsfaktor:
 $c_R = 1.0$
Dreiecks-Helligkeit i^*



FRS09_92aM; adaptierte CIELAB-Daten					
	$L^*=L^*_a$	a^*_a	b^*_a	$C^*_{ab,a}$	$h^*_{ab,a}$
O _{Ma}	35.06	60.0	44.0	74.4	36
Y _{Ma}	83.77	-5.16	109.32	109.44	93
L _{Ma}	44.13	-62.66	48.24	79.09	142
C _{Ma}	52.66	-29.13	-31.98	43.27	228
V _{Ma}	14.15	50.3	-59.03	77.57	310
M _{Ma}	37.37	78.64	-33.49	85.48	337
N _{Ma}	8.58	0.0	0.0	0.0	0
W _{Ma}	92.02	0.0	0.0	0.0	0
R _{CIE}	39.92	58.74	27.99	65.07	25
J _{CIE}	81.26	-2.88	71.56	71.62	92
G _{CIE}	52.23	-42.41	13.6	44.55	162
B _{CIE}	30.57	1.41	-46.46	46.49	272

Daten für Maximalfarbe (Ma):

$LAB^*LAB^*_{Ma}$: 52 -31 -23

$LAB^*LCH^*_{Ma}$: 52 40 217

$lab^*rgb^*_{Ma}$: 0.0 1.0 1.0

$lab^*olv^*_{Ma}$: 0.0 1.0 0.9

Dreiecks-Helligkeit i^*

%Umfang

$u^*_{rel} = 109$

%Regularität

$g^*_{H,rel} = 31$

$g^*_{C,rel} = 40$

FRS09_92aM; adaptierte CIELAB-Daten					
	$L^*=L^*_a$	a^*_a	b^*_a	$C^*_{ab,a}$	$h^*_{ab,a}$
r00j	35.47	63.32	30.17	70.15	25
r25j	39.12	54.56	49.45	73.64	42
r50j	50.64	39.15	64.89	75.79	59
r75j	64.01	21.26	82.83	85.52	76
j00g	83.18	-4.37	108.53	108.62	92
j25g	66.73	-29.88	83.06	88.28	110
j50g	54.03	-48.3	63.49	79.78	127
j75g	44.73	-60.32	42.64	73.88	145
g00b	47.59	-49.07	15.74	51.54	162
g25b	49.97	-39.69	-6.71	40.27	190
g50b	51.85	-32.32	-24.34	40.48	217
g75b	46.92	-17.28	-36.01	39.96	244
b00r	37.91	1.28	-42.34	42.37	272
b25r	23.81	30.38	-52.25	60.45	300
b50r	29.52	69.06	-42.13	80.9	329
b75r	36.48	71.47	-3.68	71.57	357

lab^*rgb^*

$i^* = 1.00$

$i^* = 0.80$

$i^* = 0.60$

$i^* = 0.40$

$i^* = 0.20$

$i^* = 0.00$

$i^* = 0.00$

$i^* = 0.00$

$i^* = 0.00$

$i^* = 0.00$

$i^* = 0.00$

$i^* = 0.00$

$i^* = 0.00$

$i^* = 0.00$

$i^* = 0.00$

$i^* = 0.00$

$i^* = 0.00$

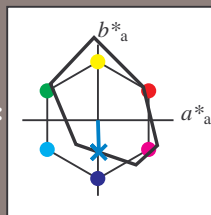
$i^* = 0.00$

$i^* = 0.00$

$i^* = 0.00$

Siehe ähnliche Dateien: <http://www.ps.bam.de/Dg92/>; www.ps.bam.de/Dg92/10L/L92G00NP.PS/.PDF BAM-Material: Code=rh4ta
Technische Information: <http://www.ps.bam.de> Version 2.1, io=1,1, ColSpx=0

Ein und Ausgabe: Farbmétrisches Drucker-Reflektiv-System FRS09_92aM für relativen CIELAB-Buntton $h^* = lab^*h^* = h_{ab}/360 = 272/360 = 0.755$ $u^* = b00r$
Daten für jede Farbe:
 lab^*ch^* und lab^*icu^*
Elementar-Bunttonstext:
 $u^* = b00r$
Kontrastreduzierungsfaktor:
 $c_R = 1.0$
Dreiecks-Helligkeit i^*



FRS09_92aM; adaptierte CIELAB-Daten					
	$L^*=L_a^*$	a_a^*	b_a^*	$C_{ab,a}^*$	$h_{ab,a}^*$
O _{Ma}	35.06	60.0	44.0	74.4	36
Y _{Ma}	83.77	-5.16	109.32	109.44	93
L _{Ma}	44.13	-62.66	48.24	79.09	142
C _{Ma}	52.66	-29.13	-31.98	43.27	228
V _{Ma}	14.15	50.3	-59.03	77.57	310
M _{Ma}	37.37	78.64	-33.49	85.48	337
N _{Ma}	8.58	0.0	0.0	0.0	0
W _{Ma}	92.02	0.0	0.0	0.0	0
R _{CIE}	39.92	58.74	27.99	65.07	25
J _{CIE}	81.26	-2.88	71.56	71.62	92
G _{CIE}	52.23	-42.41	13.6	44.55	162
B _{CIE}	30.57	1.41	-46.46	46.49	272

Daten für Maximalfarbe (Ma):

$LAB^*LAB^*_{Ma}$: 38 1 -41

$LAB^*LCH^*_{Ma}$: 38 42 272

$lab^*rgb^*_{Ma}$: 0.0 0.0 1.0

$lab^*olv^*_{Ma}$: 0.0 0.62 1.0

Dreiecks-Helligkeit i^*

%Umfang

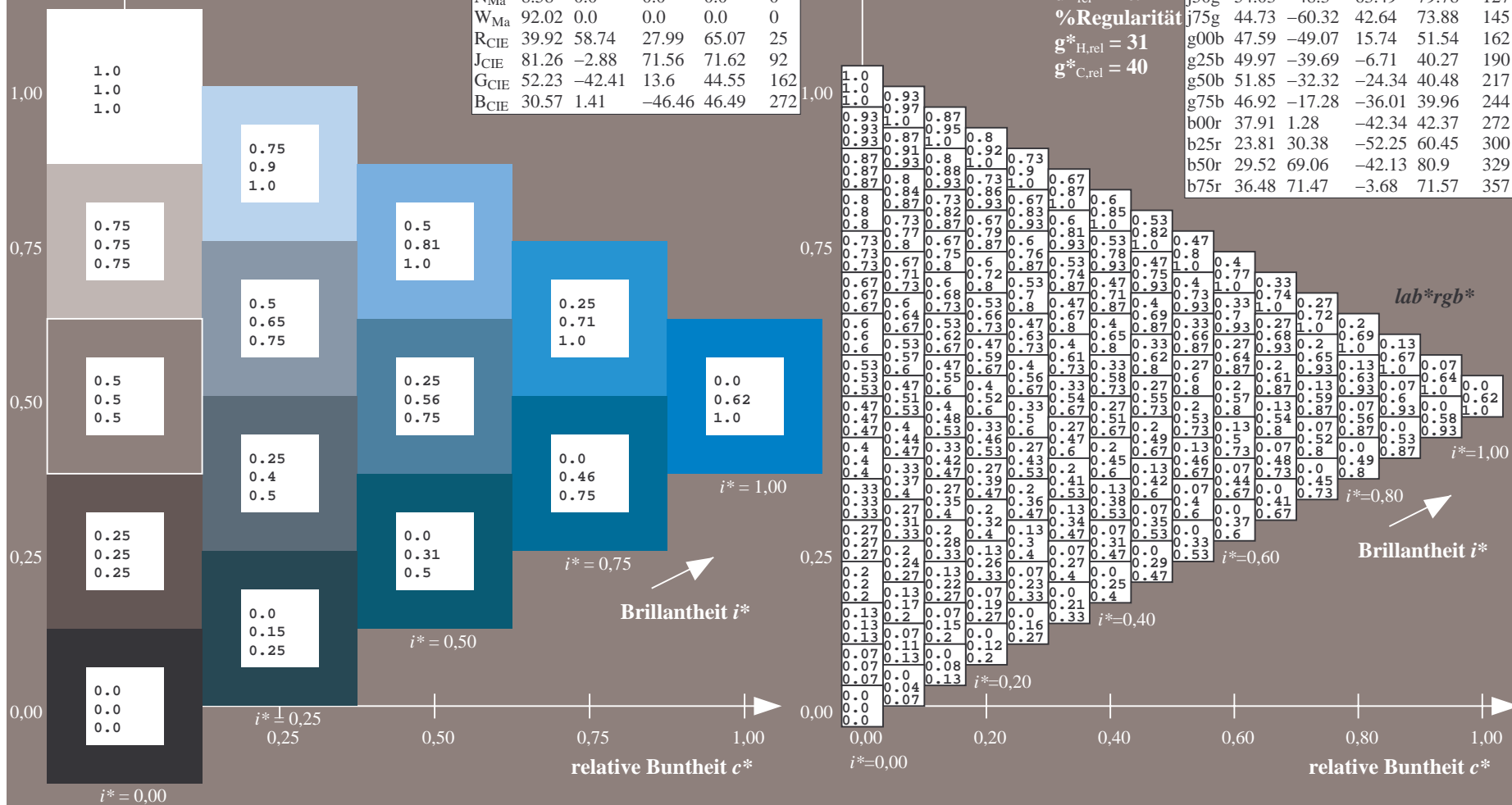
$u^*_{rel} = 109$

%Regularität

$g^*_{H,rel} = 31$

$g^*_{C,rel} = 40$

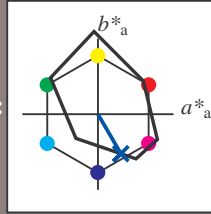
FRS09_92aM; adaptierte CIELAB-Daten					
	$L^*=L_a^*$	a_a^*	b_a^*	$C_{ab,a}^*$	$h_{ab,a}^*$
r00j	35.47	63.32	30.17	70.15	25
r25j	39.12	54.56	49.45	73.64	42
r50j	50.64	39.15	64.89	75.79	59
r75j	64.01	21.26	82.83	85.52	76
j00g	83.18	-4.37	108.53	108.62	92
j25g	66.73	-29.88	83.06	88.28	110
j50g	54.03	-48.3	63.49	79.78	127
j75g	44.73	-60.32	42.64	73.88	145
g00b	47.59	-49.07	15.74	51.54	162
g25b	49.97	-39.69	-6.71	40.27	190
g50b	51.85	-32.32	-24.34	40.48	217
g75b	46.92	-17.28	-36.01	39.96	244
b00r	37.91	1.28	-42.34	42.37	272
b25r	23.81	30.38	-52.25	60.45	300
b50r	29.52	69.06	-42.13	80.9	329
b75r	36.48	71.47	-3.68	71.57	357



BAM-Registrierung: 20080701-Dg92/10L/L92G00NP.PS/.PDF BAM-Material: Code=rh4ta
Anwendung für Beurteilung und Messung von Drucker- oder Monitorsystemen

Siehe ähnliche Dateien: <http://www.ps.bam.de/Dg92/>; www.ps.bam.de/Dg.HTM
Technische Information: <http://www.ps.bam.de> Version 2.1, io=1,1, ColSp=0

Ein und Ausgabe: Farbm
Daten für jede Farbe:
*lab*_{tch}** und *lab*_{icu}**
Elementar-Bunttontext:
*u** = *b25r*
Kontrastreduzierungsfa
c_R = 1.0
Dreiecks-Helligkeit *t**



FRS09_92aM; adaptierte CIELAB-Daten					
	L^*_a	a^*_a	b^*_a	$C^*_{ab,a}$	$h^*_{ab,a}$
O _{Ma}	35.06	60.0	44.0	74.4	36
Y _{Ma}	83.77	-5.16	109.32	109.44	93
L _{Ma}	44.13	-62.66	48.24	79.09	142
C _{Ma}	52.66	-29.13	-31.98	43.27	228
V _{Ma}	14.15	50.3	-59.03	77.57	310
M _{Ma}	37.37	78.64	-33.49	85.48	337
N _{Ma}	8.58	0.0	0.0	0.0	0
W _{Ma}	92.02	0.0	0.0	0.0	0
R _{CIE}	39.92	58.74	27.99	65.07	25
J _{CIE}	81.26	-2.88	71.56	71.62	92
G _{CIE}	52.23	-42.41	13.6	44.55	162
B _{CIE}	30.57	1.41	-46.46	46.49	272

Daten für Maximalfarbe (Ma):

***LAB*LAB*_{Ma}: 24 30 -51**

***LAB*LCH**_{Ma}: 24 60 300**

*lab*rgb**Ma: 0.5 0.0 1.0

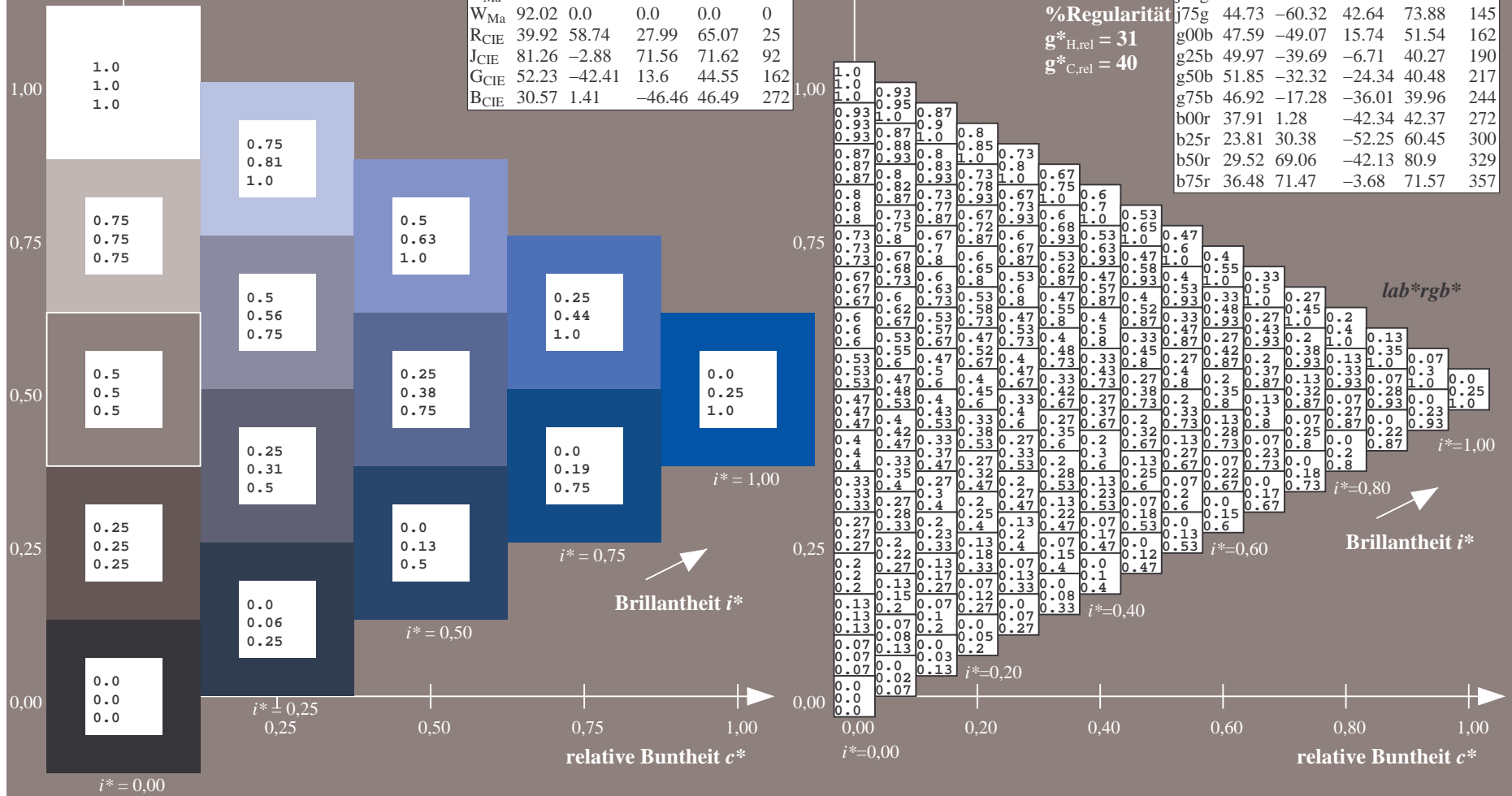
*lab*olv**_{Ma}: 0.0 0.25 1.0

Dreiecks-Helligkeit t^*

%Umfang

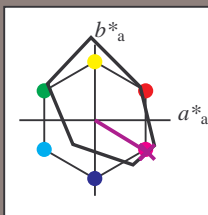
$$\mathbf{u}_{\text{rel}}^* = 109$$

%Regular
= 31

 $\sigma_{\text{H,rel}}^* = 40$ 

BAM-Registrierung: 20080701-Dg92/10L/L92G00NP.PS/.PDF BAM-Material: Code=rha4ta
Anwendung für Beurteilung und Messung von Drucker- oder Monitorsystemen

Ein und Ausgabe: Farbmetrisches Drucker-Reflektiv-System FRS09_92aM für relativen CIELAB-Buntton $h^* = lab^*h^* = h_{ab}/360 = 329/360 = 0.913$ $u^* = b50r$
Daten für jede Farbe:
 lab^*ch^* und lab^*icu^*
Elementar-Bunttontext:
 $u^* = b50r$
Kontrastreduzierungsfaktor:
 $c_R = 1.0$
Dreiecks-Helligkeit t^*



FRS09_92aM; adaptierte CIELAB-Daten					
	$L^*=L^*_a$	a^*_a	b^*_a	$C^*_{ab,a}$	$h^*_{ab,a}$
O _{Ma}	35.06	60.0	44.0	74.4	36
Y _{Ma}	83.77	-5.16	109.32	109.44	93
L _{Ma}	44.13	-62.66	48.24	79.09	142
C _{Ma}	52.66	-29.13	-31.98	43.27	228
V _{Ma}	14.15	50.3	-59.03	77.57	310
M _{Ma}	37.37	78.64	-33.49	85.48	337
N _{Ma}	8.58	0.0	0.0	0.0	0
W _{Ma}	92.02	0.0	0.0	0.0	0
R _{CIE}	39.92	58.74	27.99	65.07	25
J _{CIE}	81.26	-2.88	71.56	71.62	92
G _{CIE}	52.23	-42.41	13.6	44.55	162
B _{CIE}	30.57	1.41	-46.46	46.49	272

Daten für Maximalfarbe (Ma):

$LAB^*LAB^*_{Ma}$: 30 69 -41

$LAB^*LCH^*_{Ma}$: 30 81 329

$lab^*rgb^*_{Ma}$: 1.0 0.0 1.0

$lab^*olv^*_{Ma}$: 0.66 0.0 1.0

Dreiecks-Helligkeit t^*

%Umfang

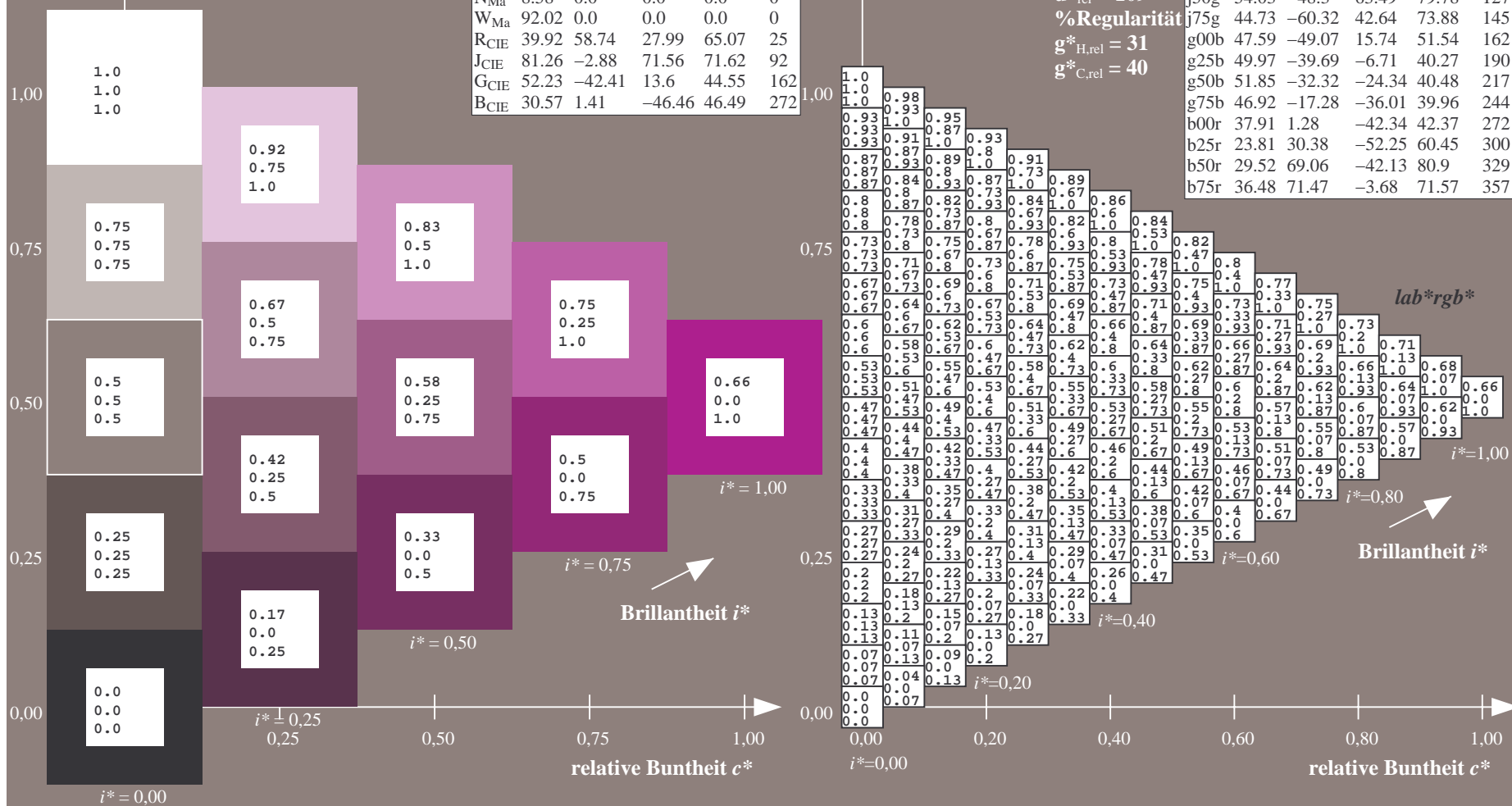
$u^*_{rel} = 109$

%Regularität

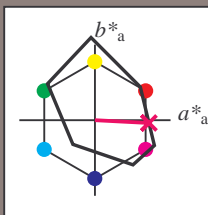
$g^*_{H,rel} = 31$

$g^*_{C,rel} = 40$

FRS09_92aM; adaptierte CIELAB-Daten					
	$L^*=L^*_a$	a^*_a	b^*_a	$C^*_{ab,a}$	$h^*_{ab,a}$
r00j	35.47	63.32	30.17	70.15	25
r25j	39.12	54.56	49.45	73.64	42
r50j	50.64	39.15	64.89	75.79	59
r75j	64.01	21.26	82.83	85.52	76
j00g	83.18	-4.37	108.53	108.62	92
j25g	66.73	-29.88	83.06	88.28	110
j50g	54.03	-48.3	63.49	79.78	127
j75g	44.73	-60.32	42.64	73.88	145
g00b	47.59	-49.07	15.74	51.54	162
g25b	49.97	-39.69	-6.71	40.27	190
g50b	51.85	-32.32	-24.34	40.48	217
g75b	46.92	-17.28	-36.01	39.96	244
b00r	37.91	1.28	-42.34	42.37	272
b25r	23.81	30.38	-52.25	60.45	300
b50r	29.52	69.06	-42.13	80.9	329
b75r	36.48	71.47	-3.68	71.57	357



Ein und Ausgabe: Farbmetri-
Daten für jede Farbe:
 lab^*tch^* und lab^*icu^*
Elementar-Bunttontext:
 $u^* = b75r$
Kontrastreduzierungsfaktor:
 $c_R = 1.0$
Dreiecks-Helligkeit l^*



FRS09_92aM; adaptierte CIELAB-Daten					
	L^*_a	a^*_a	b^*_a	$C^*_{ab,a}$	$h^*_{ab,a}$
O _{Ma}	35.06	60.0	44.0	74.4	36
Y _{Ma}	83.77	-5.16	109.32	109.44	93
L _{Ma}	44.13	-62.66	48.24	79.09	142
C _{Ma}	52.66	-29.13	-31.98	43.27	228
V _{Ma}	14.15	50.3	-59.03	77.57	310
M _{Ma}	37.37	78.64	-33.49	85.48	337
N _{Ma}	8.58	0.0	0.0	0.0	0
W _{Ma}	92.02	0.0	0.0	0.0	0
R _{CIE}	39.92	58.74	27.99	65.07	25
J _{CIE}	81.26	-2.88	71.56	71.62	92
G _{CIE}	52.23	-42.41	13.6	44.55	162
B _{CIE}	30.57	1.41	-46.46	46.49	272

Daten für Maximalfarbe (Ma):

LAB*LAB*Ma: 36 71 -3

LAB*LCH*Ma: 36 72 357

*lab*rgb*_Ma: 1.0 0.0 0.5*

*lab*oly**_{M3}: 1.0 0.0 0.62

Dreiecks-Helligkeit t^*

100

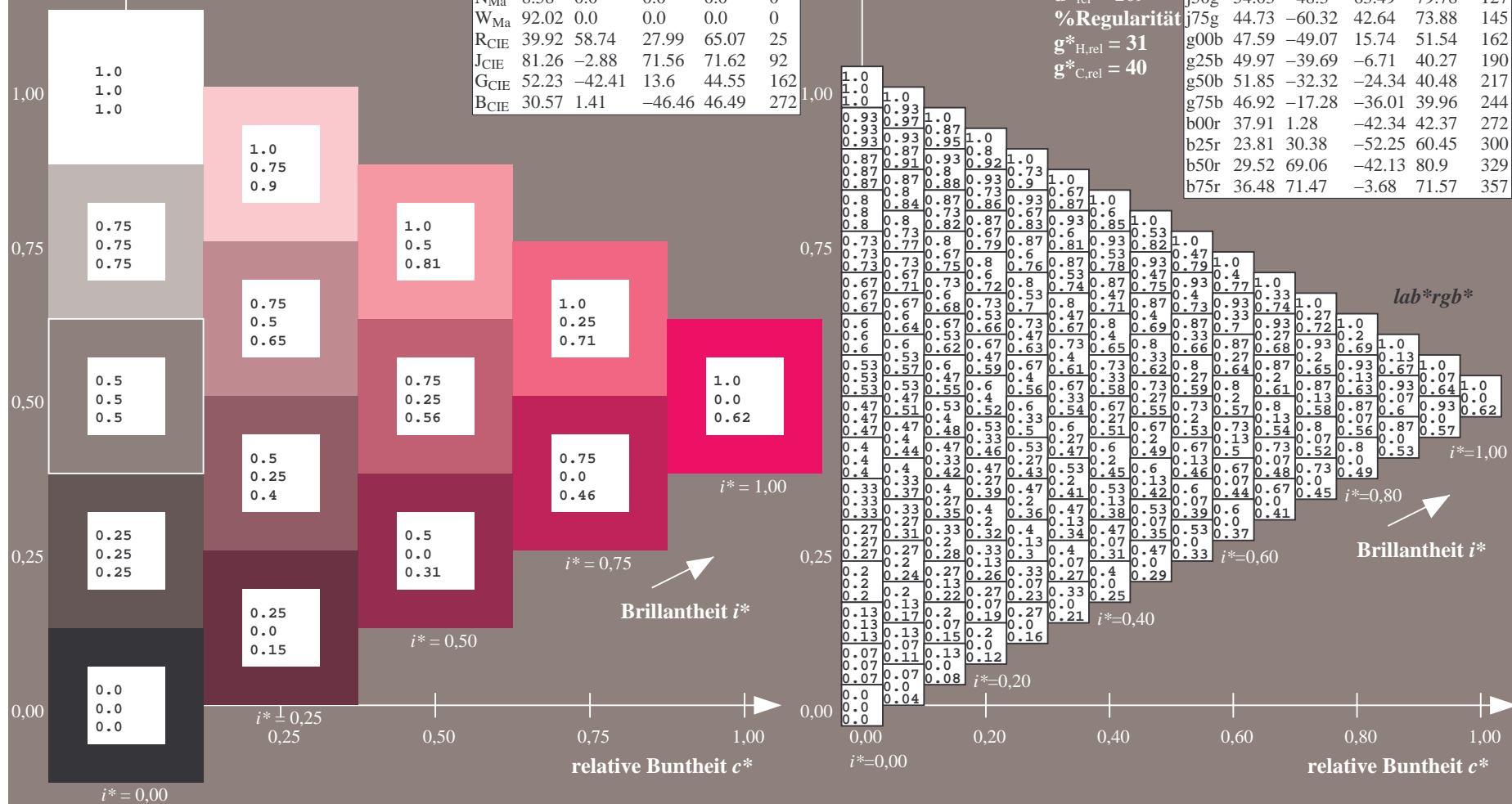
%Umfang

$$\mathbf{u}_{\text{rel}}^* = 109$$

%Regular:
* 31

$$\begin{aligned} g^*_{H,rel} &= 51 \\ g^*_{H,rel} &= 40 \end{aligned}$$

FRS09_92aM; adaptierte CIELAB-Daten					
	L^*_a	a^*_a	b^*_a	$C^*_{ab,a}$	$h^*_{ab,a}$
r00j	35.47	63.32	30.17	70.15	25
r25j	39.12	54.56	49.45	73.64	42
r50j	50.64	39.15	64.89	75.79	59
r75j	64.01	21.26	82.83	85.52	76
j00g	83.18	-4.37	108.53	108.62	92
j25g	66.73	-29.88	83.06	88.28	110
j50g	54.03	-48.3	63.49	79.78	127
j75g	44.73	-60.32	42.64	73.88	145
g00b	47.59	-49.07	15.74	51.54	162
g25b	49.97	-39.69	-6.71	40.27	190
g50b	51.85	-32.32	-24.34	40.48	217
g75b	46.92	-17.28	-36.01	39.96	244
b00r	37.91	1.28	-42.34	42.37	272
b25r	23.81	30.38	-52.25	60.45	300
b50r	29.52	69.06	-42.13	80.9	329
b75r	36.48	71.47	-3.68	71.57	357

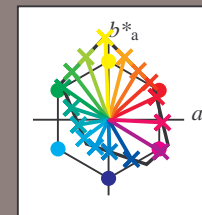


Siehe ähnliche Dateien: <http://www.ps.bam.de/Dg92/>; www.ps.bam.de/Dg.HTM
Technische Information: <http://www.ps.bam.de> Version 2.1, io=1, ColSp=0

	A	B	C	D	E	F	G	H	I	J	K	L	M	N	O	P	Q	R	S	T	U	V	W	X	Y	Z	a	b	c	d	e	f	g	h	i	j	k	lab*rgb*				
01	0.0	0.0	0.0	0.0	0.0	0.0	0.0	0.0	0.0	0.13	0.13	0.13	0.13	0.13	0.13	0.13	0.13	0.13	0.25	0.25	0.25	0.25	0.25	0.25	0.25	0.25	0.25	0.25	1.0	1.0	1.0	1.0	1.0	1.0	1.0	1.0	1.0	1.0	0.0	0.0	0.0	
	0.0	0.13	0.25	0.38	0.5	0.63	0.75	0.88	1.0	0.0	0.13	0.25	0.38	0.5	0.63	0.75	0.88	1.0	0.0	0.13	0.25	0.38	0.5	0.63	0.75	0.88	1.0	1.0	0.88	0.75	0.63	0.5	0.38	0.25	0.13	0.0	0.0	0.0	0.0	0.0	0.0	
	0.0	0.0	0.0	0.0	0.0	0.0	0.0	0.0	0.0	0.0	0.0	0.0	0.0	0.0	0.0	0.0	0.0	0.0	0.0	0.0	0.0	0.0	0.0	0.0	0.0	0.0	0.0	1.0	1.0	0.88	0.75	0.63	0.5	0.38	0.25	0.13	0.0	0.0	0.0	0.0	0.0	
02	0.0	0.0	0.0	0.0	0.0	0.0	0.0	0.0	0.0	0.13	0.13	0.13	0.13	0.13	0.13	0.13	0.13	0.13	0.25	0.25	0.25	0.25	0.25	0.25	0.25	0.25	0.25	0.25	0.88	0.88	0.88	0.88	0.88	0.88	0.88	0.88	0.88	0.88	0.13	0.13	0.13	0.13
	0.0	0.13	0.25	0.38	0.5	0.63	0.75	0.88	1.0	0.0	0.13	0.25	0.38	0.5	0.63	0.75	0.88	1.0	0.0	0.13	0.25	0.38	0.5	0.63	0.75	0.88	1.0	0.0	0.88	0.75	0.63	0.5	0.38	0.25	0.13	0.0	0.13	0.13	0.13	0.13	0.13	
	0.13	0.13	0.13	0.13	0.13	0.13	0.13	0.13	0.13	0.13	0.13	0.13	0.13	0.13	0.13	0.13	0.13	0.13	0.13	0.13	0.13	0.13	0.13	0.13	0.13	0.13	0.13	1.0	0.88	0.75	0.63	0.5	0.38	0.25	0.13	0.0	0.13	0.13	0.13	0.13	0.13	
03	0.0	0.0	0.0	0.0	0.0	0.0	0.0	0.0	0.0	0.13	0.13	0.13	0.13	0.13	0.13	0.13	0.13	0.13	0.25	0.25	0.25	0.25	0.25	0.25	0.25	0.25	0.25	0.25	0.75	0.75	0.75	0.75	0.75	0.75	0.75	0.75	0.75	0.75	0.25	0.25	0.25	0.25
	0.0	0.13	0.25	0.38	0.5	0.63	0.75	0.88	1.0	0.0	0.13	0.25	0.38	0.5	0.63	0.75	0.88	1.0	0.0	0.13	0.25	0.38	0.5	0.63	0.75	0.88	1.0	1.0	0.88	0.75	0.63	0.5	0.38	0.25	0.13	0.0	0.25	0.25	0.25	0.25	0.25	
	0.25	0.25	0.25	0.25	0.25	0.25	0.25	0.25	0.25	0.25	0.25	0.25	0.25	0.25	0.25	0.25	0.25	0.25	0.25	0.25	0.25	0.25	0.25	0.25	0.25	0.25	0.25	1.0	0.88	0.75	0.63	0.5	0.38	0.25	0.13	0.0	0.25	0.25	0.25	0.25	0.25	
04	0.0	0.0	0.0	0.0	0.0	0.0	0.0	0.0	0.0	0.13	0.13	0.13	0.13	0.13	0.13	0.13	0.13	0.13	0.25	0.25	0.25	0.25	0.25	0.25	0.25	0.25	0.25	0.25	0.63	0.63	0.63	0.63	0.63	0.63	0.63	0.63	0.63	0.63	0.38	0.38	0.38	0.38
	0.0	0.13	0.25	0.38	0.5	0.63	0.75	0.88	1.0	0.0	0.13	0.25	0.38	0.5	0.63	0.75	0.88	1.0	0.0	0.13	0.25	0.38	0.5	0.63	0.75	0.88	1.0	1.0	0.88	0.75	0.63	0.5	0.38	0.25	0.13	0.0	0.38	0.38	0.38	0.38	0.38	
	0.13	0.13	0.13	0.13	0.13	0.13	0.13	0.13	0.13	0.13	0.13	0.13	0.13	0.13	0.13	0.13	0.13	0.13	0.13	0.13	0.13	0.13	0.13	0.13	0.13	0.13	0.13	1.0	0.88	0.75	0.63	0.5	0.38	0.25	0.13	0.0	0.38	0.38	0.38	0.38	0.38	
05	0.0	0.0	0.0	0.0	0.0	0.0	0.0	0.0	0.0	0.13	0.13	0.13	0.13	0.13	0.13	0.13	0.13	0.13	0.25	0.25	0.25	0.25	0.25	0.25	0.25	0.25	0.25	0.25	0.75	0.75	0.75	0.75	0.75	0.75	0.75	0.75	0.75	0.75	0.5	0.5	0.5	0.5
	0.0	0.13	0.25	0.38	0.5	0.63	0.75	0.88	1.0	0.0	0.13	0.25	0.38	0.5	0.63	0.75	0.88	1.0	0.0	0.13	0.25	0.38	0.5	0.63	0.75	0.88	1.0	1.0	0.88	0.75	0.63	0.5	0.38	0.25	0.13	0.0	0.5	0.5	0.5	0.5	0.5	
	0.5	0.5	0.5	0.5	0.5	0.5	0.5	0.5	0.5	0.5	0.5	0.5	0.5	0.5	0.5	0.5	0.5	0.5	0.5	0.5	0.5	0.5	0.5	0.5	0.5	0.5	0.5	1.0	0.88	0.75	0.63	0.5	0.38	0.25	0.13	0.0	0.5	0.5	0.5	0.5		
06	0.0	0.0	0.0	0.0	0.0	0.0	0.0	0.0	0.0	0.13	0.13	0.13	0.13	0.13	0.13	0.13	0.13	0.13	0.25	0.25	0.25	0.25	0.25	0.25	0.25	0.25	0.25	0.25	0.38	0.38	0.38	0.38	0.38	0.38	0.38	0.38	0.38	0.38	0.63	0.63	0.63	0.63
	0.0	0.13	0.25	0.38	0.5	0.63	0.75	0.88	1.0	0.0	0.13	0.25	0.38	0.5	0.63	0.75	0.88	1.0	0.0	0.13	0.25	0.38	0.5	0.63	0.75	0.88	1.0	1.0	0.88	0.75	0.63	0.5	0.38	0.25	0.13	0.0	0.63	0.63	0.63	0.63	0.63	
	0.63	0.63	0.63	0.63	0.63	0.63	0.63	0.63	0.63	0.63	0.63	0.63	0.63	0.63	0.63	0.63	0.63	0.63	0.63	0.63	0.63	0.63	0.63	0.63	0.63	0.63	0.63	1.0	0.88	0.75	0.63	0.5	0.38	0.25	0.13	0.0	0.63	0.63	0.63	0.63	0.63	
07	0.0	0.0	0.0	0.0	0.0	0.0	0.0	0.0	0.0	0.13	0.13	0.13	0.13	0.13	0.13	0.13	0.13	0.13	0.25	0.25	0.25	0.25	0.25	0.25	0.25	0.25	0.25	0.25	0.25	0.25	0.25	0.25	0.25	0.25	0.25	0.25	0.25	0.75	0.75	0.75	0.75	
	0.0	0.13	0.25	0.38	0.5	0.63	0.75	0.88	1.0	0.0	0.13	0.25	0.38	0.5	0.63	0.75	0.88	1.0	0.0	0.13	0.25	0.38	0.5	0.63	0.75	0.88	1.0	1.0	0.88	0.75	0.63	0.5	0.38	0.25	0.13	0.0	0.75	0.75	0.75	0.75	0.75	
	0.75	0.75	0.75	0.75	0.75	0.75	0.75	0.75	0.75	0.75	0.75	0.75	0.75	0.75	0.75	0.75	0.75	0.75	0.75	0.75	0.75	0.75	0.75	0.75	0.75	0.75	0.75	1.0	0.88	0.75	0.63	0.5	0.38	0.25	0.13	0.0	0.75	0.75	0.75	0.75	0.75	
08	0.0	0.0	0.0	0.0	0.0	0.0	0.0	0.0	0.0	0.13	0.13	0.13	0.13	0.13	0.13	0.13	0.13	0.13	0.25	0.25	0.25	0.25	0.25	0.25	0.25	0.25	0.25	0.25	0.25	0.25	0.25	0.25	0.25	0.25	0.25	0.25	0.25	0.88	0.88	0.88	0.88	
	0.0	0.13	0.25	0.38	0.5	0.63	0.75	0.88	1.0	0.0	0.13	0.25	0.38	0.5	0.63	0.75	0.88	1.0	0.0	0.13	0.25	0.38	0.5	0.63	0.75	0.88	1.0	1.0	0.88	0.75	0.63	0.5	0.38	0.25	0.13	0.0	0.88	0.88	0.88	0.88	0.88	
	0.88	0.88	0.88	0.88	0.88	0.88	0.88	0.88	0.88	0.88	0.88	0.88	0.88	0.88	0.88	0.88	0.88	0.88	0.88	0.88	0.88	0.88	0.88	0.88	0.88	0.88	0.88	1.0	0.88	0.75	0.63	0.5	0.38	0.25	0.13	0.0	0.88	0.88	0.88	0.88	0.88	
09	0.0	0.0	0.0	0.0	0.0	0.0	0.0	0.0	0.0	0.13	0.13	0.13	0.13	0.13	0.13	0.13	0.13	0.13	0.25	0.25	0.25	0.25	0.25	0.25	0.25	0.25	0.25	0.25	0.0	0.0	0.0	0.0	0.0	0.0	0.0	0.0	1.0	1.0	1.0	1.0		
	0.0	0.13	0.25	0.38	0.5	0.63	0.75	0.88	1.0	0.0	0.13	0.25	0.38	0.5	0.63	0.75	0.88	1.0	0.0	0.13	0.25	0.38	0.5	0.63	0.75	0.88	1.0	1.0	0.88	0.75	0.63	0.5	0.38	0.25	0.13	0.0	1.0	1.0	1.0	1.0	1.0	
	1.0	1.0	1.0	1.0	1.0	1.0	1.0	1.0	1.0	1.0	1.0	1.0	1.0	1.0	1.0	1.0	1.0	1.0	1.0	1.0	1.0	1.0	1.0	1.0	1.0	1.0	1.0	1.0	0.88	0.75	0.63	0.5	0.38	0.25	0.13	0.0	1.0	1.0	1.0	1.0		
10	0.38	0.38	0.38	0.38	0.38	0.38	0.38	0.38	0.38	0.5	0.5	0.5	0.5	0.5	0.5	0.5	0.5	0.5	0.63	0.63	0.63	0.63	0.63	0.63	0.63	0.63	0.63	0.63	1.0	1.0	1.0	1.0	1.0	1.0	1.0	1.0	1.0	1.0	0.0	0.0	0.0	
	0.0	0.13	0.25	0.38	0.5	0.63	0.75	0.88	1.0	0.0	0.13	0.25	0.38	0.5	0.63	0.75	0.88	1.0	0.0	0.13	0.25	0.38	0.5	0.63	0.75	0.88	1.0	1.0	0.88	0.75	0.63	0.5	0.38	0.25	0.13	0.0	0.0	0.0	0.0	0.0	0.0	
	0.38	0.38	0.38	0.38	0.38	0.38	0.38	0.38	0.38	0.5	0.5	0.5	0.5	0.5	0.5	0.5	0.5	0.5	0.63	0.63	0.63	0.63	0.63	0.63	0.63	0.63	0.63	0.63	1.0	0.88	0.75	0.63	0.5	0.38	0.25	0.13	0.0	0.0	0.0	0.0		
11	0.0	0.13	0.25	0.38	0.5	0.63	0.75	0.88	1.0	0.0	0.13	0.25	0.38	0.5	0.63	0.75	0.88	1.0	0.0	0.13	0.25	0.38	0.5	0.63	0.75	0.88	1.0	1.0	0.88	0.88	0.88	0.88	0.88	0.88	0.88	0.88	0.07	0.07	0.07	0.07		
	0.13	0.13	0.13	0.13	0.13	0.13	0.13	0.13	0.13	0.13	0.13	0.13	0.13	0.13	0.13	0.13	0.13	0.13	0.13	0.13	0.13	0.13	0.13	0.13	0.13	0.13	0.13	1.0	0.88	0.88	0.88	0.88	0.88	0.88	0.88	0.07	0.07	0.07	0.07	0.07		
	0.38	0.38	0.38	0.38	0.38	0.38	0.38	0.38	0.38	0.5	0.5	0.5	0.5	0.5	0.5	0.5	0.5	0.5	0.63	0.63	0.63	0.63	0.63	0.63	0.63	0.63	0.63	0.63	1.0	0.75	0.75	0.75	0.75	0.75	0.75	0.75	0.13	0.13	0.13	0.13		
12	0.0	0.13	0.25	0.38	0.5	0.63	0.75	0.88	1.0	0.0	0.13	0.25	0.38	0.5	0.63	0.7																										

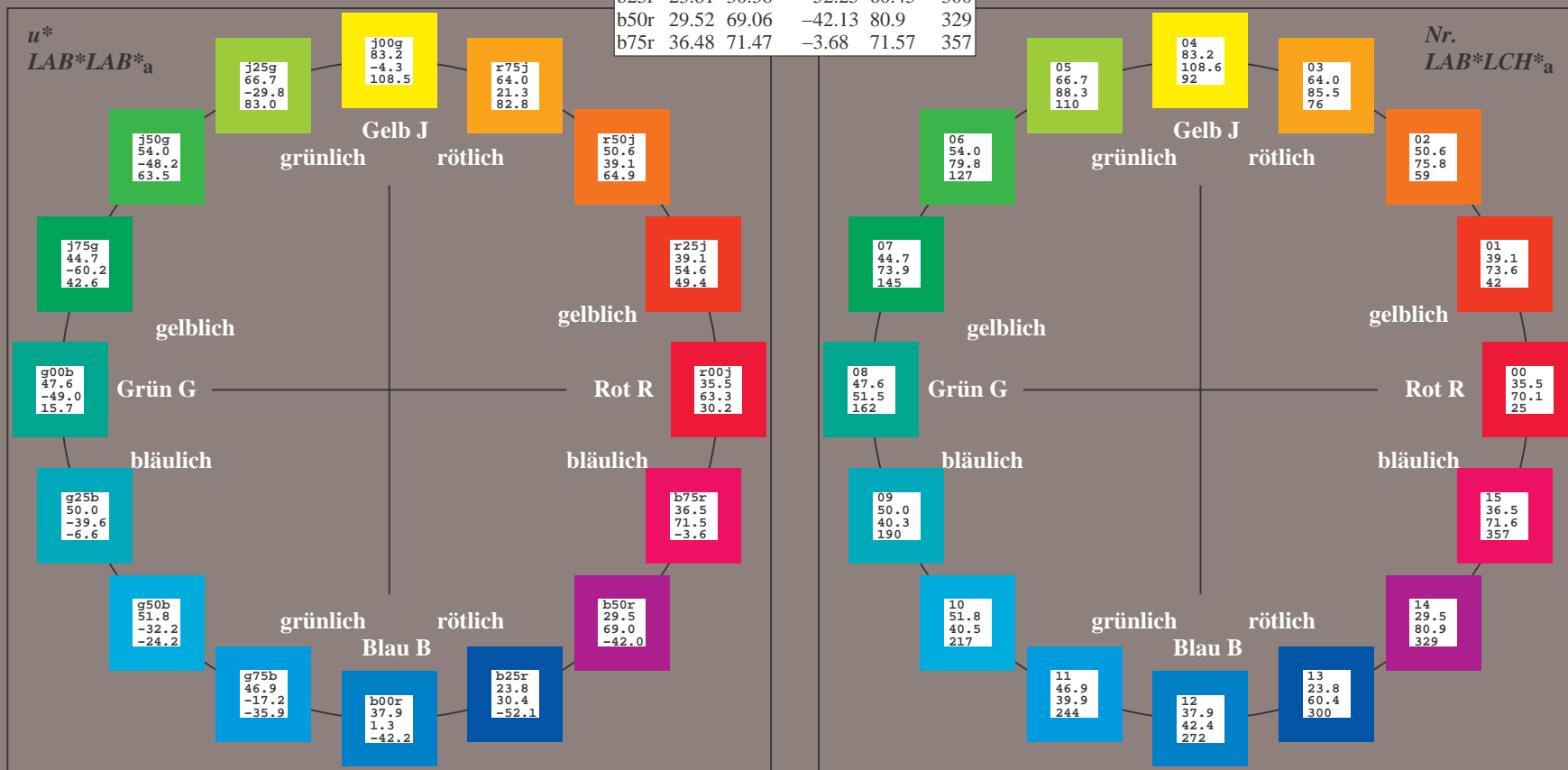
Ein und Ausgabe:
Farbmetrisches Drucker-Reflektiv-System FRS09_92aM
Daten für jede Farbe:
*lab*_{rch}** und *lab*_{icu}**
Elementar-Bunttontext:
*u** = 16 Bunttöne *r00j*, *r25j*, ..., *b75r*
Kontrastreduzierungsfaktor:
c_R = 1.0

FRS09_92aM; adaptierte CIELAB-Daten					
	<i>L*</i> = <i>L*</i> _a	<i>a*</i> _a	<i>b*</i> _a	<i>C*</i> _{ab,a}	<i>h*</i> _{ab,a}
r00j	35.47	63.32	30.17	70.15	25
r25j	39.12	54.56	49.45	73.64	42
r50j	50.64	39.15	64.89	75.79	59
r75j	64.01	21.26	82.83	85.52	76
j00g	83.18	-4.37	108.53	108.62	92
j25g	66.73	-29.88	83.06	88.28	110
j50g	54.03	-48.3	63.49	79.78	127
j75g	44.73	-60.32	42.64	73.88	145
g00b	47.59	-49.07	15.74	51.54	162
g25b	49.97	-39.69	-6.71	40.27	190
g50b	51.85	-32.32	-24.34	40.48	217
g75b	46.92	-17.28	-36.01	39.96	244
b00r	37.91	1.28	-42.34	42.37	272
b25r	23.81	30.38	-52.25	60.45	300
b50r	29.52	69.06	-42.13	80.9	329
b75r	36.48	71.47	-3.68	71.57	357

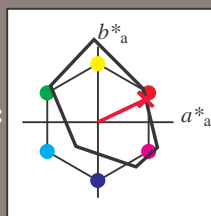


%Umfang
*u**_{rel} = 109
%Regularität
*g**_{H,rel} = 31
*g**_{C,rel} = 40

FRS09_92aM; adaptierte CIELAB-Daten					
	<i>L*</i> = <i>L*</i> _a	<i>a*</i> _a	<i>b*</i> _a	<i>C*</i> _{ab,a}	<i>h*</i> _{ab,a}
OMa	35.06	60.0	44.0	74.4	36
YMa	83.77	-5.16	109.32	109.44	93
LMa	44.13	-62.66	48.24	79.09	142
CMa	52.66	-29.13	-31.98	43.27	228
VMa	14.15	50.3	-59.03	77.57	310
MMa	37.37	78.64	-33.49	85.48	337
NMa	8.58	0.0	0.0	0.0	0
WMa	92.02	0.0	0.0	0.0	0
RCIE	39.92	58.74	27.99	65.07	25
JCIE	81.26	-2.88	71.56	71.62	92
GCIE	52.23	-42.41	13.6	44.55	162
BCIE	30.57	1.41	-46.46	46.49	272



Ein und Ausgabe: Farbmetrisches Drucker-Reflektiv-System FRS09_92aM für relativen CIELAB-Buntton $h^* = lab^*h^* = h_{ab}/360 = 25/360 = 0.071$ $u^* = r00j$
Daten für jede Farbe:
 lab^*tch^* und lab^*icu^*
Elementar-Bunttontext:
 $u^* = r00j$
Kontrastreduzierungsfaktor:
 $c_R = 1.0$
Dreiecks-Helligkeit i^*



FRS09_92aM; adaptierte CIELAB-Daten					
	$L^*=L^*_a$	a^*_a	b^*_a	$C^*_{ab,a}$	$h^*_{ab,a}$
O _{Ma}	35.06	60.0	44.0	74.4	36
Y _{Ma}	83.77	-5.16	109.32	109.44	93
L _{Ma}	44.13	-62.66	48.24	79.09	142
C _{Ma}	52.66	-29.13	-31.98	43.27	228
V _{Ma}	14.15	50.3	-59.03	77.57	310
M _{Ma}	37.37	78.64	-33.49	85.48	337
N _{Ma}	8.58	0.0	0.0	0.0	0
W _{Ma}	92.02	0.0	0.0	0.0	0
R _{CIE}	39.92	58.74	27.99	65.07	25
J _{CIE}	81.26	-2.88	71.56	71.62	92
G _{CIE}	52.23	-42.41	13.6	44.55	162
B _{CIE}	30.57	1.41	-46.46	46.49	272

Daten für Maximalfarbe (Ma):

$LAB^*LAB^*_{Ma}$: 35 63 30
 $LAB^*LCH^*_{Ma}$: 35 70 25
 $lab^*rgb^*_{Ma}$: 1.0 0.0 0.0
 $lab^*olv^*_{Ma}$: 1.0 0.0 0.18

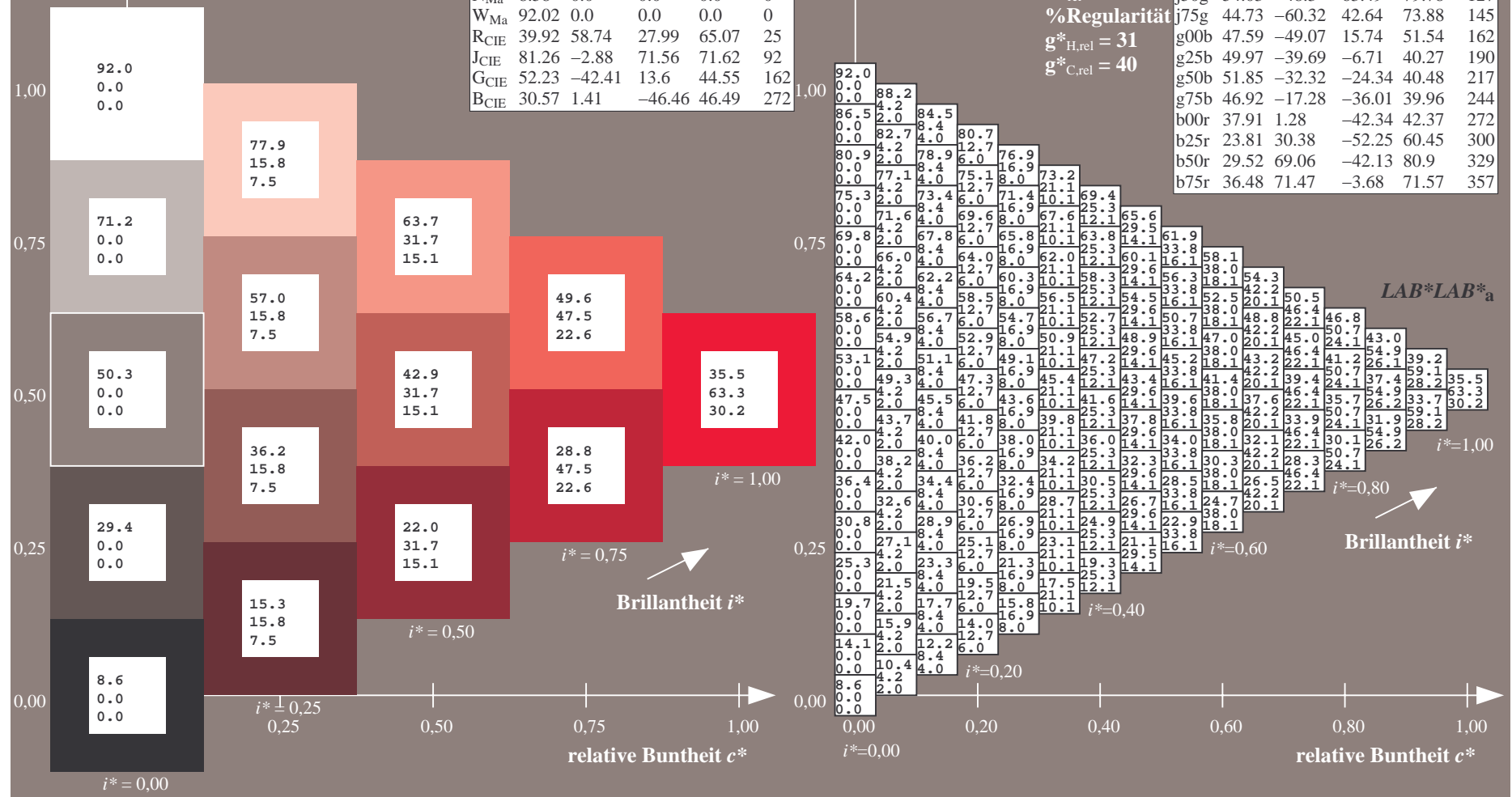
Dreiecks-Helligkeit i^*

%Umfang
 $u^*_{rel} = 109$
%Regularität
 $j^*_{75g} = 31$
 $g^*_{H,rel} = 40$
 $g^*_{C,rel} = 40$

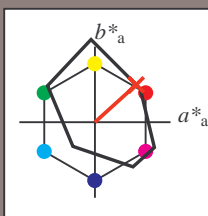
FRS09_92aM; adaptierte CIELAB-Daten					
	$L^*=L^*_a$	a^*_a	b^*_a	$C^*_{ab,a}$	$h^*_{ab,a}$
r00j	35.47	63.32	30.17	70.15	25
r25j	39.12	54.56	49.45	73.64	42
r50j	50.64	39.15	64.89	75.79	59
r75j	64.01	21.26	82.83	85.52	76
j00g	83.18	-4.37	108.53	108.62	92
j25g	66.73	-29.88	83.06	88.28	110
j50g	54.03	-48.3	63.49	79.78	127
j75g	44.73	-60.32	42.64	73.88	145
g00b	47.59	-49.07	15.74	51.54	162
g25b	49.97	-39.69	-6.71	40.27	190
g50b	51.85	-32.32	-24.34	40.48	217
g75b	46.92	-17.28	-36.01	39.96	244
b00r	37.91	1.28	-42.34	42.37	272
b25r	23.81	30.38	-52.25	60.45	300
b50r	29.52	69.06	-42.13	80.9	329
b75r	36.48	71.47	-3.68	71.57	357

Siehe ähnliche Dateien: <http://www.ps.bam.de/Dg92/>; www.ps.bam.de/Dg92/10L/L92G00NP.PS/ .PDF
Technische Information: <http://www.ps.bam.de> Version 2.1, io=1,1, ColSpx=0

BAM-Registrierung: 20080701-Dg92/10L/L92G00NP.PS/ .PDF BAM-Material: Code=rh4ta
Anwendung für Beurteilung und Messung von Drucker- oder Monitorsystemen



Ein und Ausgabe: Farbmetri
Daten für jede Farbe:
 $lab^*_{tch^*}$ und $lab^*_{icu^*}$
Elementar-Bunttontext:
 $u^* = r25j$
Kontrastreduzierungsfaktor:
 $c_R = 1.0$
Dreiecks-Helligkeit t^*



FRS09_92aM; adaptierte CIELAB-Daten					
	L^*_a	a^*_a	b^*_a	$C^*_{ab,a}$	$h^*_{ab,a}$
O _{Ma}	35.06	60.0	44.0	74.4	36
Y _{Ma}	83.77	-5.16	109.32	109.44	93
L _{Ma}	44.13	-62.66	48.24	79.09	142
C _{Ma}	52.66	-29.13	-31.98	43.27	228
V _{Ma}	14.15	50.3	-59.03	77.57	310
M _{Ma}	37.37	78.64	-33.49	85.48	337
N _{Ma}	8.58	0.0	0.0	0.0	0
W _{Ma}	92.02	0.0	0.0	0.0	0
R _{CIE}	39.92	58.74	27.99	65.07	25
J _{CIE}	81.26	-2.88	71.56	71.62	92
G _{CIE}	52.23	-42.41	13.6	44.55	162
B _{CIE}	30.57	1.41	-46.46	46.49	272

Daten für Maximalfarbe (Ma):

LAB*LAB*Ma: 39 55 49

LAB*LCH*Ma: 39 74 42

*lab*rgb*_Ma: 1.0 0.25 0.0*

lab*olv*_Ma: 1.0 0.08 0.0

Dreiecks-Helligkeit t^*

▲

%Umfang

$$\mathbf{u}_{\text{rel}}^* = 109$$

%Regular:

$$g^*_{H,rel} = 51$$

FRS09_92aM; adaptierte CIELAB-Daten					
	L^*_a	a^*_a	b^*_a	$C^*_{ab,a}$	$h^*_{ab,a}$
r00j	35.47	63.32	30.17	70.15	25
r25j	39.12	54.56	49.45	73.64	42
r50j	50.64	39.15	64.89	75.79	59
r75j	64.01	21.26	82.83	85.52	76
j00g	83.18	-4.37	108.53	108.62	92
j25g	66.73	-29.88	83.06	88.28	110
j50g	54.03	-48.3	63.49	79.78	127
j75g	44.73	-60.32	42.64	73.88	145
g00b	47.59	-49.07	15.74	51.54	162
g25b	49.97	-39.69	-6.71	40.27	190
g50b	51.85	-32.32	-24.34	40.48	217
g75b	46.92	-17.28	-36.01	39.96	244
b00r	37.91	1.28	-42.34	42.37	272
b25r	23.81	30.38	-52.25	60.45	300
b50r	29.52	69.06	-42.13	80.9	329
b75r	36.48	71.47	-3.68	71.57	357

*LAB*LAB**_a

 $i^*=1,00$

Brillantheit i^*

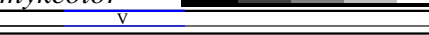
relative Buntheit c^*

BAM-Prüfvorlage Dg92; Farbmatrik-Systeme, Seite 57/180
Farbreihen, 8 Datentabellen für 16 Bunttöne *r00j* bis *b75r*

Eingabe: 000n / w / nnn0 / www set...
Ausgabe: ->cmyn5* setcmykcolor

BAM-Registrierung: 20080701-Dg92/10L/L92G00NP.PS/ .PDF BAM-Material: Code=rha4ta
Anwendung für Beurteilung und Messung von Drucker- oder Monitorsystemen

▲



Technische Information: <http://www.ps.bam.de/Dg92/>; www.ps.bam.de/Dg.HTM
Schie ähnliche Dateien: <http://www.ps.bam.de/Dg92/>; www.ps.bam.de/Dg.HTM
Technische Information: [http://www.ps.bam.de/Version 2.1, io=1, ColSp=0](http://www.ps.bam.de/Version%202.1,%20io=1,ColSp=0)

BAM-Registrierung: 20080701-Dg92/10/L92G00NP.PS/ .PDF BAM-Material: Code=rha4ta
+ Anwendung für Beurteilung und Messung von Drucker- oder Monitorsystemen

BAM-Prüfvorlage Dg92; Farbmatrik-Systeme, Seite 58/180
Farbreihen, 8 Datentabellen für 16 Bunttöne *r00j* bis *b75r*

Eingabe: 000n / w / nnn0 / www set..
Ausgabe: ->cmyn5* setcmykcolor

Ein und Ausgabe: Farbmetrisches Drucker-Reflektiv-System FRS09_92aM für relativen CIELAB-Buntton $h^* = lab^*h^* = h_{ab}/360 = 76/360 = 0.21$ $u^* = r75j$

Daten für jede Farbe:

lab^*ch^* und lab^*icu^*

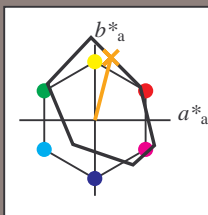
Elementar-Bunttontext:

$u^* = r75j$

Kontrastreduzierungsfaktor:

$c_R = 1.0$

Dreiecks-Helligkeit t^*



FRS09_92aM; adaptierte CIELAB-Daten

	$L^*=L_a^*$	a_a^*	b_a^*	$C^*_{ab,a}$	$h^*_{ab,a}$
O _{Ma}	35.06	60.0	44.0	74.4	36
Y _{Ma}	83.77	-5.16	109.32	109.44	93
L _{Ma}	44.13	-62.66	48.24	79.09	142
C _{Ma}	52.66	-29.13	-31.98	43.27	228
V _{Ma}	14.15	50.3	-59.03	77.57	310
M _{Ma}	37.37	78.64	-33.49	85.48	337
N _{Ma}	8.58	0.0	0.0	0.0	0
W _{Ma}	92.02	0.0	0.0	0.0	0
R _{CIE}	39.92	58.74	27.99	65.07	25
J _{CIE}	81.26	-2.88	71.56	71.62	92
G _{CIE}	52.23	-42.41	13.6	44.55	162
B _{CIE}	30.57	1.41	-46.46	46.49	272

Daten für Maximalfarbe (Ma):

$LAB^*LAB^*_{Ma}$: 64 21 83

$LAB^*LCH^*_{Ma}$: 64 86 76

$lab^*rgb^*_{Ma}$: 1.0 0.75 0.0

$lab^*olv^*_{Ma}$: 1.0 0.59 0.0

Dreiecks-Helligkeit t^*

%Umfang

$u^*_{rel} = 109$

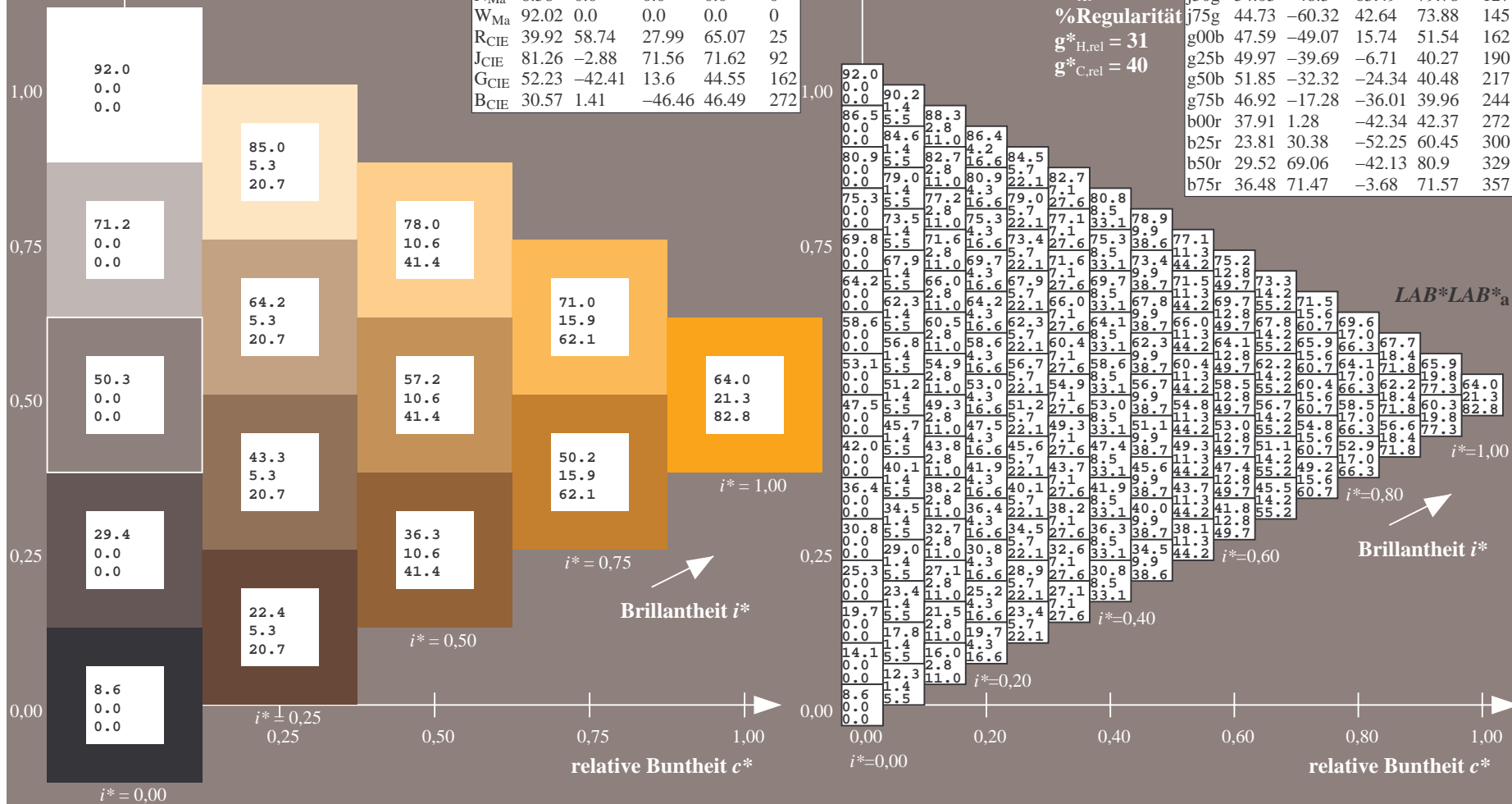
%Regularität

$g^*_{H,rel} = 31$

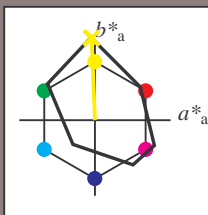
$g^*_{C,rel} = 40$

FRS09_92aM; adaptierte CIELAB-Daten

	$L^*=L_a^*$	a_a^*	b_a^*	$C^*_{ab,a}$	$h^*_{ab,a}$
r00j	35.47	63.32	30.17	70.15	25
r25j	39.12	54.56	49.45	73.64	42
r50j	50.64	39.15	64.89	75.79	59
r75j	64.01	21.26	82.83	85.52	76
j00g	83.18	-4.37	108.53	108.62	92
j25g	66.73	-29.88	83.06	88.28	110
j50g	54.03	-48.3	63.49	79.78	127
j75g	44.73	-60.32	42.64	73.88	145
g00b	47.59	-49.07	15.74	51.54	162
g25b	49.97	-39.69	-6.71	40.27	190
g50b	51.85	-32.32	-24.34	40.48	217
g75b	46.92	-17.28	-36.01	39.96	244
b00r	37.91	1.28	-42.34	42.37	272
b25r	23.81	30.38	-52.25	60.45	300
b50r	29.52	69.06	-42.13	80.9	329
b75r	36.48	71.47	-3.68	71.57	357



Ein und Ausgabe: Farbmetrisches Drucker-Reflektiv-System FRS09_92aM für relativen CIELAB-Buntton $h^* = lab^*h^* = h_{ab}/360 = 92/360 = 0.256$ $u^* = j00g$
Daten für jede Farbe:
 lab^*ch^* und lab^*icu^*
Elementar-Bunttontext:
 $u^* = j00g$
Kontrastreduzierungsfaktor:
 $c_R = 1.0$
Dreiecks-Helligkeit i^*



FRS09_92aM; adaptierte CIELAB-Daten					
	$L^*=L^*_a$	a^*_a	b^*_a	$C^*_{ab,a}$	$h^*_{ab,a}$
O _{Ma}	35.06	60.0	44.0	74.4	36
Y _{Ma}	83.77	-5.16	109.32	109.44	93
L _{Ma}	44.13	-62.66	48.24	79.09	142
C _{Ma}	52.66	-29.13	-31.98	43.27	228
V _{Ma}	14.15	50.3	-59.03	77.57	310
M _{Ma}	37.37	78.64	-33.49	85.48	337
N _{Ma}	8.58	0.0	0.0	0.0	0
W _{Ma}	92.02	0.0	0.0	0.0	0
R _{CIE}	39.92	58.74	27.99	65.07	25
J _{CIE}	81.26	-2.88	71.56	71.62	92
G _{CIE}	52.23	-42.41	13.6	44.55	162
B _{CIE}	30.57	1.41	-46.46	46.49	272

Daten für Maximalfarbe (Ma):

$LAB^*LAB^*_{Ma}$: 83 -3 109

$LAB^*LCH^*_{Ma}$: 83 109 92

$lab^*rgb^*_{Ma}$: 1.0 1.0 0.0

$lab^*olv^*_{Ma}$: 1.0 0.99 0.0

Dreiecks-Helligkeit i^*

%Umfang

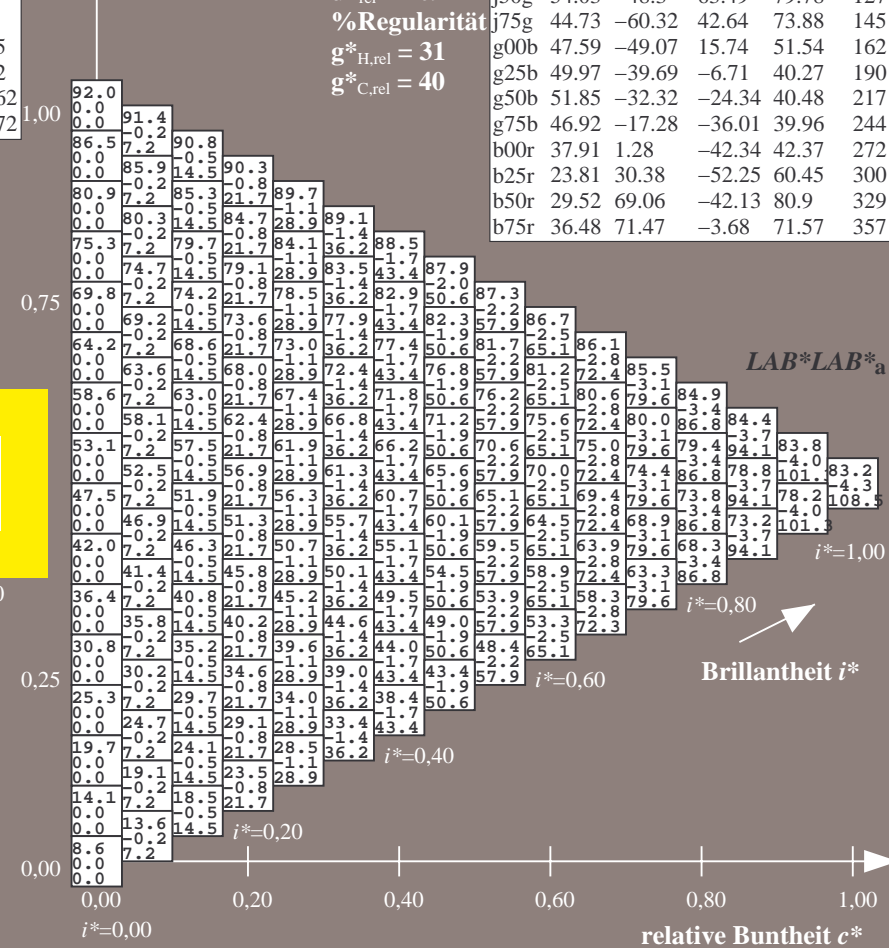
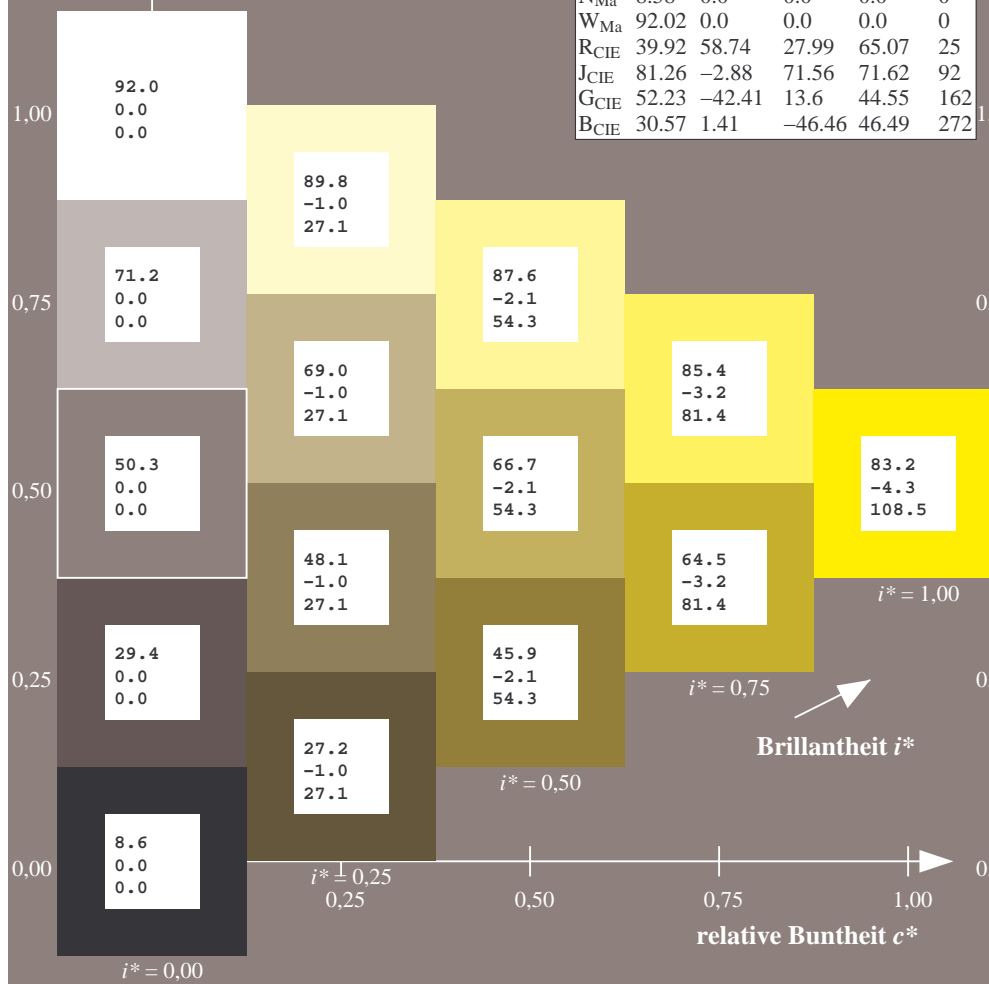
$u^*_{rel} = 109$

%Regularität

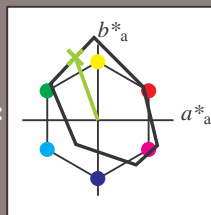
$g^*_{H,rel} = 31$

$g^*_{C,rel} = 40$

FRS09_92aM; adaptierte CIELAB-Daten					
	$L^*=L^*_a$	a^*_a	b^*_a	$C^*_{ab,a}$	$h^*_{ab,a}$
r00j	35.47	63.32	30.17	70.15	25
r25j	39.12	54.56	49.45	73.64	42
r50j	50.64	39.15	64.89	75.79	59
r75j	64.01	21.26	82.83	85.52	76
j00g	83.18	-4.37	108.53	108.62	92
j25g	66.73	-29.88	83.06	88.28	110
j50g	54.03	-48.3	63.49	79.78	127
j75g	44.73	-60.32	42.64	73.88	145
g00b	47.59	-49.07	15.74	51.54	162
g25b	49.97	-39.69	-6.71	40.27	190
g50b	51.85	-32.32	-24.34	40.48	217
g75b	46.92	-17.28	-36.01	39.96	244
b00r	37.91	1.28	-42.34	42.37	272
b25r	23.81	30.38	-52.25	60.45	300
b50r	29.52	69.06	-42.13	80.9	329
b75r	36.48	71.47	-3.68	71.57	357



Ein und Ausgabe: Farbmetrisches Drucker-Reflektiv-System FRS09_92aM für relativen CIELAB-Buntton $h^* = lab^*h^* = h_{ab}/360 = 110/360 = 0.305$ $u^* = j25g$
Daten für jede Farbe:
 lab^*ch^* und lab^*icu^*
Elementar-Bunttontext:
 $u^* = j25g$
Kontrastreduzierungsfaktor:
 $c_R = 1.0$
Dreiecks-Helligkeit i^*



FRS09_92aM; adaptierte CIELAB-Daten					
	$L^*=L^*_a$	a^*_a	b^*_a	$C^*_{ab,a}$	$h^*_{ab,a}$
O _{Ma}	35.06	60.0	44.0	74.4	36
Y _{Ma}	83.77	-5.16	109.32	109.44	93
L _{Ma}	44.13	-62.66	48.24	79.09	142
C _{Ma}	52.66	-29.13	-31.98	43.27	228
V _{Ma}	14.15	50.3	-59.03	77.57	310
M _{Ma}	37.37	78.64	-33.49	85.48	337
N _{Ma}	8.58	0.0	0.0	0.0	0
W _{Ma}	92.02	0.0	0.0	0.0	0
R _{CIE}	39.92	58.74	27.99	65.07	25
J _{CIE}	81.26	-2.88	71.56	71.62	92
G _{CIE}	52.23	-42.41	13.6	44.55	162
B _{CIE}	30.57	1.41	-46.46	46.49	272

Daten für Maximalfarbe (Ma):

$LAB^*LAB^*_{Ma}$: 67 -29 83

$LAB^*LCH^*_{Ma}$: 67 88 110

$lab^*rgb^*_{Ma}$: 0.75 1.0 0.0

$lab^*olv^*_{Ma}$: 0.57 1.0 0.0

Dreiecks-Helligkeit i^*

%Umfang

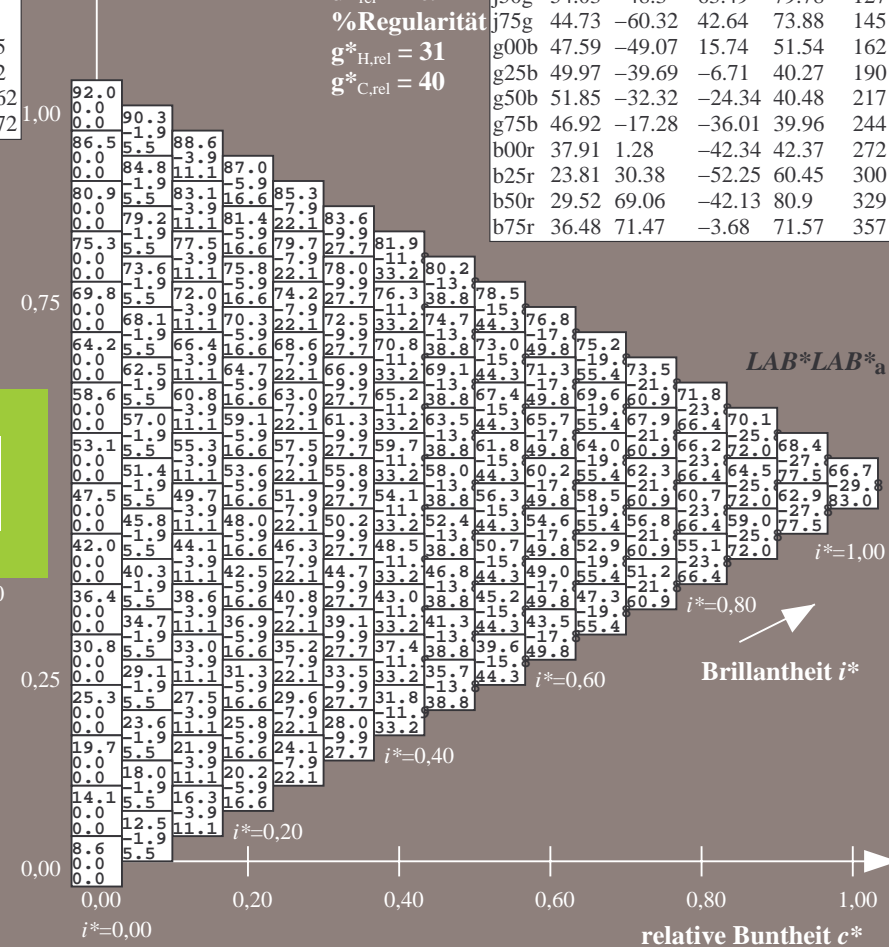
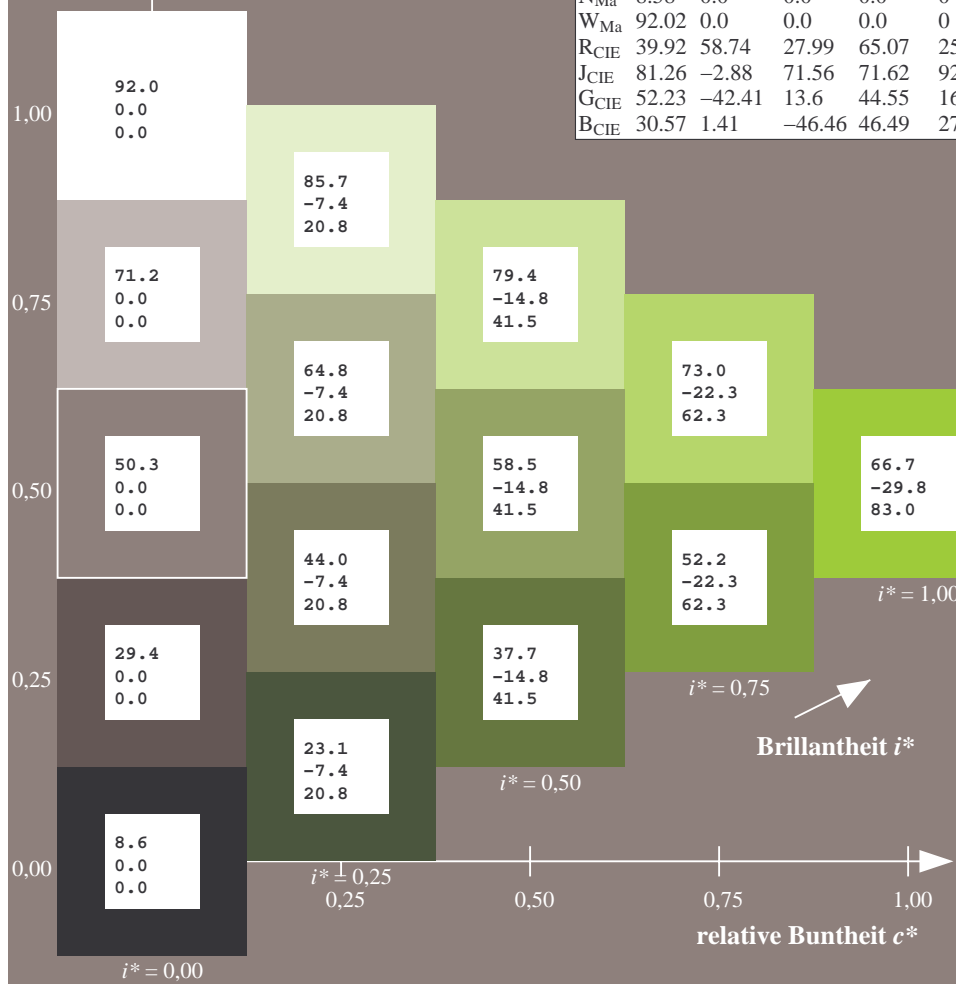
$u^*_{rel} = 109$

%Regularität

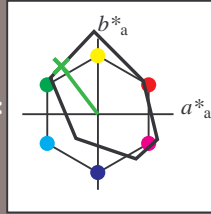
$g^*_{H,rel} = 31$

$g^*_{C,rel} = 40$

FRS09_92aM; adaptierte CIELAB-Daten					
	$L^*=L^*_a$	a^*_a	b^*_a	$C^*_{ab,a}$	$h^*_{ab,a}$
r00j	35.47	63.32	30.17	70.15	25
r25j	39.12	54.56	49.45	73.64	42
r50j	50.64	39.15	64.89	75.79	59
r75j	64.01	21.26	82.83	85.52	76
j00g	83.18	-4.37	108.53	108.62	92
j25g	66.73	-29.88	83.06	88.28	110
j50g	54.03	-48.3	63.49	79.78	127
j75g	44.73	-60.32	42.64	73.88	145
g00b	47.59	-49.07	15.74	51.54	162
g25b	49.97	-39.69	-6.71	40.27	190
g50b	51.85	-32.32	-24.34	40.48	217
g75b	46.92	-17.28	-36.01	39.96	244
b00r	37.91	1.28	-42.34	42.37	272
b25r	23.81	30.38	-52.25	60.45	300
b50r	29.52	69.06	-42.13	80.9	329
b75r	36.48	71.47	-3.68	71.57	357



Ein und Ausgabe: Farbmetri-
Daten für jede Farbe:
 $lab^*_{tch^*}$ und $lab^*_{icu^*}$
Elementar-Bunttontext:
 $u^* = j50g$
Kontrastreduzierungsfaktor:
 $c_R = 1.0$
Dreiecks-Helligkeit l^*



FRS09_92aM; adaptierte CIELAB-Daten					
	L^*_a	a^*_a	b^*_a	$C^*_{ab,a}$	$h^*_{ab,a}$
O _{Ma}	35.06	60.0	44.0	74.4	36
Y _{Ma}	83.77	-5.16	109.32	109.44	93
L _{Ma}	44.13	-62.66	48.24	79.09	142
C _{Ma}	52.66	-29.13	-31.98	43.27	228
V _{Ma}	14.15	50.3	-59.03	77.57	310
M _{Ma}	37.37	78.64	-33.49	85.48	337
N _{Ma}	8.58	0.0	0.0	0.0	0
W _{Ma}	92.02	0.0	0.0	0.0	0
R _{CIE}	39.92	58.74	27.99	65.07	25
J _{CIE}	81.26	-2.88	71.56	71.62	92
G _{CIE}	52.23	-42.41	13.6	44.55	162
B _{CIE}	30.57	1.41	-46.46	46.49	272

Daten für Maximalfarbe (Ma):

***LAB*LAB**_{Ma}: 54 -47 63**

LAB*LCH*Ma: 54 80 127

*lab*rgb*_Ma: 0.5 1.0 0.0*

*lab*olv*_Ma: 0.25 1.0 0.0*

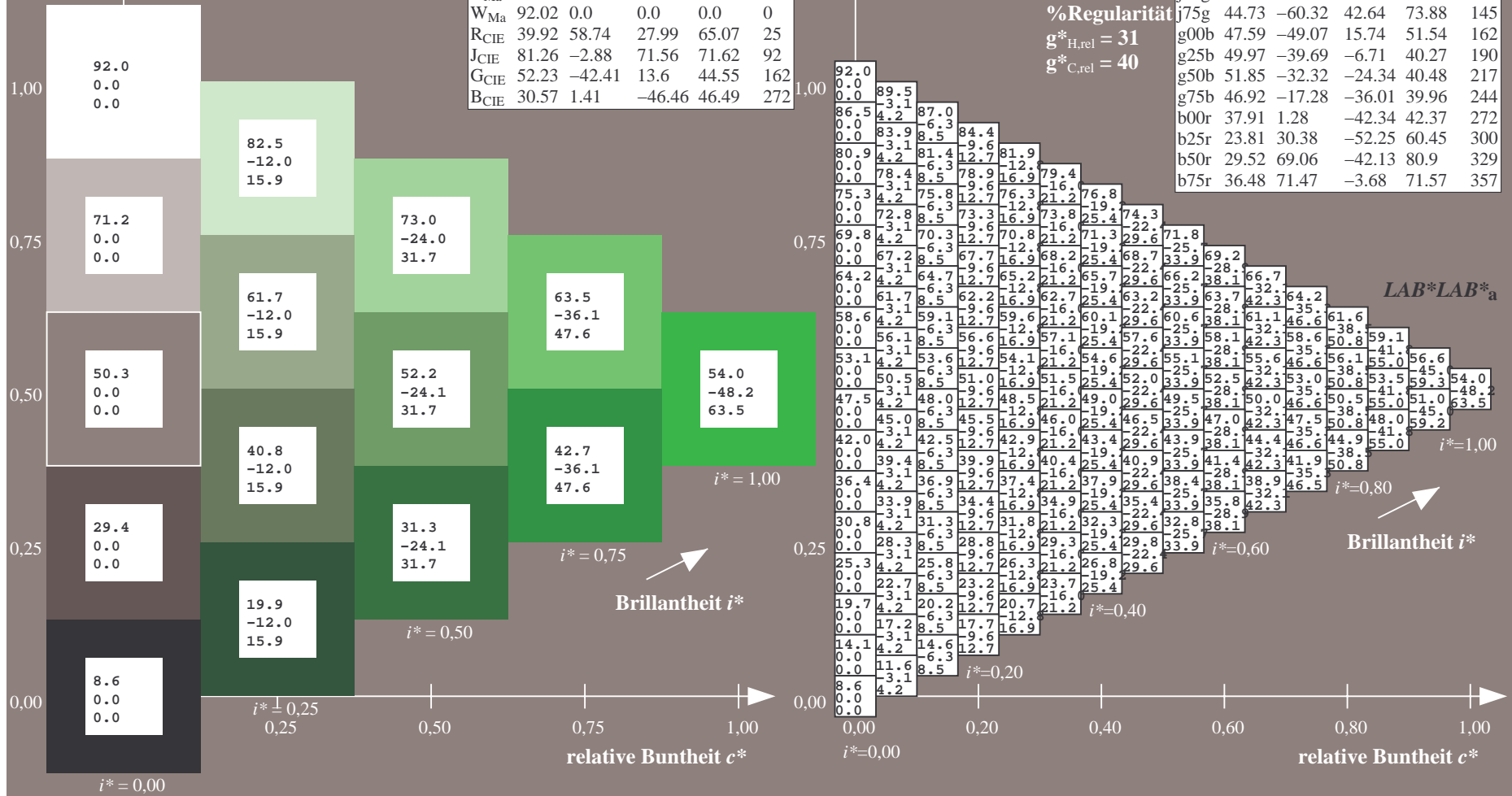
Dreiecks-Helligkeit t^*

▲

%Umfang

$$\mathbf{u}_{\text{rel}}^* = 109$$
 $\sigma^* = 31$
$$g^*_{C,rel} = 40$$

FRS09_92aM; adaptierte CIELAB-Daten						
	L^*_a	a^*_a	b^*_a	$C^*_{ab,a}$	$h^*_{ab,a}$	
r00j	35.47	63.32	30.17	70.15	25	
r25j	39.12	54.56	49.45	73.64	42	
r50j	50.64	39.15	64.89	75.79	59	
r75j	64.01	21.26	82.83	85.52	76	
j00g	83.18	-4.37	108.53	108.62	92	
j25g	66.73	-29.88	83.06	88.28	110	
j50g	54.03	-48.3	63.49	79.78	127	
j75g	44.73	-60.32	42.64	73.88	145	
g00b	47.59	-49.07	15.74	51.54	162	
g25b	49.97	-39.69	-6.71	40.27	190	
g50b	51.85	-32.32	-24.34	40.48	217	
g75b	46.92	-17.28	-36.01	39.96	244	
b00r	37.91	1.28	-42.34	42.37	272	
b25r	23.81	30.38	-52.25	60.45	300	
b50r	29.52	69.06	-42.13	80.9	329	
b75r	36.48	71.47	-3.68	71.57	357	

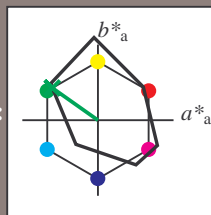


BAM-Prüfvorlage Dg92; Farbmatrik-Systeme, Seite 62/180
Farbreihen, 8 Datentabellen für 16 Bunttöne *r00j* bis *b75r*

Eingabe: 000n / w / nnn0 / www set...
Ausgabe: ->cmyn5* setcmykcolor

BAM-Registrierung: 20080701-Dg92/10L/L92G00NP.PS/.PDF BAM-Material: Code=rha4ta
Anwendung für Beurteilung und Messung von Drucker- oder Monitorsystemen

Ein und Ausgabe: Farbmetrisches Drucker-Reflektiv-System FRS09_92aM für relativen CIELAB-Buntton $h^* = lab^*h^* = h_{ab}/360 = 145/360 = 0.402$ $u^* = j75g$
Daten für jede Farbe:
 lab^*ch^* und lab^*icu^*
Elementar-Bunttontext:
 $u^* = j75g$
Kontrastreduzierungsfaktor:
 $c_R = 1.0$
Dreiecks-Helligkeit i^*



FRS09_92aM; adaptierte CIELAB-Daten					
	$L^*=L^*_a$	a^*_a	b^*_a	$C^*_{ab,a}$	$h^*_{ab,a}$
O _{Ma}	35.06	60.0	44.0	74.4	36
Y _{Ma}	83.77	-5.16	109.32	109.44	93
L _{Ma}	44.13	-62.66	48.24	79.09	142
C _{Ma}	52.66	-29.13	-31.98	43.27	228
V _{Ma}	14.15	50.3	-59.03	77.57	310
M _{Ma}	37.37	78.64	-33.49	85.48	337
N _{Ma}	8.58	0.0	0.0	0.0	0
W _{Ma}	92.02	0.0	0.0	0.0	0
R _{CIE}	39.92	58.74	27.99	65.07	25
J _{CIE}	81.26	-2.88	71.56	71.62	92
G _{CIE}	52.23	-42.41	13.6	44.55	162
B _{CIE}	30.57	1.41	-46.46	46.49	272

Daten für Maximalfarbe (Ma):

$LAB^*LAB^*_{Ma}$: 45 -59 43

$LAB^*LCH^*_{Ma}$: 45 74 145

$lab^*rgb^*_{Ma}$: 0.25 1.0 0.0

$lab^*olv^*_{Ma}$: 0.0 1.0 0.07

Dreiecks-Helligkeit i^*

%Umfang

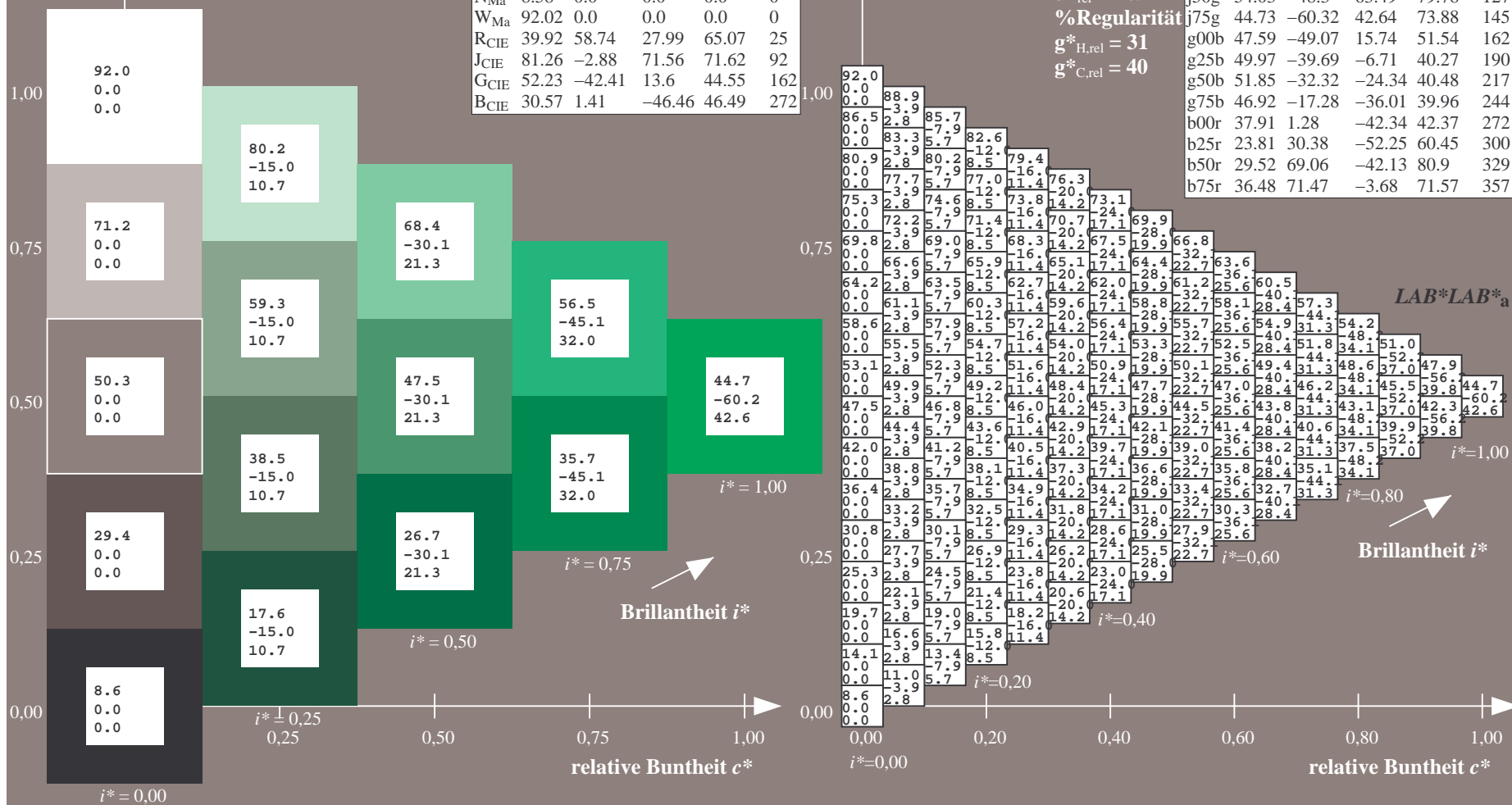
$u^*_{rel} = 109$

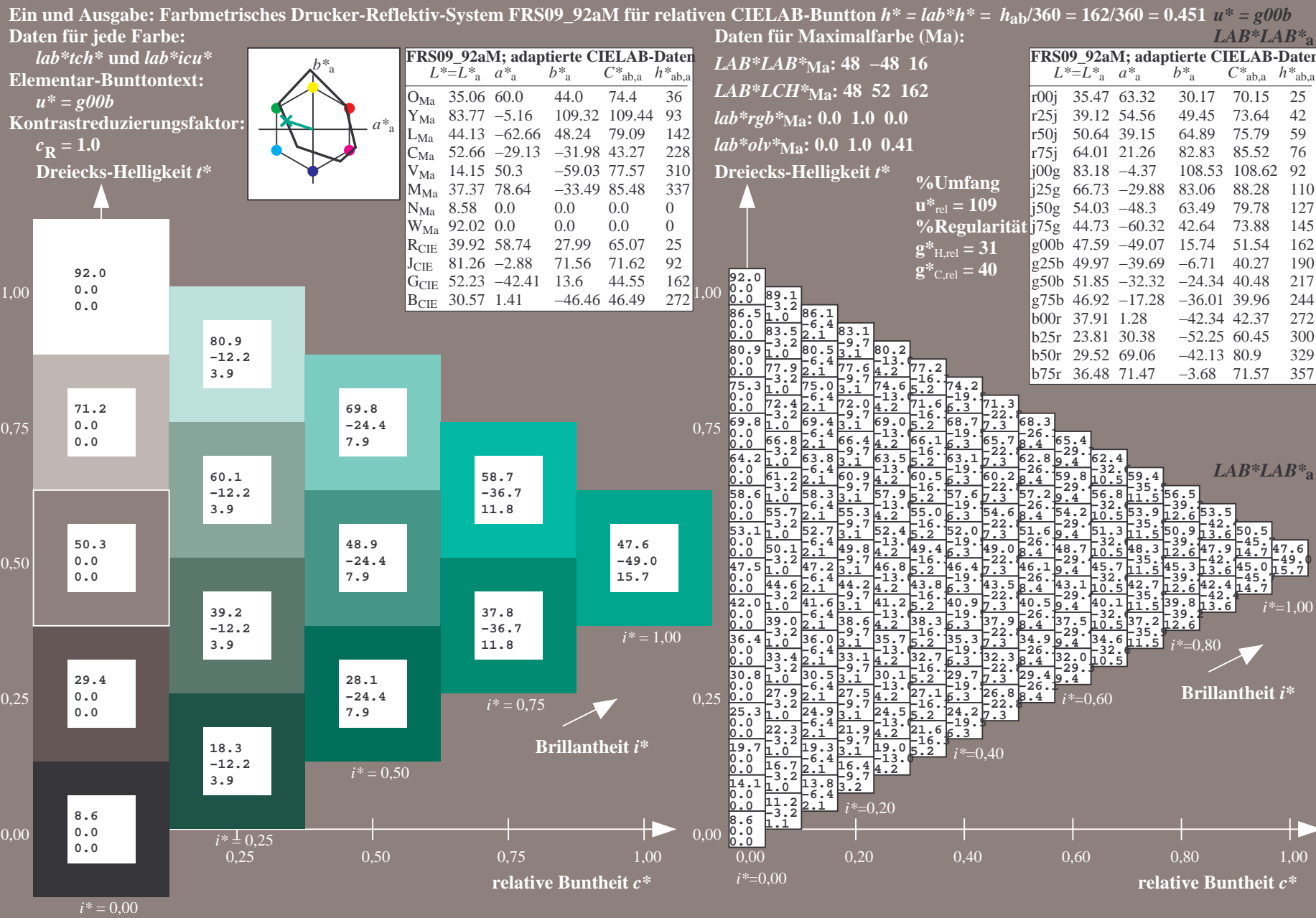
%Regularität

$g^*_{H,rel} = 31$

$g^*_{C,rel} = 40$

FRS09_92aM; adaptierte CIELAB-Daten					
	$L^*=L^*_a$	a^*_a	b^*_a	$C^*_{ab,a}$	$h^*_{ab,a}$
r00j	35.47	63.32	30.17	70.15	25
r25j	39.12	54.56	49.45	73.64	42
r50j	50.64	39.15	64.89	75.79	59
r75j	64.01	21.26	82.83	85.52	76
j00g	83.18	-4.37	108.53	108.62	92
j25g	66.73	-29.88	83.06	88.28	110
j50g	54.03	-48.3	63.49	79.78	127
j75g	44.73	-60.32	42.64	73.88	145
g00b	47.59	-49.07	15.74	51.54	162
g25b	49.97	-39.69	-6.71	40.27	190
g50b	51.85	-32.32	-24.34	40.48	217
g75b	46.92	-17.28	-36.01	39.96	244
b00r	37.91	1.28	-42.34	42.37	272
b25r	23.81	30.38	-52.25	60.45	300
b50r	29.52	69.06	-42.13	80.9	329
b75r	36.48	71.47	-3.68	71.57	357





Dreiecks-Helligkeit t^*



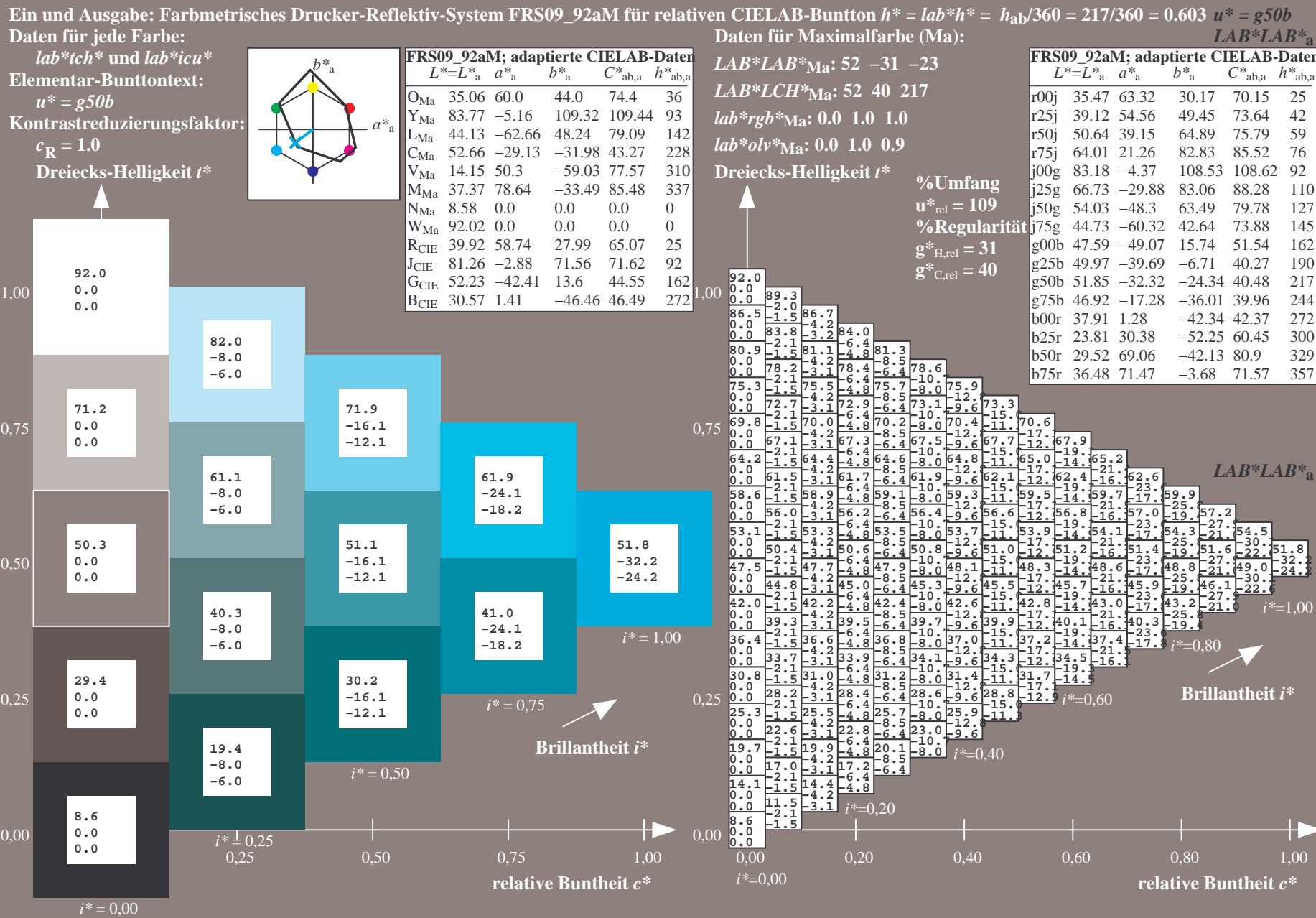
b/5r	36.48	71.47	-3.68	71.57	357
------	-------	-------	-------	-------	-----



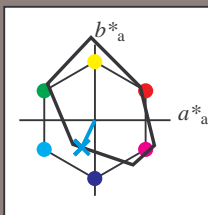
Farbreihen, 8 Datentabellen für 16 Bunttöne *r00j* bis *b75r*

Ausgabe: $\rightarrow cmy\mathbf{n}5^* setcmykcolor$

ta



Ein und Ausgabe: Farbmetrisches Drucker-Reflektiv-System FRS09_92aM für relativen CIELAB-Buntton $h^* = lab^*h^* = h_{ab}/360 = 244/360 = 0.679$ $u^* = g75b$
Daten für jede Farbe:
 lab^*ch^* und lab^*icu^*
Elementar-Bunttontext:
 $u^* = g75b$
Kontrastreduzierungsfaktor:
 $c_R = 1.0$
Dreiecks-Helligkeit t^*



FRS09_92aM; adaptierte CIELAB-Daten					
	$L^*=L_a^*$	a_a^*	b_a^*	$C^*_{ab,a}$	$h^*_{ab,a}$
O _{Ma}	35.06	60.0	44.0	74.4	36
Y _{Ma}	83.77	-5.16	109.32	109.44	93
L _{Ma}	44.13	-62.66	48.24	79.09	142
C _{Ma}	52.66	-29.13	-31.98	43.27	228
V _{Ma}	14.15	50.3	-59.03	77.57	310
M _{Ma}	37.37	78.64	-33.49	85.48	337
N _{Ma}	8.58	0.0	0.0	0.0	0
W _{Ma}	92.02	0.0	0.0	0.0	0
R _{CIE}	39.92	58.74	27.99	65.07	25
J _{CIE}	81.26	-2.88	71.56	71.62	92
G _{CIE}	52.23	-42.41	13.6	44.55	162
B _{CIE}	30.57	1.41	-46.46	46.49	272

Daten für Maximalfarbe (Ma):

$LAB^*LAB^*_{Ma}$: 47 -16 -35

$LAB^*LCH^*_{Ma}$: 47 40 244

$lab^*rgb^*_{Ma}$: 0.0 0.5 1.0

$lab^*olv^*_{Ma}$: 0.0 0.85 1.0

Dreiecks-Helligkeit t^*

%Umfang

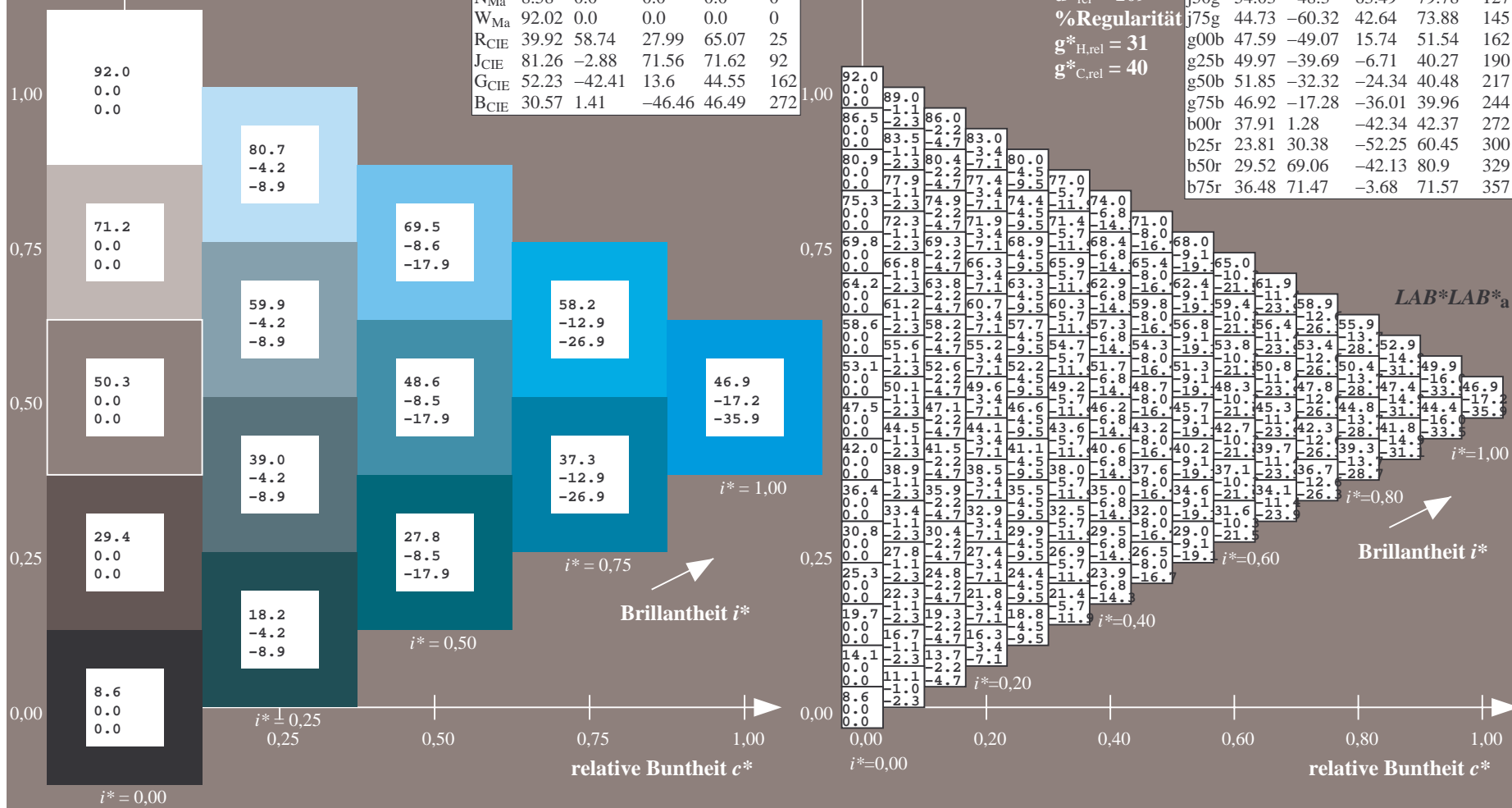
$u^*_{rel} = 109$

%Regularität

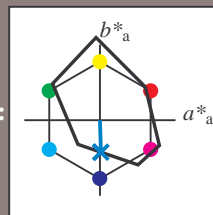
$g^*_{H,rel} = 31$

$g^*_{C,rel} = 40$

FRS09_92aM; adaptierte CIELAB-Daten					
	$L^*=L_a^*$	a_a^*	b_a^*	$C^*_{ab,a}$	$h^*_{ab,a}$
r00j	35.47	63.32	30.17	70.15	25
r25j	39.12	54.56	49.45	73.64	42
r50j	50.64	39.15	64.89	75.79	59
r75j	64.01	21.26	82.83	85.52	76
j00g	83.18	-4.37	108.53	108.62	92
j25g	66.73	-29.88	83.06	88.28	110
j50g	54.03	-48.3	63.49	79.78	127
j75g	44.73	-60.32	42.64	73.88	145
g00b	47.59	-49.07	15.74	51.54	162
g25b	49.97	-39.69	-6.71	40.27	190
g50b	51.85	-32.32	-24.34	40.48	217
g75b	46.92	-17.28	-36.01	39.96	244
b00r	37.91	1.28	-42.34	42.37	272
b25r	23.81	30.38	-52.25	60.45	300
b50r	29.52	69.06	-42.13	80.9	329
b75r	36.48	71.47	-3.68	71.57	357



Ein und Ausgabe: Farbmetrisches Drucker-Reflektiv-System FRS09_92aM für relativen CIELAB-Buntton $h^* = lab^*h^* = h_{ab}/360 = 272/360 = 0.755$ $u^* = b00r$
Daten für jede Farbe:
 lab^*ch^* und lab^*icu^*
Elementar-Bunttontext:
 $u^* = b00r$
Kontrastreduzierungsfaktor:
 $c_R = 1.0$
Dreiecks-Helligkeit t^*



FRS09_92aM; adaptierte CIELAB-Daten					
	$L^*=L_a^*$	a_a^*	b_a^*	$C^*_{ab,a}$	$h^*_{ab,a}$
O _{Ma}	35.06	60.0	44.0	74.4	36
Y _{Ma}	83.77	-5.16	109.32	109.44	93
L _{Ma}	44.13	-62.66	48.24	79.09	142
C _{Ma}	52.66	-29.13	-31.98	43.27	228
V _{Ma}	14.15	50.3	-59.03	77.57	310
M _{Ma}	37.37	78.64	-33.49	85.48	337
N _{Ma}	8.58	0.0	0.0	0.0	0
W _{Ma}	92.02	0.0	0.0	0.0	0
R _{CIE}	39.92	58.74	27.99	65.07	25
J _{CIE}	81.26	-2.88	71.56	71.62	92
G _{CIE}	52.23	-42.41	13.6	44.55	162
B _{CIE}	30.57	1.41	-46.46	46.49	272

Daten für Maximalfarbe (Ma):

$LAB^*LAB^*_{Ma}$: 38 1 -41

$LAB^*LCH^*_{Ma}$: 38 42 272

$lab^*rgb^*_{Ma}$: 0.0 0.0 1.0

$lab^*olv^*_{Ma}$: 0.0 0.62 1.0

Dreiecks-Helligkeit t^*

%Umfang

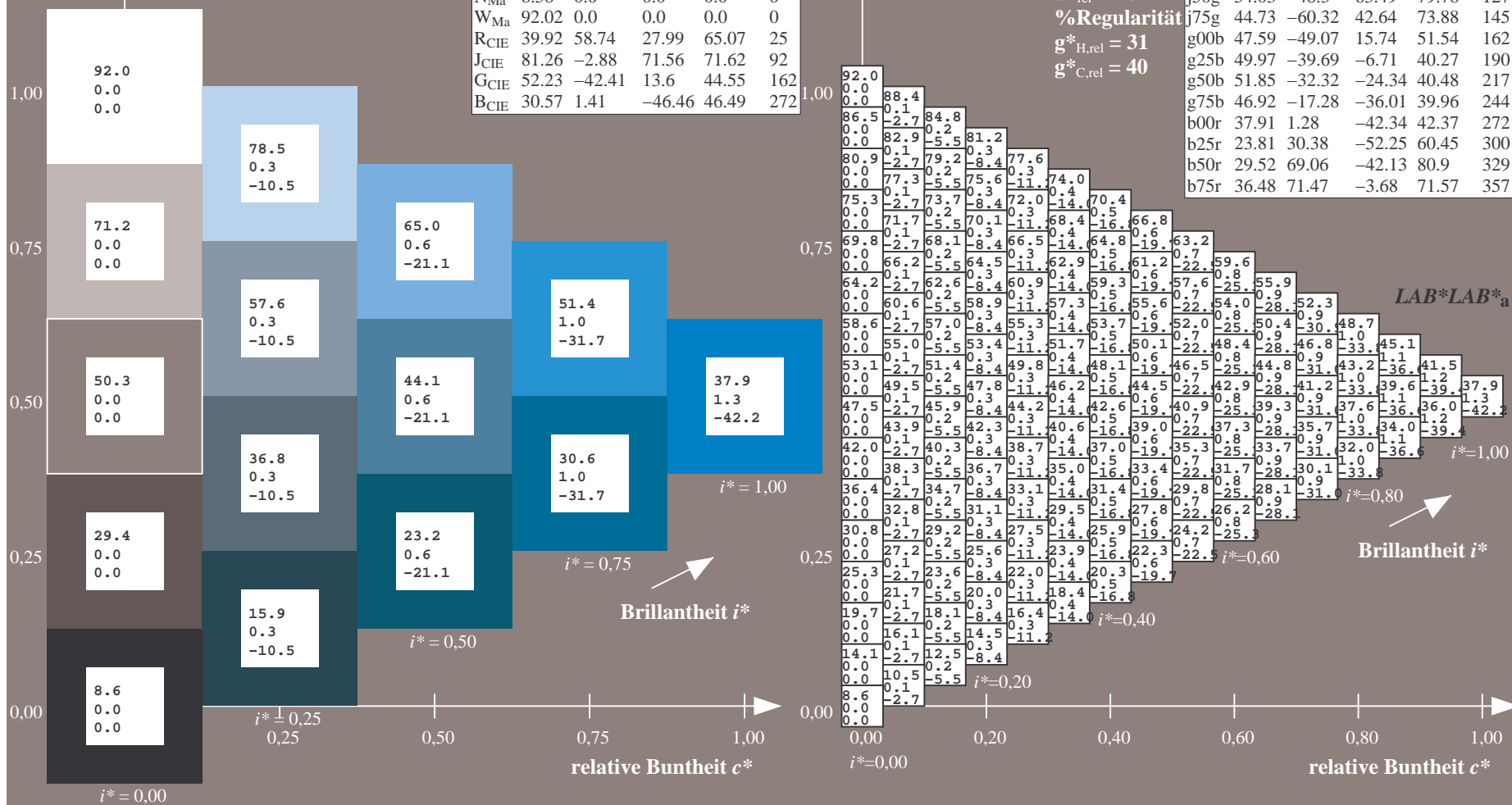
$u^*_{rel} = 109$

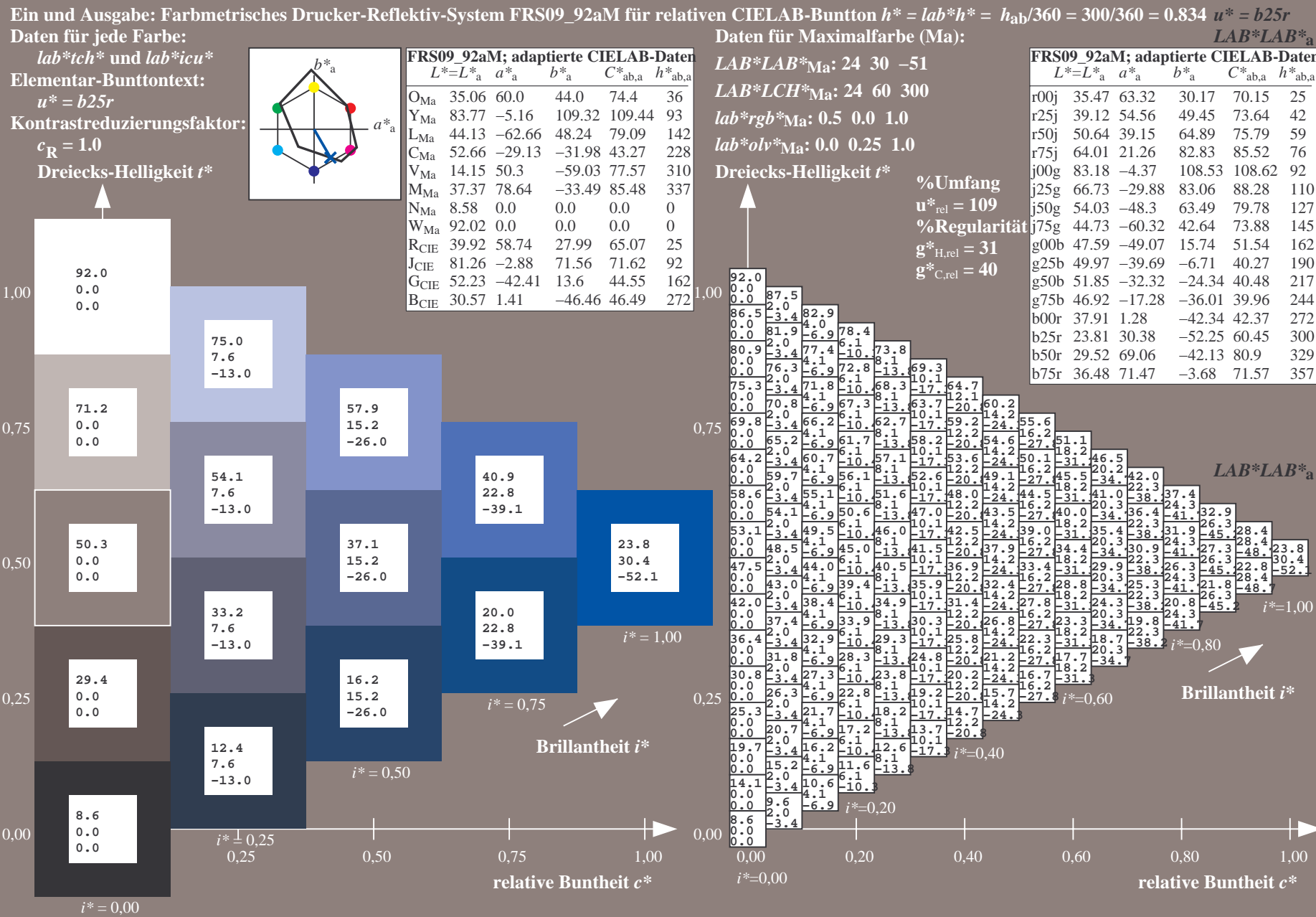
%Regularität

$g^*_{H,rel} = 31$

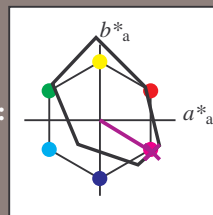
$g^*_{C,rel} = 40$

FRS09_92aM; adaptierte CIELAB-Daten					
	$L^*=L_a^*$	a_a^*	b_a^*	$C^*_{ab,a}$	$h^*_{ab,a}$
r00j	35.47	63.32	30.17	70.15	25
r25j	39.12	54.56	49.45	73.64	42
r50j	50.64	39.15	64.89	75.79	59
r75j	64.01	21.26	82.83	85.52	76
j00g	83.18	-4.37	108.53	108.62	92
j25g	66.73	-29.88	83.06	88.28	110
j50g	54.03	-48.3	63.49	79.78	127
j75g	44.73	-60.32	42.64	73.88	145
g00b	47.59	-49.07	15.74	51.54	162
g25b	49.97	-39.69	-6.71	40.27	190
g50b	51.85	-32.32	-24.34	40.48	217
g75b	46.92	-17.28	-36.01	39.96	244
b00r	37.91	1.28	-42.34	42.37	272
b25r	23.81	30.38	-52.25	60.45	300
b50r	29.52	69.06	-42.13	80.9	329
b75r	36.48	71.47	-3.68	71.57	357





Ein und Ausgabe: Farbmetrisches Drucker-Reflektiv-System FRS09_92aM für relativen CIELAB-Buntton $h^* = lab^*h^* = h_{ab}/360 = 329/360 = 0.913$ $u^* = b50r$
Daten für jede Farbe:
 lab^*ch^* und lab^*icu^*
Elementar-Bunttontext:
 $u^* = b50r$
Kontrastreduzierungsfaktor:
 $c_R = 1.0$
Dreiecks-Helligkeit t^*



FRS09_92aM; adaptierte CIELAB-Daten					
	$L^*=L_a^*$	a_a^*	b_a^*	$C^*_{ab,a}$	$h^*_{ab,a}$
O _{Ma}	35.06	60.0	44.0	74.4	36
Y _{Ma}	83.77	-5.16	109.32	109.44	93
L _{Ma}	44.13	-62.66	48.24	79.09	142
C _{Ma}	52.66	-29.13	-31.98	43.27	228
V _{Ma}	14.15	50.3	-59.03	77.57	310
M _{Ma}	37.37	78.64	-33.49	85.48	337
N _{Ma}	8.58	0.0	0.0	0.0	0
W _{Ma}	92.02	0.0	0.0	0.0	0
R _{CIE}	39.92	58.74	27.99	65.07	25
J _{CIE}	81.26	-2.88	71.56	71.62	92
G _{CIE}	52.23	-42.41	13.6	44.55	162
B _{CIE}	30.57	1.41	-46.46	46.49	272

Daten für Maximalfarbe (Ma):

$LAB^*LAB^*_{Ma}$: 30 69 -41

$LAB^*LCH^*_{Ma}$: 30 81 329

$lab^*rgb^*_{Ma}$: 1.0 0.0 1.0

$lab^*olv^*_{Ma}$: 0.66 0.0 1.0

Dreiecks-Helligkeit t^*

%Umfang

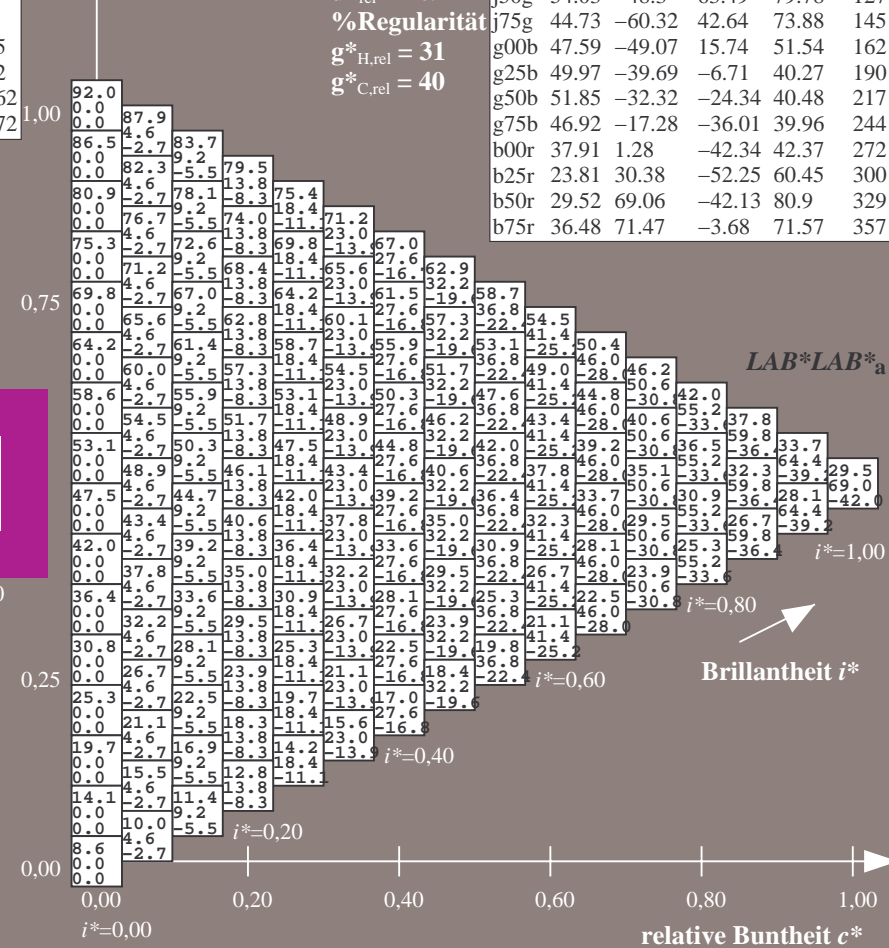
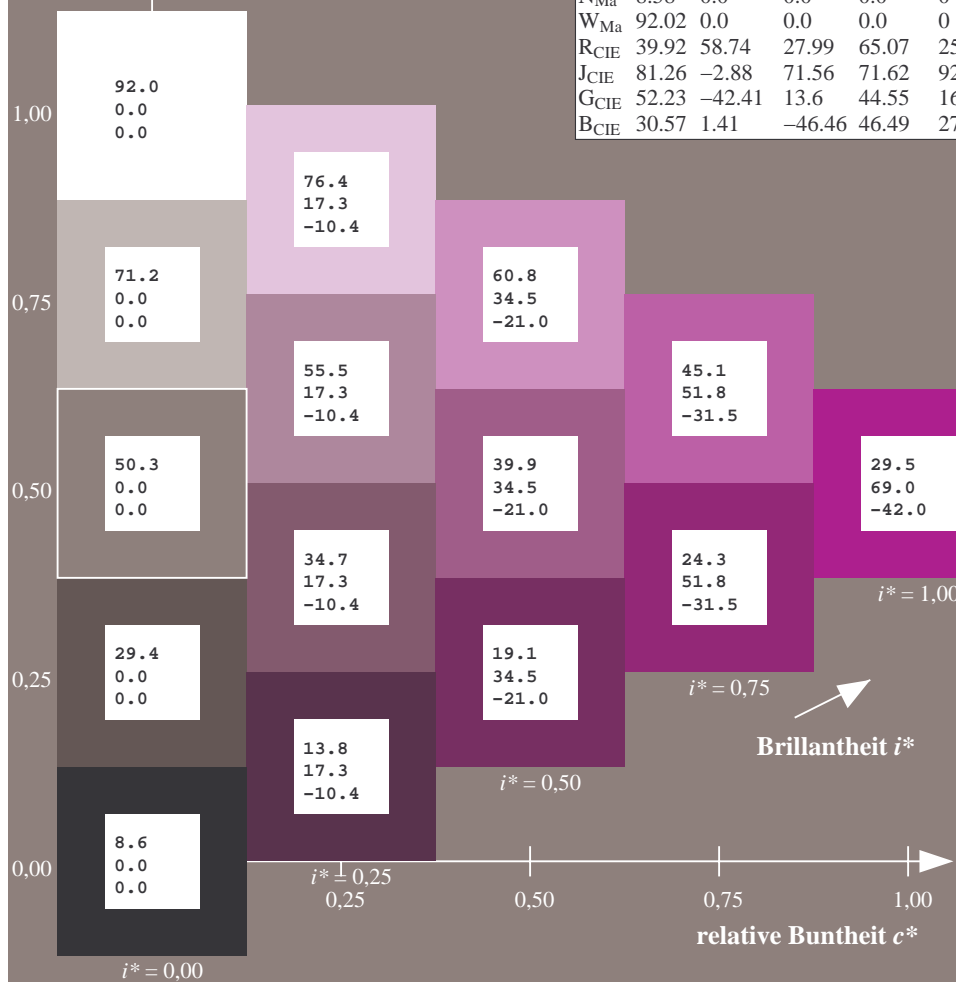
$u^*_{rel} = 109$

%Regularität

$g^*_{H,rel} = 31$

$g^*_{C,rel} = 40$

FRS09_92aM; adaptierte CIELAB-Daten					
	$L^*=L_a^*$	a_a^*	b_a^*	$C^*_{ab,a}$	$h^*_{ab,a}$
r00j	35.47	63.32	30.17	70.15	25
r25j	39.12	54.56	49.45	73.64	42
r50j	50.64	39.15	64.89	75.79	59
r75j	64.01	21.26	82.83	85.52	76
j00g	83.18	-4.37	108.53	108.62	92
j25g	66.73	-29.88	83.06	88.28	110
j50g	54.03	-48.3	63.49	79.78	127
j75g	44.73	-60.32	42.64	73.88	145
g00b	47.59	-49.07	15.74	51.54	162
g25b	49.97	-39.69	-6.71	40.27	190
g50b	51.85	-32.32	-24.34	40.48	217
g75b	46.92	-17.28	-36.01	39.96	244
b00r	37.91	1.28	-42.34	42.37	272
b25r	23.81	30.38	-52.25	60.45	300
b50r	29.52	69.06	-42.13	80.9	329
b75r	36.48	71.47	-3.68	71.57	357



↑

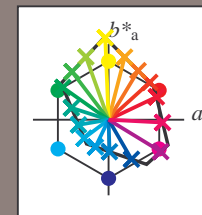


Siehe ähnliche Dateien: <http://www.ps.bam.de/Dg92/>; www.ps.bam.de/Dg92/10L/L92G00NP.PS/.PDF BAM-Material: Code=rh4ta
Technische Information: <http://www.ps.bam.de/Version 2.1, io=1.1, ColSpX=0>

	A	B	C	D	E	F	G	H	I	J	K	L	M	N	O	P	Q	R	S	T	U	V	W	X	Y	Z	a	b	c	d	e	f	g	h	i	j	k	LAB*	LAB*
01	8.6	13.0	17.5	21.9	26.4	30.8	35.2	39.7	44.1	11.9	18.0	22.4	26.9	31.3	35.8	40.2	44.6	49.1	15.2	21.3	27.4	31.8	36.3	40.7	45.2	49.6	54.0	58.4	62.8	67.3	71.7	76.2	80.6	85.1	89.5	93.9	98.4	102.8	
02	0.0	-7.7	-15.6	-23.4	-31.2	-39.1	-46.9	-54.7	-62.5	-0.5	-0.8	-16.2	-24.0	-31.9	-39.7	-47.5	-55.4	-63.2	6.9	-1.2	-9.0	-16.9	-24.7	-32.5	-40.4	-48.2	-56.0	-63.8	-71.6	-79.4	-87.2	-95.0	-102.8	-110.6	-118.4	-126.2	-134.0		
03	9.3	14.1	18.5	23.0	27.4	31.9	36.3	40.8	45.2	12.2	19.0	23.5	27.9	32.3	36.8	41.2	45.7	50.1	15.5	22.3	28.4	32.9	37.3	41.7	46.2	50.6	55.1	59.5	63.9	68.4	72.8	77.3	81.7	86.2	90.6	95.1	99.5	104.0	
04	6.3	-3.5	-11.4	-19.2	-27.0	-34.9	-42.7	-50.5	-58.4	0.0	-7.7	-15.6	-23.4	-31.2	-39.1	-46.9	-54.7	-62.5	7.5	-0.5	-8.4	-16.2	-24.0	-31.9	-39.7	-47.5	-55.4	-63.2	-71.0	-78.8	-86.6	-94.4	-102.2	-110.0	-117.8	-125.6	-133.4		
05	-7.3	-3.9	2.0	8.1	14.1	20.1	26.2	32.2	38.2	-4.1	0.0	6.0	12.1	18.1	24.1	30.1	36.2	42.2	1.3	5.5	13.7	19.7	25.7	31.7	37.8	43.8	49.8	55.9	61.9	67.9	73.9	79.9	85.9	91.9	97.9	103.9	109.9		
06	10.0	14.8	19.6	24.4	28.5	32.9	37.4	41.8	46.3	12.9	19.7	24.2	28.6	33.0	37.4	41.8	46.3	50.7	15.8	22.6	29.4	33.9	38.3	42.8	47.2	51.7	56.1	60.5	64.9	69.3	73.7	78.1	82.5	86.9	91.3	95.7	100.1		
07	12.6	16.2	19.8	23.4	27.0	30.6	34.2	37.8	41.4	16.1	22.9	26.5	30.1	33.7	37.3	40.9	44.5	48.1	19.7	26.5	33.3	38.8	44.3	49.8	55.3	60.8	66.3	71.8	77.3	82.8	88.3	93.8	99.3	104.8	110.3	115.8	121.3		
08	-14.7	-11.3	-7.9	-1.9	4.1	10.1	16.1	22.2	28.2	-11.5	-7.3	-3.9	2.0	8.1	14.1	20.1	26.2	32.2	-8.3	-4.1	0.0	6.0	12.1	18.1	24.1	30.1	36.2	42.2	48.2	54.2	60.2	66.2	72.2	78.2	84.2	90.2	96.2		
09	10.7	15.5	20.3	25.1	29.6	34.0	38.4	42.9	47.3	13.6	20.4	25.0	30.0	34.5	38.9	43.4	47.8	52.2	23.3	30.1	34.9	39.8	44.8	49.8	54.8	59.8	64.8	69.8	74.8	79.8	84.8	89.8	94.8	99.8	104.8	109.8	114.8		
10	18.9	8.9	-0.9	-10.8	-18.7	-26.5	-34.3	-42.2	-50.0	12.6	19.0	25.4	31.8	38.2	44.6	51.0	57.4	63.8	2.6	-7.2	-15.0	-22.9	-30.7	-38.5	-46.3	-54.1	-61.9	-69.7	-77.5	-85.3	-93.1	-100.9	-108.7	-116.5	-124.3	-132.1	-139.9		
11	-22.0	-18.7	-15.3	-11.9	-5.9	0.1	6.1	12.1	18.2	-18.8	-14.7	-11.3	-7.9	-1.9	4.1	10.1	16.1	22.2	-15.7	-11.5	-7.3	-3.9	2.0	8.1	14.1	20.1	26.2	32.2	38.2	44.2	50.2	56.2	62.2	68.2	74.2	80.2	86.2		
12	11.4	16.2	21.0	25.8	30.6	35.3	39.9	44.5	49.1	14.3	21.1	25.9	30.7	35.5	40.0	44.4	48.9	53.3	17.2	24.0	30.8	35.6	40.5	45.4	50.3	55.2	60.1	65.0	69.9	74.8	79.7	84.6	89.5	94.4	99.3	104.2			
13	25.1	15.2	5.3	-4.5	-14.5	-22.3	-30.1	-38.0	-45.8	28.7	18.9	8.9	-0.9	-10.8	-18.7	-26.5	-34.3	-42.2	32.2	24.0	16.2	8.4	2.6	-7.2	-15.0	-22.9	-30.7	-38.5	-46.3	-54.1	-61.9	-69.7	-77.5	-85.3	-93.1	-100.9			
14	-29.4	-26.0	-22.7	-19.3	-15.9	-9.9	-3.8	2.1	8.1	-26.2	-22.0	-18.7	-15.3	-11.9	-5.9	0.1	6.1	12.1	-23.0	-18.8	-14.7	-11.3	-7.9	-1.9	4.1	10.1	16.1	22.2	28.2	34.2	40.2	46.2	52.2	58.2	64.2	70.2			
15	12.1	16.9	21.7	26.5	31.3	36.1	40.9	45.0	49.5	15.0	21.8	26.6	31.4	36.2	41.1	45.9	50.7	55.4	17.9	24.7	31.5	36.3	41.2	46.0	50.8	55.6	60.4	65.2	70.0	74.8	79.6	84.4	89.2	94.0	98.8	103.6			
16	31.4	21.5	11.6	1.7	-8.2	-18.1	-25.9	-33.8	-41.6	25.2	15.2	5.3	-4.5	-14.5	-22.3	-30.1	-37.9	-45.7	38.0	28.7	18.9	8.9	-0.9	-10.8	-18.7	-26.5	-34.3	-42.1	-49.9	-57.7	-65.5	-73.3	-81.1	-88.9	-96.7	-104.5			
17	-36.8	-33.4	-30.0	-26.7	-23.3	-19.9	-13.9	-7.8	-1.8	33.6	29.4	26.0	22.7	19.3	15.9	12.5	9.1	5.7	-30.4	-26.2	-22.0	-18.7	-15.3	-11.9	-5.9	0.1	6.1	12.1	18.1	24.1	30.1	36.1	42.1	48.1	54.1	60.1			
18	12.8	17.6	22.4	27.2	32.0	36.8	41.6	46.4	51.2	15.7	22.5	27.3	32.1	36.9	41.7	46.5	51.3	55.4	18.6	25.4	32.2	37.0	41.9	46.7	51.5	56.3	61.1	65.9	70.7	75.5	80.3	85.1	89.9	94.7	99.5	104.3			
19	37.7	27.8	17.9	7.9	-11.8	-21.8	-29.6	-37.4	-45.2	31.4	21.4	11.4	1.4	-11.6	-19.4	-27.2	-35.0	-42.8	34.8	25.0	15.2	5.2	0.0	-10.8	-18.6	-26.4	-34.2	-42.0	-49.8	-57.6	-65.4	-73.2	-81.0	-88.8	-96.6	-104.4			
20	-44.2	-40.8	-37.4	-34.0	-30.7	-27.3	-23.9	-17.9	-11.8	-41.0	-36.8	-33.4	-30.0	-26.7	-23.3	-19.9	-13.9	-7.8	-37.8	-33.6	-29.4	-26.0	-22.7	-19.3	-15.9	-9.9	-3.8	-23.9	-19.9	-15.9	-11.9	-7.9	-3.9	0.0	6.0	12.0			
21	13.5	18.3	23.1	27.9	32.7	37.5	42.3	47.2	51.9	16.4	23.2	28.0	32.8	37.6	42.4	47.2	52.1	56.9	19.3	26.1	32.9	37.7	42.5	47.3	52.1	56.9	61.7	66.5	71.3	76.1	80.9	85.7	90.5	95.3	100.1				
22	14.2	19.0	23.8	28.6	33.4	38.2	43.0	47.8	52.7	17.1	23.9	28.7	33.5	38.3	43.1	47.9	52.7	57.5	20.0	26.8	33.6	40.4	47.2	54.0	60.8	67.6	74.4	81.2	88.0	94.8	101.6	108.4	115.2	122.0	128.8				
23	50.3	40.4	30.4	20.5	10.6	0.6	-9.2	-19.1	-29.0	33.8	44.0	34.1	24.1	14.2	4.3	-5.5	-15.5	-25.5	47.4	47.6	47.8	47.9	48.0	48.1	48.2	48.3	48.4	48.5	48.6	48.7	48.8	48.9	49.0	49.1	49.2	49.3			
24	-58.9	-55.6	-52.2	-48.8	-45.4	-42.0	-38.6	-35.3	-31.9	-55.7	-51.6	-48.2	-44.8	-41.4	-38.0	-34.6	-31.2	-27.9	-52.5	-48.4	-44.2	-40.0	-37.4	-34.0	-30.6	-27.2	-23.8	-20.4	-17.0	-13.6	-10.2	-6.8	-3.4	0.0	6.6				
25	18.5	24.6	30.7	36.8	41.9	47.0	52.1	57.2	62.3	17.1	22.2	27.3	32.4	37.5	42.6	47.7	52.8	57.9	21.1	32.2	37.3	42.4	47.5	52.6	57.7	62.8	67.9	73.0	78.1	83.2	88.3	93.4	98.5	103.6	108.7				
26	22.5	14.4	6.2	-1.8	-9.7	-17.5	-25.3	-33.2	-41.0	21.9	27.9	13.7	5.6	-2.5	-10.3	-18.2	-26.0	-33.8	37.5	42.4	21.2	13.1	4.9	-3.1	-11.0	-18.8	-26.6	-34.4	-42.2	-50.0	-57.8	-65.6	-73.4	-81.2	-89.0				
27	16.5	24.7	32.8	41.0	47.0	53.0	59.1	65.1	71.1	22.0	30.2	38.3	46.5	54.6	60.7	66.7	72.7	78.8	27.8	35.7	43.8	52.0	60.1	68.3	76.4	80.4	86.4	92.4	98.4	104.4	110.4	116.4	122.4	128.4					
28	18.1	25.6	31.7	37.8	42.3	46.7	51.1	55.6	60.0	22.1	28.9	35.0	41.1	47.2	51.7	56.1	60.5	64.9	25.4	32.3	38.3	44.4	50.5	56.6	61.0	65.5	69.9	74.3	78.7	83.1	87.5	91.9	96.3	100.7	105.1				
29	24.8	15.0	6.9	-1.2	-9.9	-16.9	-24.7	-32.5	-40.3	22.3	26.5	14.4	6.2	-1.8	-9.7	-17.5	-25.3	-33.2	38.3	40.0	21.9	13.7	5.6	-2.5	-10.3	-18.2	-26.0	-33.8	-41.6	-49.4	-57.2	-65.0	-72.8	-80.6	-88.4				
30	6.8	11.0	19.2	27.3	33.4	39.4	45.4	51.5	57.5	12.3	16.5	24.7	32.8	41.0	47.0	53.1																							

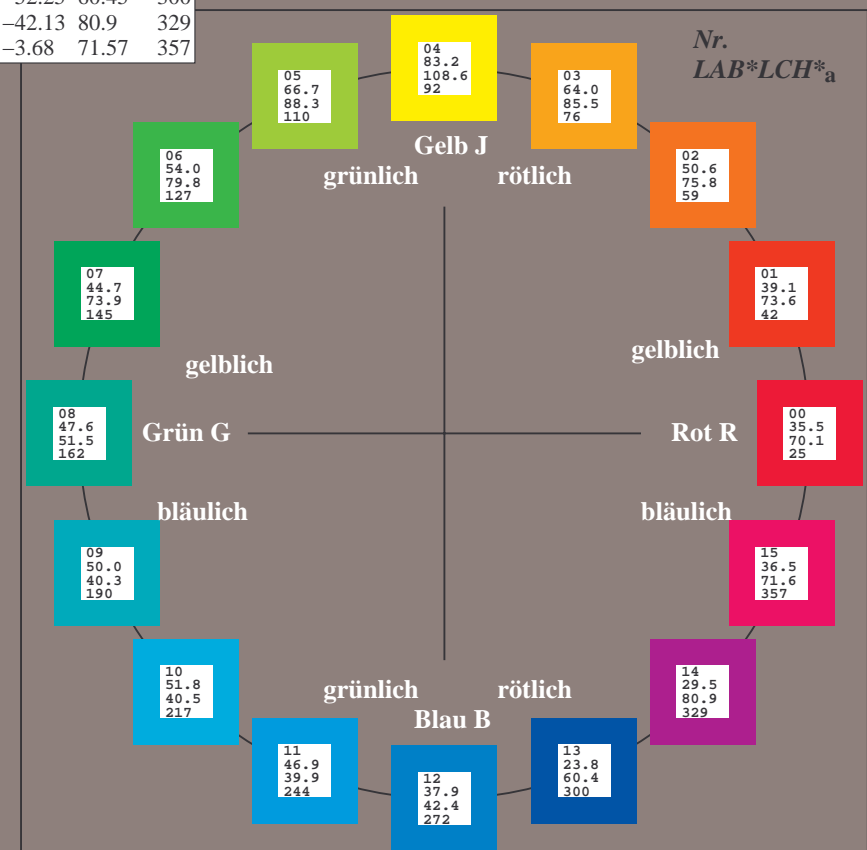
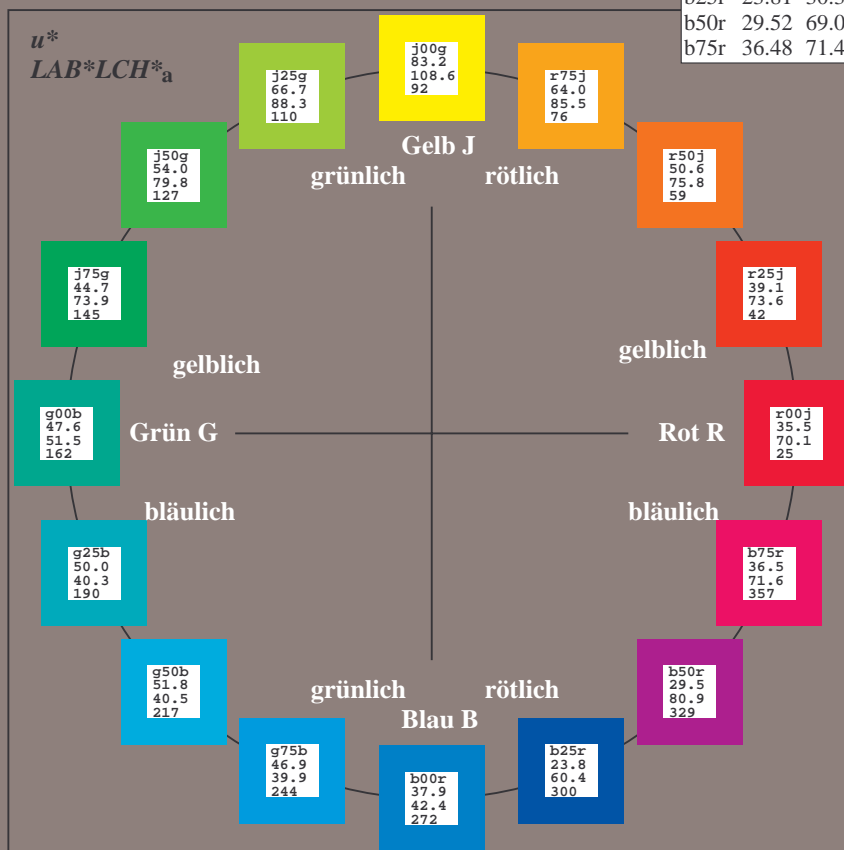
Ein und Ausgabe:
Farbmetrisches Drucker-Reflektiv-System FRS09_92aM
Daten für jede Farbe:
*lab*_{rch}** und *lab*_{icu}**
Elementar-Bunttontext:
u = 16 Buntttöne r00j, r25j, ..., b75r*
Kontrastreduzierungsfaktor:
 $c_R = 1.0$

FRS09_92aM; adaptierte CIELAB-Daten					
	$L^*=L^*_a$	a^*_a	b^*_a	$C^*_{ab,a}$	$h^*_{ab,a}$
r00j	35.47	63.32	30.17	70.15	25
r25j	39.12	54.56	49.45	73.64	42
r50j	50.64	39.15	64.89	75.79	59
r75j	64.01	21.26	82.83	85.52	76
j00g	83.18	-4.37	108.53	108.62	92
j25g	66.73	-29.88	83.06	88.28	110
j50g	54.03	-48.3	63.49	79.78	127
j75g	44.73	-60.32	42.64	73.88	145
g00b	47.59	-49.07	15.74	51.54	162
g25b	49.97	-39.69	-6.71	40.27	190
g50b	51.85	-32.32	-24.34	40.48	217
g75b	46.92	-17.28	-36.01	39.96	244
b00r	37.91	1.28	-42.34	42.37	272
b25r	23.81	30.38	-52.25	60.45	300
b50r	29.52	69.06	-42.13	80.9	329
b75r	36.48	71.47	-3.68	71.57	357



%Umfang
 $u^*_{rel} = 109$
%Regularität
 $g^*_{H,rel} = 31$
 $g^*_{C,rel} = 40$

FRS09_92aM; adaptierte CIELAB-Daten					
	$L^*=L^*_a$	a^*_a	b^*_a	$C^*_{ab,a}$	$h^*_{ab,a}$
OMa	35.06	60.0	44.0	74.4	36
YMa	83.77	-5.16	109.32	109.44	93
LMa	44.13	-62.66	48.24	79.09	142
CMa	52.66	-29.13	-31.98	43.27	228
VMa	14.15	50.3	-59.03	77.57	310
MMa	37.37	78.64	-33.49	85.48	337
NMa	8.58	0.0	0.0	0.0	0
WMa	92.02	0.0	0.0	0.0	0
RCIE	39.92	58.74	27.99	65.07	25
JCIE	81.26	-2.88	71.56	71.62	92
GCIE	52.23	-42.41	13.6	44.55	162
BCIE	30.57	1.41	-46.46	46.49	272



Ein und Ausgabe: Farbmetrisches Drucker-Reflektiv-System FRS09_92aM für relativen CIELAB-Buntton $h^* = lab^*h^* = h_{ab}/360 = 25/360 = 0.071$ $u^* = r00j$

Daten für jede Farbe:

lab^*ch^* und lab^*icu^*

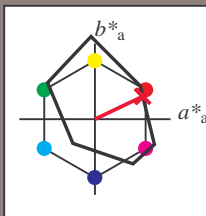
Elementar-Bunttontext:

$u^* = r00j$

Kontrastreduzierungsfaktor:

$c_R = 1.0$

Dreiecks-Helligkeit t^*



FRS09_92aM; adaptierte CIELAB-Daten

	$L^*=L^*_a$	a^*_a	b^*_a	$C^*_{ab,a}$	$h^*_{ab,a}$
O _{Ma}	35.06	60.0	44.0	74.4	36
Y _{Ma}	83.77	-5.16	109.32	109.44	93
L _{Ma}	44.13	-62.66	48.24	79.09	142
C _{Ma}	52.66	-29.13	-31.98	43.27	228
V _{Ma}	14.15	50.3	-59.03	77.57	310
M _{Ma}	37.37	78.64	-33.49	85.48	337
N _{Ma}	8.58	0.0	0.0	0.0	0
W _{Ma}	92.02	0.0	0.0	0.0	0
R _{CIE}	39.92	58.74	27.99	65.07	25
J _{CIE}	81.26	-2.88	71.56	71.62	92
G _{CIE}	52.23	-42.41	13.6	44.55	162
B _{CIE}	30.57	1.41	-46.46	46.49	272

Daten für Maximalfarbe (Ma):

$LAB^*LAB^*_{Ma}$: 35 63 30

$LAB^*LCH^*_{Ma}$: 35 70 25

$lab^*rgb^*_{Ma}$: 1.0 0.0 0.0

$lab^*olv^*_{Ma}$: 1.0 0.0 0.18

Dreiecks-Helligkeit t^*

%Umfang

$u^*_{rel} = 109$

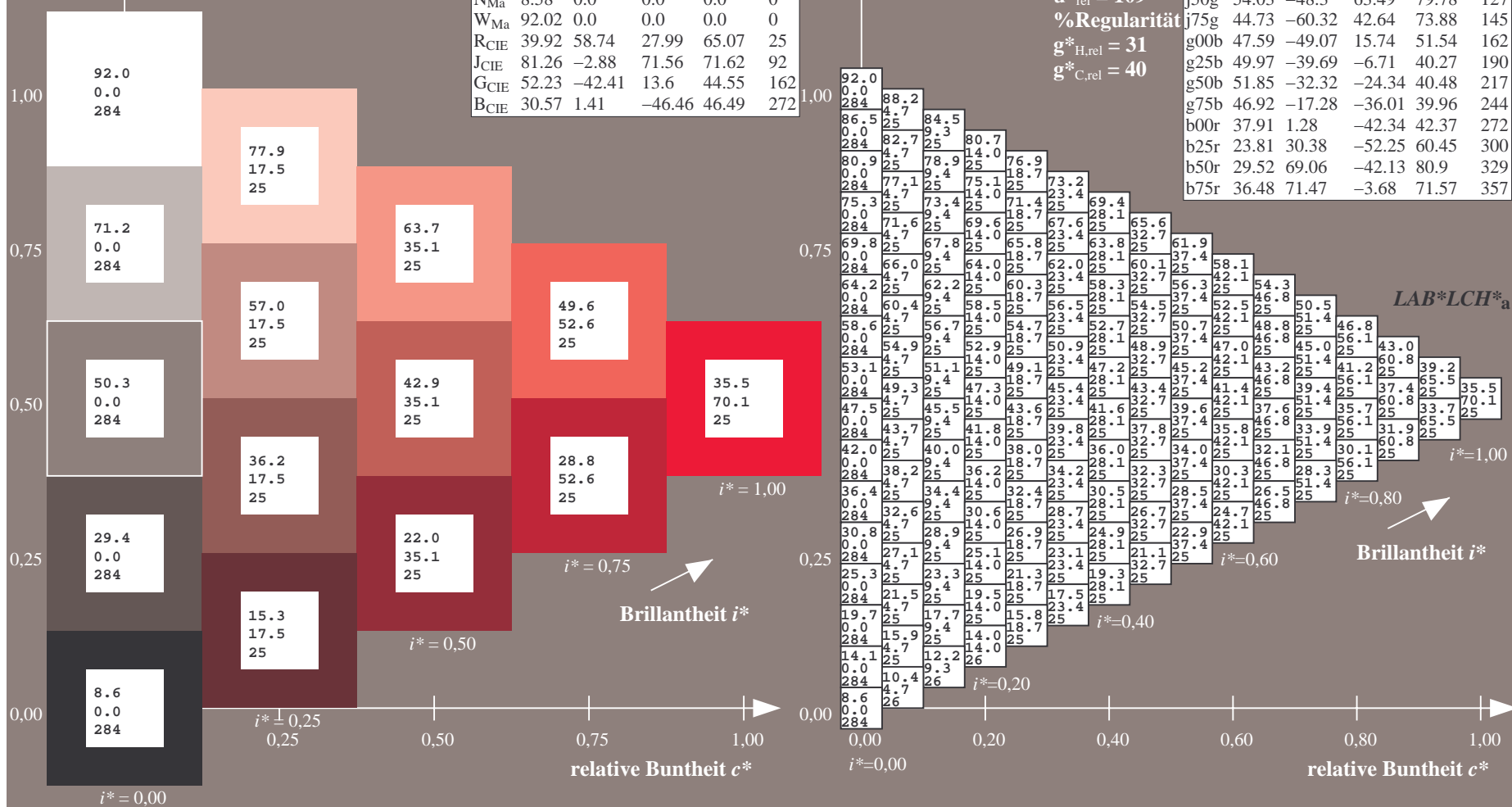
%Regularität

$g^*_{H,rel} = 31$

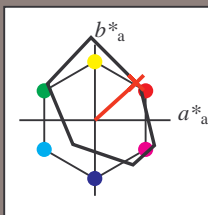
$g^*_{C,rel} = 40$

FRS09_92aM; adaptierte CIELAB-Daten

	$L^*=L^*_a$	a^*_a	b^*_a	$C^*_{ab,a}$	$h^*_{ab,a}$
r00j	35.47	63.32	30.17	70.15	25
r25j	39.12	54.56	49.45	73.64	42
r50j	50.64	39.15	64.89	75.79	59
r75j	64.01	21.26	82.83	85.52	76
j00g	83.18	-4.37	108.53	108.62	92
j25g	66.73	-29.88	83.06	88.28	110
j50g	54.03	-48.3	63.49	79.78	127
j75g	44.73	-60.32	42.64	73.88	145
g00b	47.59	-49.07	15.74	51.54	162
g25b	49.97	-39.69	-6.71	40.27	190
g50b	51.85	-32.32	-24.34	40.48	217
g75b	46.92	-17.28	-36.01	39.96	244
b00r	37.91	1.28	-42.34	42.37	272
b25r	23.81	30.38	-52.25	60.45	300
b50r	29.52	69.06	-42.13	80.9	329
b75r	36.48	71.47	-3.68	71.57	357



Ein und Ausgabe: Farbmetrisches Drucker-Reflektiv-System FRS09_92aM für relativen CIELAB-Buntton $h^* = lab^*h^* = h_{ab}/360 = 42/360 = 0.117$ $u^* = r25j$
Daten für jede Farbe:
 lab^*tch^* und lab^*icu^*
Elementar-Bunttontext:
 $u^* = r25j$
Kontrastreduzierungsfaktor:
 $c_R = 1.0$
Dreiecks-Helligkeit t^*



FRS09_92aM; adaptierte CIELAB-Daten					
	$L^*=L_a^*$	a_a^*	b_a^*	$C^*_{ab,a}$	$h^*_{ab,a}$
O _{Ma}	35.06	60.0	44.0	74.4	36
Y _{Ma}	83.77	-5.16	109.32	109.44	93
L _{Ma}	44.13	-62.66	48.24	79.09	142
C _{Ma}	52.66	-29.13	-31.98	43.27	228
V _{Ma}	14.15	50.3	-59.03	77.57	310
M _{Ma}	37.37	78.64	-33.49	85.48	337
N _{Ma}	8.58	0.0	0.0	0.0	0
W _{Ma}	92.02	0.0	0.0	0.0	0
R _{CIE}	39.92	58.74	27.99	65.07	25
J _{CIE}	81.26	-2.88	71.56	71.62	92
G _{CIE}	52.23	-42.41	13.6	44.55	162
B _{CIE}	30.57	1.41	-46.46	46.49	272

Daten für Maximalfarbe (Ma):

$LAB^*LAB^*_{Ma}$: 39 55 49

$LAB^*LCH^*_{Ma}$: 39 74 42

$lab^*rgb^*_{Ma}$: 1.0 0.25 0.0

$lab^*olv^*_{Ma}$: 1.0 0.08 0.0

Dreiecks-Helligkeit t^*

%Umfang

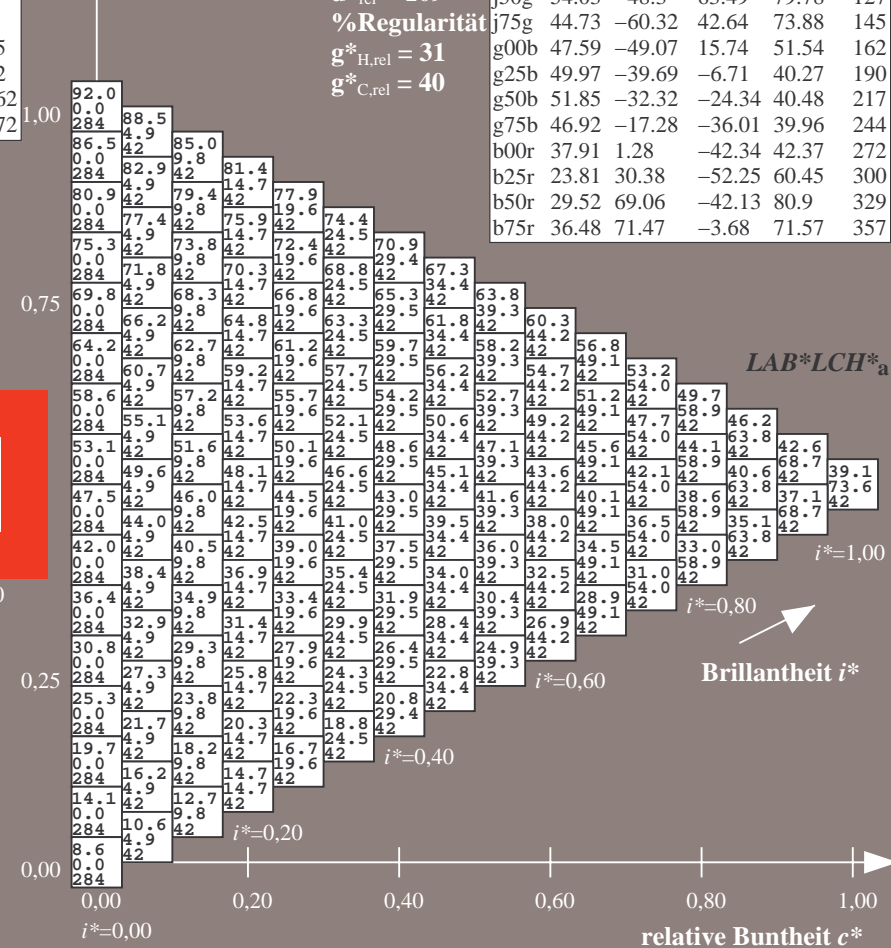
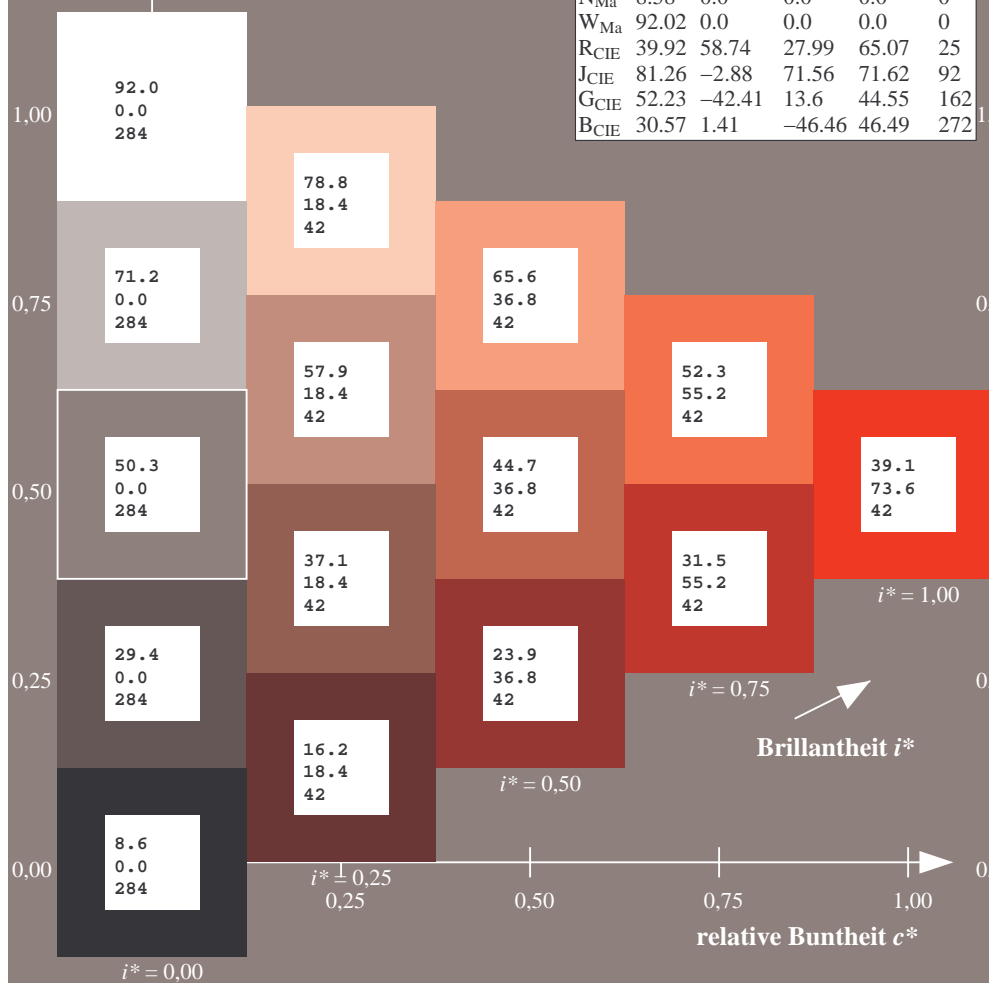
$u^*_{rel} = 109$

%Regularität

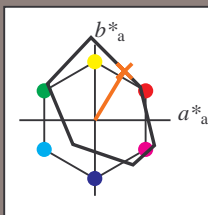
$g^*_{H,rel} = 31$

$g^*_{C,rel} = 40$

FRS09_92aM; adaptierte CIELAB-Daten					
	$L^*=L_a^*$	a_a^*	b_a^*	$C^*_{ab,a}$	$h^*_{ab,a}$
r00j	35.47	63.32	30.17	70.15	25
r25j	39.12	54.56	49.45	73.64	42
r50j	50.64	39.15	64.89	75.79	59
r75j	64.01	21.26	82.83	85.52	76
j00g	83.18	-4.37	108.53	108.62	92
j25g	66.73	-29.88	83.06	88.28	110
j50g	54.03	-48.83	63.49	79.78	127
j75g	44.73	-60.32	42.64	73.88	145
g00b	47.59	-49.07	15.74	51.54	162
g25b	49.97	-39.69	-6.71	40.27	190
g50b	51.85	-32.32	-24.34	40.48	217
g75b	46.92	-17.28	-36.01	39.96	244
b00r	37.91	1.28	-42.34	42.37	272
b25r	23.81	30.38	-52.25	60.45	300
b50r	29.52	69.06	-42.13	80.9	329
b75r	36.48	71.47	-3.68	71.57	357



Ein und Ausgabe: Farbmetrisches Drucker-Reflektiv-System FRS09_92aM für relativen CIELAB-Buntton $h^* = lab^*h^* = h_{ab}/360 = 59/360 = 0.164$ $u^* = r50j$
Daten für jede Farbe:
 lab^*tch^* und lab^*icu^*
Elementar-Bunttontext:
 $u^* = r50j$
Kontrastreduzierungsfaktor:
 $c_R = 1.0$
Dreiecks-Helligkeit t^*



FRS09_92aM; adaptierte CIELAB-Daten					
	$L^*=L^*_a$	a^*_a	b^*_a	$C^*_{ab,a}$	$h^*_{ab,a}$
O _{Ma}	35.06	60.0	44.0	74.4	36
Y _{Ma}	83.77	-5.16	109.32	109.44	93
L _{Ma}	44.13	-62.66	48.24	79.09	142
C _{Ma}	52.66	-29.13	-31.98	43.27	228
V _{Ma}	14.15	50.3	-59.03	77.57	310
M _{Ma}	37.37	78.64	-33.49	85.48	337
N _{Ma}	8.58	0.0	0.0	0.0	0
W _{Ma}	92.02	0.0	0.0	0.0	0
R _{CIE}	39.92	58.74	27.99	65.07	25
J _{CIE}	81.26	-2.88	71.56	71.62	92
G _{CIE}	52.23	-42.41	13.6	44.55	162
B _{CIE}	30.57	1.41	-46.46	46.49	272

Daten für Maximalfarbe (Ma):

$LAB^*LAB^*_{Ma}$: 51 39 65

$LAB^*LCH^*_{Ma}$: 51 76 59

$lab^*rgb^*_{Ma}$: 1.0 0.5 0.0

$lab^*olv^*_{Ma}$: 1.0 0.32 0.0

Dreiecks-Helligkeit t^*

%Umfang

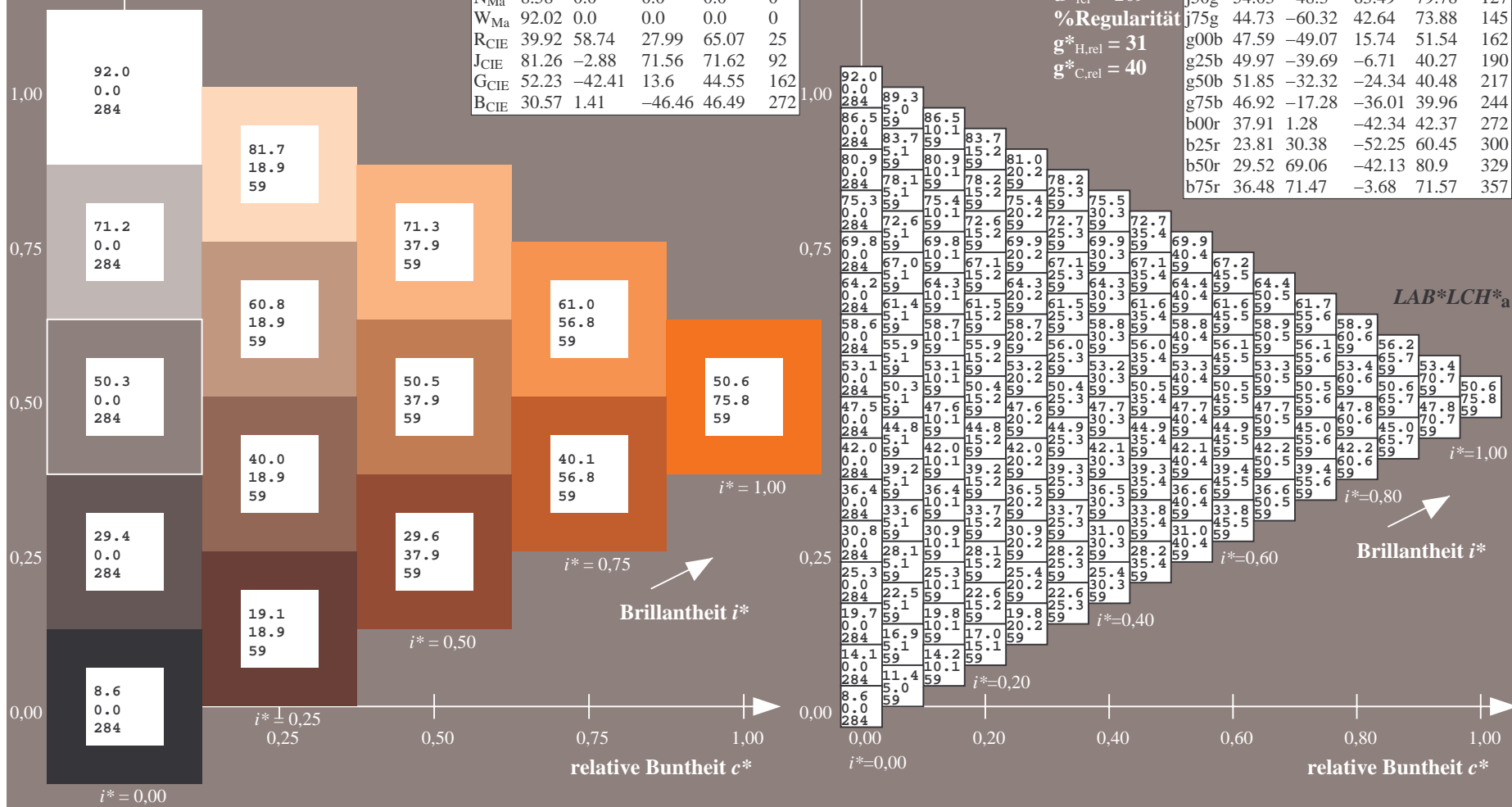
$u^*_{rel} = 109$

%Regularität

$g^*_{H,rel} = 31$

$g^*_{C,rel} = 40$

FRS09_92aM; adaptierte CIELAB-Daten					
	$L^*=L^*_a$	a^*_a	b^*_a	$C^*_{ab,a}$	$h^*_{ab,a}$
r00j	35.47	63.32	30.17	70.15	25
r25j	39.12	54.56	49.45	73.64	42
r50j	50.64	39.15	64.89	75.79	59
r75j	64.01	21.26	82.83	85.52	76
j00g	83.18	-4.37	108.53	108.62	92
j25g	66.73	-29.88	83.06	88.28	110
j50g	54.03	-48.3	63.49	79.78	127
j75g	44.73	-60.32	42.64	73.88	145
g00b	47.59	-49.07	15.74	51.54	162
g25b	49.97	-39.69	-6.71	40.27	190
g50b	51.85	-32.32	-24.34	40.48	217
g75b	46.92	-17.28	-36.01	39.96	244
b00r	37.91	1.28	-42.34	42.37	272
b25r	23.81	30.38	-52.25	60.45	300
b50r	29.52	69.06	-42.13	80.9	329
b75r	36.48	71.47	-3.68	71.57	357



Ein und Ausgabe: Farbmetrisches Drucker-Reflektiv-System FRS09_92aM für relativen CIELAB-Buntton $h^* = lab^*h^* = h_{ab}/360 = 76/360 = 0.21$ $u^* = r75j$

Daten für jede Farbe:

lab^*tch^* und lab^*icu^*

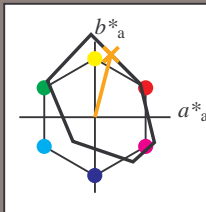
Elementar-Bunttontext:

$u^* = r75j$

Kontrastreduzierungsfaktor:

$c_R = 1.0$

Dreiecks-Helligkeit t^*



FRS09_92aM; adaptierte CIELAB-Daten

	$L^*=L^*_a$	a^*_a	b^*_a	$C^*_{ab,a}$	$h^*_{ab,a}$
O _{Ma}	35.06	60.0	44.0	74.4	36
Y _{Ma}	83.77	-5.16	109.32	109.44	93
L _{Ma}	44.13	-62.66	48.24	79.09	142
C _{Ma}	52.66	-29.13	-31.98	43.27	228
V _{Ma}	14.15	50.3	-59.03	77.57	310
M _{Ma}	37.37	78.64	-33.49	85.48	337
N _{Ma}	8.58	0.0	0.0	0.0	0
W _{Ma}	92.02	0.0	0.0	0.0	0
R _{CIE}	39.92	58.74	27.99	65.07	25
J _{CIE}	81.26	-2.88	71.56	71.62	92
G _{CIE}	52.23	-42.41	13.6	44.55	162
B _{CIE}	30.57	1.41	-46.46	46.49	272

Daten für Maximalfarbe (Ma):

$LAB^*LAB^*_{Ma}$: 64 21 83

$LAB^*LCH^*_{Ma}$: 64 86 76

$lab^*rgb^*_{Ma}$: 1.0 0.75 0.0

$lab^*olv^*_{Ma}$: 1.0 0.59 0.0

Dreiecks-Helligkeit t^*

%Umfang

$u^*_{rel} = 109$

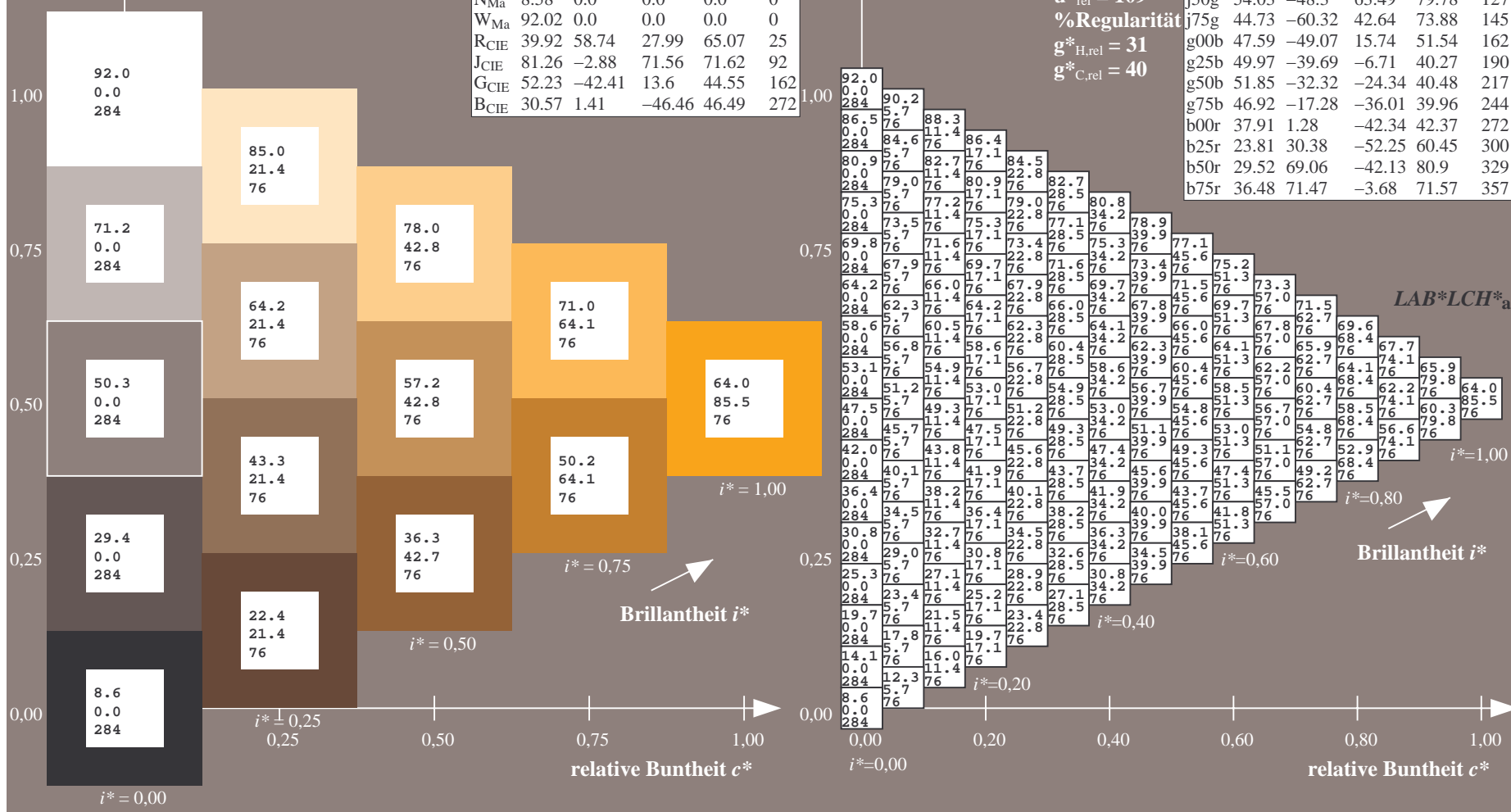
%Regularität

$g^*_{H,rel} = 31$

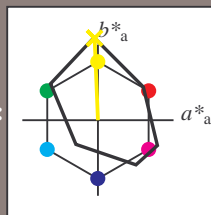
$g^*_{C,rel} = 40$

FRS09_92aM; adaptierte CIELAB-Daten

	$L^*=L^*_a$	a^*_a	b^*_a	$C^*_{ab,a}$	$h^*_{ab,a}$
r00j	35.47	63.32	30.17	70.15	25
r25j	39.12	54.56	49.45	73.64	42
r50j	50.64	39.15	64.89	75.79	59
r75j	64.01	21.26	82.83	85.52	76
j00g	83.18	-4.37	108.53	108.62	92
j25g	66.73	-29.88	83.06	88.28	110
j50g	54.03	-48.3	63.49	79.78	127
j75g	44.73	-60.32	42.64	73.88	145
g00b	47.59	-49.07	15.74	51.54	162
g25b	49.97	-39.69	-6.71	40.27	190
g50b	51.85	-32.32	-24.34	40.48	217
g75b	46.92	-17.28	-36.01	39.96	244
b00r	37.91	1.28	-42.34	42.37	272
b25r	23.81	30.38	-52.25	60.45	300
b50r	29.52	69.06	-42.13	80.9	329
b75r	36.48	71.47	-3.68	71.57	357



Ein und Ausgabe: Farbmetrisches Drucker-Reflektiv-System FRS09_92aM für relativen CIELAB-Buntton $h^* = lab^*h^* = h_{ab}/360 = 92/360 = 0.256$ $u^* = j00g$
Daten für jede Farbe:
 lab^*ch^* und lab^*icu^*
Elementar-Bunttontext:
 $u^* = j00g$
Kontrastreduzierungsfaktor:
 $c_R = 1.0$
Dreiecks-Helligkeit i^*



FRS09_92aM; adaptierte CIELAB-Daten					
	$L^*=L^*_a$	a^*_a	b^*_a	$C^*_{ab,a}$	$h^*_{ab,a}$
O _{Ma}	35.06	60.0	44.0	74.4	36
Y _{Ma}	83.77	-5.16	109.32	109.44	93
L _{Ma}	44.13	-62.66	48.24	79.09	142
C _{Ma}	52.66	-29.13	-31.98	43.27	228
V _{Ma}	14.15	50.3	-59.03	77.57	310
M _{Ma}	37.37	78.64	-33.49	85.48	337
N _{Ma}	8.58	0.0	0.0	0.0	0
W _{Ma}	92.02	0.0	0.0	0.0	0
R _{CIE}	39.92	58.74	27.99	65.07	25
J _{CIE}	81.26	-2.88	71.56	71.62	92
G _{CIE}	52.23	-42.41	13.6	44.55	162
B _{CIE}	30.57	1.41	-46.46	46.49	272

Daten für Maximalfarbe (Ma):

$LAB^*LAB^*_{Ma}$: 83 -3 109

$LAB^*LCH^*_{Ma}$: 83 109 92

$lab^*rgb^*_{Ma}$: 1.0 1.0 0.0

$lab^*olv^*_{Ma}$: 1.0 0.99 0.0

Dreiecks-Helligkeit i^*

%Umfang

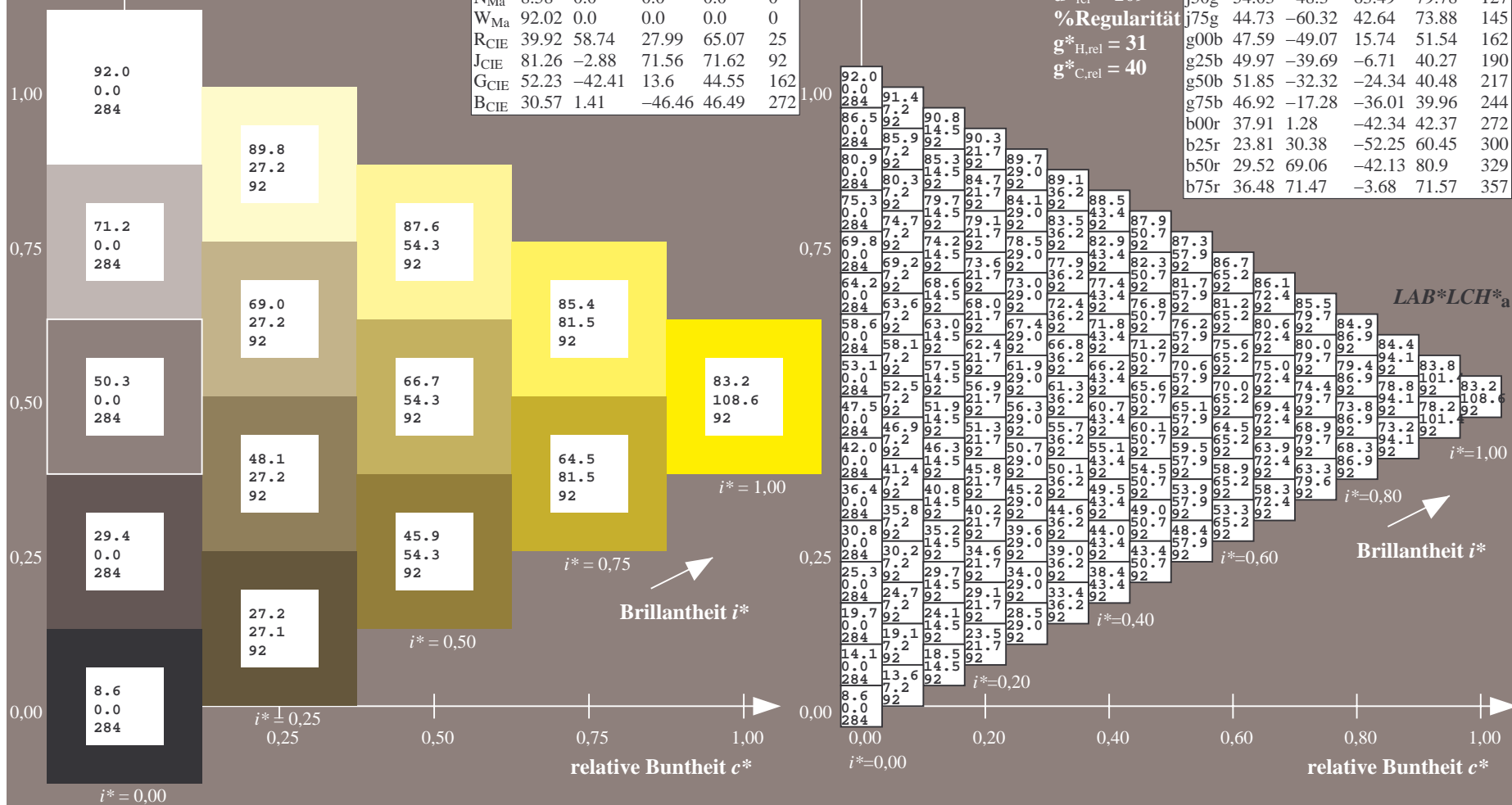
$u^*_{rel} = 109$

%Regularität

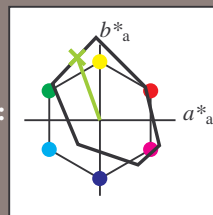
$g^*_{H,rel} = 31$

$g^*_{C,rel} = 40$

FRS09_92aM; adaptierte CIELAB-Daten					
	$L^*=L^*_a$	a^*_a	b^*_a	$C^*_{ab,a}$	$h^*_{ab,a}$
r00j	35.47	63.32	30.17	70.15	25
r25j	39.12	54.56	49.45	73.64	42
r50j	50.64	39.15	64.89	75.79	59
r75j	64.01	21.26	82.83	85.52	76
j00g	83.18	-4.37	108.53	108.62	92
j25g	66.73	-29.88	83.06	88.28	110
j50g	54.03	-48.3	63.49	79.78	127
j75g	44.73	-60.32	42.64	73.88	145
g00b	47.59	-49.07	15.74	51.54	162
g25b	49.97	-39.69	-6.71	40.27	190
g50b	51.85	-32.32	-24.34	40.48	217
g75b	46.92	-17.28	-36.01	39.96	244
b00r	37.91	1.28	-42.34	42.37	272
b25r	23.81	30.38	-52.25	60.45	300
b50r	29.52	69.06	-42.13	80.9	329
b75r	36.48	71.47	-3.68	71.57	357



Ein und Ausgabe: Farbmetrisches Drucker-Reflektiv-System FRS09_92aM für relativen CIELAB-Buntton $h^* = lab^*h^* = h_{ab}/360 = 110/360 = 0.305$ $u^* = j25g$
Daten für jede Farbe:
 lab^*tch^* und lab^*icu^*
Elementar-Bunttontext:
 $u^* = j25g$
Kontrastreduzierungsfaktor:
 $c_R = 1.0$
Dreiecks-Helligkeit i^*



FRS09_92aM; adaptierte CIELAB-Daten					
	$L^*=L^*_a$	a^*_a	b^*_a	$C^*_{ab,a}$	$h^*_{ab,a}$
O _{Ma}	35.06	60.0	44.0	74.4	36
Y _{Ma}	83.77	-5.16	109.32	109.44	93
L _{Ma}	44.13	-62.66	48.24	79.09	142
C _{Ma}	52.66	-29.13	-31.98	43.27	228
V _{Ma}	14.15	50.3	-59.03	77.57	310
M _{Ma}	37.37	78.64	-33.49	85.48	337
N _{Ma}	8.58	0.0	0.0	0.0	0
W _{Ma}	92.02	0.0	0.0	0.0	0
R _{CIE}	39.92	58.74	27.99	65.07	25
J _{CIE}	81.26	-2.88	71.56	71.62	92
G _{CIE}	52.23	-42.41	13.6	44.55	162
B _{CIE}	30.57	1.41	-46.46	46.49	272

Daten für Maximalfarbe (Ma):

$LAB^*LAB^*_{Ma}$: 67 -29 83

$LAB^*LCH^*_{Ma}$: 67 88 110

$lab^*rgb^*_{Ma}$: 0.75 1.0 0.0

$lab^*olv^*_{Ma}$: 0.57 1.0 0.0

Dreiecks-Helligkeit i^*

%Umfang

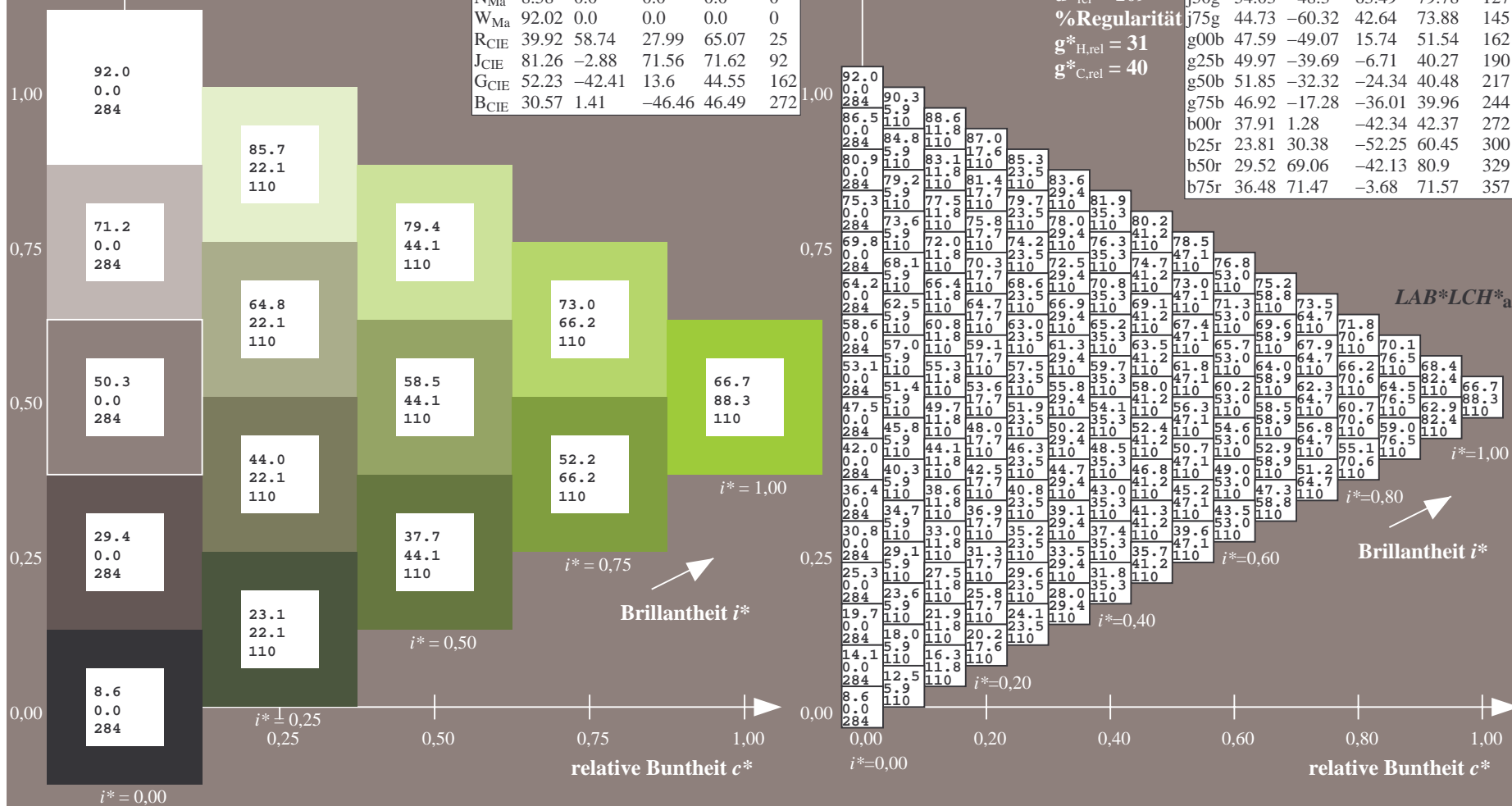
$u^*_{rel} = 109$

%Regularität

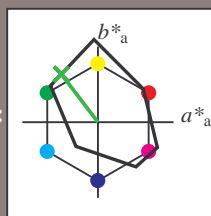
$g^*_{H,rel} = 31$

$g^*_{C,rel} = 40$

FRS09_92aM; adaptierte CIELAB-Daten					
	$L^*=L^*_a$	a^*_a	b^*_a	$C^*_{ab,a}$	$h^*_{ab,a}$
r00j	35.47	63.32	30.17	70.15	25
r25j	39.12	54.56	49.45	73.64	42
r50j	50.64	39.15	64.89	75.79	59
r75j	64.01	21.26	82.83	85.52	76
j00g	83.18	-4.37	108.53	108.62	92
j25g	66.73	-29.88	83.06	88.28	110
j50g	54.03	-48.3	63.49	79.78	127
j75g	44.73	-60.32	42.64	73.88	145
g00b	47.59	-49.07	15.74	51.54	162
g25b	49.97	-39.69	-6.71	40.27	190
g50b	51.85	-32.32	-24.34	40.48	217
g75b	46.92	-17.28	-36.01	39.96	244
b00r	37.91	1.28	-42.34	42.37	272
b25r	23.81	30.38	-52.25	60.45	300
b50r	29.52	69.06	-42.13	80.9	329
b75r	36.48	71.47	-3.68	71.57	357



Ein und Ausgabe: Farbmetrisches Drucker-Reflektiv-System FRS09_92aM für relativen CIELAB-Buntton $h^* = lab^*h^* = h_{ab}/360 = 127/360 = 0.354$ $u^* = j50g$
Daten für jede Farbe:
 lab^*ch^* und lab^*icu^*
Elementar-Bunttontext:
 $u^* = j50g$
Kontrastreduzierungsfaktor:
 $c_R = 1.0$
Dreiecks-Helligkeit i^*



FRS09_92aM; adaptierte CIELAB-Daten					
	$L^*=L^*_a$	a^*_a	b^*_a	$C^*_{ab,a}$	$h^*_{ab,a}$
O _{Ma}	35.06	60.0	44.0	74.4	36
Y _{Ma}	83.77	-5.16	109.32	109.44	93
L _{Ma}	44.13	-62.66	48.24	79.09	142
C _{Ma}	52.66	-29.13	-31.98	43.27	228
V _{Ma}	14.15	50.3	-59.03	77.57	310
M _{Ma}	37.37	78.64	-33.49	85.48	337
N _{Ma}	8.58	0.0	0.0	0.0	0
W _{Ma}	92.02	0.0	0.0	0.0	0
R _{CIE}	39.92	58.74	27.99	65.07	25
J _{CIE}	81.26	-2.88	71.56	71.62	92
G _{CIE}	52.23	-42.41	13.6	44.55	162
B _{CIE}	30.57	1.41	-46.46	46.49	272

Daten für Maximalfarbe (Ma):

$LAB^*LAB^*_{Ma}$: 54 -47 63

$LAB^*LCH^*_{Ma}$: 54 80 127

$lab^*rgb^*_{Ma}$: 0.5 1.0 0.0

$lab^*olv^*_{Ma}$: 0.25 1.0 0.0

Dreiecks-Helligkeit i^*

%Umfang

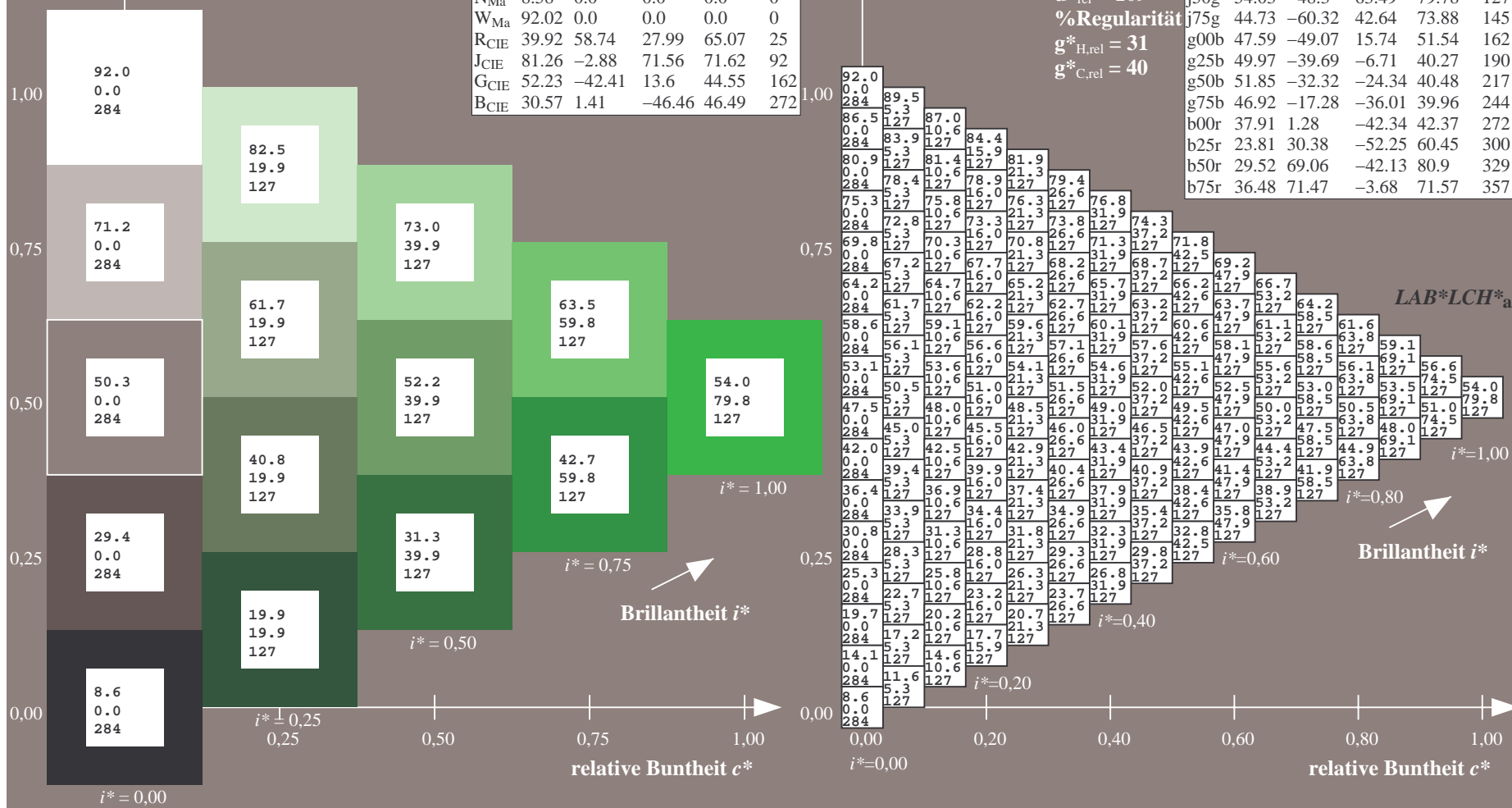
$u^*_{rel} = 109$

%Regularität

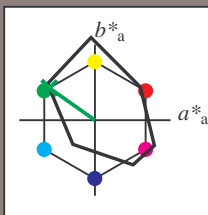
$g^*_{H,rel} = 31$

$g^*_{C,rel} = 40$

FRS09_92aM; adaptierte CIELAB-Daten					
	$L^*=L^*_a$	a^*_a	b^*_a	$C^*_{ab,a}$	$h^*_{ab,a}$
r00j	35.47	63.32	30.17	70.15	25
r25j	39.12	54.56	49.45	73.64	42
r50j	50.64	39.15	64.89	75.79	59
r75j	64.01	21.26	82.83	85.52	76
j00g	83.18	-4.37	108.53	108.62	92
j25g	66.73	-29.88	83.06	88.28	110
j50g	54.03	-48.3	63.49	79.78	127
j75g	44.73	-60.32	42.64	73.88	145
g00b	47.59	-49.07	15.74	51.54	162
g25b	49.97	-39.69	-6.71	40.27	190
g50b	51.85	-32.32	-24.34	40.48	217
g75b	46.92	-17.28	-36.01	39.96	244
b00r	37.91	1.28	-42.34	42.37	272
b25r	23.81	30.38	-52.25	60.45	300
b50r	29.52	69.06	-42.13	80.9	329
b75r	36.48	71.47	-3.68	71.57	357



Ein und Ausgabe: Farbmetrisches Drucker-Reflektiv-System FRS09_92aM für relativen CIELAB-Buntton $h^* = lab^*h^* = h_{ab}/360 = 145/360 = 0.402$ $u^* = j75g$
Daten für jede Farbe:
 lab^*ch^* und lab^*icu^*
Elementar-Bunttontext:
 $u^* = j75g$
Kontrastreduzierungsfaktor:
 $c_R = 1.0$
Dreiecks-Helligkeit i^*



FRS09_92aM; adaptierte CIELAB-Daten					
	$L^*=L^*_a$	a^*_a	b^*_a	$C^*_{ab,a}$	$h^*_{ab,a}$
O _{Ma}	35.06	60.0	44.0	74.4	36
Y _{Ma}	83.77	-5.16	109.32	109.44	93
L _{Ma}	44.13	-62.66	48.24	79.09	142
C _{Ma}	52.66	-29.13	-31.98	43.27	228
V _{Ma}	14.15	50.3	-59.03	77.57	310
M _{Ma}	37.37	78.64	-33.49	85.48	337
N _{Ma}	8.58	0.0	0.0	0.0	0
W _{Ma}	92.02	0.0	0.0	0.0	0
R _{CIE}	39.92	58.74	27.99	65.07	25
J _{CIE}	81.26	-2.88	71.56	71.62	92
G _{CIE}	52.23	-42.41	13.6	44.55	162
B _{CIE}	30.57	1.41	-46.46	46.49	272

Daten für Maximalfarbe (Ma):

$LAB^*LAB^*_{Ma}$: 45 -59 43

$LAB^*LCH^*_{Ma}$: 45 74 145

$lab^*rgb^*_{Ma}$: 0.25 1.0 0.0

$lab^*olv^*_{Ma}$: 0.0 1.0 0.07

Dreiecks-Helligkeit i^*

%Umfang

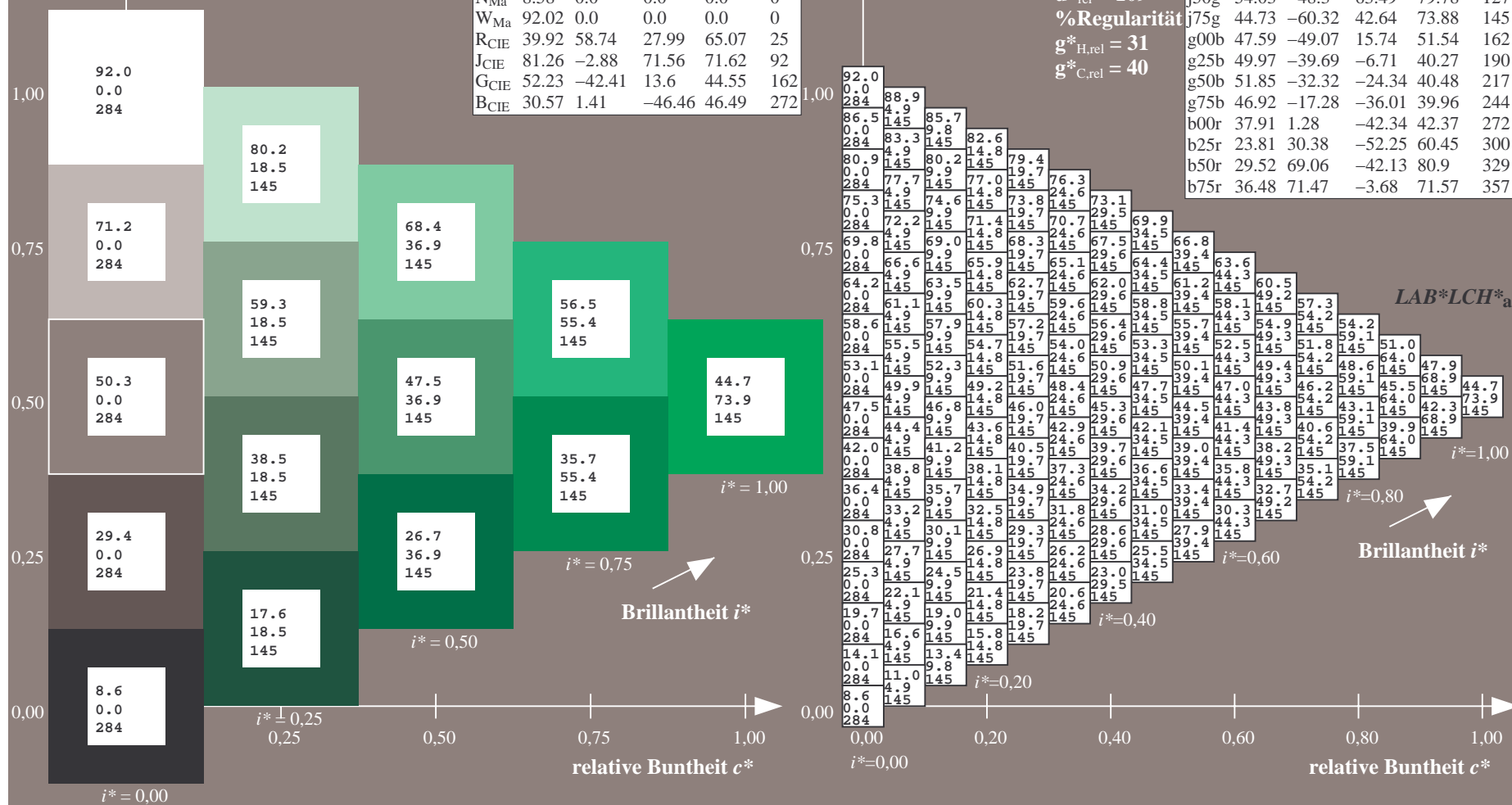
$u^*_{rel} = 109$

%Regularität

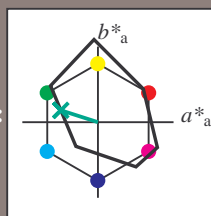
$g^*_{H,rel} = 31$

$g^*_{C,rel} = 40$

FRS09_92aM; adaptierte CIELAB-Daten					
	$L^*=L^*_a$	a^*_a	b^*_a	$C^*_{ab,a}$	$h^*_{ab,a}$
r00j	35.47	63.32	30.17	70.15	25
r25j	39.12	54.56	49.45	73.64	42
r50j	50.64	39.15	64.89	75.79	59
r75j	64.01	21.26	82.83	85.52	76
j00g	83.18	-4.37	108.53	108.62	92
j25g	66.73	-29.88	83.06	88.28	110
j50g	54.03	-48.3	63.49	79.78	127
j75g	44.73	-60.32	42.64	73.88	145
g00b	47.59	-49.07	15.74	51.54	162
g25b	49.97	-39.69	-6.71	40.27	190
g50b	51.85	-32.32	-24.34	40.48	217
g75b	46.92	-17.28	-36.01	39.96	244
b00r	37.91	1.28	-42.34	42.37	272
b25r	23.81	30.38	-52.25	60.45	300
b50r	29.52	69.06	-42.13	80.9	329
b75r	36.48	71.47	-3.68	71.57	357



Ein und Ausgabe: Farbmetrisches Drucker-Reflektiv-System FRS09_92aM für relativen CIELAB-Buntton $h^* = lab^*h^* = h_{ab}/360 = 162/360 = 0.451$ $u^* = g00b$
Daten für jede Farbe:
 lab^*ch^* und lab^*icu^*
Elementar-Bunttontext:
 $u^* = g00b$
Kontrastreduzierungsfaktor:
 $c_R = 1.0$
Dreiecks-Helligkeit i^*



FRS09_92aM; adaptierte CIELAB-Daten					
	$L^*=L^*_a$	a^*_a	b^*_a	$C^*_{ab,a}$	$h^*_{ab,a}$
O _{Ma}	35.06	60.0	44.0	74.4	36
Y _{Ma}	83.77	-5.16	109.32	109.44	93
L _{Ma}	44.13	-62.66	48.24	79.09	142
C _{Ma}	52.66	-29.13	-31.98	43.27	228
V _{Ma}	14.15	50.3	-59.03	77.57	310
M _{Ma}	37.37	78.64	-33.49	85.48	337
N _{Ma}	8.58	0.0	0.0	0.0	0
W _{Ma}	92.02	0.0	0.0	0.0	0
R _{CIE}	39.92	58.74	27.99	65.07	25
J _{CIE}	81.26	-2.88	71.56	71.62	92
G _{CIE}	52.23	-42.41	13.6	44.55	162
B _{CIE}	30.57	1.41	-46.46	46.49	272

Daten für Maximalfarbe (Ma):

$LAB^*LAB^*_{Ma}$: 48 -48 16

$LAB^*LCH^*_{Ma}$: 48 52 162

$lab^*rgb^*_{Ma}$: 0.0 1.0 0.0

$lab^*olv^*_{Ma}$: 0.0 1.0 0.41

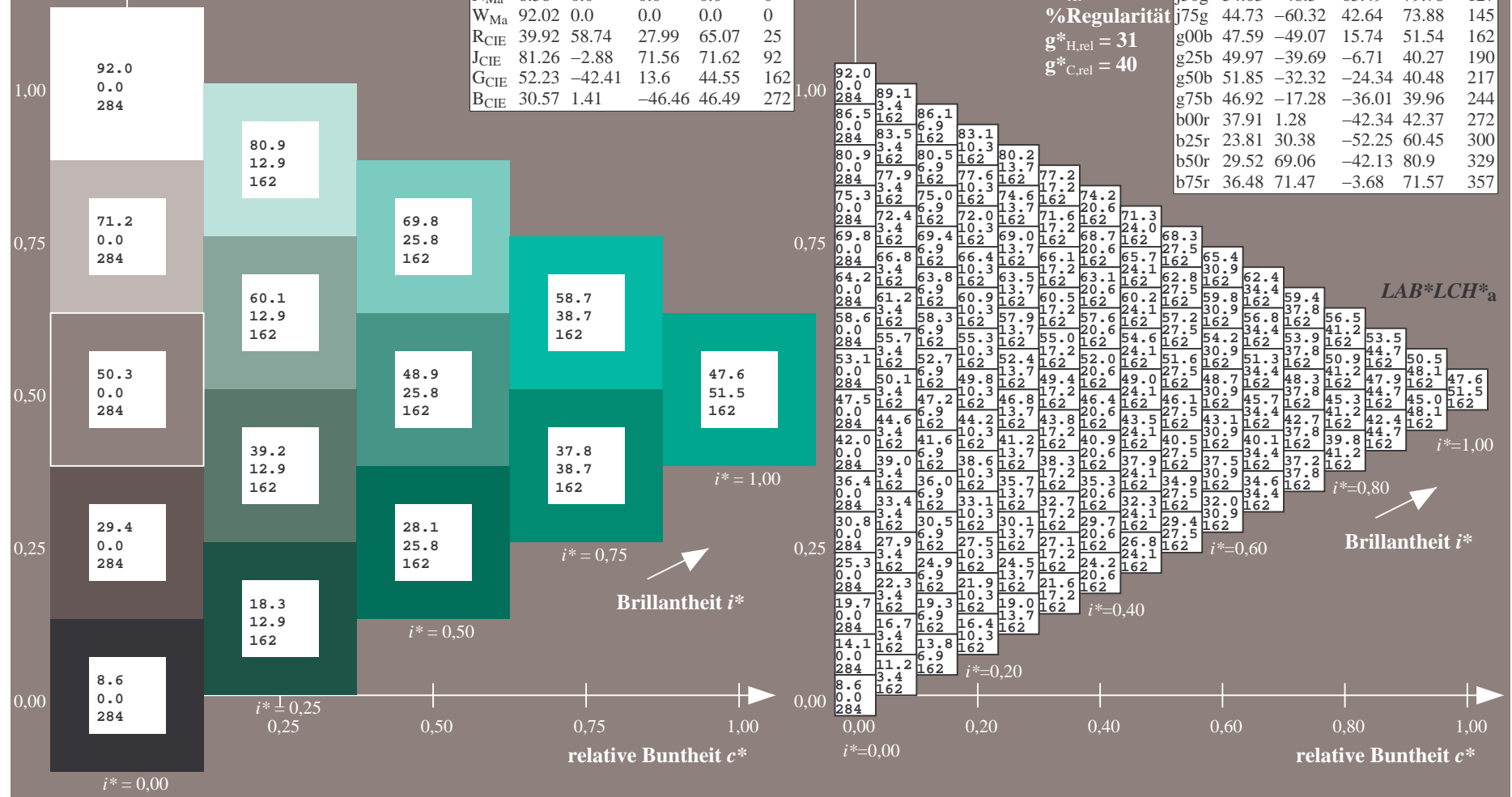
Dreiecks-Helligkeit i^*

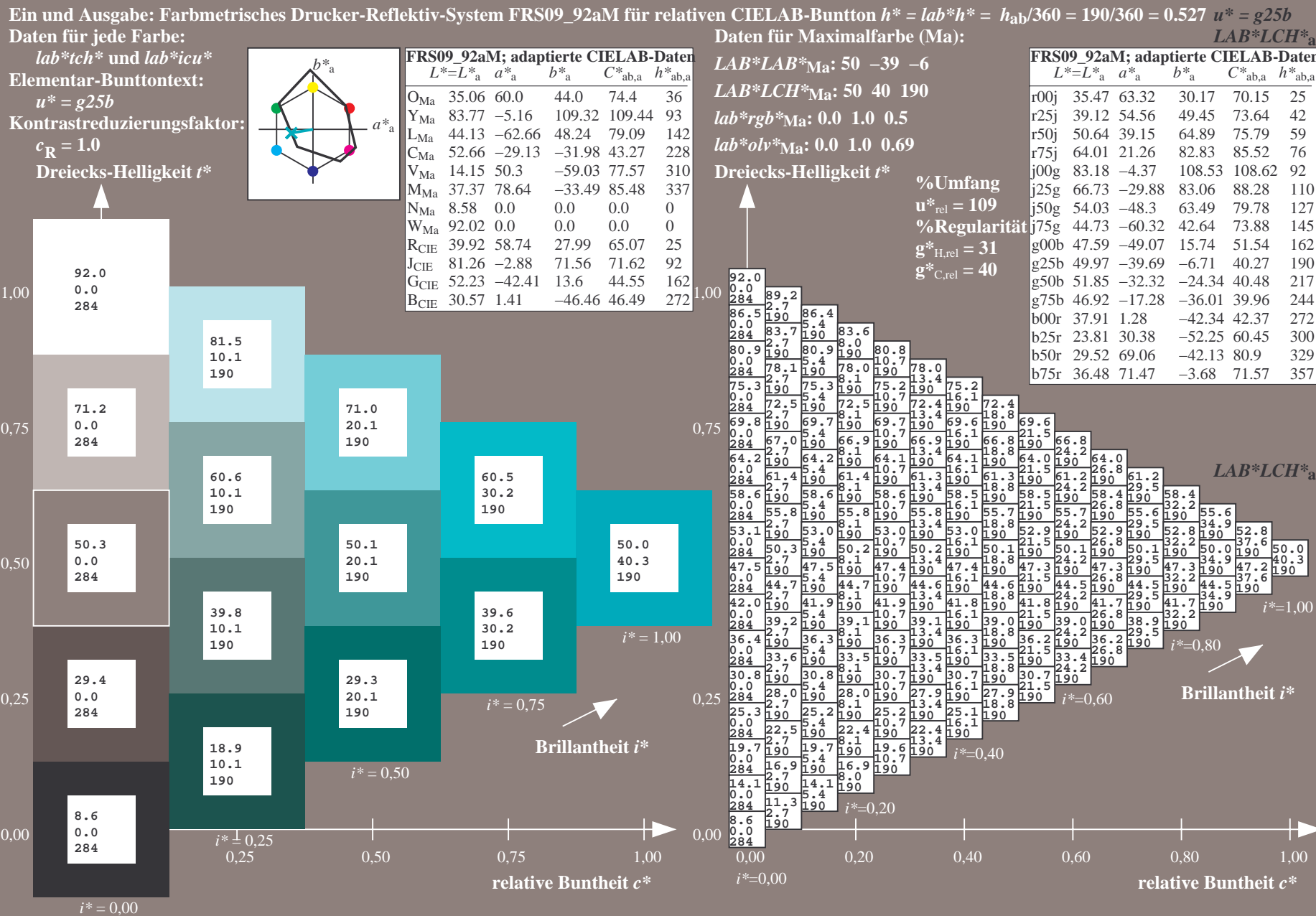
%Umfang
 $u^*_{rel} = 109$
%Regularität
 $j^*_{75g} = 40$
 $g^*_{H,rel} = 31$
 $g^*_{C,rel} = 40$

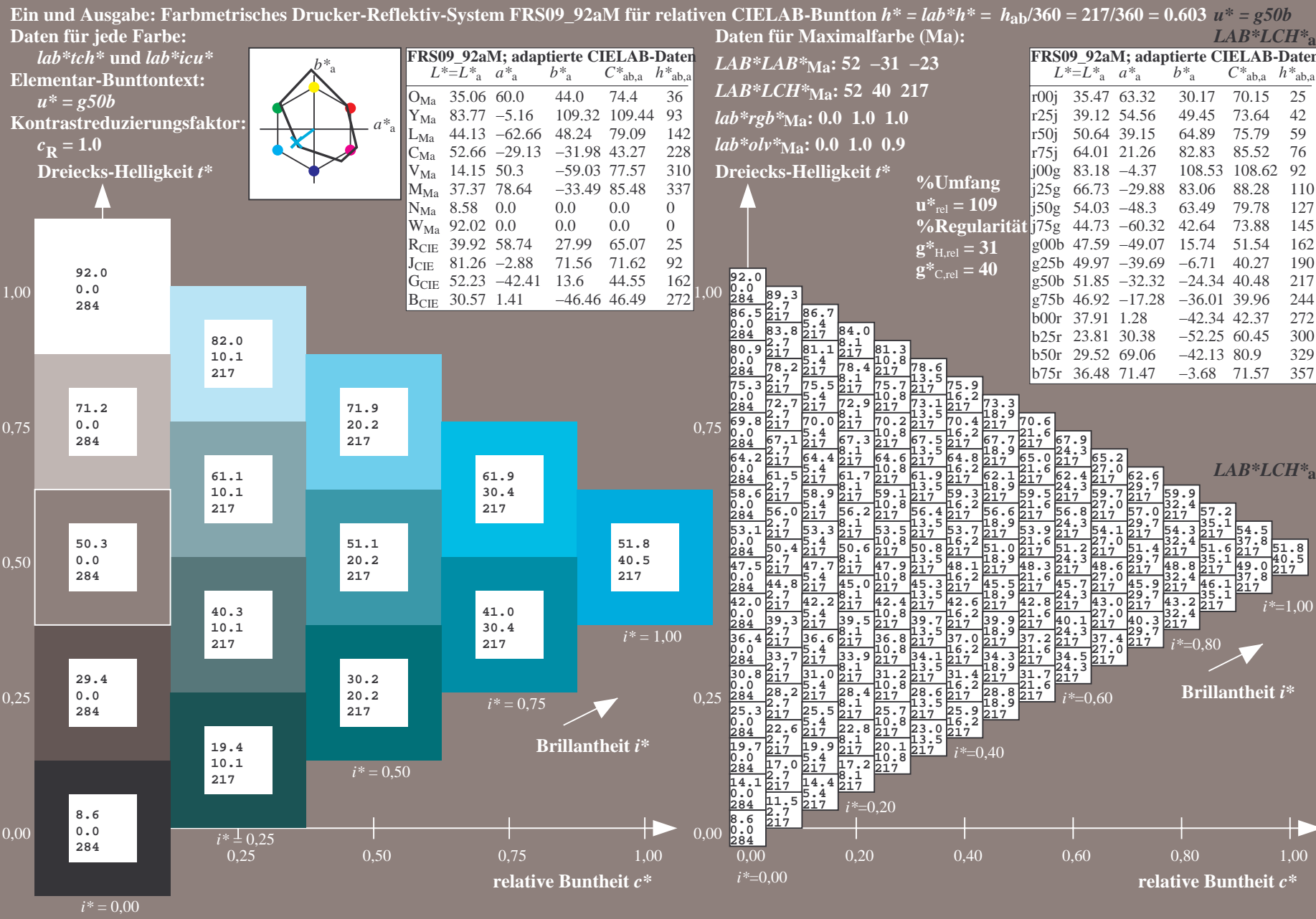
FRS09_92aM; adaptierte CIELAB-Daten					
	$L^*=L^*_a$	a^*_a	b^*_a	$C^*_{ab,a}$	$h^*_{ab,a}$
r00j	35.47	63.32	30.17	70.15	25
r25j	39.12	54.56	49.45	73.64	42
r50j	50.64	39.15	64.89	75.79	59
r75j	64.01	21.26	82.83	85.52	76
j00g	83.18	-4.37	108.53	108.62	92
j25g	66.73	-29.88	83.06	88.28	110
j50g	54.03	-48.3	63.49	79.78	127
j75g	44.73	-60.32	42.64	73.88	145
g00b	47.59	-49.07	15.74	51.54	162
g25b	49.97	-39.69	-6.71	40.27	190
g50b	51.85	-32.32	-24.34	40.48	217
g75b	46.92	-17.28	-36.01	39.96	244
b00r	37.91	1.28	-42.34	42.37	272
b25r	23.81	30.38	-52.25	60.45	300
b50r	29.52	69.06	-42.13	80.9	329
b75r	36.48	71.47	-3.68	71.57	357

Siehe ähnliche Dateien: <http://www.ps.bam.de/Dg92/>; www.ps.bam.de/Dg92/10L/L92G00NP.PS/.PDF BAM-Material: Code=rh4ta
Technische Information: <http://www.ps.bam.de> Version 2.1, io=1,1, ColSpx=0

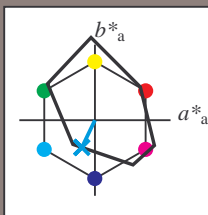
BAM-Registrierung: 20080701-Dg92/10L/L92G00NP.PS/.PDF BAM-Material: Code=rh4ta
Anwendung für Beurteilung und Messung von Drucker- oder Monitorsystemen







Ein und Ausgabe: Farbmetrisches Drucker-Reflektiv-System FRS09_92aM für relativen CIELAB-Buntton $h^* = lab^*h^* = h_{ab}/360 = 244/360 = 0.679$ $u^* = g75b$
Daten für jede Farbe:
 lab^*ch^* und lab^*icu^*
Elementar-Bunttontext:
 $u^* = g75b$
Kontrastreduzierungsfaktor:
 $c_R = 1.0$
Dreiecks-Helligkeit i^*



FRS09_92aM; adaptierte CIELAB-Daten					
	$L^*=L^*_a$	a^*_a	b^*_a	$C^*_{ab,a}$	$h^*_{ab,a}$
O _{Ma}	35.06	60.0	44.0	74.4	36
Y _{Ma}	83.77	-5.16	109.32	109.44	93
L _{Ma}	44.13	-62.66	48.24	79.09	142
C _{Ma}	52.66	-29.13	-31.98	43.27	228
V _{Ma}	14.15	50.3	-59.03	77.57	310
M _{Ma}	37.37	78.64	-33.49	85.48	337
N _{Ma}	8.58	0.0	0.0	0.0	0
W _{Ma}	92.02	0.0	0.0	0.0	0
R _{CIE}	39.92	58.74	27.99	65.07	25
J _{CIE}	81.26	-2.88	71.56	71.62	92
G _{CIE}	52.23	-42.41	13.6	44.55	162
B _{CIE}	30.57	1.41	-46.46	46.49	272

Daten für Maximalfarbe (Ma):

$LAB^*LAB^*_{Ma}$: 47 -16 -35

$LAB^*LCH^*_{Ma}$: 47 40 244

$lab^*rgb^*_{Ma}$: 0.0 0.5 1.0

$lab^*olv^*_{Ma}$: 0.0 0.85 1.0

Dreiecks-Helligkeit i^*

%Umfang

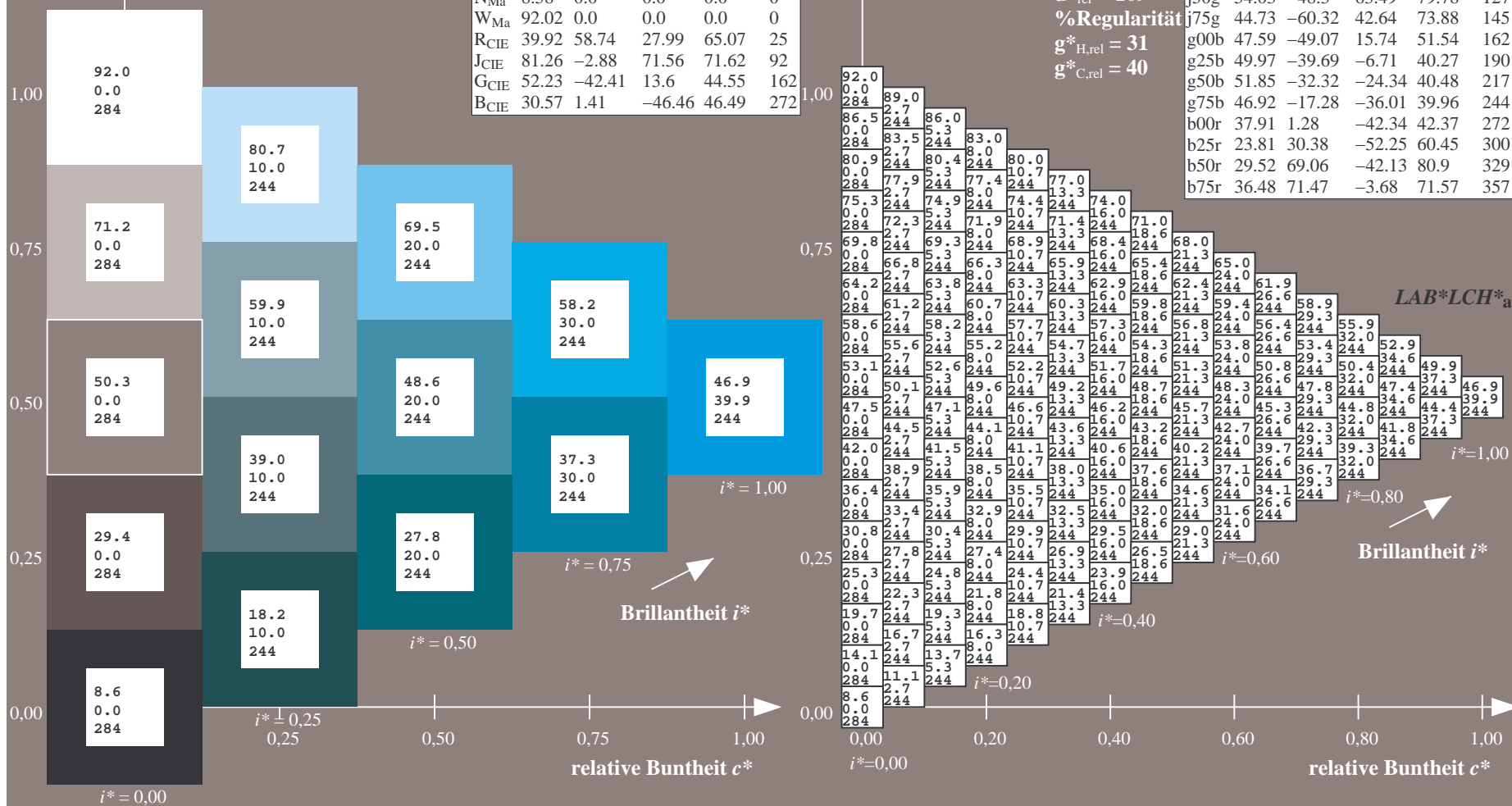
$u^*_{rel} = 109$

%Regularität

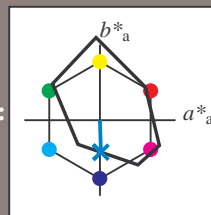
$g^*_{H,rel} = 31$

$g^*_{C,rel} = 40$

FRS09_92aM; adaptierte CIELAB-Daten					
	$L^*=L^*_a$	a^*_a	b^*_a	$C^*_{ab,a}$	$h^*_{ab,a}$
r00j	35.47	63.32	30.17	70.15	25
r25j	39.12	54.56	49.45	73.64	42
r50j	50.64	39.15	64.89	75.79	59
r75j	64.01	21.26	82.83	85.52	76
j00g	83.18	-4.37	108.53	108.62	92
j25g	66.73	-29.88	83.06	88.28	110
j50g	54.03	-48.3	63.49	79.78	127
j75g	44.73	-60.32	42.64	73.88	145
g00b	47.59	-49.07	15.74	51.54	162
g25b	49.97	-39.69	-6.71	40.27	190
g50b	51.85	-32.32	-24.34	40.48	217
g75b	46.92	-17.28	-36.01	39.96	244
b00r	37.91	1.28	-42.34	42.37	272
b25r	23.81	30.38	-52.25	60.45	300
b50r	29.52	69.06	-42.13	80.9	329
b75r	36.48	71.47	-3.68	71.57	357



Ein und Ausgabe: Farbmetrisches Drucker-Reflektiv-System FRS09_92aM für relativen CIELAB-Buntton $h^* = lab^*h^* = h_{ab}/360 = 272/360 = 0.755$ $u^* = b00r$
Daten für jede Farbe:
 lab^*ch^* und lab^*icu^*
Elementar-Bunttontext:
 $u^* = b00r$
Kontrastreduzierungsfaktor:
 $c_R = 1.0$
Dreiecks-Helligkeit i^*



FRS09_92aM; adaptierte CIELAB-Daten					
	$L^*=L^*_a$	a^*_a	b^*_a	$C^*_{ab,a}$	$h^*_{ab,a}$
O _{Ma}	35.06	60.0	44.0	74.4	36
Y _{Ma}	83.77	-5.16	109.32	109.44	93
L _{Ma}	44.13	-62.66	48.24	79.09	142
C _{Ma}	52.66	-29.13	-31.98	43.27	228
V _{Ma}	14.15	50.3	-59.03	77.57	310
M _{Ma}	37.37	78.64	-33.49	85.48	337
N _{Ma}	8.58	0.0	0.0	0.0	0
W _{Ma}	92.02	0.0	0.0	0.0	0
R _{CIE}	39.92	58.74	27.99	65.07	25
J _{CIE}	81.26	-2.88	71.56	71.62	92
G _{CIE}	52.23	-42.41	13.6	44.55	162
B _{CIE}	30.57	1.41	-46.46	46.49	272

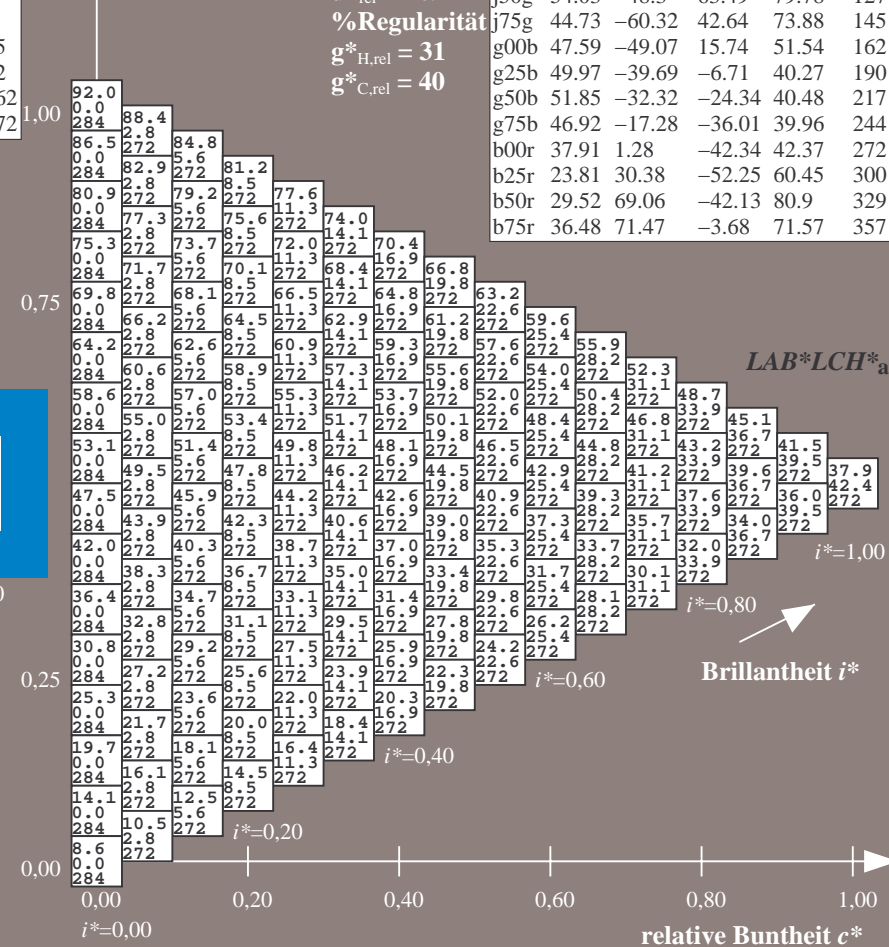
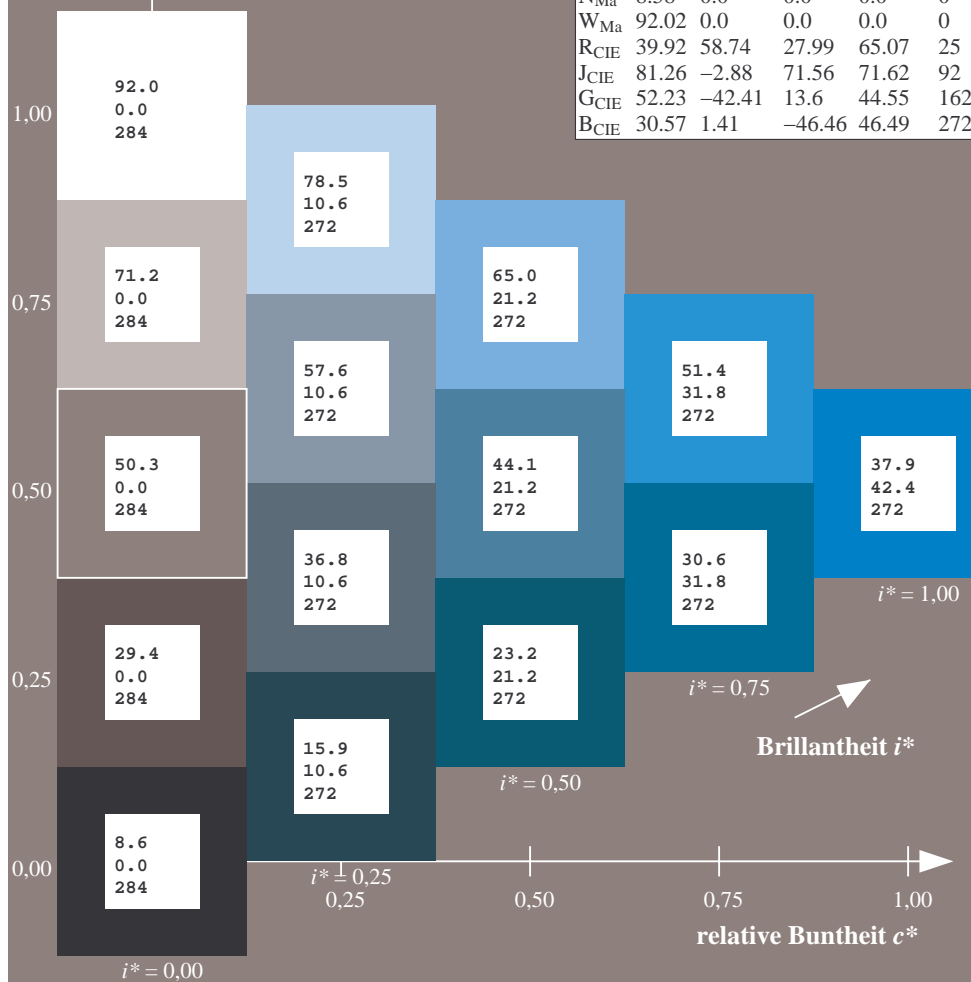
Daten für Maximalfarbe (Ma):

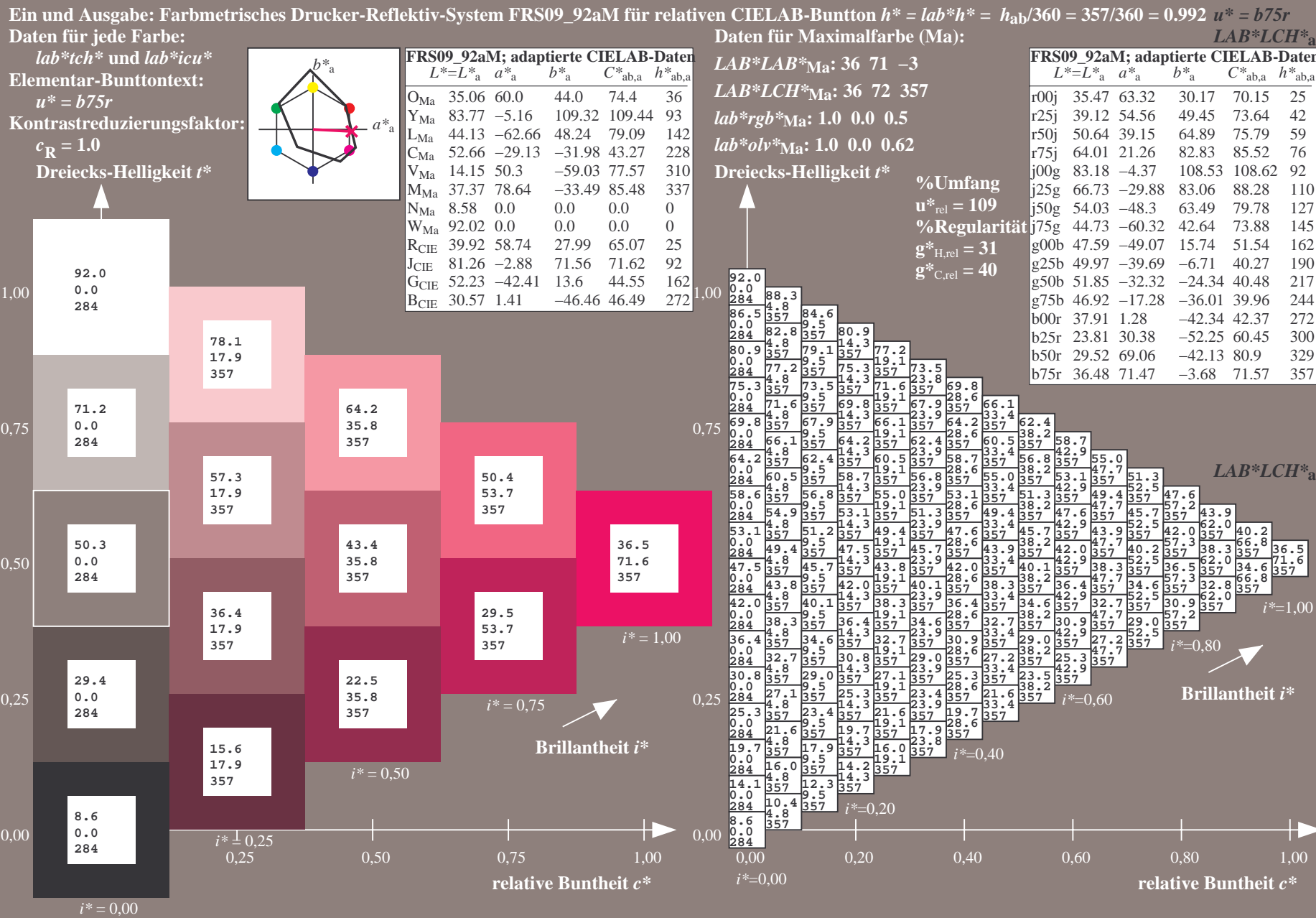
$LAB^*LAB^*_{Ma}$: 38 1 -41
 $LAB^*LCH^*_{Ma}$: 38 42 272
 $lab^*rgb^*_{Ma}$: 0.0 0.0 1.0
 $lab^*olv^*_{Ma}$: 0.0 0.62 1.0

Dreiecks-Helligkeit i^*

%Umfang
 $u^*_{rel} = 109$
%Regularität
 $g^*_{H,rel} = 31$
 $g^*_{C,rel} = 40$

FRS09_92aM; adaptierte CIELAB-Daten					
	$L^*=L^*_a$	a^*_a	b^*_a	$C^*_{ab,a}$	$h^*_{ab,a}$
r00j	35.47	63.32	30.17	70.15	25
r25j	39.12	54.56	49.45	73.64	42
r50j	50.64	39.15	64.89	75.79	59
r75j	64.01	21.26	82.83	85.52	76
j00g	83.18	-4.37	108.53	108.62	92
j25g	66.73	-29.88	83.06	88.28	110
j50g	54.03	-48.3	63.49	79.78	127
j75g	44.73	-60.32	42.64	73.88	145
g00b	47.59	-49.07	15.74	51.54	162
g25b	49.97	-39.69	-6.71	40.27	190
g50b	51.85	-32.32	-24.34	40.48	217
g75b	46.92	-17.28	-36.01	39.96	244
b00r	37.91	1.28	-42.34	42.37	272
b25r	23.81	30.38	-52.25	60.45	300
b50r	29.52	69.06	-42.13	80.9	329
b75r	36.48	71.47	-3.68	71.57	357



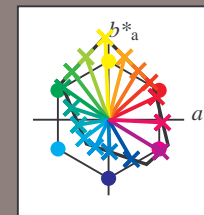


Siehe ähnliche Dateien: <http://www.ps.bam.de/Dg92/>; www.ps.bam.de/Dg92/10L/L92G00NP.PS/.PDF BAM-Material: Code=th4ta
Technische Information: <http://www.ps.bam.de/Version 2.1, io=1.1, ColSpX=0>

	A	B	C	D	E	F	G	H	I	J	K	L	M	N	O	P	Q	R	S	T	U	V	W	X	Y	Z	a	b	c	d	e	f	g	h	i	j	k	LAB*LCH*	a	b	c	d			
01	8.6	13.0	17.5	21.9	26.4	30.8	35.2	39.7	44.1	48.5	52.9	57.3	61.7	66.1	70.5	74.9	79.3	83.7	88.1	92.5	96.9	101.3	105.7	110.1	114.5	118.9	123.3	127.7	132.1	136.5	140.9	145.3	149.7	154.1	158.5	162.9	167.3	171.7	176.1	180.5	184.9	189.3	193.7	198.1	202.5
02	9.3	14.1	18.5	23.0	27.4	31.9	36.3	40.8	45.2	49.7	54.1	58.5	62.9	67.3	71.7	76.1	80.5	84.9	89.3	93.7	98.1	102.5	106.9	111.3	115.7	120.1	124.5	128.9	133.3	137.7	142.1	146.5	150.9	155.3	159.7	164.1	168.5	172.9	177.3	181.7	186.1	190.5	194.9	199.3	203.7
03	10.0	14.8	19.6	24.0	28.5	32.9	37.4	41.8	46.3	50.7	55.1	59.5	63.9	68.3	72.7	77.1	81.5	85.9	90.3	94.7	99.1	103.5	107.9	112.3	116.7	121.1	125.5	129.9	134.3	138.7	143.1	147.5	151.9	156.3	160.7	165.1	169.5	173.9	178.3	182.7	187.1	191.5	195.9	200.3	
04	10.7	15.5	20.3	25.1	29.6	34.0	38.4	42.9	47.3	51.7	56.1	60.5	64.9	69.3	73.7	78.1	82.5	86.9	91.3	95.7	100.1	104.5	108.9	113.3	117.7	122.1	126.5	130.9	135.3	139.7	144.1	148.5	152.9	157.3	161.7	166.1	170.5	174.9	179.3	183.7	188.1	192.5	196.9		
05	11.4	16.2	21.0	25.8	30.6	35.1	39.5	44.0	48.4	52.8	57.2	61.6	66.0	70.4	74.8	79.2	83.6	88.0	92.4	96.8	101.2	105.6	110.0	114.4	118.8	123.2	127.6	132.0	136.4	140.8	145.2	149.6	154.0	158.4	162.8	167.2	171.6	176.0	180.4	184.8	189.2	193.6			
06	12.1	16.9	21.7	26.5	31.3	35.8	40.2	44.6	49.0	53.4	57.8	62.2	66.6	71.0	75.4	79.8	84.2	88.6	93.0	97.4	101.8	106.2	110.6	115.0	119.4	123.8	128.2	132.6	137.0	141.4	145.8	150.2	154.6	159.0	163.4	167.8	172.2	176.6	181.0	185.4	189.8	194.2			
07	12.8	17.6	22.4	27.2	32.0	36.5	40.9	45.3	49.7	54.1	58.5	62.9	67.3	71.7	76.1	80.5	84.9	89.3	93.7	98.1	102.5	106.9	111.3	115.7	120.1	124.5	128.9	133.3	137.7	142.1	146.5	150.9	155.3	159.7	164.1	168.5	172.9	177.3	181.7	186.1	190.5				
08	13.5	18.3	23.1	27.9	32.7	37.2	41.6	46.0	50.4	54.8	59.2	63.6	68.0	72.4	76.8	81.2	85.6	90.0	94.4	98.8	103.2	107.6	112.0	116.4	120.8	125.2	129.6	134.0	138.4	142.8	147.2	151.6	156.0	160.4	164.8	169.2	173.6	178.0	182.4	186.8	191.2				
09	14.2	19.0	23.8	28.6	33.4	38.2	43.0	47.8	52.6	57.4	62.2	67.0	71.8	76.6	81.4	86.2	91.0	95.8	100.6	105.4	110.2	115.0	119.8	124.6	129.4	134.2	139.0	143.8	148.6	153.4	158.2	163.0	167.8	172.6	177.4	182.2	187.0	191.8	196.6	201.4	206.2				
10	15.0	20.0	25.0	30.0	35.0	40.0	45.0	50.0	55.0	60.0	65.0	70.0	75.0	80.0	85.0	90.0	95.0	100.0	105.0	110.0	115.0	120.0	125.0	130.0	135.0	140.0	145.0	150.0	155.0	160.0	165.0	170.0	175.0	180.0	185.0	190.0	195.0	200.0	205.0	210.0	215.0				
11	15.8	20.8	25.8	30.8	35.8	40.8	45.8	50.8	55.8	60.8	65.8	70.8	75.8	80.8	85.8	90.8	95.8	100.8	105.8	110.8	115.8	120.8	125.8	130.8	135.8	140.8	145.8	150.8	155.8	160.8	165.8	170.8	175.8	180.8	185.8	190.8	195.8	200.8	205.8	210.8	215.8				
12	16.5	21.5	26.5	31.5	36.5	41.5	46.5	51.5	56.5	61.5	66.5	71.5	76.5	81.5	86.5	91.5	96.5	101.5	106.5	111.5	116.5	121.5	126.5	131.5	136.5	141.5	146.5	151.5	156.5	161.5	166.5	171.5	176.5	181.5	186.5	191.5	196.5	201.5	206.5	211.5	216.5				
13	17.2	22.2	27.2	32.2	37.2	42.2	47.2	52.2	57.2	62.2	67.2	72.2	77.2	82.2	87.2	92.2	97.2	102.2	107.2	112.2	117.2	122.2	127.2	132.2	137.2	142.2	147.2	152.2	157.2	162.2	167.2	172.2	177.2	182.2	187.2	192.2	197.2	202.2	207.2	212.2	217.2				
14	18.0	23.0	28.0	33.0	38.0	43.0	48.0	53.0	58.0	63.0	68.0	73.0	78.0	83.0	88.0	93.0	98.0	103.0	108.0	113.0	118.0	123.0	128.0	133.0	138.0	143.0	148.0	153.0	158.0	163.0	168.0	173.0	178.0	183.0	188.0	193.0	198.0	203.0	208.0	213.0	218.0				
15	18.8	23.8	28.8	33.8	38.8	43.8	48.8	53.8	58.8	63.8	68.8	73.8	78.8	83.8	88.8	93.8	98.8	103.8	108.8	113.8	118.8	123.8	128.8	133.8	138.8	143.8	148.8	153.8	158.8	163.8	168.8	173.8	178.8	183.8	188.8	193.8	198.8	203.8	208.8	213.8	218.8				
16	19.5	24.5	29.5	34.5	39.5	44.5	49.5	54.5	59.5	64.5	69.5	74.5	79.5	84.5	89.5	94.5	99.5	104.5	109.5	114.5	119.5	124.5	129.5	134.5	139.5	144.5	149.5	154.5	159.5	164.5	169.5	174.5	179.5	184.5	189.5	194.5	199.5	204.5	209.5	214.5					
17	20.2	25.2	30.2	35.2	40.2	45.2	50.2	55.2	60.2	65.2	70.2	75.2	80.2	85.2	90.2	95.2	100.2	105.2	110.2	115.2	120.2	125.2	130.2	135.2	140.2	145.2	150.2	155.2	160.2	165.2	170.2	175.2	180.2	185.2	190.2	195.2	200.2	205.2	210.2	215.2					
18	21.0	26.0	31.0	36.0	41.0	46.0	51.0	56.0	61.0	66.0	71.0	76.0	81.0	86.0	91.0	96.0	101.0	106.0	111.0	116.0	121.0	126.0	131.0	136.0	141.0	146.0	151.0	156.0	161.0	166.0	171.0	176.0	181.0	186.0	191.0	196.0	201.0	206.0	211.0	216.0					
19	21.8	26.8	31.8	36.8	41.8	46.8	51.8	56.8	61.8	66.8	71.8	76.8	81.8	86.8	91.8	96.8	101.8	106.8	111.8	116.8	121.8	126.8	131.8	136.8	141.8	146.8	151.8	156.8	161.8	166.8	171.8	176.8	181.8	186.8	191.8	196.8	201.8	206.8	211.8	216.8					
20	22.5	27.5	32.5	37.5	42.5	47.5	52.5	57.5	62.5	67.5	72.5	77.5	82.5	87.5	92.5	97.5	102.5	107.5	112.5	117.5	122.5	127.5	132.5	137.5	142.5	147.5	152.5	157.5	162.5	167.5	172.5	177.5	182.5	187.5	192.5	197.5	202.5	207.5	212.5	217.5					
21	23.2	28.2	33.2	38.2	43.2	48.2	53.2	58.2	63.2	68.2	73.2	78.2	83.2	88.2	93.2	98.2	103.2	108.2	113.2	118.2	123.2	128.2	133.2	138.2	143.2	148.2	153.2	158.2	163.2	168.2	173.2	178.2	183.2	188.2	193.2	198.2	203.2	208.2	213.2	218.2					
22	24.0	29.0	34.0	39.0	44.0	49.0	54.0	59.0	64.0	69.0	74.0	79.0	84.0	89.0	94.0	99.0	104.0	109.0	114.0	119.0	124.0	129.0	134.0	139.0	144.0	149.0	154.0	159.0	164.0	169.0	174.0	179.0	184.0	189.0	194.0	199.0	204.0	209.0	214.0	219.0					
23	24.8	29.8	34.8	39.8	44.8	49.8	54.8	59.8	64.8	69.8	74.8	79.8	84.8	89.8	94.8	99.8	104.8	109.8	114.8	119.8	124.8	129.8	134.8	139.8	144.8	149.8	154.8	159.8	164.8	169.8	174.8	179.8	184.8	189.8	194.8	199.8	204.8	209.8	214.8	219.8					
24	25.5	30.5	35.5	40.5	45.5	50.5	55.5	60.5	65.5	70.5	75.5	80.5	85.5	90.5	95.5	100.5	105.5	110.5	115.5	120.5	125.5	130.5	135.5	140.5	145.5	150.5	155.5	160.5	165.5	170.5	175.5	180.5	185.5	190.5	195.5	200.5	205.5	210.5	215.5						
25	26.2	31.2	36.2	41.2	46.2	51.2	56.2	61.2	66.2	71.2	76.2	81.2	86.2	91.2	96.2	101.2	106.2	111.2	116.2	121.2	126.2	131.2	136.2	141.2	146.2	151.2	156.2	161.2	166.2	171.2	176.2	181.2	186.2	191.2	196.2	201.2	206.2	211.2	216.2						
26	27.0	32.0	37.0	42.0	47.0	52.0	57.0	62.0	67.0	72.0	77.0	82.0	87.0	92.0	97.0	102.0	107.0	112.0	117.0	122.0	127.0	132.0	137.0	142.0	147.0	152.0	157.0	162.0	167.0	172.0	177.0	182.0	187.0	192.0	197.0	202.0	207.0	212.0	217.0						
27	27.8	32.8	37.8	42.8	47.8	52.8	57.8	62.8	67.8	72.8	77.8	82.8	87.8	92.8	97.8	102.8	107.8	112.8	117.8	122.8	127.8	132.8	137.8	142.8	147.8	152.8	157.8	162.8	167.8	172.8	177.8	182.8	187.8	192.8	197.8	202.8	207.8	212.8	217.8						

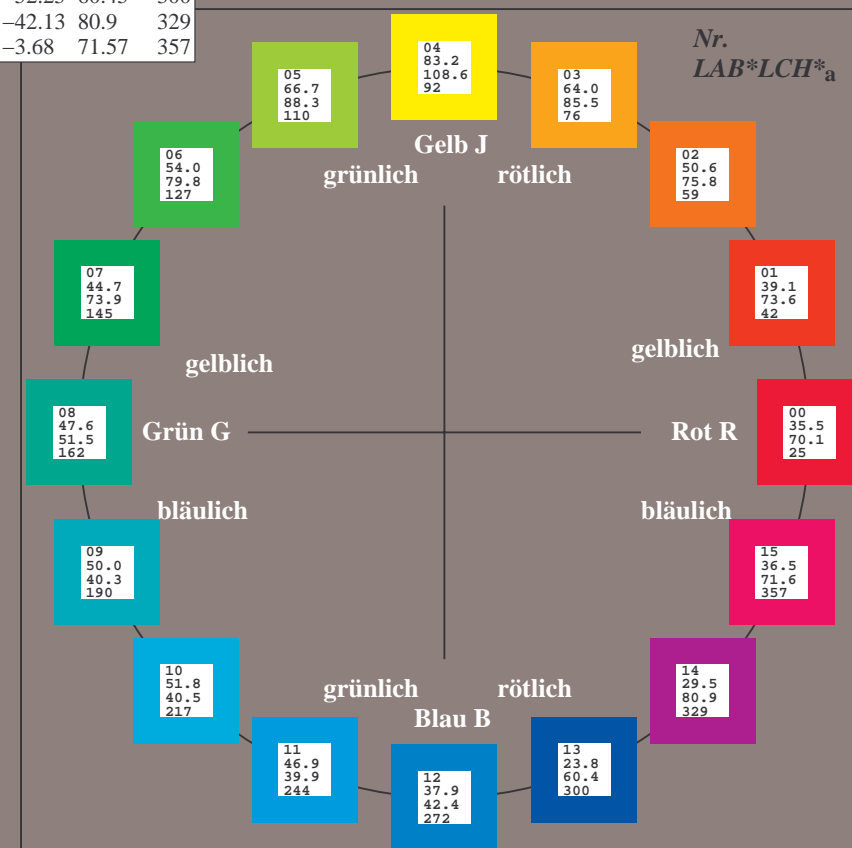
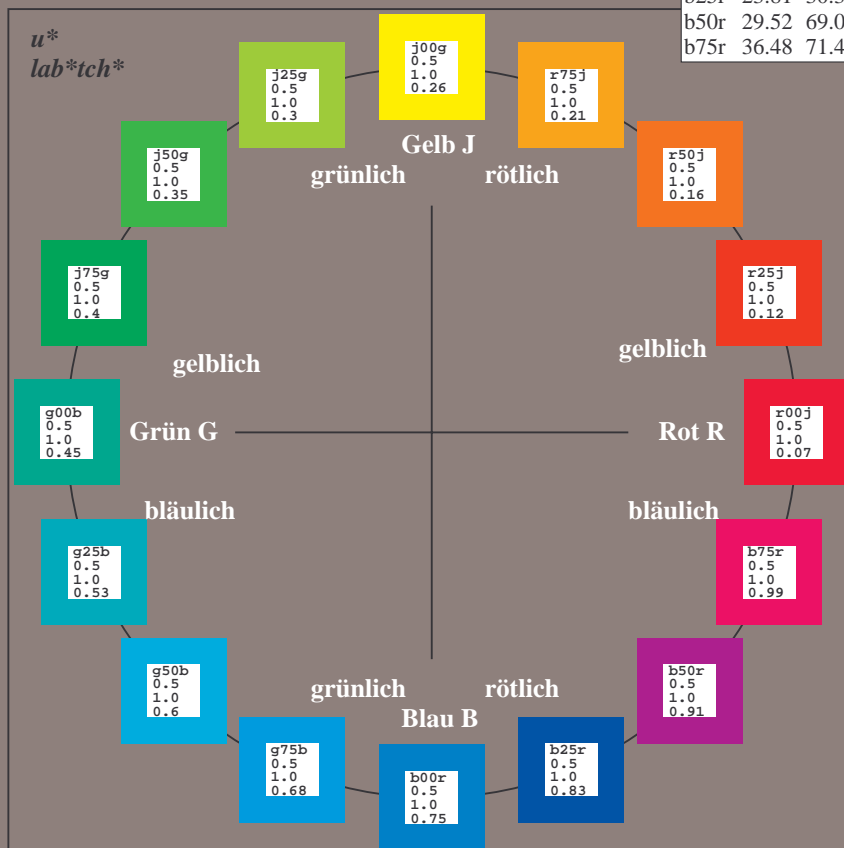
Ein und Ausgabe:
Farbmetrisches Drucker-Reflektiv-System FRS09_92aM
Daten für jede Farbe:
*lab*tch** und *lab*icu**
Elementar-Bunttontext:
*u** = 16 Buntttöne *r00j*, *r25j*, ..., *b75r*
Kontrastreduzierungsfaktor:
 $c_R = 1.0$

FRS09_92aM; adaptierte CIELAB-Daten					
	$L^*=L^*_a$	a^*_a	b^*_a	$C^*_{ab,a}$	$h^*_{ab,a}$
r00j	35.47	63.32	30.17	70.15	25
r25j	39.12	54.56	49.45	73.64	42
r50j	50.64	39.15	64.89	75.79	59
r75j	64.01	21.26	82.83	85.52	76
j00g	83.18	-4.37	108.53	108.62	92
j25g	66.73	-29.88	83.06	88.28	110
j50g	54.03	-48.3	63.49	79.78	127
j75g	44.73	-60.32	42.64	73.88	145
g00b	47.59	-49.07	15.74	51.54	162
g25b	49.97	-39.69	-6.71	40.27	190
g50b	51.85	-32.32	-24.34	40.48	217
g75b	46.92	-17.28	-36.01	39.96	244
b00r	37.91	1.28	-42.34	42.37	272
b25r	23.81	30.38	-52.25	60.45	300
b50r	29.52	69.06	-42.13	80.9	329
b75r	36.48	71.47	-3.68	71.57	357

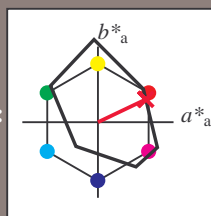


%Umfang
 $u^*_{rel} = 109$
%Regularität
 $g^*_{H,rel} = 31$
 $g^*_{C,rel} = 40$

FRS09_92aM; adaptierte CIELAB-Daten					
	$L^*=L^*_a$	a^*_a	b^*_a	$C^*_{ab,a}$	$h^*_{ab,a}$
OMa	35.06	60.0	44.0	74.4	36
YMa	83.77	-5.16	109.32	109.44	93
LMa	44.13	-62.66	48.24	79.09	142
CMa	52.66	-29.13	-31.98	43.27	228
VMa	14.15	50.3	-59.03	77.57	310
MMa	37.37	78.64	-33.49	85.48	337
NMa	8.58	0.0	0.0	0.0	0
WMa	92.02	0.0	0.0	0.0	0
RCIE	39.92	58.74	27.99	65.07	25
JCIE	81.26	-2.88	71.56	71.62	92
GCIE	52.23	-42.41	13.6	44.55	162
BCIE	30.57	1.41	-46.46	46.49	272



Ein und Ausgabe: Farbmetrisches Drucker-Reflektiv-System FRS09_92aM für relativen CIELAB-Buntton $h^* = lab^*h^* = h_{ab}/360 = 25/360 = 0.071$ $u^* = r00j$
Daten für jede Farbe:
 lab^*tch^* und lab^*icu^*
Elementar-Bunttontext:
 $u^* = r00j$
Kontrastreduzierungsfaktor:
 $c_R = 1.0$
Dreiecks-Helligkeit i^*



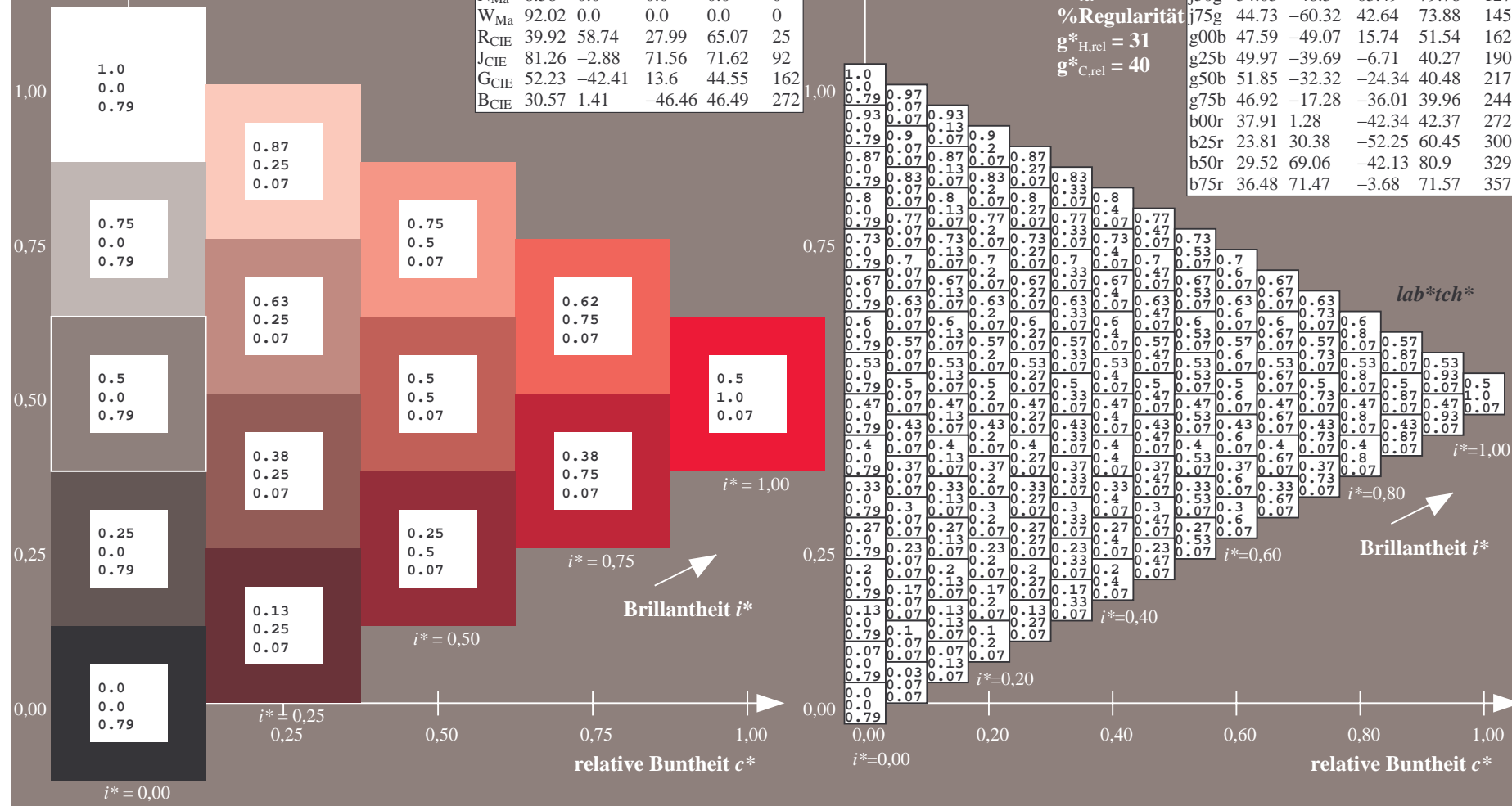
FRS09_92aM; adaptierte CIELAB-Daten					
	$L^*=L^*_a$	a^*_a	b^*_a	$C^*_{ab,a}$	$h^*_{ab,a}$
O _{Ma}	35.06	60.0	44.0	74.4	36
Y _{Ma}	83.77	-5.16	109.32	109.44	93
L _{Ma}	44.13	-62.66	48.24	79.09	142
C _{Ma}	52.66	-29.13	-31.98	43.27	228
V _{Ma}	14.15	50.3	-59.03	77.57	310
M _{Ma}	37.37	78.64	-33.49	85.48	337
N _{Ma}	8.58	0.0	0.0	0.0	0
W _{Ma}	92.02	0.0	0.0	0.0	0
R _{CIE}	39.92	58.74	27.99	65.07	25
J _{CIE}	81.26	-2.88	71.56	71.62	92
G _{CIE}	52.23	-42.41	13.6	44.55	162
B _{CIE}	30.57	1.41	-46.46	46.49	272

Daten für Maximalfarbe (Ma):

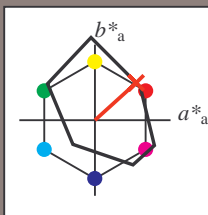
$LAB^*LAB^*_{Ma}$: 35 63 30
 $LAB^*LCH^*_{Ma}$: 35 70 25
 $lab^*rgb^*_{Ma}$: 1.0 0.0 0.0
 $lab^*olv^*_{Ma}$: 1.0 0.0 0.18

FRS09_92aM; adaptierte CIELAB-Daten					
	$L^*=L^*_a$	a^*_a	b^*_a	$C^*_{ab,a}$	$h^*_{ab,a}$
r00j	35.47	63.32	30.17	70.15	25
r25j	39.12	54.56	49.45	73.64	42
r50j	50.64	39.15	64.89	75.79	59
r75j	64.01	21.26	82.83	85.52	76
j00g	83.18	-4.37	108.53	108.62	92
j25g	66.73	-29.88	83.06	88.28	110
j50g	54.03	-48.3	63.49	79.78	127
j75g	44.73	-60.32	42.64	73.88	145
g00b	47.59	-49.07	15.74	51.54	162
g25b	49.97	-39.69	-6.71	40.27	190
g50b	51.85	-32.32	-24.34	40.48	217
g75b	46.92	-17.28	-36.01	39.96	244
b00r	37.91	1.28	-42.34	42.37	272
b25r	23.81	30.38	-52.25	60.45	300
b50r	29.52	69.06	-42.13	80.9	329
b75r	36.48	71.47	-3.68	71.57	357

%Umfang
 $u^*_{rel} = 109$
%Regularität
 $g^*_{H,rel} = 31$
 $g^*_{C,rel} = 40$



Ein und Ausgabe: Farbmetrisches Drucker-Reflektiv-System FRS09_92aM für relativen CIELAB-Buntton $h^* = lab^*h^* = h_{ab}/360 = 42/360 = 0.117$ $u^* = r25j$
Daten für jede Farbe:
 lab^*tch^* und lab^*icu^*
Elementar-Bunttontext:
 $u^* = r25j$
Kontrastreduzierungsfaktor:
 $c_R = 1.0$
Dreiecks-Helligkeit t^*



FRS09_92aM; adaptierte CIELAB-Daten					
	$L^*=L_a^*$	a_a^*	b_a^*	$C_{ab,a}^*$	$h_{ab,a}^*$
O _{Ma}	35.06	60.0	44.0	74.4	36
Y _{Ma}	83.77	-5.16	109.32	109.44	93
L _{Ma}	44.13	-62.66	48.24	79.09	142
C _{Ma}	52.66	-29.13	-31.98	43.27	228
V _{Ma}	14.15	50.3	-59.03	77.57	310
M _{Ma}	37.37	78.64	-33.49	85.48	337
N _{Ma}	8.58	0.0	0.0	0.0	0
W _{Ma}	92.02	0.0	0.0	0.0	0
R _{CIE}	39.92	58.74	27.99	65.07	25
J _{CIE}	81.26	-2.88	71.56	71.62	92
G _{CIE}	52.23	-42.41	13.6	44.55	162
B _{CIE}	30.57	1.41	-46.46	46.49	272

Daten für Maximalfarbe (Ma):

$LAB^*LAB^*_{Ma}$: 39 55 49

$LAB^*LCH^*_{Ma}$: 39 74 42

$lab^*rgb^*_{Ma}$: 1.0 0.25 0.0

$lab^*olv^*_{Ma}$: 1.0 0.08 0.0

Dreiecks-Helligkeit t^*

%Umfang

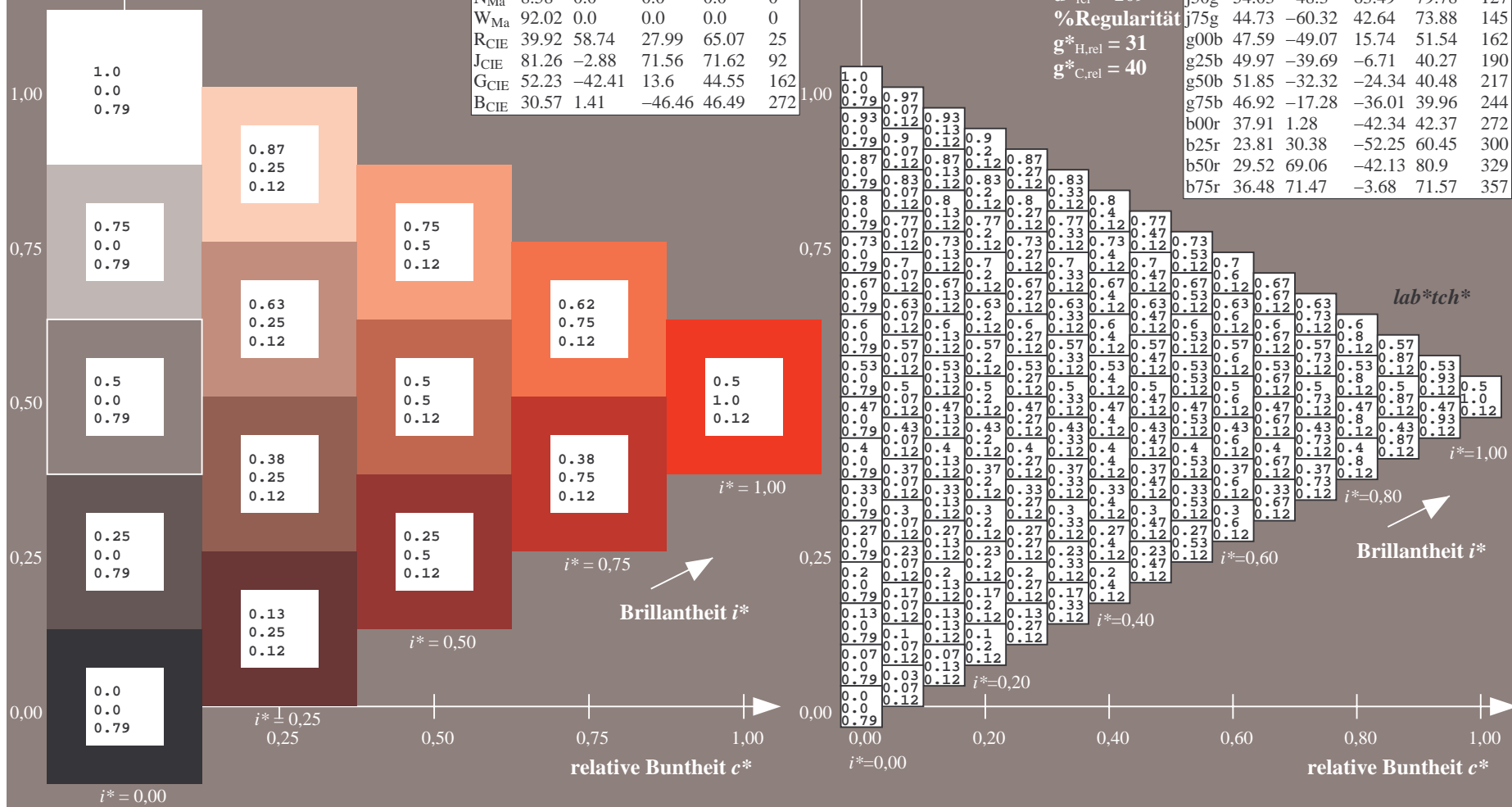
$u^*_{rel} = 109$

%Regularität

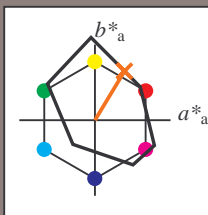
$g^*_{H,rel} = 31$

$g^*_{C,rel} = 40$

FRS09_92aM; adaptierte CIELAB-Daten					
	$L^*=L_a^*$	a_a^*	b_a^*	$C_{ab,a}^*$	$h_{ab,a}^*$
r00j	35.47	63.32	30.17	70.15	25
r25j	39.12	54.56	49.45	73.64	42
r50j	50.64	39.15	64.89	75.79	59
r75j	64.01	21.26	82.83	85.52	76
j00g	83.18	-4.37	108.53	108.62	92
j25g	66.73	-29.88	83.06	88.28	110
j50g	54.03	-48.3	63.49	79.78	127
j75g	44.73	-60.32	42.64	73.88	145
g00b	47.59	-49.07	15.74	51.54	162
g25b	49.97	-39.69	-6.71	40.27	190
g50b	51.85	-32.32	-24.34	40.48	217
g75b	46.92	-17.28	-36.01	39.96	244
b00r	37.91	1.28	-42.34	42.37	272
b25r	23.81	30.38	-52.25	60.45	300
b50r	29.52	69.06	-42.13	80.9	329
b75r	36.48	71.47	-3.68	71.57	357



Ein und Ausgabe: Farbmetrisches Drucker-Reflektiv-System FRS09_92aM für relativen CIELAB-Buntton $h^* = lab^*h^* = h_{ab}/360 = 59/360 = 0.164$ $u^* = r50j$
Daten für jede Farbe:
 lab^*tch^* und lab^*icu^*
Elementar-Bunttontext:
 $u^* = r50j$
Kontrastreduzierungsfaktor:
 $c_R = 1.0$
Dreiecks-Helligkeit t^*



FRS09_92aM; adaptierte CIELAB-Daten					
	$L^*=L_a^*$	a_a^*	b_a^*	$C_{ab,a}^*$	$h_{ab,a}^*$
O _{Ma}	35.06	60.0	44.0	74.4	36
Y _{Ma}	83.77	-5.16	109.32	109.44	93
L _{Ma}	44.13	-62.66	48.24	79.09	142
C _{Ma}	52.66	-29.13	-31.98	43.27	228
V _{Ma}	14.15	50.3	-59.03	77.57	310
M _{Ma}	37.37	78.64	-33.49	85.48	337
N _{Ma}	8.58	0.0	0.0	0.0	0
W _{Ma}	92.02	0.0	0.0	0.0	0
R _{CIE}	39.92	58.74	27.99	65.07	25
J _{CIE}	81.26	-2.88	71.56	71.62	92
G _{CIE}	52.23	-42.41	13.6	44.55	162
B _{CIE}	30.57	1.41	-46.46	46.49	272

Daten für Maximalfarbe (Ma):

$LAB^*LAB^*_{Ma}$: 51 39 65

$LAB^*LCH^*_{Ma}$: 51 76 59

$lab^*rgb^*_{Ma}$: 1.0 0.5 0.0

$lab^*olv^*_{Ma}$: 1.0 0.32 0.0

Dreiecks-Helligkeit t^*

%Umfang

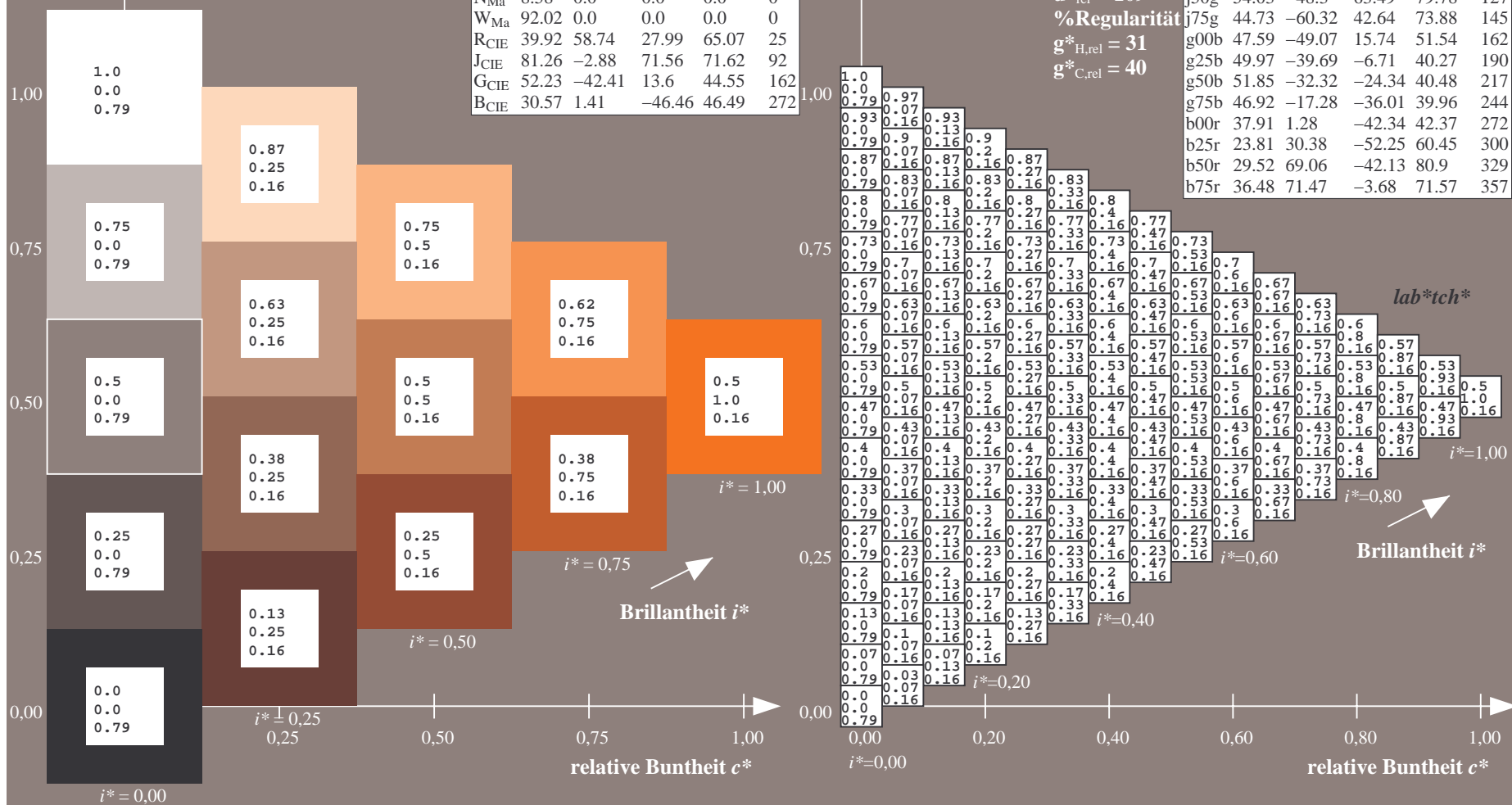
$u^*_{rel} = 109$

%Regularität

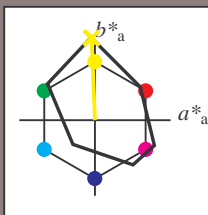
$g^*_{H,rel} = 31$

$g^*_{C,rel} = 40$

FRS09_92aM; adaptierte CIELAB-Daten					
	$L^*=L_a^*$	a_a^*	b_a^*	$C_{ab,a}^*$	$h_{ab,a}^*$
r00j	35.47	63.32	30.17	70.15	25
r25j	39.12	54.56	49.45	73.64	42
r50j	50.64	39.15	64.89	75.79	59
r75j	64.01	21.26	82.83	85.52	76
j00g	83.18	-4.37	108.53	108.62	92
j25g	66.73	-29.88	83.06	88.28	110
j50g	54.03	-48.3	63.49	79.78	127
j75g	44.73	-60.32	42.64	73.88	145
g00b	47.59	-49.07	15.74	51.54	162
g25b	49.97	-39.69	-6.71	40.27	190
g50b	51.85	-32.32	-24.34	40.48	217
g75b	46.92	-17.28	-36.01	39.96	244
b00r	37.91	1.28	-42.34	42.37	272
b25r	23.81	30.38	-52.25	60.45	300
b50r	29.52	69.06	-42.13	80.9	329
b75r	36.48	71.47	-3.68	71.57	357



Ein und Ausgabe: Farbmetrisches Drucker-Reflektiv-System FRS09_92aM für relativen CIELAB-Buntton $h^* = lab^*h^* = h_{ab}/360 = 92/360 = 0.256$ $u^* = j00g$
Daten für jede Farbe:
 lab^*tch^* und lab^*icu^*
Elementar-Bunttontext:
 $u^* = j00g$
Kontrastreduzierungsfaktor:
 $c_R = 1.0$
Dreiecks-Helligkeit t^*



FRS09_92aM; adaptierte CIELAB-Daten					
	$L^*=L_a^*$	a_a^*	b_a^*	$C^*_{ab,a}$	$h^*_{ab,a}$
O _{Ma}	35.06	60.0	44.0	74.4	36
Y _{Ma}	83.77	-5.16	109.32	109.44	93
L _{Ma}	44.13	-62.66	48.24	79.09	142
C _{Ma}	52.66	-29.13	-31.98	43.27	228
V _{Ma}	14.15	50.3	-59.03	77.57	310
M _{Ma}	37.37	78.64	-33.49	85.48	337
N _{Ma}	8.58	0.0	0.0	0.0	0
W _{Ma}	92.02	0.0	0.0	0.0	0
R _{CIE}	39.92	58.74	27.99	65.07	25
J _{CIE}	81.26	-2.88	71.56	71.62	92
G _{CIE}	52.23	-42.41	13.6	44.55	162
B _{CIE}	30.57	1.41	-46.46	46.49	272

Daten für Maximalfarbe (Ma):

$LAB^*LAB^*_{Ma}$: 83 -3 109

$LAB^*LCH^*_{Ma}$: 83 109 92

$lab^*rgb^*_{Ma}$: 1.0 1.0 0.0

$lab^*olv^*_{Ma}$: 1.0 0.99 0.0

Dreiecks-Helligkeit t^*

%Umfang

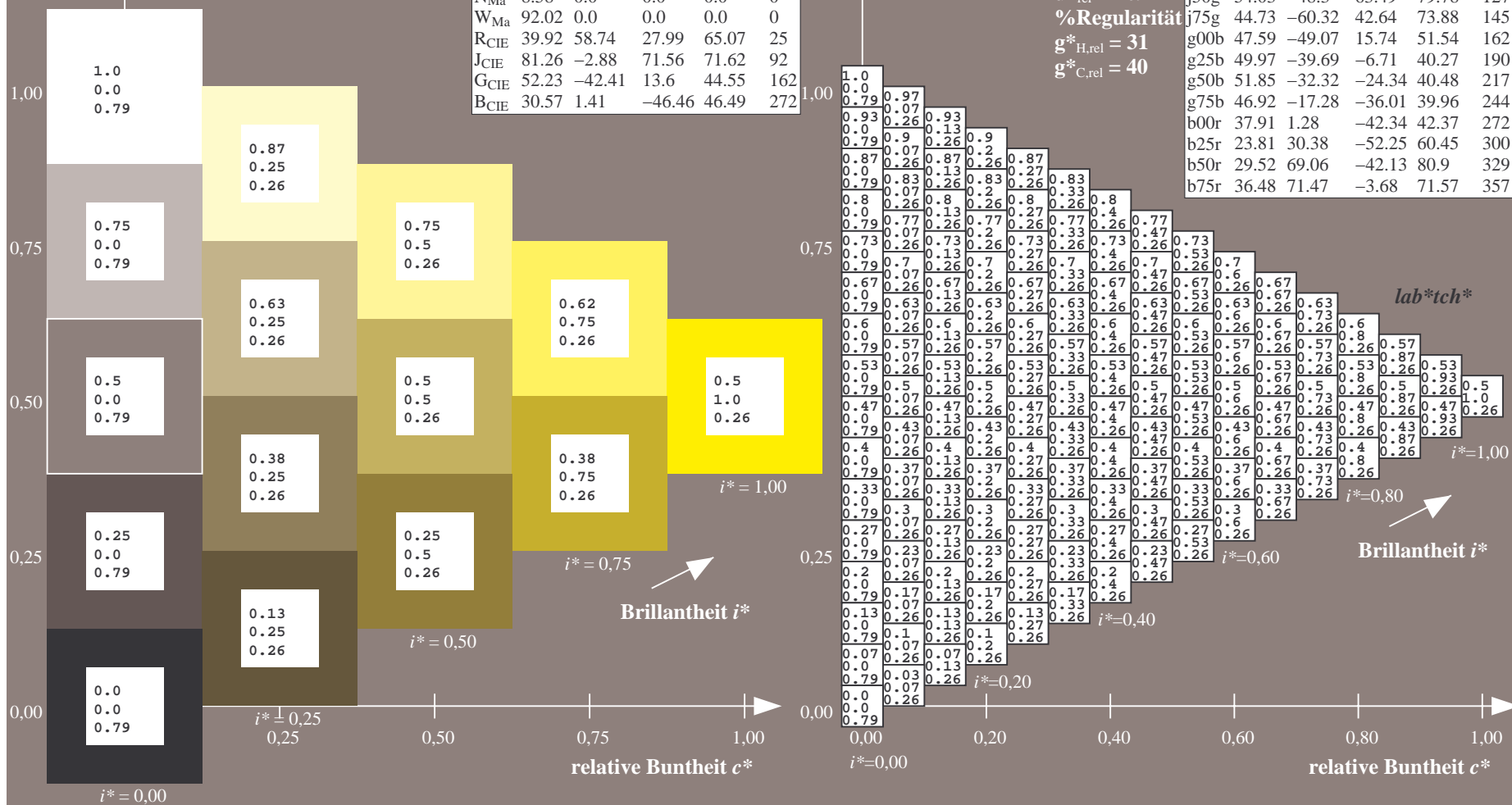
$u^*_{rel} = 109$

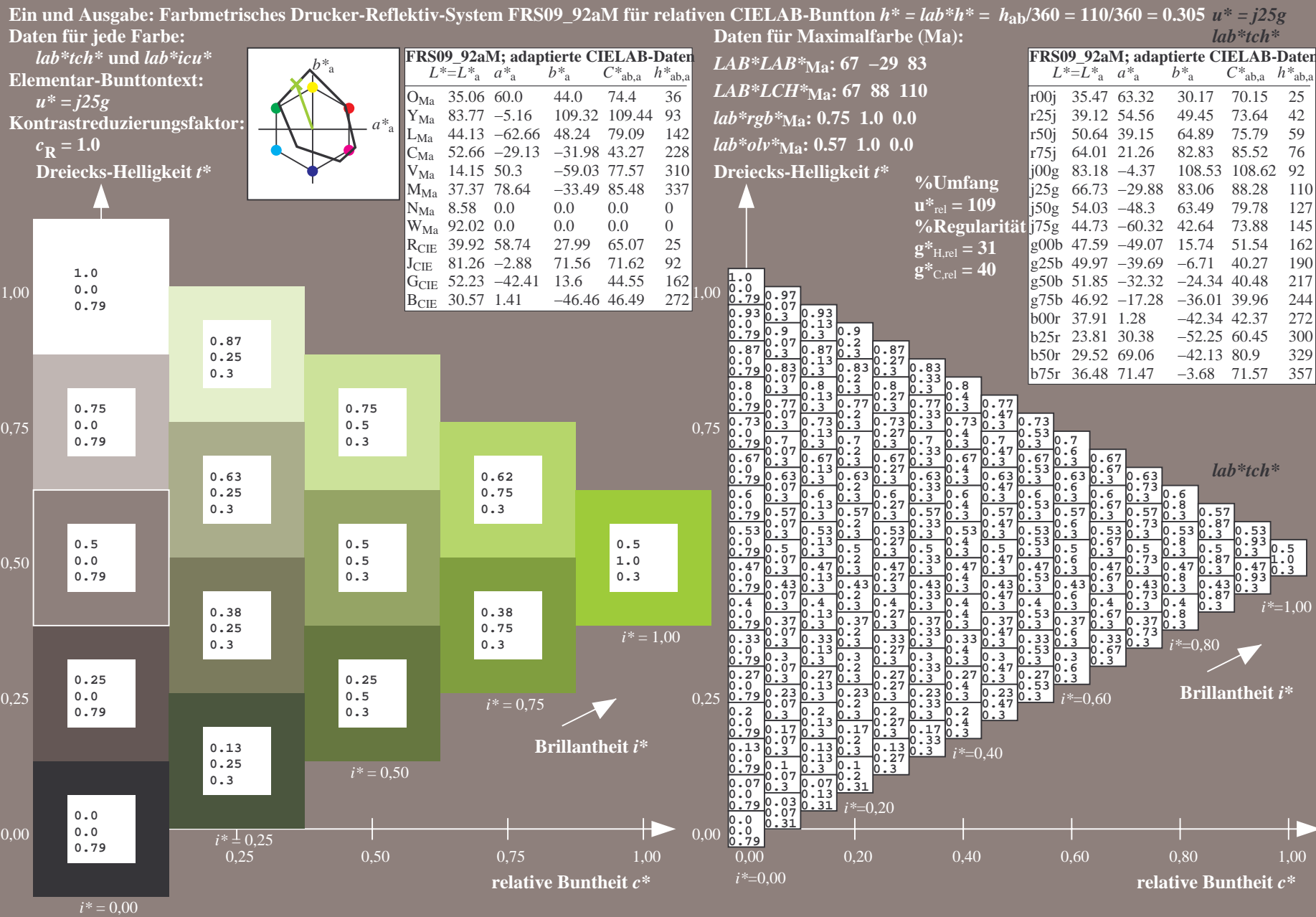
%Regularität

$g^*_{H,rel} = 31$

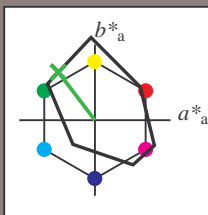
$g^*_{C,rel} = 40$

FRS09_92aM; adaptierte CIELAB-Daten					
	$L^*=L_a^*$	a_a^*	b_a^*	$C^*_{ab,a}$	$h^*_{ab,a}$
r00j	35.47	63.32	30.17	70.15	25
r25j	39.12	54.56	49.45	73.64	42
r50j	50.64	39.15	64.89	75.79	59
r75j	64.01	21.26	82.83	85.52	76
j00g	83.18	-4.37	108.53	108.62	92
j25g	66.73	-29.88	83.06	88.28	110
j50g	54.03	-48.3	63.49	79.78	127
j75g	44.73	-60.32	42.64	73.88	145
g00b	47.59	-49.07	15.74	51.54	162
g25b	49.97	-39.69	-6.71	40.27	190
g50b	51.85	-32.32	-24.34	40.48	217
g75b	46.92	-17.28	-36.01	39.96	244
b00r	37.91	1.28	-42.34	42.37	272
b25r	23.81	30.38	-52.25	60.45	300
b50r	29.52	69.06	-42.13	80.9	329
b75r	36.48	71.47	-3.68	71.57	357





Ein und Ausgabe: Farbmetrisches Drucker-Reflektiv-System FRS09_92aM für relativen CIELAB-Buntton $h^* = lab^*h^* = h_{ab}/360 = 127/360 = 0.354$ $u^* = j50g$
Daten für jede Farbe:
 lab^*tch^* und lab^*icu^*
Elementar-Bunttontext:
 $u^* = j50g$
Kontrastreduzierungsfaktor:
 $c_R = 1.0$
Dreiecks-Helligkeit t^*



FRS09_92aM; adaptierte CIELAB-Daten					
	$L^*=L_a^*$	a_a^*	b_a^*	$C^*_{ab,a}$	$h^*_{ab,a}$
O _{Ma}	35.06	60.0	44.0	74.4	36
Y _{Ma}	83.77	-5.16	109.32	109.44	93
L _{Ma}	44.13	-62.66	48.24	79.09	142
C _{Ma}	52.66	-29.13	-31.98	43.27	228
V _{Ma}	14.15	50.3	-59.03	77.57	310
M _{Ma}	37.37	78.64	-33.49	85.48	337
N _{Ma}	8.58	0.0	0.0	0.0	0
W _{Ma}	92.02	0.0	0.0	0.0	0
R _{CIE}	39.92	58.74	27.99	65.07	25
J _{CIE}	81.26	-2.88	71.56	71.62	92
G _{CIE}	52.23	-42.41	13.6	44.55	162
B _{CIE}	30.57	1.41	-46.46	46.49	272

Daten für Maximalfarbe (Ma):

$LAB^*LAB^*_{Ma}$: 54 -47 63

$LAB^*LCH^*_{Ma}$: 54 80 127

$lab^*rgb^*_{Ma}$: 0.5 1.0 0.0

$lab^*olv^*_{Ma}$: 0.25 1.0 0.0

Dreiecks-Helligkeit t^*

%Umfang

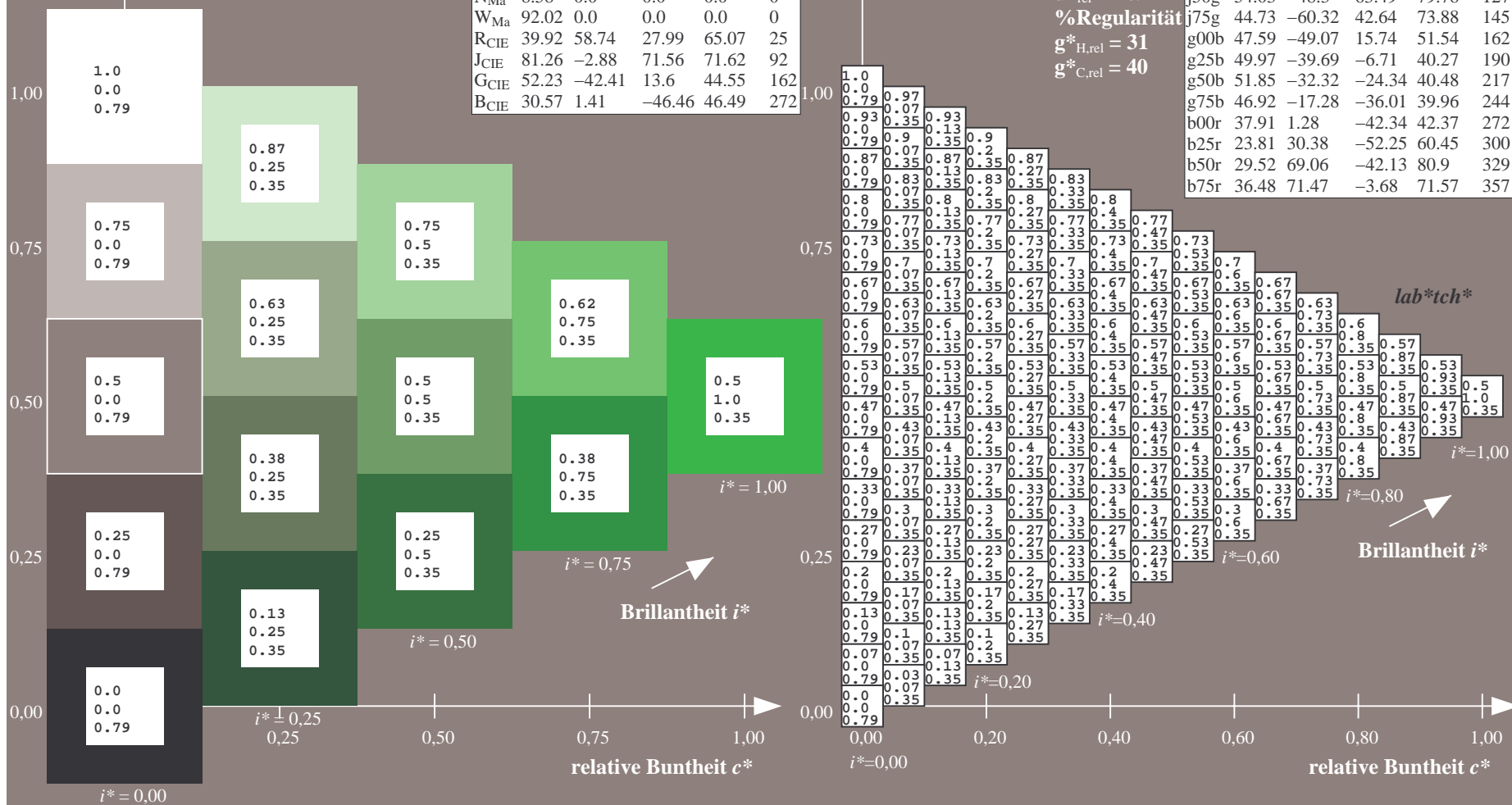
$u^*_{rel} = 109$

%Regularität

$g^*_{H,rel} = 31$

$g^*_{C,rel} = 40$

FRS09_92aM; adaptierte CIELAB-Daten					
	$L^*=L_a^*$	a_a^*	b_a^*	$C^*_{ab,a}$	$h^*_{ab,a}$
r00j	35.47	63.32	30.17	70.15	25
r25j	39.12	54.56	49.45	73.64	42
r50j	50.64	39.15	64.89	75.79	59
r75j	64.01	21.26	82.83	85.52	76
j00g	83.18	-4.37	108.53	108.62	92
j25g	66.73	-29.88	83.06	88.28	110
j50g	54.03	-48.3	63.49	79.78	127
j75g	44.73	-60.32	42.64	73.88	145
g00b	47.59	-49.07	15.74	51.54	162
g25b	49.97	-39.69	-6.71	40.27	190
g50b	51.85	-32.32	-24.34	40.48	217
g75b	46.92	-17.28	-36.01	39.96	244
b00r	37.91	1.28	-42.34	42.37	272
b25r	23.81	30.38	-52.25	60.45	300
b50r	29.52	69.06	-42.13	80.9	329
b75r	36.48	71.47	-3.68	71.57	357



Dreiecks-Helligkeit t^*



Siehe ähnliche Dateien: <http://www.ps.bam.de/Dg92/>; www.ps.bam.de/Dg.HTM
Technische Information: <http://www.ps.bam.de> Version 2.1, io=1,1, ColSp=0

BAM-Registrierung: 20080701-Dg92/10L/L92G00NP.PS/ .PDF BAM-Material: Code=rha4ta
Anwendung für Beurteilung und Messung von Drucker- oder Monitorsystemen

BAM-Prüfvorlage Dg92; Farbmatrik-Systeme, Seite 99/180
Farbreihen, 8 Datentabellen für 16 Bunttöne *r00j* bis *b75r*

Eingabe: 000n / w / nnn0 / www set...
Ausgabe: ->cmyn5* setcmykcolor

100



Siehe ähnliche Dateien: <http://www.ps.bam.de/Dg92/>; www.ps.bam.de/Dg.HTM
Technische Information: <http://www.ps.bam.de> Version 2.1, io=1, ColSp=0

BAM-Registrierung: 20080701-Dg92/10/L92G00NP.PS/ .PDF BAM-Material: Code=rha4ta
Anwendung für Beurteilung und Messung von Drucker- oder Monitorsystemen

Ein und Ausgabe: Farbm

Daten für jede Farbe:

*lab*tch** und *lab*icu**

Elementar-Bunttext:

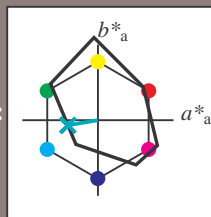
$$u^* = g25b$$

Kontrastreduzierungsfaktor:

$$c_R = 1.0$$

Dreiecks-Helligkeit t^*

Directs Henghett:



FRS09_92aM; adaptierte CIELAB-Daten					
	L^*_a	a^*_a	b^*_a	$C^*_{ab,a}$	$h^*_{ab,a}$
O _{Ma}	35.06	60.0	44.0	74.4	36
Y _{Ma}	83.77	-5.16	109.32	109.44	93
L _{Ma}	44.13	-62.66	48.24	79.09	142
C _{Ma}	52.66	-29.13	-31.98	43.27	228
V _{Ma}	14.15	50.3	-59.03	77.57	310
M _{Ma}	37.37	78.64	-33.49	85.48	337
N _{Ma}	8.58	0.0	0.0	0.0	0
W _{Ma}	92.02	0.0	0.0	0.0	0
R _{CIE}	39.92	58.74	27.99	65.07	25
J _{CIE}	81.26	-2.88	71.56	71.62	92
G _{CIE}	52.23	-42.41	13.6	44.55	162
B _{CIE}	30.57	1.41	-46.46	46.49	272

Daten für Maximalfarbe (Ma):

*LAB*LAB*Me*: 50 -39 -6

LAB*LCU* = 50 40 100

LAB*LCH*Ma: 50 40 1

*lab*rgb**Ma: 0.0 1.0 0.5

*lab*olv**Ma: 0.0 1.0 0.69

Dreiecks-Helligkeit t^*

Directs Attention:

%Umfang

$$\mathbf{u}_{\text{rel}}^* = 109$$

%Regular

$$g^*_{H,rel} = 31$$
$$\mathbf{g}_{\text{C,rel}}^* = 40$$

FRS09_92aM; adaptierte CIELAB-Daten					
	L^*_a	a^*_a	b^*_a	$C^*_{ab,a}$	$h^*_{ab,a}$
r00j	35.47	63.32	30.17	70.15	25
r25j	39.12	54.56	49.45	73.64	42
r50j	50.64	39.15	64.89	75.79	59
r75j	64.01	21.26	82.83	85.52	76
j00g	83.18	-4.37	108.53	108.62	92
j25g	66.73	-29.88	83.06	88.28	110
j50g	54.03	-48.3	63.49	79.78	127
j75g	44.73	-60.32	42.64	73.88	145
g00b	47.59	-49.07	15.74	51.54	162
g25b	49.97	-39.69	-6.71	40.27	190
g50b	51.85	-32.32	-24.34	40.48	217
g75b	46.92	-17.28	-36.01	39.96	244
b00r	37.91	1.28	-42.34	42.37	272
b25r	23.81	30.38	-52.25	60.45	300
b50r	29.52	69.06	-42.13	80.9	329
b75r	36.48	71.47	-3.68	71.57	357

*lab*tch**

$$i^*=1,00$$

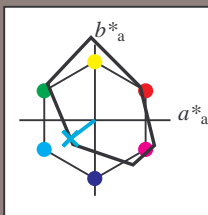
Brilliantheit i*

relative Buntheit c^*

BAM-Prüfvorlage Dg92; Farbmatrik-Systeme, Seite 101/180
Farbreihen, 8 Datentabellen für 16 Bunttöne *r00j* bis *b75r*

Eingabe: 000n / w / nnn0 / www set...
Ausgabe: ->cmyn5* setcmykcolor

Ein und Ausgabe: Farbmetrisches Drucker-Reflektiv-System FRS09_92aM für relativen CIELAB-Buntton $h^* = lab^*h^* = h_{ab}/360 = 217/360 = 0.603$ $u^* = g50b$
Daten für jede Farbe:
 lab^*ch^* und lab^*icu^*
Elementar-Bunttontext:
 $u^* = g50b$
Kontrastreduzierungsfaktor:
 $c_R = 1.0$
Dreiecks-Helligkeit i^*



FRS09_92aM; adaptierte CIELAB-Daten					
	$L^*=L^*_a$	a^*_a	b^*_a	$C^*_{ab,a}$	$h^*_{ab,a}$
O _{Ma}	35.06	60.0	44.0	74.4	36
Y _{Ma}	83.77	-5.16	109.32	109.44	93
L _{Ma}	44.13	-62.66	48.24	79.09	142
C _{Ma}	52.66	-29.13	-31.98	43.27	228
V _{Ma}	14.15	50.3	-59.03	77.57	310
M _{Ma}	37.37	78.64	-33.49	85.48	337
N _{Ma}	8.58	0.0	0.0	0.0	0
W _{Ma}	92.02	0.0	0.0	0.0	0
R _{CIE}	39.92	58.74	27.99	65.07	25
J _{CIE}	81.26	-2.88	71.56	71.62	92
G _{CIE}	52.23	-42.41	13.6	44.55	162
B _{CIE}	30.57	1.41	-46.46	46.49	272

Daten für Maximalfarbe (Ma):

$LAB^*LAB^*_{Ma}$: 52 -31 -23

$LAB^*LCH^*_{Ma}$: 52 40 217

$lab^*rgb^*_{Ma}$: 0.0 1.0 1.0

$lab^*olv^*_{Ma}$: 0.0 1.0 0.9

Dreiecks-Helligkeit i^*

%Umfang

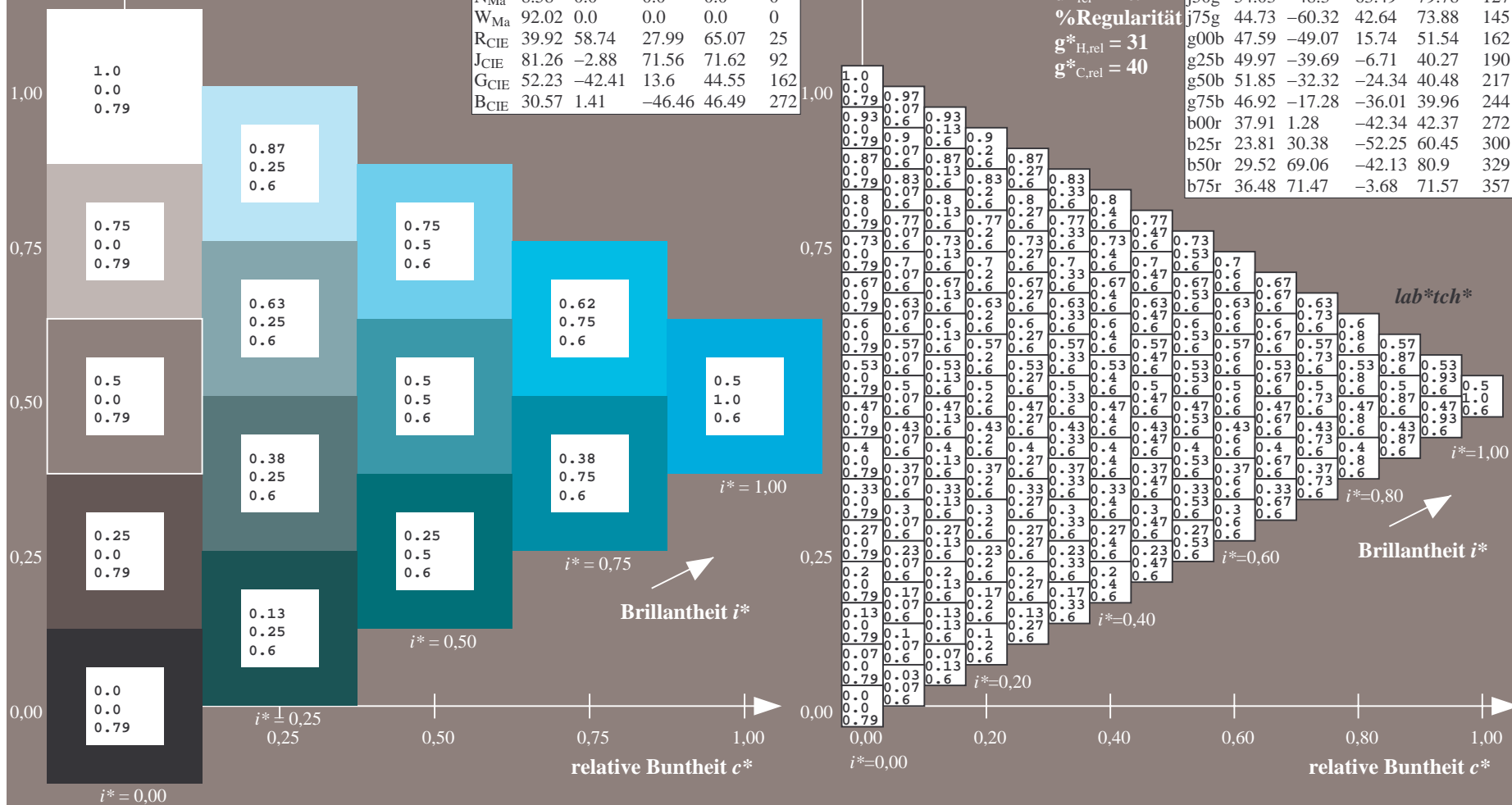
$u^*_{rel} = 109$

%Regularität

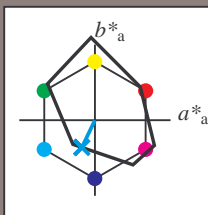
$g^*_{H,rel} = 31$

$g^*_{C,rel} = 40$

FRS09_92aM; adaptierte CIELAB-Daten					
	$L^*=L^*_a$	a^*_a	b^*_a	$C^*_{ab,a}$	$h^*_{ab,a}$
r00j	35.47	63.32	30.17	70.15	25
r25j	39.12	54.56	49.45	73.64	42
r50j	50.64	39.15	64.89	75.79	59
r75j	64.01	21.26	82.83	85.52	76
j00g	83.18	-4.37	108.53	108.62	92
j25g	66.73	-29.88	83.06	88.28	110
j50g	54.03	-48.3	63.49	79.78	127
j75g	44.73	-60.32	42.64	73.88	145
g00b	47.59	-49.07	15.74	51.54	162
g25b	49.97	-39.69	-6.71	40.27	190
g50b	51.85	-32.32	-24.34	40.48	217
g75b	46.92	-17.28	-36.01	39.96	244
b00r	37.91	1.28	-42.34	42.37	272
b25r	23.81	30.38	-52.25	60.45	300
b50r	29.52	69.06	-42.13	80.9	329
b75r	36.48	71.47	-3.68	71.57	357



Ein und Ausgabe: Farbmetrisches Drucker-Reflektiv-System FRS09_92aM für relativen CIELAB-Buntton $h^* = lab^*h^* = h_{ab}/360 = 244/360 = 0.679$ $u^* = g75b$
Daten für jede Farbe:
 lab^*ch^* und lab^*icu^*
Elementar-Bunttontext:
 $u^* = g75b$
Kontrastreduzierungsfaktor:
 $c_R = 1.0$
Dreiecks-Helligkeit i^*



FRS09_92aM; adaptierte CIELAB-Daten					
	$L^*=L^*_a$	a^*_a	b^*_a	$C^*_{ab,a}$	$h^*_{ab,a}$
O _{Ma}	35.06	60.0	44.0	74.4	36
Y _{Ma}	83.77	-5.16	109.32	109.44	93
L _{Ma}	44.13	-62.66	48.24	79.09	142
C _{Ma}	52.66	-29.13	-31.98	43.27	228
V _{Ma}	14.15	50.3	-59.03	77.57	310
M _{Ma}	37.37	78.64	-33.49	85.48	337
N _{Ma}	8.58	0.0	0.0	0.0	0
W _{Ma}	92.02	0.0	0.0	0.0	0
R _{CIE}	39.92	58.74	27.99	65.07	25
J _{CIE}	81.26	-2.88	71.56	71.62	92
G _{CIE}	52.23	-42.41	13.6	44.55	162
B _{CIE}	30.57	1.41	-46.46	46.49	272

Daten für Maximalfarbe (Ma):

$LAB^*LAB^*_{Ma}$: 47 -16 -35

$LAB^*LCH^*_{Ma}$: 47 40 244

$lab^*rgb^*_{Ma}$: 0.0 0.5 1.0

$lab^*olv^*_{Ma}$: 0.0 0.85 1.0

Dreiecks-Helligkeit i^*

%Umfang

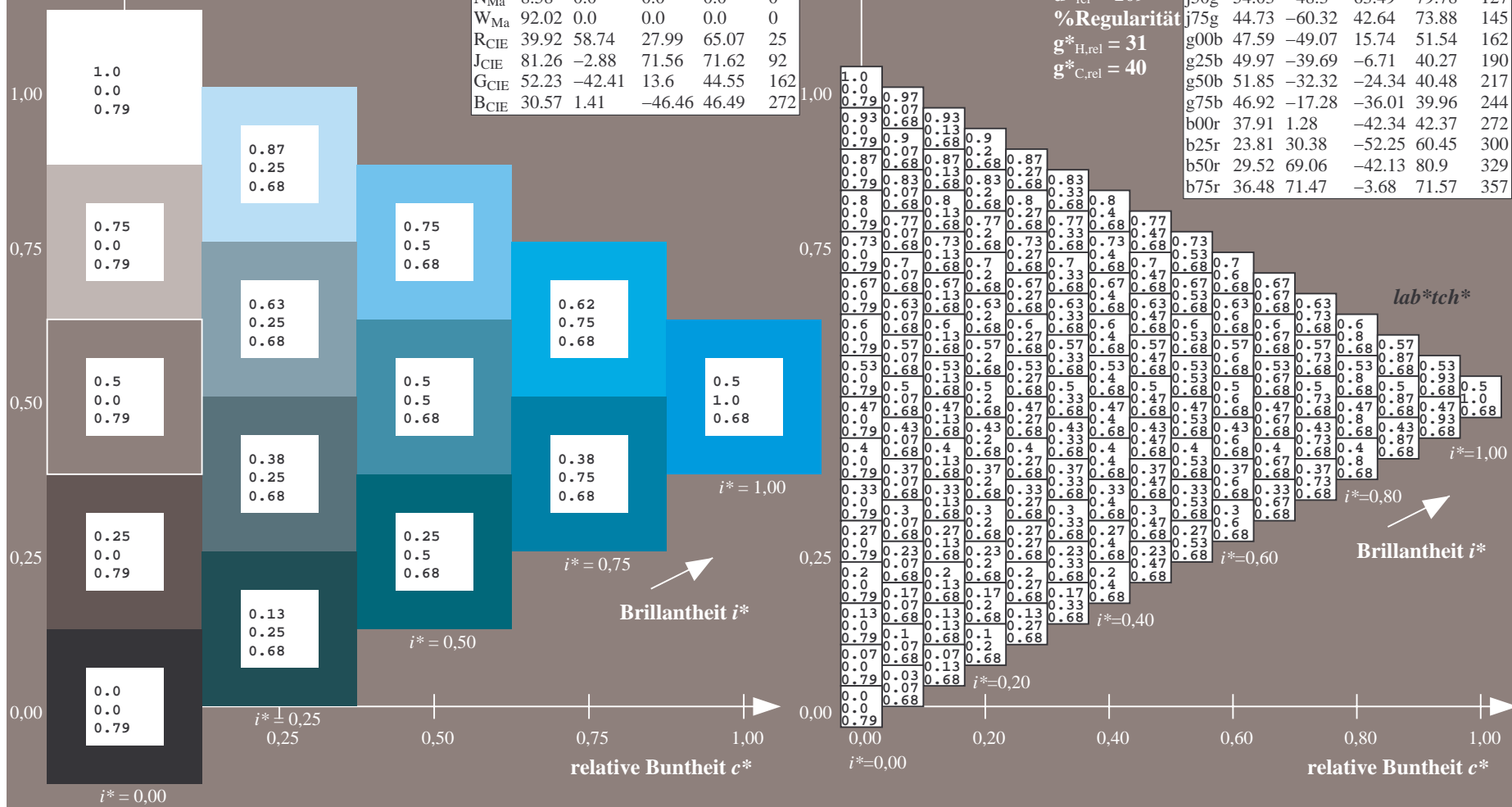
$u^*_{rel} = 109$

%Regularität

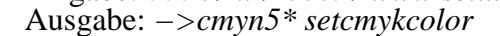
$g^*_{H,rel} = 31$

$g^*_{C,rel} = 40$

FRS09_92aM; adaptierte CIELAB-Daten					
	$L^*=L^*_a$	a^*_a	b^*_a	$C^*_{ab,a}$	$h^*_{ab,a}$
r00j	35.47	63.32	30.17	70.15	25
r25j	39.12	54.56	49.45	73.64	42
r50j	50.64	39.15	64.89	75.79	59
r75j	64.01	21.26	82.83	85.52	76
j00g	83.18	-4.37	108.53	108.62	92
j25g	66.73	-29.88	83.06	88.28	110
j50g	54.03	-48.3	63.49	79.78	127
j75g	44.73	-60.32	42.64	73.88	145
g00b	47.59	-49.07	15.74	51.54	162
g25b	49.97	-39.69	-6.71	40.27	190
g50b	51.85	-32.32	-24.34	40.48	217
g75b	46.92	-17.28	-36.01	39.96	244
b00r	37.91	1.28	-42.34	42.37	272
b25r	23.81	30.38	-52.25	60.45	300
b50r	29.52	69.06	-42.13	80.9	329
b75r	36.48	71.47	-3.68	71.57	357



▲

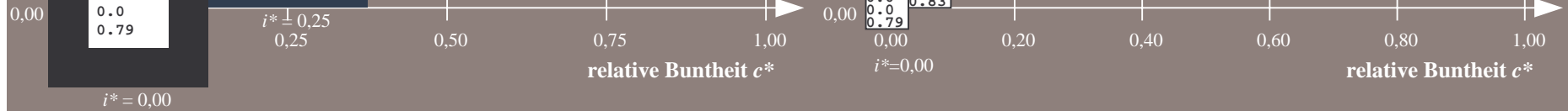


BAM-Registrierung: 20080701-Dg92/10L/L92G00NP.PS/.PDF BAM-Material: Code=rha4ta
- Anwendung für Beurteilung und Messung von Drucker- oder Monitorsystemen

Dreiecks-Helligkeit t^*



b/5r	36.48	71.47	-3.68	71.57	357
------	-------	-------	-------	-------	-----

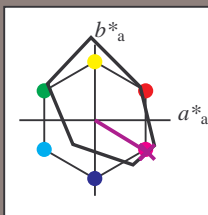


Farbreihen, 8 Datentabellen für 16 Bunttöne *r00j* bis *b75r*

Ausgabe: $\rightarrow cmyn5^* setcmykcolor$

BAM-Registrierung: 20080701-Dg92/10L/L92G00NP.PS/.PDF BAM-Material: Code=rha4ta
Anwendung für Beurteilung und Messung von Drucker- oder Monitorsystemen

Ein und Ausgabe: Farbmetrisches Drucker-Reflektiv-System FRS09_92aM für relativen CIELAB-Buntton $h^* = lab^*h^* = h_{ab}/360 = 329/360 = 0.913$ $u^* = b50r$
Daten für jede Farbe:
 lab^*tch^* und lab^*icu^*
Elementar-Bunttontext:
 $u^* = b50r$
Kontrastreduzierungsfaktor:
 $c_R = 1.0$
Dreiecks-Helligkeit t^*



FRS09_92aM; adaptierte CIELAB-Daten					
	$L^*=L_a^*$	a_a^*	b_a^*	$C_{ab,a}^*$	$h_{ab,a}^*$
O _{Ma}	35.06	60.0	44.0	74.4	36
Y _{Ma}	83.77	-5.16	109.32	109.44	93
L _{Ma}	44.13	-62.66	48.24	79.09	142
C _{Ma}	52.66	-29.13	-31.98	43.27	228
V _{Ma}	14.15	50.3	-59.03	77.57	310
M _{Ma}	37.37	78.64	-33.49	85.48	337
N _{Ma}	8.58	0.0	0.0	0.0	0
W _{Ma}	92.02	0.0	0.0	0.0	0
R _{CIE}	39.92	58.74	27.99	65.07	25
J _{CIE}	81.26	-2.88	71.56	71.62	92
G _{CIE}	52.23	-42.41	13.6	44.55	162
B _{CIE}	30.57	1.41	-46.46	46.49	272

Daten für Maximalfarbe (Ma):

$LAB^*LAB^*_{Ma}$: 30 69 -41

$LAB^*LCH^*_{Ma}$: 30 81 329

$lab^*rgb^*_{Ma}$: 1.0 0.0 1.0

$lab^*olv^*_{Ma}$: 0.66 0.0 1.0

Dreiecks-Helligkeit t^*

%Umfang

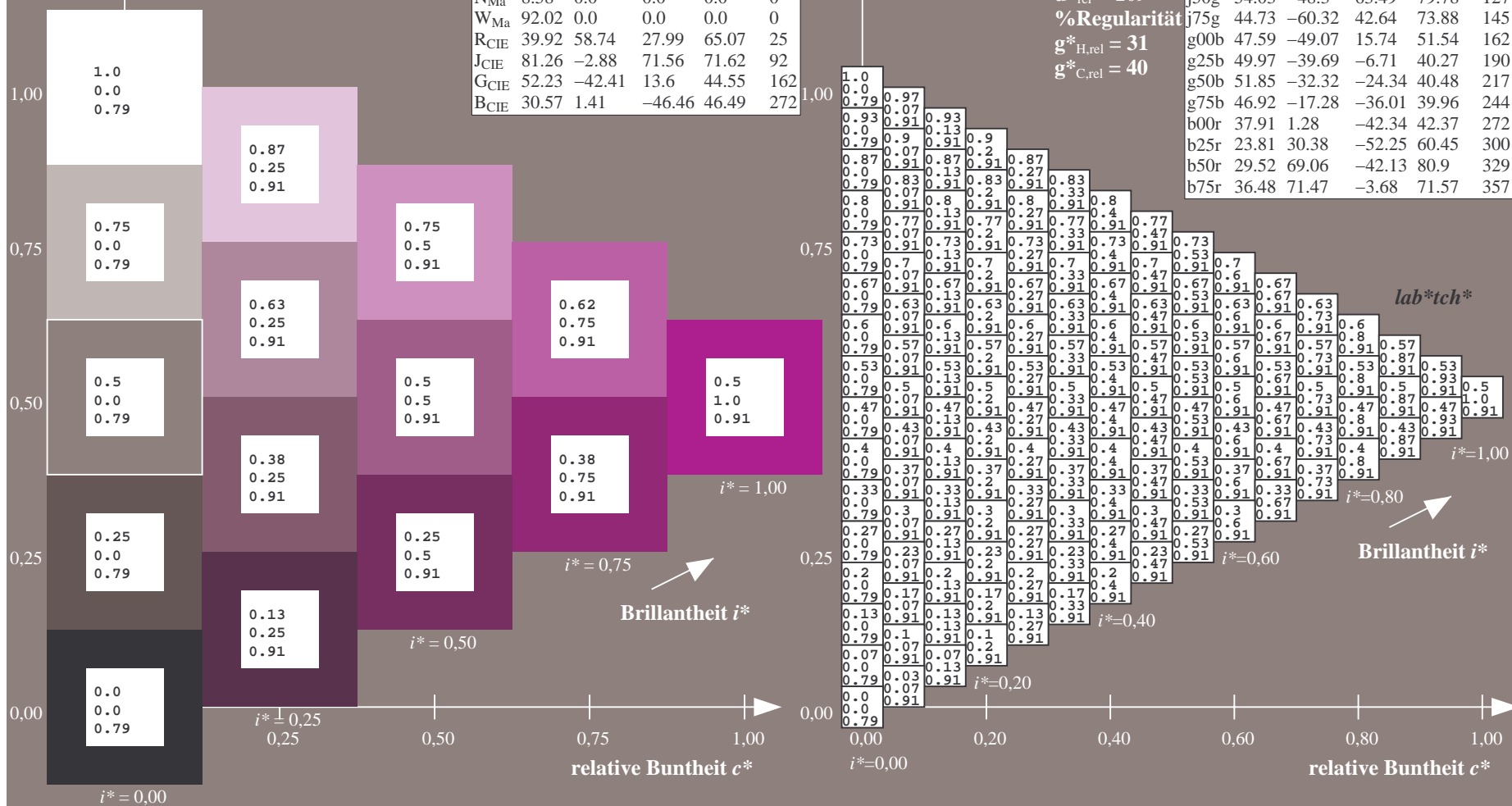
$u^*_{rel} = 109$

%Regularität

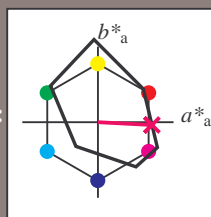
$g^*_{H,rel} = 31$

$g^*_{C,rel} = 40$

FRS09_92aM; adaptierte CIELAB-Daten					
	$L^*=L_a^*$	a_a^*	b_a^*	$C_{ab,a}^*$	$h_{ab,a}^*$
r00j	35.47	63.32	30.17	70.15	25
r25j	39.12	54.56	49.45	73.64	42
r50j	50.64	39.15	64.89	75.79	59
r75j	64.01	21.26	82.83	85.52	76
j00g	83.18	-4.37	108.53	108.62	92
j25g	66.73	-29.88	83.06	88.28	110
j50g	54.03	-48.3	63.49	79.78	127
j75g	44.73	-60.32	42.64	73.88	145
g00b	47.59	-49.07	15.74	51.54	162
g25b	49.97	-39.69	-6.71	40.27	190
g50b	51.85	-32.32	-24.34	40.48	217
g75b	46.92	-17.28	-36.01	39.96	244
b00r	37.91	1.28	-42.34	42.37	272
b25r	23.81	30.38	-52.25	60.45	300
b50r	29.52	69.06	-42.13	80.9	329
b75r	36.48	71.47	-3.68	71.57	357



Ein und Ausgabe: Farbmetrisches Drucker-Reflektiv-System FRS09_92aM für relativen CIELAB-Buntton $h^* = lab^*h^* = h_{ab}/360 = 357/360 = 0.992$ $u^* = b75r$
Daten für jede Farbe:
 lab^*tch^* und lab^*icu^*
Elementar-Bunttontext:
 $u^* = b75r$
Kontrastreduzierungsfaktor:
 $c_R = 1.0$
Dreiecks-Helligkeit t^*



FRS09_92aM; adaptierte CIELAB-Daten					
	$L^*=L_a^*$	a_a^*	b_a^*	$C_{ab,a}^*$	$h_{ab,a}^*$
O _{Ma}	35.06	60.0	44.0	74.4	36
Y _{Ma}	83.77	-5.16	109.32	109.44	93
L _{Ma}	44.13	-62.66	48.24	79.09	142
C _{Ma}	52.66	-29.13	-31.98	43.27	228
V _{Ma}	14.15	50.3	-59.03	77.57	310
M _{Ma}	37.37	78.64	-33.49	85.48	337
N _{Ma}	8.58	0.0	0.0	0.0	0
W _{Ma}	92.02	0.0	0.0	0.0	0
R _{CIE}	39.92	58.74	27.99	65.07	25
J _{CIE}	81.26	-2.88	71.56	71.62	92
G _{CIE}	52.23	-42.41	13.6	44.55	162
B _{CIE}	30.57	1.41	-46.46	46.49	272

Daten für Maximalfarbe (Ma):

$LAB^*LAB^*_{Ma}$: 36 71 -3

$LAB^*LCH^*_{Ma}$: 36 72 357

$lab^*rgb^*_{Ma}$: 1.0 0.0 0.5

$lab^*olv^*_{Ma}$: 1.0 0.0 0.62

Dreiecks-Helligkeit t^*

%Umfang

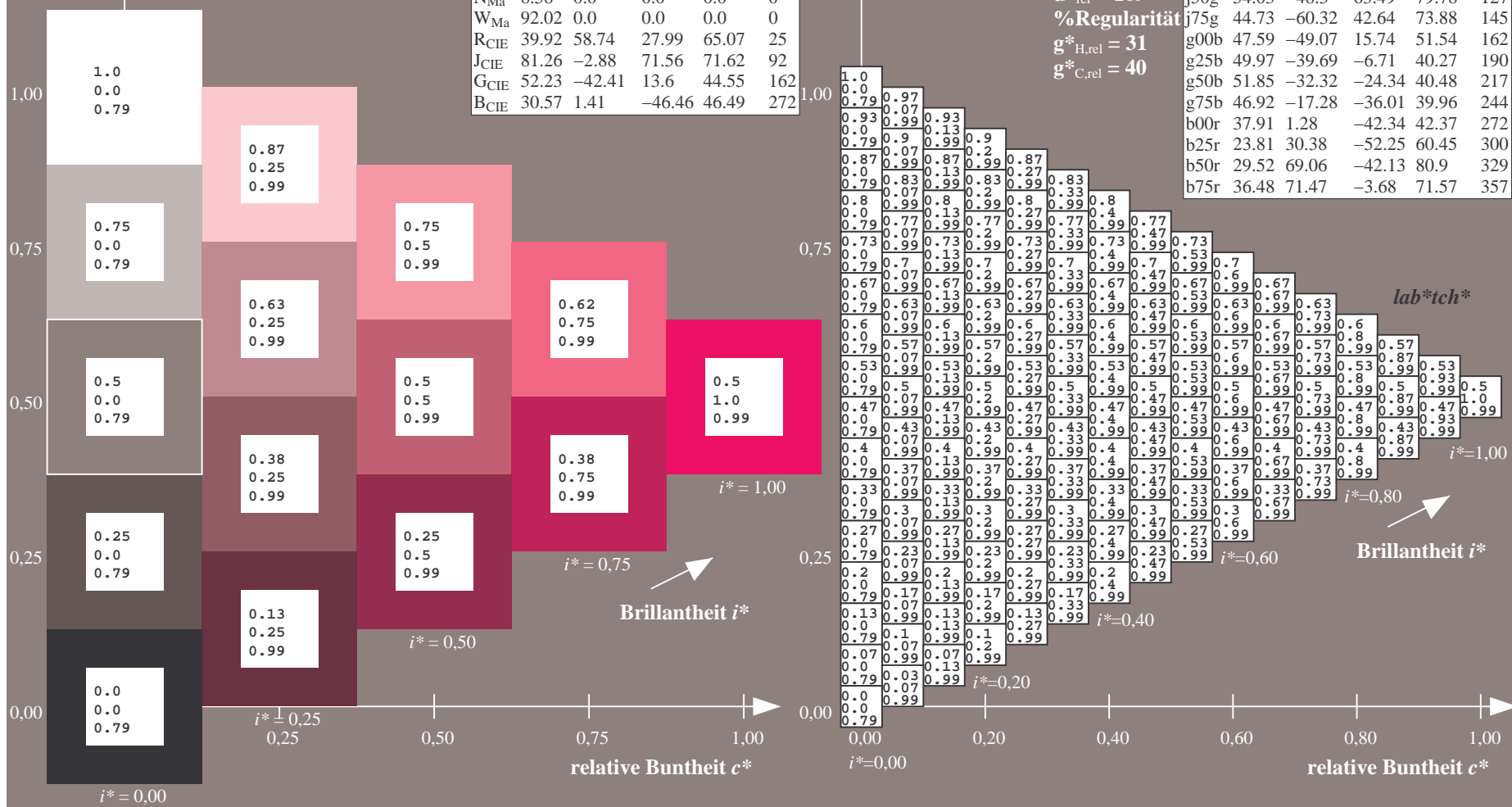
$u^*_{rel} = 109$

%Regularität

$g^*_{H,rel} = 31$

$g^*_{C,rel} = 40$

FRS09_92aM; adaptierte CIELAB-Daten					
	$L^*=L_a^*$	a_a^*	b_a^*	$C_{ab,a}^*$	$h_{ab,a}^*$
r00j	35.47	63.32	30.17	70.15	25
r25j	39.12	54.56	49.45	73.64	42
r50j	50.64	39.15	64.89	75.79	59
r75j	64.01	21.26	82.83	85.52	76
j00g	83.18	-4.37	108.53	108.62	92
j25g	66.73	-29.88	83.06	88.28	110
j50g	54.03	-48.3	63.49	79.78	127
j75g	44.73	-60.32	42.64	73.88	145
g00b	47.59	-49.07	15.74	51.54	162
g25b	49.97	-39.69	-6.71	40.27	190
g50b	51.85	-32.32	-24.34	40.48	217
g75b	46.92	-17.28	-36.01	39.96	244
b00r	37.91	1.28	-42.34	42.37	272
b25r	23.81	30.38	-52.25	60.45	300
b50r	29.52	69.06	-42.13	80.9	329
b75r	36.48	71.47	-3.68	71.57	357

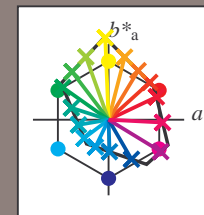


Siehe ähnliche Dateien: <http://www.ps.bam.de/Dg92/>; www.ps.bam.de/Dg92/10L/L92G00NP.PS/.PDF BAM-Material: Code=rh4ta
Technische Information: <http://www.ps.bam.de> Version 2.1, io=1,1, ColSpX=0

	A	B	C	D	E	F	G	H	I	J	K	L	M	N	O	P	Q	R	S	T	U	V	W	X	Y	Z	a	b	c	d	e	f	g	h	i	j	k	lab* <i>tch</i> *				
0.0	0.06	0.13	0.19	0.25	0.31	0.38	0.44	0.5	0.06	0.06	0.13	0.19	0.25	0.31	0.38	0.44	0.5	0.13	0.13	0.13	0.19	0.25	0.31	0.38	0.44	0.5	0.06	0.13	0.19	0.25	0.31	0.38	0.44	0.5	0.0	0.0	0.0	0.0	0.0			
0.0	0.12	0.25	0.37	0.5	0.62	0.75	0.87	1.0	0.12	0.12	0.25	0.37	0.5	0.62	0.75	0.87	1.0	0.25	0.25	0.25	0.37	0.5	0.62	0.75	0.87	1.0	0.12	0.25	0.37	0.5	0.62	0.75	0.87	1.0	0.0	0.0	0.0	0.0	0.0			
0.79	0.4	0.4	0.4	0.4	0.4	0.4	0.4	0.4	0.1	0.26	0.31	0.34	0.35	0.36	0.37	0.37	0.37	0.1	0.2	0.26	0.29	0.31	0.33	0.34	0.35	0.35	0.79	0.1	0.1	0.1	0.1	0.1	0.1	0.1	0.1	0.79	0.79	0.79	0.79			
0.06	0.06	0.13	0.19	0.25	0.31	0.38	0.44	0.5	0.06	0.13	0.19	0.25	0.31	0.38	0.44	0.5	0.56	0.13	0.19	0.25	0.31	0.38	0.44	0.5	0.56	0.62	0.87	0.81	0.75	0.69	0.63	0.56	0.5	0.44	0.38	0.31	0.25	0.25	0.25			
0.12	0.12	0.25	0.37	0.5	0.62	0.75	0.87	1.0	0.12	0.12	0.25	0.37	0.5	0.62	0.75	0.87	1.0	0.25	0.25	0.25	0.37	0.5	0.62	0.75	0.87	1.0	0.12	0.25	0.37	0.5	0.62	0.75	0.87	1.0	0.0	0.0	0.0	0.0	0.0			
0.86	0.63	0.47	0.44	0.42	0.42	0.41	0.41	0.41	0.94	0.79	0.4	0.4	0.4	0.4	0.4	0.4	0.4	0.01	0.1	0.26	0.31	0.34	0.35	0.36	0.37	0.37	0.37	0.63	0.79	0.1	0.1	0.1	0.1	0.1	0.1	0.79	0.79	0.79	0.79			
0.13	0.13	0.13	0.19	0.25	0.31	0.38	0.44	0.5	0.13	0.19	0.19	0.25	0.31	0.38	0.44	0.5	0.56	0.13	0.19	0.25	0.31	0.38	0.44	0.5	0.56	0.62	0.87	0.81	0.75	0.69	0.63	0.56	0.5	0.44	0.38	0.31	0.25	0.25	0.25			
0.25	0.25	0.25	0.37	0.5	0.62	0.75	0.87	1.0	0.25	0.25	0.25	0.37	0.5	0.62	0.75	0.87	1.0	0.25	0.25	0.25	0.37	0.5	0.62	0.75	0.87	1.0	0.25	0.25	0.37	0.5	0.62	0.75	0.87	1.0	0.0	0.0	0.0	0.0	0.0			
0.86	0.79	0.63	0.52	0.47	0.45	0.44	0.43	0.42	0.9	0.86	0.63	0.47	0.44	0.42	0.42	0.41	0.41	0.94	0.94	0.79	0.4	0.4	0.4	0.4	0.4	0.4	0.4	0.63	0.63	0.79	0.1	0.1	0.1	0.1	0.1	0.79	0.79	0.79	0.79			
0.19	0.19	0.19	0.19	0.25	0.31	0.38	0.44	0.5	0.19	0.25	0.25	0.25	0.25	0.31	0.38	0.44	0.5	0.56	0.19	0.25	0.31	0.38	0.44	0.5	0.56	0.62	0.81	0.75	0.69	0.63	0.56	0.5	0.44	0.38	0.31	0.25	0.25	0.25				
0.37	0.37	0.37	0.37	0.5	0.62	0.75	0.87	1.0	0.37	0.25	0.25	0.25	0.25	0.38	0.5	0.63	0.75	0.87	0.37	0.25	0.13	0.25	0.38	0.5	0.63	0.75	0.37	0.25	0.13	0.25	0.38	0.5	0.62	0.75	0.87	1.0	0.0	0.0	0.0	0.0		
0.05	0.25	0.25	0.25	0.25	0.31	0.38	0.44	0.5	0.25	0.31	0.31	0.31	0.31	0.38	0.44	0.5	0.56	0.25	0.31	0.38	0.44	0.5	0.56	0.62	0.75	0.69	0.63	0.56	0.5	0.44	0.38	0.31	0.25	0.5	0.5	0.5	0.5	0.5				
0.5	0.5	0.5	0.5	0.5	0.62	0.75	0.87	1.0	0.5	0.38	0.38	0.38	0.38	0.38	0.38	0.44	0.5	0.63	0.5	0.38	0.25	0.25	0.25	0.38	0.5	0.63	0.75	0.5	0.38	0.25	0.13	0.25	0.38	0.5	0.62	0.75	0.87	1.0	0.0	0.0	0.0	
0.86	0.83	0.79	0.71	0.63	0.57	0.52	0.49	0.47	0.88	0.86	0.82	0.74	0.63	0.55	0.5	0.47	0.46	0.9	0.89	0.86	0.79	0.63	0.52	0.47	0.45	0.44	0.63	0.63	0.63	0.63	0.63	0.63	0.63	0.63	0.63	0.63	0.63	0.63	0.63			
0.31	0.31	0.31	0.31	0.31	0.31	0.38	0.44	0.5	0.31	0.38	0.38	0.38	0.38	0.38	0.38	0.44	0.5	0.56	0.31	0.38	0.44	0.5	0.56	0.62	0.75	0.69	0.63	0.56	0.5	0.44	0.38	0.31	0.25	0.19	0.13	0.06	0.0	0.0	0.0			
0.62	0.62	0.62	0.62	0.62	0.62	0.75	0.87	1.0	0.62	0.5	0.5	0.5	0.5	0.5	0.5	0.5	0.5	0.62	0.5	0.38	0.38	0.38	0.38	0.38	0.5	0.63	0.75	0.62	0.5	0.38	0.25	0.13	0.25	0.38	0.5	0.63	0.75	0.87	1.0	0.0	0.0	0.0
0.86	0.84	0.81	0.76	0.7	0.63	0.58	0.54	0.51	0.88	0.86	0.83	0.79	0.71	0.63	0.57	0.52	0.49	0.89	0.88	0.86	0.82	0.74	0.63	0.55	0.5	0.56	0.62	0.62	0.56	0.5	0.44	0.38	0.31	0.25	0.19	0.13	0.06	0.0	0.0	0.0		
0.38	0.38	0.38	0.38	0.38	0.38	0.38	0.44	0.5	0.38	0.44	0.44	0.44	0.44	0.44	0.44	0.44	0.5	0.56	0.38	0.44	0.5	0.5	0.5	0.5	0.5	0.5	0.5	0.56	0.62	0.62	0.56	0.5	0.44	0.38	0.31	0.25	0.19	0.13	0.06	0.0	0.0	0.0
0.75	0.75	0.75	0.75	0.75	0.75	0.75	0.87	1.0	0.75	0.63	0.63	0.63	0.63	0.63	0.63	0.63	0.63	0.75	0.75	0.63	0.5	0.5	0.5	0.5	0.5	0.5	0.5	0.56	0.62	0.62	0.56	0.5	0.44	0.38	0.31	0.25	0.19	0.13	0.06	0.0	0.0	0.0
0.86	0.85	0.82	0.79	0.74	0.68	0.63	0.59	0.55	0.88	0.86	0.84	0.81	0.76	0.7	0.63	0.58	0.54	0.89	0.88	0.86	0.83	0.79	0.71	0.63	0.55	0.5	0.56	0.62	0.62	0.56	0.5	0.44	0.38	0.31	0.25	0.19	0.13	0.06	0.0	0.0	0.0	
0.44	0.44	0.44	0.44	0.44	0.44	0.44	0.44	0.44	0.5	0.44	0.5	0.5	0.5	0.5	0.5	0.5	0.5	0.56	0.44	0.5	0.56	0.56	0.56	0.56	0.56	0.56	0.56	0.56	0.56	0.56	0.56	0.56	0.56	0.56	0.56	0.56	0.56	0.56	0.56	0.56		
0.87	0.87	0.87	0.87	0.87	0.87	0.87	0.87	0.87	0.87	0.87	0.87	0.87	0.87	0.87	0.87	0.87	0.87	0.87	0.87	0.87	0.87	0.87	0.87	0.87	0.87	0.87	0.87	0.87	0.87	0.87	0.87	0.87	0.87	0.87	0.87	0.87	0.87	0.87	0.87	0.87		
0.86	0.85	0.83	0.8	0.77	0.72	0.68	0.63	0.59	0.87	0.86	0.85	0.82	0.79	0.74	0.68	0.63	0.59	0.88	0.88	0.86	0.84	0.81	0.76	0.7	0.63	0.58	0.63	0.63	0.63	0.63	0.63	0.63	0.63	0.63	0.63	0.63	0.63	0.63	0.63	0.63	0.63	
0.5	0.5	0.5	0.5	0.5	0.5	0.5	0.5	0.5	0.5	0.5	0.5	0.5	0.5	0.5	0.5	0.5	0.5	0.5	0.5	0.5	0.5	0.5	0.5	0.5	0.5	0.5	0.5	0.5	0.5	0.5	0.5	0.5	0.5	0.5	0.5	0.5	0.5	0.5	0.5			
1.0	1.0	1.0	1.0	1.0	1.0	1.0	1.0	1.0	1.0	1.0	1.0	1.0	1.0	1.0	1.0	1.0	1.0	1.0	1.0	1.0	1.0	1.0	1.0	1.0	1.0	1.0	1.0	1.0	1.0	1.0	1.0	1.0	1.0	1.0	1.0	1.0	1.0	1.0	1.0			
0.86	0.85	0.83	0.81	0.79	0.75	0.71	0.67	0.63	0.87	0.86	0.85	0.83	0.8	0.77	0.72	0.68	0.63	0.88	0.88	0.86	0.84	0.81	0.76	0.7	0.63	0.58	0.63	0.63	0.63	0.63	0.63	0.63	0.63	0.63	0.63	0.63	0.63	0.63	0.63	0.63	0.63	
0.19	0.19	0.19	0.19	0.25	0.31	0.38	0.44	0.5	0.19	0.25	0.25	0.25	0.25	0.31	0.38	0.44	0.5	0.56	0.19	0.25	0.31	0.38	0.44	0.5	0.56	0.62	0.81	0.75	0.69	0.63	0.56	0.5	0.44	0.38	0.31	0.25	0.25	0.25	0.25	0.25		
0.37	0.37	0.37	0.37	0.5	0.62	0.75	0.87	1.0	0.37	0.5	0.5	0.5	0.5	0.5	0.5	0.5	0.5	0.62	0.37	0.25	0.13	0.25	0.38	0.5	0.63	0.75	0.37	0.25	0.13													

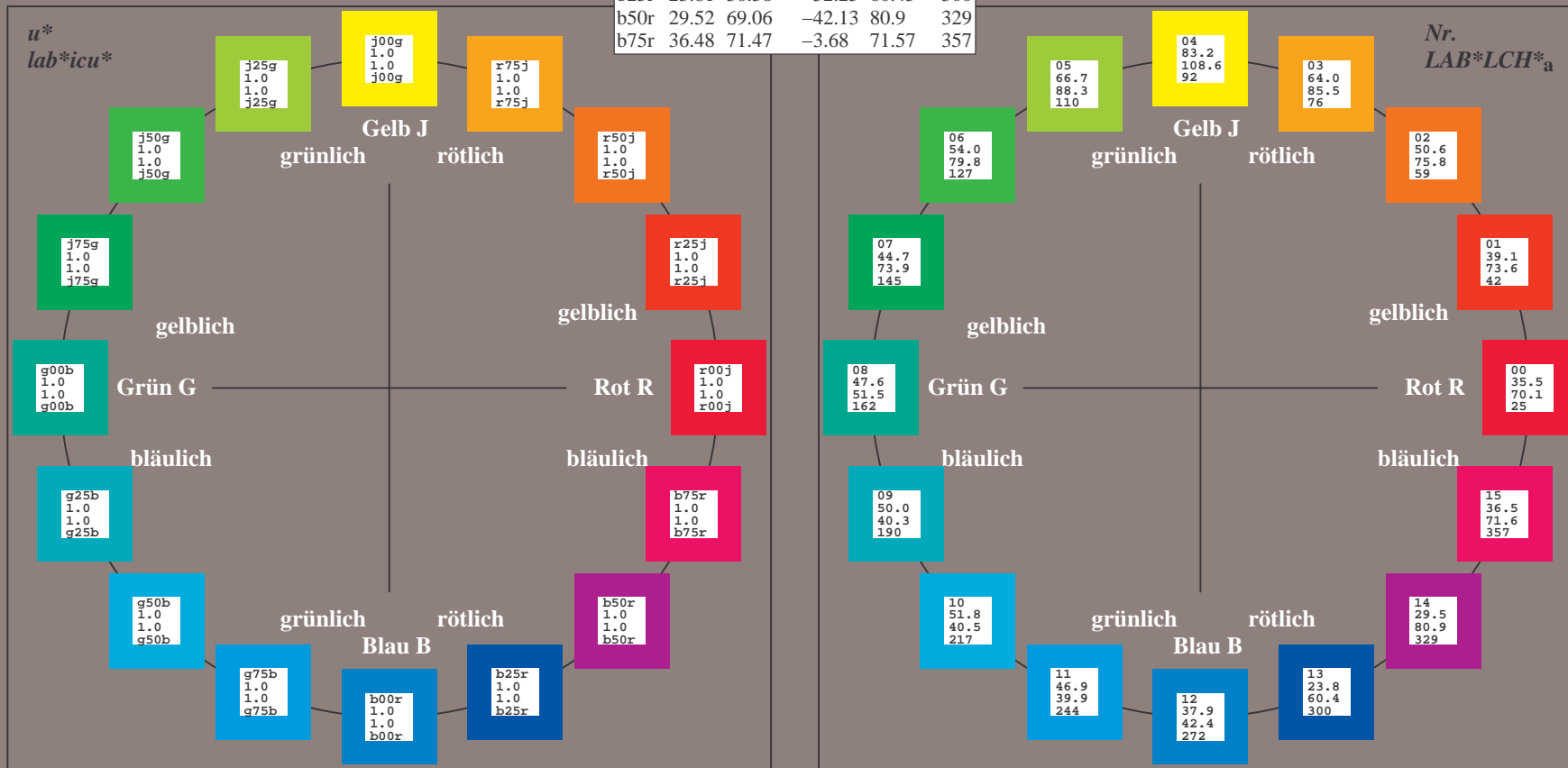
Ein und Ausgabe:
Farbmetrisches Drucker-Reflektiv-System FRS09_92aM
Daten für jede Farbe:
*lab*_{ich}** und *lab*_{icu}**
Elementar-Bunttontext:
*u** = 16 Bunttöne *r00j*, *r25j*, ..., *b75r*
Kontrastreduzierungsfaktor:
c_R = 1.0

FRS09_92aM; adaptierte CIELAB-Daten					
	<i>L*</i> = <i>L*</i> _a	<i>a*</i> _a	<i>b*</i> _a	<i>C*</i> _{ab,a}	<i>h*</i> _{ab,a}
r00j	35.47	63.32	30.17	70.15	25
r25j	39.12	54.56	49.45	73.64	42
r50j	50.64	39.15	64.89	75.79	59
r75j	64.01	21.26	82.83	85.52	76
j00g	83.18	-4.37	108.53	108.62	92
j25g	66.73	-29.88	83.06	88.28	110
j50g	54.03	-48.3	63.49	79.78	127
j75g	44.73	-60.32	42.64	73.88	145
g00b	47.59	-49.07	15.74	51.54	162
g25b	49.97	-39.69	-6.71	40.27	190
g50b	51.85	-32.32	-24.34	40.48	217
g75b	46.92	-17.28	-36.01	39.96	244
b00r	37.91	1.28	-42.34	42.37	272
b25r	23.81	30.38	-52.25	60.45	300
b50r	29.52	69.06	-42.13	80.9	329
b75r	36.48	71.47	-3.68	71.57	357

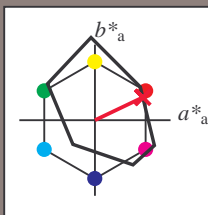


%Umfang
*u**_{rel} = 109
%Regularität
*g**_{H,rel} = 31
*g**_{C,rel} = 40

FRS09_92aM; adaptierte CIELAB-Daten					
	<i>L*</i> = <i>L*</i> _a	<i>a*</i> _a	<i>b*</i> _a	<i>C*</i> _{ab,a}	<i>h*</i> _{ab,a}
OMa	35.06	60.0	44.0	74.4	36
YMa	83.77	-5.16	109.32	109.44	93
LMa	44.13	-62.66	48.24	79.09	142
CMa	52.66	-29.13	-31.98	43.27	228
VMa	14.15	50.3	-59.03	77.57	310
MMa	37.37	78.64	-33.49	85.48	337
NMa	8.58	0.0	0.0	0.0	0
WMa	92.02	0.0	0.0	0.0	0
RCIE	39.92	58.74	27.99	65.07	25
JCIE	81.26	-2.88	71.56	71.62	92
GCIE	52.23	-42.41	13.6	44.55	162
BCIE	30.57	1.41	-46.46	46.49	272



Ein und Ausgabe: Farbmetrisches Drucker-Reflektiv-System FRS09_92aM für relativen CIELAB-Buntton $h^* = lab^*h^* = h_{ab}/360 = 25/360 = 0.071$ $u^* = r00j$
Daten für jede Farbe:
 lab^*ch^* und lab^*icu^*
Elementar-Bunttontext:
 $u^* = r00j$
Kontrastreduzierungsfaktor:
 $c_R = 1.0$
Dreiecks-Helligkeit i^*



FRS09_92aM; adaptierte CIELAB-Daten					
	$L^*=L_a^*$	a_a^*	b_a^*	$C^*_{ab,a}$	$h^*_{ab,a}$
O _{Ma}	35.06	60.0	44.0	74.4	36
Y _{Ma}	83.77	-5.16	109.32	109.44	93
L _{Ma}	44.13	-62.66	48.24	79.09	142
C _{Ma}	52.66	-29.13	-31.98	43.27	228
V _{Ma}	14.15	50.3	-59.03	77.57	310
M _{Ma}	37.37	78.64	-33.49	85.48	337
N _{Ma}	8.58	0.0	0.0	0.0	0
W _{Ma}	92.02	0.0	0.0	0.0	0
R _{CIE}	39.92	58.74	27.99	65.07	25
J _{CIE}	81.26	-2.88	71.56	71.62	92
G _{CIE}	52.23	-42.41	13.6	44.55	162
B _{CIE}	30.57	1.41	-46.46	46.49	272

Daten für Maximalfarbe (Ma):

$LAB^*LAB^*_{Ma}$: 35 63 30

$LAB^*LCH^*_{Ma}$: 35 70 25

$lab^*rgb^*_{Ma}$: 1.0 0.0 0.0

$lab^*olv^*_{Ma}$: 1.0 0.0 0.18

Dreiecks-Helligkeit i^*

%Umfang

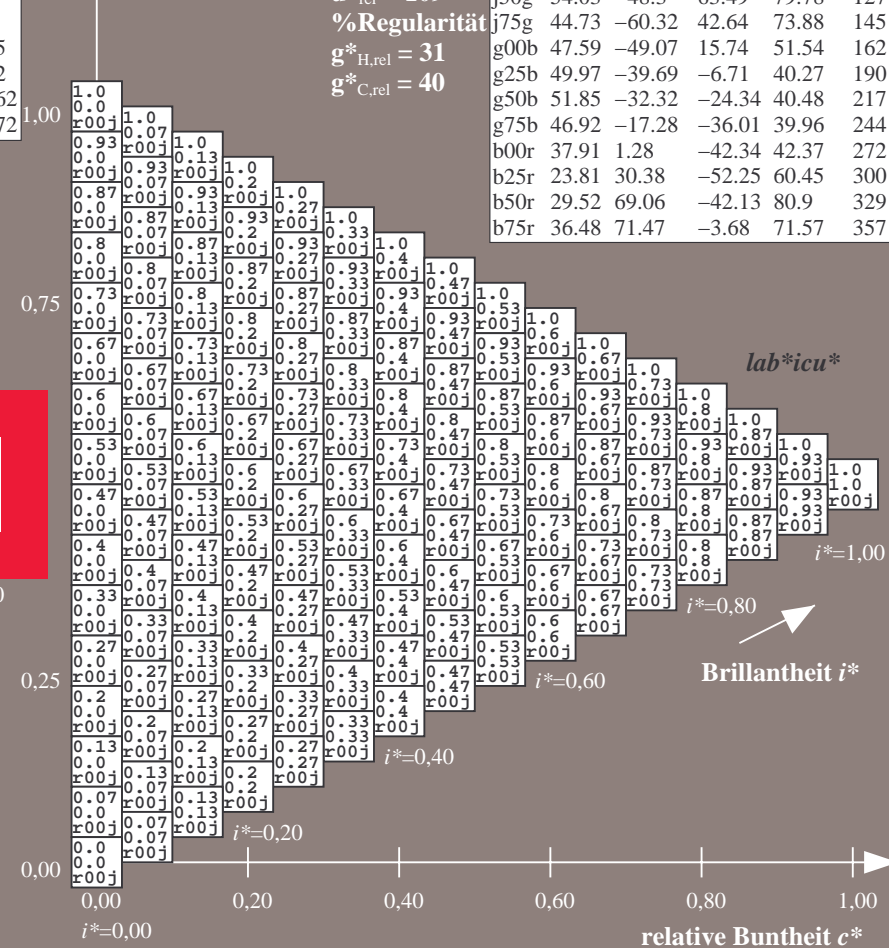
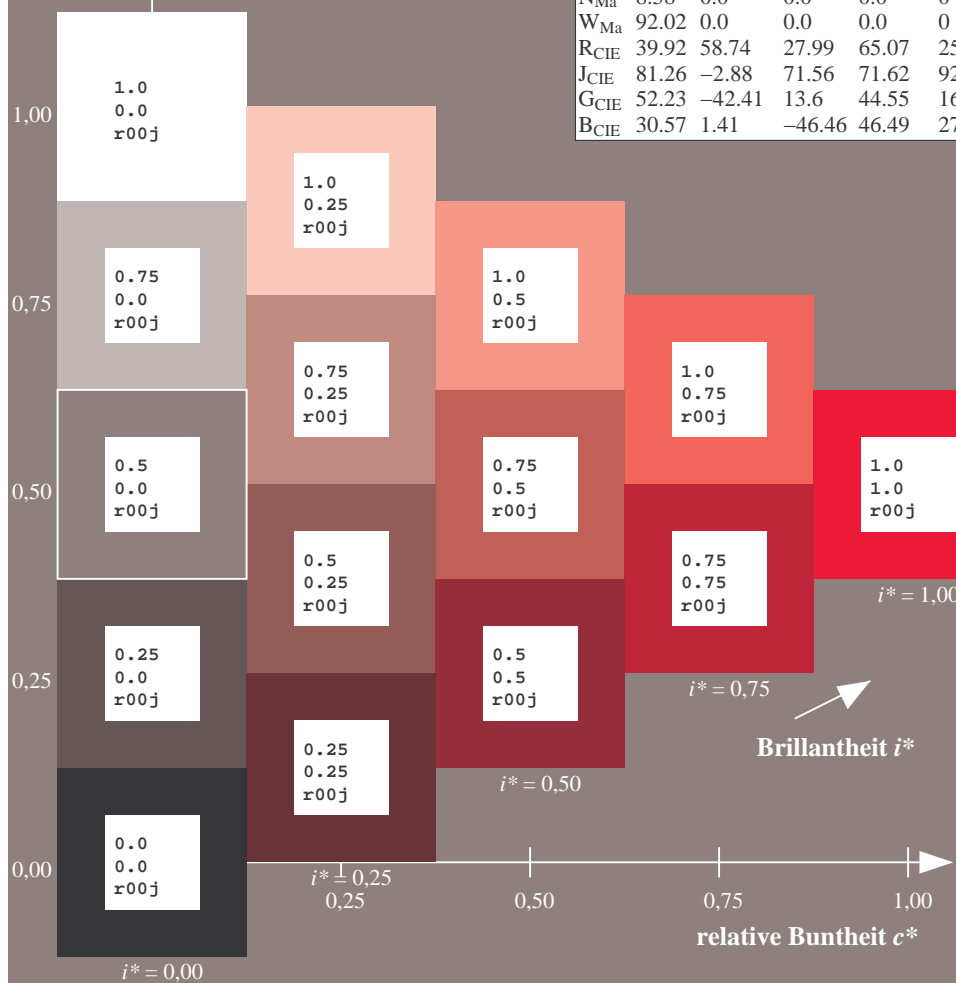
$u^*_{rel} = 109$

%Regularität

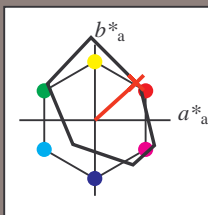
$g^*_{H,rel} = 31$

$g^*_{C,rel} = 40$

FRS09_92aM; adaptierte CIELAB-Daten					
	$L^*=L_a^*$	a_a^*	b_a^*	$C^*_{ab,a}$	$h^*_{ab,a}$
r00j	35.47	63.32	30.17	70.15	25
r25j	39.12	54.56	49.45	73.64	42
r50j	50.64	39.15	64.89	75.79	59
r75j	64.01	21.26	82.83	85.52	76
j00g	83.18	-4.37	108.53	108.62	92
j25g	66.73	-29.88	83.06	88.28	110
j50g	54.03	-48.3	63.49	79.78	127
j75g	44.73	-60.32	42.64	73.88	145
g00b	47.59	-49.07	15.74	51.54	162
g25b	49.97	-39.69	-6.71	40.27	190
g50b	51.85	-32.32	-24.34	40.48	217
g75b	46.92	-17.28	-36.01	39.96	244
b00r	37.91	1.28	-42.34	42.37	272
b25r	23.81	30.38	-52.25	60.45	300
b50r	29.52	69.06	-42.13	80.9	329
b75r	36.48	71.47	-3.68	71.57	357



Ein und Ausgabe: Farbmetrisches Drucker-Reflektiv-System FRS09_92aM für relativen CIELAB-Buntton $h^* = lab^*h^* = h_{ab}/360 = 42/360 = 0.117$ $u^* = r25j$
Daten für jede Farbe:
 lab^*ch^* und lab^*icu^*
Elementar-Bunttontext:
 $u^* = r25j$
Kontrastreduzierungsfaktor:
 $c_R = 1.0$
Dreiecks-Helligkeit i^*



FRS09_92aM; adaptierte CIELAB-Daten					
	$L^*=L^*_a$	a^*_a	b^*_a	$C^*_{ab,a}$	$h^*_{ab,a}$
O _{Ma}	35.06	60.0	44.0	74.4	36
Y _{Ma}	83.77	-5.16	109.32	109.44	93
L _{Ma}	44.13	-62.66	48.24	79.09	142
C _{Ma}	52.66	-29.13	-31.98	43.27	228
V _{Ma}	14.15	50.3	-59.03	77.57	310
M _{Ma}	37.37	78.64	-33.49	85.48	337
N _{Ma}	8.58	0.0	0.0	0.0	0
W _{Ma}	92.02	0.0	0.0	0.0	0
R _{CIE}	39.92	58.74	27.99	65.07	25
J _{CIE}	81.26	-2.88	71.56	71.62	92
G _{CIE}	52.23	-42.41	13.6	44.55	162
B _{CIE}	30.57	1.41	-46.46	46.49	272

Daten für Maximalfarbe (Ma):

$LAB^*LAB^*_{Ma}$: 39 55 49

$LAB^*LCH^*_{Ma}$: 39 74 42

$lab^*rgb^*_{Ma}$: 1.0 0.25 0.0

$lab^*olv^*_{Ma}$: 1.0 0.08 0.0

Dreiecks-Helligkeit i^*

%Umfang

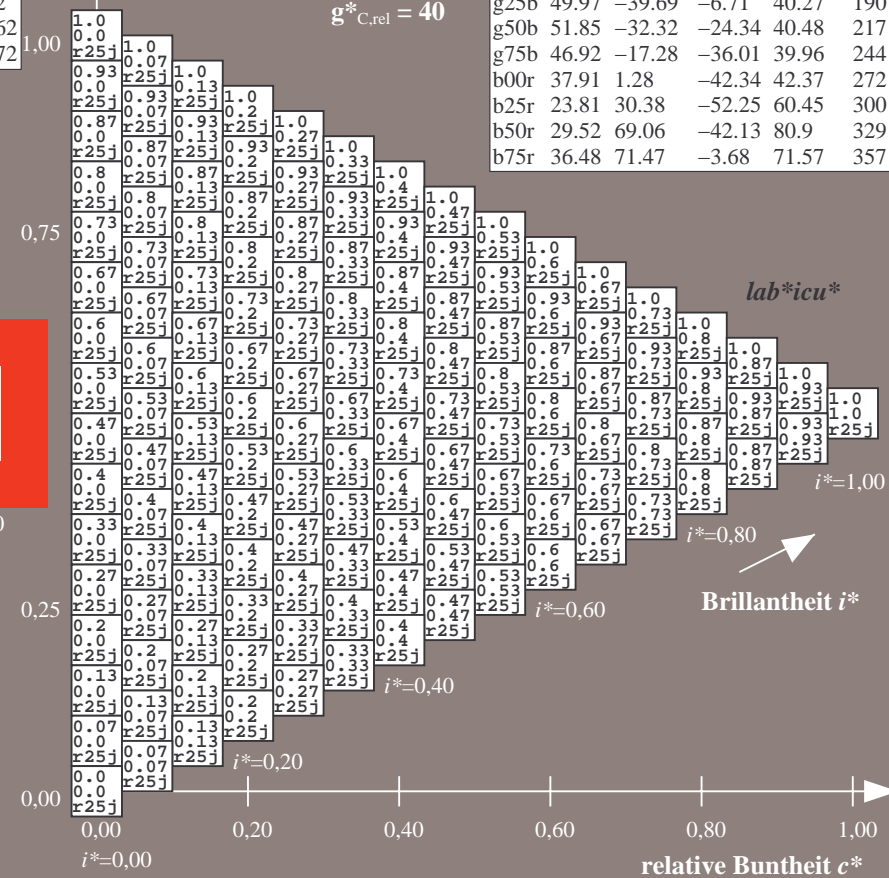
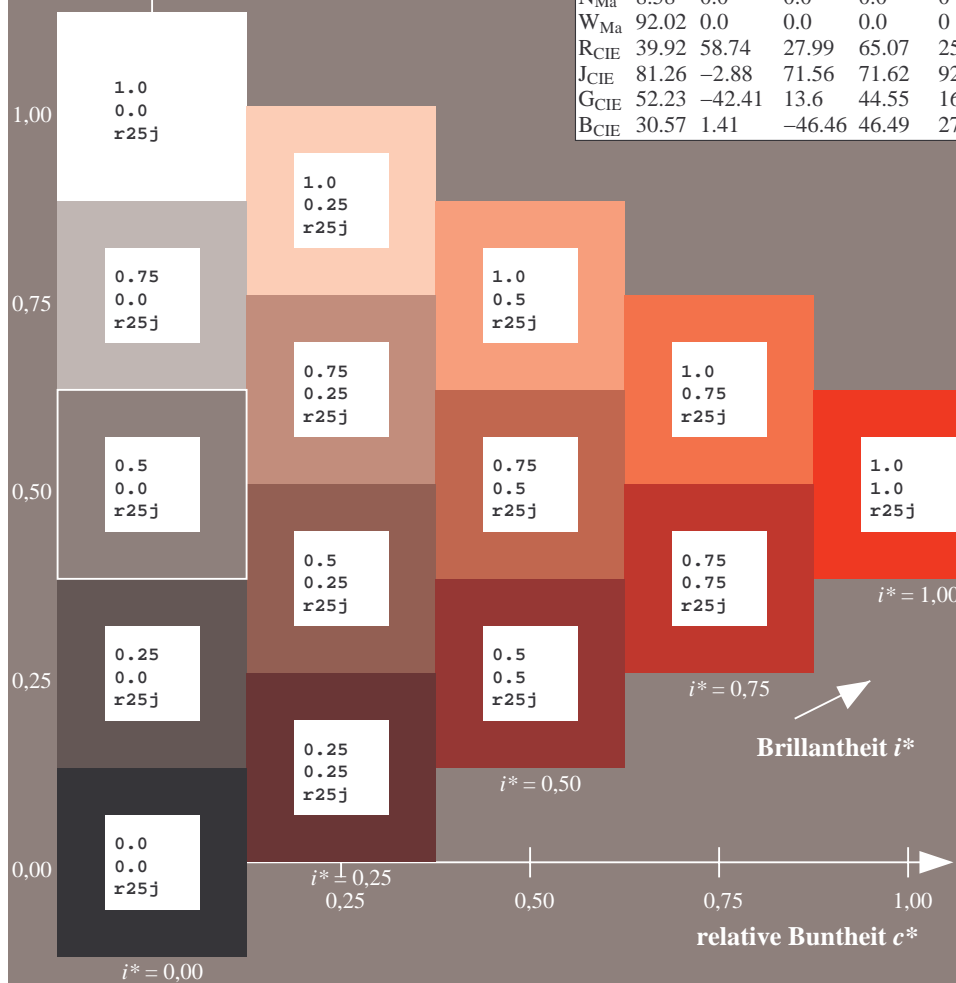
$u^*_{rel} = 109$

%Regularität

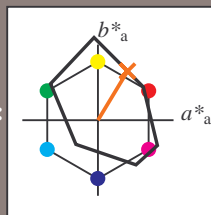
$g^*_{H,rel} = 31$

$g^*_{C,rel} = 40$

FRS09_92aM; adaptierte CIELAB-Daten					
	$L^*=L^*_a$	a^*_a	b^*_a	$C^*_{ab,a}$	$h^*_{ab,a}$
r00j	35.47	63.32	30.17	70.15	25
r25j	39.12	54.56	49.45	73.64	42
r50j	50.64	39.15	64.89	75.79	59
r75j	64.01	21.26	82.83	85.52	76
j00g	83.18	-4.37	108.53	108.62	92
j25g	66.73	-29.88	83.06	88.28	110
j50g	54.03	-48.3	63.49	79.78	127
j75g	44.73	-60.32	42.64	73.88	145
g00b	47.59	-49.07	15.74	51.54	162
g25b	49.97	-39.69	-6.71	40.27	190
g50b	51.85	-32.32	-24.34	40.48	217
g75b	46.92	-17.28	-36.01	39.96	244
b00r	37.91	1.28	-42.34	42.37	272
b25r	23.81	30.38	-52.25	60.45	300
b50r	29.52	69.06	-42.13	80.9	329
b75r	36.48	71.47	-3.68	71.57	357



Ein und Ausgabe: Farbmetrisches Drucker-Reflektiv-System FRS09_92aM für relativen CIELAB-Buntton $h^* = lab^*h^* = h_{ab}/360 = 59/360 = 0.164$ $u^* = r50j$
Daten für jede Farbe:
 lab^*tch^* und lab^*icu^*
Elementar-Bunttontext:
 $u^* = r50j$
Kontrastreduzierungsfaktor:
 $c_R = 1.0$
Dreiecks-Helligkeit t^*



FRS09_92aM; adaptierte CIELAB-Daten					
	$L^*=L_a^*$	a_a^*	b_a^*	$C^*_{ab,a}$	$h^*_{ab,a}$
O _{Ma}	35.06	60.0	44.0	74.4	36
Y _{Ma}	83.77	-5.16	109.32	109.44	93
L _{Ma}	44.13	-62.66	48.24	79.09	142
C _{Ma}	52.66	-29.13	-31.98	43.27	228
V _{Ma}	14.15	50.3	-59.03	77.57	310
M _{Ma}	37.37	78.64	-33.49	85.48	337
N _{Ma}	8.58	0.0	0.0	0.0	0
W _{Ma}	92.02	0.0	0.0	0.0	0
R _{CIE}	39.92	58.74	27.99	65.07	25
J _{CIE}	81.26	-2.88	71.56	71.62	92
G _{CIE}	52.23	-42.41	13.6	44.55	162
B _{CIE}	30.57	1.41	-46.46	46.49	272

Daten für Maximalfarbe (Ma):

$LAB^*LAB^*_{Ma}$: 51 39 65

$LAB^*LCH^*_{Ma}$: 51 76 59

$lab^*rgb^*_{Ma}$: 1.0 0.5 0.0

$lab^*olv^*_{Ma}$: 1.0 0.32 0.0

Dreiecks-Helligkeit t^*

%Umfang

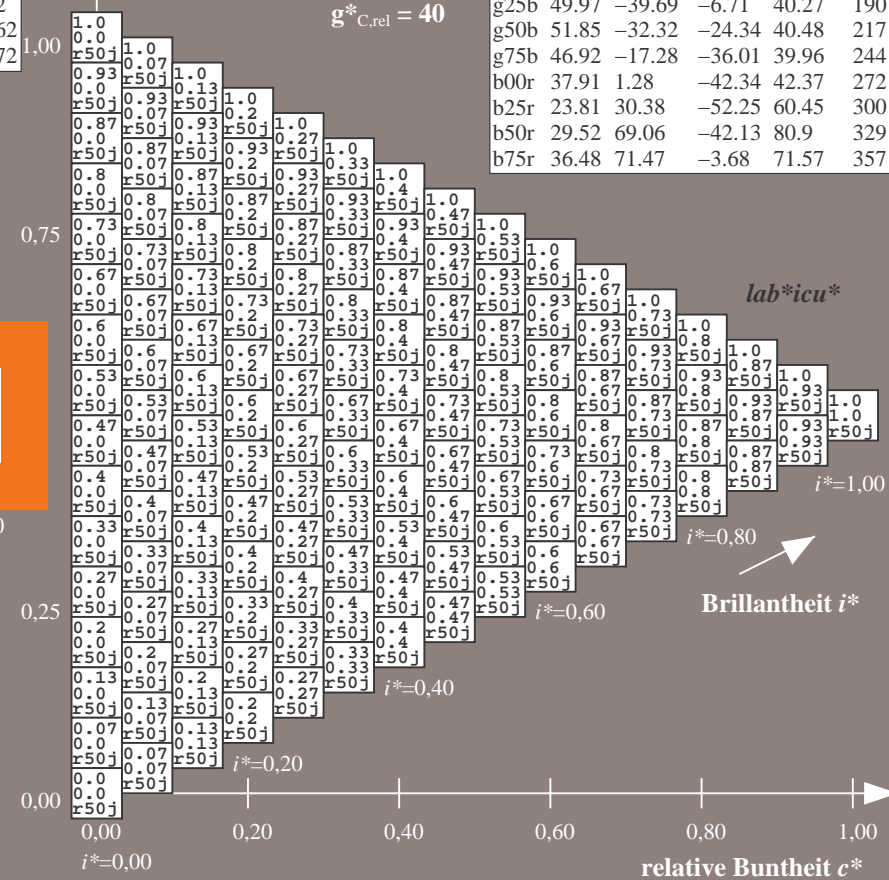
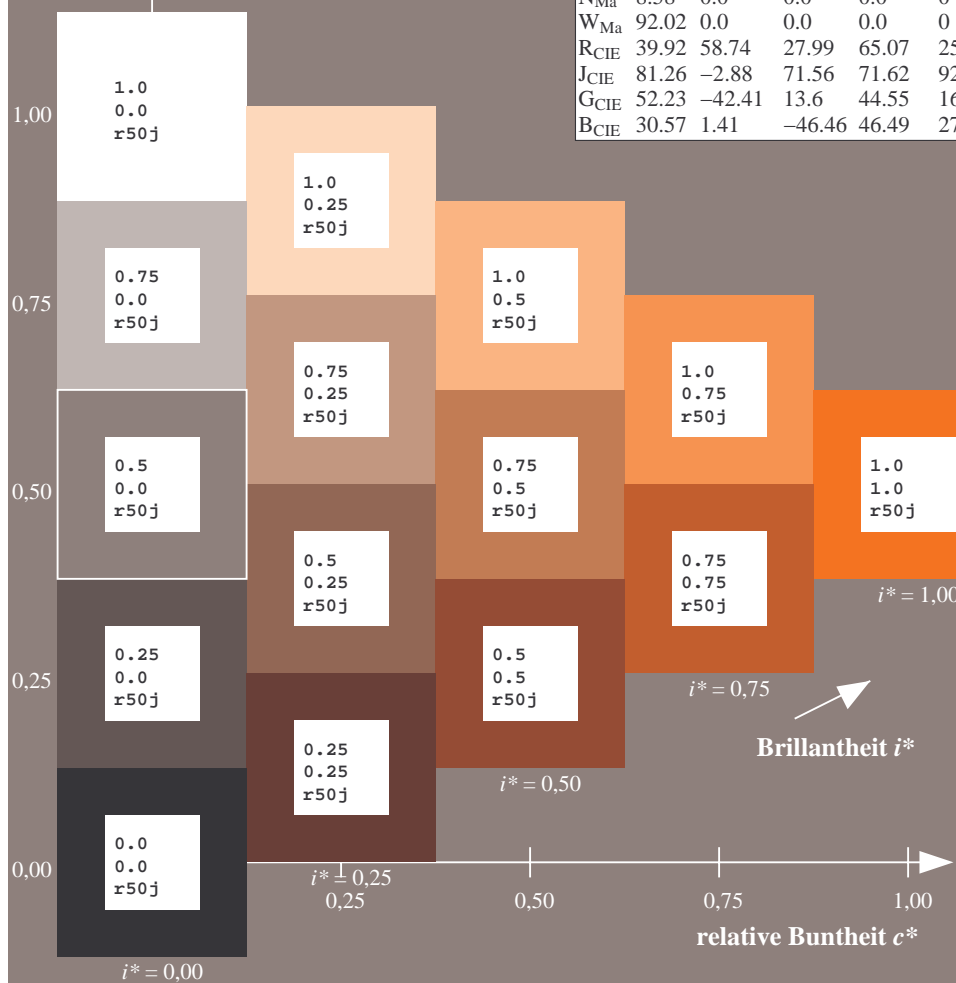
$u^*_{rel} = 109$

%Regularität

$g^*_{H,rel} = 31$

$g^*_{C,rel} = 40$

FRS09_92aM; adaptierte CIELAB-Daten					
	$L^*=L_a^*$	a_a^*	b_a^*	$C^*_{ab,a}$	$h^*_{ab,a}$
r00j	35.47	63.32	30.17	70.15	25
r25j	39.12	54.56	49.45	73.64	42
r50j	50.64	39.15	64.89	75.79	59
r75j	64.01	21.26	82.83	85.52	76
j00g	83.18	-4.37	108.53	108.62	92
j25g	66.73	-29.88	83.06	88.28	110
j50g	54.03	-48.3	63.49	79.78	127
j75g	44.73	-60.32	42.64	73.88	145
g00b	47.59	-49.07	15.74	51.54	162
g25b	49.97	-39.69	-6.71	40.27	190
g50b	51.85	-32.32	-24.34	40.48	217
g75b	46.92	-17.28	-36.01	39.96	244
b00r	37.91	1.28	-42.34	42.37	272
b25r	23.81	30.38	-52.25	60.45	300
b50r	29.52	69.06	-42.13	80.9	329
b75r	36.48	71.47	-3.68	71.57	357



Ein und Ausgabe: Farbmétrisches Drucker-Reflektiv-System FRS09_92aM für relativen CIELAB-Buntton $h^* = lab^*h^* = h_{ab}/360 = 76/360 = 0.21$

Daten für jede Farbe:

*lab*tch** und *lab*icu**

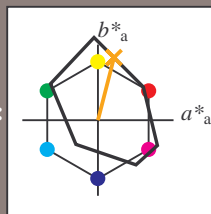
Elementar-Bunttontext:

$$u^* = r75j$$

Kontrastreduzierungsfaktor:

$$c_{\mathbf{P}} = 1.0$$

K Dreiecks-Helligkeit t^*



FRS09_92aM; adaptierte CIELAB-Daten					
	L^*_a	a^*_a	b^*_a	$C^*_{ab,a}$	$h^*_{ab,a}$
O _{Ma}	35.06	60.0	44.0	74.4	36
Y _{Ma}	83.77	-5.16	109.32	109.44	93
L _{Ma}	44.13	-62.66	48.24	79.09	142
C _{Ma}	52.66	-29.13	-31.98	43.27	228
V _{Ma}	14.15	50.3	-59.03	77.57	310
M _{Ma}	37.37	78.64	-33.49	85.48	337
N _{Ma}	8.58	0.0	0.0	0.0	0
W _{Ma}	92.02	0.0	0.0	0.0	0
R _{CIE}	39.92	58.74	27.99	65.07	25
J _{CIE}	81.26	-2.88	71.56	71.62	92
G _{CIE}	52.23	-42.41	13.6	44.55	162
B _{CIE}	30.57	1.41	-46.46	46.49	272

Daten für Maximalfarbe (Ma):

*LAB*LAB*Me*: 64 21 83

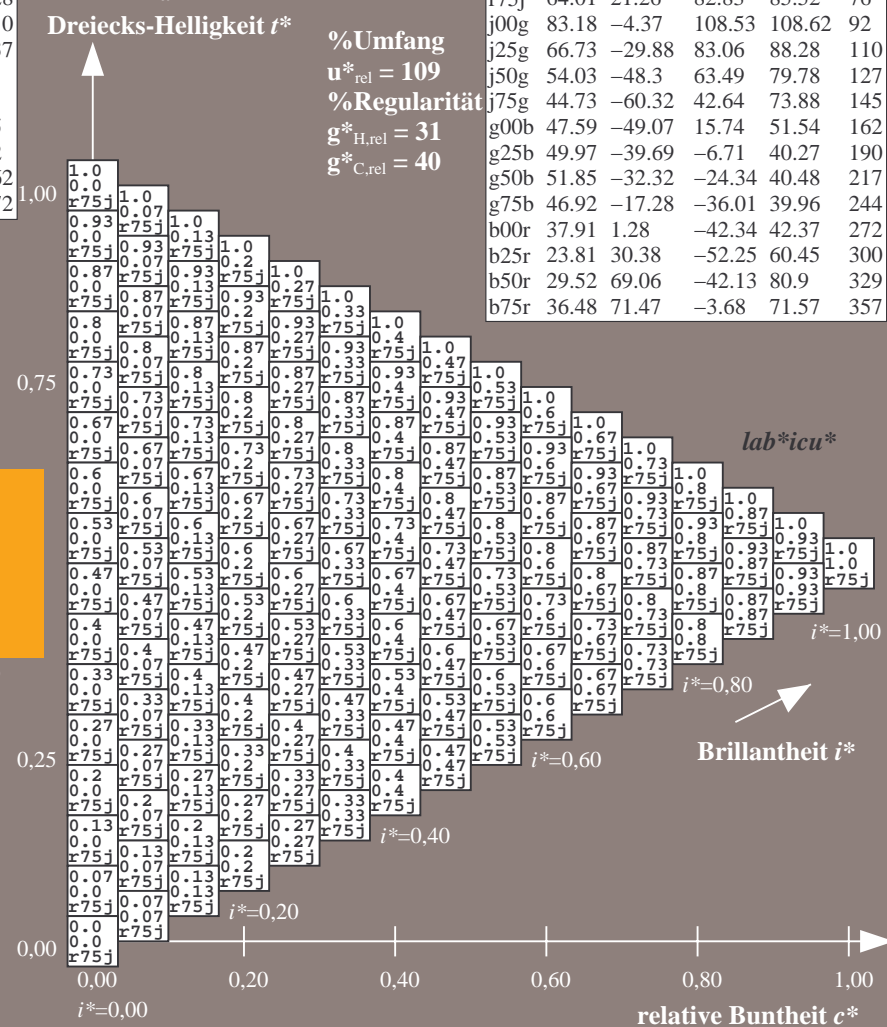
LAD*LCII* 64 86 50

LABLCH**Ma: 64 86 76**

***lab*rgb*_{Ma}: 1.0 0.75 0.0**

***lab*olv**Ma: 1.0 0.59 0.0**

Dreiecks-Helligkeit t^*



*lab*icu**

$$i^*=1,00$$

Brillantheit i*

relative Buntheit c^*

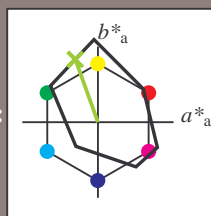
BAM-Prüfvorlage Dg92; Farbmatrik-Systeme, Seite 113/180
Farbreihen, 8 Datentabellen für 16 Bunntöne *r00j* bis *b75r*

Eingabe: 000n / w / nnn0 / www set...
Ausgabe: ->cmyn5* setcmykcolor

BAM-Registrierung: 20080701-Dg92/10L/L92G00NP.PS/.PDF BAM-Material: Code=rha4ta
Anwendung für Beurteilung und Messung von Drucker- oder Monitorsystemen

Siehe ähnliche Dateien: <http://www.ps.bam.de/Dg92/>; www.ps.bam.de/Dg.HTM
Technische Information: [http://www.ps.bam.de/Version 2.1, io=1,1, CoISpx=0](http://www.ps.bam.de/Version%202.1_io=1,1_CoISpx=0)

Ein und Ausgabe: Farbmetrisches Drucker-Reflektiv-System FRS09_92aM für relativen CIELAB-Buntton $h^* = lab^*h^* = h_{ab}/360 = 110/360 = 0.305$ $u^* = j25g$
Daten für jede Farbe:
 lab^*ch^* und lab^*icu^*
Elementar-Bunttontext:
 $u^* = j25g$
Kontrastreduzierungsfaktor:
 $c_R = 1.0$
Dreiecks-Helligkeit i^*



FRS09_92aM; adaptierte CIELAB-Daten					
	$L^*=L_a^*$	a_a^*	b_a^*	$C_{ab,a}^*$	$h_{ab,a}^*$
O _{Ma}	35.06	60.0	44.0	74.4	36
Y _{Ma}	83.77	-5.16	109.32	109.44	93
L _{Ma}	44.13	-62.66	48.24	79.09	142
C _{Ma}	52.66	-29.13	-31.98	43.27	228
V _{Ma}	14.15	50.3	-59.03	77.57	310
M _{Ma}	37.37	78.64	-33.49	85.48	337
N _{Ma}	8.58	0.0	0.0	0.0	0
W _{Ma}	92.02	0.0	0.0	0.0	0
R _{CIE}	39.92	58.74	27.99	65.07	25
J _{CIE}	81.26	-2.88	71.56	71.62	92
G _{CIE}	52.23	-42.41	13.6	44.55	162
B _{CIE}	30.57	1.41	-46.46	46.49	272

Daten für Maximalfarbe (Ma):

$LAB^*LAB^*_{Ma}$: 67 -29 83

$LAB^*LCH^*_{Ma}$: 67 88 110

$lab^*rgb^*_{Ma}$: 0.75 1.0 0.0

$lab^*olv^*_{Ma}$: 0.57 1.0 0.0

Dreiecks-Helligkeit i^*

%Umfang

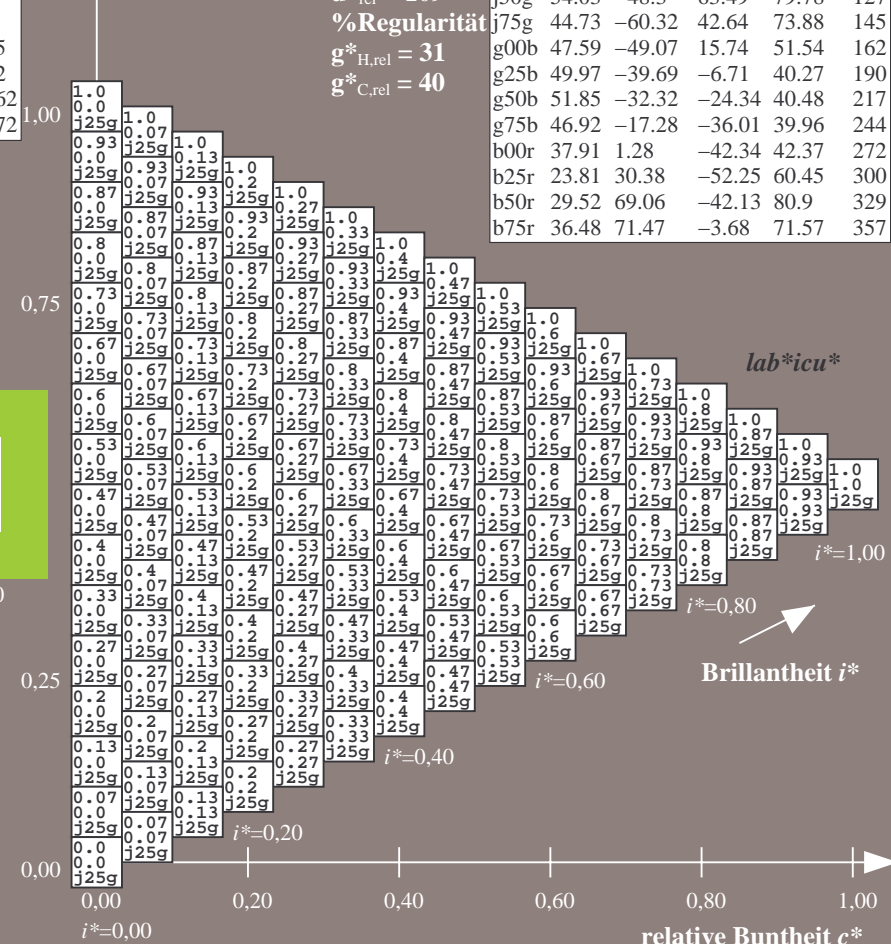
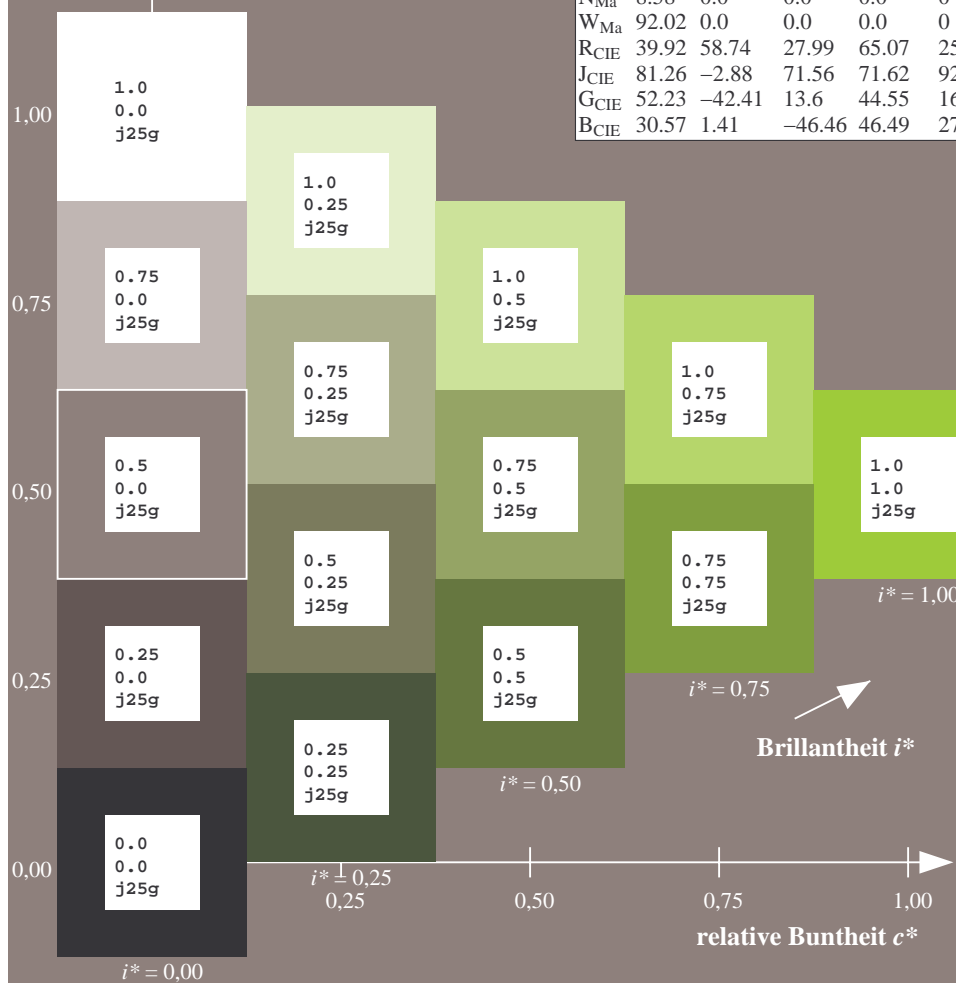
$u^*_{rel} = 109$

%Regularität

$g^*_{H,rel} = 31$

$g^*_{C,rel} = 40$

FRS09_92aM; adaptierte CIELAB-Daten					
	$L^*=L_a^*$	a_a^*	b_a^*	$C_{ab,a}^*$	$h_{ab,a}^*$
r00j	35.47	63.32	30.17	70.15	25
r25j	39.12	54.56	49.45	73.64	42
r50j	50.64	39.15	64.89	75.79	59
r75j	64.01	21.26	82.83	85.52	76
j00g	83.18	-4.37	108.53	108.62	92
j25g	66.73	-29.88	83.06	88.28	110
j50g	54.03	-48.3	63.49	79.78	127
j75g	44.73	-60.32	42.64	73.88	145
g00b	47.59	-49.07	15.74	51.54	162
g25b	49.97	-39.69	-6.71	40.27	190
g50b	51.85	-32.32	-24.34	40.48	217
g75b	46.92	-17.28	-36.01	39.96	244
b00r	37.91	1.28	-42.34	42.37	272
b25r	23.81	30.38	-52.25	60.45	300
b50r	29.52	69.06	-42.13	80.9	329
b75r	36.48	71.47	-3.68	71.57	357



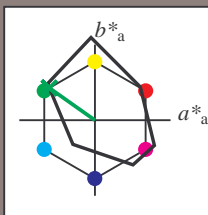
Dreiecks-Helligkeit t^*



0/5f	36.48	71.47	-3.68	71.57	357
------	-------	-------	-------	-------	-----



Ein und Ausgabe: Farbmetrisches Drucker-Reflektiv-System FRS09_92aM für relativen CIELAB-Buntton $h^* = lab^*h^* = h_{ab}/360 = 145/360 = 0.402$ $u^* = j75g$
Daten für jede Farbe:
 lab^*ch^* und lab^*icu^*
Elementar-Bunttontext:
 $u^* = j75g$
Kontrastreduzierungsfaktor:
 $c_R = 1.0$
Dreiecks-Helligkeit i^*



FRS09_92aM; adaptierte CIELAB-Daten					
	$L^*=L^*_a$	a^*_a	b^*_a	$C^*_{ab,a}$	$h^*_{ab,a}$
O _{Ma}	35.06	60.0	44.0	74.4	36
Y _{Ma}	83.77	-5.16	109.32	109.44	93
L _{Ma}	44.13	-62.66	48.24	79.09	142
C _{Ma}	52.66	-29.13	-31.98	43.27	228
V _{Ma}	14.15	50.3	-59.03	77.57	310
M _{Ma}	37.37	78.64	-33.49	85.48	337
N _{Ma}	8.58	0.0	0.0	0.0	0
W _{Ma}	92.02	0.0	0.0	0.0	0
R _{CIE}	39.92	58.74	27.99	65.07	25
J _{CIE}	81.26	-2.88	71.56	71.62	92
G _{CIE}	52.23	-42.41	13.6	44.55	162
B _{CIE}	30.57	1.41	-46.46	46.49	272

Daten für Maximalfarbe (Ma):

$LAB^*LAB^*_{Ma}$: 45 -59 43

$LAB^*LCH^*_{Ma}$: 45 74 145

$lab^*rgb^*_{Ma}$: 0.25 1.0 0.0

$lab^*olv^*_{Ma}$: 0.0 1.0 0.07

Dreiecks-Helligkeit i^*

%Umfang

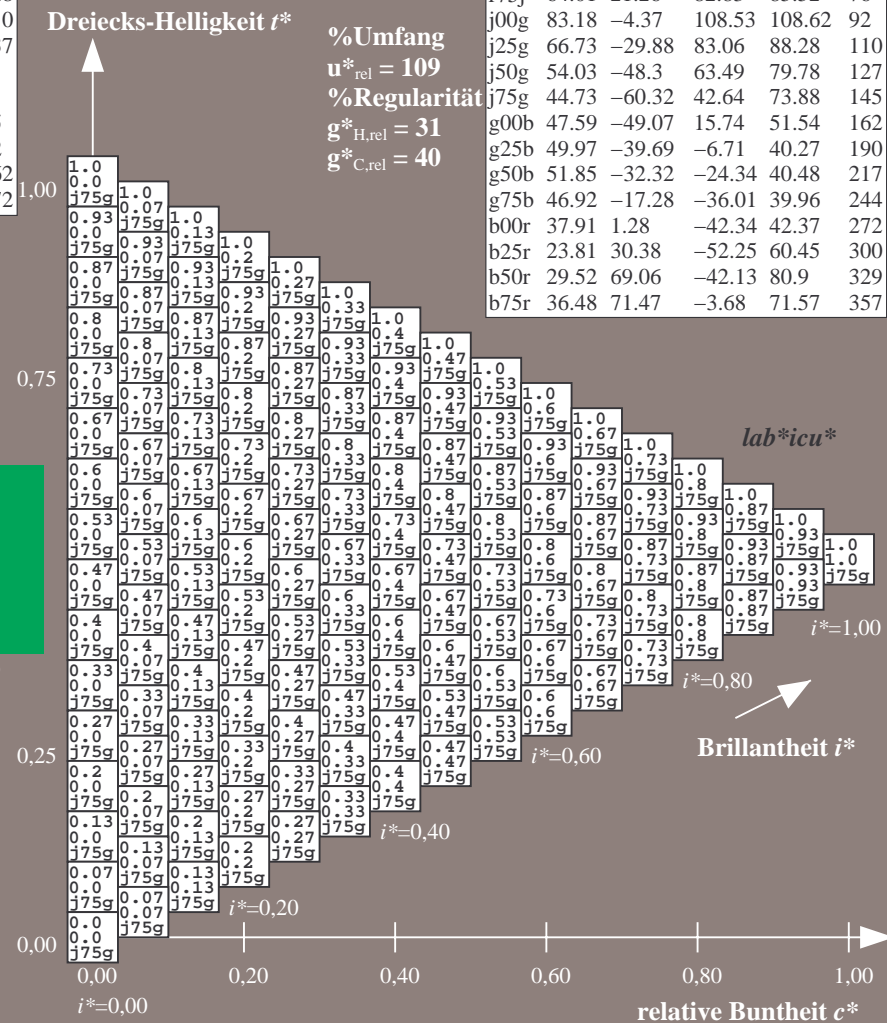
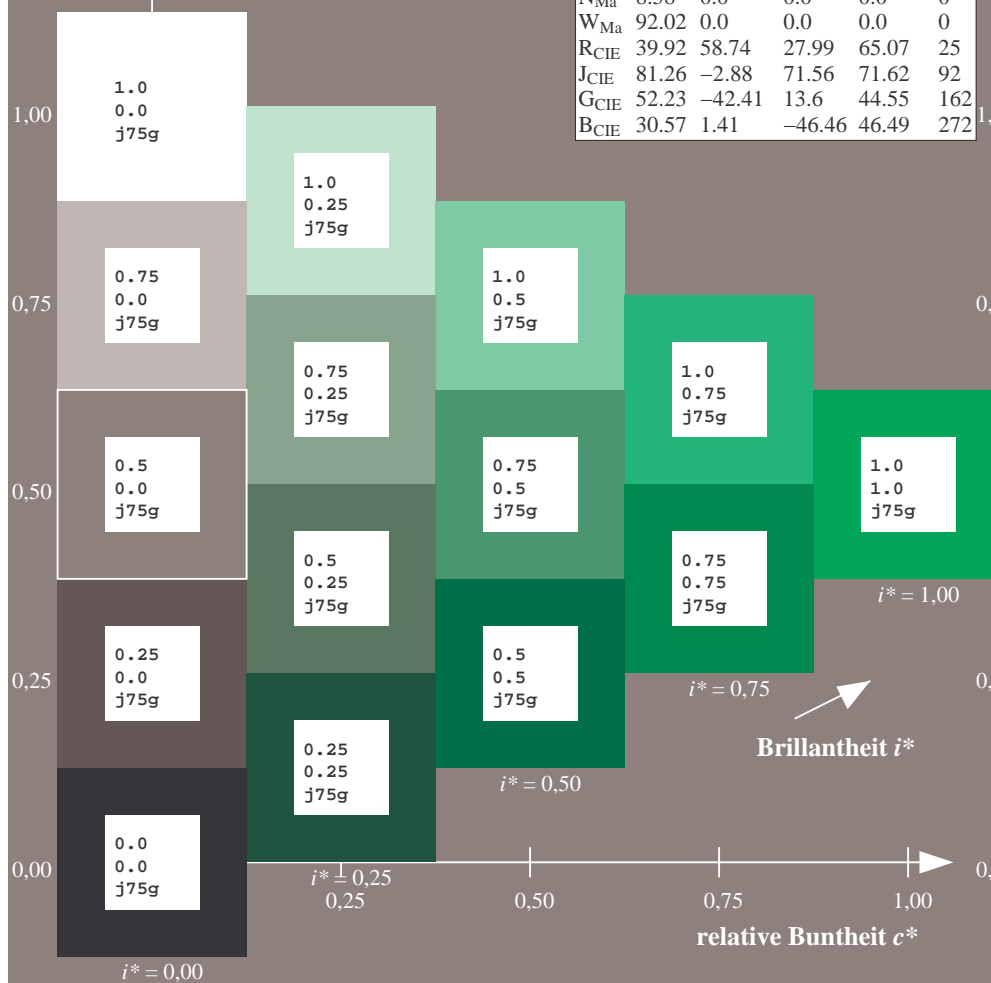
$u^*_{rel} = 109$

%Regularität

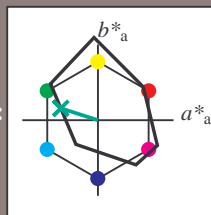
$g^*_{H,rel} = 31$

$g^*_{C,rel} = 40$

FRS09_92aM; adaptierte CIELAB-Daten					
	$L^*=L^*_a$	a^*_a	b^*_a	$C^*_{ab,a}$	$h^*_{ab,a}$
r00j	35.47	63.32	30.17	70.15	25
r25j	39.12	54.56	49.45	73.64	42
r50j	50.64	39.15	64.89	75.79	59
r75j	64.01	21.26	82.83	85.52	76
j00g	83.18	-4.37	108.53	108.62	92
j25g	66.73	-29.88	83.06	88.28	110
j50g	54.03	-48.3	63.49	79.78	127
j75g	44.73	-60.32	42.64	73.88	145
g00b	47.59	-49.07	15.74	51.54	162
g25b	49.97	-39.69	-6.71	40.27	190
g50b	51.85	-32.32	-24.34	40.48	217
g75b	46.92	-17.28	-36.01	39.96	244
b00r	37.91	1.28	-42.34	42.37	272
b25r	23.81	30.38	-52.25	60.45	300
b50r	29.52	69.06	-42.13	80.9	329
b75r	36.48	71.47	-3.68	71.57	357



Ein und Ausgabe: Farbmetrisches Drucker-Reflektiv-System FRS09_92aM für relativen CIELAB-Buntton $h^* = lab^*h^* = h_{ab}/360 = 162/360 = 0.451$ $u^* = g00b$
Daten für jede Farbe:
 lab^*ch^* und lab^*icu^*
Elementar-Bunttontext:
 $u^* = g00b$
Kontrastreduzierungsfaktor:
 $c_R = 1.0$
Dreiecks-Helligkeit i^*



FRS09_92aM; adaptierte CIELAB-Daten					
	$L^*=L^*_a$	a^*_a	b^*_a	$C^*_{ab,a}$	$h^*_{ab,a}$
O _{Ma}	35.06	60.0	44.0	74.4	36
Y _{Ma}	83.77	-5.16	109.32	109.44	93
L _{Ma}	44.13	-62.66	48.24	79.09	142
C _{Ma}	52.66	-29.13	-31.98	43.27	228
V _{Ma}	14.15	50.3	-59.03	77.57	310
M _{Ma}	37.37	78.64	-33.49	85.48	337
N _{Ma}	8.58	0.0	0.0	0.0	0
W _{Ma}	92.02	0.0	0.0	0.0	0
R _{CIE}	39.92	58.74	27.99	65.07	25
J _{CIE}	81.26	-2.88	71.56	71.62	92
G _{CIE}	52.23	-42.41	13.6	44.55	162
B _{CIE}	30.57	1.41	-46.46	46.49	272

Daten für Maximalfarbe (Ma):

$LAB^*LAB^*_{Ma}$: 48 -48 16

$LAB^*LCH^*_{Ma}$: 48 52 162

$lab^*rgb^*_{Ma}$: 0.0 1.0 0.0

$lab^*olv^*_{Ma}$: 0.0 1.0 0.41

Dreiecks-Helligkeit i^*

%Umfang

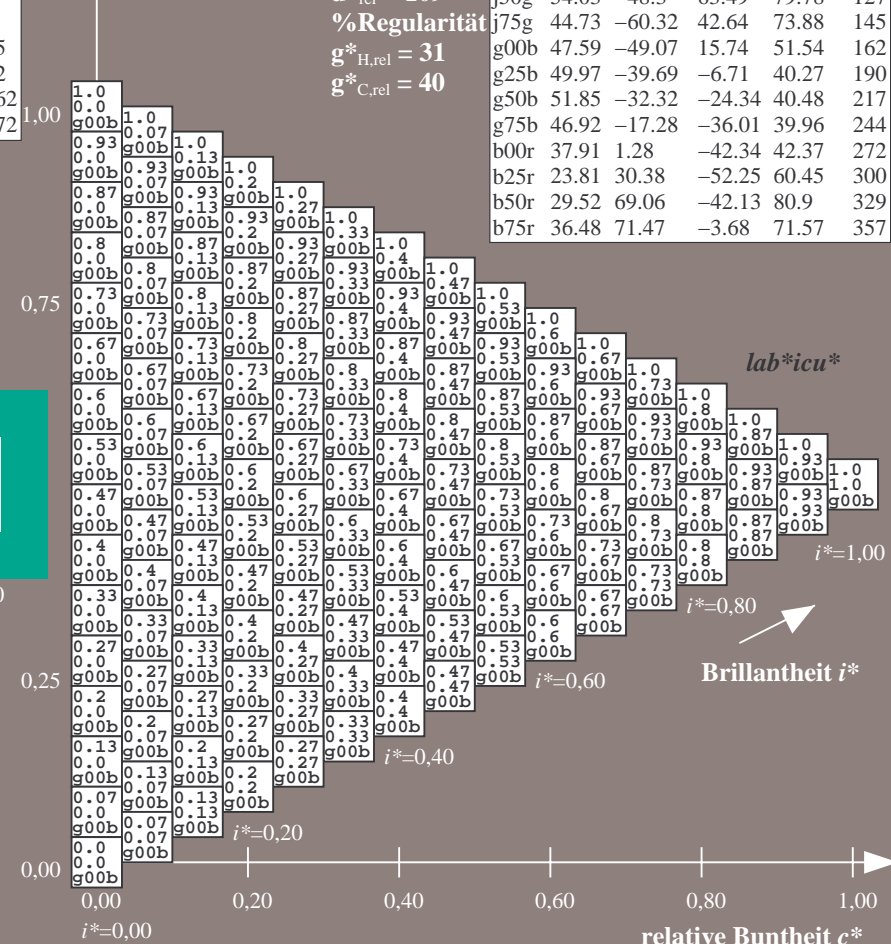
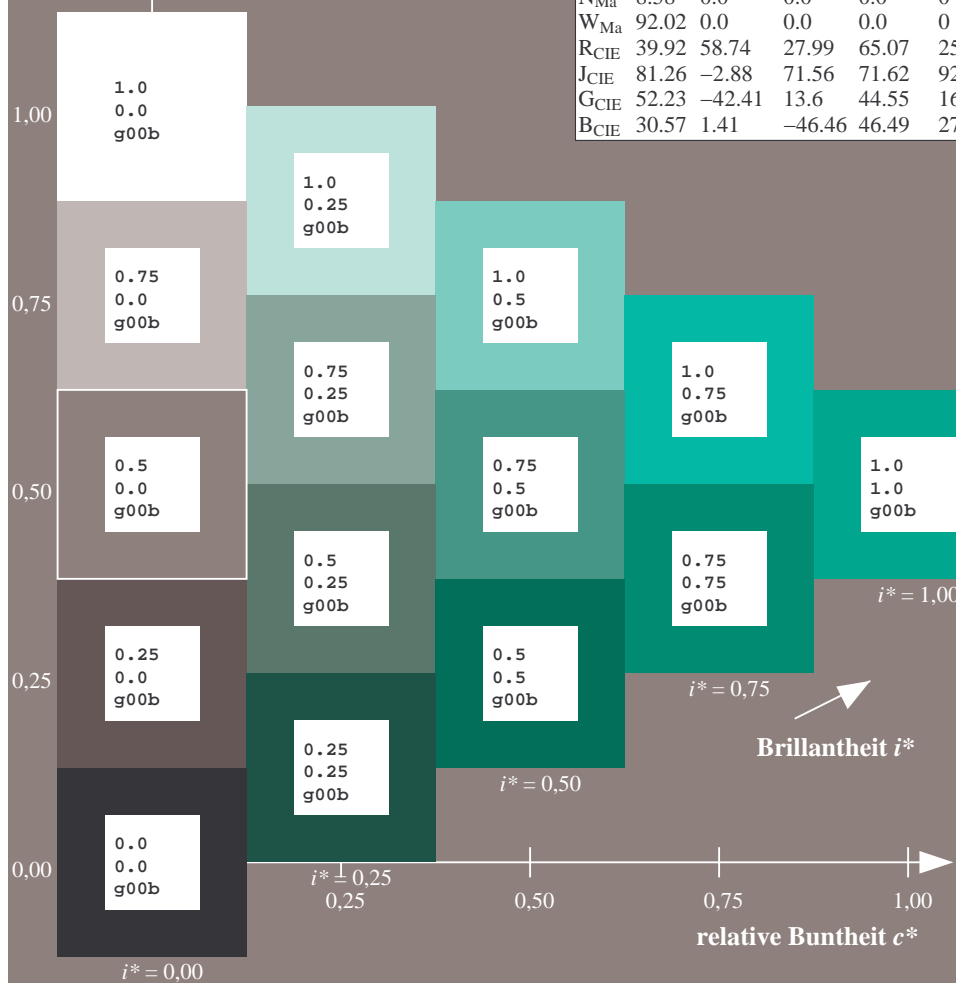
$u^*_{rel} = 109$

%Regularität

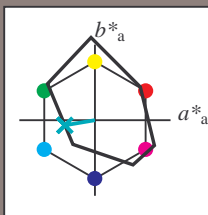
$g^*_{H,rel} = 31$

$g^*_{C,rel} = 40$

FRS09_92aM; adaptierte CIELAB-Daten					
	$L^*=L^*_a$	a^*_a	b^*_a	$C^*_{ab,a}$	$h^*_{ab,a}$
r00j	35.47	63.32	30.17	70.15	25
r25j	39.12	54.56	49.45	73.64	42
r50j	50.64	39.15	64.89	75.79	59
r75j	64.01	21.26	82.83	85.52	76
j00g	83.18	-4.37	108.53	108.62	92
j25g	66.73	-29.88	83.06	88.28	110
j50g	54.03	-48.3	63.49	79.78	127
j75g	44.73	-60.32	42.64	73.88	145
g00b	47.59	-49.07	15.74	51.54	162
g25b	49.97	-39.69	-6.71	40.27	190
g50b	51.85	-32.32	-24.34	40.48	217
g75b	46.92	-17.28	-36.01	39.96	244
b00r	37.91	1.28	-42.34	42.37	272
b25r	23.81	30.38	-52.25	60.45	300
b50r	29.52	69.06	-42.13	80.9	329
b75r	36.48	71.47	-3.68	71.57	357



Ein und Ausgabe: Farbmetrisches Drucker-Reflektiv-System FRS09_92aM für relativen CIELAB-Buntton $h^* = lab^*h^* = h_{ab}/360 = 190/360 = 0.527$ $u^* = g25b$
Daten für jede Farbe:
 lab^*ch^* und lab^*icu^*
Elementar-Bunttontext:
 $u^* = g25b$
Kontrastreduzierungsfaktor:
 $c_R = 1.0$
Dreiecks-Helligkeit i^*



FRS09_92aM; adaptierte CIELAB-Daten					
	$L^*=L_a^*$	a_a^*	b_a^*	$C^*_{ab,a}$	$h^*_{ab,a}$
O _{Ma}	35.06	60.0	44.0	74.4	36
Y _{Ma}	83.77	-5.16	109.32	109.44	93
L _{Ma}	44.13	-62.66	48.24	79.09	142
C _{Ma}	52.66	-29.13	-31.98	43.27	228
V _{Ma}	14.15	50.3	-59.03	77.57	310
M _{Ma}	37.37	78.64	-33.49	85.48	337
N _{Ma}	8.58	0.0	0.0	0.0	0
W _{Ma}	92.02	0.0	0.0	0.0	0
R _{CIE}	39.92	58.74	27.99	65.07	25
J _{CIE}	81.26	-2.88	71.56	71.62	92
G _{CIE}	52.23	-42.41	13.6	44.55	162
B _{CIE}	30.57	1.41	-46.46	46.49	272

Daten für Maximalfarbe (Ma):

$LAB^*LAB^*_{Ma}$: 50 -39 -6

$LAB^*LCH^*_{Ma}$: 50 40 190

$lab^*rgb^*_{Ma}$: 0.0 1.0 0.5

$lab^*olv^*_{Ma}$: 0.0 1.0 0.69

Dreiecks-Helligkeit i^*

%Umfang

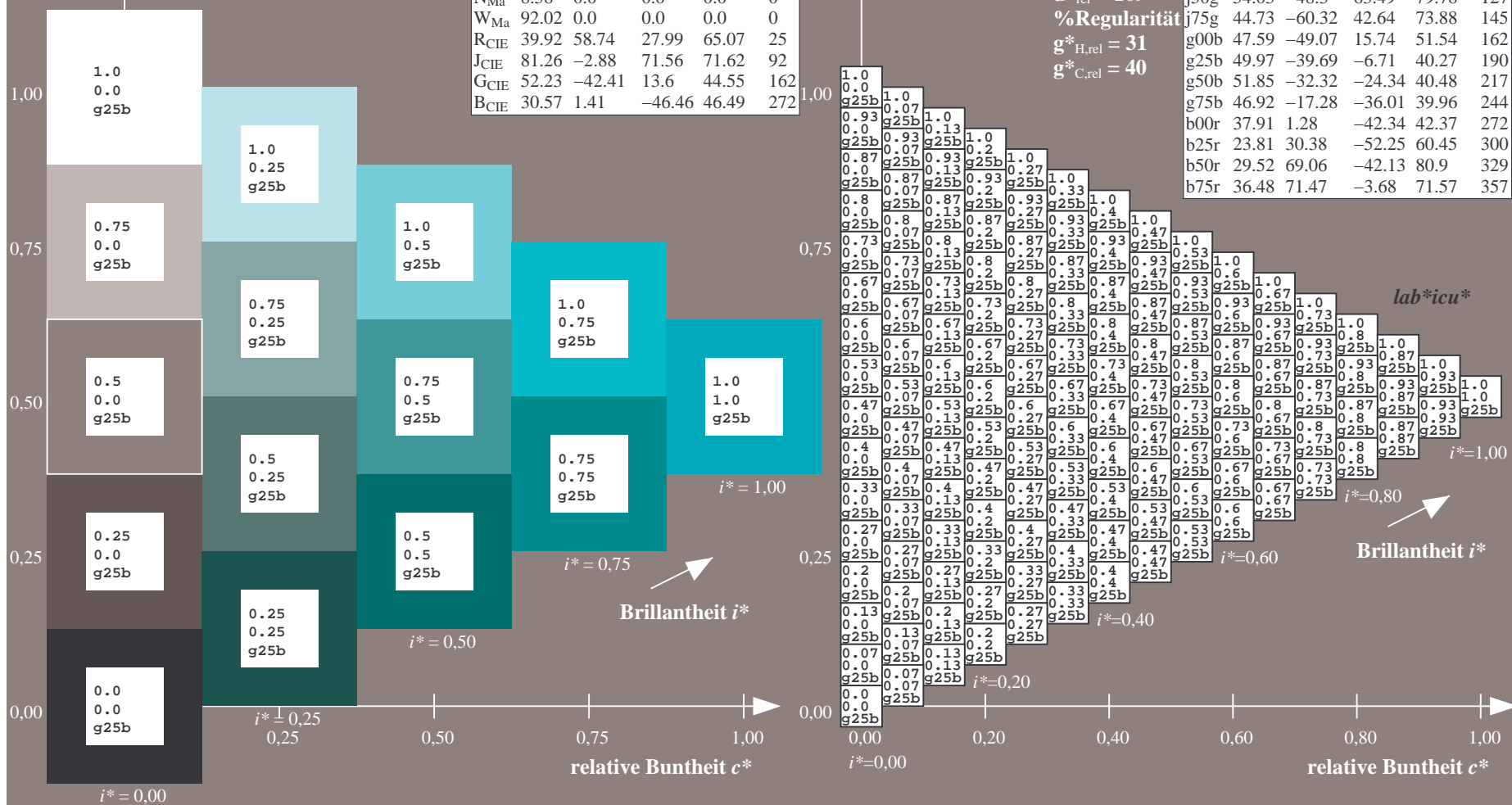
$u^*_{rel} = 109$

%Regularität

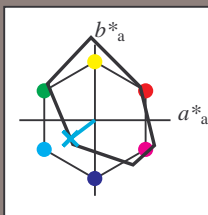
$g^*_{H,rel} = 31$

$g^*_{C,rel} = 40$

FRS09_92aM; adaptierte CIELAB-Daten					
	$L^*=L_a^*$	a_a^*	b_a^*	$C^*_{ab,a}$	$h^*_{ab,a}$
r00j	35.47	63.32	30.17	70.15	25
r25j	39.12	54.56	49.45	73.64	42
r50j	50.64	39.15	64.89	75.79	59
r75j	64.01	21.26	82.83	85.52	76
j00g	83.18	-4.37	108.53	108.62	92
j25g	66.73	-29.88	83.06	88.28	110
j50g	54.03	-48.3	63.49	79.78	127
j75g	44.73	-60.32	42.64	73.88	145
g00b	47.59	-49.07	15.74	51.54	162
g25b	49.97	-39.69	-6.71	40.27	190
g50b	51.85	-32.32	-24.34	40.48	217
g75b	46.92	-17.28	-36.01	39.96	244
b00r	37.91	1.28	-42.34	42.37	272
b25r	23.81	30.38	-52.25	60.45	300
b50r	29.52	69.06	-42.13	80.9	329
b75r	36.48	71.47	-3.68	71.57	357



Ein und Ausgabe: Farbmetrisches Drucker-Reflektiv-System FRS09_92aM für relativen CIELAB-Buntton $h^* = lab^*h^* = h_{ab}/360 = 217/360 = 0.603$ $u^* = g50b$
Daten für jede Farbe:
 lab^*ch^* und lab^*icu^*
Elementar-Bunttontext:
 $u^* = g50b$
Kontrastreduzierungsfaktor:
 $c_R = 1.0$
Dreiecks-Helligkeit i^*



FRS09_92aM; adaptierte CIELAB-Daten					
	$L^*=L^*_a$	a^*_a	b^*_a	$C^*_{ab,a}$	$h^*_{ab,a}$
O _{Ma}	35.06	60.0	44.0	74.4	36
Y _{Ma}	83.77	-5.16	109.32	109.44	93
L _{Ma}	44.13	-62.66	48.24	79.09	142
C _{Ma}	52.66	-29.13	-31.98	43.27	228
V _{Ma}	14.15	50.3	-59.03	77.57	310
M _{Ma}	37.37	78.64	-33.49	85.48	337
N _{Ma}	8.58	0.0	0.0	0.0	0
W _{Ma}	92.02	0.0	0.0	0.0	0
R _{CIE}	39.92	58.74	27.99	65.07	25
J _{CIE}	81.26	-2.88	71.56	71.62	92
G _{CIE}	52.23	-42.41	13.6	44.55	162
B _{CIE}	30.57	1.41	-46.46	46.49	272

Daten für Maximalfarbe (Ma):

$LAB^*LAB^*_{Ma}$: 52 -31 -23

$LAB^*LCH^*_{Ma}$: 52 40 217

$lab^*rgb^*_{Ma}$: 0.0 1.0 1.0

$lab^*olv^*_{Ma}$: 0.0 1.0 0.9

Dreiecks-Helligkeit i^*

%Umfang

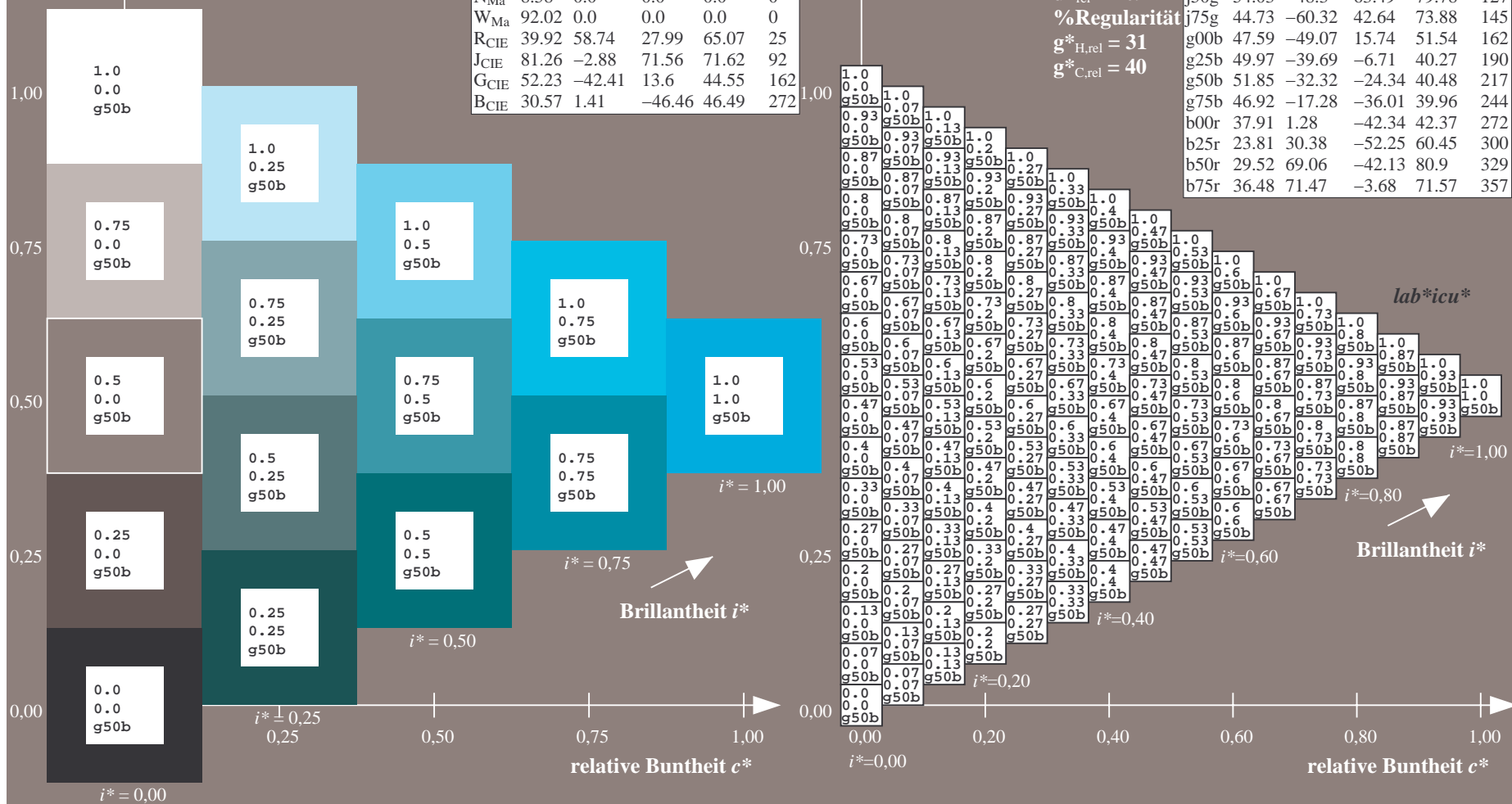
$u^*_{rel} = 109$

%Regularität

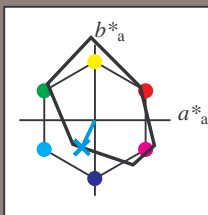
$g^*_{H,rel} = 31$

$g^*_{C,rel} = 40$

FRS09_92aM; adaptierte CIELAB-Daten					
	$L^*=L^*_a$	a^*_a	b^*_a	$C^*_{ab,a}$	$h^*_{ab,a}$
r00j	35.47	63.32	30.17	70.15	25
r25j	39.12	54.56	49.45	73.64	42
r50j	50.64	39.15	64.89	75.79	59
r75j	64.01	21.26	82.83	85.52	76
j00g	83.18	-4.37	108.53	108.62	92
j25g	66.73	-29.88	83.06	88.28	110
j50g	54.03	-48.3	63.49	79.78	127
j75g	44.73	-60.32	42.64	73.88	145
g00b	47.59	-49.07	15.74	51.54	162
g25b	49.97	-39.69	-6.71	40.27	190
g50b	51.85	-32.32	-24.34	40.48	217
g75b	46.92	-17.28	-36.01	39.96	244
b00r	37.91	1.28	-42.34	42.37	272
b25r	23.81	30.38	-52.25	60.45	300
b50r	29.52	69.06	-42.13	80.9	329
b75r	36.48	71.47	-3.68	71.57	357



Ein und Ausgabe: Farbmetrisches Drucker-Reflektiv-System FRS09_92aM für relativen CIELAB-Buntton $h^* = lab^*h^* = h_{ab}/360 = 244/360 = 0.679$ $u^* = g75b$
Daten für jede Farbe:
 lab^*ch^* und lab^*icu^*
Elementar-Bunttontext:
 $u^* = g75b$
Kontrastreduzierungsfaktor:
 $c_R = 1.0$
Dreiecks-Helligkeit t^*



FRS09_92aM; adaptierte CIELAB-Daten					
	$L^*=L^*_a$	a^*_a	b^*_a	$C^*_{ab,a}$	$h^*_{ab,a}$
O _{Ma}	35.06	60.0	44.0	74.4	36
Y _{Ma}	83.77	-5.16	109.32	109.44	93
L _{Ma}	44.13	-62.66	48.24	79.09	142
C _{Ma}	52.66	-29.13	-31.98	43.27	228
V _{Ma}	14.15	50.3	-59.03	77.57	310
M _{Ma}	37.37	78.64	-33.49	85.48	337
N _{Ma}	8.58	0.0	0.0	0.0	0
W _{Ma}	92.02	0.0	0.0	0.0	0
R _{CIE}	39.92	58.74	27.99	65.07	25
J _{CIE}	81.26	-2.88	71.56	71.62	92
G _{CIE}	52.23	-42.41	13.6	44.55	162
B _{CIE}	30.57	1.41	-46.46	46.49	272

Daten für Maximalfarbe (Ma):

$LAB^*LAB^*_{Ma}$: 47 -16 -35

$LAB^*LCH^*_{Ma}$: 47 40 244

$lab^*rgb^*_{Ma}$: 0.0 0.5 1.0

$lab^*olv^*_{Ma}$: 0.0 0.85 1.0

Dreiecks-Helligkeit t^*

%Umfang

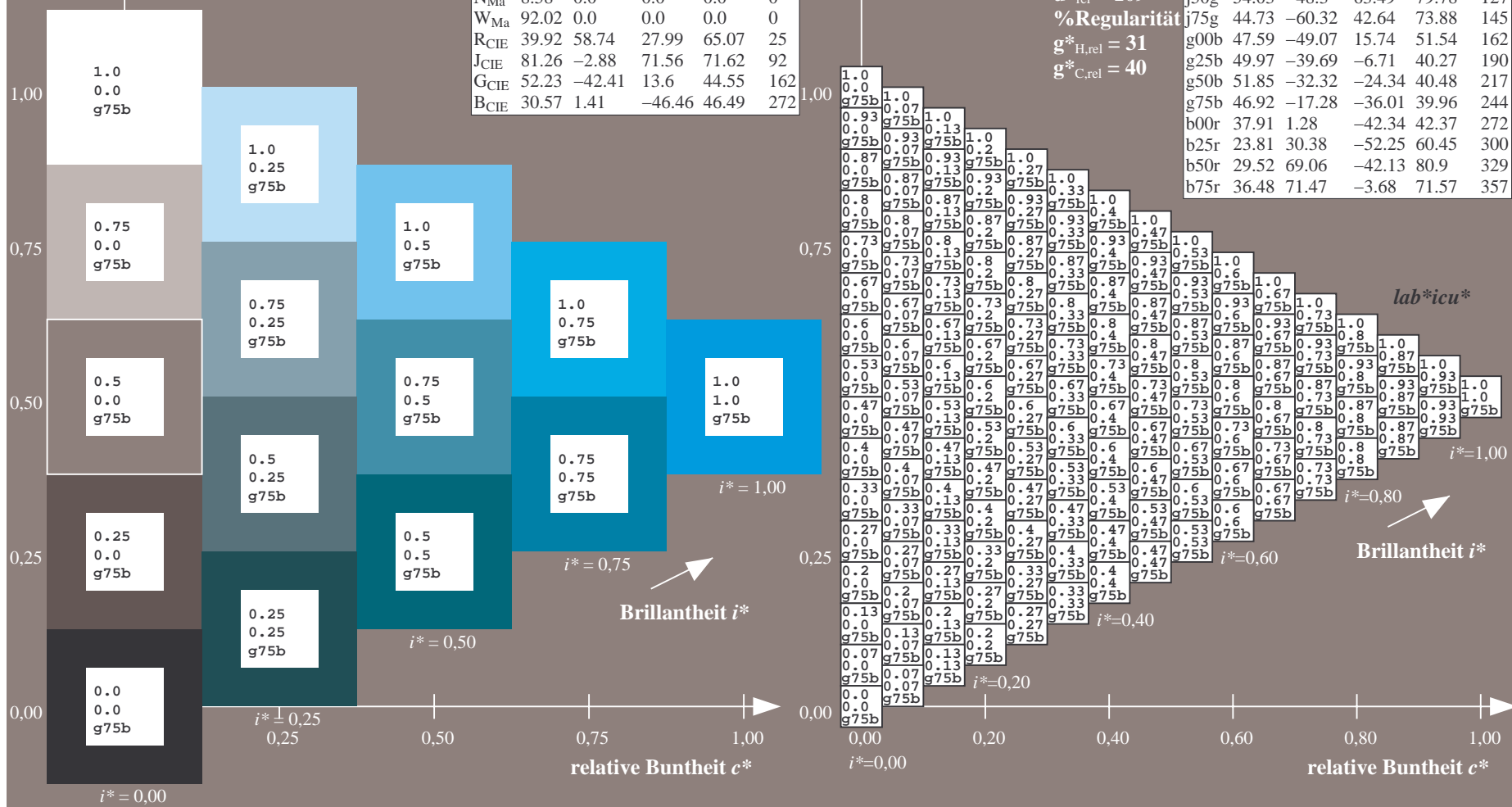
$u^*_{rel} = 109$

%Regularität

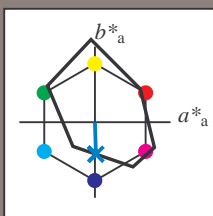
$g^*_{H,rel} = 31$

$g^*_{C,rel} = 40$

FRS09_92aM; adaptierte CIELAB-Daten					
	$L^*=L^*_a$	a^*_a	b^*_a	$C^*_{ab,a}$	$h^*_{ab,a}$
r00j	35.47	63.32	30.17	70.15	25
r25j	39.12	54.56	49.45	73.64	42
r50j	50.64	39.15	64.89	75.79	59
r75j	64.01	21.26	82.83	85.52	76
j00g	83.18	-4.37	108.53	108.62	92
j25g	66.73	-29.88	83.06	88.28	110
j50g	54.03	-48.3	63.49	79.78	127
j75g	44.73	-60.32	42.64	73.88	145
g00b	47.59	-49.07	15.74	51.54	162
g25b	49.97	-39.69	-6.71	40.27	190
g50b	51.85	-32.32	-24.34	40.48	217
g75b	46.92	-17.28	-36.01	39.96	244
b00r	37.91	1.28	-42.34	42.37	272
b25r	23.81	30.38	-52.25	60.45	300
b50r	29.52	69.06	-42.13	80.9	329
b75r	36.48	71.47	-3.68	71.57	357



Ein und Ausgabe: Farbmimetrisches Drucker-Reflektiv-System FRS09_92aM für relativen CIELAB-Buntton $h^* = lab^*h^* = h_{ab}/360 = 272/360 = 0.755$ $u^* = b00r$
Daten für jede Farbe:
 lab^*ch^* und lab^*icu^*
Elementar-Bunttontext:
 $u^* = b00r$
Kontrastreduzierungsfaktor:
 $c_R = 1.0$
Dreiecks-Helligkeit i^*



FRS09_92aM; adaptierte CIELAB-Daten					
	$L^*=L^*_a$	a^*_a	b^*_a	$C^*_{ab,a}$	$h^*_{ab,a}$
O _{Ma}	35.06	60.0	44.0	74.4	36
Y _{Ma}	83.77	-5.16	109.32	109.44	93
L _{Ma}	44.13	-62.66	48.24	79.09	142
C _{Ma}	52.66	-29.13	-31.98	43.27	228
V _{Ma}	14.15	50.3	-59.03	77.57	310
M _{Ma}	37.37	78.64	-33.49	85.48	337
N _{Ma}	8.58	0.0	0.0	0.0	0
W _{Ma}	92.02	0.0	0.0	0.0	0
R _{CIE}	39.92	58.74	27.99	65.07	25
J _{CIE}	81.26	-2.88	71.56	71.62	92
G _{CIE}	52.23	-42.41	13.6	44.55	162
B _{CIE}	30.57	1.41	-46.46	46.49	272

Daten für Maximalfarbe (Ma):

$LAB^*LAB^*_{Ma}$: 38 1 -41

$LAB^*LCH^*_{Ma}$: 38 42 272

$lab^*rgb^*_{Ma}$: 0.0 0.0 1.0

$lab^*olv^*_{Ma}$: 0.0 0.62 1.0

Dreiecks-Helligkeit i^*

%Umfang

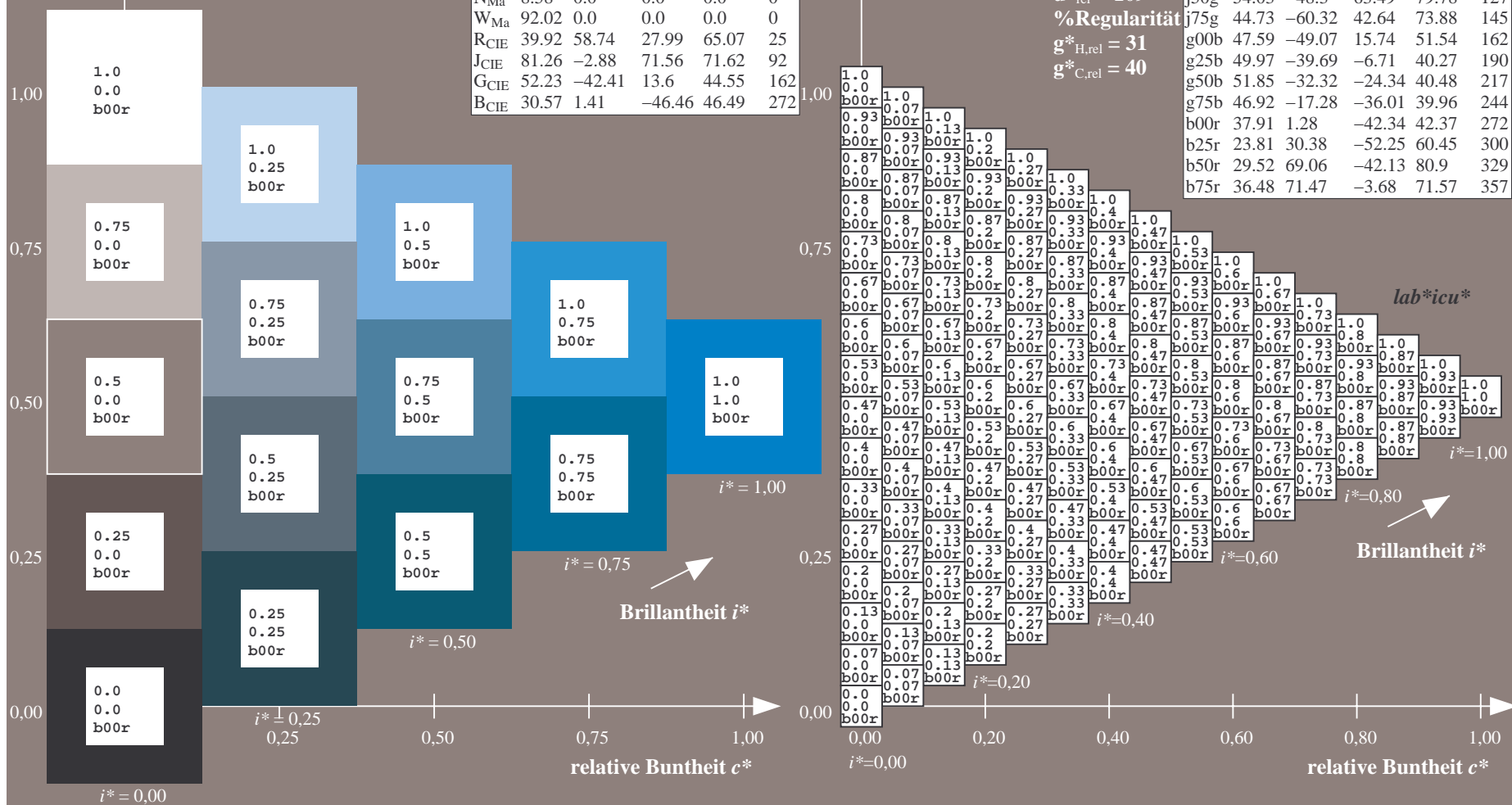
$u^*_{rel} = 109$

%Regularität

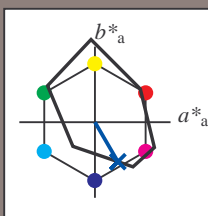
$g^*_{H,rel} = 31$

$g^*_{C,rel} = 40$

FRS09_92aM; adaptierte CIELAB-Daten					
	$L^*=L^*_a$	a^*_a	b^*_a	$C^*_{ab,a}$	$h^*_{ab,a}$
r00j	35.47	63.32	30.17	70.15	25
r25j	39.12	54.56	49.45	73.64	42
r50j	50.64	39.15	64.89	75.79	59
r75j	64.01	21.26	82.83	85.52	76
j00g	83.18	-4.37	108.53	108.62	92
j25g	66.73	-29.88	83.06	88.28	110
j50g	54.03	-48.3	63.49	79.78	127
j75g	44.73	-60.32	42.64	73.88	145
g00b	47.59	-49.07	15.74	51.54	162
g25b	49.97	-39.69	-6.71	40.27	190
g50b	51.85	-32.32	-24.34	40.48	217
g75b	46.92	-17.28	-36.01	39.96	244
b00r	37.91	1.28	-42.34	42.37	272
b25r	23.81	30.38	-52.25	60.45	300
b50r	29.52	69.06	-42.13	80.9	329
b75r	36.48	71.47	-3.68	71.57	357



Ein und Ausgabe: Farbmetrisches Drucker-Reflektiv-System FRS09_92aM für relativen CIELAB-Buntton $h^* = lab^*h^* = h_{ab}/360 = 300/360 = 0.834$ $u^* = b25r$
Daten für jede Farbe:
 lab^*ch^* und lab^*icu^*
Elementar-Bunttontext:
 $u^* = b25r$
Kontrastreduzierungsfaktor:
 $c_R = 1.0$
Dreiecks-Helligkeit t^*



FRS09_92aM; adaptierte CIELAB-Daten					
	$L^*=L_a^*$	a_a^*	b_a^*	$C_{ab,a}^*$	$h_{ab,a}^*$
O _{Ma}	35.06	60.0	44.0	74.4	36
Y _{Ma}	83.77	-5.16	109.32	109.44	93
L _{Ma}	44.13	-62.66	48.24	79.09	142
C _{Ma}	52.66	-29.13	-31.98	43.27	228
V _{Ma}	14.15	50.3	-59.03	77.57	310
M _{Ma}	37.37	78.64	-33.49	85.48	337
N _{Ma}	8.58	0.0	0.0	0.0	0
W _{Ma}	92.02	0.0	0.0	0.0	0
R _{CIE}	39.92	58.74	27.99	65.07	25
J _{CIE}	81.26	-2.88	71.56	71.62	92
G _{CIE}	52.23	-42.41	13.6	44.55	162
B _{CIE}	30.57	1.41	-46.46	46.49	272

Daten für Maximalfarbe (Ma):

$LAB^*LAB^*_{Ma}$: 24 30 -51

$LAB^*LCH^*_{Ma}$: 24 60 300

$lab^*rgb^*_{Ma}$: 0.5 0.0 1.0

$lab^*olv^*_{Ma}$: 0.0 0.25 1.0

Dreiecks-Helligkeit t^*

%Umfang

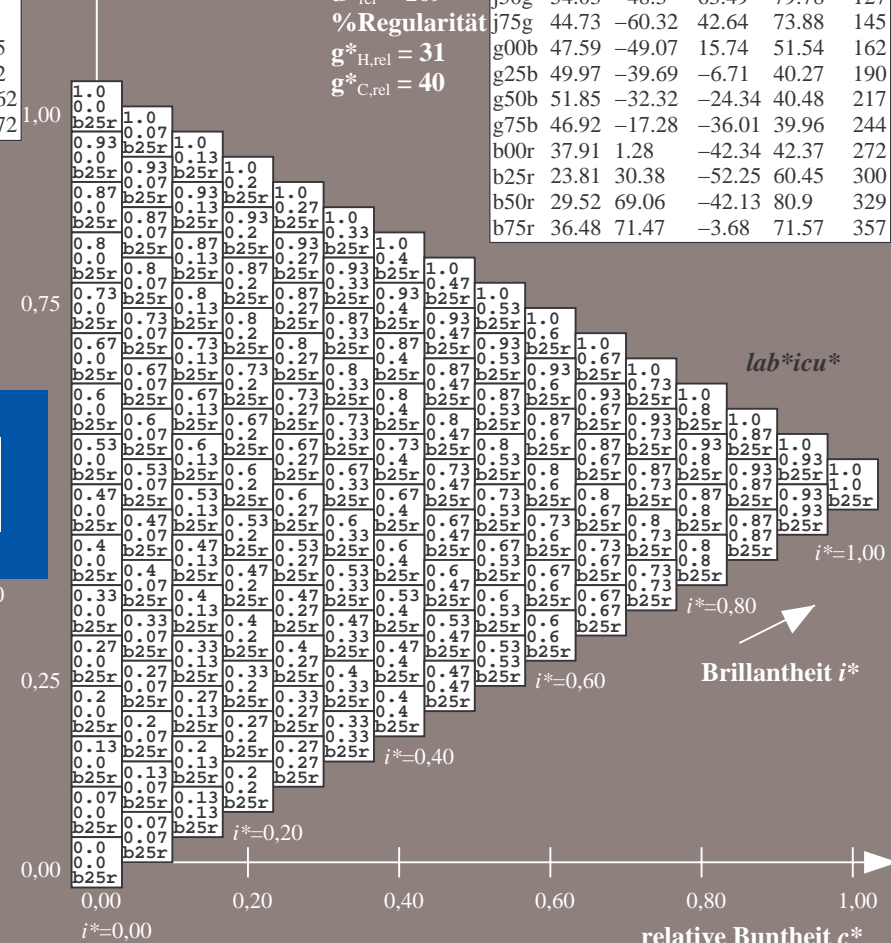
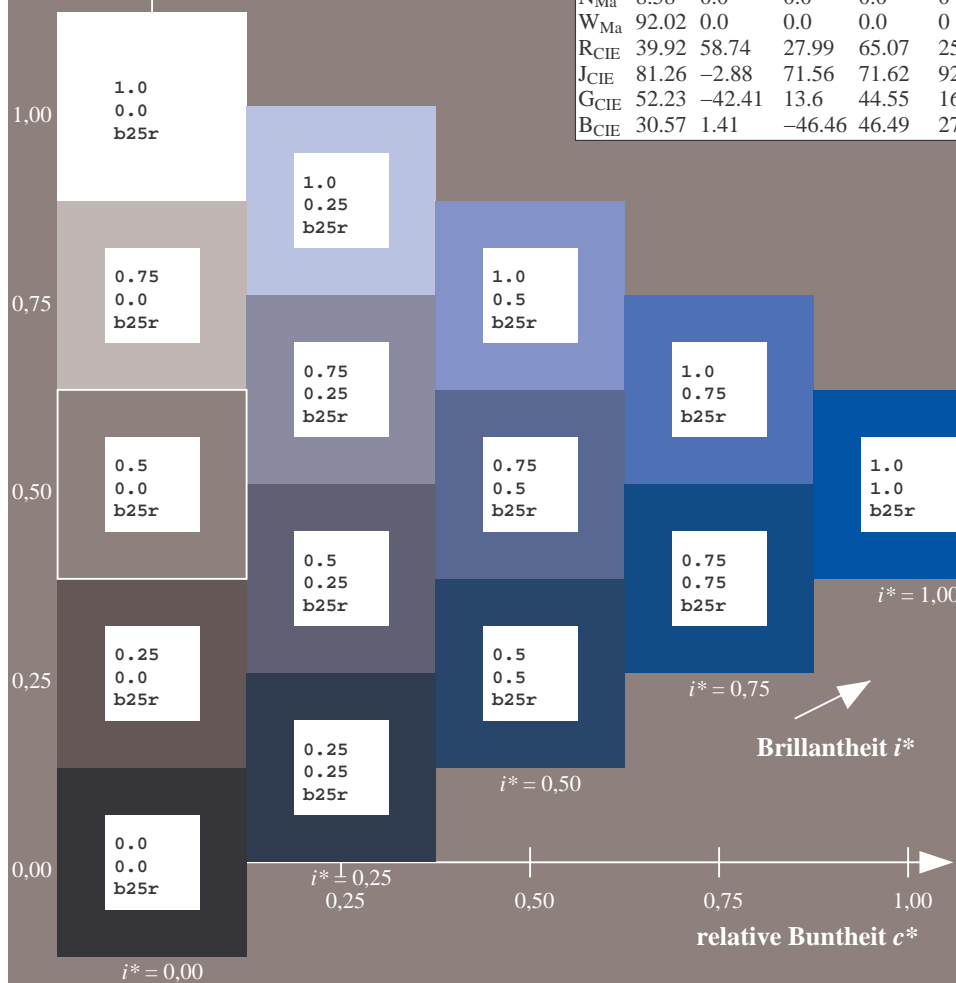
$u^*_{rel} = 109$

%Regularität

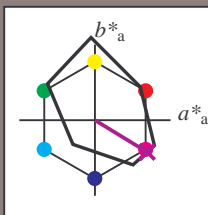
$g^*_{H,rel} = 31$

$g^*_{C,rel} = 40$

FRS09_92aM; adaptierte CIELAB-Daten					
	$L^*=L_a^*$	a_a^*	b_a^*	$C_{ab,a}^*$	$h_{ab,a}^*$
r00j	35.47	63.32	30.17	70.15	25
r25j	39.12	54.56	49.45	73.64	42
r50j	50.64	39.15	64.89	75.79	59
r75j	64.01	21.26	82.83	85.52	76
j00g	83.18	-4.37	108.53	108.62	92
j25g	66.73	-29.88	83.06	88.28	110
j50g	54.03	-48.3	63.49	79.78	127
j75g	44.73	-60.32	42.64	73.88	145
g00b	47.59	-49.07	15.74	51.54	162
g25b	49.97	-39.69	-6.71	40.27	190
g50b	51.85	-32.32	-24.34	40.48	217
g75b	46.92	-17.28	-36.01	39.96	244
b00r	37.91	1.28	-42.34	42.37	272
b25r	23.81	30.38	-52.25	60.45	300
b50r	29.52	69.06	-42.13	80.9	329
b75r	36.48	71.47	-3.68	71.57	357



Ein und Ausgabe: Farbmetrisches Drucker-Reflektiv-System FRS09_92aM für relativen CIELAB-Buntton $h^* = lab^*h^* = h_{ab}/360 = 329/360 = 0.913$ $u^* = b50r$
Daten für jede Farbe:
 lab^*ch^* und lab^*icu^*
Elementar-Bunttontext:
 $u^* = b50r$
Kontrastreduzierungsfaktor:
 $c_R = 1.0$
Dreiecks-Helligkeit t^*



FRS09_92aM; adaptierte CIELAB-Daten					
	$L^*=L_a^*$	a_a^*	b_a^*	$C^*_{ab,a}$	$h^*_{ab,a}$
O _{Ma}	35.06	60.0	44.0	74.4	36
Y _{Ma}	83.77	-5.16	109.32	109.44	93
L _{Ma}	44.13	-62.66	48.24	79.09	142
C _{Ma}	52.66	-29.13	-31.98	43.27	228
V _{Ma}	14.15	50.3	-59.03	77.57	310
M _{Ma}	37.37	78.64	-33.49	85.48	337
N _{Ma}	8.58	0.0	0.0	0.0	0
W _{Ma}	92.02	0.0	0.0	0.0	0
R _{CIE}	39.92	58.74	27.99	65.07	25
J _{CIE}	81.26	-2.88	71.56	71.62	92
G _{CIE}	52.23	-42.41	13.6	44.55	162
B _{CIE}	30.57	1.41	-46.46	46.49	272

Daten für Maximalfarbe (Ma):

$LAB^*LAB^*_{Ma}$: 30 69 -41

$LAB^*LCH^*_{Ma}$: 30 81 329

$lab^*rgb^*_{Ma}$: 1.0 0.0 1.0

$lab^*olv^*_{Ma}$: 0.66 0.0 1.0

Dreiecks-Helligkeit t^*

%Umfang

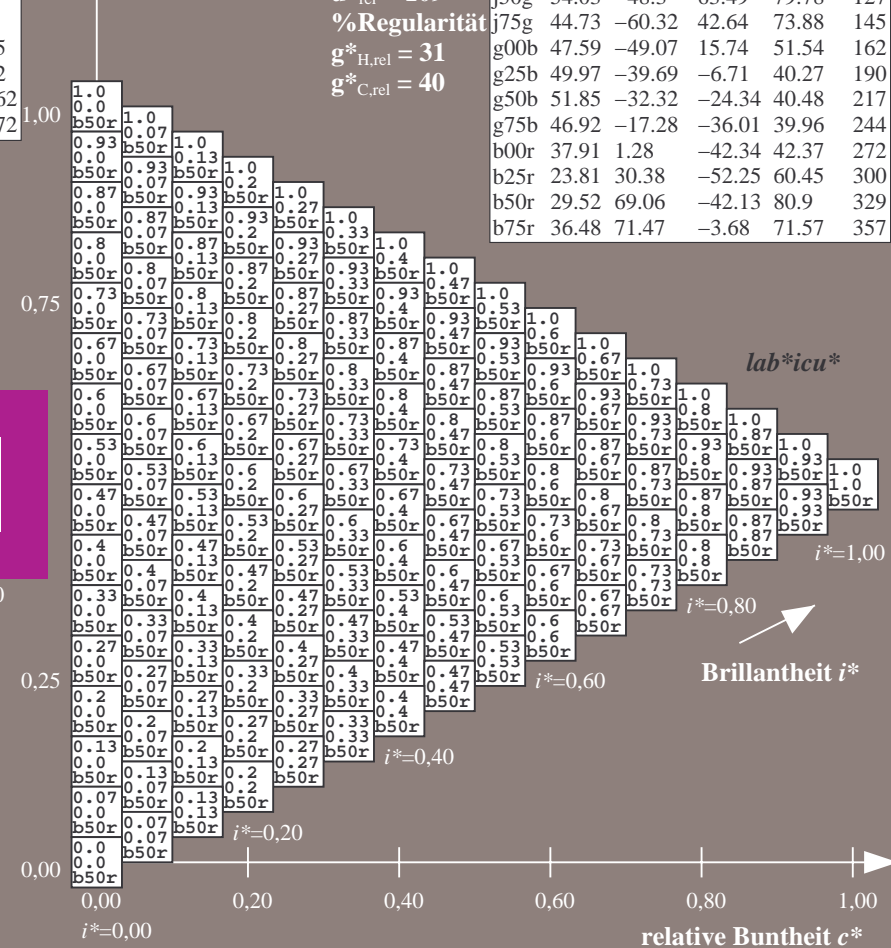
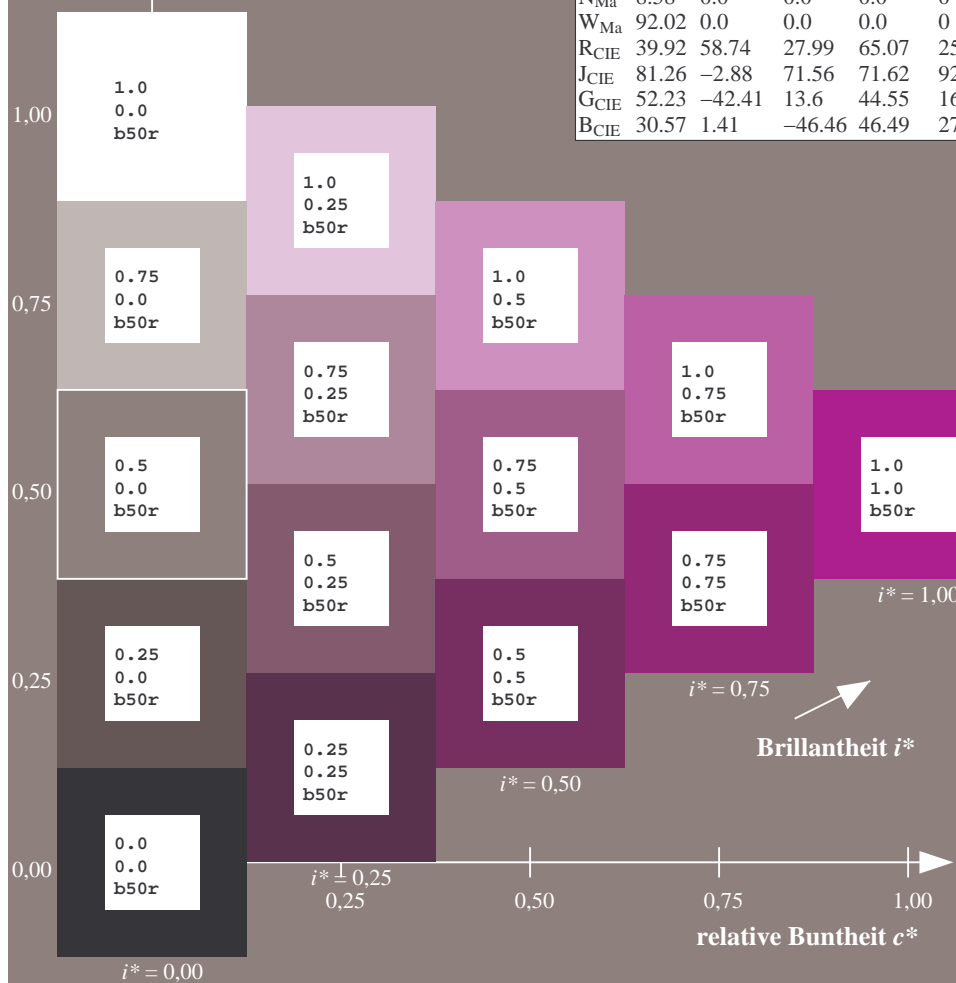
$u^*_{rel} = 109$

%Regelartigkeit

$g^*_{H,rel} = 31$

$g^*_{C,rel} = 40$

FRS09_92aM; adaptierte CIELAB-Daten					
	$L^*=L_a^*$	a_a^*	b_a^*	$C^*_{ab,a}$	$h^*_{ab,a}$
r00j	35.47	63.32	30.17	70.15	25
r25j	39.12	54.56	49.45	73.64	42
r50j	50.64	39.15	64.89	75.79	59
r75j	64.01	21.26	82.83	85.52	76
j00g	83.18	-4.37	108.53	108.62	92
j25g	66.73	-29.88	83.06	88.28	110
j50g	54.03	-48.3	63.49	79.78	127
j75g	44.73	-60.32	42.64	73.88	145
g00b	47.59	-49.07	15.74	51.54	162
g25b	49.97	-39.69	-6.71	40.27	190
g50b	51.85	-32.32	-24.34	40.48	217
g75b	46.92	-17.28	-36.01	39.96	244
b00r	37.91	1.28	-42.34	42.37	272
b25r	23.81	30.38	-52.25	60.45	300
b50r	29.52	69.06	-42.13	80.9	329
b75r	36.48	71.47	-3.68	71.57	357




www.uncc.edu

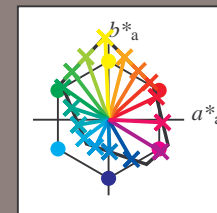


Siehe ähnliche Dateien: <http://www.ps.bam.de/Dg92/>; www.ps.bam.de/Dg92/10L/L92G00NP.PS/.PDF BAM-Material: Code=th4ta
Technische Information: <http://www.ps.bam.de> Version 2.1, io=1,1, ColSpX=0

	A	B	C	D	E	F	G	H	I	J	K	L	M	N	O	P	Q	R	S	T	U	V	W	X	Y	Z	a	b	c	d	e	f	g	h	i	j	k	lab*icu*						
01	0.0	0.13	0.25	0.38	0.5	0.63	0.75	0.88	1.0	0.13	0.13	0.25	0.38	0.5	0.63	0.75	0.88	1.0	0.25	0.25	0.25	0.38	0.5	0.63	0.75	0.88	1.0	1.0	1.0	1.0	1.0	1.0	1.0	1.0	1.0	1.0	0.0	0.0	0.0	0.0				
	b10r	170g	170g	170g	170g	170g	170g	170g	170g	r15j	100g	129g	142g	149g	153g	156g	158g	160g	r15j	r66j	100g	118g	129g	137g	142g	146g	149g	b10r	r15j	r15j	r15j	r15j	r15j	r15j	r15j	r15j	r15j	b10r	b10r	b10r	b10r			
02	0.13	0.13	0.25	0.38	0.5	0.63	0.75	0.88	1.0	0.13	0.13	0.25	0.38	0.5	0.63	0.75	0.88	1.0	0.25	0.25	0.25	0.38	0.5	0.63	0.75	0.88	1.0	1.0	0.88	0.88	0.88	0.88	0.88	0.88	0.88	0.88	0.88	0.13	0.13	0.13	0.13			
	b33r	g59b	g06b	192g	185g	181g	179g	178g	177g	b56r	b10r	170g	170g	170g	170g	170g	170g	170g	170g	b20r	r15j	100g	129g	142g	149g	153g	156g	158g	g59b	b10r	r15j	r15j	r15j	r15j	r15j	r15j	r15j	r15j	b10r	b10r	b10r	b10r		
03	0.25	0.25	0.25	0.38	0.5	0.63	0.75	0.88	1.0	0.25	0.25	0.38	0.5	0.63	0.75	0.88	1.0	0.25	0.25	0.25	0.38	0.5	0.63	0.75	0.88	1.0	1.0	0.88	0.88	0.88	0.88	0.88	0.88	0.88	0.88	0.88	0.13	0.13	0.13	0.13				
	0.25	0.25	0.25	0.38	0.5	0.62	0.75	0.87	1.0	0.25	0.13	0.25	0.38	0.5	0.63	0.75	0.88	1.0	0.25	0.25	0.25	0.38	0.5	0.63	0.75	0.88	1.0	1.0	0.88	0.88	0.88	0.88	0.88	0.88	0.88	0.88	0.88	0.13	0.13	0.13	0.13			
04	0.38	0.38	0.38	0.38	0.5	0.63	0.75	0.88	1.0	0.38	0.38	0.38	0.38	0.5	0.63	0.75	0.88	1.0	0.38	0.38	0.38	0.38	0.5	0.63	0.75	0.88	1.0	1.0	0.88	0.88	0.88	0.88	0.88	0.88	0.88	0.88	0.88	0.13	0.13	0.13	0.13			
	0.38	0.38	0.38	0.38	0.5	0.62	0.75	0.87	1.0	0.38	0.38	0.38	0.38	0.5	0.63	0.75	0.88	1.0	0.38	0.38	0.38	0.38	0.5	0.63	0.75	0.88	1.0	1.0	0.88	0.88	0.88	0.88	0.88	0.88	0.88	0.88	0.88	0.13	0.13	0.13	0.13			
05	0.5	0.5	0.5	0.5	0.5	0.63	0.75	0.88	1.0	0.5	0.5	0.5	0.5	0.5	0.63	0.75	0.88	1.0	0.5	0.5	0.5	0.5	0.5	0.63	0.75	0.88	1.0	1.0	0.88	0.88	0.88	0.88	0.88	0.88	0.88	0.88	0.88	0.13	0.13	0.13	0.13			
	0.5	0.5	0.5	0.5	0.5	0.62	0.75	0.87	1.0	0.5	0.38	0.38	0.38	0.38	0.5	0.63	0.75	0.88	1.0	0.5	0.38	0.25	0.25	0.25	0.38	0.5	0.63	0.75	0.88	1.0	1.0	0.88	0.88	0.88	0.88	0.88	0.88	0.88	0.13	0.13	0.13	0.13		
06	0.63	0.63	0.63	0.63	0.63	0.63	0.63	0.63	0.63	0.63	0.63	0.63	0.63	0.63	0.63	0.63	0.63	0.63	0.63	0.63	0.63	0.63	0.63	0.63	0.63	0.63	0.63	0.63	0.63	0.63	0.63	0.63	0.63	0.63	0.63	0.63	0.63	0.63	0.63	0.63	0.63	0.63		
	0.62	0.62	0.62	0.62	0.62	0.62	0.62	0.62	0.62	0.62	0.62	0.62	0.62	0.62	0.62	0.62	0.62	0.62	0.62	0.62	0.62	0.62	0.62	0.62	0.62	0.62	0.62	0.62	0.62	0.62	0.62	0.62	0.62	0.62	0.62	0.62	0.62	0.62	0.62	0.62	0.62	0.62		
07	0.75	0.75	0.75	0.75	0.75	0.75	0.75	0.75	0.75	0.75	0.75	0.75	0.75	0.75	0.75	0.75	0.75	0.75	0.75	0.75	0.75	0.75	0.75	0.75	0.75	0.75	0.75	0.75	0.75	0.75	0.75	0.75	0.75	0.75	0.75	0.75	0.75	0.75	0.75	0.75	0.75	0.75		
	0.75	0.75	0.75	0.75	0.75	0.75	0.75	0.75	0.75	0.75	0.75	0.75	0.75	0.75	0.75	0.75	0.75	0.75	0.75	0.75	0.75	0.75	0.75	0.75	0.75	0.75	0.75	0.75	0.75	0.75	0.75	0.75	0.75	0.75	0.75	0.75	0.75	0.75	0.75	0.75	0.75	0.75		
08	0.88	0.88	0.88	0.88	0.88	0.88	0.88	0.88	0.88	0.88	0.88	0.88	0.88	0.88	0.88	0.88	0.88	0.88	0.88	0.88	0.88	0.88	0.88	0.88	0.88	0.88	0.88	0.88	0.88	0.88	0.88	0.88	0.88	0.88	0.88	0.88	0.88	0.88	0.88	0.88	0.88	0.88		
	0.87	0.87	0.87	0.87	0.87	0.87	0.87	0.87	0.87	0.87	0.87	0.87	0.87	0.87	0.87	0.87	0.87	0.87	0.87	0.87	0.87	0.87	0.87	0.87	0.87	0.87	0.87	0.87	0.87	0.87	0.87	0.87	0.87	0.87	0.87	0.87	0.87	0.87	0.87	0.87	0.87	0.87		
09	1.0	1.0	1.0	1.0	1.0	1.0	1.0	1.0	1.0	1.0	1.0	1.0	1.0	1.0	1.0	1.0	1.0	1.0	1.0	1.0	1.0	1.0	1.0	1.0	1.0	1.0	1.0	1.0	1.0	1.0	1.0	1.0	1.0	1.0	1.0	1.0	1.0	1.0	1.0	1.0	1.0	1.0	1.0	
	b33r	g29r	g24r	b18r	b09r	g98b	g85b	g71b	g59b	b36r	b33r	b29r	b23r	b14r	b04r	g89b	g73b	g59b	b33r	b37r	b33r	b28r	b20r	b09r	g94b	g76b	g59b	g59b	g59b	g59b	g59b	g59b	g59b	g59b	g59b	g59b	g59b	g59b	g59b	g59b	g59b	g59b	g59b	
10	0.38	0.38	0.38	0.38	0.5	0.63	0.75	0.88	1.0	0.5	0.5	0.5	0.5	0.5	0.63	0.75	0.88	1.0	0.63	0.63	0.63	0.63	0.63	0.63	0.63	0.63	0.63	0.63	0.63	0.63	0.63	0.63	0.63	0.63	0.63	0.63	0.63	0.63	0.63	0.63	0.63	0.63	0.63	
	0.37	0.37	0.37	0.37	0.5	0.62	0.75	0.87	1.0	0.5	0.5	0.5	0.5	0.5	0.62	0.75	0.87	1.0	0.63	0.63	0.63	0.63	0.63	0.63	0.63	0.63	0.63	0.63	0.63	0.63	0.63	0.63	0.63	0.63	0.63	0.63	0.63	0.63	0.63	0.63	0.63	0.63	0.63	
11	0.5	0.5	0.5	0.5	0.5	0.63	0.75	0.88	1.0	0.5	0.5	0.5	0.5	0.5	0.63	0.75	0.88	1.0	0.5	0.5	0.5	0.5	0.5	0.63	0.75	0.88	1.0	1.0	0.88	0.88	0.88	0.88	0.88	0.88	0.88	0.88	0.88	0.88	0.88	0.88	0.88	0.88	0.88	0.88
	r15j	r50j	r79j	100g	113g	122g	129g	135g	139g	r15j	r42j	r66j	r85j	100g	110g	118g	124g	129g	r15j	r37j	r57j	r74j	r88j	100g	108g	115g	121g	100g	100g	100g	100g	100g	100g	100g	100g	100g	100g	100g	100g	100g	100g	100g	100g	
12	0.38	0.38	0.38	0.38	0.5	0.63	0.75	0.88	1.0	0.5	0.5	0.5	0.5	0.5	0.63	0.75	0.88	1.0	0.63	0.63	0.63	0.63	0.63	0.63	0.63	0.63	0.63	0.63	0.63	0.63	0.63	0.63	0.63	0.63	0.63	0.63	0.63	0.63	0.63	0.63	0.63	0.63	0.63	
	b90r	r15j	r66j	100g	118g	129g	137g	142g	146g	b94r	r15j	r50j	r79j	100g	113g	122g	129g	135g	b97r	r15j	r42j	r66j	r85j	100g	110g	118g	124g	100g	100g	100g	100g	100g	100g	100g	100g	100g	100g	100g	100g	100g	100g	100g	100g	
13	0.38	0.38	0.38	0.38	0.5	0.63	0.75	0.88	1.0	0.5	0.5	0.5	0.5	0.5	0.63	0.75	0.88	1.0	0.63	0.63	0.63	0.63	0.63	0.63	0.63	0.63	0.63	0.63	0.63	0.63	0.63	0.63	0.63	0.63	0.63	0.63	0.63	0.63	0.63	0.63	0.63	0.63	0.63	
	b71r	b80r	r15j	100g	129g	142g	149g	153g	156g	b80r	b90r	r15j	r66j	100g	118g	129g	137g	142g	b86r	b94r	r15j	r50j	r79j	100g	113g	122g	129g	100g	100g	100g	100g	100g	100g	100g	100g	100g	100g	100g	100g	100g	100g	100g	100g	
14	0.38	0.38	0.38	0.38	0.5	0.63	0.75	0.88	1.0	0.5	0.5	0.5	0.5	0.5	0.63	0.75	0.88	1.0	0.63	0.63	0.63	0.63	0.63	0.63	0.63	0.63	0.63	0.63	0.63	0.63	0.63	0.63	0.63	0.63	0.63	0.63	0.63	0.63	0.63	0.63	0.63	0.63	0.63	
	b56r	b56r	b56r	b10r	170g	170g	170g	170g	170g	b67r	b71r	b80r	r15j	100g	129g	142g	149g	153g	b57r	b80r	b90r	r15j	r66j	100g	118g	129g	137g	142g	100g	100g	100g	100g	100g	100g	100g	100g	100g	100g	100g	100g	100g	100g		

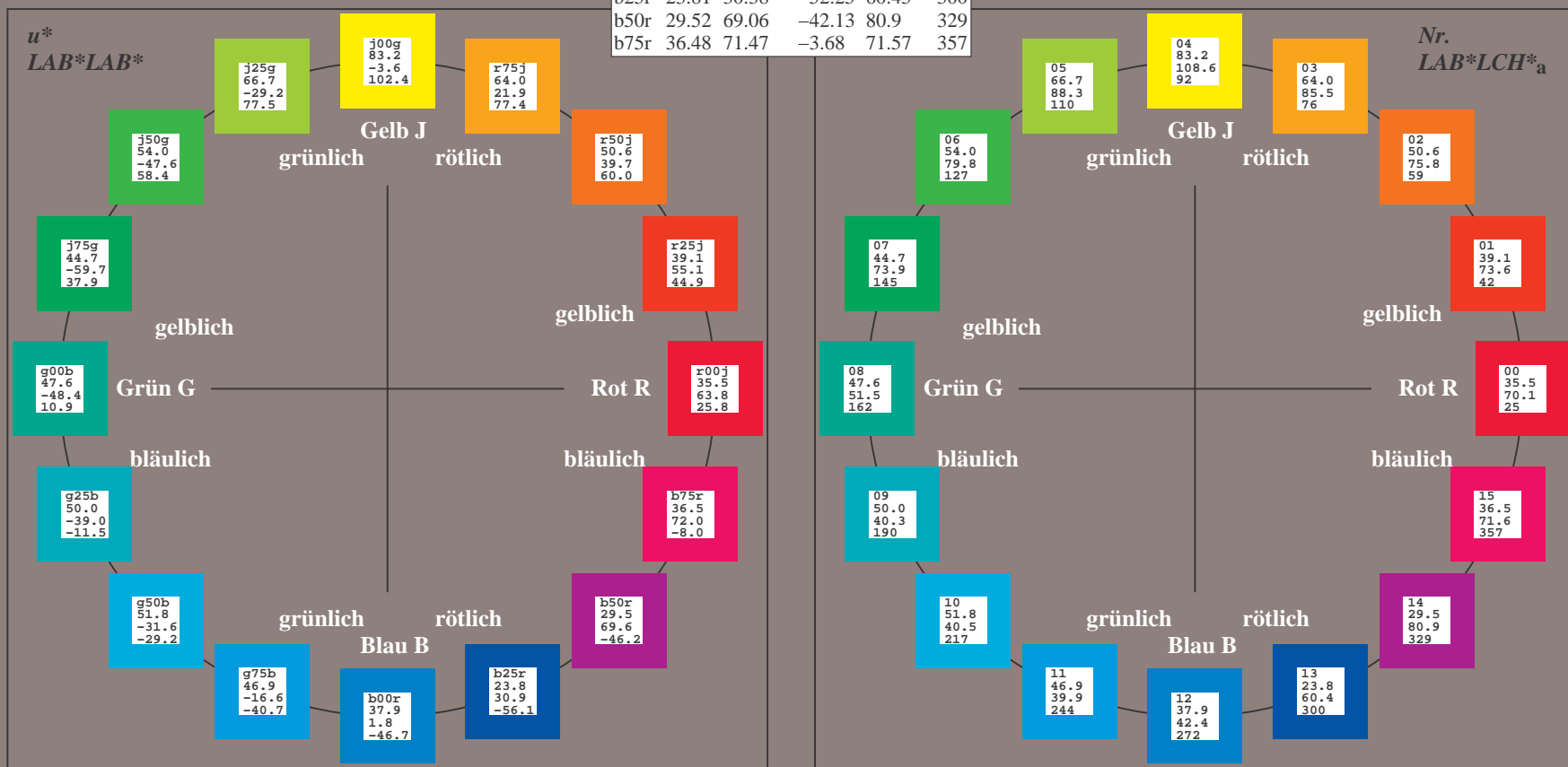
Ein und Ausgabe:
Farbmetrisches Drucker-Reflektiv-System FRS09_92aM
Daten für jede Farbe:
*lab*_{tch*}* und *lab*_{icu*}*
Elementar-Bunttontext:
u = 16 Buntttöne r00j, r25j, ..., b75r*
Kontrastreduzierungsfaktor:
 $c_R = 1.0$

FRS09_92aM; adaptierte CIELAB-Daten					
	$L^*=L^*_a$	a^*_a	b^*_a	$C^*_{ab,a}$	$h^*_{ab,a}$
r00j	35.47	63.32	30.17	70.15	25
r25j	39.12	54.56	49.45	73.64	42
r50j	50.64	39.15	64.89	75.79	59
r75j	64.01	21.26	82.83	85.52	76
j00g	83.18	-4.37	108.53	108.62	92
j25g	66.73	-29.88	83.06	88.28	110
j50g	54.03	-48.3	63.49	79.78	127
j75g	44.73	-60.32	42.64	73.88	145
g00b	47.59	-49.07	15.74	51.54	162
g25b	49.97	-39.69	-6.71	40.27	190
g50b	51.85	-32.32	-24.34	40.48	217
g75b	46.92	-17.28	-36.01	39.96	244
b00r	37.91	1.28	-42.34	42.37	272
b25r	23.81	30.38	-52.25	60.45	300
b50r	29.52	69.06	-42.13	80.9	329
b75r	36.48	71.47	-3.68	71.57	357



%Umfang
 $u^*_{rel} = 109$
%Regularität
 $g^*_{H,rel} = 31$
 $g^*_{C,rel} = 40$

FRS09_92M; CIELAB-Daten					
	$L^*=L^*_a$	a^*_a	b^*_a	C^*_{ab}	h^*_{ab}
O _M	35.06	60.53	39.66	72.37	33
Y _M	83.77	-4.49	103.15	103.25	92
L _M	44.13	-62.1	43.56	75.86	145
C _M	52.66	-28.55	-36.98	46.73	232
V _M	14.15	50.78	-62.59	80.61	309
M _M	37.37	79.18	-37.92	87.8	334
N _M	8.58	0.46	-3.34	3.38	278
W _M	92.02	0.69	-6.47	6.52	276
R _{CIE}	39.92	58.74	27.99	65.07	25
J _{CIE}	81.26	-2.88	71.56	71.62	92
G _{CIE}	52.23	-42.41	13.6	44.55	162
B _{CIE}	30.57	1.41	-46.46	46.49	272



Ein und Ausgabe: Farbmimetrisches Drucker-Reflektiv-System FRS09_92aM für relativen CIELAB-Buntton $h^* = lab^*h^* = h_{ab}/360 = 25/360 = 0.071$ $u^* = r00j$

Daten für jede Farbe:

lab^*ch^* und lab^*icu^*

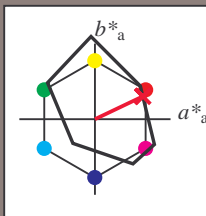
Elementar-Bunttontext:

$u^* = r00j$

Kontrastreduzierungsfaktor:

$c_R = 1.0$

Dreiecks-Helligkeit i^*



FRS09_92M; CIELAB-Daten					
	$L^*=L^*$	a^*	b^*	C^*_{ab}	h^*_{ab}
O _M	35.06	60.53	39.66	72.37	33
Y _M	83.77	-4.49	103.15	103.25	92
L _M	44.13	-62.1	43.56	75.86	145
C _M	52.66	-28.55	-36.98	46.73	232
V _M	14.15	50.78	-62.59	80.61	309
M _M	37.37	79.18	-37.92	87.8	334
N _M	8.58	0.46	-3.34	3.38	278
W _M	92.02	0.69	-6.47	6.52	276
R _{CIE}	39.92	58.74	27.99	65.07	25
J _{CIE}	81.26	-2.88	71.56	71.62	92
G _{CIE}	52.23	-42.41	13.6	44.55	162
B _{CIE}	30.57	1.41	-46.46	46.49	272

Daten für Maximalfarbe (Ma):

$LAB^*LAB^*_{Ma}$: 35 63 30

$LAB^*LCH^*_{Ma}$: 35 70 25

$lab^*rgb^*_{Ma}$: 1.0 0.0 0.0

$lab^*olv^*_{Ma}$: 1.0 0.0 0.18

Dreiecks-Helligkeit i^*

%Umfang

$u^*_{rel} = 109$

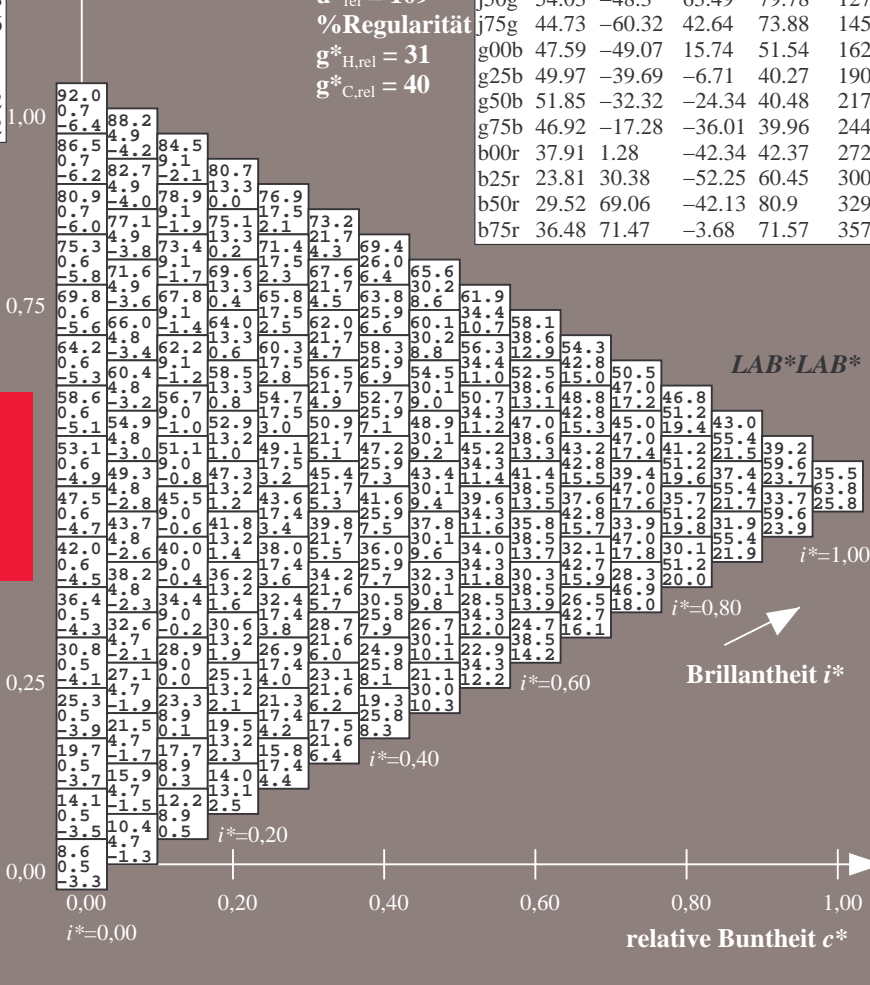
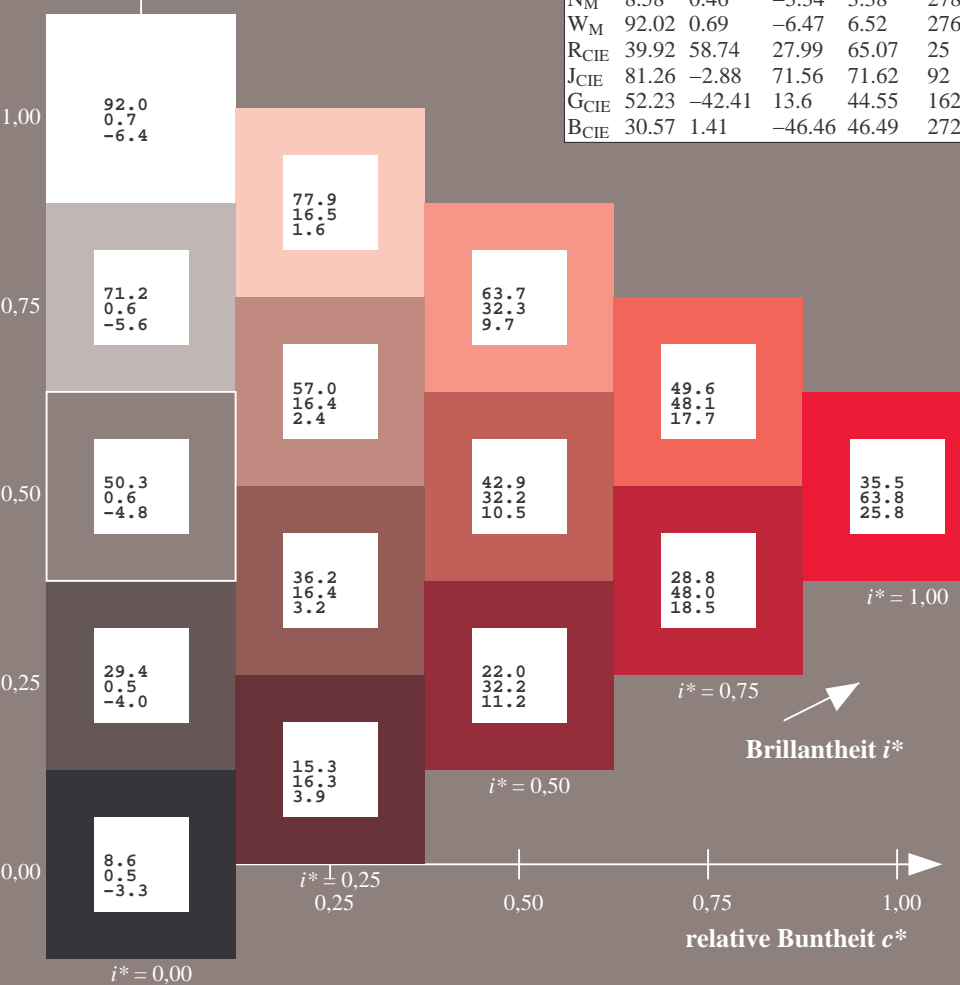
%Regularität

$g^*_{H,rel} = 31$

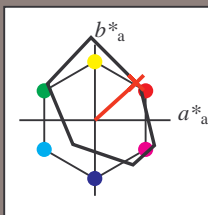
$g^*_{C,rel} = 40$

FRS09_92aM; adaptierte CIELAB-Daten

	$L^*=L^*_a$	a^*_a	b^*_a	$C^*_{ab,a}$	$h^*_{ab,a}$
r00j	35.47	63.32	30.17	70.15	25
r25j	39.12	54.56	49.45	73.64	42
r50j	50.64	39.15	64.89	75.79	59
r75j	64.01	21.26	82.83	85.52	76
j00g	83.18	-4.37	108.53	108.62	92
j25g	66.73	-29.88	83.06	88.28	110
j50g	54.03	-48.3	63.49	79.78	127
j75g	44.73	-60.32	42.64	73.88	145
g00b	47.59	-49.07	15.74	51.54	162
g25b	49.97	-39.69	-6.71	40.27	190
g50b	51.85	-32.32	-24.34	40.48	217
g75b	46.92	-17.28	-36.01	39.96	244
b00r	37.91	1.28	-42.34	42.37	272
b25r	23.81	30.38	-52.25	60.45	300
b50r	29.52	69.06	-42.13	80.9	329
b75r	36.48	71.47	-3.68	71.57	357



Ein und Ausgabe: Farbmetrisches Drucker-Reflektiv-System FRS09_92aM für relativen CIELAB-Buntton $h^* = lab^*h^* = h_{ab}/360 = 42/360 = 0.117$ $u^* = r25j$
Daten für jede Farbe:
 lab^*tch^* und lab^*icu^*
Elementar-Bunttontext:
 $u^* = r25j$
Kontrastreduzierungsfaktor:
 $c_R = 1.0$
Dreiecks-Helligkeit t^*



FRS09_92M; CIELAB-Daten					
	$L^*=L^*$	a^*	b^*	C^*_{ab}	h^*_{ab}
O _M	35.06	60.53	39.66	72.37	33
Y _M	83.77	-4.49	103.15	103.25	92
L _M	44.13	-62.1	43.56	75.86	145
C _M	52.66	-28.55	-36.98	46.73	232
V _M	14.15	50.78	-62.59	80.61	309
M _M	37.37	79.18	-37.92	87.8	334
N _M	8.58	0.46	-3.34	3.38	278
W _M	92.02	0.69	-6.47	6.52	276
R _{CIE}	39.92	58.74	27.99	65.07	25
J _{CIE}	81.26	-2.88	71.56	71.62	92
G _{CIE}	52.23	-42.41	13.6	44.55	162
B _{CIE}	30.57	1.41	-46.46	46.49	272

Daten für Maximalfarbe (Ma):

$LAB^*LAB^*_{Ma}$: 39 55 49

$LAB^*LCH^*_{Ma}$: 39 74 42

$lab^*rgb^*_{Ma}$: 1.0 0.25 0.0

$lab^*olv^*_{Ma}$: 1.0 0.08 0.0

Dreiecks-Helligkeit t^*

%Umfang

$u^*_{rel} = 109$

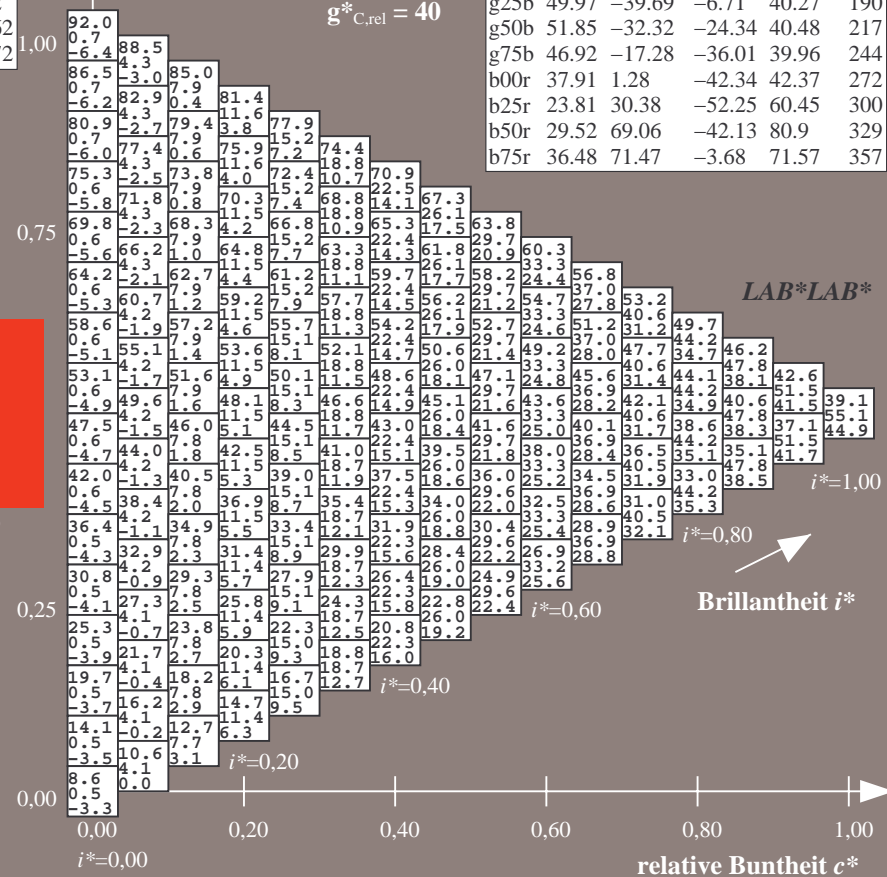
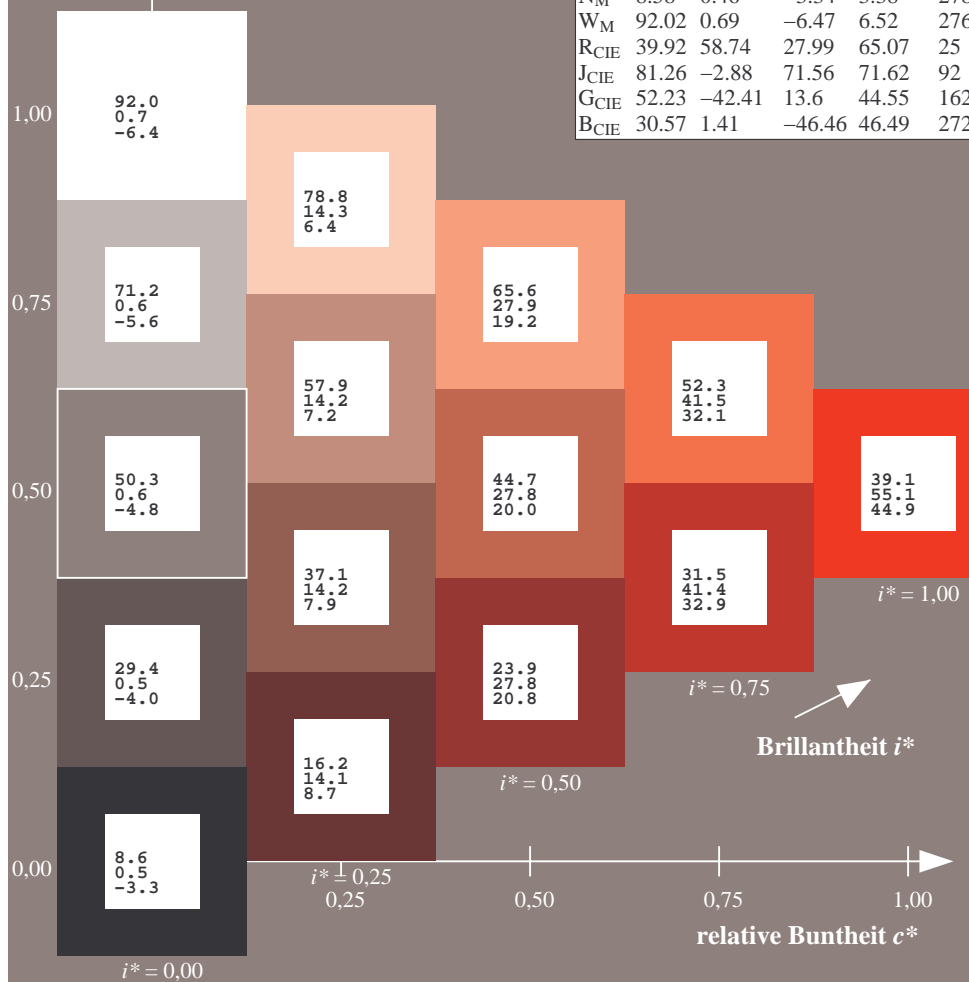
%Regularität

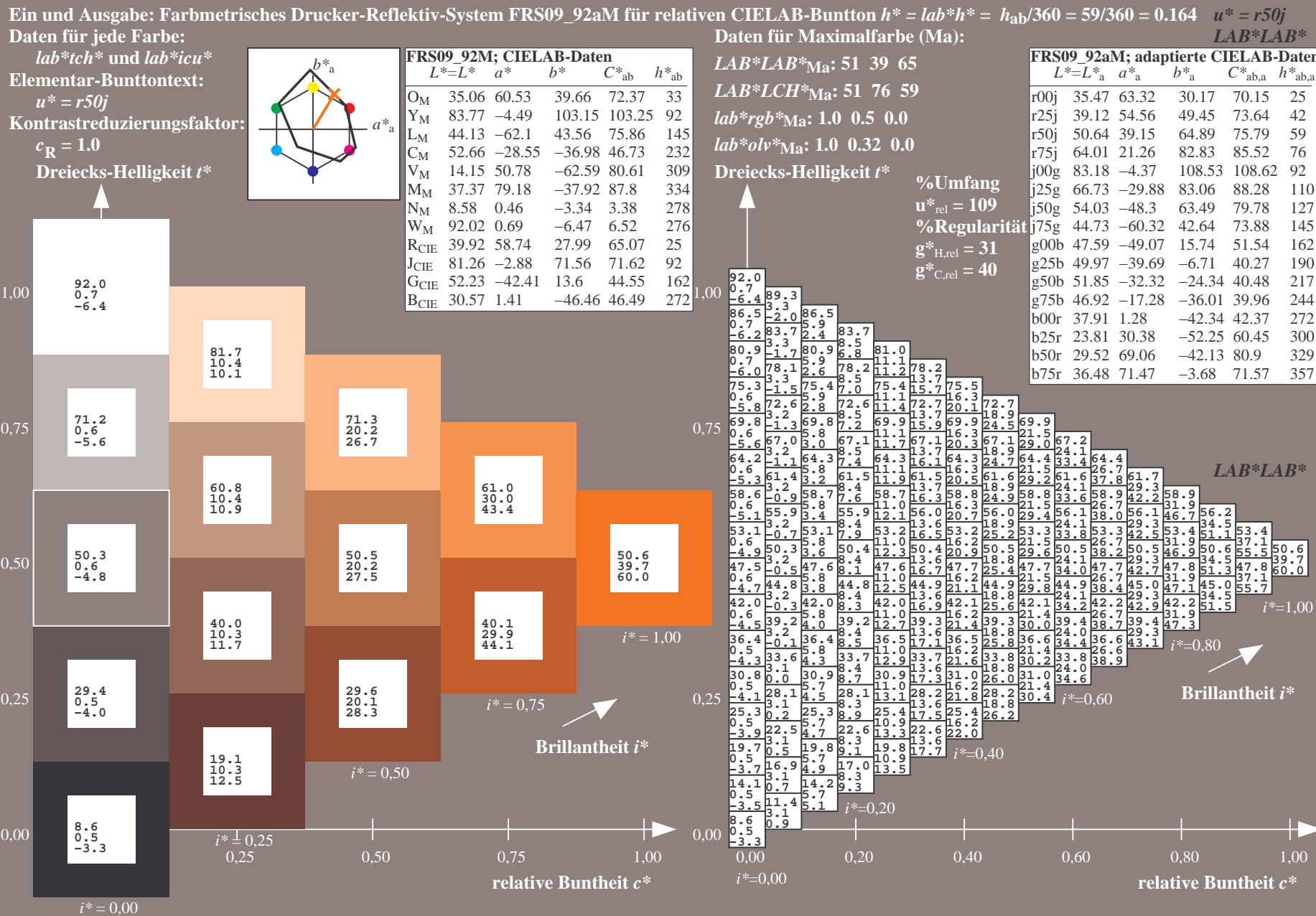
$g^*_{H,rel} = 31$

$g^*_{C,rel} = 40$

FRS09_92aM; adaptierte CIELAB-Daten

	$L^*=L^*_a$	a^*_a	b^*_a	$C^*_{ab,a}$	$h^*_{ab,a}$
r00j	35.47	63.32	30.17	70.15	25
r25j	39.12	54.56	49.45	73.64	42
r50j	50.64	39.15	64.89	75.79	59
r75j	64.01	21.26	82.83	85.52	76
j00g	83.18	-4.37	108.53	108.62	92
j25g	66.73	-29.88	83.06	88.28	110
j50g	54.03	-48.3	63.49	79.78	127
j75g	44.73	-60.32	42.64	73.88	145
g00b	47.59	-49.07	15.74	51.54	162
g25b	49.97	-39.69	-6.71	40.27	190
g50b	51.85	-32.32	-24.34	40.48	217
g75b	46.92	-17.28	-36.01	39.96	244
b00r	37.91	1.28	-42.34	42.37	272
b25r	23.81	30.38	-52.25	60.45	300
b50r	29.52	69.06	-42.13	80.9	329
b75r	36.48	71.47	-3.68	71.57	357





Ein und Ausgabe: Farbmetrisches Drucker-Reflektiv-System FRS09_92aM für relativen CIELAB-Buntton $h^* = lab^*h^* = h_{ab}/360 = 76/360 = 0.21$ $u^* = r75j$

Daten für jede Farbe:

lab^*ch^* und lab^*icu^*

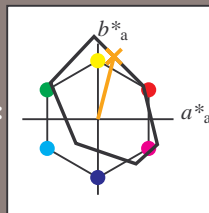
Elementar-Bunttontext:

$u^* = r75j$

Kontrastreduzierungsfaktor:

$c_R = 1.0$

Dreiecks-Helligkeit t^*



FRS09_92M; CIELAB-Daten

	$L^*=L^*$	a^*	b^*	C^*_{ab}	h^*_{ab}
O _M	35.06	60.53	39.66	72.37	33
Y _M	83.77	-4.49	103.15	103.25	92
L _M	44.13	-62.1	43.56	75.86	145
C _M	52.66	-28.55	-36.98	46.73	232
V _M	14.15	50.78	-62.59	80.61	309
M _M	37.37	79.18	-37.92	87.8	334
N _M	8.58	0.46	-3.34	3.38	278
W _M	92.02	0.69	-6.47	6.52	276
R _{CIE}	39.92	58.74	27.99	65.07	25
J _{CIE}	81.26	-2.88	71.56	71.62	92
G _{CIE}	52.23	-42.41	13.6	44.55	162
B _{CIE}	30.57	1.41	-46.46	46.49	272

Daten für Maximalfarbe (Ma):

$LAB^*LAB^*_{Ma}$: 64 21 83

$LAB^*LCH^*_{Ma}$: 64 86 76

$lab^*rgb^*_{Ma}$: 1.0 0.75 0.0

$lab^*olv^*_{Ma}$: 1.0 0.59 0.0

Dreiecks-Helligkeit t^*

%Umfang

$u^*_{rel} = 109$

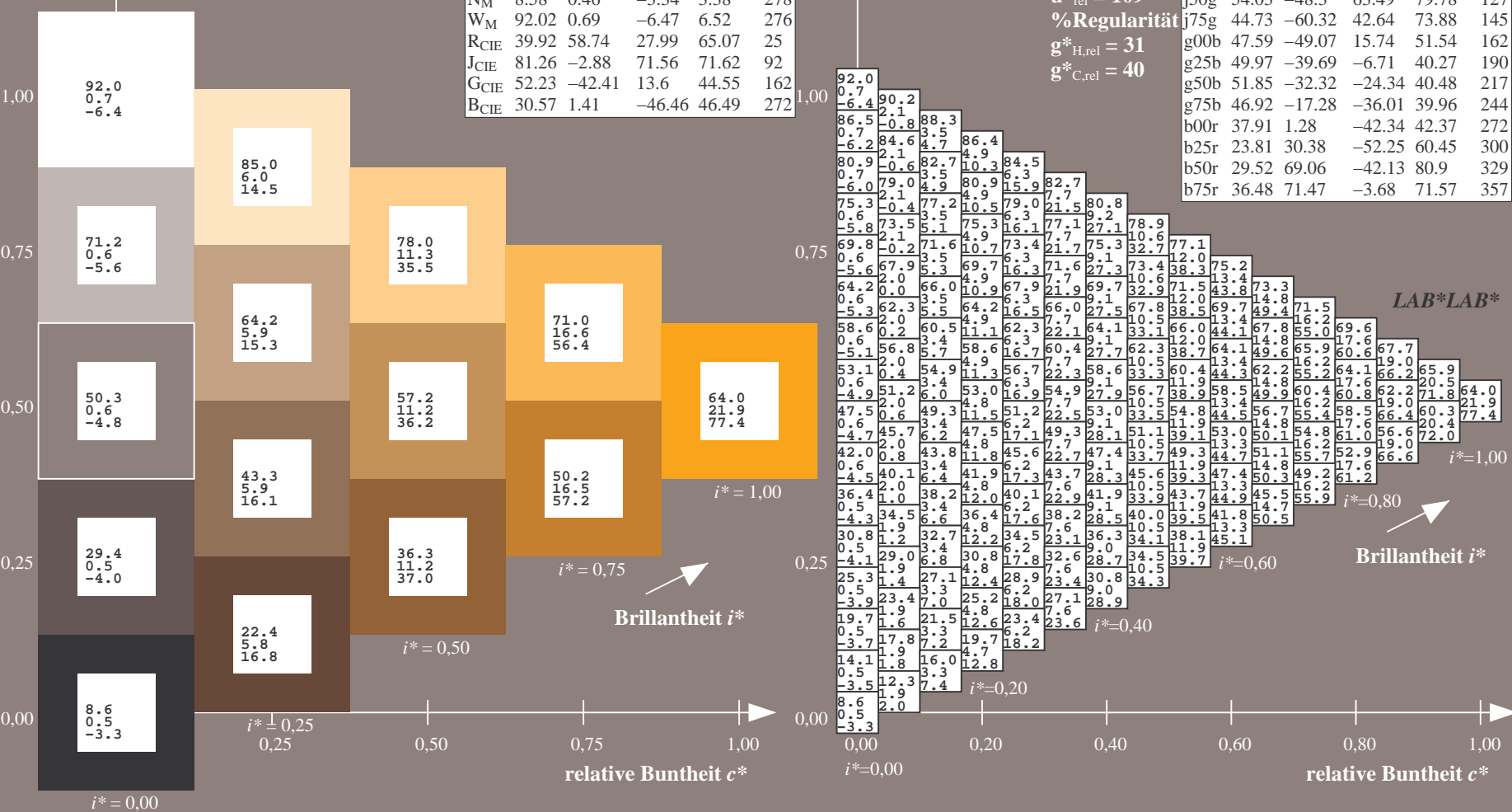
%Regularität

$g^*_{H,rel} = 31$

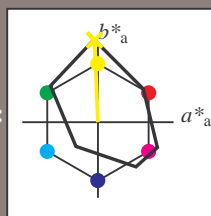
$g^*_{C,rel} = 40$

FRS09_92aM; adaptierte CIELAB-Daten

	$L^*=L^*_a$	a^*_a	b^*_a	$C^*_{ab,a}$	$h^*_{ab,a}$
r00j	35.47	63.32	30.17	70.15	25
r25j	39.12	54.56	49.45	73.64	42
r50j	50.64	39.15	64.89	75.79	59
r75j	64.01	21.26	82.83	85.52	76
j00g	83.18	-4.37	108.53	108.62	92
j25g	66.73	-29.88	83.06	88.28	110
j50g	54.03	-48.3	63.49	79.78	127
j75g	44.73	-60.32	42.64	73.88	145
g00b	47.59	-49.07	15.74	51.54	162
g25b	49.97	-39.69	-6.71	40.27	190
g50b	51.85	-32.32	-24.34	40.48	217
g75b	46.92	-17.28	-36.01	39.96	244
b00r	37.91	1.28	-42.34	42.37	272
b25r	23.81	30.38	-52.25	60.45	300
b50r	29.52	69.06	-42.13	80.9	329
b75r	36.48	71.47	-3.68	71.57	357



Ein und Ausgabe: Farbmetrisches Drucker-Reflektiv-System FRS09_92aM für relativen CIELAB-Buntton $h^* = lab^*h^* = h_{ab}/360 = 92/360 = 0.256$ $u^* = j00g$
Daten für jede Farbe:
 lab^*ch^* und lab^*icu^*
Elementar-Bunttontext:
 $u^* = j00g$
Kontrastreduzierungsfaktor:
 $c_R = 1.0$
Dreiecks-Helligkeit i^*



FRS09_92M; CIELAB-Daten					
	$L^*=L^*$	a^*	b^*	C^*_{ab}	h^*_{ab}
O _M	35.06	60.53	39.66	72.37	33
Y _M	83.77	-4.49	103.15	103.25	92
L _M	44.13	-62.1	43.56	75.86	145
C _M	52.66	-28.55	-36.98	46.73	232
V _M	14.15	50.78	-62.59	80.61	309
M _M	37.37	79.18	-37.92	87.8	334
N _M	8.58	0.46	-3.34	3.38	278
W _M	92.02	0.69	-6.47	6.52	276
R _{CIE}	39.92	58.74	27.99	65.07	25
J _{CIE}	81.26	-2.88	71.56	71.62	92
G _{CIE}	52.23	-42.41	13.6	44.55	162
B _{CIE}	30.57	1.41	-46.46	46.49	272

Daten für Maximalfarbe (Ma):

$LAB^*LAB^*_{Ma}$: 83 -3 109

$LAB^*LCH^*_{Ma}$: 83 109 92

$lab^*rgb^*_{Ma}$: 1.0 1.0 0.0

$lab^*olv^*_{Ma}$: 1.0 0.99 0.0

Dreiecks-Helligkeit i^*

%Umfang

$u^*_{rel} = 109$

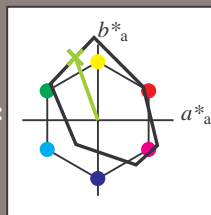
%Regularität

$g^*_{H,rel} = 31$

$g^*_{C,rel} = 40$

FRS09_92aM; adaptierte CIELAB-Daten					
	$L^*=L^*_a$	a^*_a	b^*_a	$C^*_{ab,a}$	$h^*_{ab,a}$
r00j	35.47	63.32	30.17	70.15	25
r25j	39.12	54.56	49.45	73.64	42
r50j	50.64	39.15	64.89	75.79	59
r75j	64.01	21.26	82.83	85.52	76
j00g	83.18	-4.37	108.53	108.62	92
j25g	66.73	-29.88	83.06	88.28	110
j50g	54.03	-48.3	63.49	79.78	127
j75g	44.73	-60.32	42.64	73.88	145
g00b	47.59	-49.07	15.74	51.54	162
g25b	49.97	-39.69	-6.71	40.27	190
g50b	51.85	-32.32	-24.34	40.48	217
g75b	46.92	-17.28	-36.01	39.96	244
b00r	37.91	1.28	-42.34	42.37	272
b25r	23.81	30.38	-52.25	60.45	300
b50r	29.52	69.06	-42.13	80.9	329
b75r	36.48	71.47	-3.68	71.57	357

Ein und Ausgabe: Farbmetrisches Drucker-Reflektiv-System FRS09_92aM für relativen CIELAB-Buntton $h^* = lab^*h^* = h_{ab}/360 = 110/360 = 0.305$ $u^* = j25g$
Daten für jede Farbe:
 lab^*ch^* und lab^*icu^*
Elementar-Bunttontext:
 $u^* = j25g$
Kontrastreduzierungsfaktor:
 $c_R = 1.0$
Dreiecks-Helligkeit i^*



FRS09_92M; CIELAB-Daten					
	$L^*=L^*$	a^*	b^*	C^*_{ab}	h^*_{ab}
O _M	35.06	60.53	39.66	72.37	33
Y _M	83.77	-4.49	103.15	103.25	92
L _M	44.13	-62.1	43.56	75.86	145
C _M	52.66	-28.55	-36.98	46.73	232
V _M	14.15	50.78	-62.59	80.61	309
M _M	37.37	79.18	-37.92	87.8	334
N _M	8.58	0.46	-3.34	3.38	278
W _M	92.02	0.69	-6.47	6.52	276
R _{CIE}	39.92	58.74	27.99	65.07	25
J _{CIE}	81.26	-2.88	71.56	71.62	92
G _{CIE}	52.23	-42.41	13.6	44.55	162
B _{CIE}	30.57	1.41	-46.46	46.49	272

Daten für Maximalfarbe (Ma):

$LAB^*LAB^*_{Ma}$: 67 -29 83

$LAB^*LCH^*_{Ma}$: 67 88 110

$lab^*rgb^*_{Ma}$: 0.75 1.0 0.0

$lab^*olv^*_{Ma}$: 0.57 1.0 0.0

Dreiecks-Helligkeit i^*

%Umfang

$u^*_{rel} = 109$

%Regularität

$g^*_{H,rel} = 31$

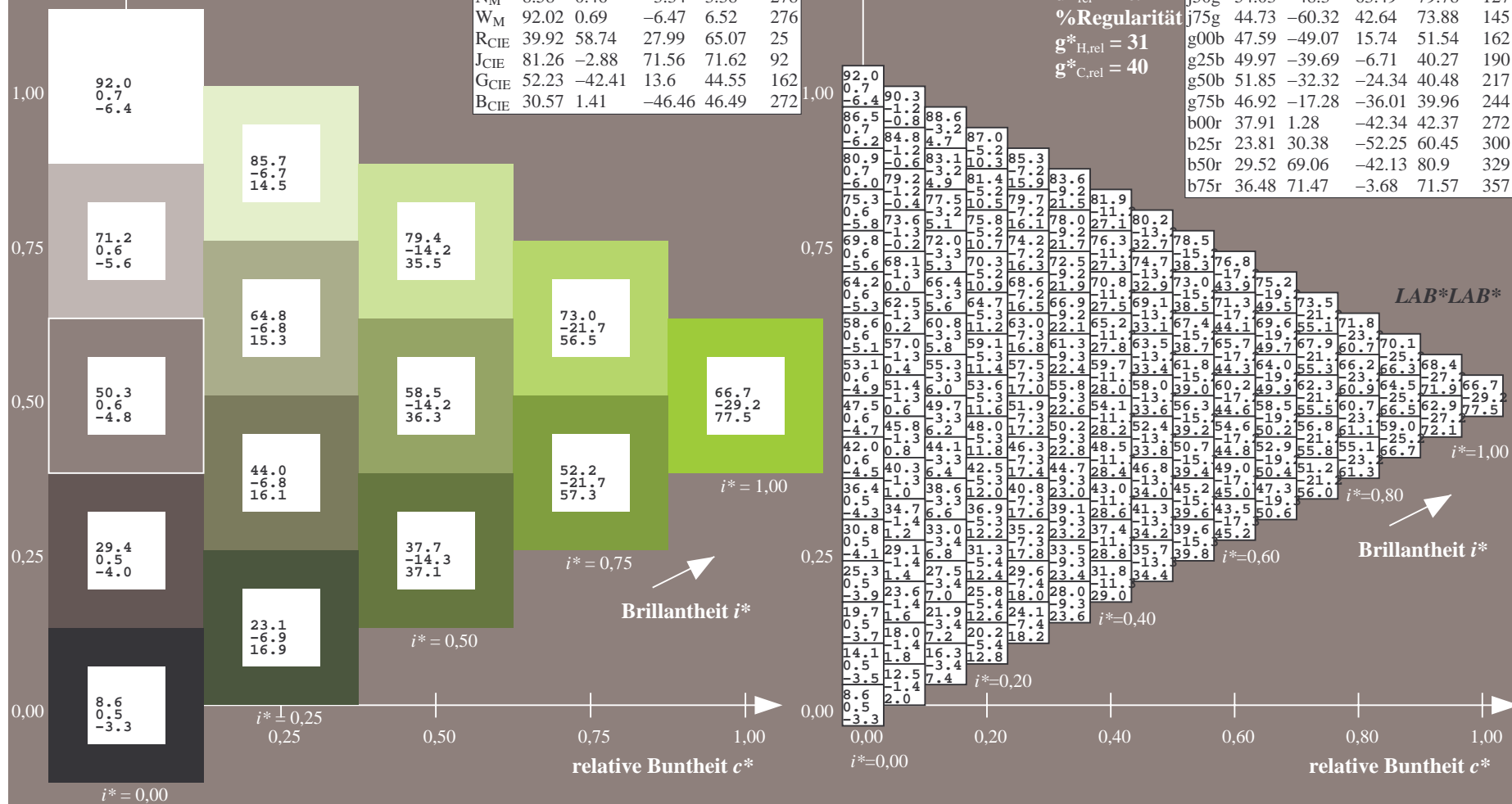
$g^*_{C,rel} = 40$

FRS09_92aM; adaptierte CIELAB-Daten

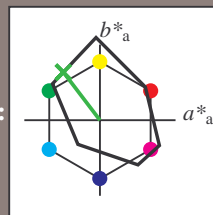
	$L^*=L^*_a$	a^*_a	b^*_a	$C^*_{ab,a}$	$h^*_{ab,a}$
r00j	35.47	63.32	30.17	70.15	25
r25j	39.12	54.56	49.45	73.64	42
r50j	50.64	39.15	64.89	75.79	59
r75j	64.01	21.26	82.83	85.52	76
j00g	83.18	-4.37	108.53	108.62	92
j25g	66.73	-29.88	83.06	88.28	110
j50g	54.03	-48.3	63.49	79.78	127
j75g	44.73	-60.32	42.64	73.88	145
g00b	47.59	-49.07	15.74	51.54	162
g25b	49.97	-39.69	-6.71	40.27	190
g50b	51.85	-32.32	-24.34	40.48	217
g75b	46.92	-17.28	-36.01	39.96	244
b00r	37.91	1.28	-42.34	42.37	272
b25r	23.81	30.38	-52.25	60.45	300
b50r	29.52	69.06	-42.13	80.9	329
b75r	36.48	71.47	-3.68	71.57	357

Siehe ähnliche Dateien: <http://www.ps.bam.de/Dg92/>; www.ps.bam.de/Dg92/10L/L92G00NP.PS/
Technische Information: <http://www.ps.bam.de> Version 2.1, io=1,1, ColSpx=0

BAM-Registrierung: 20080701-Dg92/10L/L92G00NP.PS/ .PDF BAM-Material: Code=rh4ta
Anwendung für Beurteilung und Messung von Drucker- oder Monitorsystemen



Ein und Ausgabe: Farbmetrisches Drucker-Reflektiv-System FRS09_92aM für relativen CIELAB-Buntton $h^* = lab^*h^* = h_{ab}/360 = 127/360 = 0.354$ $u^* = j50g$
Daten für jede Farbe:
 lab^*ch^* und lab^*icu^*
Elementar-Bunttontext:
 $u^* = j50g$
Kontrastreduzierungsfaktor:
 $c_R = 1.0$
Dreiecks-Helligkeit i^*



FRS09_92M; CIELAB-Daten					
	$L^*=L^*$	a^*	b^*	C^*_{ab}	h^*_{ab}
O _M	35.06	60.53	39.66	72.37	33
Y _M	83.77	-4.49	103.15	103.25	92
L _M	44.13	-62.1	43.56	75.86	145
C _M	52.66	-28.55	-36.98	46.73	232
V _M	14.15	50.78	-62.59	80.61	309
M _M	37.37	79.18	-37.92	87.8	334
N _M	8.58	0.46	-3.34	3.38	278
W _M	92.02	0.69	-6.47	6.52	276
R _{CIE}	39.92	58.74	27.99	65.07	25
J _{CIE}	81.26	-2.88	71.56	71.62	92
G _{CIE}	52.23	-42.41	13.6	44.55	162
B _{CIE}	30.57	1.41	-46.46	46.49	272

Daten für Maximalfarbe (Ma):

$LAB^*LAB^*_{Ma}$: 54 -47 63

$LAB^*LCH^*_{Ma}$: 54 80 127

$lab^*rgb^*_{Ma}$: 0.5 1.0 0.0

$lab^*olv^*_{Ma}$: 0.25 1.0 0.0

Dreiecks-Helligkeit i^*

%Umfang

$u^*_{rel} = 109$

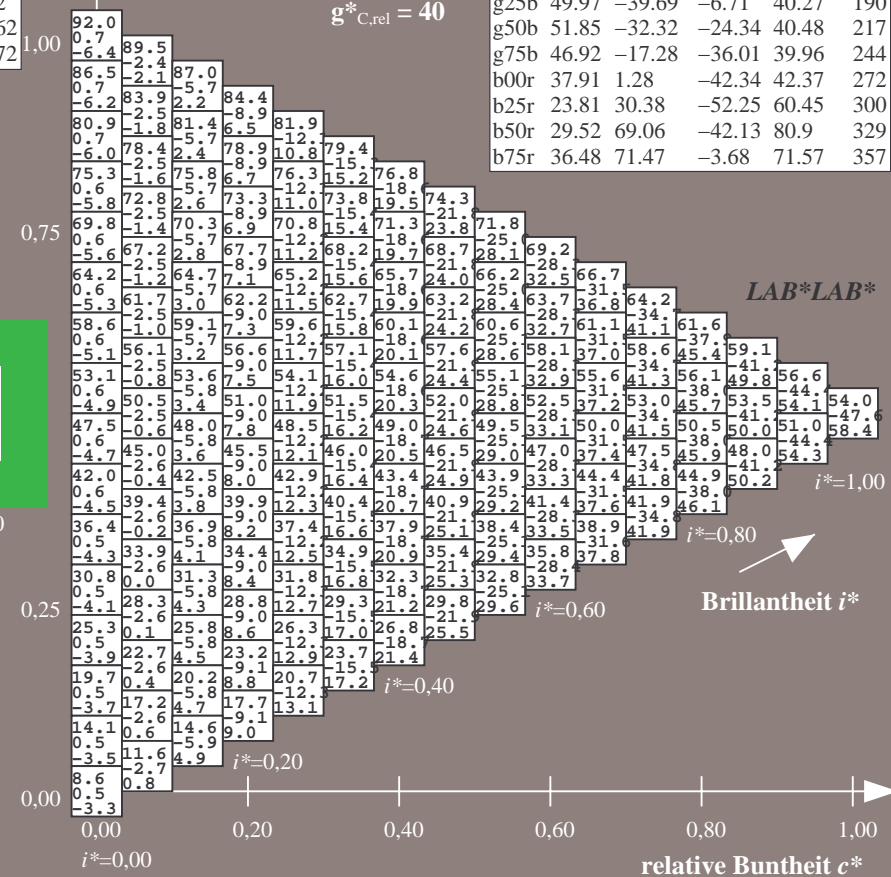
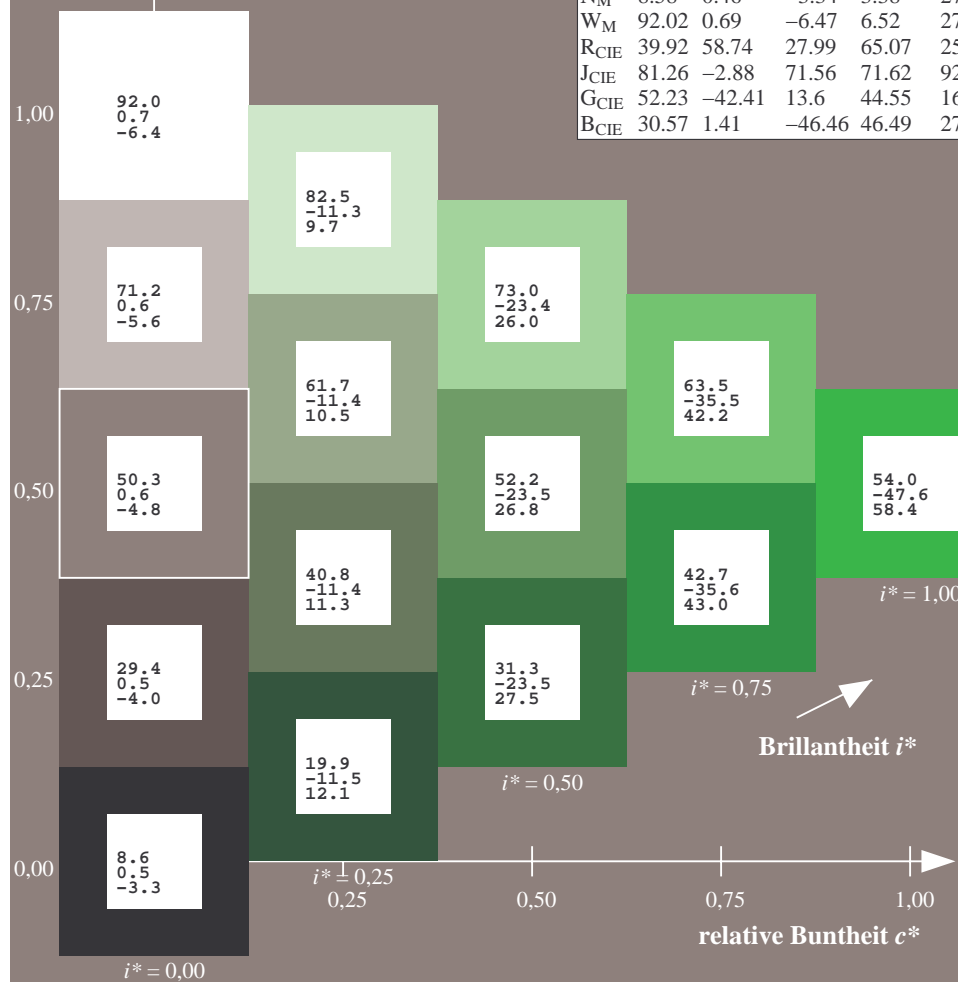
%Regularität

$g^*_{H,rel} = 31$

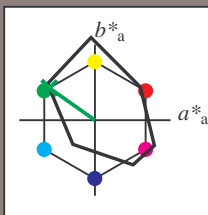
$g^*_{C,rel} = 40$

FRS09_92aM; adaptierte CIELAB-Daten

	$L^*=L^*_a$	a^*_a	b^*_a	$C^*_{ab,a}$	$h^*_{ab,a}$
r00j	35.47	63.32	30.17	70.15	25
r25j	39.12	54.56	49.45	73.64	42
r50j	50.64	39.15	64.89	75.79	59
r75j	64.01	21.26	82.83	85.52	76
j00g	83.18	-4.37	108.53	108.62	92
j25g	66.73	-29.88	83.06	88.28	110
j50g	54.03	-48.3	63.49	79.78	127
j75g	44.73	-60.32	42.64	73.88	145
g00b	47.59	-49.07	15.74	51.54	162
g25b	49.97	-39.69	-6.71	40.27	190
g50b	51.85	-32.32	-24.34	40.48	217
g75b	46.92	-17.28	-36.01	39.96	244
b00r	37.91	1.28	-42.34	42.37	272
b25r	23.81	30.38	-52.25	60.45	300
b50r	29.52	69.06	-42.13	80.9	329
b75r	36.48	71.47	-3.68	71.57	357



Ein und Ausgabe: Farbmetrisches Drucker-Reflektiv-System FRS09_92aM für relativen CIELAB-Buntton $h^* = lab^*h^* = h_{ab}/360 = 145/360 = 0.402$ $u^* = j75g$
Daten für jede Farbe:
 lab^*ch^* und lab^*icu^*
Elementar-Bunttontext:
 $u^* = j75g$
Kontrastreduzierungsfaktor:
 $c_R = 1.0$
Dreiecks-Helligkeit i^*



FRS09_92M; CIELAB-Daten					
	$L^*=L^*$	a^*	b^*	C^*_{ab}	h^*_{ab}
O _M	35.06	60.53	39.66	72.37	33
Y _M	83.77	-4.49	103.15	103.25	92
L _M	44.13	-62.1	43.56	75.86	145
C _M	52.66	-28.55	-36.98	46.73	232
V _M	14.15	50.78	-62.59	80.61	309
M _M	37.37	79.18	-37.92	87.8	334
N _M	8.58	0.46	-3.34	3.38	278
W _M	92.02	0.69	-6.47	6.52	276
R _{CIE}	39.92	58.74	27.99	65.07	25
J _{CIE}	81.26	-2.88	71.56	71.62	92
G _{CIE}	52.23	-42.41	13.6	44.55	162
B _{CIE}	30.57	1.41	-46.46	46.49	272

Daten für Maximalfarbe (Ma):

$LAB^*LAB^*_{Ma}$: 45 -59 43

$LAB^*LCH^*_{Ma}$: 45 74 145

$lab^*rgb^*_{Ma}$: 0.25 1.0 0.0

$lab^*olv^*_{Ma}$: 0.0 1.0 0.07

Dreiecks-Helligkeit i^*

%Umfang

$u^*_{rel} = 109$

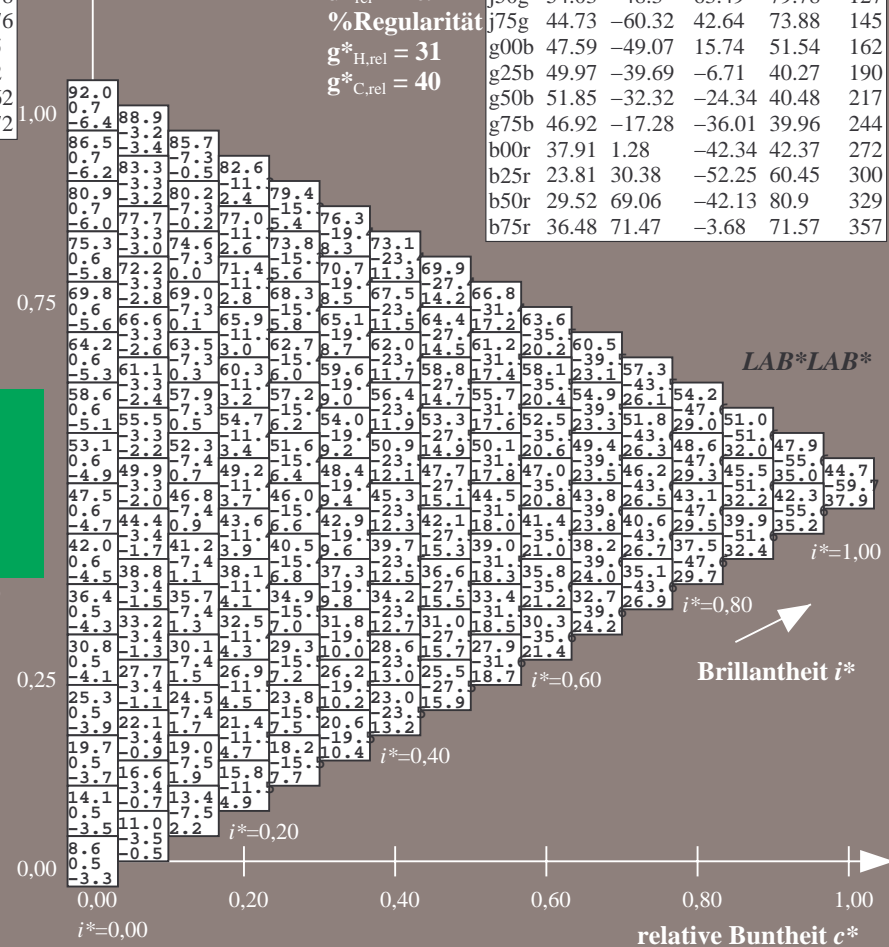
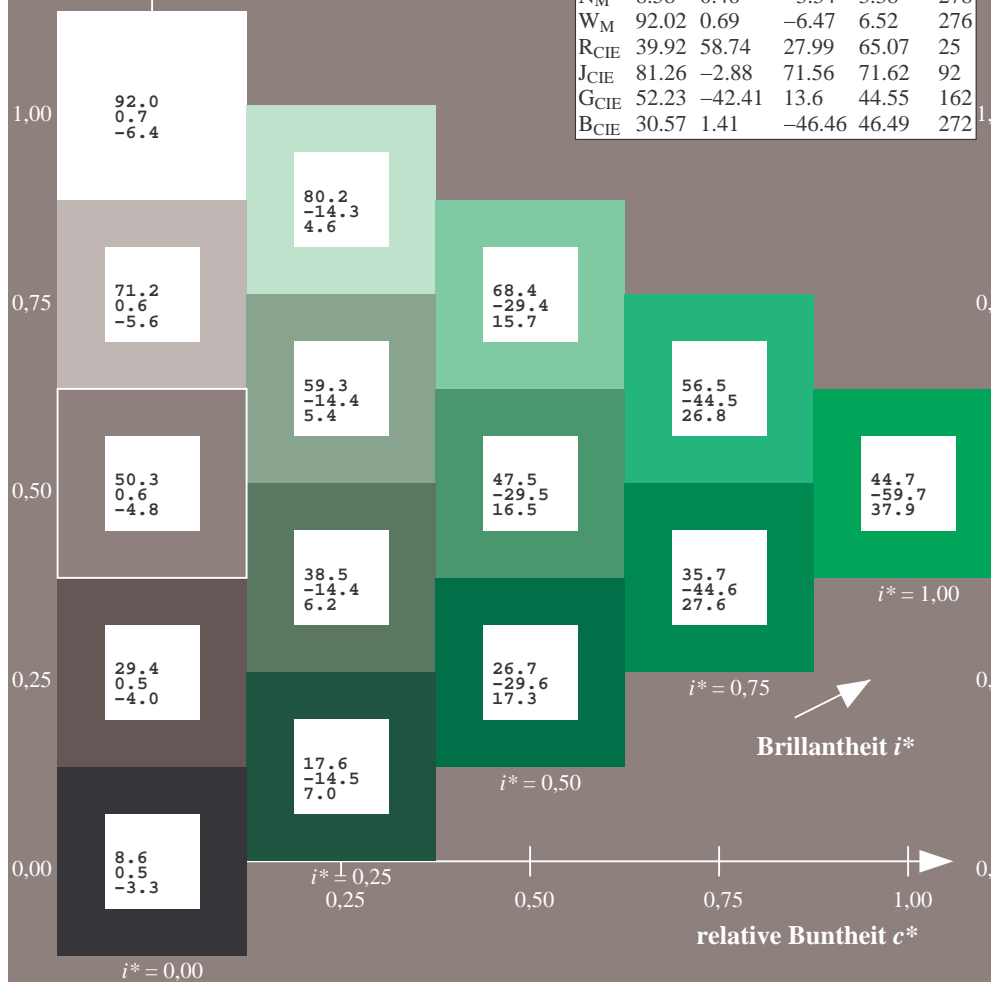
%Regularität

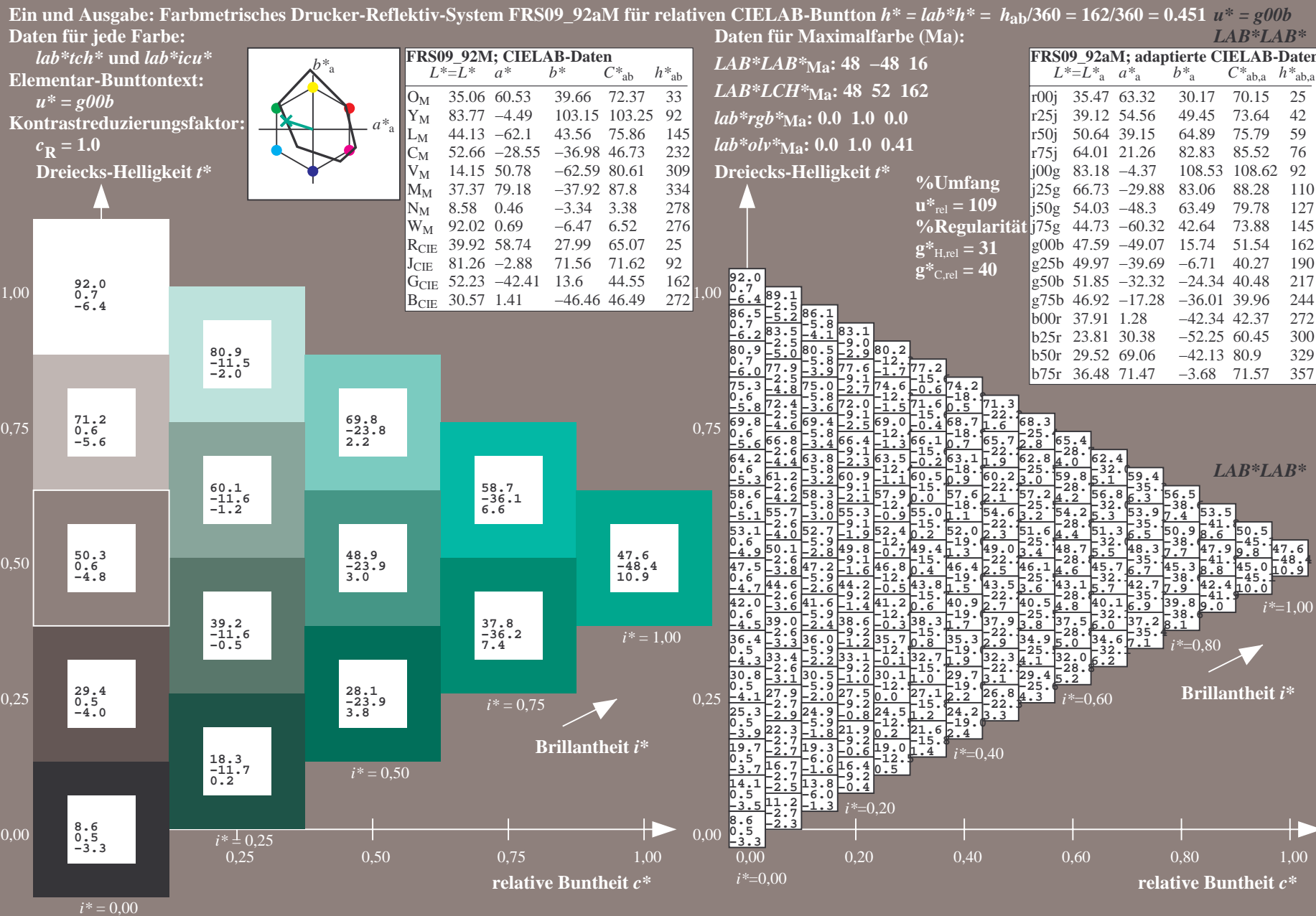
$g^*_{H,rel} = 31$

$g^*_{C,rel} = 40$

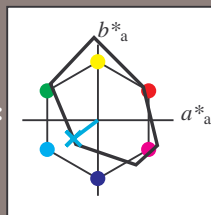
FRS09_92aM; adaptierte CIELAB-Daten

	$L^*=L^*_a$	a^*_a	b^*_a	$C^*_{ab,a}$	$h^*_{ab,a}$
r00j	35.47	63.32	30.17	70.15	25
r25j	39.12	54.56	49.45	73.64	42
r50j	50.64	39.15	64.89	75.79	59
r75j	64.01	21.26	82.83	85.52	76
j00g	83.18	-4.37	108.53	108.62	92
j25g	66.73	-29.88	83.06	88.28	110
j50g	54.03	-48.3	63.49	79.78	127
j75g	44.73	-60.32	42.64	73.88	145
g00b	47.59	-49.07	15.74	51.54	162
g25b	49.97	-39.69	-6.71	40.27	190
g50b	51.85	-32.32	-24.34	40.48	217
g75b	46.92	-17.28	-36.01	39.96	244
b00r	37.91	1.28	-42.34	42.37	272
b25r	23.81	30.38	-52.25	60.45	300
b50r	29.52	69.06	-42.13	80.9	329
b75r	36.48	71.47	-3.68	71.57	357





Ein und Ausgabe: Farbmetrisches Drucker-Reflektiv-System FRS09_92aM für relativen CIELAB-Buntton $h^* = lab^*h^* = h_{ab}/360 = 217/360 = 0.603$ $u^* = g50b$
Daten für jede Farbe:
 lab^*ch^* und lab^*icu^*
Elementar-Bunttontext:
 $u^* = g50b$
Kontrastreduzierungsfaktor:
 $c_R = 1.0$
Dreiecks-Helligkeit i^*



FRS09_92M; CIELAB-Daten					
	$L^*=L^*$	a^*	b^*	C^*_{ab}	h^*_{ab}
O _M	35.06	60.53	39.66	72.37	33
Y _M	83.77	-4.49	103.15	103.25	92
L _M	44.13	-62.1	43.56	75.86	145
C _M	52.66	-28.55	-36.98	46.73	232
V _M	14.15	50.78	-62.59	80.61	309
M _M	37.37	79.18	-37.92	87.8	334
N _M	8.58	0.46	-3.34	3.38	278
W _M	92.02	0.69	-6.47	6.52	276
R _{CIE}	39.92	58.74	27.99	65.07	25
J _{CIE}	81.26	-2.88	71.56	71.62	92
G _{CIE}	52.23	-42.41	13.6	44.55	162
B _{CIE}	30.57	1.41	-46.46	46.49	272

Daten für Maximalfarbe (Ma):

$LAB^*LAB^*_{Ma}$: 52 -31 -23
 $LAB^*LCH^*_{Ma}$: 52 40 217
 $lab^*rgb^*_{Ma}$: 0.0 1.0 1.0
 $lab^*olv^*_{Ma}$: 0.0 1.0 0.9

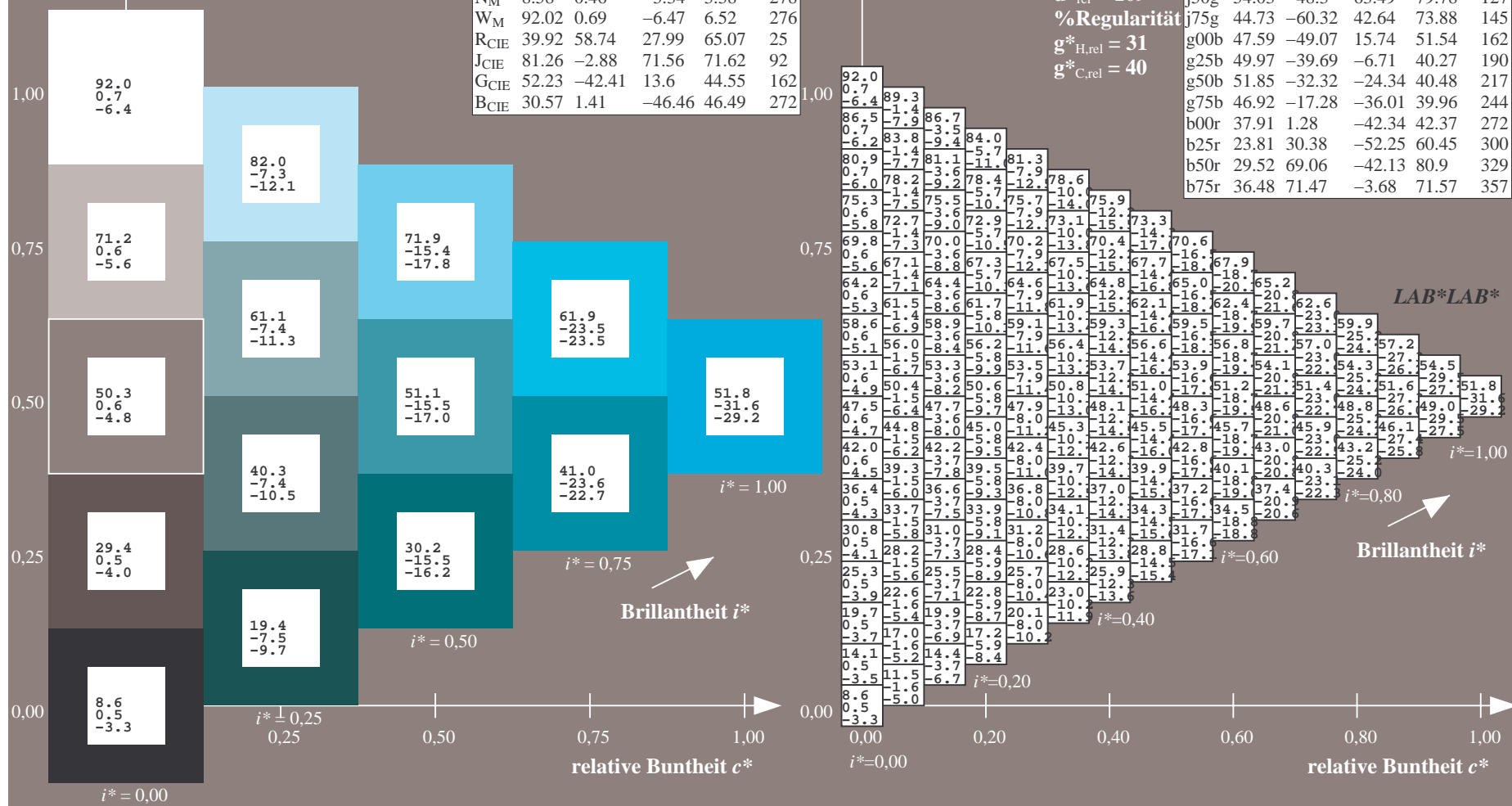
Dreiecks-Helligkeit i^*

%Umfang
 $u^*_{rel} = 109$
%Regelbarkeit
 $g^*_{H,rel} = 31$
 $g^*_{C,rel} = 40$

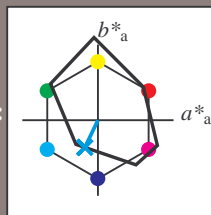
FRS09_92aM; adaptierte CIELAB-Daten					
	$L^*=L^*_a$	a^*_a	b^*_a	$C^*_{ab,a}$	$h^*_{ab,a}$
r00j	35.47	63.32	30.17	70.15	25
r25j	39.12	54.56	49.45	73.64	42
r50j	50.64	39.15	64.89	75.79	59
r75j	64.01	21.26	82.83	85.52	76
j00g	83.18	-4.37	108.53	108.62	92
j25g	66.73	-29.88	83.06	88.28	110
j50g	54.03	-48.3	63.49	79.78	127
j75g	44.73	-60.32	42.64	73.88	145
g00b	47.59	-49.07	15.74	51.54	162
g25b	49.97	-39.69	-6.71	40.27	190
g50b	51.85	-32.32	-24.34	40.48	217
g75b	46.92	-17.28	-36.01	39.96	244
b00r	37.91	1.28	-42.34	42.37	272
b25r	23.81	30.38	-52.25	60.45	300
b50r	29.52	69.06	-42.13	80.9	329
b75r	36.48	71.47	-3.68	71.57	357

Siehe ähnliche Dateien: <http://www.ps.bam.de/Dg92/>; www.ps.bam.de/Dg92/10L/L92G00NP.PS/.PDF BAM-Material: Code=rh4ta
Technische Information: <http://www.ps.bam.de> Version 2.1, io=1,1, ColSpx=0

BAM-Registrierung: 20080701-Dg92/10L/L92G00NP.PS/.PDF BAM-Material: Code=rh4ta
Anwendung für Beurteilung und Messung von Drucker- oder Monitorsystemen



Ein und Ausgabe: Farbmetrisches Drucker-Reflektiv-System FRS09_92aM für relativen CIELAB-Buntton $h^* = lab^*h^* = h_{ab}/360 = 244/360 = 0.679$ $u^* = g75b$
Daten für jede Farbe:
 lab^*ch^* und lab^*icu^*
Elementar-Bunttontext:
 $u^* = g75b$
Kontrastreduzierungsfaktor:
 $c_R = 1.0$
Dreiecks-Helligkeit i^*



FRS09_92M; CIELAB-Daten					
	$L^*=L^*$	a^*	b^*	C^*_{ab}	h^*_{ab}
O _M	35.06	60.53	39.66	72.37	33
Y _M	83.77	-4.49	103.15	103.25	92
L _M	44.13	-62.1	43.56	75.86	145
C _M	52.66	-28.55	-36.98	46.73	232
V _M	14.15	50.78	-62.59	80.61	309
M _M	37.37	79.18	-37.92	87.8	334
N _M	8.58	0.46	-3.34	3.38	278
W _M	92.02	0.69	-6.47	6.52	276
R _{CIE}	39.92	58.74	27.99	65.07	25
J _{CIE}	81.26	-2.88	71.56	71.62	92
G _{CIE}	52.23	-42.41	13.6	44.55	162
B _{CIE}	30.57	1.41	-46.46	46.49	272

Daten für Maximalfarbe (Ma):

$LAB^*LAB^*_{Ma}$: 47 -16 -35

$LAB^*LCH^*_{Ma}$: 47 40 244

$lab^*rgb^*_{Ma}$: 0.0 0.5 1.0

$lab^*olv^*_{Ma}$: 0.0 0.85 1.0

Dreiecks-Helligkeit i^*

%Umfang

$u^*_{rel} = 109$

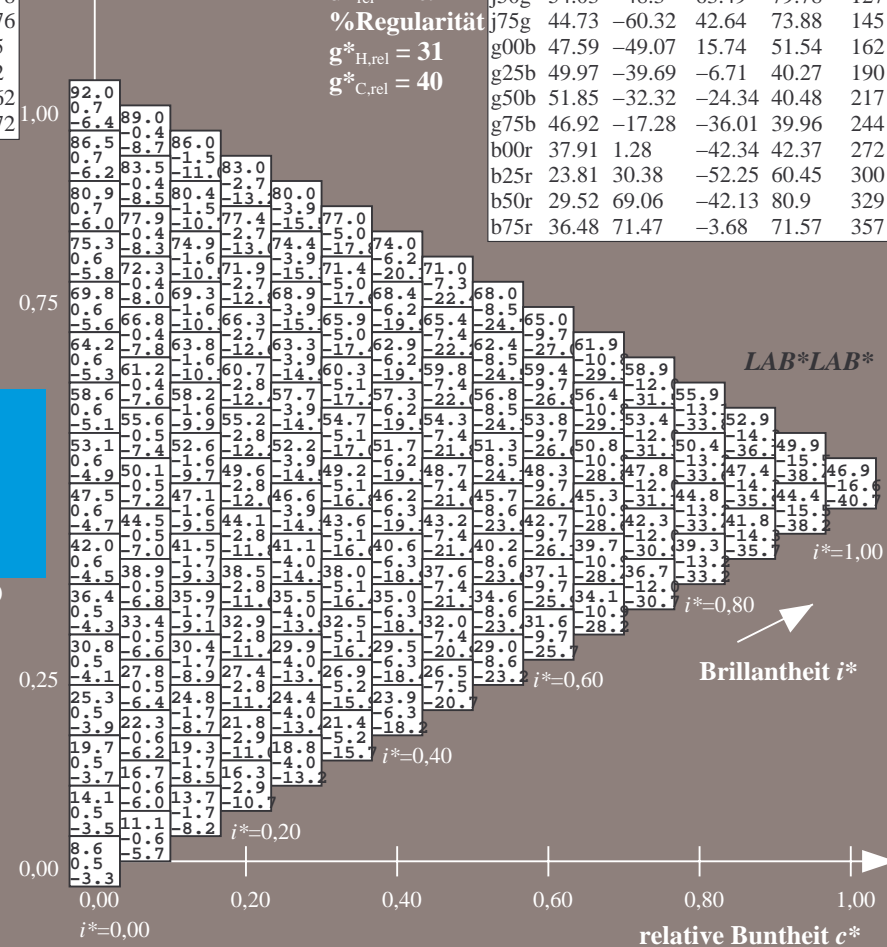
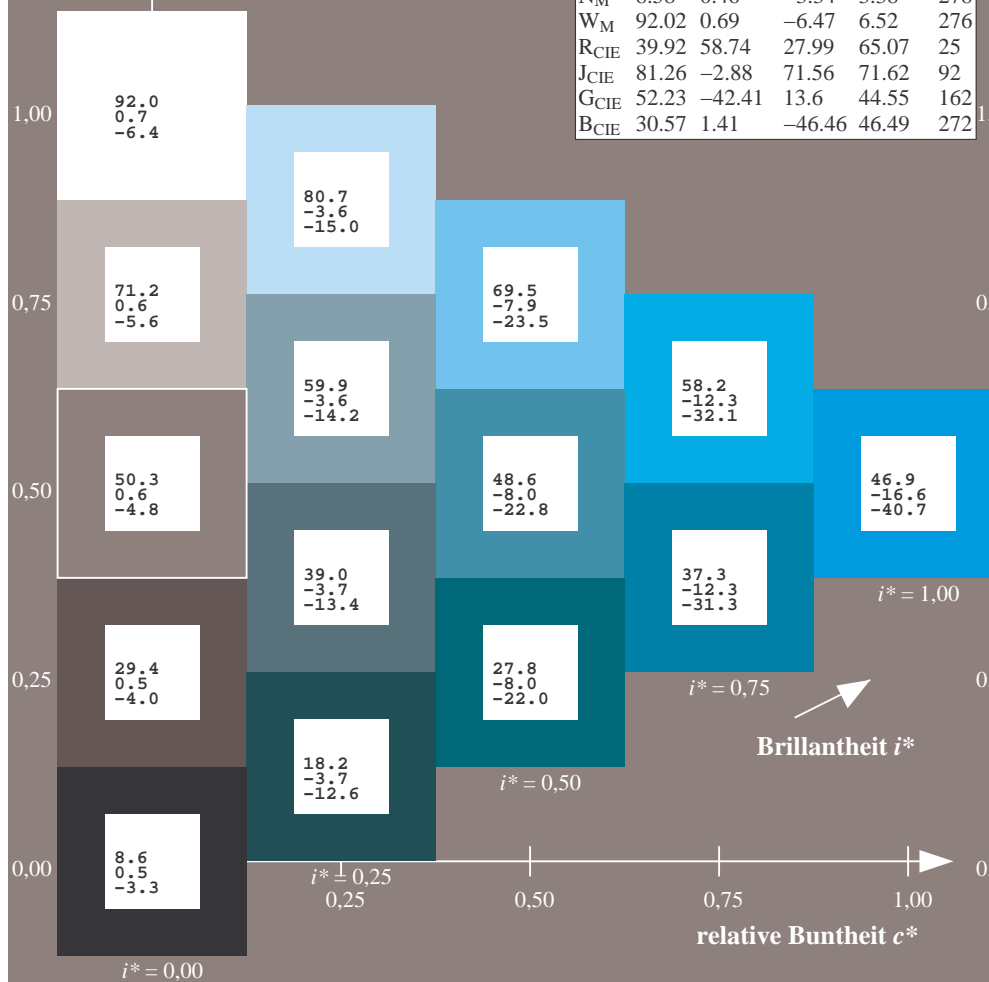
%Regularität

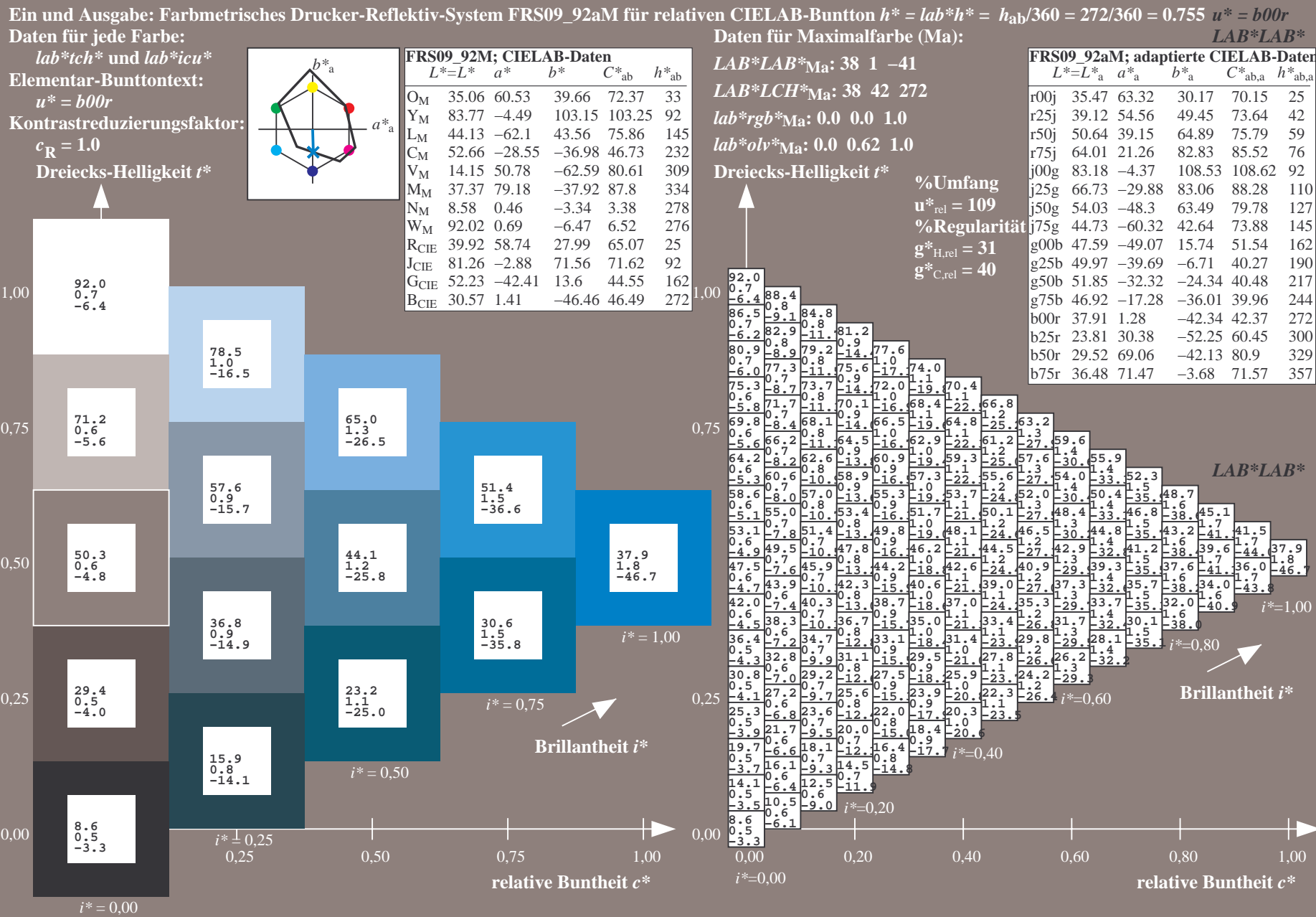
$g^*_{H,rel} = 31$

$g^*_{C,rel} = 40$

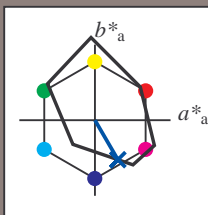
FRS09_92aM; adaptierte CIELAB-Daten

	$L^*=L^*_a$	a^*_a	b^*_a	$C^*_{ab,a}$	$h^*_{ab,a}$
r00j	35.47	63.32	30.17	70.15	25
r25j	39.12	54.56	49.45	73.64	42
r50j	50.64	39.15	64.89	75.79	59
r75j	64.01	21.26	82.83	85.52	76
j00g	83.18	-4.37	108.53	108.62	92
j25g	66.73	-29.88	83.06	88.28	110
j50g	54.03	-48.3	63.49	79.78	127
j75g	44.73	-60.32	42.64	73.88	145
g00b	47.59	-49.07	15.74	51.54	162
g25b	49.97	-39.69	-6.71	40.27	190
g50b	51.85	-32.32	-24.34	40.48	217
g75b	46.92	-17.28	-36.01	39.96	244
b00r	37.91	1.28	-42.34	42.37	272
b25r	23.81	30.38	-52.25	60.45	300
b50r	29.52	69.06	-42.13	80.9	329
b75r	36.48	71.47	-3.68	71.57	357





Ein und Ausgabe: Farbmetrisches Drucker-Reflektiv-System FRS09_92aM für relativen CIELAB-Buntton $h^* = lab^*h^* = h_{ab}/360 = 300/360 = 0.834$ $u^* = b25r$
Daten für jede Farbe:
 lab^*ch^* und lab^*icu^*
Elementar-Bunttontext:
 $u^* = b25r$
Kontrastreduzierungsfaktor:
 $c_R = 1.0$
Dreiecks-Helligkeit i^*



FRS09_92M; CIELAB-Daten					
	$L^*=L^*$	a^*	b^*	C^*_{ab}	h^*_{ab}
O _M	35.06	60.53	39.66	72.37	33
Y _M	83.77	-4.49	103.15	103.25	92
L _M	44.13	-62.1	43.56	75.86	145
C _M	52.66	-28.55	-36.98	46.73	232
V _M	14.15	50.78	-62.59	80.61	309
M _M	37.37	79.18	-37.92	87.8	334
N _M	8.58	0.46	-3.34	3.38	278
W _M	92.02	0.69	-6.47	6.52	276
R _{CIE}	39.92	58.74	27.99	65.07	25
J _{CIE}	81.26	-2.88	71.56	71.62	92
G _{CIE}	52.23	-42.41	13.6	44.55	162
B _{CIE}	30.57	1.41	-46.46	46.49	272

Daten für Maximalfarbe (Ma):

$LAB^*LAB^*_{Ma}$: 24 30 -51

$LAB^*LCH^*_{Ma}$: 24 60 300

$lab^*rgb^*_{Ma}$: 0.5 0.0 1.0

$lab^*olv^*_{Ma}$: 0.0 0.25 1.0

Dreiecks-Helligkeit i^*

%Umfang

$u^*_{rel} = 109$

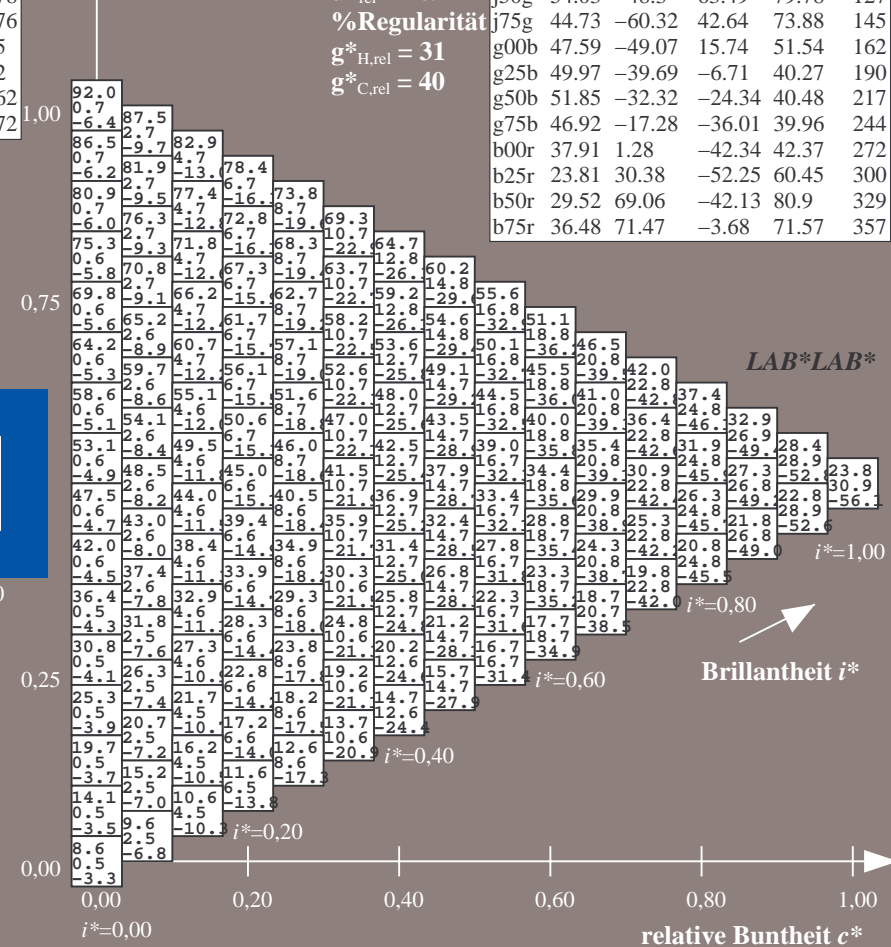
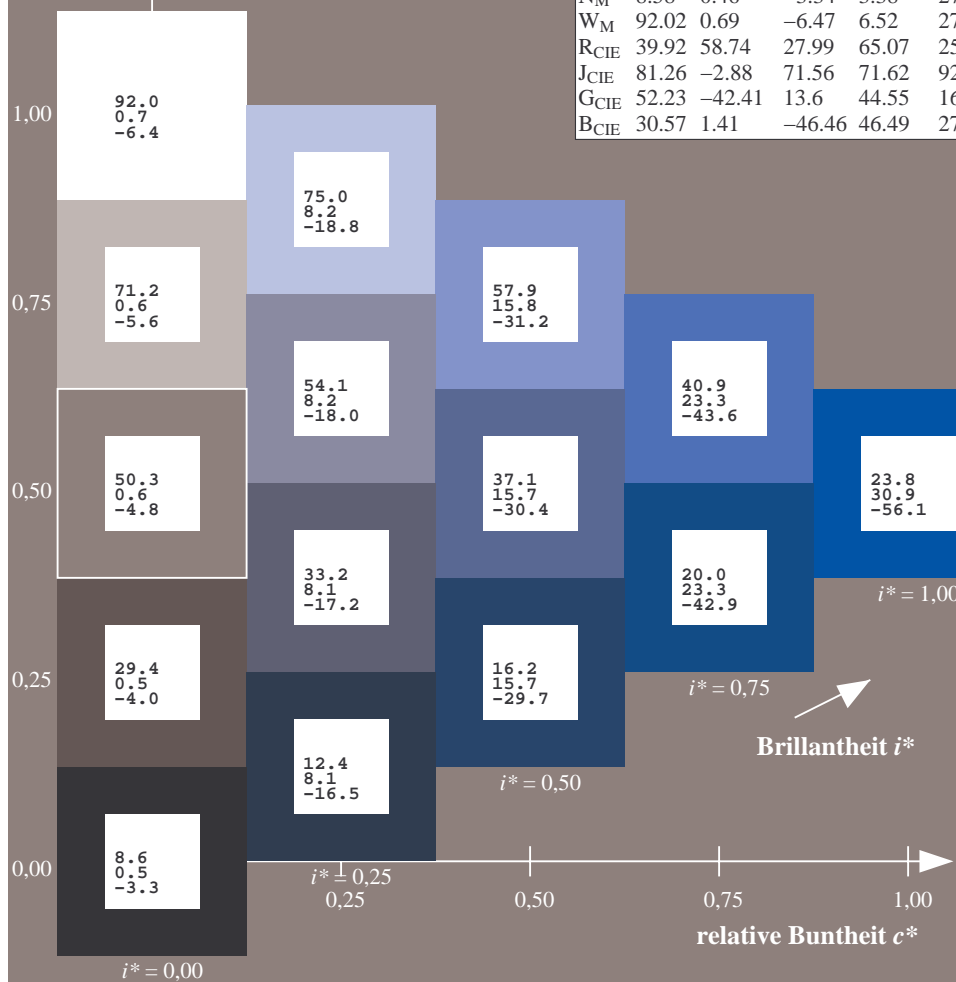
%Regularität

$g^*_{H,rel} = 31$

$g^*_{C,rel} = 40$

FRS09_92aM; adaptierte CIELAB-Daten

	$L^*=L^*_a$	a^*_a	b^*_a	$C^*_{ab,a}$	$h^*_{ab,a}$
r00j	35.47	63.32	30.17	70.15	25
r25j	39.12	54.56	49.45	73.64	42
r50j	50.64	39.15	64.89	75.79	59
r75j	64.01	21.26	82.83	85.52	76
j00g	83.18	-4.37	108.53	108.62	92
j25g	66.73	-29.88	83.06	88.28	110
j50g	54.03	-48.3	63.49	79.78	127
j75g	44.73	-60.32	42.64	73.88	145
g00b	47.59	-49.07	15.74	51.54	162
g25b	49.97	-39.69	-6.71	40.27	190
g50b	51.85	-32.32	-24.34	40.48	217
g75b	46.92	-17.28	-36.01	39.96	244
b00r	37.91	1.28	-42.34	42.37	272
b25r	23.81	30.38	-52.25	60.45	300
b50r	29.52	69.06	-42.13	80.9	329
b75r	36.48	71.47	-3.68	71.57	357



100



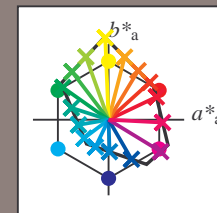


Siehe ähnliche Dateien: <http://www.ps.bam.de/Dg92/>; www.ps.bam.de/Dg92/10L/L92G00NP.PS/.PDF BAM-Material: Code=rh4ta
Technische Information: <http://www.ps.bam.de/Version 2.1, io=1.1, ColSpX=0>

	A	B	C	D	E	F	G	H	I	J	K	L	M	N	O	P	Q	R	S	T	U	V	W	X	Y	Z	a	b	c	d	e	f	g	h	i	j	k	LAB*LAB*																																																																																																																																																																																																																																																																																																																																																																																																																																																																																																																																																																																																																																																																																																																																																																																																																																																																																																																			
01	8.6	13.0	17.5	21.9	26.4	30.8	35.2	39.7	44.1	48.5	52.9	57.3	61.7	66.1	70.5	74.9	79.3	83.7	88.1	92.5	96.9	101.3	105.7	110.1	114.5	118.9	123.3	127.7	132.1	136.5	140.9	145.3	149.7	154.1	158.5	162.9	167.3	171.7	176.1	180.5	184.9	189.3	193.7	198.1	202.5	206.9	211.3	215.7	220.1	224.5	228.9	233.3	237.7	242.1	246.5	250.9	255.3	259.7	264.1	268.5	272.9	277.3	281.7	286.1	290.5	294.9	299.3	303.7	308.1	312.5	316.9	321.3	325.7	330.1	334.5	338.9	343.3	347.7	352.1	356.5	360.9	365.3	369.7	374.1	378.5	382.9	387.3	391.7	396.1	400.5	404.9	409.3	413.7	418.1	422.5	426.9	431.3	435.7	440.1	444.5	448.9	453.3	457.7	462.1	466.5	470.9	475.3	479.7	484.1	488.5	492.9	497.3	501.7	506.1	510.5	514.9	519.3	523.7	528.1	532.5	536.9	541.3	545.7	550.1	554.5	558.9	563.3	567.7	572.1	576.5	580.9	585.3	589.7	594.1	598.5	602.9	607.3	611.7	616.1	620.5	624.9	629.3	633.7	638.1	642.5	646.9	651.3	655.7	660.1	664.5	668.9	673.3	677.7	682.1	686.5	690.9	695.3	699.7	704.1	708.5	712.9	717.3	721.7	726.1	730.5	734.9	739.3	743.7	748.1	752.5	756.9	761.3	765.7	770.1	774.5	778.9	783.3	787.7	792.1	796.5	800.9	805.3	809.7	814.1	818.5	822.9	827.3	831.7	836.1	840.5	844.9	849.3	853.7	858.1	862.5	866.9	871.3	875.7	880.1	884.5	888.9	893.3	897.7	902.1	906.5	910.9	915.3	919.7	924.1	928.5	932.9	937.3	941.7	946.1	950.5	954.9	959.3	963.7	968.1	972.5	976.9	981.3	985.7	990.1	994.5	998.9	1003.3	1007.7	1012.1	1016.5	1020.9	1025.3	1029.7	1034.1	1038.5	1042.9	1047.3	1051.7	1056.1	1060.5	1064.9	1069.3	1073.7	1078.1	1082.5	1086.9	1091.3	1095.7	1100.1	1104.5	1108.9	1113.3	1117.7	1122.1	1126.5	1130.9	1135.3	1139.7	1144.1	1148.5	1152.9	1157.3	1161.7	1166.1	1170.5	1174.9	1179.3	1183.7	1188.1	1192.5	1196.9	1201.3	1205.7	1210.1	1214.5	1218.9	1223.3	1227.7	1232.1	1236.5	1240.9	1245.3	1249.7	1254.1	1258.5	1262.9	1267.3	1271.7	1276.1	1280.5	1284.9	1289.3	1293.7	1298.1	1302.5	1306.9	1311.3	1315.7	1320.1	1324.5	1328.9	1333.3	1337.7	1342.1	1346.5	1350.9	1355.3	1359.7	1364.1	1368.5	1372.9	1377.3	1381.7	1386.1	1390.5	1394.9	1399.3	1403.7	1408.1	1412.5	1416.9	1421.3	1425.7	1430.1	1434.5	1438.9	1443.3	1447.7	1452.1	1456.5	1460.9	1465.3	1469.7	1474.1	1478.5	1482.9	1487.3	1491.7	1496.1	1500.5	1504.9	1509.3	1513.7	1518.1	1522.5	1526.9	1531.3	1535.7	1540.1	1544.5	1548.9	1553.3	1557.7	1562.1	1566.5	1570.9	1575.3	1579.7	1584.1	1588.5	1592.9	1597.3	1601.7	1606.1	1610.5	1614.9	1619.3	1623.7	1628.1	1632.5	1636.9	1641.3	1645.7	1650.1	1654.5	1658.9	1663.3	1667.7	1672.1	1676.5	1680.9	1685.3	1689.7	1694.1	1698.5	1702.9	1707.3	1711.7	1716.1	1720.5	1724.9	1729.3	1733.7	1738.1	1742.5	1746.9	1751.3	1755.7	1760.1	1764.5	1768.9	1773.3	1777.7	1782.1	1786.5	1790.9	1795.3	1799.7	1804.1	1808.5	1812.9	1817.3	1821.7	1826.1	1830.5	1834.9	1839.3	1843.7	1848.1	1852.5	1856.9	1861.3	1865.7	1870.1	1874.5	1878.9	1883.3	1887.7	1892.1	1896.5	1900.9	1905.3	1909.7	1914.1	1918.5	1922.9	1927.3	1931.7	1936.1	1940.5	1944.9	1949.3	1953.7	1958.1	1962.5	1966.9	1971.3	1975.7	1980.1	1984.5	1988.9	1993.3	1997.7	2002.1	2006.5	2010.9	2015.3	2019.7	2024.1	2028.5	2032.9	2037.3	2041.7	2046.1	2050.5	2054.9	2059.3	2063.7	2068.1	2072.5	2076.9	2081.3	2085.7	2090.1	2094.5	2098.9	2103.3	2107.7	2112.1	2116.5	2120.9	2125.3	2129.7	2134.1	2138.5	2142.9	2147.3	2151.7	2156.1	2160.5	2164.9	2169.3	2173.7	2178.1	2182.5	2186.9	2191.3	2195.7	2200.1	2204.5	2208.9	2213.3	2217.7	2222.1	2226.5	2230.9	2235.3	2239.7	2244.1	2248.5	2252.9	2257.3	2261.7	2266.1	2270.5	2274.9	2279.3	2283.7	2288.1	2292.5	2296.9	2301.3	2305.7	2310.1	2314.5	2318.9	2323.3	2327.7	2332.1	2336.5	2340.9	2345.3	2349.7	2354.1	2358.5	2362.9	2367.3	2371.7	2376.1	2380.5	2384.9	2389.3	2393.7	2398.1	2402.5	2406.9	2411.3	2415.7	2420.1	2424.5	2428.9	2433.3	2437.7	2442.1	2446.5	2450.9	2455.3	2459.7	2464.1	2468.5	2472.9	2477.3	2481.7	2486.1	2490.5	2494.9	2499.3	2503.7	2508.1	2512.5	2516.9	2521.3	2525.7	2530.1	2534.5	2538.9	2543.3	2547.7	2552.1	2556.5	2560.9	2565.3	2569.7	2574.1	2578.5	2582.9	2587.3	2591.7	2596.1	2600.5	2604.9	2609.3	2613.7	2618.1	2622.5	2626.9	2631.3	2635.7	2640.1	2644.5	2648.9	2653.3	2657.7	2662.1	2666.5	2670.9	2675.3	2679.7	2684.1	2688.5	2692.9	2697.3	2701.7	2706.1	2710.5	2714.9	2719.3	2723.7	2728.1	2732.5	2736.9	2741.3	2745.7	2750.1	2754.5	2758.9	2763.3	2767.7	2772.1	2776.5	2780.9	2785.3	2789.7	2794.1	2798.5	2802.9	2807.3	2811.7	2816.1	2820.5	2824.9	2829.3	2833.7	2838.1	2842.5	2846.9	2851.3	2855.7	2860.1	2864.5	2868.9	2873.3	2877.7	2882.1	2886.5	2890.9	2895.3	2899.7	2904.1	2908.5	2912.9	2917.3	2921.7	2926.1	2930.5	2934.9	2939.3	2943.7	2948.1	2952.5	2956.9	2961.3	2965.7	2970.1	2974.5	2978.9	2983.3	2987.7	2992.1	2996.5	3000.9	3005.3	3009.7	3014.1	3018.5	3022.9	3027.3	3031.7	3036.1	3040.5	3044.9	3049.3	3053.7	3058.1	3062.5	3066.9	3071.3	3075.7	3080.1	3084.5	3088.9	3093.3	3097.7	3102.1	3106.5	3110.9	3115.3	3119.7	3124.1	3128.5	3132.9	3137.3	3141.7	3146.1	3150.5	3154.9	3159.3	3163.7	3168.1	3172.5	3176.9	3181.3	3185.7	3190.1	3194.5	3198.9	3203.3	3207.7	3212.1	3216.5	3220.9	3225.3	3229.7	3234.1	3238.5	3242.9	3247.3	3251.7	3256.1	3260.5	3264.9	3269.3	3273.7	3278.1	3282.5	3286.9	3291.3	3295.7	3300.1	3304.5	3308.9	3313.3	3317.7	3322.1	3326.5	3330.9	3335.3	3339.7	3344.1	3348.5	3352.9	3357.3	3361.7	3366.1	3370.5	3374.9	3379.3	3383.7	3388.1	3392.5	3396.9	3401.3	3405.7	3410.1	3414.5	3418.9	3423.3	3427.7	3432.1	3436.5	3440.9	3445.3	3449.7	3454.1	3458.5	3462.9	3467.3	3471.7	3476.1	3480.5	3484.9	3489.3	3493.7	3498.1	3502.5	3506.9	3511.3	3515.7	3520.1	3524.5	3528.9	3533.3	3537.7	3542.1	3546.5	3550.9	3555.3	3559.7	3564.1	3568.5	3572.9	3577.3	3581.7	3586.1	3590.5	3594.9	3599.3	3603.7	3608.1	3612.5	3616.9	3621.3	3625.7	3630.1	3634.5	3638.9	3643.3	3647.7	3652.1	3656.5	3660.9	3665.3	3669.7	3674.1	3678.5	3682.9	3687.3	3691.7	3696.1	3700.5	3704.9	3709.3	3713.7	3718.1	3722.5	3726.9	3731.3	3735.7	3740.1	3744.5	3748.9	3753.3	3757.7	3762.1	3766.5	3770.9	3775.3	3779.7	3784.1	3788.5	3792.9	3797.3	3801.7	3806.1	3810.5	3814.9	3819.3	3823.7	3828.1	3832.5	3836.9	3841.3	3845.7	3850.1	3854.5	3858.9	3863.3	3867.7	3872.1	3876.5	3880.9	3885.3	3889.7	3894.1	3898.5	3902.9	3907.3	3911.7	3916.1	3920.5	3924.9	3929.3	3933.7	3938.1	3942.5	3946.9	3951.3	3955.7	3960.1	3964.5	3968.9	3973.3	3977.7	3982.1	3986.5	3990.9	3995.3	3999.7	4004.1	4008.5	4012.9	4017.3	4021.7	4026.1	4030.5	4034.9	4039.3	4043.7	4048.1	4052.5	4056.9

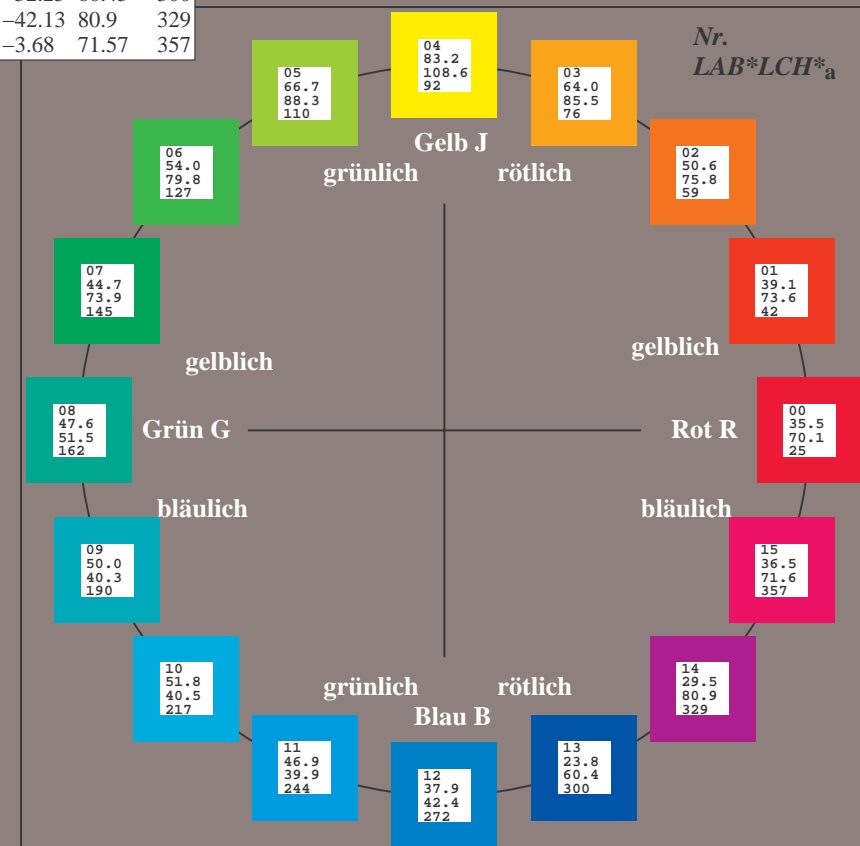
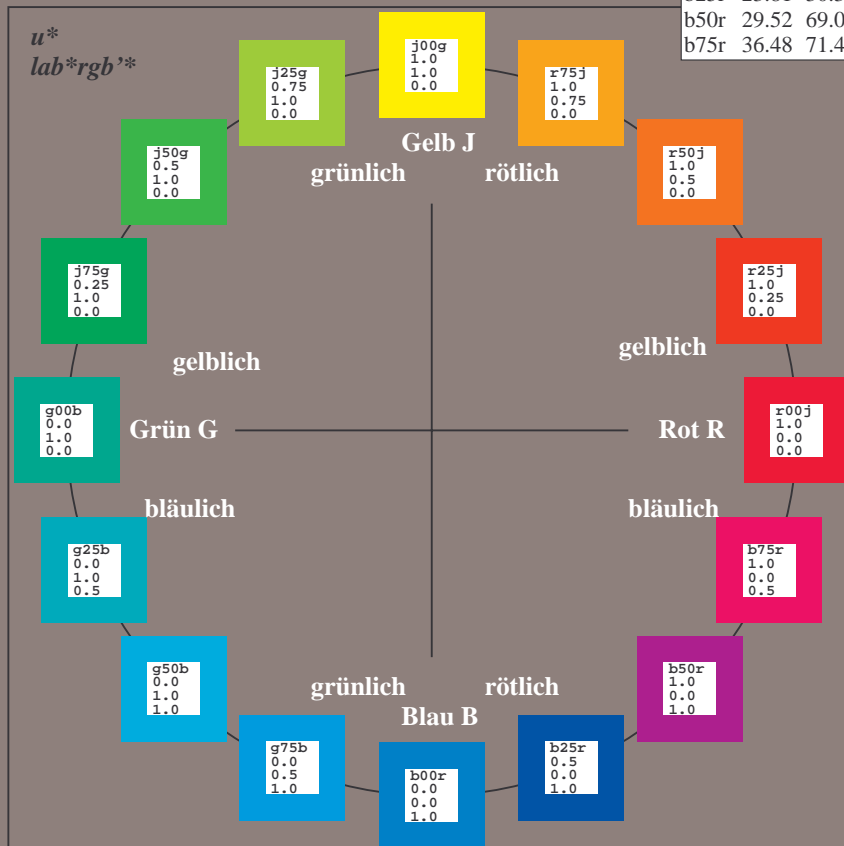
Ein und Ausgabe:
Farbmetrisches Drucker-Reflektiv-System FRS09_92aM
Daten für jede Farbe:
*lab*_{trch}** und *lab*_{icu}**
Elementar-Bunntontext:
*u** = 16 Bunttöne *r00j*, *r25j*, ..., *b75r*
Kontrastreduzierungsfaktor:
c_R = 1.0

FRS09_92aM; adaptierte CIELAB-Daten					
	<i>L*</i> = <i>L*</i> _a	<i>a*</i> _a	<i>b*</i> _a	<i>C*</i> _{ab,a}	<i>h*</i> _{ab,a}
r00j	35.47	63.32	30.17	70.15	25
r25j	39.12	54.56	49.45	73.64	42
r50j	50.64	39.15	64.89	75.79	59
r75j	64.01	21.26	82.83	85.52	76
j00g	83.18	-4.37	108.53	108.62	92
j25g	66.73	-29.88	83.06	88.28	110
j50g	54.03	-48.3	63.49	79.78	127
j75g	44.73	-60.32	42.64	73.88	145
g00b	47.59	-49.07	15.74	51.54	162
g25b	49.97	-39.69	-6.71	40.27	190
g50b	51.85	-32.32	-24.34	40.48	217
g75b	46.92	-17.28	-36.01	39.96	244
b00r	37.91	1.28	-42.34	42.37	272
b25r	23.81	30.38	-52.25	60.45	300
b50r	29.52	69.06	-42.13	80.9	329
b75r	36.48	71.47	-3.68	71.57	357



%Umfang
*u**_{rel} = 109
%Regularität
*g**_{H,rel} = 31
*g**_{C,rel} = 40

FRS09_92aM; CIELAB-Daten					
	<i>L*</i> = <i>L*</i>	<i>a*</i>	<i>b*</i>	<i>C*</i> _{ab}	<i>h*</i> _{ab}
O _M	35.06	60.53	39.66	72.37	33
Y _M	83.77	-4.49	103.15	103.25	92
L _M	44.13	-62.1	43.56	75.86	145
C _M	52.66	-28.55	-36.98	46.73	232
V _M	14.15	50.78	-62.59	80.61	309
M _M	37.37	79.18	-37.92	87.8	334
N _M	8.58	0.46	-3.34	3.38	278
W _M	92.02	0.69	-6.47	6.52	276
R _{CIE}	39.92	58.74	27.99	65.07	25
J _{CIE}	81.26	-2.88	71.56	71.62	92
G _{CIE}	52.23	-42.41	13.6	44.55	162
B _{CIE}	30.57	1.41	-46.46	46.49	272



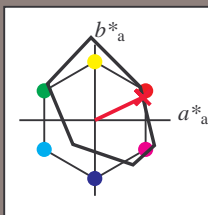
Ein und Ausgabe: Farbmetrisches Drucker-Reflektiv-System FRS09_92aM für relativen CIELAB-Buntton $h^* = lab^*h^* = h_{ab}/360 = 25/360 = 0.071$ $u^* = r00j$

Daten für jede Farbe:
 lab^*ch^* und lab^*icu^*

Elementar-Bunttontext:
 $u^* = r00j$

Kontrastreduzierungsfaktor:
 $c_R = 1.0$

Dreiecks-Helligkeit i^*



FRS09_92aM; CIELAB-Daten					
	$L^*=L^*$	a^*	b^*	C^*_{ab}	h^*_{ab}
O _M	35.06	60.53	39.66	72.37	33
Y _M	83.77	-4.49	103.15	103.25	92
L _M	44.13	-62.1	43.56	75.86	145
C _M	52.66	-28.55	-36.98	46.73	232
V _M	14.15	50.78	-62.59	80.61	309
M _M	37.37	79.18	-37.92	87.8	334
N _M	8.58	0.46	-3.34	3.38	278
W _M	92.02	0.69	-6.47	6.52	276
R _{CIE}	39.92	58.74	27.99	65.07	25
J _{CIE}	81.26	-2.88	71.56	71.62	92
G _{CIE}	52.23	-42.41	13.6	44.55	162
B _{CIE}	30.57	1.41	-46.46	46.49	272

Daten für Maximalfarbe (Ma):

$LAB^*LAB^*_{Ma}$: 35 63 30

$LAB^*LCH^*_{Ma}$: 35 70 25

$lab^*rgb^*_{Ma}$: 1.0 0.0 0.0

$lab^*olv^*_{Ma}$: 1.0 0.0 0.18

Dreiecks-Helligkeit i^*

%Umfang

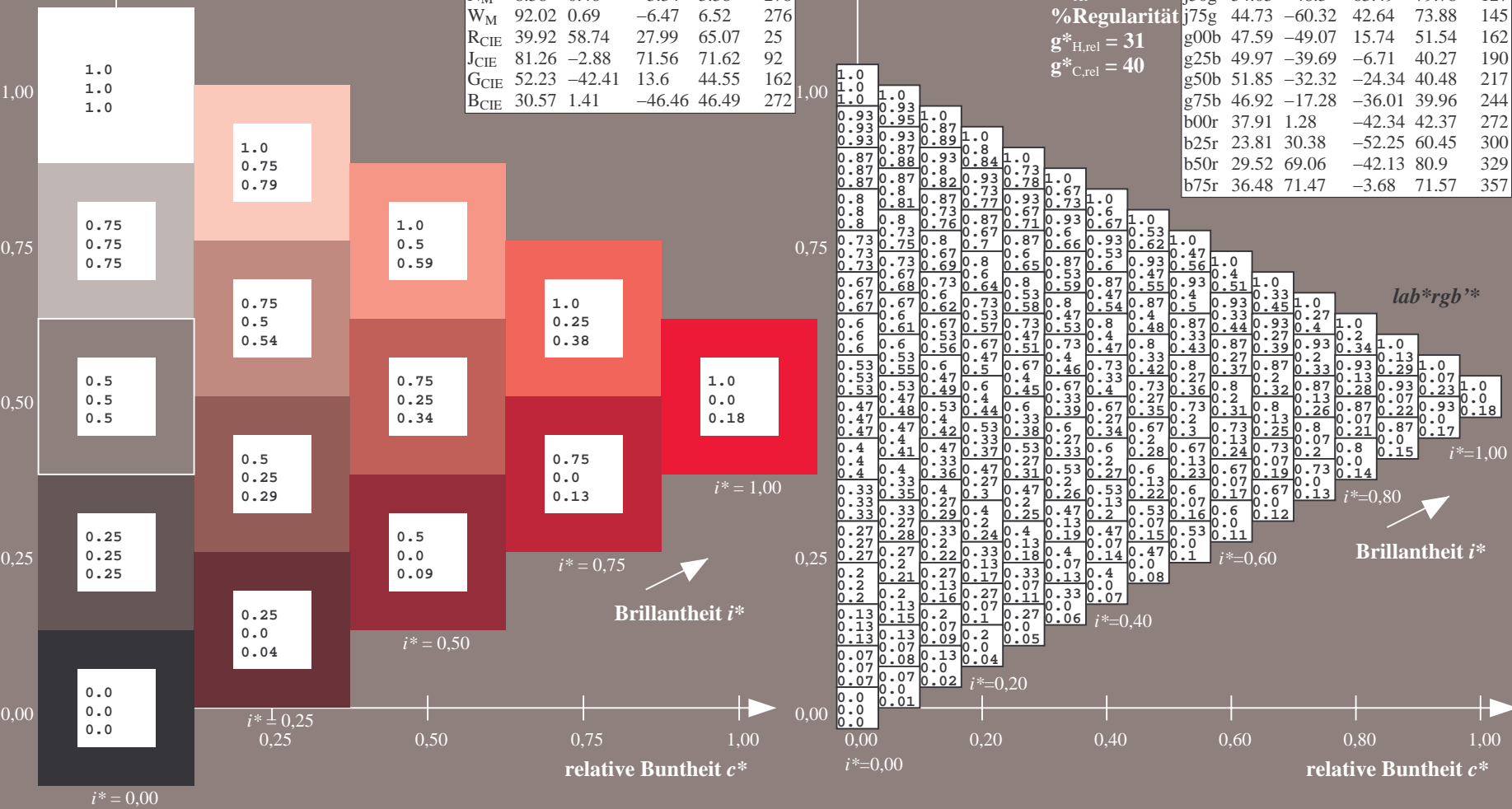
$u^*_{rel} = 109$

%Regularität

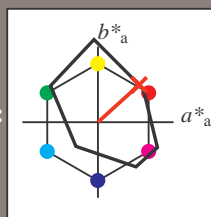
$g^*_{H,rel} = 31$

$g^*_{C,rel} = 40$

FRS09_92aM; adaptierte CIELAB-Daten					
	$L^*=L^*_a$	a^*_a	b^*_a	$C^*_{ab,a}$	$h^*_{ab,a}$
r00j	35.47	63.32	30.17	70.15	25
r25j	39.12	54.56	49.45	73.64	42
r50j	50.64	39.15	64.89	75.79	59
r75j	64.01	21.26	82.83	85.52	76
j00g	83.18	-4.37	108.53	108.62	92
j25g	66.73	-29.88	83.06	88.28	110
j50g	54.03	-48.3	63.49	79.78	127
j75g	44.73	-60.32	42.64	73.88	145
g00b	47.59	-49.07	15.74	51.54	162
g25b	49.97	-39.69	-6.71	40.27	190
g50b	51.85	-32.32	-24.34	40.48	217
g75b	46.92	-17.28	-36.01	39.96	244
b00r	37.91	1.28	-42.34	42.37	272
b25r	23.81	30.38	-52.25	60.45	300
b50r	29.52	69.06	-42.13	80.9	329
b75r	36.48	71.47	-3.68	71.57	357



Ein und Ausgabe: Farbmetrisches Drucker-Reflektiv-System FRS09_92aM für relativen CIELAB-Buntton $h^* = lab^*h^* = h_{ab}/360 = 42/360 = 0.117$ $u^* = r25j$
Daten für jede Farbe:
 lab^*ch^* und lab^*icu^*
Elementar-Bunttontext:
 $u^* = r25j$
Kontrastreduzierungsfaktor:
 $c_R = 1.0$
Dreiecks-Helligkeit i^*



FRS09_92aM; CIELAB-Daten					
	$L^*=L^*$	a^*	b^*	C^*_{ab}	h^*_{ab}
O _M	35.06	60.53	39.66	72.37	33
Y _M	83.77	-4.49	103.15	103.25	92
L _M	44.13	-62.1	43.56	75.86	145
C _M	52.66	-28.55	-36.98	46.73	232
V _M	14.15	50.78	-62.59	80.61	309
M _M	37.37	79.18	-37.92	87.8	334
N _M	8.58	0.46	-3.34	3.38	278
W _M	92.02	0.69	-6.47	6.52	276
R _{CIE}	39.92	58.74	27.99	65.07	25
J _{CIE}	81.26	-2.88	71.56	71.62	92
G _{CIE}	52.23	-42.41	13.6	44.55	162
B _{CIE}	30.57	1.41	-46.46	46.49	272

Daten für Maximalfarbe (Ma):

$LAB^*LAB^*_{Ma}$: 39 55 49

$LAB^*LCH^*_{Ma}$: 39 74 42

$lab^*rgb^*_{Ma}$: 1.0 0.25 0.0

$lab^*olv^*_{Ma}$: 1.0 0.08 0.0

Dreiecks-Helligkeit i^*

%Umfang

$u^*_{rel} = 109$

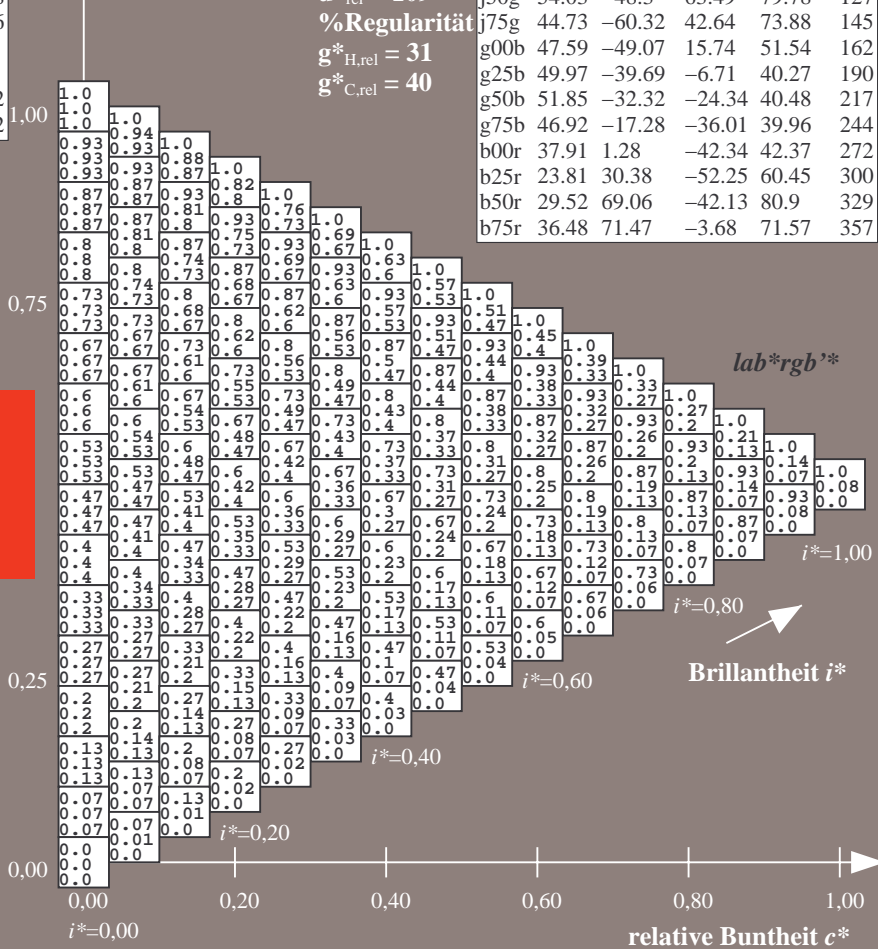
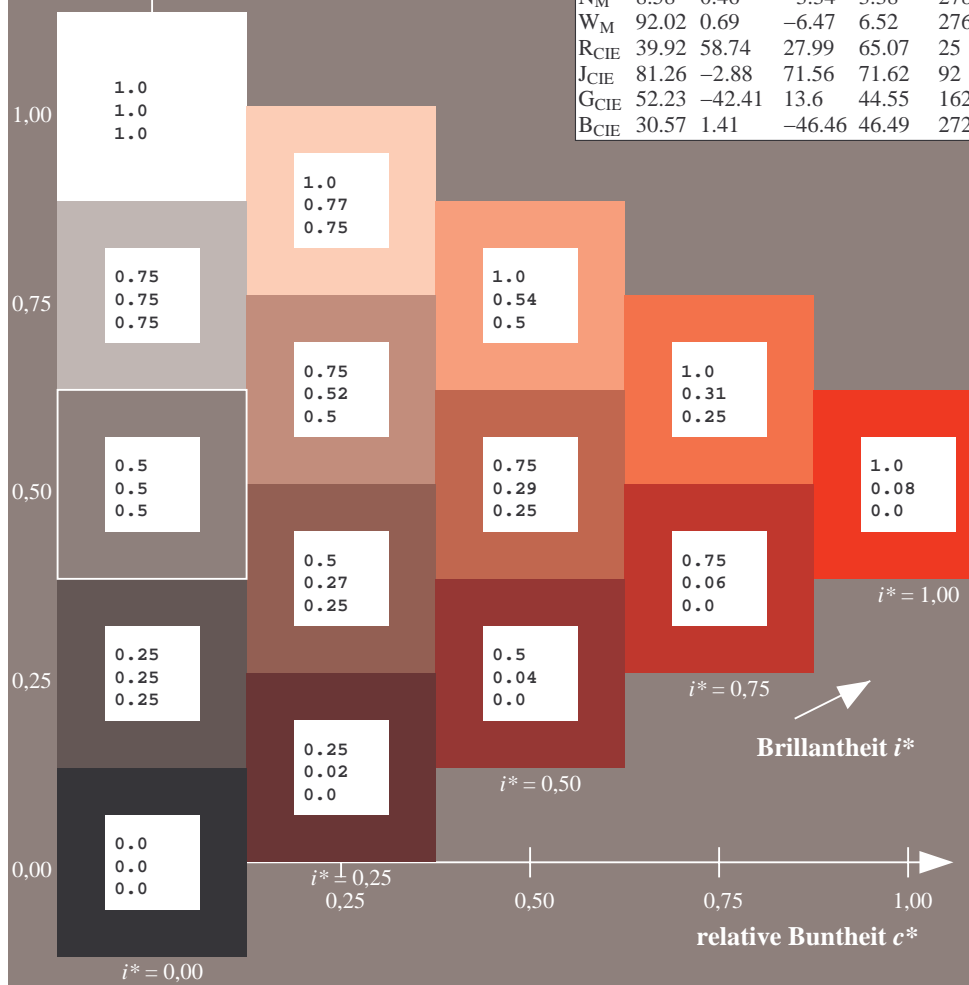
%Regularität

$g^*_{H,rel} = 31$

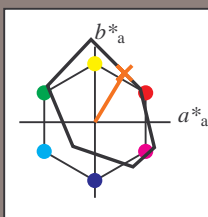
$g^*_{C,rel} = 40$

FRS09_92aM; adaptierte CIELAB-Daten					
	$L^*=L^*_a$	a^*_a	b^*_a	$C^*_{ab,a}$	$h^*_{ab,a}$
r00j	35.47	63.32	30.17	70.15	25
r25j	39.12	54.56	49.45	73.64	42
r50j	50.64	39.15	64.89	75.79	59
r75j	64.01	21.26	82.83	85.52	76
j00g	83.18	-4.37	108.53	108.62	92
j25g	66.73	-29.88	83.06	88.28	110
j50g	54.03	-48.3	63.49	79.78	127
j75g	44.73	-60.32	42.64	73.88	145
g00b	47.59	-49.07	15.74	51.54	162
g25b	49.97	-39.69	-6.71	40.27	190
g50b	51.85	-32.32	-24.34	40.48	217
g75b	46.92	-17.28	-36.01	39.96	244
b00r	37.91	1.28	-42.34	42.37	272
b25r	23.81	30.38	-52.25	60.45	300
b50r	29.52	69.06	-42.13	80.9	329
b75r	36.48	71.47	-3.68	71.57	357

lab^*rgb^*					
r00j	1.0	0.25	0.0		
r25j	0.93	0.33	0.0		
r50j	0.87	0.41	0.0		
r75j	0.81	0.49	0.0		
j00g	0.75	0.57	0.0		
j25g	0.69	0.65	0.0		
j50g	0.63	0.73	0.0		
j75g	0.57	0.81	0.0		
g00b	0.51	0.89	0.0		
g25b	0.45	0.97	0.0		
g50b	0.4	1.0	0.0		
g75b	0.34	1.0	0.0		
b00r	0.28	1.0	0.0		
b25r	0.22	1.0	0.0		
b50r	0.16	1.0	0.0		
b75r	0.1	1.0	0.0		



Ein und Ausgabe: Farbmetrisches Drucker-Reflektiv-System FRS09_92aM für relativen CIELAB-Buntton $h^* = lab^*h^* = h_{ab}/360 = 59/360 = 0.164$ $u^* = r50j$
Daten für jede Farbe:
 lab^*ch^* und lab^*icu^*
Elementar-Bunttontext:
 $u^* = r50j$
Kontrastreduzierungsfaktor:
 $c_R = 1.0$
Dreiecks-Helligkeit i^*



FRS09_92aM; CIELAB-Daten					
	$L^*=L^*$	a^*	b^*	C^*_{ab}	h^*_{ab}
O _M	35.06	60.53	39.66	72.37	33
Y _M	83.77	-4.49	103.15	103.25	92
L _M	44.13	-62.1	43.56	75.86	145
C _M	52.66	-28.55	-36.98	46.73	232
V _M	14.15	50.78	-62.59	80.61	309
M _M	37.37	79.18	-37.92	87.8	334
N _M	8.58	0.46	-3.34	3.38	278
W _M	92.02	0.69	-6.47	6.52	276
R _{CIE}	39.92	58.74	27.99	65.07	25
J _{CIE}	81.26	-2.88	71.56	71.62	92
G _{CIE}	52.23	-42.41	13.6	44.55	162
B _{CIE}	30.57	1.41	-46.46	46.49	272

Daten für Maximalfarbe (Ma):

$LAB^*LAB^*_{Ma}$: 51 39 65

$LAB^*LCH^*_{Ma}$: 51 76 59

$lab^*rgb^*_{Ma}$: 1.0 0.5 0.0

$lab^*olv^*_{Ma}$: 1.0 0.32 0.0

Dreiecks-Helligkeit i^*

%Umfang

$u^*_{rel} = 109$

%Regularität

$g^*_{H,rel} = 31$

$g^*_{C,rel} = 40$

FRS09_92aM; adaptierte CIELAB-Daten					
	$L^*=L^*_a$	a^*_a	b^*_a	$C^*_{ab,a}$	$h^*_{ab,a}$
r00j	35.47	63.32	30.17	70.15	25
r25j	39.12	54.56	49.45	73.64	42
r50j	50.64	39.15	64.89	75.79	59
r75j	64.01	21.26	82.83	85.52	76
j00g	83.18	-4.37	108.53	108.62	92
j25g	66.73	-29.88	83.06	88.28	110
j50g	54.03	-48.3	63.49	79.78	127
j75g	44.73	-60.32	42.64	73.88	145
g00b	47.59	-49.07	15.74	51.54	162
g25b	49.97	-39.69	-6.71	40.27	190
g50b	51.85	-32.32	-24.34	40.48	217
g75b	46.92	-17.28	-36.01	39.96	244
b00r	37.91	1.28	-42.34	42.37	272
b25r	23.81	30.38	-52.25	60.45	300
b50r	29.52	69.06	-42.13	80.9	329
b75r	36.48	71.47	-3.68	71.57	357

lab^*rgb^*					
	lab^*r	lab^*g	lab^*b	i^*	$i^*=1.00$
	1.0	0.5	0.0	0.46	1.0
	0.93	0.41	0.0	0.41	0.93
	0.87	0.37	0.0	0.37	0.87
	0.81	0.33	0.0	0.33	0.81
	0.75	0.29	0.0	0.29	0.75
	0.69	0.25	0.0	0.25	0.69
	0.63	0.21	0.0	0.21	0.63
	0.57	0.17	0.0	0.17	0.57
	0.51	0.13	0.0	0.13	0.51
	0.45	0.09	0.0	0.09	0.45
	0.39	0.05	0.0	0.05	0.39
	0.33	0.01	0.0	0.01	0.33
	0.27	0.0	0.0	0.0	0.27
	0.21	0.0	0.0	0.0	0.21
	0.15	0.0	0.0	0.0	0.15
	0.09	0.0	0.0	0.0	0.09
	0.03	0.0	0.0	0.0	0.03
	0.0	0.0	0.0	0.0	0.0

Brillantheit i^*

Ein und Ausgabe: Farbmetrisches Drucker-Reflektiv-System FRS09_92aM für relativen CIELAB-Buntton $h^* = lab^*h^* = h_{ab}/360 = 76/360 = 0.21$ $u^* = r75j$
Daten für jede Farbe: lab^*ch^* und lab^*icu^*

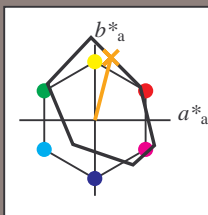
Elementar-Bunttontext:

$u^* = r75j$

Kontrastreduzierungsfaktor:

$c_R = 1.0$

Dreiecks-Helligkeit t^*



FRS09_92aM; CIELAB-Daten					
	$L^*=L^*$	a^*	b^*	C^*_{ab}	h^*_{ab}
O _M	35.06	60.53	39.66	72.37	33
Y _M	83.77	-4.49	103.15	103.25	92
L _M	44.13	-62.1	43.56	75.86	145
C _M	52.66	-28.55	-36.98	46.73	232
V _M	14.15	50.78	-62.59	80.61	309
M _M	37.37	79.18	-37.92	87.8	334
N _M	8.58	0.46	-3.34	3.38	278
W _M	92.02	0.69	-6.47	6.52	276
R _{CIE}	39.92	58.74	27.99	65.07	25
J _{CIE}	81.26	-2.88	71.56	71.62	92
G _{CIE}	52.23	-42.41	13.6	44.55	162
B _{CIE}	30.57	1.41	-46.46	46.49	272

Daten für Maximalfarbe (Ma):

$LAB^*LAB^*_{Ma}$: 64 21 83

$LAB^*LCH^*_{Ma}$: 64 86 76

$lab^*rgb^*_{Ma}$: 1.0 0.75 0.0

$lab^*olv^*_{Ma}$: 1.0 0.59 0.0

Dreiecks-Helligkeit t^*

%Umfang

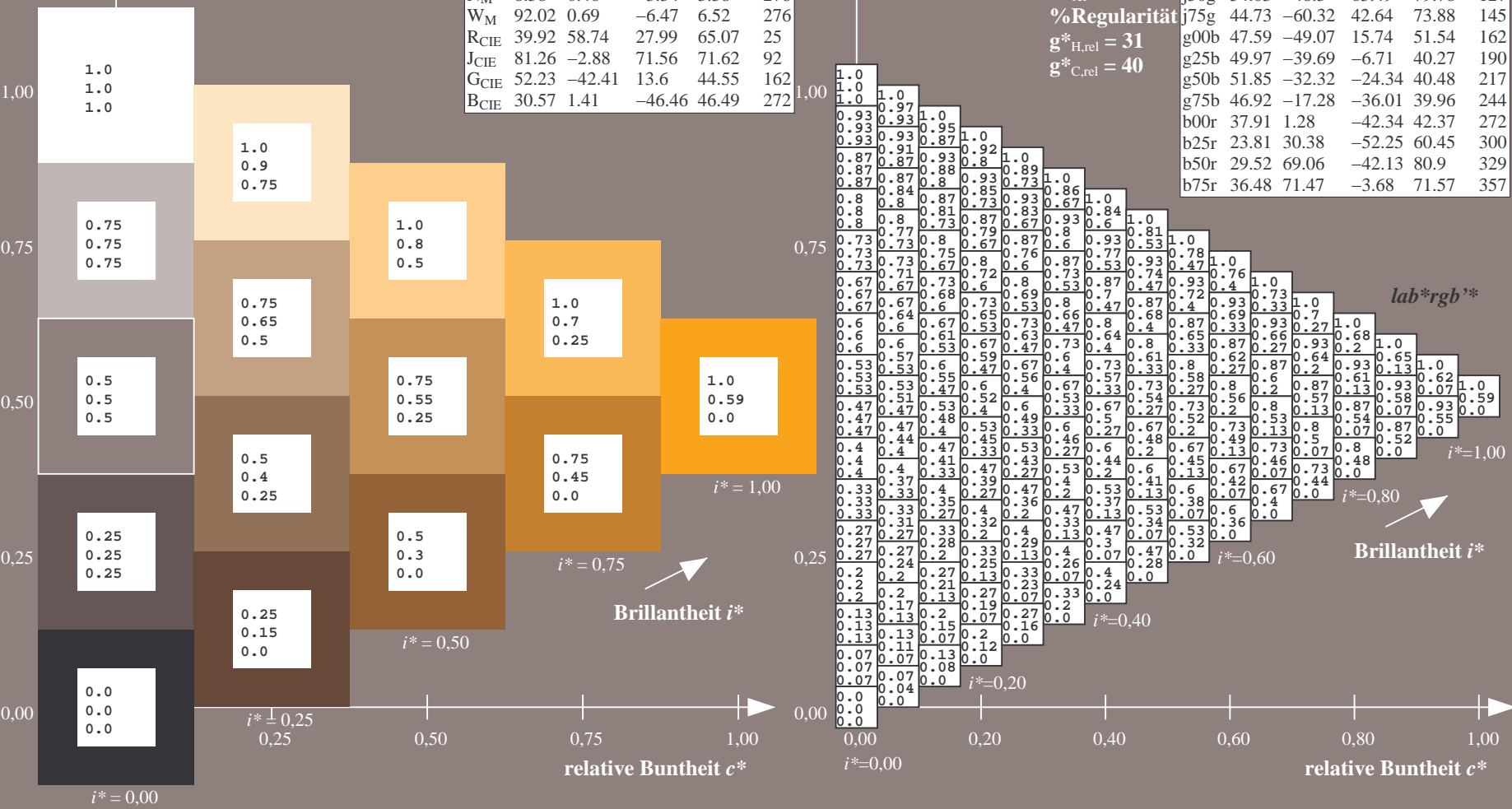
$u^*_{rel} = 109$

%Regularität

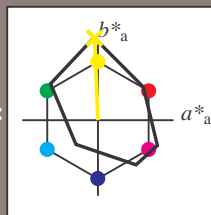
$g^*_{H,rel} = 31$

$g^*_{C,rel} = 40$

FRS09_92aM; adaptierte CIELAB-Daten					
	$L^*=L^*_a$	a^*_a	b^*_a	$C^*_{ab,a}$	$h^*_{ab,a}$
r00j	35.47	63.32	30.17	70.15	25
r25j	39.12	54.56	49.45	73.64	42
r50j	50.64	39.15	64.89	75.79	59
r75j	64.01	21.26	82.83	85.52	76
j00g	83.18	-4.37	108.53	108.62	92
j25g	66.73	-29.88	83.06	88.28	110
j50g	54.03	-48.3	63.49	79.78	127
j75g	44.73	-60.32	42.64	73.88	145
g00b	47.59	-49.07	15.74	51.54	162
g25b	49.97	-39.69	-6.71	40.27	190
g50b	51.85	-32.32	-24.34	40.48	217
g75b	46.92	-17.28	-36.01	39.96	244
b00r	37.91	1.28	-42.34	42.37	272
b25r	23.81	30.38	-52.25	60.45	300
b50r	29.52	69.06	-42.13	80.9	329
b75r	36.48	71.47	-3.68	71.57	357



Ein und Ausgabe: Farbmetrisches Drucker-Reflektiv-System FRS09_92aM für relativen CIELAB-Buntton $h^* = lab^*h^* = h_{ab}/360 = 92/360 = 0.256$ $u^* = j00g$
Daten für jede Farbe:
 lab^*ch^* und lab^*icu^*
Elementar-Bunttontext:
 $u^* = j00g$
Kontrastreduzierungsfaktor:
 $c_R = 1.0$
Dreiecks-Helligkeit i^*



FRS09_92aM; CIELAB-Daten					
	$L^*=L^*$	a^*	b^*	C^*_{ab}	h^*_{ab}
O _M	35.06	60.53	39.66	72.37	33
Y _M	83.77	-4.49	103.15	103.25	92
L _M	44.13	-62.1	43.56	75.86	145
C _M	52.66	-28.55	-36.98	46.73	232
V _M	14.15	50.78	-62.59	80.61	309
M _M	37.37	79.18	-37.92	87.8	334
N _M	8.58	0.46	-3.34	3.38	278
W _M	92.02	0.69	-6.47	6.52	276
R _{CIE}	39.92	58.74	27.99	65.07	25
J _{CIE}	81.26	-2.88	71.56	71.62	92
G _{CIE}	52.23	-42.41	13.6	44.55	162
B _{CIE}	30.57	1.41	-46.46	46.49	272

Daten für Maximalfarbe (Ma):

$LAB^*LAB^*_{Ma}$: 83 -3 109

$LAB^*LCH^*_{Ma}$: 83 109 92

$lab^*rgb^*_{Ma}$: 1.0 1.0 0.0

$lab^*olv^*_{Ma}$: 1.0 0.99 0.0

Dreiecks-Helligkeit i^*

%Umfang

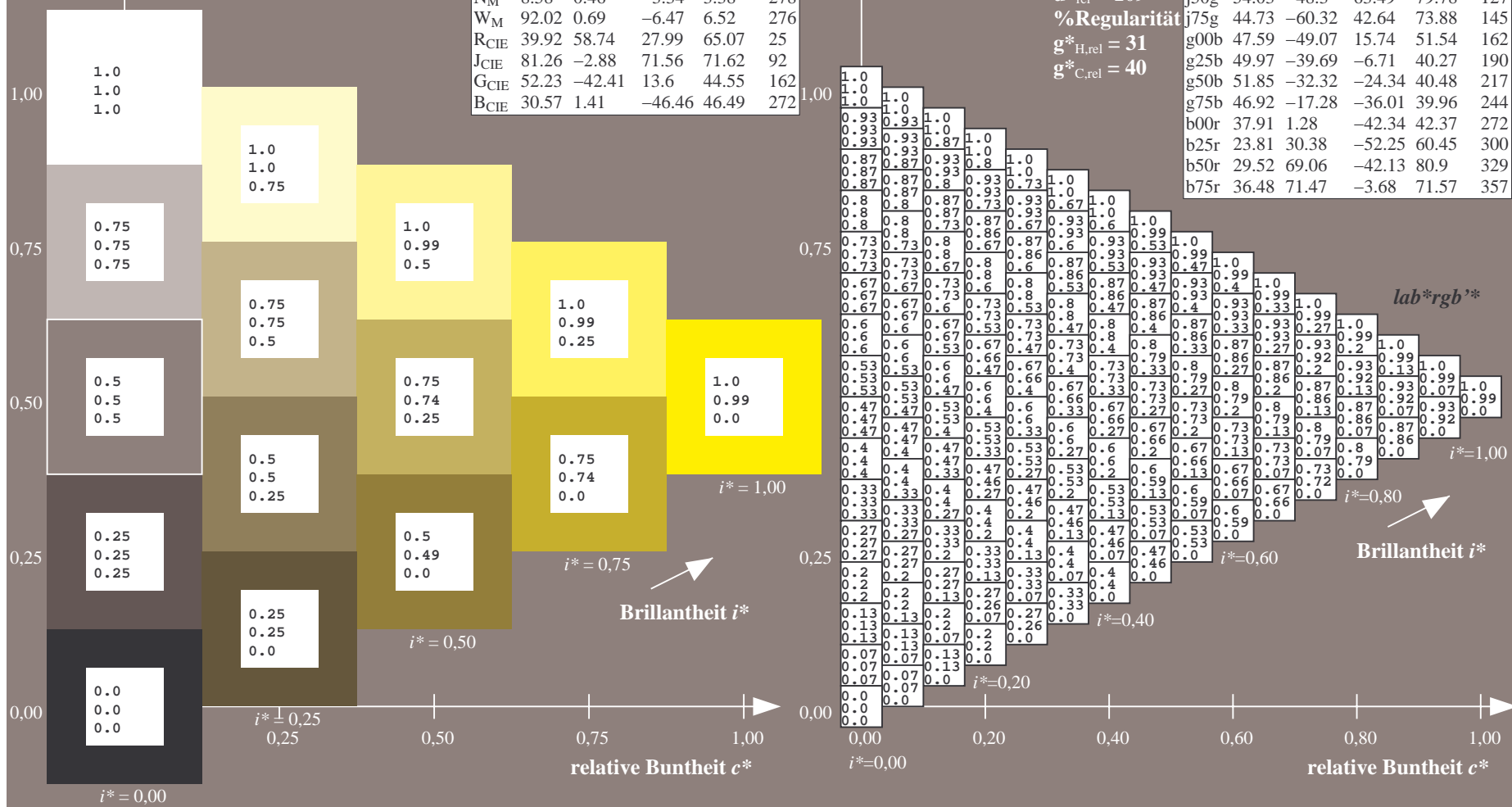
$u^*_{rel} = 109$

%Regularität

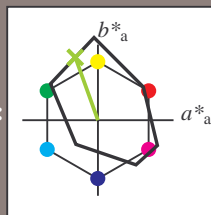
$g^*_{H,rel} = 31$

$g^*_{C,rel} = 40$

FRS09_92aM; adaptierte CIELAB-Daten					
	$L^*=L^*_a$	a^*_a	b^*_a	$C^*_{ab,a}$	$h^*_{ab,a}$
r00j	35.47	63.32	30.17	70.15	25
r25j	39.12	54.56	49.45	73.64	42
r50j	50.64	39.15	64.89	75.79	59
r75j	64.01	21.26	82.83	85.52	76
j00g	83.18	-4.37	108.53	108.62	92
j25g	66.73	-29.88	83.06	88.28	110
j50g	54.03	-48.3	63.49	79.78	127
j75g	44.73	-60.32	42.64	73.88	145
g00b	47.59	-49.07	15.74	51.54	162
g25b	49.97	-39.69	-6.71	40.27	190
g50b	51.85	-32.32	-24.34	40.48	217
g75b	46.92	-17.28	-36.01	39.96	244
b00r	37.91	1.28	-42.34	42.37	272
b25r	23.81	30.38	-52.25	60.45	300
b50r	29.52	69.06	-42.13	80.9	329
b75r	36.48	71.47	-3.68	71.57	357



Ein und Ausgabe: Farbmetrisches Drucker-Reflektiv-System FRS09_92aM für relativen CIELAB-Buntton $h^* = lab^*h^* = h_{ab}/360 = 110/360 = 0.305$ $u^* = j25g$
Daten für jede Farbe:
 lab^*ch^* und lab^*icu^*
Elementar-Bunttontext:
 $u^* = j25g$
Kontrastreduzierungsfaktor:
 $c_R = 1.0$
Dreiecks-Helligkeit i^*



FRS09_92aM; CIELAB-Daten					
	$L^*=L^*$	a^*	b^*	C^*_{ab}	h^*_{ab}
O _M	35.06	60.53	39.66	72.37	33
Y _M	83.77	-4.49	103.15	103.25	92
L _M	44.13	-62.1	43.56	75.86	145
C _M	52.66	-28.55	-36.98	46.73	232
V _M	14.15	50.78	-62.59	80.61	309
M _M	37.37	79.18	-37.92	87.8	334
N _M	8.58	0.46	-3.34	3.38	278
W _M	92.02	0.69	-6.47	6.52	276
R _{CIE}	39.92	58.74	27.99	65.07	25
J _{CIE}	81.26	-2.88	71.56	71.62	92
G _{CIE}	52.23	-42.41	13.6	44.55	162
B _{CIE}	30.57	1.41	-46.46	46.49	272

Daten für Maximalfarbe (Ma):

$LAB^*LAB^*_{Ma}$: 67 -29 83

$LAB^*LCH^*_{Ma}$: 67 88 110

$lab^*rgb^*_{Ma}$: 0.75 1.0 0.0

$lab^*olv^*_{Ma}$: 0.57 1.0 0.0

Dreiecks-Helligkeit i^*

%Umfang

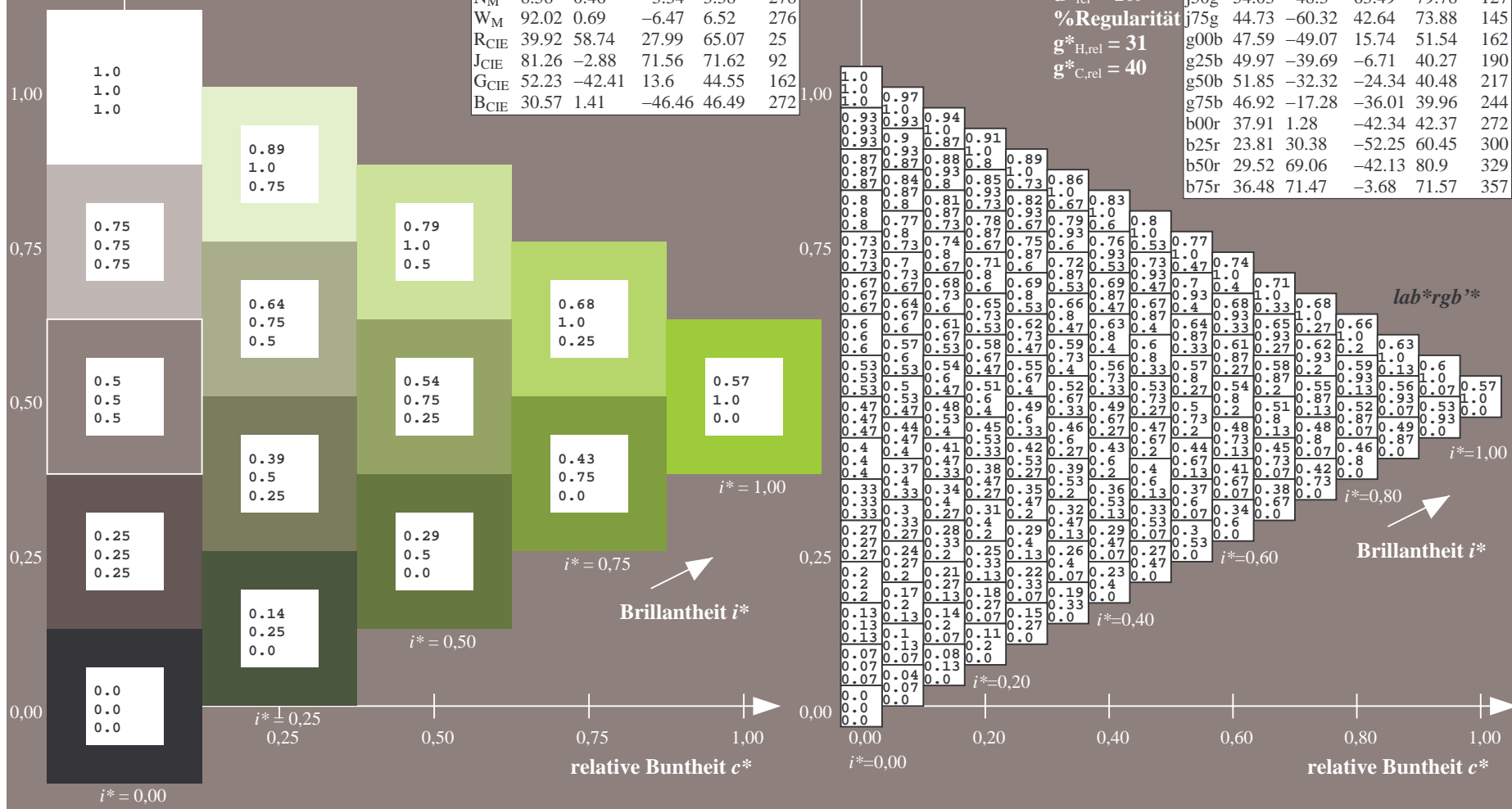
$u^*_{rel} = 109$

%Regularität

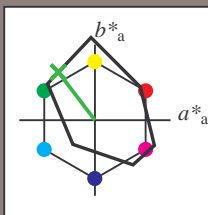
$g^*_{H,rel} = 31$

$g^*_{C,rel} = 40$

FRS09_92aM; adaptierte CIELAB-Daten					
	$L^*=L^*_a$	a^*_a	b^*_a	$C^*_{ab,a}$	$h^*_{ab,a}$
r00j	35.47	63.32	30.17	70.15	25
r25j	39.12	54.56	49.45	73.64	42
r50j	50.64	39.15	64.89	75.79	59
r75j	64.01	21.26	82.83	85.52	76
j00g	83.18	-4.37	108.53	108.62	92
j25g	66.73	-29.88	83.06	88.28	110
j50g	54.03	-48.3	63.49	79.78	127
j75g	44.73	-60.32	42.64	73.88	145
g00b	47.59	-49.07	15.74	51.54	162
g25b	49.97	-39.69	-6.71	40.27	190
g50b	51.85	-32.32	-24.34	40.48	217
g75b	46.92	-17.28	-36.01	39.96	244
b00r	37.91	1.28	-42.34	42.37	272
b25r	23.81	30.38	-52.25	60.45	300
b50r	29.52	69.06	-42.13	80.9	329
b75r	36.48	71.47	-3.68	71.57	357



Ein und Ausgabe: Farbmetrisches Drucker-Reflektiv-System FRS09_92aM für relativen CIELAB-Buntton $h^* = lab^*h^* = h_{ab}/360 = 127/360 = 0.354$ $u^* = j50g$
Daten für jede Farbe:
 lab^*ch^* und lab^*icu^*
Elementar-Bunttontext:
 $u^* = j50g$
Kontrastreduzierungsfaktor:
 $c_R = 1.0$
Dreiecks-Helligkeit i^*



FRS09_92aM; CIELAB-Daten					
	$L^*=L^*$	a^*	b^*	C^*_{ab}	h^*_{ab}
O _M	35.06	60.53	39.66	72.37	33
Y _M	83.77	-4.49	103.15	103.25	92
L _M	44.13	-62.1	43.56	75.86	145
C _M	52.66	-28.55	-36.98	46.73	232
V _M	14.15	50.78	-62.59	80.61	309
M _M	37.37	79.18	-37.92	87.8	334
N _M	8.58	0.46	-3.34	3.38	278
W _M	92.02	0.69	-6.47	6.52	276
R _{CIE}	39.92	58.74	27.99	65.07	25
J _{CIE}	81.26	-2.88	71.56	71.62	92
G _{CIE}	52.23	-42.41	13.6	44.55	162
B _{CIE}	30.57	1.41	-46.46	46.49	272

Daten für Maximalfarbe (Ma):

$LAB^*LAB^*_{Ma}$: 54 -47 63

$LAB^*LCH^*_{Ma}$: 54 80 127

$lab^*rgb^*_{Ma}$: 0.5 1.0 0.0

$lab^*olv^*_{Ma}$: 0.25 1.0 0.0

Dreiecks-Helligkeit i^*

%Umfang

$u^*_{rel} = 109$

%Regularität

$g^*_{H,rel} = 31$

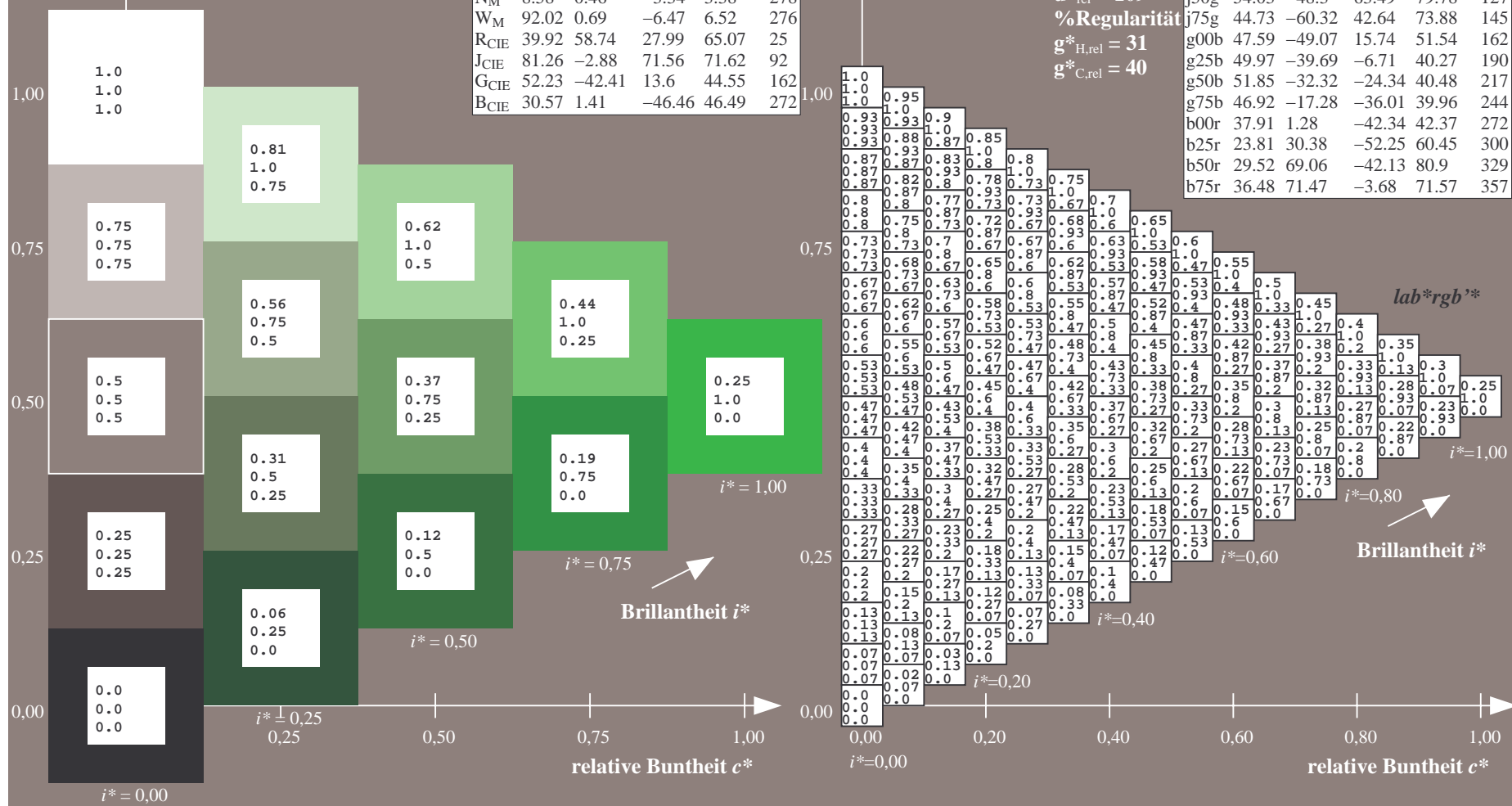
$g^*_{C,rel} = 40$

FRS09_92aM; adaptierte CIELAB-Daten

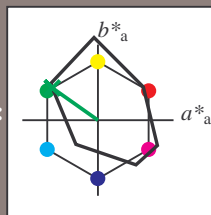
	$L^*=L^*_a$	a^*_a	b^*_a	$C^*_{ab,a}$	$h^*_{ab,a}$
r00j	35.47	63.32	30.17	70.15	25
r25j	39.12	54.56	49.45	73.64	42
r50j	50.64	39.15	64.89	75.79	59
r75j	64.01	21.26	82.83	85.52	76
j00g	83.18	-4.37	108.53	108.62	92
j25g	66.73	-29.88	83.06	88.28	110
j50g	54.03	-48.3	63.49	79.78	127
j75g	44.73	-60.32	42.64	73.88	145
g00b	47.59	-49.07	15.74	51.54	162
g25b	49.97	-39.69	-6.71	40.27	190
g50b	51.85	-32.32	-24.34	40.48	217
g75b	46.92	-17.28	-36.01	39.96	244
b00r	37.91	1.28	-42.34	42.37	272
b25r	23.81	30.38	-52.25	60.45	300
b50r	29.52	69.06	-42.13	80.9	329
b75r	36.48	71.47	-3.68	71.57	357

Siehe ähnliche Dateien: <http://www.ps.bam.de/Dg92/>; www.ps.bam.de/Dg92/10L/L92G00NP.PS/ .PDF BAM-Material: Code=rh4ta
Technische Information: <http://www.ps.bam.de> Version 2.1, io=1,1, ColSpx=0

BAM-Registrierung: 20080701-Dg92/10L/L92G00NP.PS/ .PDF BAM-Material: Code=rh4ta
Anwendung für Beurteilung und Messung von Drucker- oder Monitorsystemen



Ein und Ausgabe: Farbmetrisches Drucker-Reflektiv-System FRS09_92aM für relativen CIELAB-Buntton $h^* = lab^*h^* = h_{ab}/360 = 145/360 = 0.402$ $u^* = j75g$
Daten für jede Farbe:
 lab^*ch^* und lab^*icu^*
Elementar-Bunttontext:
 $u^* = j75g$
Kontrastreduzierungsfaktor:
 $c_R = 1.0$
Dreiecks-Helligkeit i^*



FRS09_92aM; CIELAB-Daten					
	$L^*=L^*$	a^*	b^*	C^*_{ab}	h^*_{ab}
O _M	35.06	60.53	39.66	72.37	33
Y _M	83.77	-4.49	103.15	103.25	92
L _M	44.13	-62.1	43.56	75.86	145
C _M	52.66	-28.55	-36.98	46.73	232
V _M	14.15	50.78	-62.59	80.61	309
M _M	37.37	79.18	-37.92	87.8	334
N _M	8.58	0.46	-3.34	3.38	278
W _M	92.02	0.69	-6.47	6.52	276
R _{CIE}	39.92	58.74	27.99	65.07	25
J _{CIE}	81.26	-2.88	71.56	71.62	92
G _{CIE}	52.23	-42.41	13.6	44.55	162
B _{CIE}	30.57	1.41	-46.46	46.49	272

Daten für Maximalfarbe (Ma):

$LAB^*LAB^*_{Ma}$: 45 -59 43

$LAB^*LCH^*_{Ma}$: 45 74 145

$lab^*rgb^*_{Ma}$: 0.25 1.0 0.0

$lab^*olv^*_{Ma}$: 0.0 1.0 0.07

Dreiecks-Helligkeit i^*

%Umfang

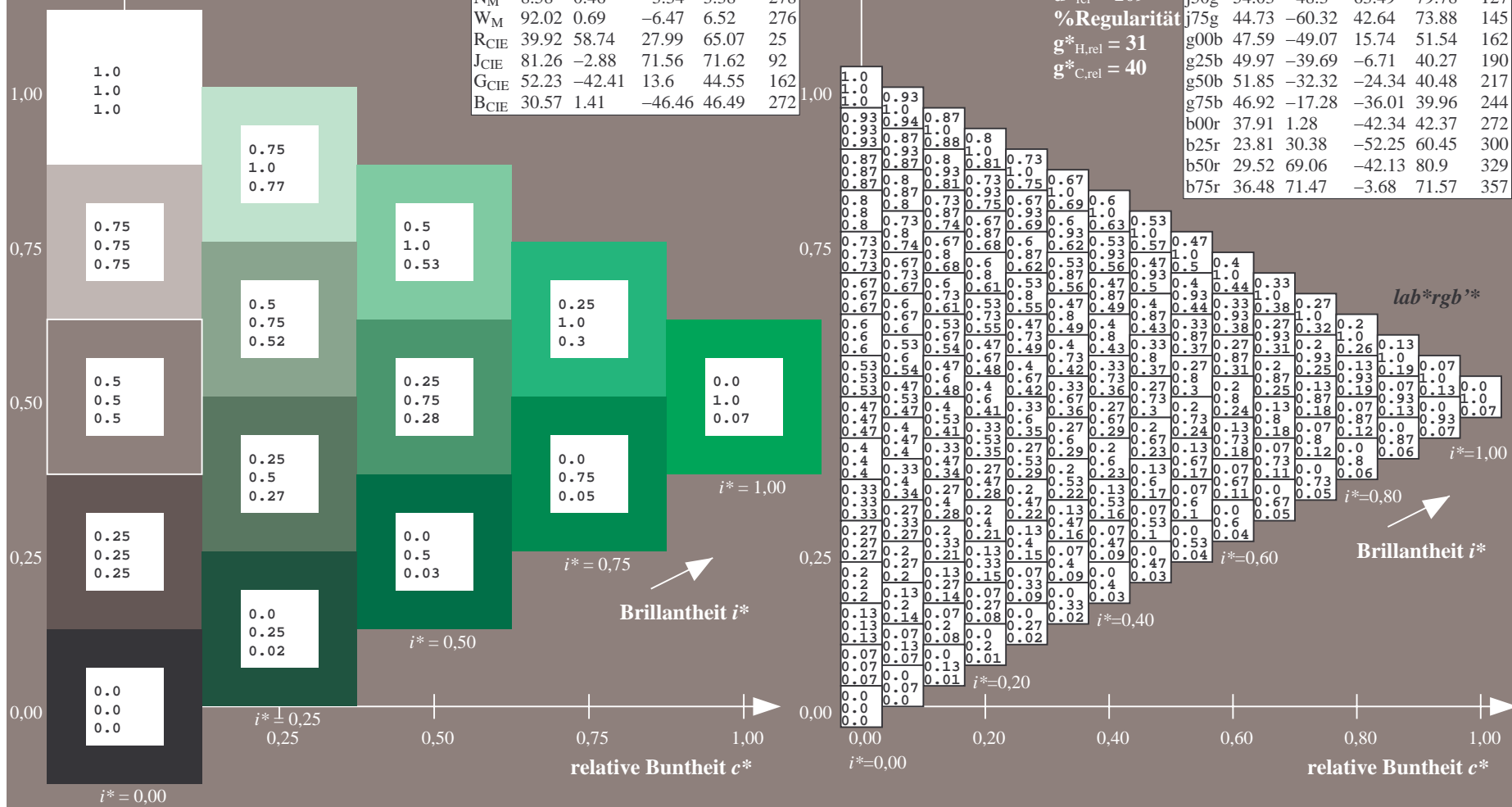
$u^*_{rel} = 109$

%Regularität

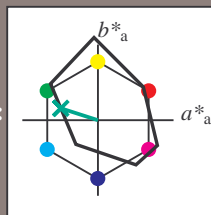
$g^*_{H,rel} = 31$

$g^*_{C,rel} = 40$

FRS09_92aM; adaptierte CIELAB-Daten					
	$L^*=L^*_a$	a^*_a	b^*_a	$C^*_{ab,a}$	$h^*_{ab,a}$
r00j	35.47	63.32	30.17	70.15	25
r25j	39.12	54.56	49.45	73.64	42
r50j	50.64	39.15	64.89	75.79	59
r75j	64.01	21.26	82.83	85.52	76
j00g	83.18	-4.37	108.53	108.62	92
j25g	66.73	-29.88	83.06	88.28	110
j50g	54.03	-48.3	63.49	79.78	127
j75g	44.73	-60.32	42.64	73.88	145
g00b	47.59	-49.07	15.74	51.54	162
g25b	49.97	-39.69	-6.71	40.27	190
g50b	51.85	-32.32	-24.34	40.48	217
g75b	46.92	-17.28	-36.01	39.96	244
b00r	37.91	1.28	-42.34	42.37	272
b25r	23.81	30.38	-52.25	60.45	300
b50r	29.52	69.06	-42.13	80.9	329
b75r	36.48	71.47	-3.68	71.57	357



Ein und Ausgabe: Farbmetrisches Drucker-Reflektiv-System FRS09_92aM für relativen CIELAB-Buntton $h^* = lab^*h^* = h_{ab}/360 = 162/360 = 0.451$ $u^* = g00b$
Daten für jede Farbe:
 lab^*ch^* und lab^*icu^*
Elementar-Bunttontext:
 $u^* = g00b$
Kontrastreduzierungsfaktor:
 $c_R = 1.0$
Dreiecks-Helligkeit i^*



FRS09_92aM; CIELAB-Daten					
	$L^*=L^*$	a^*	b^*	C^*_{ab}	h^*_{ab}
O _M	35.06	60.53	39.66	72.37	33
Y _M	83.77	-4.49	103.15	103.25	92
L _M	44.13	-62.1	43.56	75.86	145
C _M	52.66	-28.55	-36.98	46.73	232
V _M	14.15	50.78	-62.59	80.61	309
M _M	37.37	79.18	-37.92	87.8	334
N _M	8.58	0.46	-3.34	3.38	278
W _M	92.02	0.69	-6.47	6.52	276
R _{CIE}	39.92	58.74	27.99	65.07	25
J _{CIE}	81.26	-2.88	71.56	71.62	92
G _{CIE}	52.23	-42.41	13.6	44.55	162
B _{CIE}	30.57	1.41	-46.46	46.49	272

Daten für Maximalfarbe (Ma):

$LAB^*LAB^*_{Ma}$: 48 -48 16

$LAB^*LCH^*_{Ma}$: 48 52 162

$lab^*rgb^*_{Ma}$: 0.0 1.0 0.0

$lab^*olv^*_{Ma}$: 0.0 1.0 0.41

Dreiecks-Helligkeit i^*

%Umfang

$u^*_{rel} = 109$

%Regularität

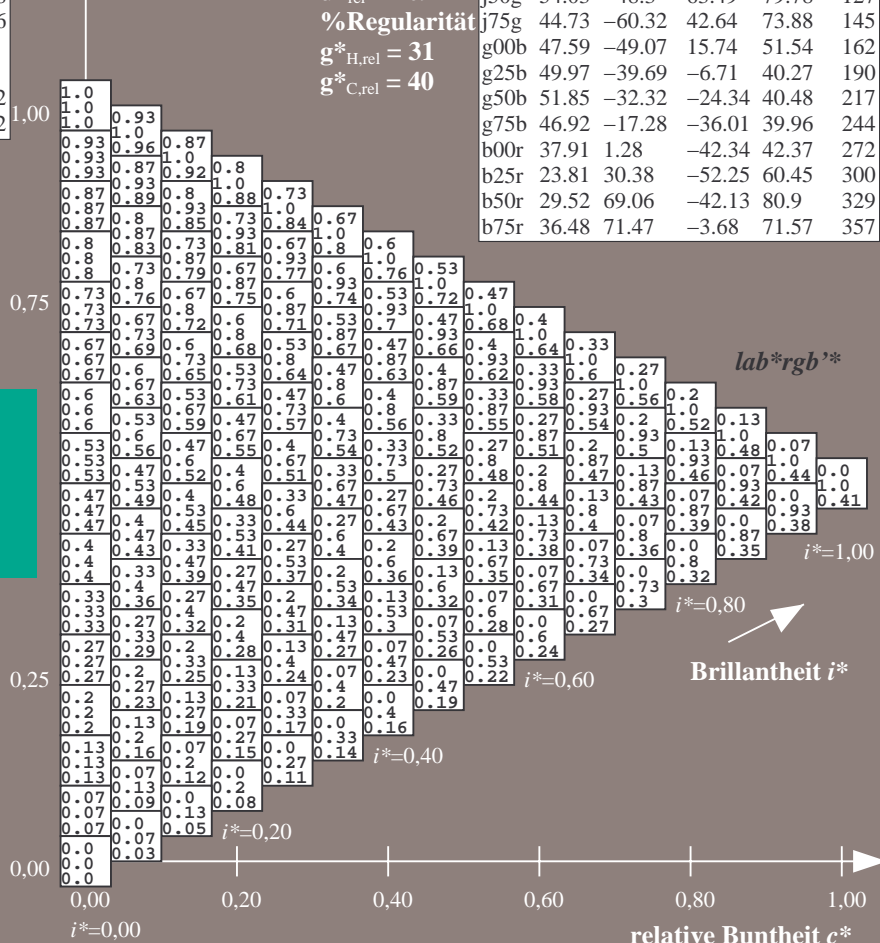
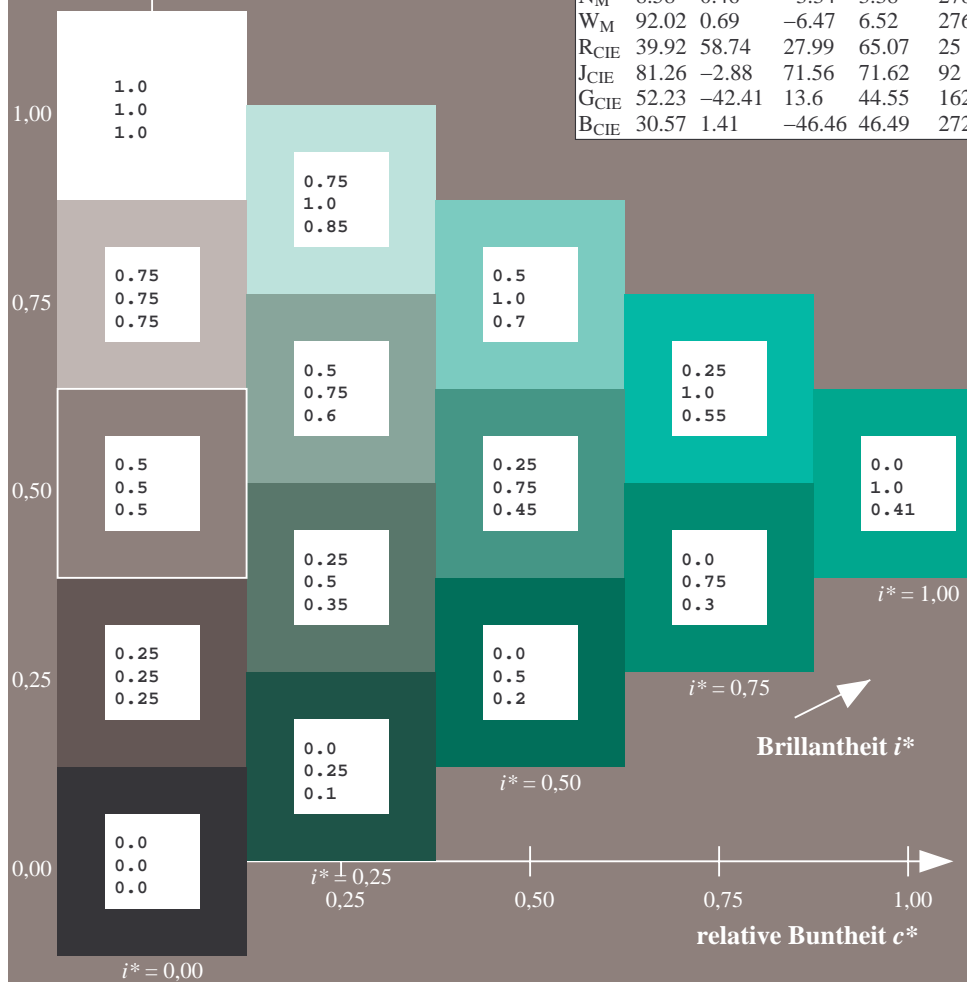
$g^*_{H,rel} = 31$

$g^*_{C,rel} = 40$

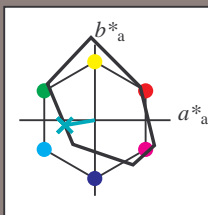
FRS09_92aM; adaptierte CIELAB-Daten

	$L^*=L^*_a$	a^*_a	b^*_a	$C^*_{ab,a}$	$h^*_{ab,a}$
r00j	35.47	63.32	30.17	70.15	25
r25j	39.12	54.56	49.45	73.64	42
r50j	50.64	39.15	64.89	75.79	59
r75j	64.01	21.26	82.83	85.52	76
j00g	83.18	-4.37	108.53	108.62	92
j25g	66.73	-29.88	83.06	88.28	110
j50g	54.03	-48.3	63.49	79.78	127
j75g	44.73	-60.32	42.64	73.88	145
g00b	47.59	-49.07	15.74	51.54	162
g25b	49.97	-39.69	-6.71	40.27	190
g50b	51.85	-32.32	-24.34	40.48	217
g75b	46.92	-17.28	-36.01	39.96	244
b00r	37.91	1.28	-42.34	42.37	272
b25r	23.81	30.38	-52.25	60.45	300
b50r	29.52	69.06	-42.13	80.9	329
b75r	36.48	71.47	-3.68	71.57	357

lab^*rgb^*					
	lab^*r	lab^*g	lab^*b	i^*	c^*
r00j	0.0	1.0	0.0	1.00	0.0
r25j	0.0	0.93	0.07	0.98	0.05
r50j	0.0	0.87	0.13	0.92	0.15
r75j	0.0	0.81	0.19	0.84	0.25
j00g	0.0	0.75	0.25	0.76	0.35
j25g	0.0	0.68	0.32	0.68	0.45
j50g	0.0	0.62	0.38	0.62	0.55
j75g	0.0	0.55	0.45	0.55	0.65
g00b	0.0	0.47	0.53	0.47	0.75
g25b	0.0	0.41	0.59	0.41	0.85
g50b	0.0	0.35	0.65	0.35	0.95
g75b	0.0	0.29	0.71	0.29	1.00
b00r	0.0	0.23	0.77	0.23	1.00
b25r	0.0	0.17	0.83	0.17	1.00
b50r	0.0	0.11	0.89	0.11	1.00
b75r	0.0	0.05	0.95	0.05	1.00



Ein und Ausgabe: Farbmetrisches Drucker-Reflektiv-System FRS09_92aM für relativen CIELAB-Buntton $h^* = lab^*h^* = h_{ab}/360 = 190/360 = 0.527$ $u^* = g25b$
Daten für jede Farbe:
 lab^*ch^* und lab^*icu^*
Elementar-Bunttontext:
 $u^* = g25b$
Kontrastreduzierungsfaktor:
 $c_R = 1.0$
Dreiecks-Helligkeit i^*



FRS09_92aM; CIELAB-Daten					
	$L^*=L^*$	a^*	b^*	C^*_{ab}	h^*_{ab}
O _M	35.06	60.53	39.66	72.37	33
Y _M	83.77	-4.49	103.15	103.25	92
L _M	44.13	-62.1	43.56	75.86	145
C _M	52.66	-28.55	-36.98	46.73	232
V _M	14.15	50.78	-62.59	80.61	309
M _M	37.37	79.18	-37.92	87.8	334
N _M	8.58	0.46	-3.34	3.38	278
W _M	92.02	0.69	-6.47	6.52	276
R _{CIE}	39.92	58.74	27.99	65.07	25
J _{CIE}	81.26	-2.88	71.56	71.62	92
G _{CIE}	52.23	-42.41	13.6	44.55	162
B _{CIE}	30.57	1.41	-46.46	46.49	272

Daten für Maximalfarbe (Ma):

$LAB^*LAB^*_{Ma}$: 50 -39 -6

$LAB^*LCH^*_{Ma}$: 50 40 190

$lab^*rgb^*_{Ma}$: 0.0 1.0 0.5

$lab^*olv^*_{Ma}$: 0.0 1.0 0.69

Dreiecks-Helligkeit i^*

%Umfang

$u^*_{rel} = 109$

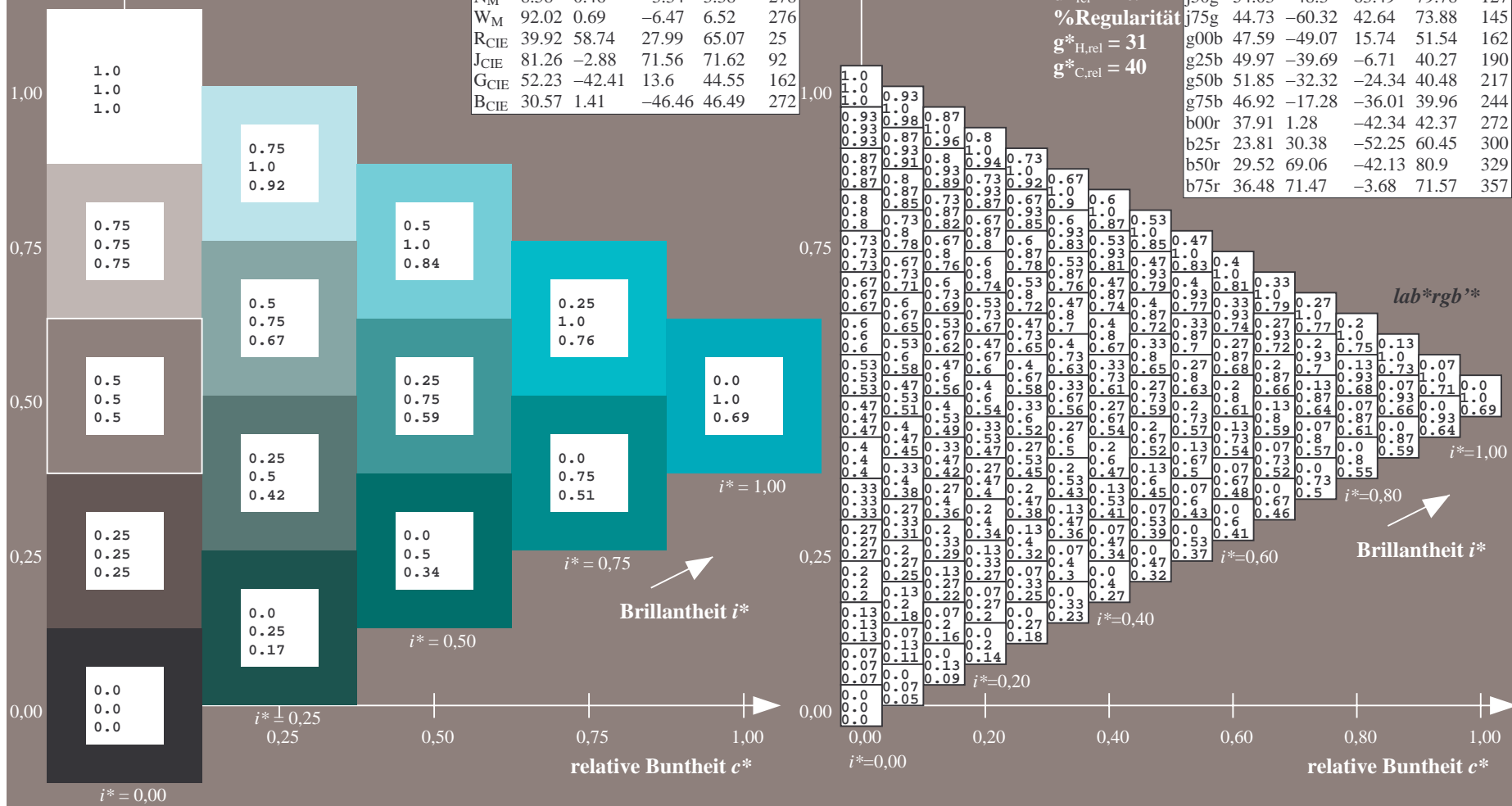
%Regularität

$g^*_{H,rel} = 31$

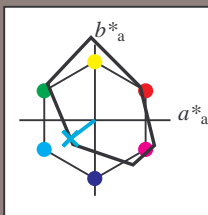
$g^*_{C,rel} = 40$

FRS09_92aM; adaptierte CIELAB-Daten

	$L^*=L^*_a$	a^*_a	b^*_a	$C^*_{ab,a}$	$h^*_{ab,a}$
r00j	35.47	63.32	30.17	70.15	25
r25j	39.12	54.56	49.45	73.64	42
r50j	50.64	39.15	64.89	75.79	59
r75j	64.01	21.26	82.83	85.52	76
j00g	83.18	-4.37	108.53	108.62	92
j25g	66.73	-29.88	83.06	88.28	110
j50g	54.03	-48.3	63.49	79.78	127
j75g	44.73	-60.32	42.64	73.88	145
g00b	47.59	-49.07	15.74	51.54	162
g25b	49.97	-39.69	-6.71	40.27	190
g50b	51.85	-32.32	-24.34	40.48	217
g75b	46.92	-17.28	-36.01	39.96	244
b00r	37.91	1.28	-42.34	42.37	272
b25r	23.81	30.38	-52.25	60.45	300
b50r	29.52	69.06	-42.13	80.9	329
b75r	36.48	71.47	-3.68	71.57	357



Ein und Ausgabe: Farbmetrisches Drucker-Reflektiv-System FRS09_92aM für relativen CIELAB-Buntton $h^* = lab^*h^* = h_{ab}/360 = 217/360 = 0.603$ $u^* = g50b$
Daten für jede Farbe:
 lab^*ch^* und lab^*icu^*
Elementar-Bunttontext:
 $u^* = g50b$
Kontrastreduzierungsfaktor:
 $c_R = 1.0$
Dreiecks-Helligkeit i^*



FRS09_92aM; CIELAB-Daten					
	$L^*=L^*$	a^*	b^*	C^*_{ab}	h^*_{ab}
O _M	35.06	60.53	39.66	72.37	33
Y _M	83.77	-4.49	103.15	103.25	92
L _M	44.13	-62.1	43.56	75.86	145
C _M	52.66	-28.55	-36.98	46.73	232
V _M	14.15	50.78	-62.59	80.61	309
M _M	37.37	79.18	-37.92	87.8	334
N _M	8.58	0.46	-3.34	3.38	278
W _M	92.02	0.69	-6.47	6.52	276
R _{CIE}	39.92	58.74	27.99	65.07	25
J _{CIE}	81.26	-2.88	71.56	71.62	92
G _{CIE}	52.23	-42.41	13.6	44.55	162
B _{CIE}	30.57	1.41	-46.46	46.49	272

Daten für Maximalfarbe (Ma):

$LAB^*LAB^*_{Ma}$: 52 -31 -23

$LAB^*LCH^*_{Ma}$: 52 40 217

$lab^*rgb^*_{Ma}$: 0.0 1.0 1.0

$lab^*olv^*_{Ma}$: 0.0 1.0 0.9

Dreiecks-Helligkeit i^*

%Umfang

$u^*_{rel} = 109$

%Regularität

$g^*_{H,rel} = 31$

$g^*_{C,rel} = 40$

FRS09_92aM; adaptierte CIELAB-Daten

	$L^*=L^*_a$	a^*_a	b^*_a	$C^*_{ab,a}$	$h^*_{ab,a}$
r00j	35.47	63.32	30.17	70.15	25
r25j	39.12	54.56	49.45	73.64	42
r50j	50.64	39.15	64.89	75.79	59
r75j	64.01	21.26	82.83	85.52	76
j00g	83.18	-4.37	108.53	108.62	92
j25g	66.73	-29.88	83.06	88.28	110
j50g	54.03	-48.3	63.49	79.78	127
j75g	44.73	-60.32	42.64	73.88	145
g00b	47.59	-49.07	15.74	51.54	162
g25b	49.97	-39.69	-6.71	40.27	190
g50b	51.85	-32.32	-24.34	40.48	217
g75b	46.92	-17.28	-36.01	39.96	244
b00r	37.91	1.28	-42.34	42.37	272
b25r	23.81	30.38	-52.25	60.45	300
b50r	29.52	69.06	-42.13	80.9	329
b75r	36.48	71.47	-3.68	71.57	357

lab^*rgb^*					
	lab^*r	lab^*g	lab^*b	i^*	i^*_{rel}
r00j	0.0	1.0	1.0	1.00	1.00
r25j	0.0	0.98	0.98	0.95	0.95
r50j	0.0	0.75	0.75	0.73	0.73
r75j	0.0	0.5	0.5	0.5	0.5
j00g	0.0	0.25	0.25	0.25	0.25
j25g	0.0	0.1	0.1	0.1	0.1
j50g	0.0	0.05	0.05	0.05	0.05
j75g	0.0	0.02	0.02	0.02	0.02
g00b	0.0	0.01	0.01	0.01	0.01
g25b	0.0	0.005	0.005	0.005	0.005
g50b	0.0	0.002	0.002	0.002	0.002
g75b	0.0	0.001	0.001	0.001	0.001
b00r	0.0	0.0005	0.0005	0.0005	0.0005
b25r	0.0	0.0002	0.0002	0.0002	0.0002
b50r	0.0	0.0001	0.0001	0.0001	0.0001
b75r	0.0	0.00005	0.00005	0.00005	0.00005

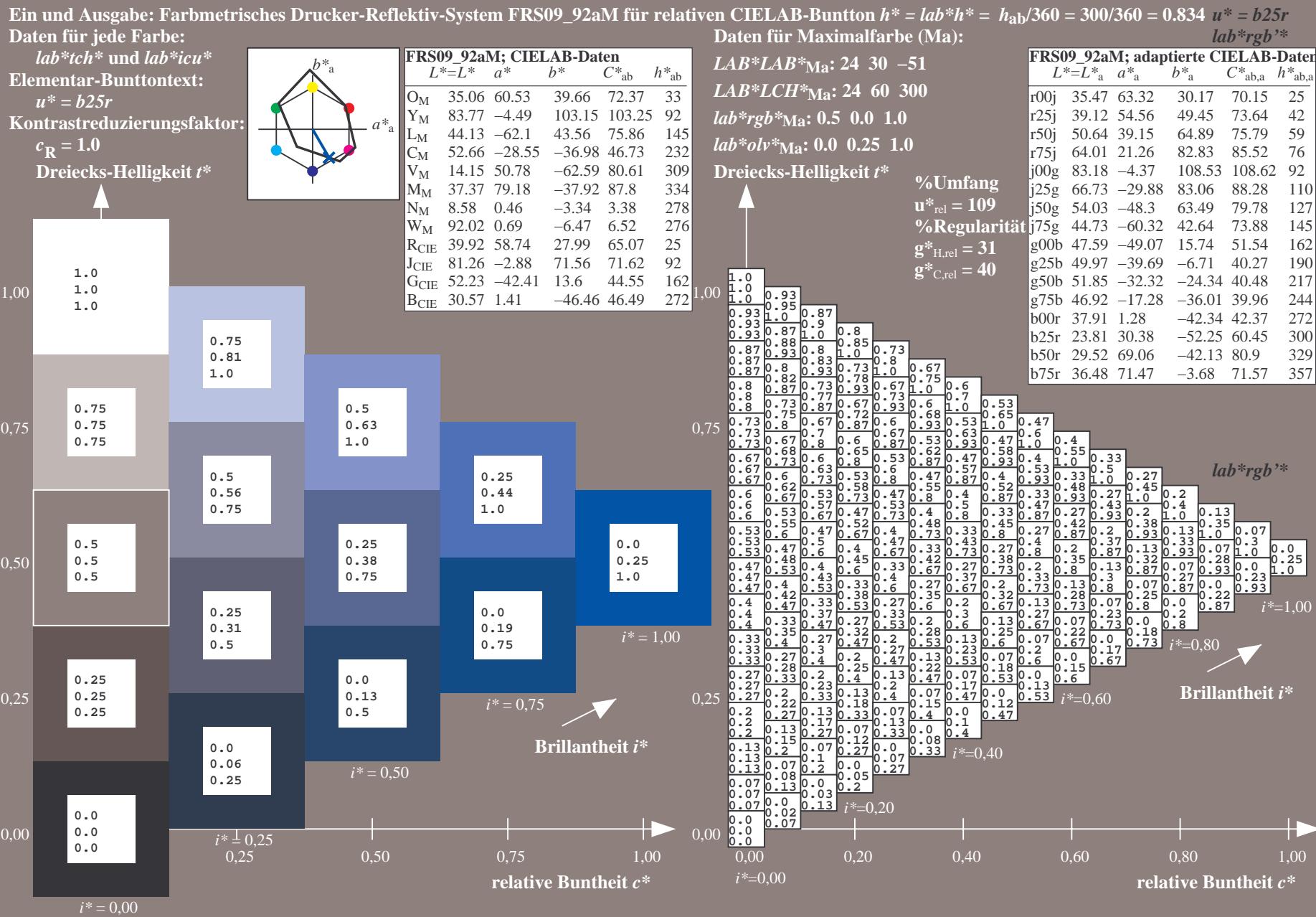
100



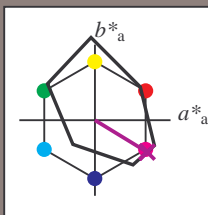
b50l	29.52	69.66	-42.15	80.9	329
b75r	36.48	71.47	-3.68	71.57	357



BAM-Registrierung: 20080701-Dg92/10L/L92G00NP.PS/.PDF BAM-Material: Code=rha4ta
Anwendung für Beurteilung und Messung von Drucker- oder Monitorsystemen



Ein und Ausgabe: Farbmetrisches Drucker-Reflektiv-System FRS09_92aM für relativen CIELAB-Buntton $h^* = lab^*h^* = h_{ab}/360 = 329/360 = 0.913$ $u^* = b50r$
Daten für jede Farbe:
 lab^*ch^* und lab^*icu^*
Elementar-Bunttontext:
 $u^* = b50r$
Kontrastreduzierungsfaktor:
 $c_R = 1.0$
Dreiecks-Helligkeit i^*



FRS09_92aM; CIELAB-Daten					
	$L^*=L^*$	a^*	b^*	C^*_{ab}	h^*_{ab}
O _M	35.06	60.53	39.66	72.37	33
Y _M	83.77	-4.49	103.15	103.25	92
L _M	44.13	-62.1	43.56	75.86	145
C _M	52.66	-28.55	-36.98	46.73	232
V _M	14.15	50.78	-62.59	80.61	309
M _M	37.37	79.18	-37.92	87.8	334
N _M	8.58	0.46	-3.34	3.38	278
W _M	92.02	0.69	-6.47	6.52	276
R _{CIE}	39.92	58.74	27.99	65.07	25
J _{CIE}	81.26	-2.88	71.56	71.62	92
G _{CIE}	52.23	-42.41	13.6	44.55	162
B _{CIE}	30.57	1.41	-46.46	46.49	272

Daten für Maximalfarbe (Ma):

$LAB^*LAB^*_{Ma}$: 30 69 -41

$LAB^*LCH^*_{Ma}$: 30 81 329

$lab^*rgb^*_{Ma}$: 1.0 0.0 1.0

$lab^*olv^*_{Ma}$: 0.66 0.0 1.0

Dreiecks-Helligkeit i^*

%Umfang

$u^*_{rel} = 109$

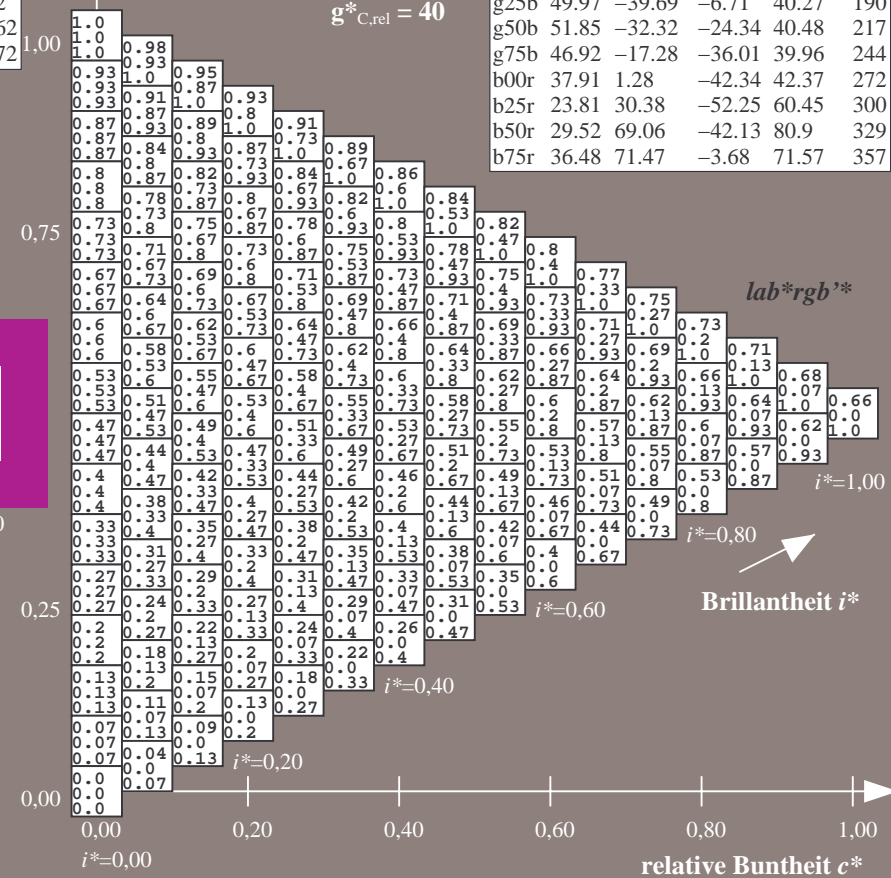
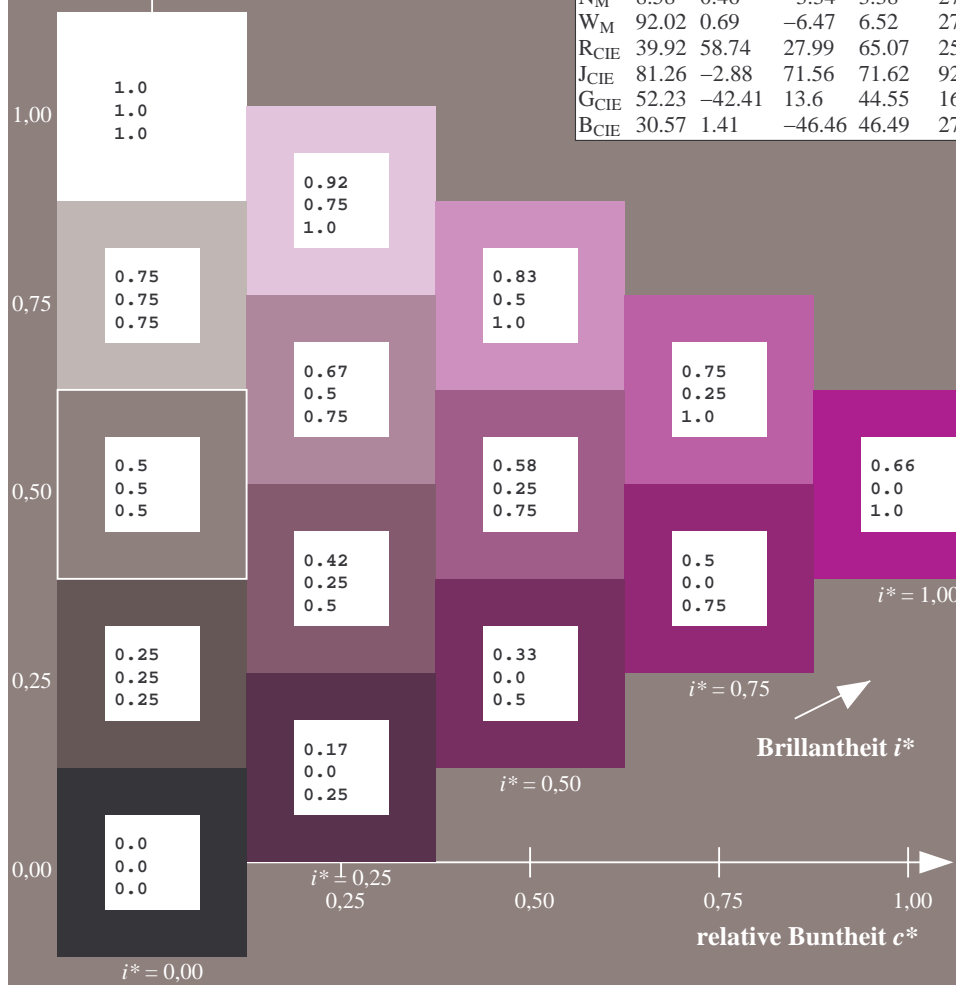
%Regularität

$g^*_{H,rel} = 31$

$g^*_{C,rel} = 40$

FRS09_92aM; adaptierte CIELAB-Daten

	$L^*=L^*_a$	a^*_a	b^*_a	$C^*_{ab,a}$	$h^*_{ab,a}$
r00j	35.47	63.32	30.17	70.15	25
r25j	39.12	54.56	49.45	73.64	42
r50j	50.64	39.15	64.89	75.79	59
r75j	64.01	21.26	82.83	85.52	76
j00g	83.18	-4.37	108.53	108.62	92
j25g	66.73	-29.88	83.06	88.28	110
j50g	54.03	-48.3	63.49	79.78	127
j75g	44.73	-60.32	42.64	73.88	145
g00b	47.59	-49.07	15.74	51.54	162
g25b	49.97	-39.69	-6.71	40.27	190
g50b	51.85	-32.32	-24.34	40.48	217
g75b	46.92	-17.28	-36.01	39.96	244
b00r	37.91	1.28	-42.34	42.37	272
b25r	23.81	30.38	-52.25	60.45	300
b50r	29.52	69.06	-42.13	80.9	329
b75r	36.48	71.47	-3.68	71.57	357



Dreiecks-Helligkeit t^*



Farbreihen, 8 Datentabellen für 16 Bunttöne *r00j* bis *b75r*

Ausgabe: $\rightarrow cmyn5^* setcmykcolor$

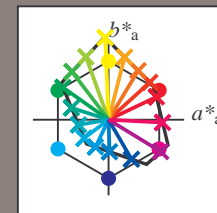
Siehe ähnliche Dateien: <http://www.ps.bam.de/Dg92/>; www.ps.bam.de/Dg92/10L/L92G00NP.PS/.PDF BAM-Material: Code=th4ta
Technische Information: <http://www.ps.bam.de> Version 2.1, io=1,1, ColSpX=0

	A	B	C	D	E	F	G	H	I	J	K	L	M	N	O	P	Q	R	S	T	U	V	W	X	Y	Z	a	b	c	d	e	f	g	h	i	j	k	lab*rgb**					
01	0.0	0.0	0.0	0.0	0.0	0.0	0.0	0.0	0.0	0.0	0.13	0.13	0.13	0.13	0.13	0.13	0.13	0.13	0.25	0.25	0.25	0.25	0.25	0.25	0.25	0.25	0.25	0.25	1.0	1.0	1.0	1.0	1.0	1.0	1.0	1.0	1.0	1.0	0.0	0.0	0.0	0.0	
	0.0	0.13	0.25	0.38	0.5	0.63	0.75	0.88	1.0	1.0	0.13	0.25	0.38	0.5	0.63	0.75	0.88	1.0	0.0	0.13	0.25	0.38	0.5	0.63	0.75	0.88	1.0	1.0	0.88	0.75	0.63	0.5	0.38	0.25	0.13	0.0	0.0	0.0	0.0	0.0	0.0		
	0.0	0.0	0.0	0.0	0.0	0.0	0.0	0.0	0.0	0.0	0.0	0.0	0.0	0.0	0.0	0.0	0.0	0.0	0.0	0.0	0.0	0.0	0.0	0.0	0.0	0.0	0.0	1.0	1.0	0.88	0.75	0.63	0.5	0.38	0.25	0.13	0.0	0.0	0.0	0.0	0.0	0.0	
02	0.0	0.0	0.0	0.0	0.0	0.0	0.0	0.0	0.0	0.0	0.13	0.13	0.13	0.13	0.13	0.13	0.13	0.13	0.25	0.25	0.25	0.25	0.25	0.25	0.25	0.25	0.25	0.88	0.88	0.88	0.88	0.88	0.88	0.88	0.88	0.88	0.88	0.13	0.13	0.13	0.13	0.13	
	0.0	0.13	0.25	0.38	0.5	0.63	0.75	0.88	1.0	1.0	0.13	0.25	0.38	0.5	0.63	0.75	0.88	1.0	0.0	0.13	0.25	0.38	0.5	0.63	0.75	0.88	1.0	1.0	0.88	0.75	0.63	0.5	0.38	0.25	0.13	0.0	0.0	0.0	0.0	0.0	0.0	0.0	
	0.13	0.13	0.13	0.13	0.13	0.13	0.13	0.13	0.13	0.13	0.13	0.13	0.13	0.13	0.13	0.13	0.13	0.13	0.13	0.13	0.13	0.13	0.13	0.13	0.13	0.13	0.13	1.0	1.0	0.88	0.75	0.63	0.5	0.38	0.25	0.13	0.0	0.0	0.0	0.0	0.0	0.0	
03	0.0	0.0	0.0	0.0	0.0	0.0	0.0	0.0	0.0	0.0	0.13	0.13	0.13	0.13	0.13	0.13	0.13	0.13	0.25	0.25	0.25	0.25	0.25	0.25	0.25	0.25	0.25	0.75	0.75	0.75	0.75	0.75	0.75	0.75	0.75	0.75	0.75	0.25	0.25	0.25	0.25	0.25	
	0.0	0.13	0.25	0.38	0.5	0.63	0.75	0.88	1.0	1.0	0.13	0.25	0.38	0.5	0.63	0.75	0.88	1.0	0.0	0.13	0.25	0.38	0.5	0.63	0.75	0.88	1.0	1.0	0.88	0.75	0.63	0.5	0.38	0.25	0.13	0.0	0.25	0.25	0.25	0.25	0.25		
	0.25	0.25	0.25	0.25	0.25	0.25	0.25	0.25	0.25	0.25	0.25	0.25	0.25	0.25	0.25	0.25	0.25	0.25	0.25	0.25	0.25	0.25	0.25	0.25	0.25	0.25	0.25	1.0	1.0	0.88	0.75	0.63	0.5	0.38	0.25	0.13	0.0	0.25	0.25	0.25	0.25	0.25	
04	0.0	0.0	0.0	0.0	0.0	0.0	0.0	0.0	0.0	0.0	0.13	0.13	0.13	0.13	0.13	0.13	0.13	0.13	0.25	0.25	0.25	0.25	0.25	0.25	0.25	0.25	0.25	0.63	0.63	0.63	0.63	0.63	0.63	0.63	0.63	0.63	0.63	0.38	0.38	0.38	0.38	0.38	
	0.0	0.13	0.25	0.38	0.5	0.63	0.75	0.88	1.0	1.0	0.13	0.25	0.38	0.5	0.63	0.75	0.88	1.0	0.0	0.13	0.25	0.38	0.5	0.63	0.75	0.88	1.0	1.0	0.88	0.75	0.63	0.5	0.38	0.25	0.13	0.0	0.38	0.38	0.38	0.38	0.38	0.38	
	0.38	0.38	0.38	0.38	0.38	0.38	0.38	0.38	0.38	0.38	0.38	0.38	0.38	0.38	0.38	0.38	0.38	0.38	0.38	0.38	0.38	0.38	0.38	0.38	0.38	0.38	0.38	1.0	1.0	0.88	0.75	0.63	0.5	0.38	0.25	0.13	0.0	0.38	0.38	0.38	0.38	0.38	0.38
05	0.0	0.0	0.0	0.0	0.0	0.0	0.0	0.0	0.0	0.0	0.13	0.13	0.13	0.13	0.13	0.13	0.13	0.13	0.25	0.25	0.25	0.25	0.25	0.25	0.25	0.25	0.25	0.5	0.5	0.5	0.5	0.5	0.5	0.5	0.5	0.5	0.5	0.5	0.5	0.5	0.5	0.5	0.5
	0.0	0.13	0.25	0.38	0.5	0.63	0.75	0.88	1.0	1.0	0.13	0.25	0.38	0.5	0.63	0.75	0.88	1.0	0.0	0.13	0.25	0.38	0.5	0.63	0.75	0.88	1.0	1.0	0.88	0.75	0.63	0.5	0.38	0.25	0.13	0.0	0.5	0.5	0.5	0.5	0.5	0.5	
	0.5	0.5	0.5	0.5	0.5	0.5	0.5	0.5	0.5	0.5	0.5	0.5	0.5	0.5	0.5	0.5	0.5	0.5	0.5	0.5	0.5	0.5	0.5	0.5	0.5	0.5	0.5	1.0	1.0	0.88	0.75	0.63	0.5	0.38	0.25	0.13	0.0	0.5	0.5	0.5	0.5	0.5	
06	0.0	0.0	0.0	0.0	0.0	0.0	0.0	0.0	0.0	0.0	0.13	0.13	0.13	0.13	0.13	0.13	0.13	0.13	0.25	0.25	0.25	0.25	0.25	0.25	0.25	0.25	0.25	0.38	0.38	0.38	0.38	0.38	0.38	0.38	0.38	0.38	0.38	0.63	0.63	0.63	0.63		
	0.0	0.13	0.25	0.38	0.5	0.63	0.75	0.88	1.0	1.0	0.13	0.25	0.38	0.5	0.63	0.75	0.88	1.0	0.0	0.13	0.25	0.38	0.5	0.63	0.75	0.88	1.0	1.0	0.88	0.75	0.63	0.5	0.38	0.25	0.13	0.0	0.63	0.63	0.63	0.63	0.63		
	0.63	0.63	0.63	0.63	0.63	0.63	0.63	0.63	0.63	0.63	0.63	0.63	0.63	0.63	0.63	0.63	0.63	0.63	0.63	0.63	0.63	0.63	0.63	0.63	0.63	0.63	0.63	1.0	1.0	0.88	0.75	0.63	0.5	0.38	0.25	0.13	0.0	0.63	0.63	0.63	0.63	0.63	
07	0.0	0.0	0.0	0.0	0.0	0.0	0.0	0.0	0.0	0.0	0.13	0.13	0.13	0.13	0.13	0.13	0.13	0.13	0.25	0.25	0.25	0.25	0.25	0.25	0.25	0.25	0.25	0.25	0.25	0.25	0.25	0.25	0.25	0.25	0.25	0.25	0.25	0.75	0.75	0.75	0.75	0.75	
	0.0	0.13	0.25	0.38	0.5	0.63	0.75	0.88	1.0	1.0	0.13	0.25	0.38	0.5	0.63	0.75	0.88	1.0	0.0	0.13	0.25	0.38	0.5	0.63	0.75	0.88	1.0	1.0	0.88	0.75	0.63	0.5	0.38	0.25	0.13	0.0	0.75	0.75	0.75	0.75	0.75	0.75	
	0.75	0.75	0.75	0.75	0.75	0.75	0.75	0.75	0.75	0.75	0.75	0.75	0.75	0.75	0.75	0.75	0.75	0.75	0.75	0.75	0.75	0.75	0.75	0.75	0.75	0.75	0.75	1.0	1.0	0.88	0.75	0.63	0.5	0.38	0.25	0.13	0.0	0.75	0.75	0.75	0.75	0.75	
08	0.0	0.0	0.0	0.0	0.0	0.0	0.0	0.0	0.0	0.0	0.13	0.13	0.13	0.13	0.13	0.13	0.13	0.13	0.25	0.25	0.25	0.25	0.25	0.25	0.25	0.25	0.25	0.13	0.13	0.13	0.13	0.13	0.13	0.13	0.13	0.13	0.13	0.88	0.88	0.88	0.88	0.88	
	0.0	0.13	0.25	0.38	0.5	0.63	0.75	0.88	1.0	1.0	0.13	0.25	0.38	0.5	0.63	0.75	0.88	1.0	0.0	0.13	0.25	0.38	0.5	0.63	0.75	0.88	1.0	1.0	0.88	0.75	0.63	0.5	0.38	0.25	0.13	0.0	0.88	0.88	0.88	0.88	0.88	0.88	
	0.88	0.88	0.88	0.88	0.88	0.88	0.88	0.88	0.88	0.88	0.88	0.88	0.88	0.88	0.88	0.88	0.88	0.88	0.88	0.88	0.88	0.88	0.88	0.88	0.88	0.88	0.88	1.0	1.0	0.88	0.75	0.63	0.5	0.38	0.25	0.13	0.0	0.88	0.88	0.88	0.88	0.88	
09	0.0	0.0	0.0	0.0	0.0	0.0	0.0	0.0	0.0	0.0	0.13	0.13	0.13	0.13	0.13	0.13	0.13	0.13	0.25	0.25	0.25	0.25	0.25	0.25	0.25	0.25	0.25	0.0	0.0	0.0	0.0	0.0	0.0	0.0	0.0	0.0	0.0	1.0	1.0	1.0	1.0	1.0	
	0.0	0.13	0.25	0.38	0.5	0.63	0.75	0.88	1.0	1.0	0.13	0.25	0.38	0.5	0.63	0.75	0.88	1.0	0.0	0.13	0.25	0.38	0.5	0.63	0.75	0.88	1.0	1.0	0.88	0.75	0.63	0.5	0.38	0.25	0.13	0.0	1.0	1.0	1.0	1.0	1.0	1.0	
	1.0	1.0	1.0	1.0	1.0	1.0	1.0	1.0	1.0	1.0	1.0	1.0	1.0	1.0	1.0	1.0	1.0	1.0	1.0	1.0	1.0	1.0	1.0	1.0	1.0	1.0	1.0	1.0	1.0	0.88	0.75	0.63	0.5	0.38	0.25	0.13	0.0	1.0	1.0	1.0	1.0	1.0	
10	0.38	0.38	0.38	0.38	0.38	0.38	0.38	0.38	0.38	0.38	0.5	0.5	0.5	0.5	0.5	0.5	0.5	0.5	0.63	0.63	0.63	0.63	0.63	0.63	0.63	0.63	0.63	1.0	1.0	1.0	1.0	1.0	1.0	1.0	1.0	1.0	1.0	0.0	0.0	0.0	0.0	0.0	
	0.0	0.13	0.25	0.38	0.5	0.63	0.75	0.88	1.0	1.0	0.13	0.25	0.38	0.5	0.63	0.75	0.88	1.0	0.0	0.13	0.25	0.38	0.5	0.63	0.75	0.88	1.0	1.0	0.88	0.75	0.63	0.5	0.38	0.25	0.13	0.0	0.0	0.0	0.0	0.0	0.0	0.0	
	0.38	0.38	0.38	0.38	0.38	0.38	0.38	0.38	0.38	0.38	0.5	0.5	0.5	0.5	0.5	0.5	0.5	0.5	0.63	0.63	0.63	0.63	0.63	0.63	0.63	0.63	0.63	0.88	0.88	0.88	0.88	0.88	0.88	0.88	0.88	0.88	0.88	0.07	0.07	0.07	0.07	0.07	
11	0.0	0.13	0.25	0.38	0.5	0.63	0.75	0.88	1.0	1.0	0.13	0.25	0.38	0.5	0.63	0.75	0.88	1.0	0.0	0.13	0.25	0.38	0.5	0.63	0.75	0.88	1.0	0.88	0.88	0.88	0.88	0.88	0.88	0.88	0.88	0.88	0.07	0.07	0.07	0.07	0.07	0.07	
	0.13	0.13	0.13	0.13	0.13	0.13	0.13	0.13	0.13	0.13	0.13	0.13	0.13	0.13	0.13	0.13	0.13	0.13	0.13	0.13	0.13	0.13	0.13	0.13	0.13	0.1></																	

BAM-Registrierung: 20080701-Dg92/10L/L92G00NP.PS/.PDF BAM-Material: Code=th4ta
Anwendung für Beurteilung und Messung von Drucker- oder Monitorsystemen

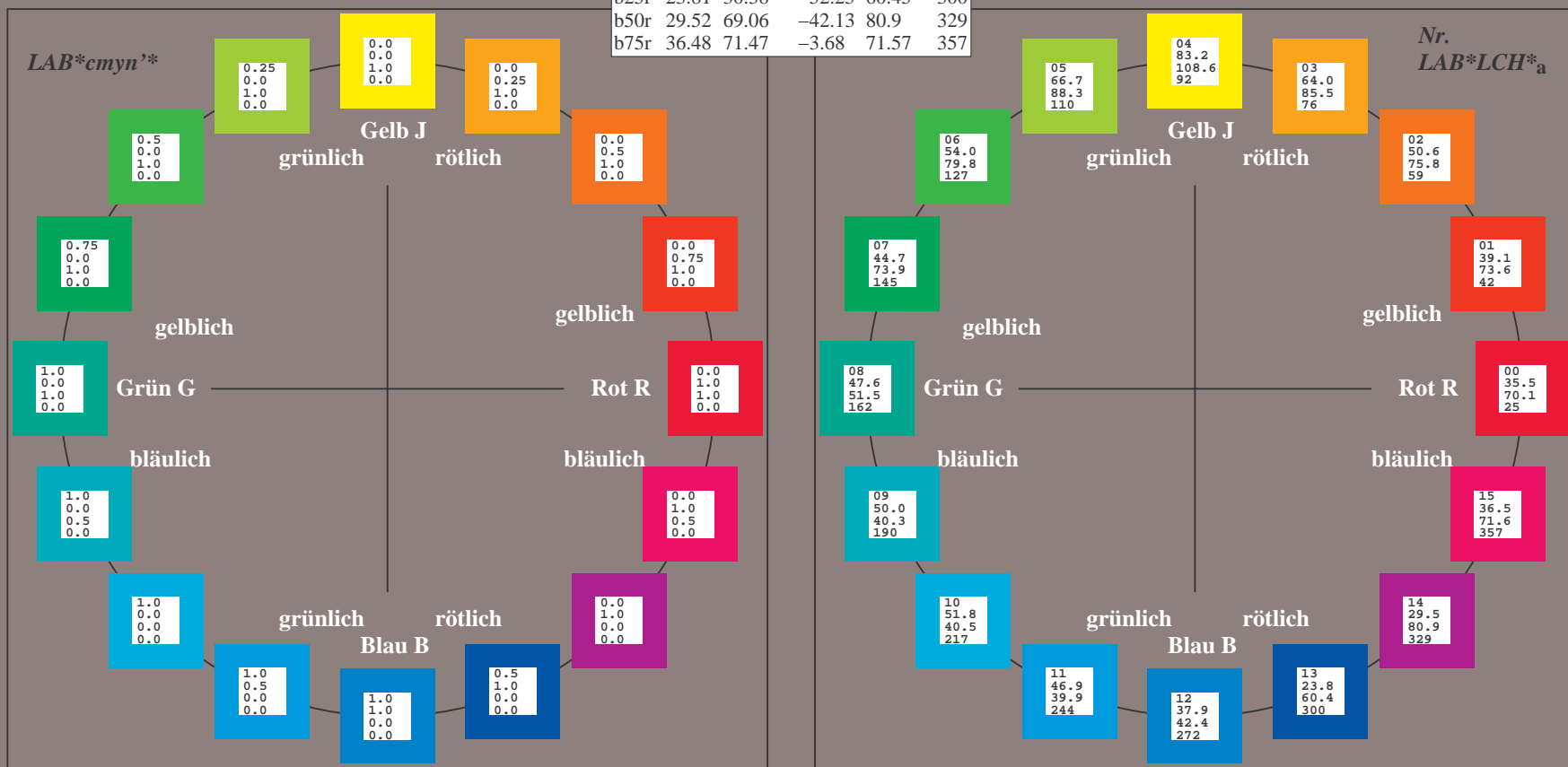
Ein und Ausgabe:
Farbmetrisches Drucker-Reflektiv-System FRS09_92aM
Daten für jede Farbe:
*lab*_{rch}** und *lab*_{icu}**
Elementar-Bunttontext:
*u** = 16 Buntttöne *r00j*, *r25j*, ..., *b75r*
Kontrastreduzierungsfaktor:
c_R = 1.0

FRS09_92aM; adaptierte CIELAB-Daten					
	<i>L*</i> = <i>L*</i> _a	<i>a*</i> _a	<i>b*</i> _a	<i>C*</i> _{ab,a}	<i>h*</i> _{ab,a}
r00j	35.47	63.32	30.17	70.15	25
r25j	39.12	54.56	49.45	73.64	42
r50j	50.64	39.15	64.89	75.79	59
r75j	64.01	21.26	82.83	85.52	76
j00g	83.18	-4.37	108.53	108.62	92
j25g	66.73	-29.88	83.06	88.28	110
j50g	54.03	-48.3	63.49	79.78	127
j75g	44.73	-60.32	42.64	73.88	145
g00b	47.59	-49.07	15.74	51.54	162
g25b	49.97	-39.69	-6.71	40.27	190
g50b	51.85	-32.32	-24.34	40.48	217
g75b	46.92	-17.28	-36.01	39.96	244
b00r	37.91	1.28	-42.34	42.37	272
b25r	23.81	30.38	-52.25	60.45	300
b50r	29.52	69.06	-42.13	80.9	329
b75r	36.48	71.47	-3.68	71.57	357



%Umfang
*u**_{rel} = 109
%Regularität
*g**_{H,rel} = 31
*g**_{C,rel} = 40

FRS09_92aM; CIELAB-Daten					
	<i>L*</i> = <i>L*</i>	<i>a*</i>	<i>b*</i>	<i>C*</i> _{ab}	<i>h*</i> _{ab}
O _M	35.06	60.53	39.66	72.37	33
Y _M	83.77	-4.49	103.15	103.25	92
L _M	44.13	-62.1	43.56	75.86	145
C _M	52.66	-28.55	-36.98	46.73	232
V _M	14.15	50.78	-62.59	80.61	309
M _M	37.37	79.18	-37.92	87.8	334
N _M	8.58	0.46	-3.34	3.38	278
W _M	92.02	0.69	-6.47	6.52	276
R _{CIE}	39.92	58.74	27.99	65.07	25
J _{CIE}	81.26	-2.88	71.56	71.62	92
G _{CIE}	52.23	-42.41	13.6	44.55	162
B _{CIE}	30.57	1.41	-46.46	46.49	272



Ein und Ausgabe: Farbmetrisches Drucker-Reflektiv-System FRS09_92aM für relativen CIELAB-Buntton $h^* = lab^*h^* = h_{ab}/360 = 25/360 = 0.071$ $u^* = r00j$

Daten für jede Farbe:

lab^*ch^* und lab^*icu^*

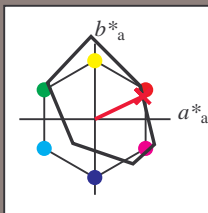
Elementar-Bunttontext:

$u^* = r00j$

Kontrastreduzierungsfaktor:

$c_R = 1.0$

Dreiecks-Helligkeit t^*



FRS09_92aM; CIELAB-Daten					
	$L^*=L^*$	a^*	b^*	C^*_{ab}	h^*_{ab}
O _M	35.06	60.53	39.66	72.37	33
Y _M	83.77	-4.49	103.15	103.25	92
L _M	44.13	-62.1	43.56	75.86	145
C _M	52.66	-28.55	-36.98	46.73	232
V _M	14.15	50.78	-62.59	80.61	309
M _M	37.37	79.18	-37.92	87.8	334
N _M	8.58	0.46	-3.34	3.38	278
W _M	92.02	0.69	-6.47	6.52	276
R _{CIE}	39.92	58.74	27.99	65.07	25
J _{CIE}	81.26	-2.88	71.56	71.62	92
G _{CIE}	52.23	-42.41	13.6	44.55	162
B _{CIE}	30.57	1.41	-46.46	46.49	272

Daten für Maximalfarbe (Ma):

$LAB^*LAB^*_{Ma}$: 35 63 30

$LAB^*LCH^*_{Ma}$: 35 70 25

$lab^*rgb^*_{Ma}$: 1.0 0.0 0.0

$lab^*olv^*_{Ma}$: 1.0 0.0 0.18

Dreiecks-Helligkeit t^*

%Umfang

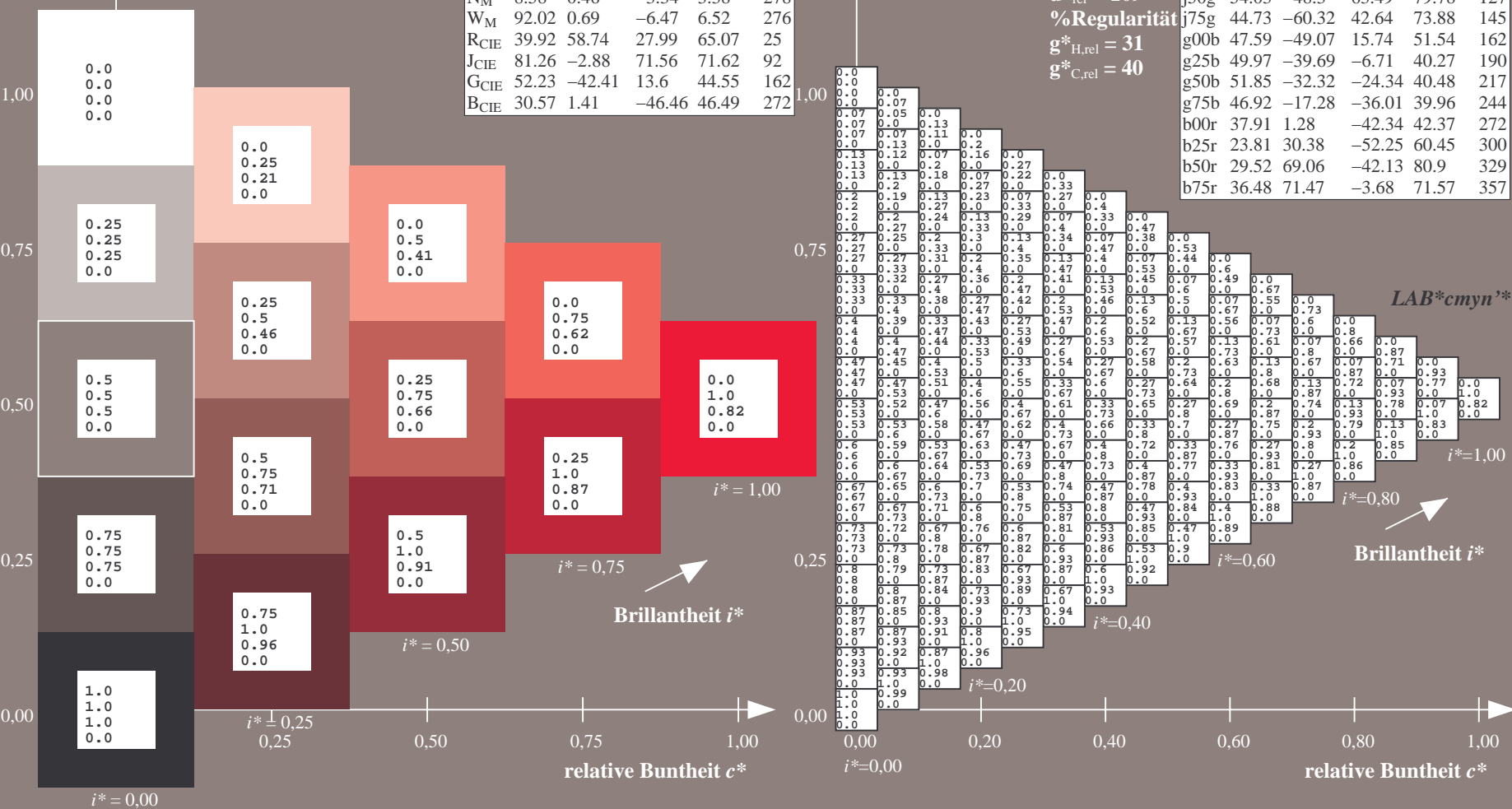
$u^*_{rel} = 109$

%Regularität

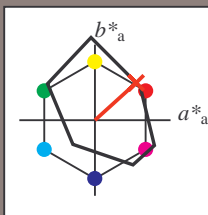
$g^*_{H,rel} = 31$

$g^*_{C,rel} = 40$

FRS09_92aM; adaptierte CIELAB-Daten					
	$L^*=L^*_a$	a^*_a	b^*_a	$C^*_{ab,a}$	$h^*_{ab,a}$
r00j	35.47	63.32	30.17	70.15	25
r25j	39.12	54.56	49.45	73.64	42
r50j	50.64	39.15	64.89	75.79	59
r75j	64.01	21.26	82.83	85.52	76
j00g	83.18	-4.37	108.53	108.62	92
j25g	66.73	-29.88	83.06	88.28	110
j50g	54.03	-48.3	63.49	79.78	127
j75g	44.73	-60.32	42.64	73.88	145
g00b	47.59	-49.07	15.74	51.54	162
g25b	49.97	-39.69	-6.71	40.27	190
g50b	51.85	-32.32	-24.34	40.48	217
g75b	46.92	-17.28	-36.01	39.96	244
b00r	37.91	1.28	-42.34	42.37	272
b25r	23.81	30.38	-52.25	60.45	300
b50r	29.52	69.06	-42.13	80.9	329
b75r	36.48	71.47	-3.68	71.57	357



Ein und Ausgabe: Farbmetrisches Drucker-Reflektiv-System FRS09_92aM für relativen CIELAB-Buntton $h^* = lab^*h^* = h_{ab}/360 = 42/360 = 0.117$ $u^* = r25j$
Daten für jede Farbe:
 lab^*ch^* und lab^*icu^*
Elementar-Bunttontext:
 $u^* = r25j$
Kontrastreduzierungsfaktor:
 $c_R = 1.0$
Dreiecks-Helligkeit i^*



FRS09_92aM; CIELAB-Daten					
	$L^*=L^*$	a^*	b^*	C^*_{ab}	h^*_{ab}
O _M	35.06	60.53	39.66	72.37	33
Y _M	83.77	-4.49	103.15	103.25	92
L _M	44.13	-62.1	43.56	75.86	145
C _M	52.66	-28.55	-36.98	46.73	232
V _M	14.15	50.78	-62.59	80.61	309
M _M	37.37	79.18	-37.92	87.8	334
N _M	8.58	0.46	-3.34	3.38	278
W _M	92.02	0.69	-6.47	6.52	276
R _{CIE}	39.92	58.74	27.99	65.07	25
J _{CIE}	81.26	-2.88	71.56	71.62	92
G _{CIE}	52.23	-42.41	13.6	44.55	162
B _{CIE}	30.57	1.41	-46.46	46.49	272

Daten für Maximalfarbe (Ma):

$LAB^*LAB^*_{Ma}$: 39 55 49

$LAB^*LCH^*_{Ma}$: 39 74 42

$lab^*rgb^*_{Ma}$: 1.0 0.25 0.0

$lab^*olv^*_{Ma}$: 1.0 0.08 0.0

Dreiecks-Helligkeit i^*

%Umfang

$u^*_{rel} = 109$

%Regularität

$g^*_{H,rel} = 31$

$g^*_{C,rel} = 40$

FRS09_92aM; adaptierte CIELAB-Daten					
	$L^*=L^*_a$	a^*_a	b^*_a	$C^*_{ab,a}$	$h^*_{ab,a}$
r00j	35.47	63.32	30.17	70.15	25
r25j	39.12	54.56	49.45	73.64	42
r50j	50.64	39.15	64.89	75.79	59
r75j	64.01	21.26	82.83	85.52	76
j00g	83.18	-4.37	108.53	108.62	92
j25g	66.73	-29.88	83.06	88.28	110
j50g	54.03	-48.3	63.49	79.78	127
j75g	44.73	-60.32	42.64	73.88	145
g00b	47.59	-49.07	15.74	51.54	162
g25b	49.97	-39.69	-6.71	40.27	190
g50b	51.85	-32.32	-24.34	40.48	217
g75b	46.92	-17.28	-36.01	39.96	244
b00r	37.91	1.28	-42.34	42.37	272
b25r	23.81	30.38	-52.25	60.45	300
b50r	29.52	69.06	-42.13	80.9	329
b75r	36.48	71.47	-3.68	71.57	357

LAB^*cmyn^*

$i^* = 1.00$

Brillantheit i^*

$i^* = 0.80$

$i^* = 0.60$

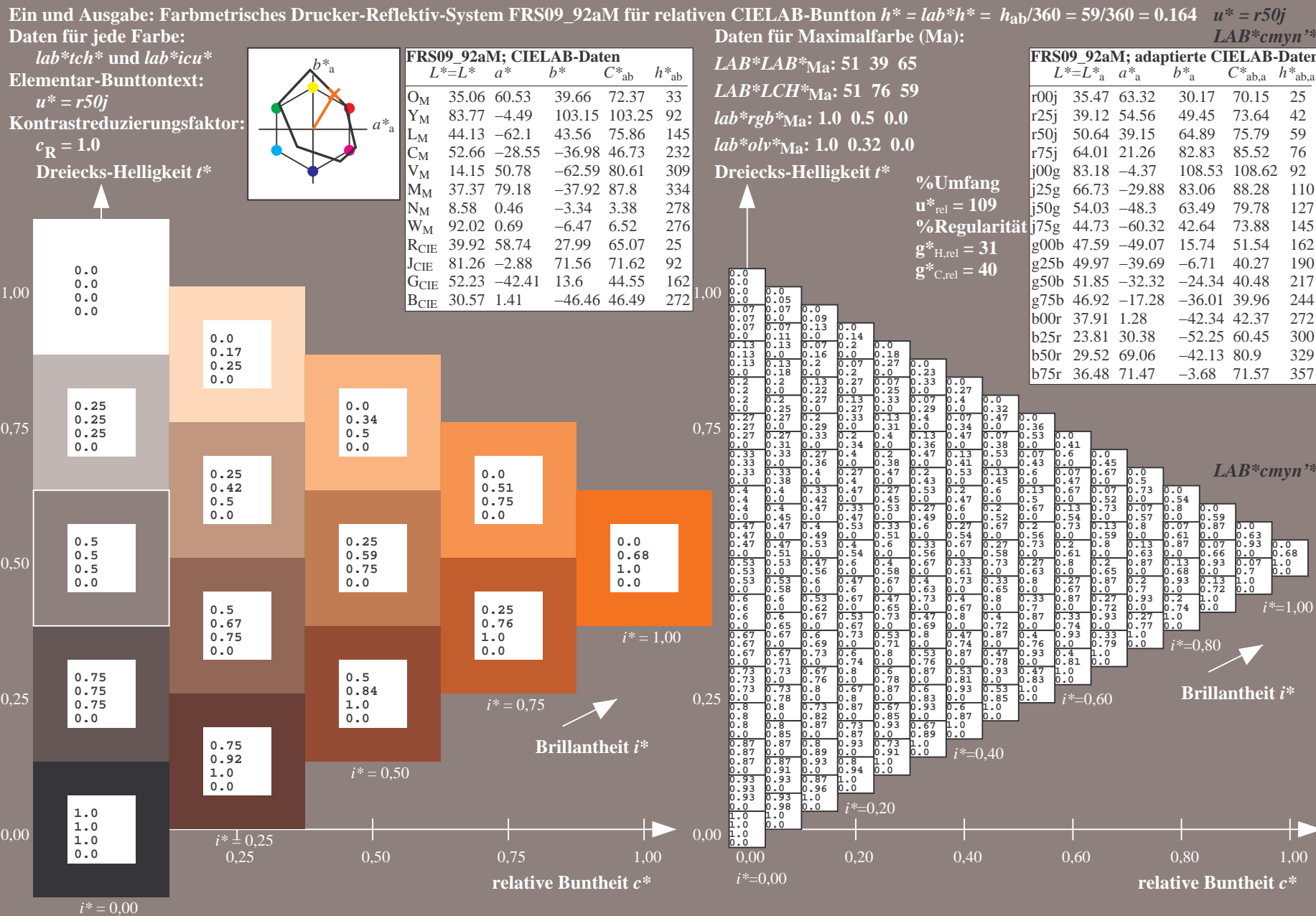
$i^* = 0.40$

$i^* = 0.20$

$i^* = 0.00$

relative Buntheit c^*

relative Buntheit c^*



Ein und Ausgabe: Farbmetrisches Drucker-Reflektiv-System FRS09_92aM für relativen CIELAB-Buntton $h^* = lab^*h^* = h_{ab}/360 = 76/360 = 0.21$ $u^* = r75j$

Daten für jede Farbe:

lab^*ch^* und lab^*icu^*

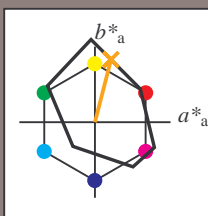
Elementar-Bunttontext:

$u^* = r75j$

Kontrastreduzierungsfaktor:

$c_R = 1.0$

Dreiecks-Helligkeit i^*



FRS09_92aM; CIELAB-Daten					
	$L^*=L^*$	a^*	b^*	C^*_{ab}	h^*_{ab}
O _M	35.06	60.53	39.66	72.37	33
Y _M	83.77	-4.49	103.15	103.25	92
L _M	44.13	-62.1	43.56	75.86	145
C _M	52.66	-28.55	-36.98	46.73	232
V _M	14.15	50.78	-62.59	80.61	309
M _M	37.37	79.18	-37.92	87.8	334
N _M	8.58	0.46	-3.34	3.38	278
W _M	92.02	0.69	-6.47	6.52	276
R _{CIE}	39.92	58.74	27.99	65.07	25
J _{CIE}	81.26	-2.88	71.56	71.62	92
G _{CIE}	52.23	-42.41	13.6	44.55	162
B _{CIE}	30.57	1.41	-46.46	46.49	272

Daten für Maximalfarbe (Ma):

$LAB^*LAB^*_{Ma}$: 64 21 83

$LAB^*LCH^*_{Ma}$: 64 86 76

$lab^*rgb^*_{Ma}$: 1.0 0.75 0.0

$lab^*olv^*_{Ma}$: 1.0 0.59 0.0

Dreiecks-Helligkeit i^*

%Umfang

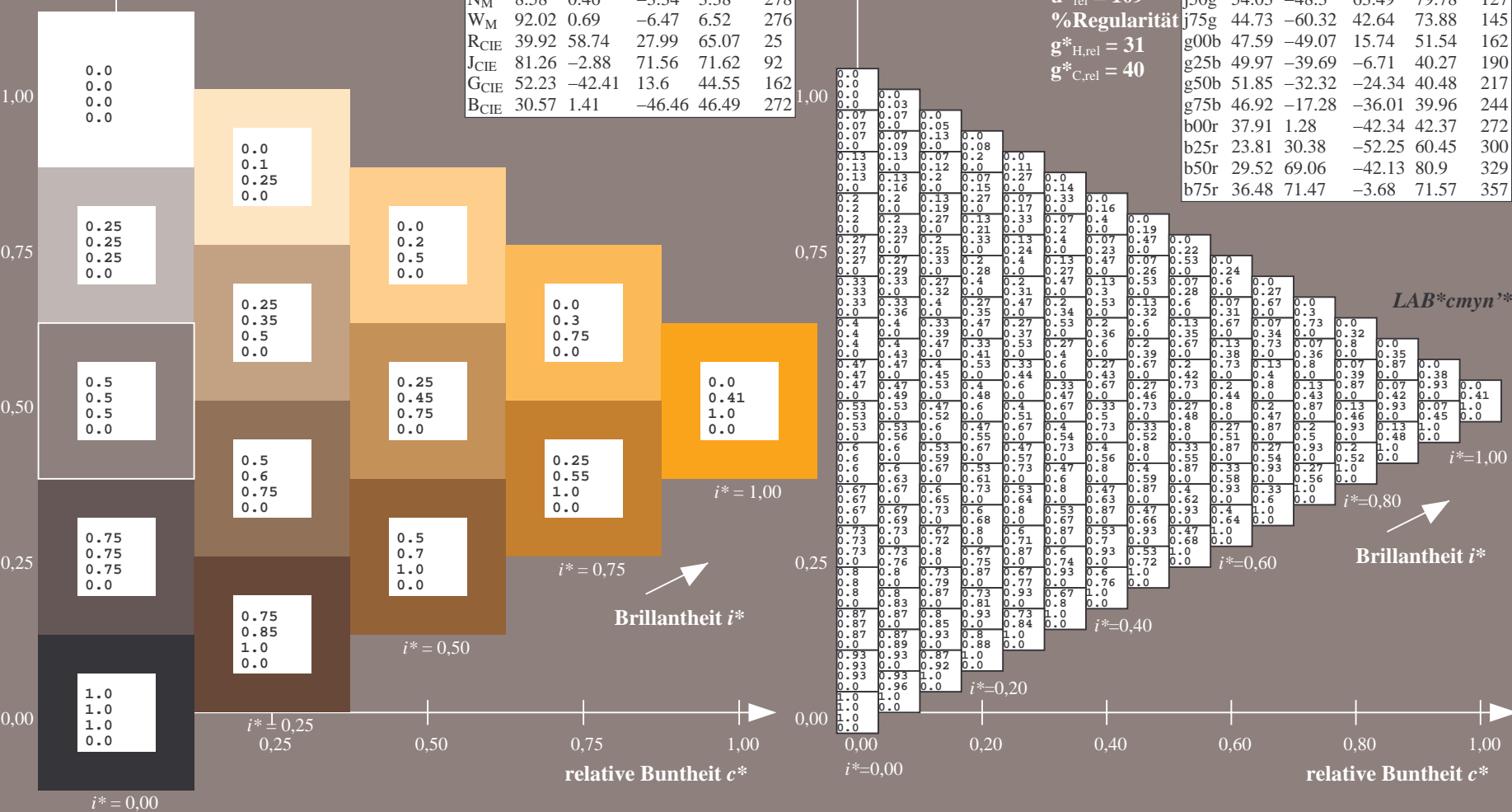
$u^*_{rel} = 109$

%Regularität

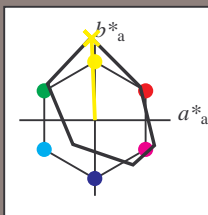
$g^*_{H,rel} = 31$

$g^*_{C,rel} = 40$

FRS09_92aM; adaptierte CIELAB-Daten					
	$L^*=L^*_a$	a^*_a	b^*_a	$C^*_{ab,a}$	$h^*_{ab,a}$
r00j	35.47	63.32	30.17	70.15	25
r25j	39.12	54.56	49.45	73.64	42
r50j	50.64	39.15	64.89	75.79	59
r75j	64.01	21.26	82.83	85.52	76
j00g	83.18	-4.37	108.53	108.62	92
j25g	66.73	-29.88	83.06	88.28	110
j50g	54.03	-48.3	63.49	79.78	127
j75g	44.73	-60.32	42.64	73.88	145
g00b	47.59	-49.07	15.74	51.54	162
g25b	49.97	-39.69	-6.71	40.27	190
g50b	51.85	-32.32	-24.34	40.48	217
g75b	46.92	-17.28	-36.01	39.96	244
b00r	37.91	1.28	-42.34	42.37	272
b25r	23.81	30.38	-52.25	60.45	300
b50r	29.52	69.06	-42.13	80.9	329
b75r	36.48	71.47	-3.68	71.57	357



Ein und Ausgabe: Farbmetrisches Drucker-Reflektiv-System FRS09_92aM für relativen CIELAB-Buntton $h^* = lab^*h^* = h_{ab}/360 = 92/360 = 0.256$ $u^* = j00g$
Daten für jede Farbe:
 lab^*ch^* und lab^*icu^*
Elementar-Bunttontext:
 $u^* = j00g$
Kontrastreduzierungsfaktor:
 $c_R = 1.0$
Dreiecks-Helligkeit i^*



FRS09_92aM; CIELAB-Daten					
	$L^*=L^*$	a^*	b^*	C^*_{ab}	h^*_{ab}
O _M	35.06	60.53	39.66	72.37	33
Y _M	83.77	-4.49	103.15	103.25	92
L _M	44.13	-62.1	43.56	75.86	145
C _M	52.66	-28.55	-36.98	46.73	232
V _M	14.15	50.78	-62.59	80.61	309
M _M	37.37	79.18	-37.92	87.8	334
N _M	8.58	0.46	-3.34	3.38	278
W _M	92.02	0.69	-6.47	6.52	276
R _{CIE}	39.92	58.74	27.99	65.07	25
J _{CIE}	81.26	-2.88	71.56	71.62	92
G _{CIE}	52.23	-42.41	13.6	44.55	162
B _{CIE}	30.57	1.41	-46.46	46.49	272

Daten für Maximalfarbe (Ma):

$LAB^*LAB^*_{Ma}$: 83 -3 109

$LAB^*LCH^*_{Ma}$: 83 109 92

$lab^*rgb^*_{Ma}$: 1.0 1.0 0.0

$lab^*olv^*_{Ma}$: 1.0 0.99 0.0

Dreiecks-Helligkeit i^*

%Umfang

$u^*_{rel} = 109$

%Regularität

$g^*_{H,rel} = 31$

$g^*_{C,rel} = 40$

FRS09_92aM; adaptierte CIELAB-Daten					
	$L^*=L^*_a$	a^*_a	b^*_a	$C^*_{ab,a}$	$h^*_{ab,a}$
r00j	35.47	63.32	30.17	70.15	25
r25j	39.12	54.56	49.45	73.64	42
r50j	50.64	39.15	64.89	75.79	59
r75j	64.01	21.26	82.83	85.52	76
j00g	83.18	-4.37	108.53	108.62	92
j25g	66.73	-29.88	83.06	88.28	110
j50g	54.03	-48.3	63.49	79.78	127
j75g	44.73	-60.32	42.64	73.88	145
g00b	47.59	-49.07	15.74	51.54	162
g25b	49.97	-39.69	-6.71	40.27	190
g50b	51.85	-32.32	-24.34	40.48	217
g75b	46.92	-17.28	-36.01	39.96	244
b00r	37.91	1.28	-42.34	42.37	272
b25r	23.81	30.38	-52.25	60.45	300
b50r	29.52	69.06	-42.13	80.9	329
b75r	36.48	71.47	-3.68	71.57	357

LAB^*cmyn^*

$i^* = 1.00$

Brillantheit i^*

$i^* = 0.80$

$i^* = 0.60$

$i^* = 0.40$

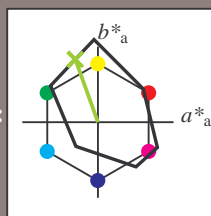
$i^* = 0.20$

$i^* = 0.00$

relative Buntheit c^*

relative Buntheit c^*

Ein und Ausgabe: Farbmetrisches Drucker-Reflektiv-System FRS09_92aM für relativen CIELAB-Buntton $h^* = lab^*h^* = h_{ab}/360 = 110/360 = 0.305$ $u^* = j25g$
Daten für jede Farbe:
 lab^*ch^* und lab^*icu^*
Elementar-Bunttontext:
 $u^* = j25g$
Kontrastreduzierungsfaktor:
 $c_R = 1.0$
Dreiecks-Helligkeit i^*



FRS09_92aM; CIELAB-Daten					
	$L^*=L^*$	a^*	b^*	C^*_{ab}	h^*_{ab}
O _M	35.06	60.53	39.66	72.37	33
Y _M	83.77	-4.49	103.15	103.25	92
L _M	44.13	-62.1	43.56	75.86	145
C _M	52.66	-28.55	-36.98	46.73	232
V _M	14.15	50.78	-62.59	80.61	309
M _M	37.37	79.18	-37.92	87.8	334
N _M	8.58	0.46	-3.34	3.38	278
W _M	92.02	0.69	-6.47	6.52	276
R _{CIE}	39.92	58.74	27.99	65.07	25
J _{CIE}	81.26	-2.88	71.56	71.62	92
G _{CIE}	52.23	-42.41	13.6	44.55	162
B _{CIE}	30.57	1.41	-46.46	46.49	272

Daten für Maximalfarbe (Ma):

$LAB^*LAB^*_{Ma}$: 67 -29 83

$LAB^*LCH^*_{Ma}$: 67 88 110

$lab^*rgb^*_{Ma}$: 0.75 1.0 0.0

$lab^*olv^*_{Ma}$: 0.57 1.0 0.0

Dreiecks-Helligkeit i^*

%Umfang

$u^*_{rel} = 109$

%Regularität

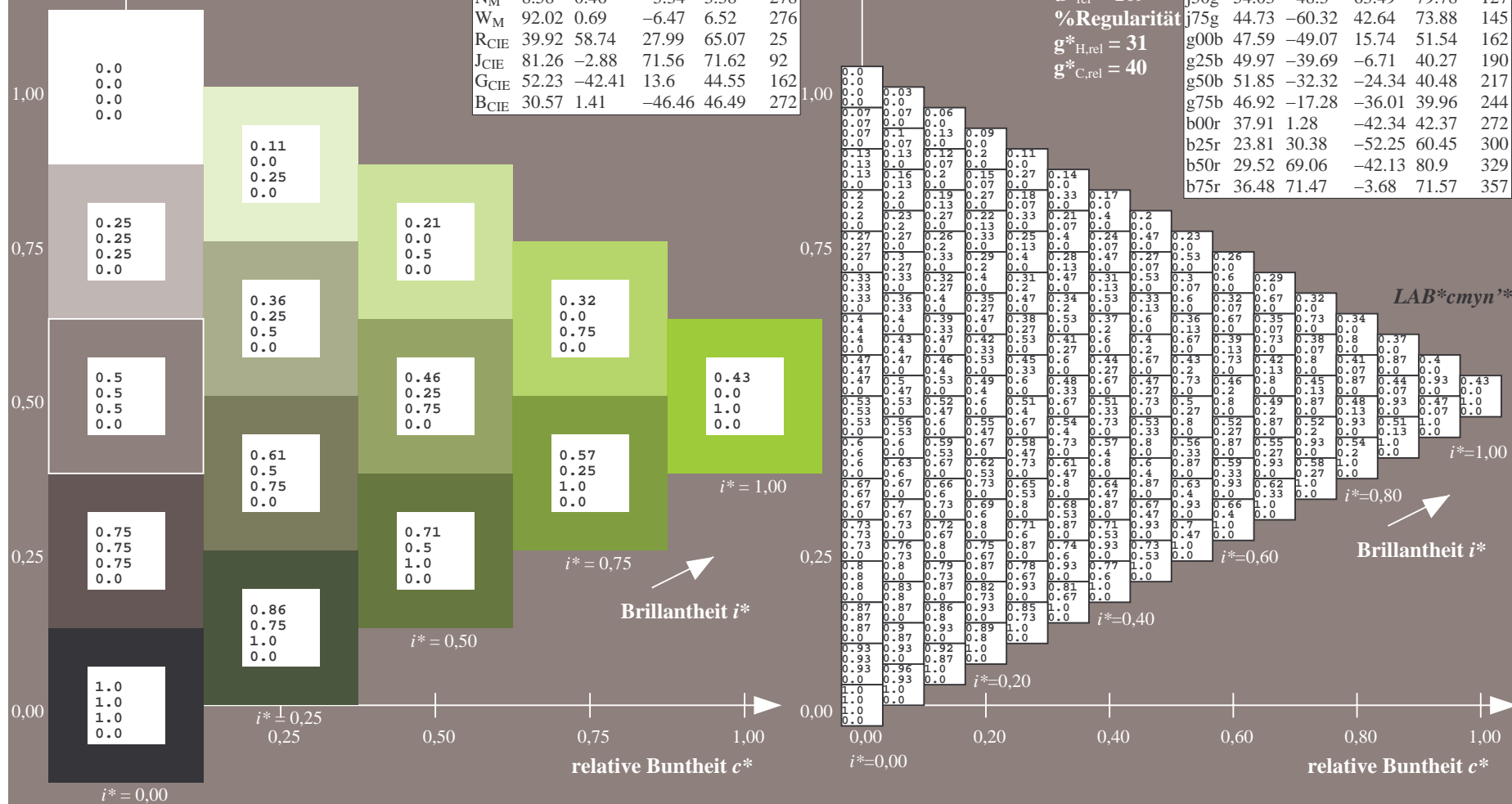
$g^*_{H,rel} = 31$

$g^*_{C,rel} = 40$

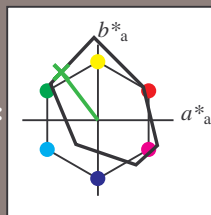
FRS09_92aM; adaptierte CIELAB-Daten					
	$L^*=L^*_a$	a^*_a	b^*_a	$C^*_{ab,a}$	$h^*_{ab,a}$
r00j	35.47	63.32	30.17	70.15	25
r25j	39.12	54.56	49.45	73.64	42
r50j	50.64	39.15	64.89	75.79	59
r75j	64.01	21.26	82.83	85.52	76
j00g	83.18	-4.37	108.53	108.62	92
j25g	66.73	-29.88	83.06	88.28	110
j50g	54.03	-48.3	63.49	79.78	127
j75g	44.73	-60.32	42.64	73.88	145
g00b	47.59	-49.07	15.74	51.54	162
g25b	49.97	-39.69	-6.71	40.27	190
g50b	51.85	-32.32	-24.34	40.48	217
g75b	46.92	-17.28	-36.01	39.96	244
b00r	37.91	1.28	-42.34	42.37	272
b25r	23.81	30.38	-52.25	60.45	300
b50r	29.52	69.06	-42.13	80.9	329
b75r	36.48	71.47	-3.68	71.57	357

Siehe ähnliche Dateien: <http://www.ps.bam.de/Dg92/>; www.ps.bam.de/Dg92/10L/L92G00NP.PS/.PDF BAM-Material: Code=rh4ta
Technische Information: <http://www.ps.bam.de> Version 2.1, io=1,1, ColSpx=0

BAM-Registrierung: 20080701-Dg92/10L/L92G00NP.PS/.PDF BAM-Material: Code=rh4ta
Anwendung für Beurteilung und Messung von Drucker- oder Monitorsystemen



Ein und Ausgabe: Farbmetrisches Drucker-Reflektiv-System FRS09_92aM für relativen CIELAB-Buntton $h^* = lab^*h^* = h_{ab}/360 = 127/360 = 0.354$ $u^* = j50g$
Daten für jede Farbe:
 lab^*ch^* und lab^*icu^*
Elementar-Bunttontext:
 $u^* = j50g$
Kontrastreduzierungsfaktor:
 $c_R = 1.0$
Dreiecks-Helligkeit i^*



FRS09_92aM; CIELAB-Daten					
	$L^*=L^*$	a^*	b^*	C^*_{ab}	h^*_{ab}
O _M	35.06	60.53	39.66	72.37	33
Y _M	83.77	-4.49	103.15	103.25	92
L _M	44.13	-62.1	43.56	75.86	145
C _M	52.66	-28.55	-36.98	46.73	232
V _M	14.15	50.78	-62.59	80.61	309
M _M	37.37	79.18	-37.92	87.8	334
N _M	8.58	0.46	-3.34	3.38	278
W _M	92.02	0.69	-6.47	6.52	276
R _{CIE}	39.92	58.74	27.99	65.07	25
J _{CIE}	81.26	-2.88	71.56	71.62	92
G _{CIE}	52.23	-42.41	13.6	44.55	162
B _{CIE}	30.57	1.41	-46.46	46.49	272

Daten für Maximalfarbe (Ma):

$LAB^*LAB^*_{Ma}$: 54 -47 63

$LAB^*LCH^*_{Ma}$: 54 80 127

$lab^*rgb^*_{Ma}$: 0.5 1.0 0.0

$lab^*olv^*_{Ma}$: 0.25 1.0 0.0

Dreiecks-Helligkeit i^*

%Umfang

$u^*_{rel} = 109$

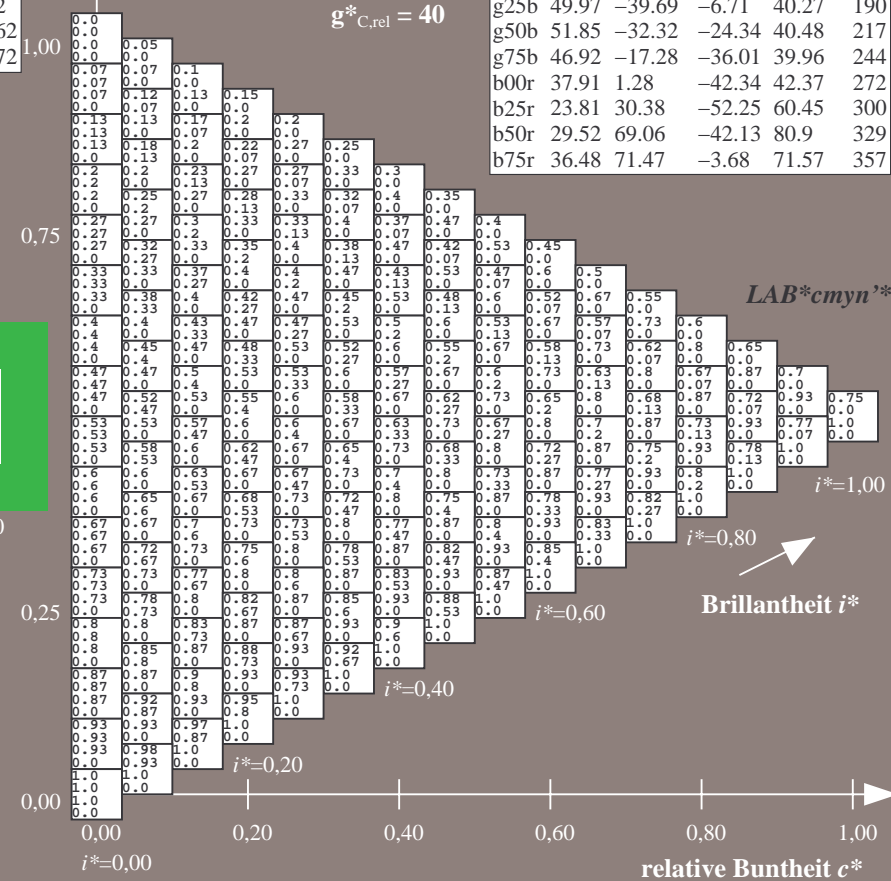
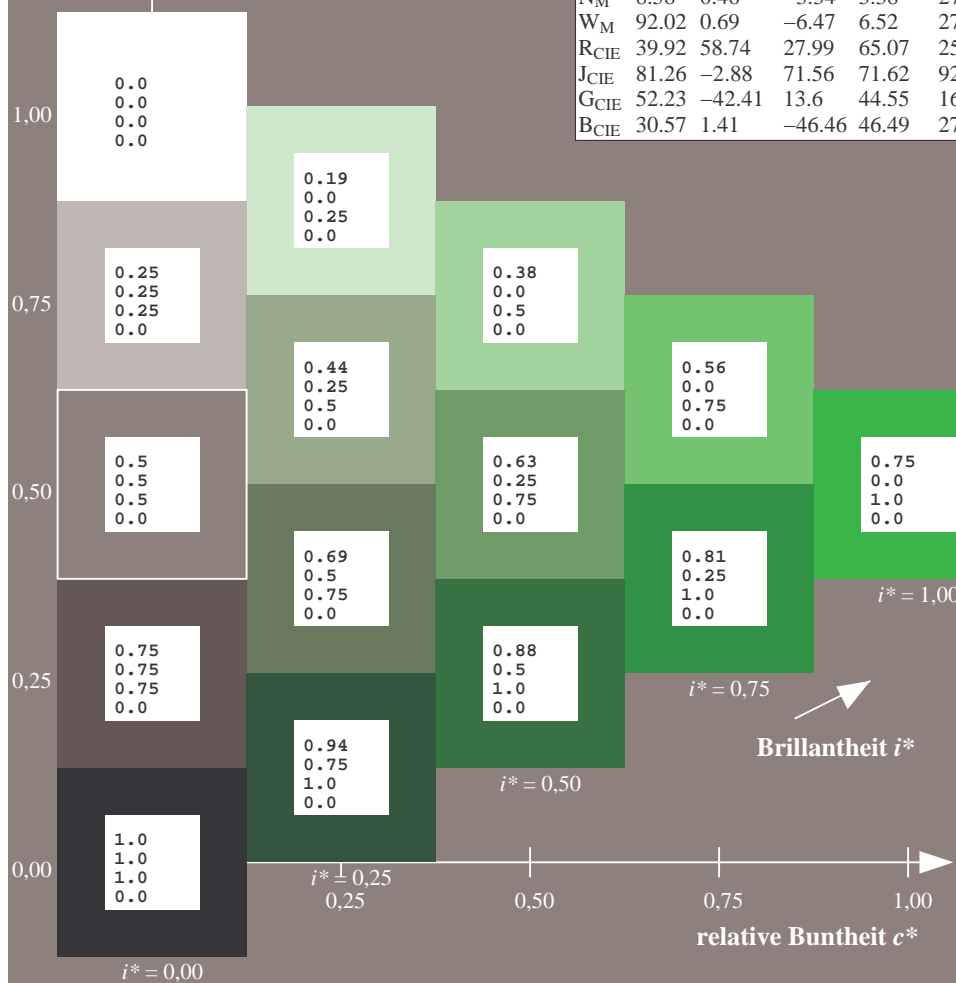
%Regularität

$g^*_{H,rel} = 31$

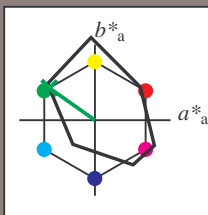
$g^*_{C,rel} = 40$

FRS09_92aM; adaptierte CIELAB-Daten

	$L^*=L^*_a$	a^*_a	b^*_a	$C^*_{ab,a}$	$h^*_{ab,a}$
r00j	35.47	63.32	30.17	70.15	25
r25j	39.12	54.56	49.45	73.64	42
r50j	50.64	39.15	64.89	75.79	59
r75j	64.01	21.26	82.83	85.52	76
j00g	83.18	-4.37	108.53	108.62	92
j25g	66.73	-29.88	83.06	88.28	110
j50g	54.03	-48.3	63.49	79.78	127
j75g	44.73	-60.32	42.64	73.88	145
g00b	47.59	-49.07	15.74	51.54	162
g25b	49.97	-39.69	-6.71	40.27	190
g50b	51.85	-32.32	-24.34	40.48	217
g75b	46.92	-17.28	-36.01	39.96	244
b00r	37.91	1.28	-42.34	42.37	272
b25r	23.81	30.38	-52.25	60.45	300
b50r	29.52	69.06	-42.13	80.9	329
b75r	36.48	71.47	-3.68	71.57	357



Ein und Ausgabe: Farbmetrisches Drucker-Reflektiv-System FRS09_92aM für relativen CIELAB-Buntton $h^* = lab^*h^* = h_{ab}/360 = 145/360 = 0.402$ $u^* = j75g$
Daten für jede Farbe:
 lab^*ch^* und lab^*icu^*
Elementar-Bunttontext:
 $u^* = j75g$
Kontrastreduzierungsfaktor:
 $c_R = 1.0$
Dreiecks-Helligkeit i^*



FRS09_92aM; CIELAB-Daten					
	$L^*=L^*$	a^*	b^*	C^*_{ab}	h^*_{ab}
O _M	35.06	60.53	39.66	72.37	33
Y _M	83.77	-4.49	103.15	103.25	92
L _M	44.13	-62.1	43.56	75.86	145
C _M	52.66	-28.55	-36.98	46.73	232
V _M	14.15	50.78	-62.59	80.61	309
M _M	37.37	79.18	-37.92	87.8	334
N _M	8.58	0.46	-3.34	3.38	278
W _M	92.02	0.69	-6.47	6.52	276
R _{CIE}	39.92	58.74	27.99	65.07	25
J _{CIE}	81.26	-2.88	71.56	71.62	92
G _{CIE}	52.23	-42.41	13.6	44.55	162
B _{CIE}	30.57	1.41	-46.46	46.49	272

Daten für Maximalfarbe (Ma):

$LAB^*LAB^*_{Ma}$: 45 -59 43

$LAB^*LCH^*_{Ma}$: 45 74 145

$lab^*rgb^*_{Ma}$: 0.25 1.0 0.0

$lab^*olv^*_{Ma}$: 0.0 1.0 0.07

Dreiecks-Helligkeit i^*

%Umfang

$u^*_{rel} = 109$

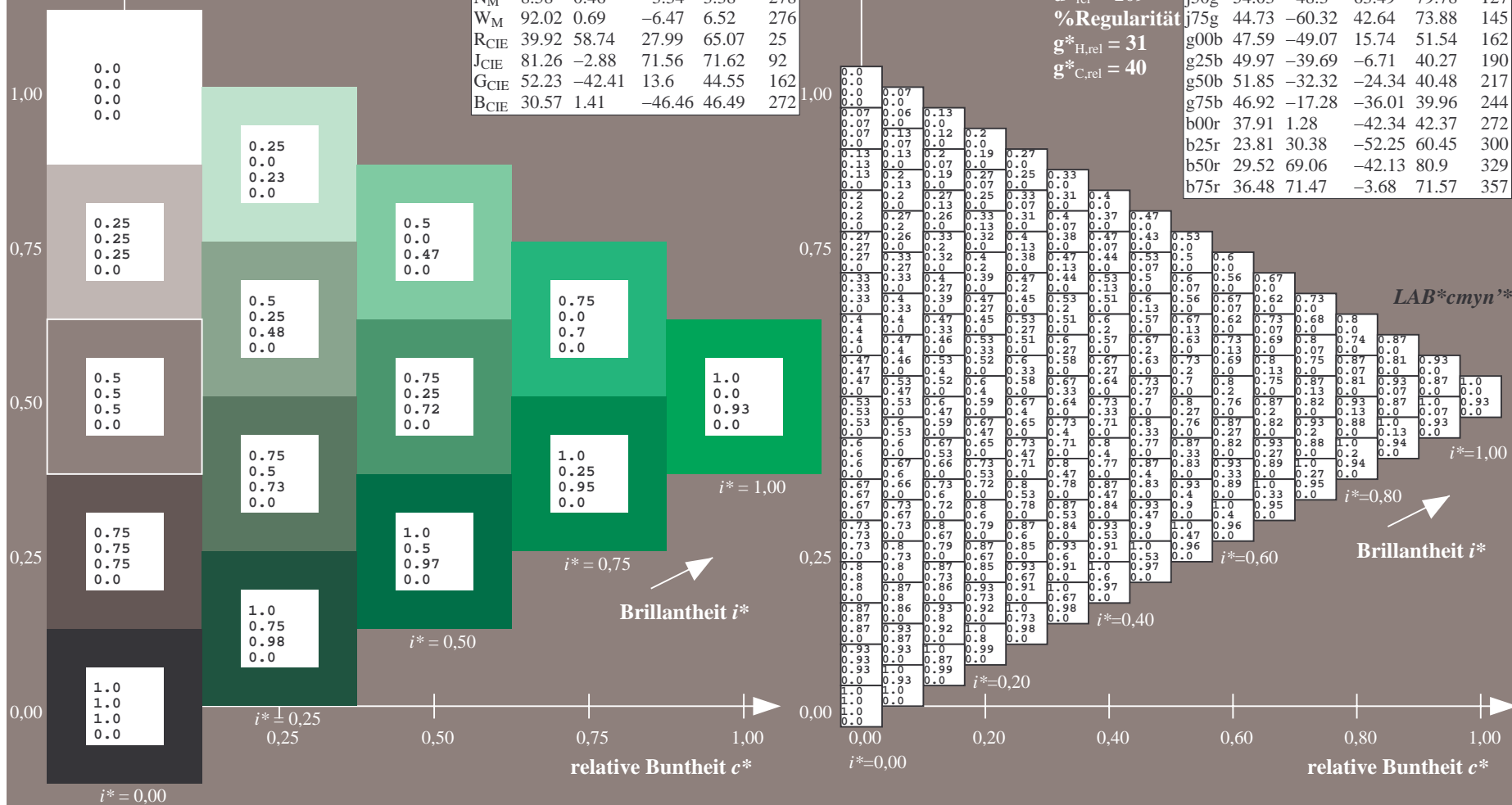
%Regularität

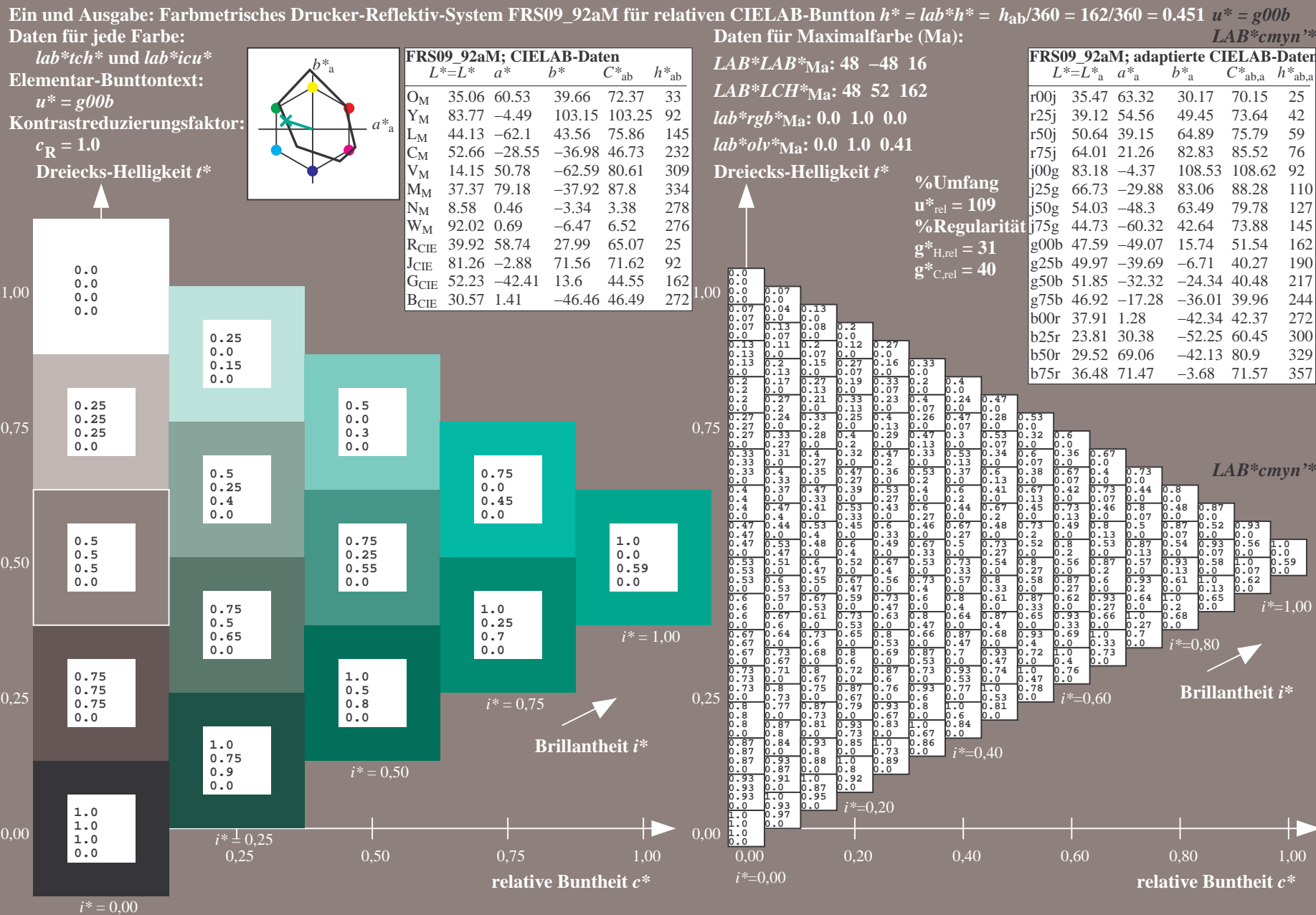
$g^*_{H,rel} = 31$

$g^*_{C,rel} = 40$

FRS09_92aM; adaptierte CIELAB-Daten

	$L^*=L^*_a$	a^*_a	b^*_a	$C^*_{ab,a}$	$h^*_{ab,a}$
r00j	35.47	63.32	30.17	70.15	25
r25j	39.12	54.56	49.45	73.64	42
r50j	50.64	39.15	64.89	75.79	59
r75j	64.01	21.26	82.83	85.52	76
j00g	83.18	-4.37	108.53	108.62	92
j25g	66.73	-29.88	83.06	88.28	110
j50g	54.03	-48.3	63.49	79.78	127
j75g	44.73	-60.32	42.64	73.88	145
g00b	47.59	-49.07	15.74	51.54	162
g25b	49.97	-39.69	-6.71	40.27	190
g50b	51.85	-32.32	-24.34	40.48	217
g75b	46.92	-17.28	-36.01	39.96	244
b00r	37.91	1.28	-42.34	42.37	272
b25r	23.81	30.38	-52.25	60.45	300
b50r	29.52	69.06	-42.13	80.9	329
b75r	36.48	71.47	-3.68	71.57	357





Ein und Ausgabe: Farbmetrisches Drucker-Reflektiv-System FRS09_92aM für relativen CIELAB-Buntton $h^* = lab^*h^* = h_{ab}/360 = 190/360 = 0.527$ $u^* = g25b$

Daten für jede Farbe:

*lab*tch** und *lab*icu**

Elementar-Bunttontext:

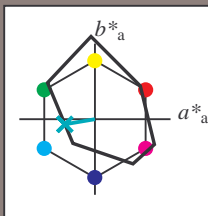
$$u^* = g25b$$

Kontrastreduzierungsfaktor:

$$c_R = 1.0$$

Dreiecks-Helligkeit t^*

Products from:



FRS09_92aM; CIELAB-Daten					
	$L^* = L^*$	a^*	b^*	C^*_{ab}	h^*_{ab}
O _M	35.06	60.53	39.66	72.37	33
Y _M	83.77	-4.49	103.15	103.25	92
L _M	44.13	-62.1	43.56	75.86	143
C _M	52.66	-28.55	-36.98	46.73	233
V _M	14.15	50.78	-62.59	80.61	309
M _M	37.37	79.18	-37.92	87.8	334
N _M	8.58	0.46	-3.34	3.38	278
W _M	92.02	0.69	-6.47	6.52	270
R _{CIE}	39.92	58.74	27.99	65.07	25
J _{CIE}	81.26	-2.88	71.56	71.62	92
G _{CIE}	52.23	-42.41	13.6	44.55	167
B _{CIE}	30.57	1.41	-46.46	46.49	273

Daten für Maximalfarbe (Ma):

LAB*LAB*Mo: 50 -39 -6

LAB*LCU* = 50 10 100

LAB*LCH*Ma: 50 40 1

*lab*rgb*_Ma: 0.0 1.0 0.5*

*lab*olv**_{Ma}: 0.0 1.0 0.69

Dreiecks-Helligkeit t^*

► Problems Management:

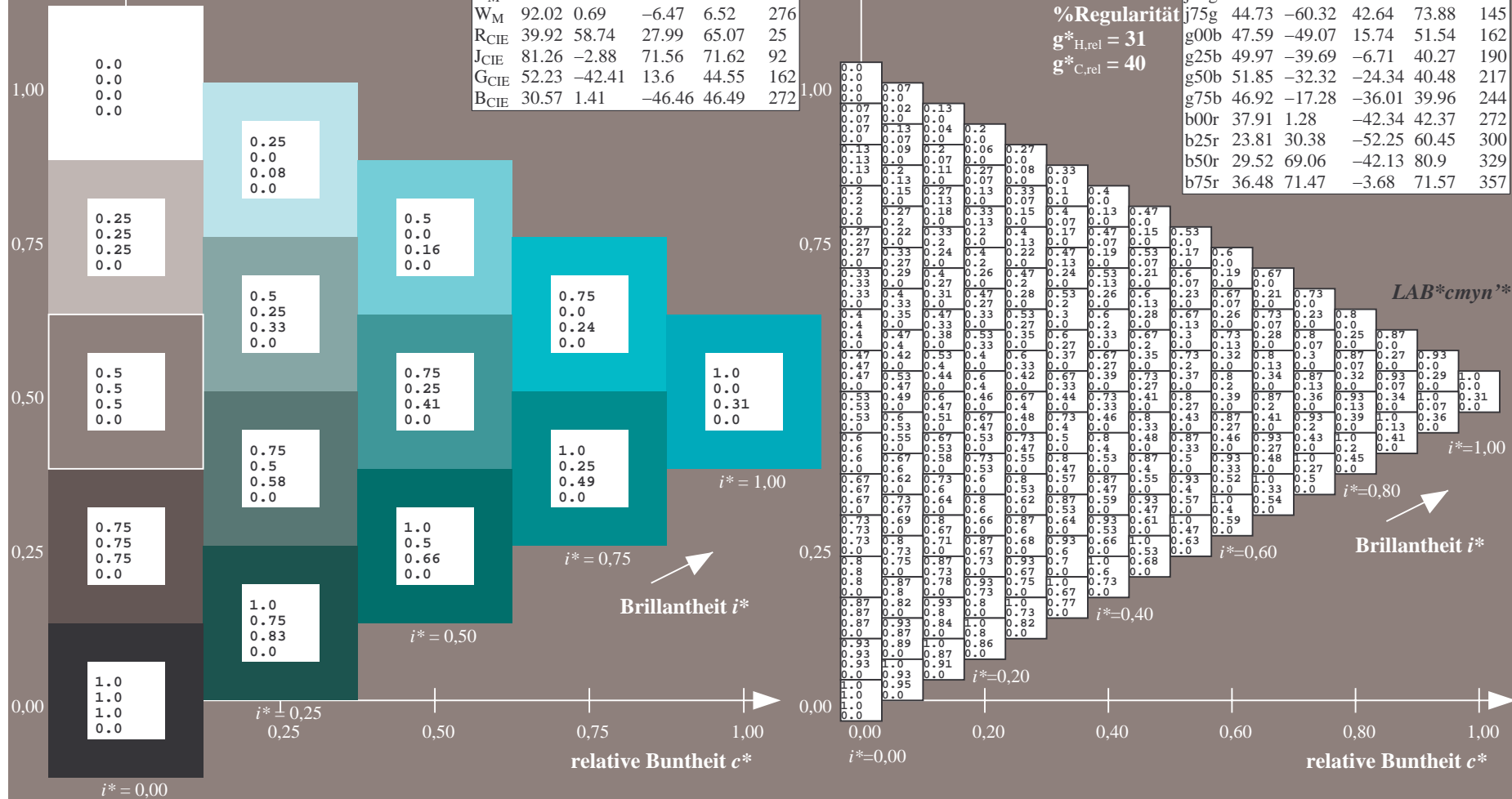
%Umfang

$$\mathbf{u}_{\text{rel}}^* = 109$$

%Regular

$$g^*_{H,rel} = 31$$
$$g^*_{C,rel} = 40$$

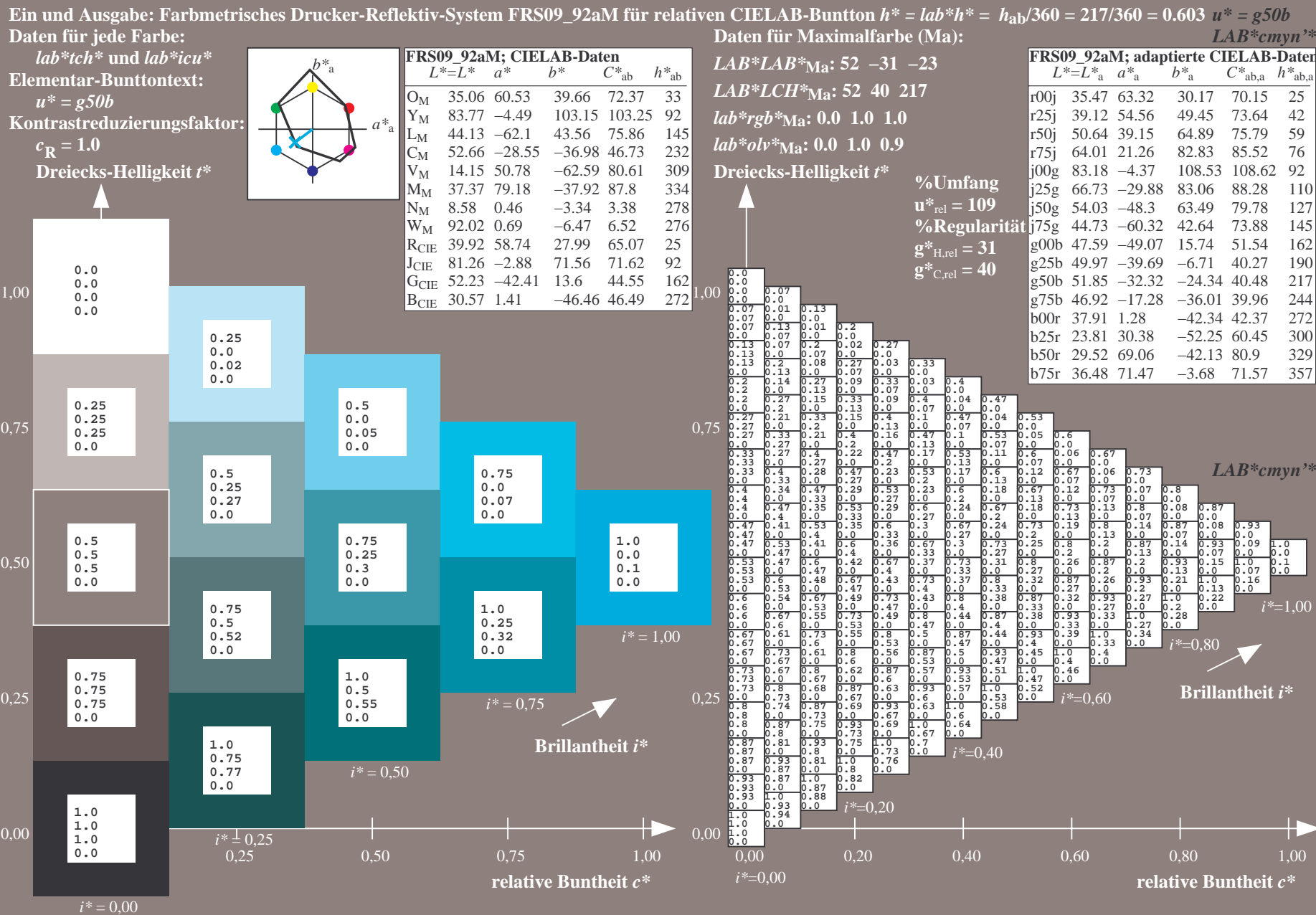
FRS09_92aM; adaptierte CIELAB-Daten						
	L^*_a	a^*_a	b^*_a	$C^*_{ab,a}$	$h^*_{ab,a}$	
r00j	35.47	63.32	30.17	70.15	25	
r25j	39.12	54.56	49.45	73.64	42	
r50j	50.64	39.15	64.89	75.79	59	
r75j	64.01	21.26	82.83	85.52	76	
j00g	83.18	-4.37	108.53	108.62	92	
j25g	66.73	-29.88	83.06	88.28	110	
j50g	54.03	-48.3	63.49	79.78	127	
j75g	44.73	-60.32	42.64	73.88	145	
g00b	47.59	-49.07	15.74	51.54	162	
g25b	49.97	-39.69	-6.71	40.27	190	
g50b	51.85	-32.32	-24.34	40.48	217	
g75b	46.92	-17.28	-36.01	39.96	244	
b00r	37.91	1.28	-42.34	42.37	272	
b25r	23.81	30.38	-52.25	60.45	300	
b50r	29.52	69.06	-42.13	80.9	329	
b75r	36.48	71.47	-3.68	71.57	357	



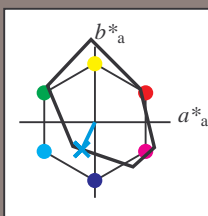
BAM-Prüfvorlage Dg92; Farbmatrik-Systeme, Seite 173/180
Farbreihen, 8 Datentabellen für 16 Bunttöne *r00j* bis *b75r*

Eingabe: 000n / w / nnn0 / www set...
Ausgabe: ->cmyn5* setcmykcolor

BAM-Registrierung: 20080701-Dg92/10L/L92G00NP.PS/ .PDF BAM-Material: Code=rha4ta
Anwendung für Beurteilung und Messung von Drucker- oder Monitorsystemen



Ein und Ausgabe: Farbmetrisches Drucker-Reflektiv-System FRS09_92aM für relativen CIELAB-Buntton $h^* = lab^*h^* = h_{ab}/360 = 244/360 = 0.679$ $u^* = g75b$
Daten für jede Farbe:
 lab^*ch^* und lab^*icu^*
Elementar-Bunttontext:
 $u^* = g75b$
Kontrastreduzierungsfaktor:
 $c_R = 1.0$
Dreiecks-Helligkeit i^*



FRS09_92aM; CIELAB-Daten					
	$L^*=L^*$	a^*	b^*	C^*_{ab}	h^*_{ab}
O _M	35.06	60.53	39.66	72.37	33
Y _M	83.77	-4.49	103.15	103.25	92
L _M	44.13	-62.1	43.56	75.86	145
C _M	52.66	-28.55	-36.98	46.73	232
V _M	14.15	50.78	-62.59	80.61	309
M _M	37.37	79.18	-37.92	87.8	334
N _M	8.58	0.46	-3.34	3.38	278
W _M	92.02	0.69	-6.47	6.52	276
R _{CIE}	39.92	58.74	27.99	65.07	25
J _{CIE}	81.26	-2.88	71.56	71.62	92
G _{CIE}	52.23	-42.41	13.6	44.55	162
B _{CIE}	30.57	1.41	-46.46	46.49	272

Daten für Maximalfarbe (Ma):

$LAB^*LAB^*_{Ma}$: 47 -16 -35

$LAB^*LCH^*_{Ma}$: 47 40 244

$lab^*rgb^*_{Ma}$: 0.0 0.5 1.0

$lab^*olv^*_{Ma}$: 0.0 0.85 1.0

Dreiecks-Helligkeit i^*

%Umfang

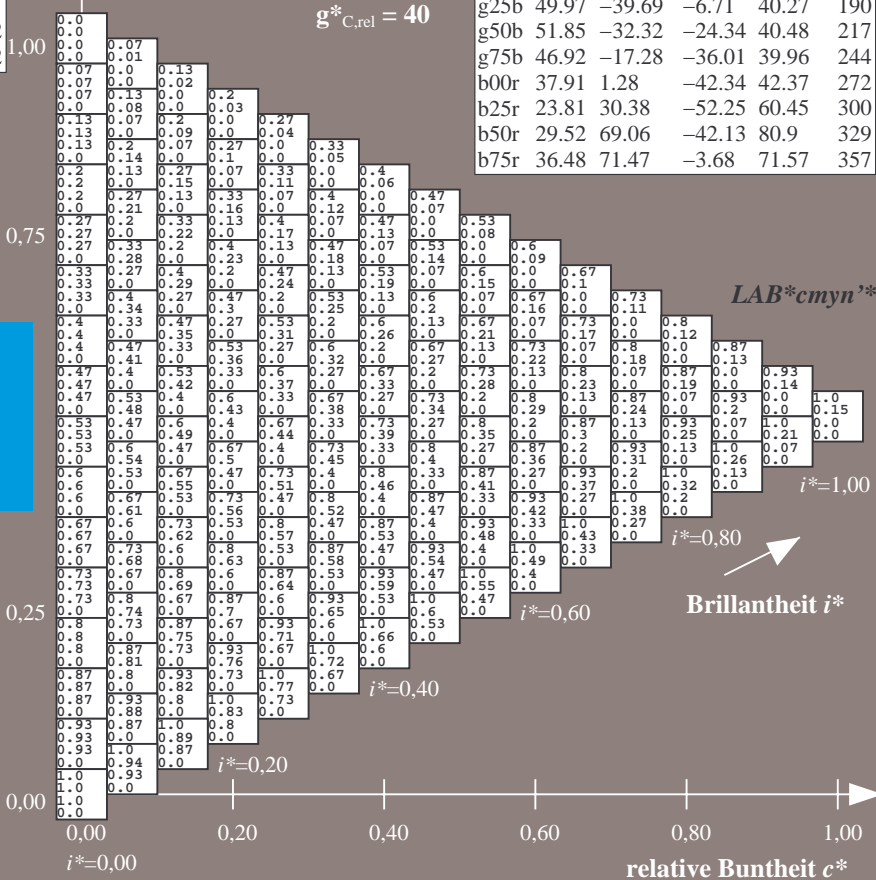
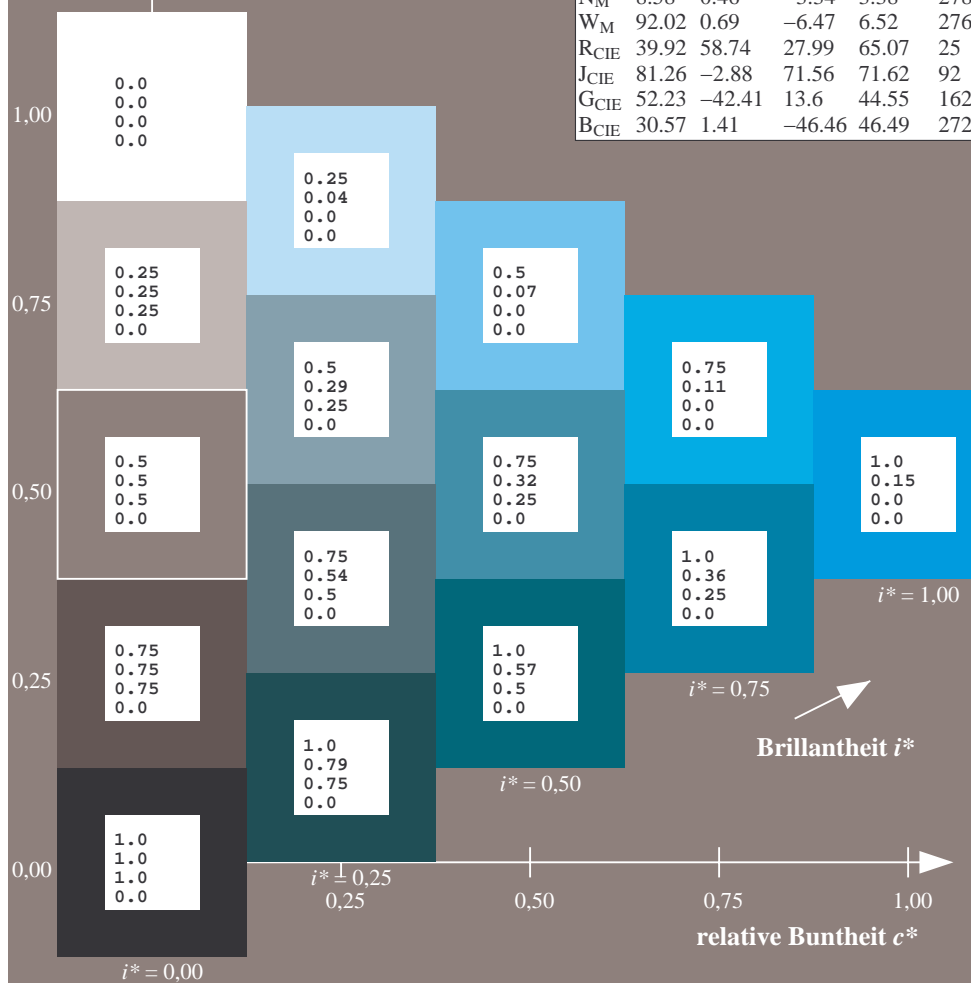
$u^*_{rel} = 109$

%Regularität

$g^*_{H,rel} = 31$

$g^*_{C,rel} = 40$

FRS09_92aM; adaptierte CIELAB-Daten					
	$L^*=L^*_a$	a^*_a	b^*_a	$C^*_{ab,a}$	$h^*_{ab,a}$
r00j	35.47	63.32	30.17	70.15	25
r25j	39.12	54.56	49.45	73.64	42
r50j	50.64	39.15	64.89	75.79	59
r75j	64.01	21.26	82.83	85.52	76
j00g	83.18	-4.37	108.53	108.62	92
j25g	66.73	-29.88	83.06	88.28	110
j50g	54.03	-48.3	63.49	79.78	127
j75g	44.73	-60.32	42.64	73.88	145
g00b	47.59	-49.07	15.74	51.54	162
g25b	49.97	-39.69	-6.71	40.27	190
g50b	51.85	-32.32	-24.34	40.48	217
g75b	46.92	-17.28	-36.01	39.96	244
b00r	37.91	1.28	-42.34	42.37	272
b25r	23.81	30.38	-52.25	60.45	300
b50r	29.52	69.06	-42.13	80.9	329
b75r	36.48	71.47	-3.68	71.57	357



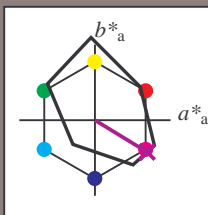
▲



Ausgabe: $\rightarrow cmy\mathbf{n}5^* setcmykcolor$

BAM-Registrierung: 20080701-Dg92/10L/L92G00NP.PS/.PDF BAM-Material: Code=rhataa
Anwendung für Beurteilung und Messung von Drucker- oder Monitorsystemen

Ein und Ausgabe: Farbmetrisches Drucker-Reflektiv-System FRS09_92aM für relativen CIELAB-Buntton $h^* = lab^*h^* = h_{ab}/360 = 329/360 = 0.913$ $u^* = b50r$
Daten für jede Farbe:
 lab^*tch^* und lab^*icu^*
Elementar-Bunttontext:
 $u^* = b50r$
Kontrastreduzierungsfaktor:
 $c_R = 1.0$
Dreiecks-Helligkeit t^*



FRS09_92aM; CIELAB-Daten					
	$L^*=L^*$	a^*	b^*	C^*_{ab}	h^*_{ab}
O _M	35.06	60.53	39.66	72.37	33
Y _M	83.77	-4.49	103.15	103.25	92
L _M	44.13	-62.1	43.56	75.86	145
C _M	52.66	-28.55	-36.98	46.73	232
V _M	14.15	50.78	-62.59	80.61	309
M _M	37.37	79.18	-37.92	87.8	334
N _M	8.58	0.46	-3.34	3.38	278
W _M	92.02	0.69	-6.47	6.52	276
R _{CIE}	39.92	58.74	27.99	65.07	25
J _{CIE}	81.26	-2.88	71.56	71.62	92
G _{CIE}	52.23	-42.41	13.6	44.55	162
B _{CIE}	30.57	1.41	-46.46	46.49	272

Daten für Maximalfarbe (Ma):

$LAB^*LAB^*_{Ma}$: 30 69 -41

$LAB^*LCH^*_{Ma}$: 30 81 329

$lab^*rgb^*_{Ma}$: 1.0 0.0 1.0

$lab^*olv^*_{Ma}$: 0.66 0.0 1.0

Dreiecks-Helligkeit t^*

%Umfang

$u^*_{rel} = 109$

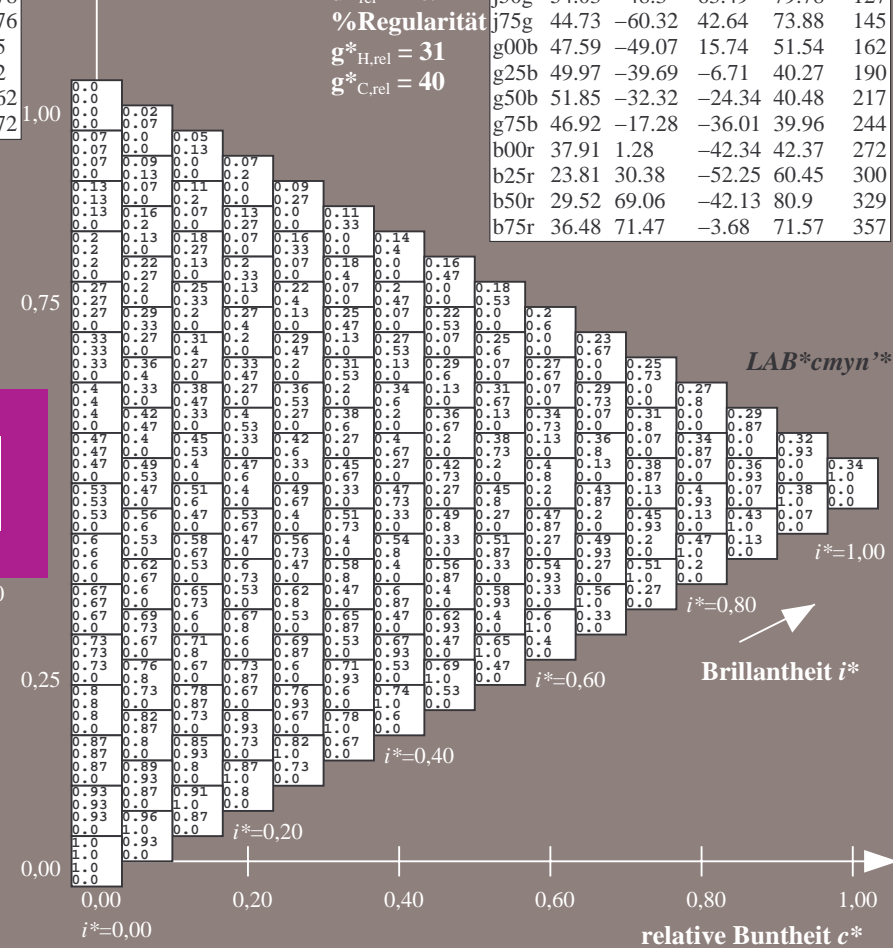
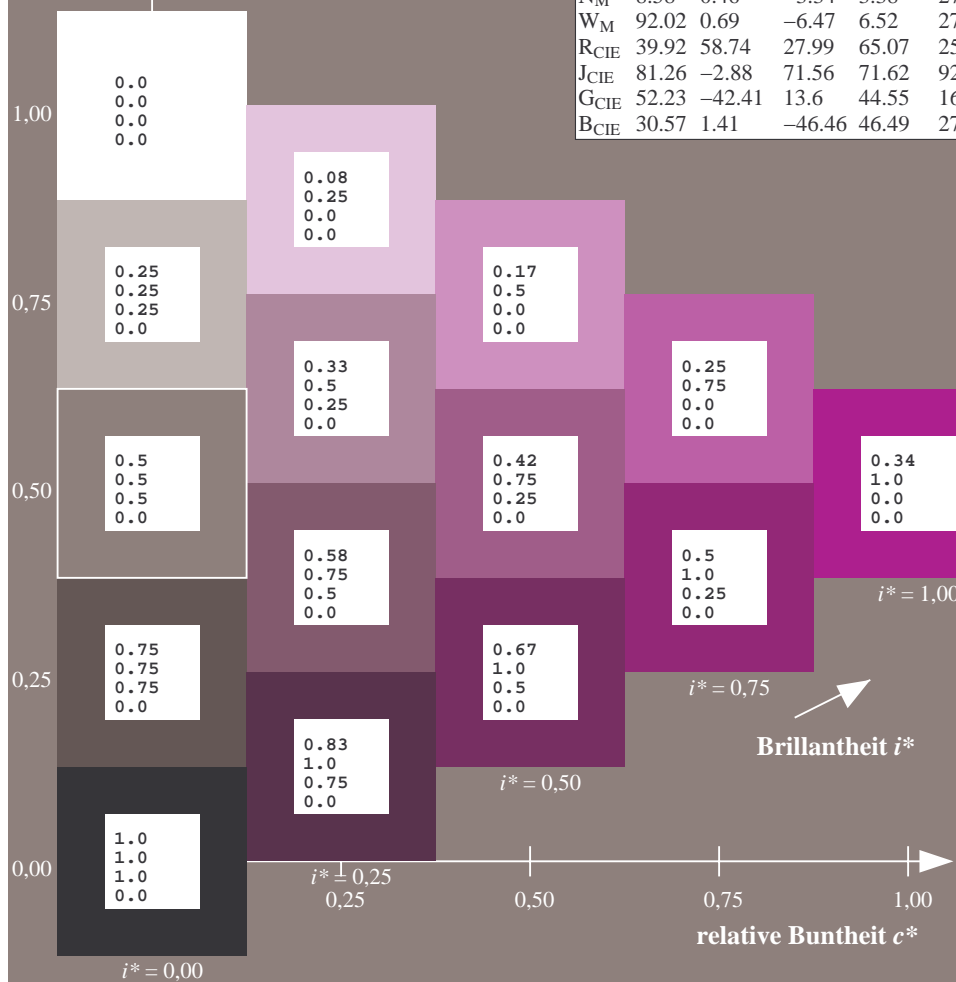
%Regularität

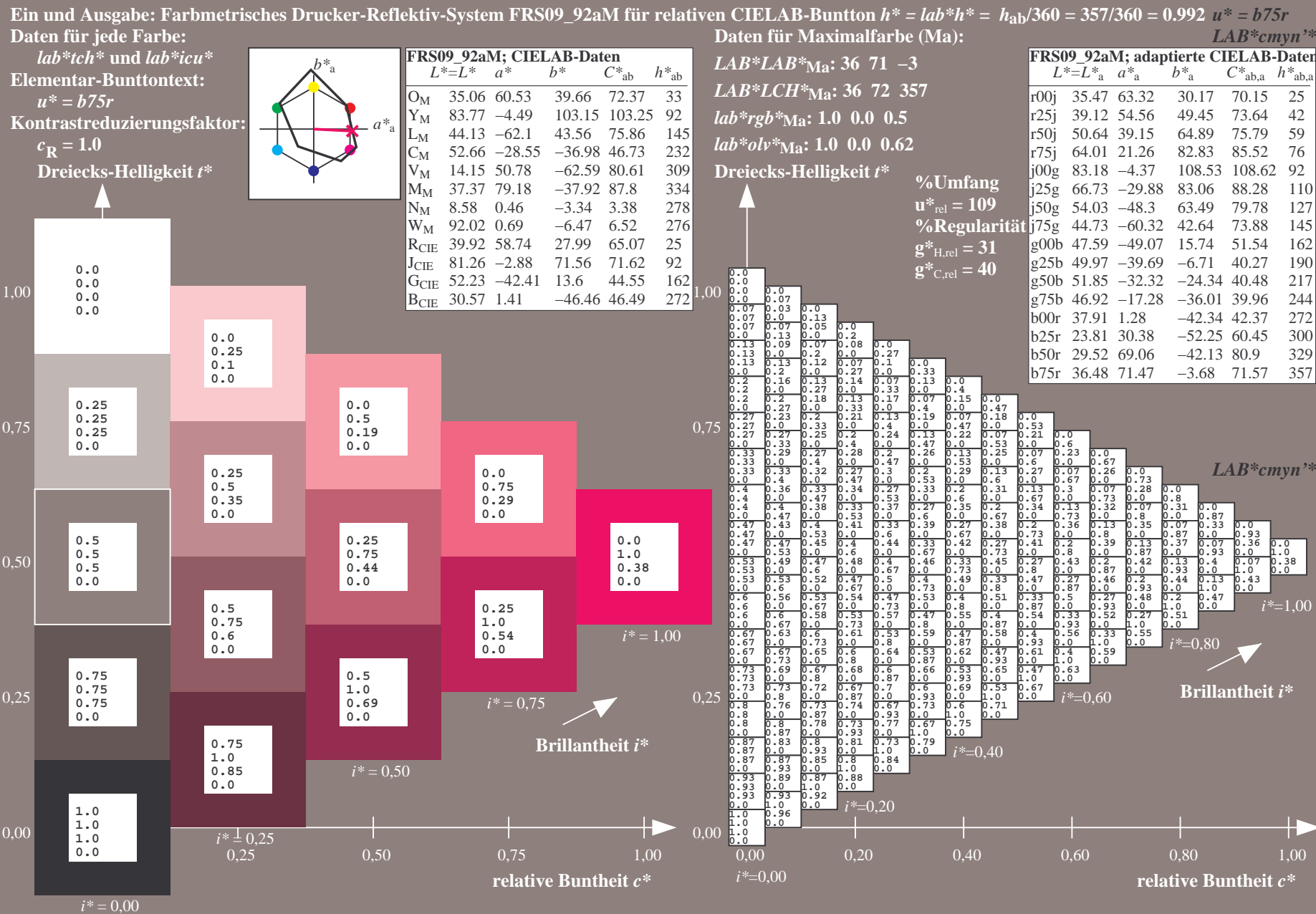
$g^*_{H,rel} = 31$

$g^*_{C,rel} = 40$

FRS09_92aM; adaptierte CIELAB-Daten

	$L^*=L^*_a$	a^*_a	b^*_a	$C^*_{ab,a}$	$h^*_{ab,a}$
r00j	35.47	63.32	30.17	70.15	25
r25j	39.12	54.56	49.45	73.64	42
r50j	50.64	39.15	64.89	75.79	59
r75j	64.01	21.26	82.83	85.52	76
j00g	83.18	-4.37	108.53	108.62	92
j25g	66.73	-29.88	83.06	88.28	110
j50g	54.03	-48.3	63.49	79.78	127
j75g	44.73	-60.32	42.64	73.88	145
g00b	47.59	-49.07	15.74	51.54	162
g25b	49.97	-39.69	-6.71	40.27	190
g50b	51.85	-32.32	-24.34	40.48	217
g75b	46.92	-17.28	-36.01	39.96	244
b00r	37.91	1.28	-42.34	42.37	272
b25r	23.81	30.38	-52.25	60.45	300
b50r	29.52	69.06	-42.13	80.9	329
b75r	36.48	71.47	-3.68	71.57	357





	A	B	C	D	E	F	G	H	I	J	K	L	M	N	O	P	Q	R	S	T	U	V	W	X	Y	Z	a	b	c	d	e	f	g	h	i	j	k	LAB*cmyn**			
01	0000	0000	0000	0000	0000	0000	0000	0000	0000	0000	0000	0000	0000	0000	0000	0000	0000	0000	0000	0000	0000	0000	0000	0000	0000	0000	0000	0000	0000	0000	0000	0000	0000	0000	0000	0000	0000	0000	0000	0000	
02	0000	0000	0000	0000	0000	0000	0000	0000	0000	0000	0000	0000	0000	0000	0000	0000	0000	0000	0000	0000	0000	0000	0000	0000	0000	0000	0000	0000	0000	0000	0000	0000	0000	0000	0000	0000	0000	0000	0000	0000	0000
03	0000	0000	0000	0000	0000	0000	0000	0000	0000	0000	0000	0000	0000	0000	0000	0000	0000	0000	0000	0000	0000	0000	0000	0000	0000	0000	0000	0000	0000	0000	0000	0000	0000	0000	0000	0000	0000	0000	0000	0000	0000
04	0000	0000	0000	0000	0000	0000	0000	0000	0000	0000	0000	0000	0000	0000	0000	0000	0000	0000	0000	0000	0000	0000	0000	0000	0000	0000	0000	0000	0000	0000	0000	0000	0000	0000	0000	0000	0000	0000	0000	0000	0000
05	0000	0000	0000	0000	0000	0000	0000	0000	0000	0000	0000	0000	0000	0000	0000	0000	0000	0000	0000	0000	0000	0000	0000	0000	0000	0000	0000	0000	0000	0000	0000	0000	0000	0000	0000	0000	0000	0000	0000	0000	0000
06	0000	0000	0000	0000	0000	0000	0000	0000	0000	0000	0000	0000	0000	0000	0000	0000	0000	0000	0000	0000	0000	0000	0000	0000	0000	0000	0000	0000	0000	0000	0000	0000	0000	0000	0000	0000	0000	0000	0000	0000	0000
07	0000	0000	0000	0000	0000	0000	0000	0000	0000	0000	0000	0000	0000	0000	0000	0000	0000	0000	0000	0000	0000	0000	0000	0000	0000	0000	0000	0000	0000	0000	0000	0000	0000	0000	0000	0000	0000	0000	0000	0000	0000
08	0000	0000	0000	0000	0000	0000	0000	0000	0000	0000	0000	0000	0000	0000	0000	0000	0000	0000	0000	0000	0000	0000	0000	0000	0000	0000	0000	0000	0000	0000	0000	0000	0000	0000	0000	0000	0000	0000	0000	0000	0000
09	0000	0000	0000	0000	0000	0000	0000	0000	0000	0000	0000	0000	0000	0000	0000	0000	0000	0000	0000	0000	0000	0000	0000	0000	0000	0000	0000	0000	0000	0000	0000	0000	0000	0000	0000	0000	0000	0000	0000	0000	0000
10	0000	0000	0000	0000	0000	0000	0000	0000	0000	0000	0000	0000	0000	0000	0000	0000	0000	0000	0000	0000	0000	0000	0000	0000	0000	0000	0000	0000	0000	0000	0000	0000	0000	0000	0000	0000	0000	0000	0000	0000	0000
11	0000	0000	0000	0000	0000	0000	0000	0000	0000	0000	0000	0000	0000	0000	0000	0000	0000	0000	0000	0000	0000	0000	0000	0000	0000	0000	0000	0000	0000	0000	0000	0000	0000	0000	0000	0000	0000	0000	0000	0000	0000
12	0000	0000	0000	0000	0000	0000	0000	0000	0000	0000	0000	0000	0000	0000	0000	0000	0000	0000	0000	0000	0000	0000	0000	0000	0000	0000	0000	0000	0000	0000	0000	0000	0000	0000	0000	0000	0000	0000	0000	0000	0000
13	0000	0000	0000	0000	0000	0000	0000	0000	0000	0000	0000	0000	0000	0000	0000	0000	0000	0000	0000	0000	0000	0000	0000	0000	0000	0000	0000	0000	0000	0000	0000	0000	0000	0000	0000	0000	0000	0000	0000	0000	0000
14	0000	0000	0000	0000	0000	0000	0000	0000	0000	0000	0000	0000	0000	0000	0000	0000	0000	0000	0000	0000	0000	0000	0000	0000	0000	0000	0000	0000	0000	0000	0000	0000	0000	0000	0000	0000	0000	0000	0000	0000	0000
15	0000	0000	0000	0000	0000	0000	0000	0000	0000	0000	0000	0000	0000	0000	0000	0000	0000	0000	0000	0000	0000	0000	0000	0000	0000	0000	0000	0000	0000	0000	0000	0000	0000	0000	0000	0000	0000	0000	0000	0000	0000
16	0000	0000	0000	0000	0000	0000	0000	0000	0000	0000	0000	0000	0000	0000	0000	0000	0000	0000	0000	0000	0000	0000	0000	0000	0000	0000	0000	0000	0000	0000	0000	0000	0000	0000	0000	0000	0000	0000	0000	0000	0000
17	0000	0000	0000	0000	0000	0000	0000	0000	0000	0000	0000	0000	0000	0000	0000	0000	0000	0000	0000	0000	0000	0000	0000	0000	0000	0000	0000	0000	0000	0000	0000	0000	0000	0000	0000	0000	0000	0000	0000	0000	0000
18	0000	0000	0000	0000	0000	0000	0000	0000	0000	0000	0000	0000	0000	0000	0000	0000	0000	0000	0000	0000	0000	0000	0000	0000	0000	0000	0000	0000	0000	0000	0000	0000	0000	0000	0000	0000	0000	0000	0000	0000	0000
19	0000	0000	0000	0000	0000	0000	0000	0000	0000	0000	0000	0000	0000	0000	0000	0000	0000	0000	0000	0000	0000	0000	0000	0000	0000	0000	0000	0000	0000	0000	0000	0000	0000	0000	0000	0000	0000	0000	0000	0000	0000
20	0000	0000	0000	0000	0000	0000	0000	0000	0000	0000	0000	0000	0000	0000	0000	0000	0000	0000	0000	0000	0000	0000	0000	0000	0000	0000	0000	0000	0000	0000	0000	0000	0000	0000	0000	0000	0000	0000	0000	0000	0000
21	0000	0000	0000	0000	0000	0000	0000	0000	0000	0000	0000	0000	0000	0000	0000	0000	0000	0000	0000	0000	0000	0000	0000	0000	0000	0000	0000	0000	0000	0000	0000	0000	0000	0000	0000	0000	0000	0000	0000	0000	0000
22	0000	0000	0000	0000	0000	0000	0000	0000	0000	0000	0000	0000	0000	0000	0000	0000	0000	0000	0000	0000	0000	0000	0000	0000	0000	0000	0000	0000	0000	0000	0000	0000	0000	0000	0000	0000	0000	0000	0000	0000	0000
23	0000	0000	0000	0000	0000	0000	0000	0000	0000	0000	0000	0000	0000	0000																											

Siehe ähnliche Dateien: <http://www.ps.bam.de/Dg92/>; www.ps.bam.de/Dg92.HTM
Technische Information: <http://www.ps.bam.de> Version 2.1, io=1,1, ColSpX=0